

95-29-7174

MOTC-IOT-94-H3DB001

近岸數值模擬系統之建立（2/4）



交通部運輸研究所

中華民國 94 年 12 月

95-29-7174

MOTC-IOT-94-H3DB001

近岸數值模擬系統之建立（2/4）

著者：李忠潘、陳陽益、于嘉順、王兆璋
薛憲文、張憲國、林炤圭、劉正琪
許泰文、莊曜陽

交通部運輸研究所

中華民國 94 年 12 月

94

近岸數值模擬系統之建立
(2/4)

交通部運輸研究所

GPN : 1009500680

定價： 400 元

國家圖書館出版品預行編目資料

近岸數值模擬系統之建立 (2/4) / 李忠潘等著

-- 初版 -- 臺北市 : 交通部運研所, 民 94

面 ; 公分

參考書目:面

ISBN 986-00-4707-3(平裝)

1.海洋氣象 - 自動化

44.94029

95005321

近岸數值模擬系統之建立 (2/4)

著 者：李忠潘、陳陽益、于嘉順、王兆璋、薛憲文、張憲國、林炤圭、
劉正琪、許泰文、莊曜陽

出版機關：交通部運輸研究所

地 址：臺北市敦化北路 240 號

網 址：www.ihmt.gov.tw (中文版>中心出版品)

電 話：(04) 26587176

出版年月：中華民國 94 年 12 月

印 刷 者：德輝興業有限公司

版(刷)次冊數：初版一刷 130 冊

本書同時登載於交通部運輸研究所港灣技術研究中心網站

定 價：4 00 元

展 售 處：

交通部運輸研究所運輸資訊組•電話：(02)23496880

國家書坊臺視總店：臺北市八德路 3 段 10 號 B1•電話：(02)25781515

五南文化廣場：臺中市中山路 2 號 B1•電話：(04)22260330

GPN : 1009500680

ISBN : 986-00-4707-3 (平裝)

著作財產權人：中華民國(代表機關：交通部運輸研究所)

本著作保留所有權利，欲利用本著作全部或部份內容者，須徵求交通部
運輸研究所書面授權。

交通部運輸研究所合作研究計畫出版品摘要表

出版品名稱：近岸數值模擬系統之建立（2/4）			
國際標準書號(或叢刊號) ISBN 986-00-4707-3	政府出版品統一編號 1009500680	運輸研究所出版品編號 95-29-7174	計畫編號 94-H3DB001
本所主辦單位：港研中心 主管：邱永芳 計畫主持人：邱永芳 研究人員：蘇青和 聯絡電話：04-26587175 傳真號碼：04-26571329	合作研究單位：國立中山大學 計畫主持人：李忠潘 研究人員：陳陽益、于嘉順、王兆璋、薛憲文、張憲國、林炤圭、劉正琪、許泰文、莊曜陽 地址：高雄市鼓山區蓮海路 70 號 聯絡電話：07-5255067	研究期間 自 94 年 02 月 至 94 年 11 月	
關鍵詞：近岸數值模擬現報系統；波浪模式；水動力模式			
摘要： <p>參考各國近海海象預報系統的發展狀況，港研中心在 2003 年規劃建置臺灣近岸海象預報系統-TaiCOMS (Taiwan Coastal Operational Modeling System)，包括數值預報模式的建立及驗證、觀測網的架設及資料的整合。其中臺灣海域觀測網路部分可以得到的觀測資料為地形、水深、氣壓、颱風、風場(風速、風向)、波場(波高、週期及波向)、水位(天文潮位、暴潮位)及流場(流速、流向)等現場資料，經同步連線回傳，經整理後統一輸入資料庫中。臺灣海域模式預報系統的部分則規劃了波浪、水位、流場及擴散等相關模式來進行模擬預報；波浪的模擬包含季風波浪及颱風波浪，水位的模擬則包含天文潮位及暴潮潮位，海流的模擬則包含天文潮流、風驅流(暴潮流)及波浪引起之沿岸流等。在海流預報模式建置完成後，擴散模式則是其主要的應用方向，模擬預報的主要重點為油污，其他污染亦可應用海流資料。</p>			
本研究屬交通部運輸研究所「近岸防救災預報系統之建立」(92-96年)計畫規劃五年合作研究計畫之第三年，最終目的有以下幾項(1)建立本土化之風浪預報模式，以提供環島藍色公路全年航行之風浪資訊需求。並建立區域性之風浪模式，迅速的提供港口航運安全所需之風浪預警資訊。(2)建立本土化之水位預報模式，以整合臺灣環島海岸觀測水位資料，及數值模擬結果，迅速且經確的提供海岸溢淹之預警資訊。(3)配合數值模式推算長期颱風波浪及暴潮水位，以檢討現有沿海防護設施的設計水位、設計波高標準，並做為海岸災害防護措施的依據。(4)建立臺灣大域及區域性之流場模式，迅速的提供緊急海難、港口航運安全所需之流場預警資訊。(5)建立臺灣近岸與港區包括油污及不同污染物擴散數值模式，以能訊速正確掌控海岸各種污染擴散現象，以提供救災必要之資訊。(6)配合本所海情中心業務，建立近岸防救災預報系統，並採用地理資訊系統之人性化操作界面，以利各界之使用。			
出版日期	頁數	定價	本出版品取得方式
94 年 12 月	354	400	凡屬機密性出版品均不對外公開。普通性出版品，公營、公益機關團體及學校可函洽本所免費贈閱；私人及私營機關團體可按定價價購。
機密等級： <input type="checkbox"/> 密 <input type="checkbox"/> 機密 <input type="checkbox"/> 極機密 <input type="checkbox"/> 絕對機密 (解密條件： <input type="checkbox"/> 年 月 日解密， <input type="checkbox"/> 公布後解密， <input type="checkbox"/> 附件抽存後解密， <input type="checkbox"/> 工作完成或會議終了時解密， <input type="checkbox"/> 另行檢討後辦理解密) <input checked="" type="checkbox"/> 普通			
備註：本研究之結論與建議不代表交通部之意見。			

PUBLICATION ABSTRACTS OF RESEARCH PROJECTS
INSTITUTE OF TRANSPORTATION
MINISTRY OF TRANSPORTATION AND COMMUNICATIONS

TITLE: Taiwan Coastal Ocean Modeling System (2/4)			
ISBN(OR ISSN) ISBN 986-00-4707-3(pbk)	GOVERNMENT PUBLICATIONS NUMBER 1009500680	IOT SERIAL NUMBER 95-29-7174	PROJECT NUMBER 94-H3DB001
DIVISION: Harbor & Marine Technology Center DIVISION DIRECTOR: Chiu Yung-Fang PRINCIPAL INVESTIGATOR: Chiu Yung-Fang PROJECT STAFF: Su, Chin-Ho PHONE:04-26587175 FAX: 04-26571329			PROJECT PERIOD FROM February 2005 TO November 2005
RESEARCH AGENCY: National Sun Yat-sen University PRINCIPAL INVESTIGATOR: Lee, Chung-Pan PROJECT STAFF: Chen Yang-Yih, Yu Jia-shun, Wang Chau-Chang, Shyue Shiahn-Wern, Chang Shiahn-Kuo, Lin Jaw-Guei, Liu C-C, Chuang Yao-Yang ADDRESS: National Sun Yat-Sen University, 70 Lien-hai Rd. Kaohsiung, Taiwan PHONE: 07-5255067			
KEY WORDS: TaiCOMS; nowcast; hydrodynamic models			
ABSTRACT :			
<p>Taiwan is surrounded by western Pacific terrestrial seas. Development toward ocean is a direction without hesitation. Therefore, most of the development projects concentrated along coast. Protection of these developments from damages by natural disasters, particularly from the seas, is a very important for the coastal people. Predicting marine states become a very important task for the authorities to carry out coastal defenses. IHMT has been responsible for the management and engineering works of the harbor construction in Taiwan for several decades. In order to achieve this goal, IHMT has provided Taiwan Coastal Operational Modeling System (TaiCOMS) project under the national program on "The construction of coastal defense and forecasting systems". Major goal is to develop a system of marine forecast systems for Taiwan, particularly focus on the coastal waters.</p>			
<p>IHMT has planned this project (TaiCOMS) since 2003. The major goal of this year is to port the models in on-line operational mode. The modeling objectives of this year are to integrate and to calibrate the WAM and SWAN wave models for daily simulations; adding fine grid local area wave model for simulating and analysis of the long-term wave characteristics around Taiwan; set up 2D and 3D hydrodynamic model for daily operation for the simulation of tides and currents. Models applying neuro-network technique are also calibrated to the typhoon waves and also to the NE monsoon during the wintertime. Extreme condition has been extracted through the analysis of the whole year simulation of the wave models and the hydrodynamic models as well.</p>			
DATE OF PUBLICATION Dec. 2005	NUMBER OF PAGES 354	PRICE 400	CLASSIFICATION <input type="checkbox"/> RESTRICTED <input type="checkbox"/> CONFIDENTIAL <input type="checkbox"/> SECRET <input type="checkbox"/> TOP SECRET <input checked="" type="checkbox"/> UNCLASSIFIED
The views expressed in this publication are not necessarily those of the Ministry of Transportation and Communications.			

第一章 緒論

1.1 計畫背景與目的

為保護和利用近岸海域，邁向 21 世紀的海洋國家，除近岸海域的使用外，應著重百姓生命財產的保護，以補往昔之不足。由於全球環境變遷，藉由過去觀測的資料加以統計分析所得的結果已不足為憑，各項回歸週期之設計基準也將不足以應付新的自然條件所加諸之嚴酷挑戰。因此，近岸防救災系統的建立是在 21 世紀配合臺灣要邁向海洋國家最重要的施政項目之一。

參考各國近海海象預報系統的發展狀況，港研中心在 2003 年規劃臺灣近岸海象預報系統-TaiCOMS (Taiwan Coastal Operational Modeling System)，系統架構如圖 1.1，包括數值預報模式的建立及驗證、觀測網的架設及資料的整合。其中臺灣海域觀測網路部分可以得到的觀測資料為地形、水深、氣壓、颱風、風場(風速、風向)、波場(波高、週期及波向)、水位(天文潮位、暴潮位)及流場(流速、流向)等現場資料，經同步連線回傳，經整理後統一輸入資料庫中。臺灣海域模式預報系統的部分則規劃了波浪、水位、流場及擴散等相關模式來進行模擬預報；波浪的模擬包含季風波浪及颱風波浪，水位的模擬則包含天文潮位及暴潮潮位，海流的模擬則包含天文潮流、風驅流(暴潮流)及波浪引起之沿岸流等。在海流預報模式建置完成後，擴散模式則是其主要的應用方向，模擬預報的主要重點為油污，其他污染亦可應用海流資料。

本研究屬交通部運輸研究所「近岸防救災預報系統之建立」(92-96 年)計畫規劃五年合作研究計畫之第三年，最終目的有以下幾項：

1. 建立本土化之風浪預報模式，以提供環島藍色公路全年航行之風浪資訊需求。並建立區域性之風浪模式，迅速的提供港口航運安全所需之風浪預警資訊。

2. 建立本土化之水位預報模式，以整合臺灣環島海岸觀測水位資料，及數值模擬結果，迅速且經確的提供海岸溢淹之預警資訊。
3. 配合數值模式推算長期颱風波浪及暴潮水位，以檢討現有沿海防護設施的設計水位、設計波高標準，並做為海岸災害防護措施的依據。
4. 建立臺灣大域及區域性之流場模式，迅速的提供緊急海難、港口航運安全所需之流場預警資訊。
5. 建立臺灣近岸與港區包括油污及不同污染物擴散數值模式，以能訊速正確掌控海岸各種污染擴散現象，以提供救災必要之資訊。
6. 配合本所海情中心業務，建立近岸防救災預報系統，並採用地理資訊系統之人性化操作界面，以利各界之使用。

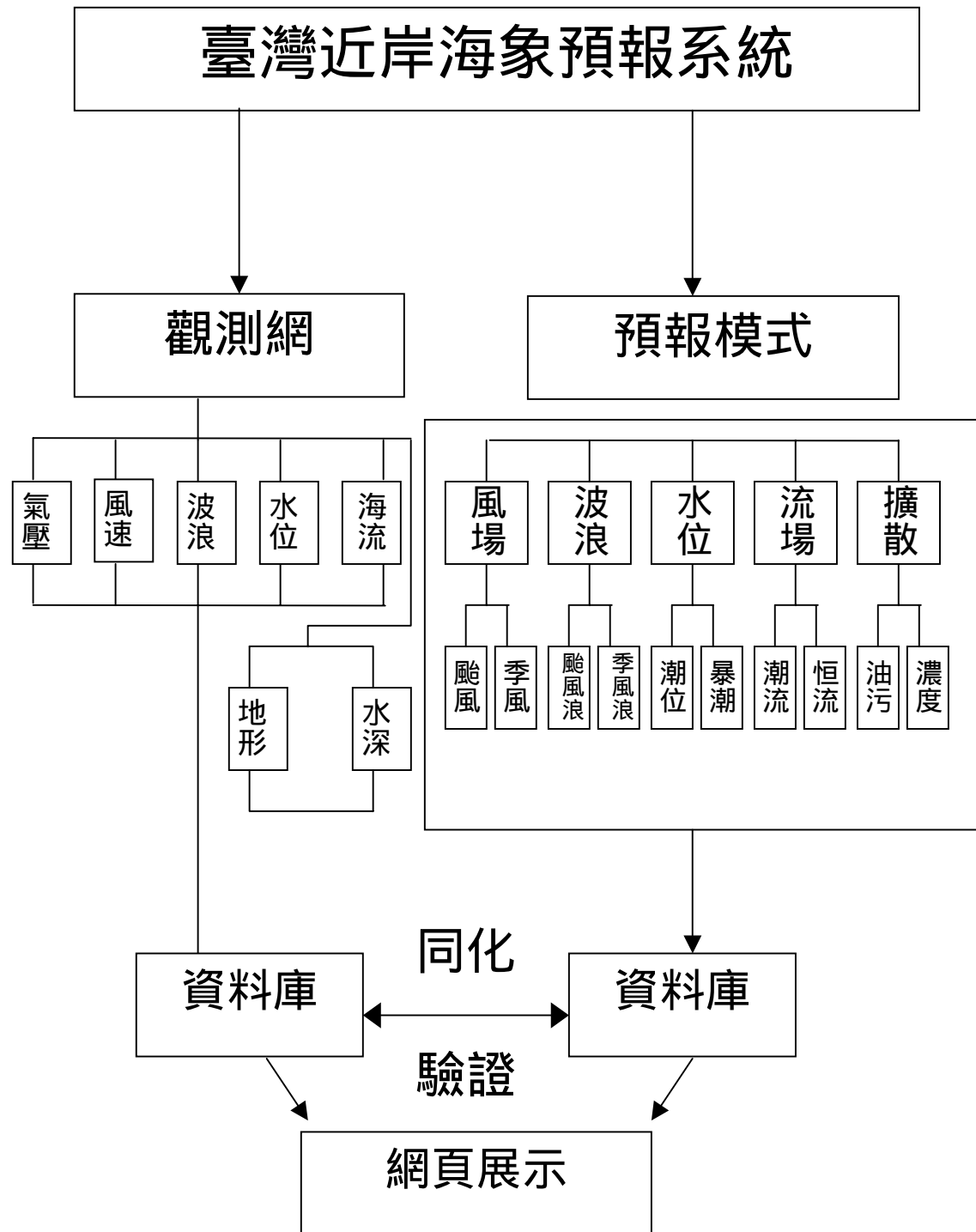


圖 1.1 臺灣近岸海象預報系統(TaiCOMS)架構

1.2 預期完成的工作項目

本研究全期計有四年，以下將分年列述預期完成的工作項目：

93 年度(上一年度) 工作項目：

- (1). 建立二維全域水動力模式、二維全域天文潮波與颱風暴潮整合模式、定點類神經網路水位模式等水位計算數值模式。
- (2). 水位模式之二維大小網格最佳化、水深資料及邊界條件建立。
- (3). 至少引用歷史 8 個具代表性及 2 個今年之颱風，針對模式之暴潮水位計算結果驗證。
- (4). 各種水位模式相互間之計算結果優劣特性比較(包括計算精確度、計算速度、操作方便性及適用地域性等)。
- (5). 風場模式改進與整合。(需適用風浪模式及水位模式)
 - (a)海上風場模式：引用中央氣象局或 NOAA 等風場資料。
 - (b)颱風風場模式：引用至少 5 種以上颱風風場模式測試比較。
- (6). 風浪模式包括全域大小網域之風浪模式、定點類神經網路風浪模式、定點半經驗風浪模式等數值模式之精確度改進。利用後報(hindcast)方式進行數值計算之校驗、修正及各種模式之比較與擇優。
- (7). 風浪預報模式對年度侵臺颱風進行模擬現報(nowcast)，由中央氣象局或 NOAA 引進風場資料，並以現場觀測或 NOAA 預報波浪場資料比較驗證。
- (8). 建立適用近岸地區之波浪模式(包括波浪折射、繞射及反射等效應)，引用外海風浪數值模式計算之結果為邊界條件，以進行 7 個商港附近海域之波場推算，並以現場觀測波浪場資料比較驗證。
- (9). 臺灣環島近岸長期波浪推算及觀測資料分析，並以推算環島藍色公路海域及 7 個商港之全年風浪(包括颱風、季風)特性為重點。

- (10).引用風浪數值模式進行長期波浪模擬與觀測資料之比較分析，並以 7 個商港為重點建立相關模式(correlation model)，以增進預報速度及精確度。
- (11).波浪及水位模式與觀測資料之資料同化(assimilation) 解析方法建立。並配合資料同化需求，檢討臺灣環島海域海氣象觀測網設置規劃之內容。
- (12).更新防救災預報系統網站。(包括各種風力、波浪、水位、流場、數值大小網格及水深資料、現場觀測站等查詢)。(新增水位，並累增風力、波浪、數值網格及水深等資料)。
- (13).數值模式、網站資料及相關資料與技術之轉移。年度結束時，須將能對實測風力、波浪、潮位等物理量自動進行品管之電腦模式裝設於港研中心之個人電腦內，並提供其原始程式予港研中心。

94 年度(本年度) 工作項目：

- (1). 建立三維全域水動力模式，包括三維海域之網格分割、水深資料及邊界條件建立。
- (2). 建立二維全域海流(包括天文潮流、風區流等)模式、包括二維海域之網格分割、水深資料及邊界條件建立。
- (3). 至少引用歷史 8 個具代表性颱風、1 個點型東北季風及 1 個點型西南季風等條件，針對颱風或季風效應產生之海流(包括天文潮流、風驅流等)計算結果，取用現場觀測資料比較驗證。
- (4). 二維及三維流場模式之計算結果特性分析及比較(包括計算速度、操作方便性及適用地域性等)。
- (5). 風場模式改進與整合。(需適用風浪模式、水位模式及流場模式)
 - (a)海上風場模式：引用中央氣象局或 NOAA 等風場資料。
 - (b)颱風風場模式：引用不同之颱風風場模式測試比較及擇優。
- (6). 上一年建立之各種波浪模式精確度及計算速度改進，以自動作業

化方式進行長期數值模擬計算，並取用現場觀測資料進行校驗、修正及各種模式之比較與擇優等。

- (7). 波浪預報模式對年度侵臺颱風及季風盛行時進行模擬現報(nowcast)，由中央氣象局或 NOAA 引進風場資料，並以現場觀測及 NOAA 預報波浪場資料比較評估成果。
- (8). 上一年建立之各種水位數值模式精確度及計算速度改進，以自動作業化方式進行長期數值模擬計算，並取用現場觀測資料進行校驗、修正及各種模式之比較與擇優。
- (9). 水位預報模式對年度侵臺颱風進行模擬現報(nowcast)，由中央氣象局或 NOAA 引進風場資料，並以現場觀測水位資料比較評估成果。
- (10).引用風浪數值模式進行長期波浪推算與觀測資料比較分析，以臺灣環島或離島 16 個以上重要據點建立相關模式(correlation model) ，以增進預報速度及精確度。
- (11).引用水位數值模式進行長期水位模擬與觀測資料之比較分析，並以 7 個商港為重點，以增進預報速度及精確度。
- (12).波浪模式與觀測資料之資料同化(assimilation)，並引用現場觀測網量測波浪資料進行測試。
- (13).臺灣環島近岸長期波浪模擬及觀測資料分析，並以臺灣 7 個商港重要據點推算設計波高。
- (14).臺灣環島近岸長期水位模擬及觀測資料分析，並以推算 7 個商港之全年極大水位(包括天文潮及暴潮)特性為重點。
- (15).更新防救災預報系統網站。(包括各種風力、波浪、水位、流場、數值大小網格及水深資料、現場觀測站等查詢)。(新增流場，並累增風力、波浪、水位、數值網格及水深等資料)。
- (16).數值模式、網站資料及相關資料與技術之轉移。年度結束時，須

將風力、波浪、潮位、流場等數值模擬與現場觀測資料，及電腦模式之相關程式等，裝設於港研中心提供之個人電腦內，並提供其原始程式及相關使用手冊予港研中心。

95 年度(第三年度) 工作項目：

- (1). 建立擴散數值模式:包括三維污染擴散模式(包括水體內之溫度及不同污染物擴散)、二維油污擴散模式等污染擴散推算數值模式。
- (2). 各種擴散模式網格分割 水深資料、邊界條件建立及實例結果驗證。
- (3). 上一年建立之各種波浪模式精確度及計算速度改進，以自動化方式進行全年數值模擬計算，並取用現場觀測資料進行校驗、修正及各種模式之評估成果。
- (4). 波浪預報模式對年度侵臺颱風及季風盛行時進行現報(nowcast)，由中央氣象局或 NOAA 引進風場，並以現場觀測資料比較評估成果。
- (5). 上一年建立之各種水位模式精確度及計算速度改進，以自動化方式進行全年數值模擬計算，並取用現場觀測資料進行校驗、修正及各種模式之評估成果。
- (6). 水位預報模式對年度侵臺颱風進行現報(nowcast)，由中央氣象局或 NOAA 引進風場，並以現場觀測資料比較評估成果。
- (7). 上一年建立之各種海流模式精確度及計算速度改進，以自動化方式進行全年數值模擬計算，並取用現場觀測資料進行校驗、修正及各種模式之比較與擇優等。
- (8). 流場預報模式對年度侵臺颱風及季風盛行時進行現報(nowcast)，由中央氣象局或 NOAA 引進風場，並以現場觀測資料比較評估成果。
- (9). 引用水位數值模式進行長期水位模擬與觀測資料比較分析，並以臺灣環島或離島 16 個以上重要據點建立相關模式(correlation model)。
- (10).引用流場數值模式進行長期流場模擬與觀測資料比較，並以 7 個

商港為重點建立相關模式(correlation model) , 增進預報速度及精確度。

- (11).波浪、水位及流場模式與觀測資料之資料同化(assimilation) , 並引用觀測網量測資料進行測試。
- (12).引用風浪數值模式進行長期波浪模擬與觀測資料比較分析 , 並推算臺灣環島或離島 16 個以上重要據點設計波高。
- (13).引用水位數值模式進行長期水位模擬與觀測資料比較分析 , 並推算臺灣 7 個商港重要據點設計水位。
- (14).臺灣環島近岸長期流場模擬及觀測資料分析 , 並以推算 7 個商港之全年各項海流成份如恒流、潮流、風驅流及沿岸流等(包括颱風、季風)特性為重點。
- (15).引用大域流場數值模式計算之結果為邊界條件 , 以進行 7 個港口之全港區海流推算 , 並以現場觀測海流資料比較驗證。
- (16).建立適用近岸地區之近岸流模式 , 包括潮波、風剪力及輻射應力等外力條件 , 以進行 7 個商港附近海域之近岸流場推算 , 並以現場觀測近岸流場資料比較驗證。
- (17).更新預報系統網站。(各種風力、波浪、水位、流場、數值大小網格及水深資料、現場觀測站等查詢)。(增補風力、波浪、水位、流場及數值網格及水深等資料)。
- (18).數值模式、網站資料及相關資料與技術之轉移。年度結束時 , 須將能對實測風力、波浪、潮位、流場等物理量自動進行品管之電腦模式裝設於港研中心提供之個人電腦內 , 並提供其原始程式及相關使用手冊予港研中心。

96 年度(第四年度) 工作項目 :

- (1). 建立近岸防救災預報地理資訊系統:包括整合風浪預報系統 水位預報系統、流場預報系統、汙染擴散預警系統等 4 個系統。

- (2). 上一年建立之各種波浪模式精確度及計算速度改進，以自動化方式進行全年數值模擬計算，並取用現場觀測資料進行校驗、修正及各種模式之評估成果。
- (3). 波浪預報模式對年度侵臺颱風及季風盛行時進行現報(nowcast)，由中央氣象局或 NOAA 引進風場，並以現場觀測資料比較評估成果。
- (4). 上一年建立之各種水位模式精確度及計算速度改進，以自動化方式進行全年數值模擬計算，並取用現場觀測資料進行校驗、修正及各種模式之評估成果。
- (5). 水位預報模式對年度侵臺颱風進行現報(nowcast)，由中央氣象局或 NOAA 引進風場，並以現場觀測資料比較評估成果。
- (6). 上一年建立之各種海流模式精確度及計算速度改進，以自動化方式進行全年數值模擬計算，並取用現場觀測資料進行校驗、修正及各種模式之評估成果。
- (7). 流場預報模式對年度侵臺颱風及季風盛行時進行現報(nowcast)，由中央氣象局或 NOAA 引進風場，並以現場觀測資料比較評估成果。
- (8). 汚染擴散預警系統，以不同汙染物或漏油事件，進行擴散模擬。
- (9). 建立波浪、水位及流場模式之資料同化(assimilation)系統，以結合數值預報及觀測網量測資料於一體，以增進預報精確度。
- (10).引用風浪、水位及流場數值模式進行長期波浪、水位及流場模擬與觀測資料比較分析，並以臺灣環島或離島 30 個以上重要據點建立相關模式(correlation model) ，以增進預報速度。
- (11).引用風浪數值模式進行長期波浪模擬與觀測資料比較分析，建立臺灣環島或離島 30 個以上重要據點設計波高。
- (12).引用水位數值模式進行長期水位模擬與觀測資料比較分析，建立臺灣環島或離島 30 個以上重要據點設計水位。
- (13).建立近岸防救災預報系統網站。(提供各種風力、波浪、水位、

流場、數值大小網格及水深資料、現場觀測站等查詢功能)。

(14).數值模式、地理資訊系統、網站資料及相關資料與技術之轉移。

年度結束時，須將能對實測風力、波浪、潮位、流場等物理量自動進行品管之電腦模式裝設於港研中心提供之個人電腦內，並提供其原始程式及相關使用手冊予港研中心。

(15).本所海情中心與近岸防救災預報地理資訊系統整合，以建置人性化操作界面。

1.3 預期成果、效益及其應用

計畫完成後，預計分年可以有下述之成果：

93 年度(上一年) 預期成果及效益：

- (1). 建立本土化水位數值模式，可提供環島海域及港區之水位場計算。
- (2). 完成風場模式改進與整合。(適用風浪模式及水位模式)
- (3). 風浪模式之精確度改進，並建立適用近岸地區之波浪模式。
- (4). 年度侵臺颱風波浪模擬預報。
- (5). 建立 7 個商港為重點之風波預報相關模式(correlation model)增進預報速度及精確度。
- (6). 求得環島藍色公路海域及 7 個商港之全年風浪(包括颱風、季風)特性。
- (7). 更新防救災預報系統網站。(包括各種風力、波浪、水位、流場、數值大小網格及水深資料、現場觀測站等查詢)。
- (8). 數值模式、網站資料及相關資料與技術之轉移。

94 年度(本年度) 預期成果及效益：

- (1). 建立本土化流場數值模式，可提供環島海域及港區之流場計算。
- (2). 年度侵臺颱風期及典型季風期之波浪模擬預報及檢驗評估。

- (3). 年度侵臺颱風期之水位(包括暴潮位及天文潮位)模擬預報及評估。
- (4). 建立以臺灣環島或離島 16 個以上重要據點建立風波預報相關模式(correlation model)增進預報速度及精確度。
- (5). 推算以臺灣 7 個商港為重要據點之設計波高。
- (6). 波浪模式之資料同化(assimilation)，引用觀測網量測波浪資料進行測試。
- (7). 建立 7 個商港為重點建立水位預報模式增進預報速度及精確度。
- (8). 推算 7 個國內商港之全年極高水位(包括天文潮及暴潮)特性。
- (9). 更新防救災預報系統網站。(包括各種風力、波浪、水位、流場、數值大小網格及水深資料、現場觀測站等查詢)。
- (10). 數值模式、網站資料及相關資料與技術之轉移。

95 年度(第三年) 預期成果及效益：

- (1). 建立本土化污染擴散數值模式，可提供環島海域及港區之污染擴散計算。
- (2). 年度侵臺颱風期及典型季風期之波浪模擬預報及檢驗。
- (3). 年度侵臺颱風期及典型季風期之水位模擬預報及檢驗。
- (4). 年度侵臺颱風期及典型季風期之海流模擬預報及檢驗。
- (5). 完成以臺灣環島或離島 16 個以上重要據點建立水位預報相關模式(correlation model)增進預報速度及精確度。
- (6). 推算以臺灣環島或離島 16 個以上重要據點之設計波高。
- (7). 波浪、水位及流場模式之資料同化(assimilation)測試。
- (8). 建立適用近岸地區之近岸流模式，以進行 7 個商港附近海域之近岸流場推算。
- (9). 臺灣環島 7 個商港之全年海流特性之數值模擬及資料分析。

- (10). 完成以臺灣環島 7 個商港重要據點流場預報報相關模式 (correlation model)增進預報速度及精確度。
- (11). 更新防救災預報系統網站。(包括各種風力、波浪、水位、流場、數值大小網格及水深資料、現場觀測站等查詢)。
- (12). 數值模式、網站資料及相關資料與技術之轉移。

96 年度(第四年) 預期成果及效益:

- (1). 建立整合性近岸防救災預報系統:包括風浪預報系統、水位預報系統、流場預報系統、汙染擴散預警系統等 4 個系統整合。
- (2). 建立波浪、水位及流場模式之資料同化(assimilation)系統，以結合數值預報及觀測網量測資料於一體。
- (3). 建立本土化之水位預報模式，以整合臺灣環島海岸觀測水位資料，及數值模擬結果，迅速且經確的提供海岸溢淹之預警資訊。
- (4). 建立區域性之風浪模式及流場模式，迅速的提供港口航運安全所需之風浪、流場等預警資訊。
- (5). 配合數值模式推算長期之颱風波浪及暴潮水位,以檢討現有沿海防護設施的設計水位、設計波高標準,提供災害防護措施的依據。
- (6). 建立包括油污及不同污染物擴散數值模式，以能訊速正確掌控海岸各種污染擴散現象，以供環境災害防護措施之使用。
- (7). 配合本所海情中心業務，建立近岸防救災預報網路系統，並採用地理資訊系統之人性化操作界面，以利各界之使用。

第二章 臺灣海域水動力模式

水動力模式計算的項目包含即時水位計算及流場計算，水位變化的主要動力包含週期性的天文潮（潮汐部分）及突發性的氣象潮（風暴潮部分）。天文潮模式在國內外均有許多年的發展經驗，例如國內許多單位使用多年前由美國學者劉肖孔博士所建置的模式；風暴潮主要是由氣象參數中大氣壓力的變化與風場的驅動等因素所引發的海水水位異常變化的現象，與天文潮最大的差異點是其不具週期性，完全受到當時的氣象狀況影響，所以國內以往大多運用颱風數值模式模擬可能的暴潮偏差，且多為海事工程設計所需參數所做之計算，並沒有風暴潮即時預報的相關研究，歐洲由於受到 1953 年風暴潮所造成的溢淹，北海沿岸國家均有非常嚴重的生命及財產的損失，即積極部署建置風暴潮預報的系統。剛開始是在北海沿岸設置一系列的氣象及海象即時觀測站網，並以統計的方法建立報潮水位的預警系統，稱之為關聯模式，數值模式的研究也快速發展，自 1960 年代以解析的方式，或以顯式法計算理想化的情況來探討風場的作用 (Zundermann, 1960)，到複雜的數值模式 (Dronkers, 1969; Abbott, 1973), Lindertse and Liu (1978) 為荷蘭建置風暴潮即時預報模式，歐洲各國也積極發展各自的線上作業預警數值模式，如英國 (Heaps, 1976; Greenberg, 1977; Davies and Flather, 1978; and Flather, 1981)。拜現今電腦科技進步神速，電腦所能提供的運算量比起以前有大幅度的進步，計算的方法也隨之大幅改進，因此許多國家所發展的水位預報數值模式皆已朝向將氣象條件（風速、風向及大氣壓力）的影響直接與天文潮波整合進以全域水動力方程式直接計算，在模式中達成動態平衡，使風暴潮與天文潮的相互影響可以被完整的考慮，如 Yu et al (1994) 為比利時發展的風暴潮線上即時作業預報模式。

本團隊已於上一年度計畫完成建置耦合水位模式，本年度的工作將著重於改進上一年建立之水位數值模式的精確度並合理的改善計

算速度，以自動化方式進行數值模擬計算的長期線上自動操作，並利用現場觀測資料進行校驗及修正模式。同時，亦將使用水位預報模式對本年度侵臺颱風進行模擬現報作業（nowcast），每日由中央氣象局下載域暴風場資料，執行自動預報，並以現場觀測水位資料提供使用者做為比較評估的根據。另外本計劃並應用神經網路的快速學習及可模擬複雜問題的優點，依循 93 年計畫以潮汐預測模式進行平時水位之預測，本年度再以颱風暴潮模式進行颱風期間水位的預測。

流場計算是未來二年的計畫執行重點，本計畫預計先行完成計算二維全域流場的資料，並上線即時操作；三維水動力模式由於計算複雜，所需要的運算能力並非是單一主機可以負擔，對於預報並無實質效益，因此本年度將初步建置，待符合本計畫計算能力之平行計算主機建置完成後，再積極進行三維流場之計算與校驗。

2.1 水位模式

2.1.1 全域水動力模式

本計畫使用歐盟發展的模式-COHERENS 作為水位及海流的計算工具，並配合發展適合臺灣海域颱風作用的颱風模式及參數率定，今年更與中央氣象局每日預報之動態封場結合，成為本土化應用之潮汐及風暴潮複合動力模式。

本模式之水動力模組以三維動量方程式、連續方程式描述海水的運動，動量方程式並採用水靜力平衡（hydrostatic equilibrium）的假設而簡化為僅考慮水平方向之動力傳輸，但仍然維持垂直方向的渦動擴散在水平動力方程中的影響。以顯式有限差分的數值方法將控制方程式在有限差分的格點表示，進而根據各動力項之精度與穩定度之需求，以各種不同的數值方法進行演算。基本的控制方程式如下(Luyten, 1999)：

動量方程式：

$$\frac{\partial u}{\partial t} + u \frac{\partial u}{\partial x_1} + v \frac{\partial u}{\partial x_2} + w \frac{\partial u}{\partial x_3} - fv = -\frac{1}{\rho_0} \frac{\partial p}{\partial x_1} + \frac{\partial}{\partial x_3} \left(v_T \frac{\partial u}{\partial x_3} \right) + \frac{\partial}{\partial x_1} \tau_{11} + \frac{\partial}{\partial x_2} \tau_{21} \quad (2.1.1-1)$$

$$\frac{\partial v}{\partial t} + u \frac{\partial v}{\partial x_1} + v \frac{\partial v}{\partial x_2} + w \frac{\partial v}{\partial x_3} + fu = -\frac{1}{\rho_0} \frac{\partial p}{\partial x_2} + \frac{\partial}{\partial x_3} \left(v_T \frac{\partial v}{\partial x_3} \right) + \frac{\partial}{\partial x_1} \tau_{12} + \frac{\partial}{\partial x_2} \tau_{22} \quad (2.1.1-2)$$

壓力平衡方程式：

$$\frac{\partial p}{\partial x_3} = -\rho g \quad (2.1.1-3)$$

連續方程式：

$$\frac{\partial u}{\partial x_1} + \frac{\partial v}{\partial x_2} + \frac{\partial w}{\partial x_3} = 0 \quad (2.1.1-4)$$

其中，水平剪力則定義如下：

$$\tau_{11} = 2\nu_H \frac{\partial u}{\partial x_1} \quad (2.1.1-7)$$

$$\tau_{21} = \tau_{12} = \nu_H \left(\frac{\partial u}{\partial x_2} + \frac{\partial v}{\partial x_1} \right) \quad (2.1.1-8)$$

$$\tau_{22} = 2\nu_H \frac{\partial v}{\partial x_2} \quad (2.1.1-9)$$

COHERENS 在水平格點分布採用 Arakawa-C Grid (Arakawa, 1979) 交錯網格(如圖 2.1.1-1 所示)，此方式使得流速及壓力、水位的計算點得以交錯開來，可以容易瞭解各計算點所得到的值，同時對於開放或海岸邊界條件的設定也變得較為容易。

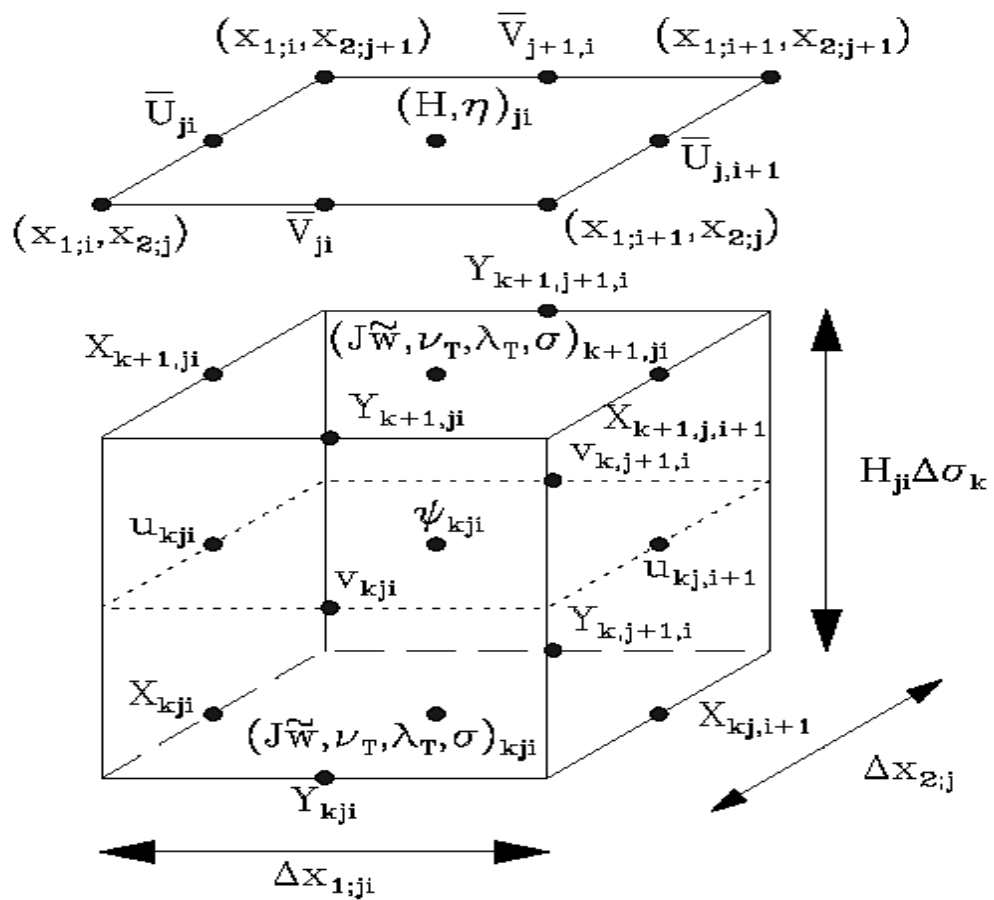


圖 2.1.1-1 二維及三維的格點分佈

(from COHERENS User Documentation)

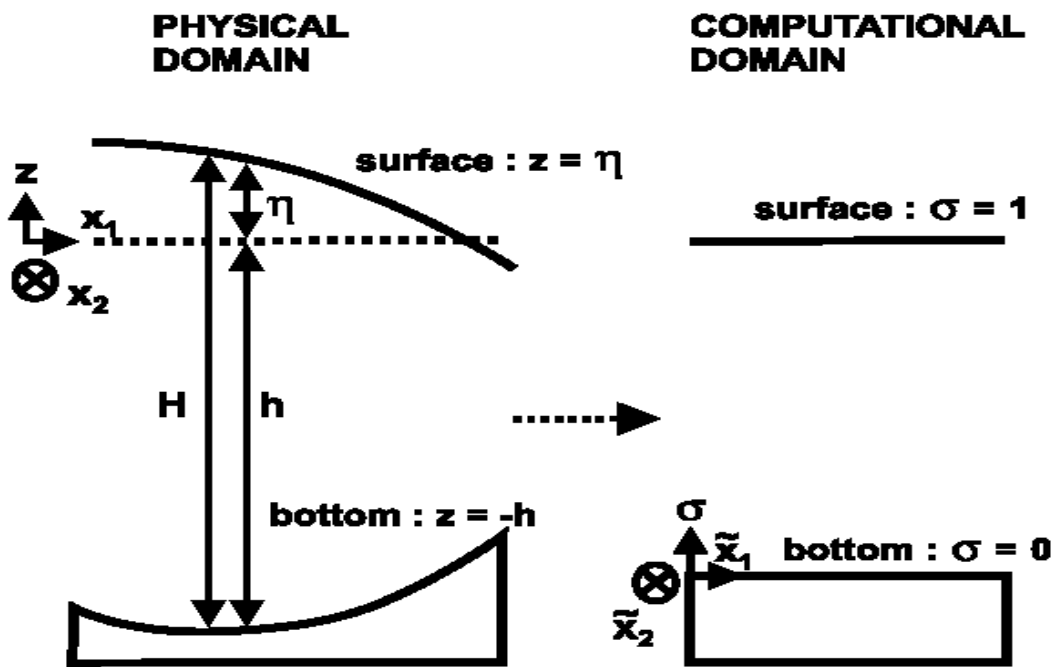


圖 2.1.1-2 垂直方向之 σ 座標系統

(from COHERENS User Documentation)

若以卡式座標系統處理底層邊界的差分計算相當繁複且不易，所以 COHERENS 使用 Sigma 座標系統避免產生這樣的問題，將計算領域中垂直方向的座標，統一劃分成固定數目的層數，這樣的處理方式使得差分計算變得容易且易於了解（如圖 2.1.1-2 所示）。經過座標轉換後，

$$(\tilde{t}, \tilde{x}_1, \tilde{x}_2, \tilde{x}_3) = (t, x_1, x_2, Lf(\sigma)) \text{，其中 } \sigma = \frac{x_3 + h}{H} \text{，方程式可轉換如下：}$$

連續方程式：

$$\frac{1}{J} \frac{\partial J}{\partial t} + \frac{1}{J} \frac{\partial}{\partial \tilde{x}_1} (Ju) + \frac{1}{J} \frac{\partial}{\partial \tilde{x}_2} (Jv) + \frac{1}{J} \frac{\partial}{\partial \tilde{x}_3} (Jw) = 0 \quad (2.1.1-10)$$

動量方程式：

$$\begin{aligned} \frac{1}{J} \frac{\partial}{\partial t} (Ju) + \frac{1}{J} \frac{\partial}{\partial \tilde{x}_1} (Ju^2) + \frac{1}{J} \frac{\partial}{\partial \tilde{x}_2} (Juv) + \frac{1}{J} \frac{\partial}{\partial \tilde{x}_3} (Jwu) - fv = \\ -g \frac{\partial \zeta}{\partial \tilde{x}_1} - \frac{1}{\rho_0} \frac{\partial \rho_a}{\partial \tilde{x}_1} + Q_1 + \frac{1}{J} \frac{\partial}{\partial \tilde{x}_3} \left(\frac{\nu_T}{J} \frac{\partial u}{\partial \tilde{x}_3} \right) + \frac{1}{J} \frac{\partial}{\partial \tilde{x}_1} (J\tau_{11}) + \frac{1}{J} \frac{\partial}{\partial \tilde{x}_2} (J\tau_{21}) \end{aligned} \quad (2.1.1-11)$$

$$\begin{aligned} & \frac{1}{J} \frac{\partial}{\partial t} (Jv) + \frac{1}{J} \frac{\partial}{\partial x_2} (Jv^2) + \frac{1}{J} \frac{\partial}{\partial x_1} (Ju v) + \frac{1}{J} \frac{\partial}{\partial x_3} (J\tilde{w}u) + fu = \\ & -g \frac{\partial \zeta}{\partial x_2} - \frac{1}{\rho_0} \frac{\partial \rho_a}{\partial x_2} + Q_2 + \frac{1}{J} \frac{\partial}{\partial x_3} \left(\frac{\nu_T}{J} \frac{\partial v}{\partial x_3} \right) + \frac{1}{J} \frac{\partial}{\partial x_1} (J\tau_{12}) + \frac{1}{J} \frac{\partial}{\partial x_2} (J\tau_{22}) \end{aligned} \quad (2.1.1-12)$$

壓力平衡方程式

$$\frac{1}{J} \frac{\partial q_d}{\partial x_3} = -g \left(\frac{\rho - \rho_0}{\rho_0} \right) \quad (2.1.1-13)$$

其中

$$\begin{aligned} Q_i &= -\frac{1}{J} \frac{\partial}{\partial x_i} (Jq_d) + \frac{1}{J} \frac{\partial}{\partial x_3} \left[q_d \left(\sigma \frac{\partial H}{\partial x_i} - \frac{\partial h}{\partial x_i} \right) \right] \\ J &= H \left/ \left(L \frac{df}{d\sigma} \right) \right. \\ \tilde{w} &= \frac{\partial \tilde{x}_3}{\partial t} + u \frac{\partial \tilde{x}_3}{\partial x_1} + v \frac{\partial \tilde{x}_3}{\partial x_2} + w \frac{\partial \tilde{x}_3}{\partial x_3} \end{aligned}$$

2.1.1.1 紊流的計算

海洋流場模擬計算時，最常碰到的問題是如何在垂直交換過程中輸入一個合理的邊界層係數，通常也就是紊流系數的處理，這些系數不只影響了流場及溫鹽場計算的結果，相對地也影響了生物、沉積物及營養鹽計算的合理性，所以這些係數的給定是相當重要的。為了得到在模擬中得到合理的垂直擴散係數，有許多研究提供不同的數值方法進行演算，於 COHERENS 中也包含了數種常用的方法，最通用於海洋計算的是 2.5D Turbulence closure scheme (Mellor 和 Yamada, 1982)，這些數值方法涵蓋以下數個物理過程的影響：

- 底層摩擦力而造成的紊流
- 表層風場所造成的紊流
- 由於波和流在底層的交互作用加強底部摩擦而造成的紊流
- 季節循環造成溫度的不同產生的變化，包括斜溫層的升降
- 因河口淡水注入海水，在水層交界處引發剪應力造成的混合

2.1.1.2 水平擴散之計算

水平擴散係數則以通用的 Smagorinsky 參數化條件（1963），使用格點間隔大小設定，計算的方程式如下：

$$\nu_H = C_{m0} \Delta x_1 \Delta x_2 D_T , \lambda_H = C_{s0} \Delta x_1 \Delta x_2 D_T$$

其中在模式中 C_{m0} 及 C_{s0} 之數值係數預設為相等的值，

$$D_T^2 = \left(\frac{\partial u}{\partial x_1} \right)^2 + \left(\frac{\partial v}{\partial x_2} \right)^2 + \frac{1}{2} \left(\frac{\partial u}{\partial x_2} + \frac{\partial v}{\partial x_1} \right)^2 , \Delta x_1 \text{ 及 } \Delta x_2 \text{ 為格點的間隔大小。}$$

2.1.1.3 對流項的計算

對流項的計算會由於因為數值方法產生的誤差造成數值擴散，震盪，甚至有負值的產生，但是高階的數值方法又極為繁複耗時，所以 COHERENS 提供幾種常用的數值方法，提供使用者可以根據其應用的案例流場情況的需求，自行決定使用簡易的 Upwind scheme、Lax-Wendroff scheme，或複雜的 TVD superbee scheme 及 TVD monotonic scheme。模式預設的數值方法為第三種，即 TVD superbee scheme，此法雖然仍有些微程度的數值擴散現象，但計算結果仍然比其他三種的數值方法準確。由於計算中變數可大可小，當變數極小時，數值方法而造成的擴散過大會使得計算的結果不能呈現出合理結果，尤其是鋒面的計算，所以對流項的計算正確與否，顯得特別重要。

2.1.1.4 邊界條件

1. 表面邊界

水平流速的表面邊界為由風產生的剪力函數，表示如下：

$$\rho_0 \frac{\nu_T}{J} \left(\frac{\partial u}{\partial \tilde{x}_3}, \frac{\partial v}{\partial \tilde{x}_3} \right) = (\tau_{s1}, \tau_{s2}) = \rho_a C_D^s (U_{10}^2 + V_{10}^2)^{1/2} (U_{10}, V_{10}) \quad (2.1.1-14)$$

邊界其中 U_{10} 及 V_{10} 為水表面上方 10 公尺的風速， ρ_a 為空氣密度。

2.底層

底層邊界剪力同樣也是由水平流速所造成，表示如下：

$$\frac{\rho_0 v_T}{J} \left(\frac{\partial u}{\partial \tilde{x}_3}, \frac{\partial v}{\partial \tilde{x}_3} \right) = (\tau_{b1}, \tau_{b2}) \quad (2.1.1-15)$$

在模式中有三種計算方式可以選擇：

- 底層無剪力
- 二次方摩擦方程式
- 線性摩擦方程式

3.開放邊界條件與陸地邊界條件

模式使用矩形格點，分成東西南北四個邊界，邊界條件可以設定為開放的海洋、河川以及陸地邊界。邊界的輸入型式分則有以下數種：

- 無水流進入
- 使用調和分析之形式輸入水位
- 使用調和分析之形式輸入流速
- 同時使用調和分析之形式輸入流速及水位

4.表層曳引係數(Surface Drag coefficient)

由前面的表層邊界敘述可以知道表面剪力主要是受到風場的吹拂而產生，其中將風速轉換成剪力最重要的就是曳引係數（drag coefficient） C_D^s 的選擇以及風速的大小。一般來說風速皆是取海表面上方 10m 之風速，而 drag coefficient 則可由前人所推算出的經驗式得到。模式提供了五種 drag coefficient 讓使用者選擇：

- 固定常數 $C_D^s = 0.0013$ (可自行設定)
- Large and Pond (1981)

$$C_D^s = 0.0012 \quad |U_{10}| < 11 \text{ m/s}$$

$$C_D^s = 10^{-3} (0.49 + 0.065 |U_{10}|) \quad |U_{10}| \geq 11 \text{ m/s}$$

- Smith and Banke (1975)

$$C_D^s = 10^{-3} (0.63 + 0.066 |U_{10}|)$$

- Geernaert et al. (1986)

$$C_D^s = 10^{-3} (0.43 + 0.097 |U_{10}|)$$

- Charnock (1955)

$$\ln\left(\frac{z_a g}{a |U_{10}|^2}\right) - \ln C_D^s = \frac{\kappa}{(C_D^s)^{1/2}}$$

其中 $z_a = 10 \text{ m}$, $a = 0.014$ (Charnock's constant)

5. 氣象參數

氣象參數包含表面風速、大氣溫度、大氣壓力、雲量遮蓋率、相對濕度、水氣蒸發量、太陽幅射能及水體能量消失等因子，表 2-1。模式中，氣象所造成之變化影響著水溫、生化反應（例如光合作用）、空氣與水表面間交換（例如氧氣交換）等變化。其中水氣蒸發量 (E_{vap})、太陽幅射能 (Q_{SOL}) 及水體能量散失 (Q_{nsol})，由模擬時間、地點及氣候因素輸入方程式計算得知，其餘參數可由模擬地點當地資料提供。

$$E_{vap} = Q_{la} / L_V \quad (2.1.1-16)$$

其中 Q_{la} 為潛熱 (latent heat flux) 散失，

$L_V = 2.5008 \times 10^6 - 2300 T_S$ 為水氣蒸發所散失之能量 (J kg^{-1})，

T_S 為水表面之水溫 ($^\circ\text{C}$)。

$$Q_{SOL} = Q_{CS} (1 - 0.62 f_C + 0.0019 \gamma_{\theta,\max}) (1 - A_S) \quad (2.1.1-17)$$

$$Q_{nsol} = Q_{la} + Q_{se} + Q_{lw} \quad (2.1.1-18)$$

Q_{CS} 為晴朗天氣下之總幅射能， f_c 為雲量遮蓋率（0~1）， $\gamma_{\theta,\max}$ 為太陽在中午時之高角度， A_s 為水表面之反射率，一般海表面為 0.06。

2.1.1.5 其他特色

為了加快計算的進行，COHERENS 使用 Mode Splitting 方法。由於密度所造成內部重力波的傳遞並不像表面重力波那麼明顯，將受重力波速度限制的水深平均正壓模組（主要為水位變化）與受斜壓主導（主要為溫度、鹽度等之變化）的垂直循環分開計算。如此，雖然正壓模式因時間步長必須滿足數值穩定條件的限制，但是僅需計算一層，所以可使計算速度加快；每隔一段時間後，再以正壓模組計算之水位代入斜壓模組計算其垂直流場的變化。溫度及鹽度的傳輸模式亦同時以更新的垂直流場重新計算其溫、鹽場的分佈狀況。

整體說來，COHERENS 中的水動力模組包含了以下數個特色：

1. 採用 Mode-splitting 的方法計算動量及連續方程式，加快計算的時間。
2. 溫度場及鹽度場的模擬。
3. 包含了光照的影響，表層水體因光照而產生的溫度變化可加入模式中。
4. 在動量及紊流方程式中密度的影響藉由 equation of state 來計算。
5. 紊流的影響藉由數種不同的演算方法而獲得。
6. 包括了表面風場的影響。
7. 包含波流交互作用所造成底部剪應力的加強所造成的影響。
8. 利用不同的演算法來避免計算對流項時所造成的數值擴散。

表 2.1.1-1 即為 COHERENS 使用之參數

表 2.1.1-1 COHERENS 中使用之參數

v_T , λ_T	垂直渦流 (eddy) 黏滯係數
v_H , λ_H	水平擴散係數
ρ	水體密度 (kg/m^3)
ρ_0	reference density (kg m^{-3})
f	科氏力
g	重力加速度 (m/s^2)
u , v , w	x、y 及 z 方向流速 (m/s)
x_1 , x_2 , x_3	代表 X、Y、Z 方向
h	水深 (m)
ζ	水位變化 (m)
H	$h + \zeta$
t	時間
p_a	大氣壓力 (N/m^2)
C_D^s	拖曳係數
ρ_a	空氣密度 (kg/m^3)
U_{10}, V_{10}	x 及 y 方向風速 (m/s)
Q_{sol}	太陽幅射能 (Wm^{-2})
Q_{nsol}	水體能量散失 (Wm^{-2})
Q_{la}	潛熱散失
Q_{se}	水表面之熱交換
Q_{lw}	長波幅射散失

2.1.1.6 COHERENS 運算流程

COHERENS 計算流程分為兩部分，一為產生初始值之前處理流程，如圖 2.1.1-3，一為計算流程，如圖 2.1.1-4。

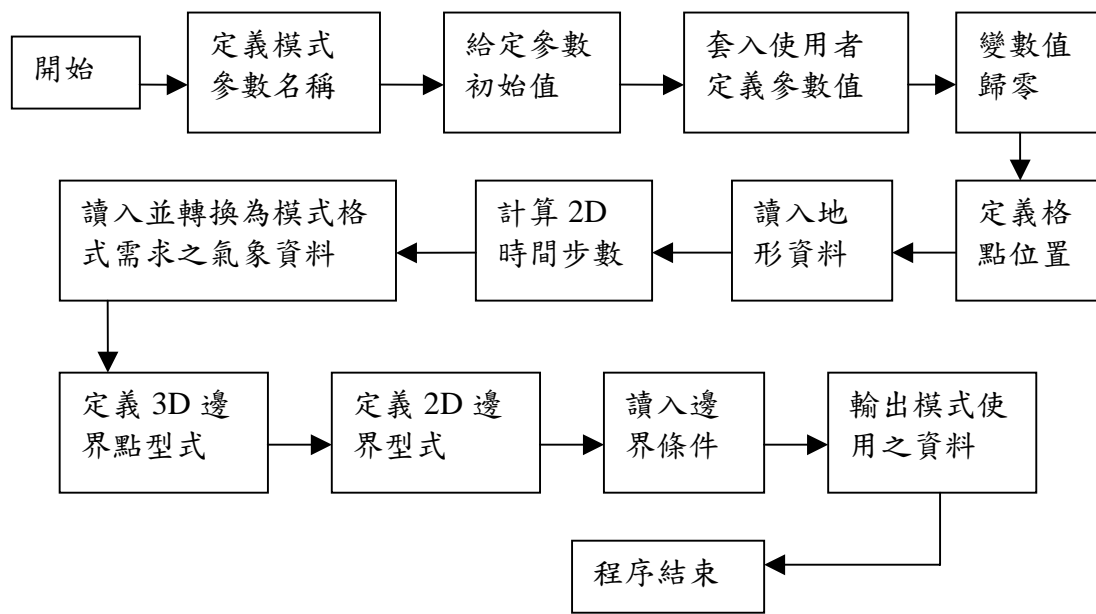


圖 2.1.1-3 COHERENS 前處理流程

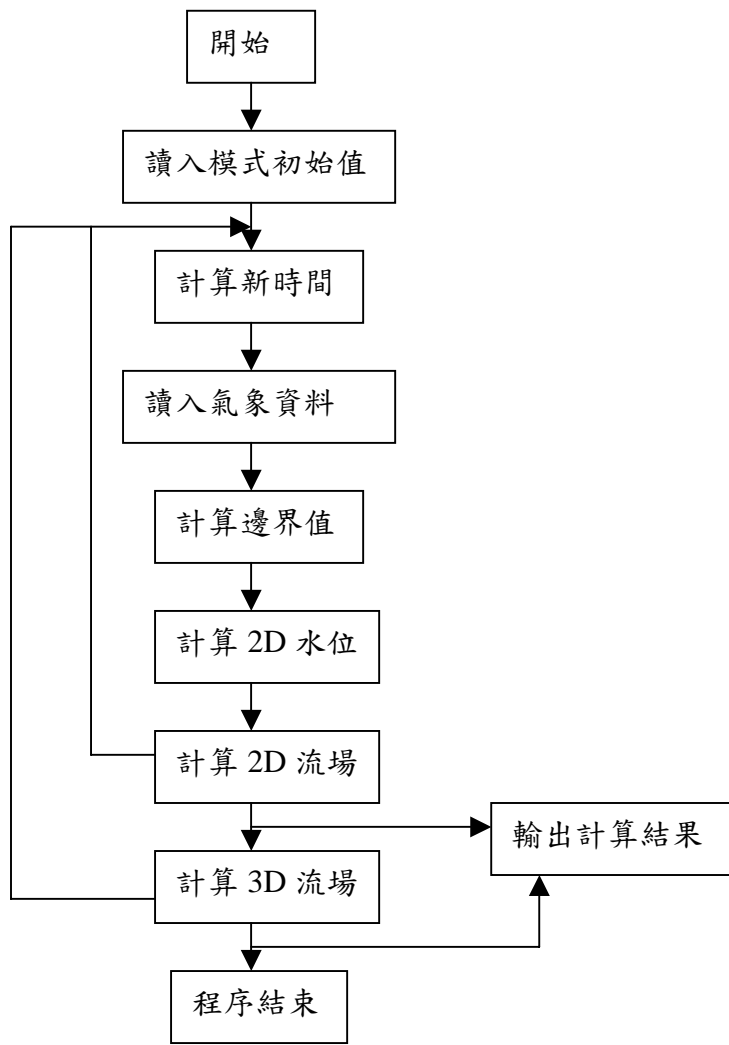


圖 2.1.1-4 COHERENS 計算流程

2.1.1.7 二維水位計算

由於二維水平動力模式計算較為迅速，且潮波運動是以重力波的形式傳遞，所以水位模擬可以二維水深平均的動力行為計算。由於二維模式的基本假設為垂直流速較水平流速小很多，因此垂直方向的變化可以忽略，將水深平均流速定義如下：

$$(\bar{U}, \bar{V}) = \int_0^L (u, v) d\tilde{x}_3 \quad (2.1.1-19)$$

所以二維水平動力控制方程式可以簡化為：

動量方程式

$$\begin{aligned} \frac{\partial \bar{U}}{\partial \tilde{t}} + \frac{\partial}{\partial \tilde{x}_1} \left(\frac{\bar{U}^2}{H} \right) + \frac{\partial}{\partial \tilde{x}_2} \left(\frac{\bar{V}\bar{U}}{H} \right) + f\bar{V} = \\ -gH \frac{\partial \zeta}{\partial \tilde{x}_1} - \frac{H}{\rho_0} \frac{\partial p_a}{\partial \tilde{x}_1} + \bar{Q}_1 + \frac{1}{\rho_0} (\tau_{s1} - \tau_{b1}) + \frac{\partial \bar{\tau}_{11}}{\partial \tilde{x}_1} + \frac{\partial \bar{\tau}_{21}}{\partial \tilde{x}_2} - \bar{A}_1^h + \bar{D}_1^h \end{aligned} \quad (2.1.1-20)$$

$$\begin{aligned} \frac{\partial \bar{V}}{\partial \tilde{t}} + \frac{\partial}{\partial \tilde{x}_1} \left(\frac{\bar{U}\bar{V}}{H} \right) + \frac{\partial}{\partial \tilde{x}_2} \left(\frac{\bar{V}^2}{H} \right) - f\bar{U} = \\ -gH \frac{\partial \zeta}{\partial \tilde{x}_2} - \frac{H}{\rho_0} \frac{\partial p_a}{\partial \tilde{x}_2} + \bar{Q}_2 + \frac{1}{\rho_0} (\tau_{s2} - \tau_{b2}) + \frac{\partial \bar{\tau}_{12}}{\partial \tilde{x}_1} + \frac{\partial \bar{\tau}_{22}}{\partial \tilde{x}_2} - \bar{A}_2^h + \bar{D}_2^h \end{aligned} \quad (2.1.1-21)$$

連續方程式

$$\frac{\partial \zeta}{\partial \tilde{t}} + \frac{\partial \bar{U}}{\partial \tilde{x}_1} + \frac{\partial \bar{V}}{\partial \tilde{x}_2} = 0 \quad (2.1.1-22)$$

其中

$$(\bar{Q}_1, \bar{Q}_2) = \int_0^L J(Q_1, Q_2) dz$$

$$\tau_{11} = 2\bar{\nu}_H \frac{\partial}{\partial \tilde{x}_1} \left(\frac{\bar{U}}{H} \right)$$

$$\tau_{21} = \tau_{12} = \bar{\nu}_H \left[\frac{\partial}{\partial \tilde{x}_2} \left(\frac{\bar{U}}{H} \right) + \frac{\partial}{\partial \tilde{x}_1} \left(\frac{\bar{V}}{H} \right) \right]$$

$$\tau_{22} = 2\bar{\nu}_H \frac{\partial}{\partial \tilde{x}_2} \left(\frac{\bar{V}}{H} \right)$$

$$\bar{\nu}_H = \int_0^L \nu_H J d\tilde{x}_3$$

$$\bar{A}_1^h = \int_0^L \left[\frac{\partial}{\partial \tilde{x}_1} (Ju'^2) + \frac{\partial}{\partial \tilde{x}_2} (Ju'v') \right] d\tilde{x}_3$$

$$\bar{A}_2^h = \int_0^L \left[\frac{\partial}{\partial \tilde{x}_1} (Ju'v') + \frac{\partial}{\partial \tilde{x}_2} (Jv'^2) \right] d\tilde{x}_3$$

$$\overline{D}_1^h = \int_0^L \left\{ \frac{\partial}{\partial \tilde{x}_1} \left(2\nu_H J \frac{\partial u'}{\partial \tilde{x}_1} \right) + \frac{\partial}{\partial \tilde{x}_2} \left[\nu_H J \left(\frac{\partial u'}{\partial \tilde{x}_2} + \frac{\partial v'}{\partial \tilde{x}_1} \right) \right] \right\} d\tilde{x}_3$$

$$\overline{D}_2^h = \int_0^L \left\{ \frac{\partial}{\partial \tilde{x}_2} \left(2\nu_H J \frac{\partial v'}{\partial \tilde{x}_1} \right) + \frac{\partial}{\partial \tilde{x}_1} \left[\nu_H J \left(\frac{\partial u'}{\partial \tilde{x}_2} + \frac{\partial v'}{\partial \tilde{x}_1} \right) \right] \right\} d\tilde{x}_3$$

$$(u', v') = (u - \bar{U}/H, v - \bar{V}/H)$$

實際計算由於模式範圍相當大，為避免圓曲率的誤差，所以需將卡氏座標轉換成球面座標，網格格點皆是以經緯度來表示，二維水動力控制方程式改寫如下：

動量方程式

$$\begin{aligned} \frac{\partial \bar{U}}{\partial \tilde{t}} + \frac{1}{R \cos \phi} \frac{\partial}{\partial \lambda} \left(\frac{\bar{U}^2}{H} \right) + \frac{1}{R \cos \phi} \frac{\partial}{\partial \phi} \left(\cos \phi \frac{\bar{V} \bar{U}}{H} \right) - \frac{\tan \phi}{R} \frac{\bar{U} \bar{V}}{H} = \\ 2\Omega \sin \phi \bar{V} - \frac{H}{R \cos \phi} \left(g \frac{\partial \zeta}{\partial \lambda} + \frac{1}{\rho_0} \frac{\partial p_a}{\partial \lambda} \right) + \bar{Q}_\lambda + \frac{1}{\rho_0} (\tau_{s\lambda} - \tau_{b\lambda}) + \end{aligned} \quad (2.1.1-23)$$

$$\begin{aligned} \frac{1}{R \cos \phi} \frac{\partial \bar{\tau}_{\lambda\lambda}}{\partial \lambda} + \frac{1}{R \cos \phi} \frac{\partial}{\partial \phi} \left(\cos \phi \bar{\tau}_{\phi\lambda} \right) - \frac{\tan \phi}{R} \bar{\tau}_{\phi\lambda} - \bar{A}_\lambda^h + \bar{D}_\lambda^h \\ \frac{\partial \bar{V}}{\partial \tilde{t}} + \frac{1}{R \cos \phi} \frac{\partial}{\partial \lambda} \left(\frac{\bar{V} \bar{U}}{H} \right) + \frac{1}{R \cos \phi} \frac{\partial}{\partial \phi} \left(\cos \phi \frac{\bar{V}^2}{H} \right) + \frac{\tan \phi}{R} \frac{\bar{U}^2}{H} = \\ -2\Omega \sin \phi \bar{U} - \frac{H}{R} \left(g \frac{\partial \zeta}{\partial \phi} + \frac{1}{\rho_0} \frac{\partial p_a}{\partial \phi} \right) + \bar{Q}_\phi + \frac{1}{\rho_0} (\tau_{s\phi} - \tau_{b\phi}) + \end{aligned} \quad (2.1.1-24)$$

連續方程式

$$\frac{\partial \zeta}{\partial t} + \frac{1}{R \cos \phi} \frac{\partial \bar{U}}{\partial \lambda} + \frac{1}{R \cos \phi} \frac{\partial}{\partial \phi} (\cos \phi \bar{V}) = 0 \quad (2.1.1-25)$$

本計畫西太平洋大範圍模式之潮汐邊界條件是利用全球潮汐模式 (Schwiderski, 1982) 資料產生邊界上各點之分潮振幅及相位，使用分潮為 O1、P1、Q1 及 K1 四個主要全日潮以及 N2、M2、S2 及 K2 四個主要半日潮，共 8 個分潮重組後輸入邊界。

風場及氣壓場輸入部分，去年度由於推算的颱風期間還未取得中央氣象局提供之動態預報風場，因此仍舊使用傳統之颱風風場模式模擬颱風時的風場及氣壓場，今年度已取得中央氣象局動態風場，為配合上線作業，均以此作為模式風場及氣壓的輸入值，圖 2.1.1-5 為中央氣象局之動態風場資料氣壓場分佈圖範例。

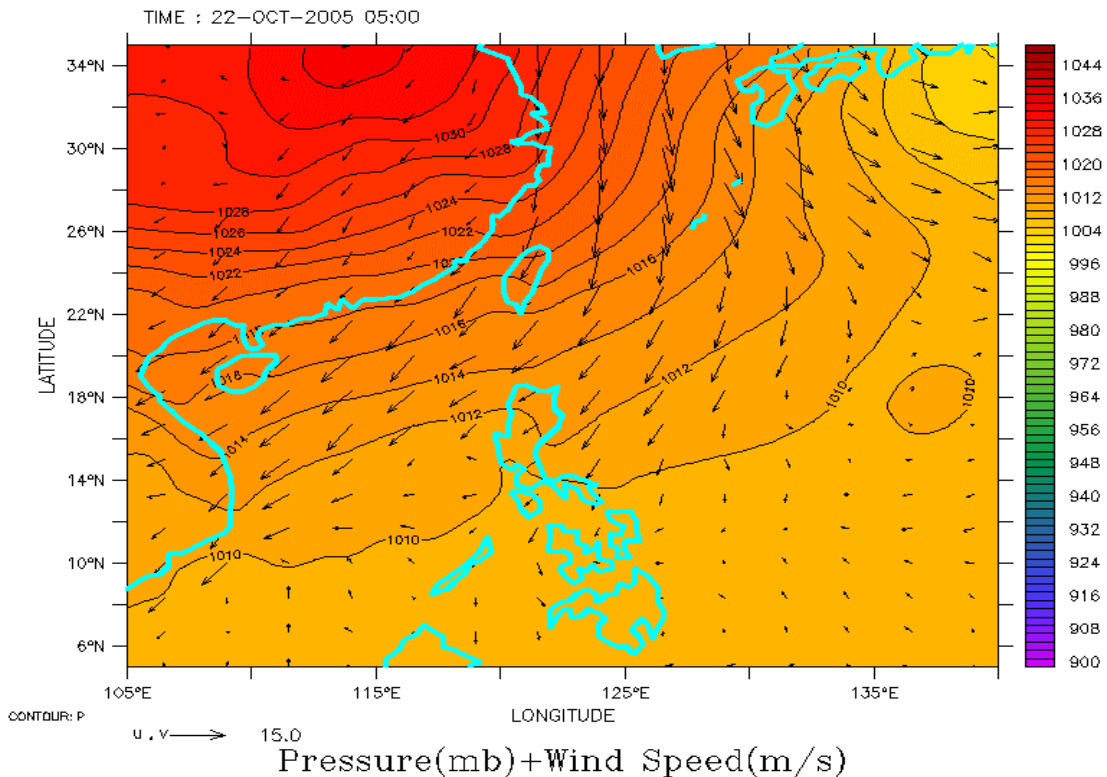


圖 2.1.1-5 氣象局之動態風場氣壓場

(本團隊根據中央氣象局預報資料繪製)

圖 2.1.1-6 至 圖 2.1.1-11 為今年度海棠颱風（2005 年 7 月 16 日至 20 日）及泰利颱風期間（2005 年 8 月 30 日至 9 月 2 日）模式水位與實測水位比對圖，目前尚船隻時測資料僅有四個測站資料（花蓮、基隆、臺中及蘇澳）。海棠颱風期間，由於臺中測站資料量不足，因此未加入比對；泰利颱風期間，蘇澳測站資料量不足，也未加入比對。由於港研中心提供實測資料時並未提供基準水位，因此僅得以人工依據資料推算。花蓮測站比對結果，在颱風還未來之前（07/16 以前），

水位維持在 0.4~-0.6 公尺之間變化模式結果也與實測資料吻合，至海棠颱風接近臺灣之後，水位則在 1.0~-1.2 公尺間變化，實測資料於 07/18 後中斷，至 19 日後又回復，然可發現其最大水位與颱風前接近，最低水位則接近-1.6 公尺，模式結果在此段時間高估最大水位，低估最低水位，推測有可能觀測資料於 07/19 後移位，導致基準水面與之前不同，因此造成整段資料偏移。基隆測站則與前一年度相同，比對結果相當不好，此部分推測為模式解析度無法準確描繪基隆附近的地形，導致計算結果不良。蘇澳測站部分，至海棠颱風接近臺灣後即中斷資料，然仍可看到颱風的影響，颱風來之前（07/16 以前）水位於 0.4~-0.6 公尺間變化，此部分模式結果與實測資料吻合；颱風接近後水位增至 1.0 左右，最低水位則維持在-0.6 公尺左右，此部分模式結果也與實測資料相當吻合；颱風後期沒有實測資料，因此無法進行比對，此時模式推算出最高水位為 1 公尺，最低水位為-1 公尺。

泰利颱風期間，花蓮測站模式結果與實測資料大致吻合，惟最大水位沒有模擬到，出現最大水位為 1.2 公尺，推測為氣象局預報風場與實際颱風行進路線有差距。基隆測站同海棠颱風，比對結果相當不好。臺中測站於颱風期間，模式結果與實測資料相當吻合，因颱風產生最大水位接近 2 公尺，最低水位為-2 公尺。

颱風期間由於風速較大，造成水流速度較快波浪較大，儀器容易遭破壞，因此收集資料較為不易，資料中斷為可預期狀況，然模式比對需使用大量的實測資料，此部分仍須港研中心支援。

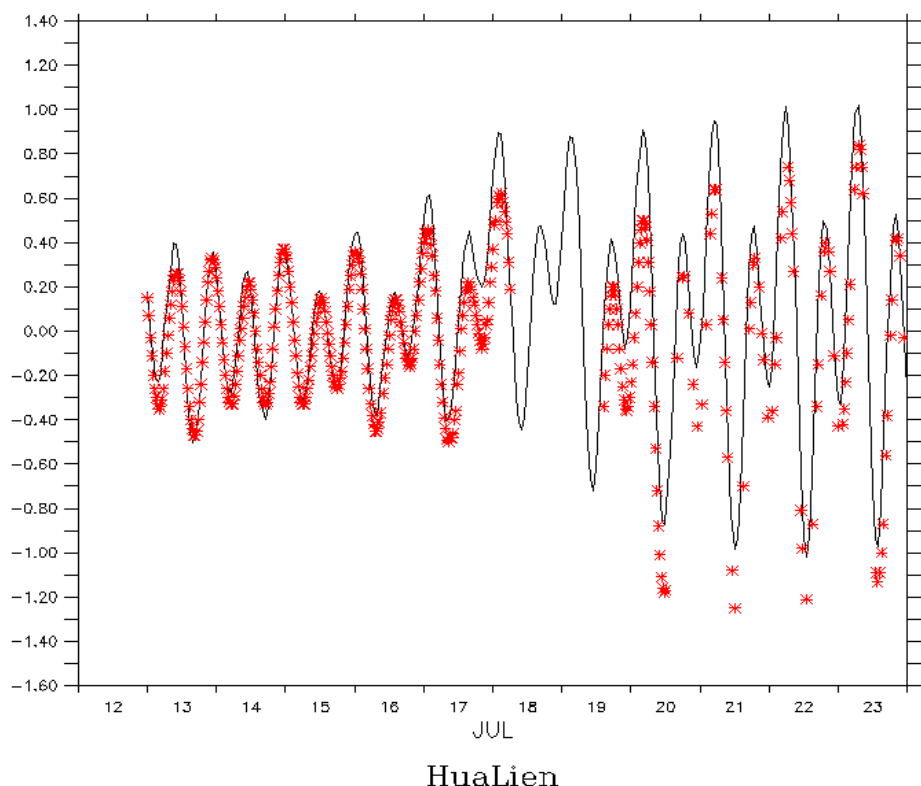


圖 2.1.1-6 海棠颱風期間花蓮測站水位比對圖

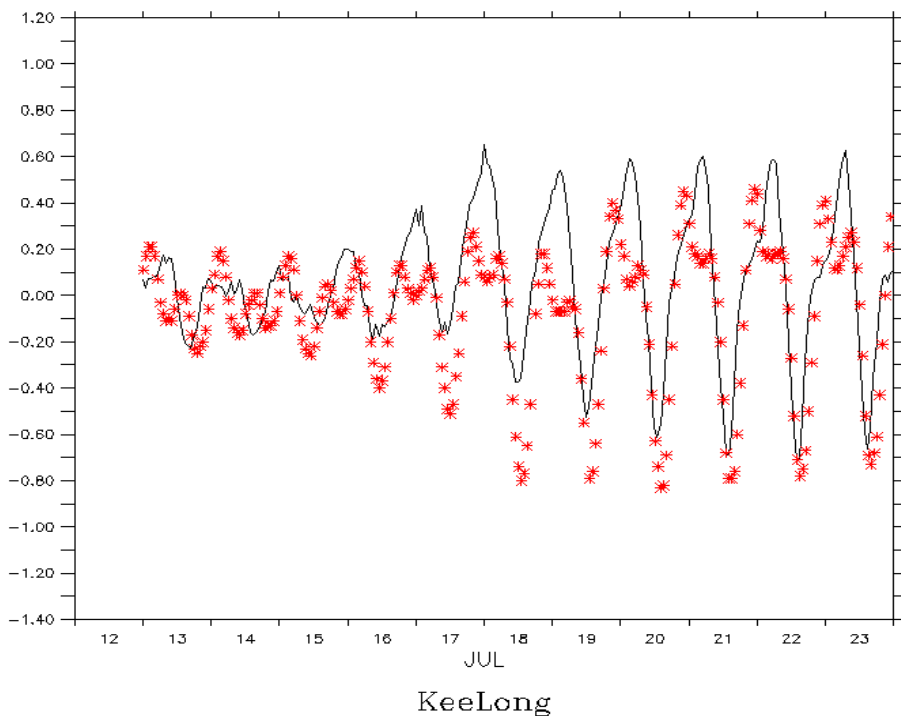


圖 2.1.1-7 海棠颱風期間基隆測站水位比對圖

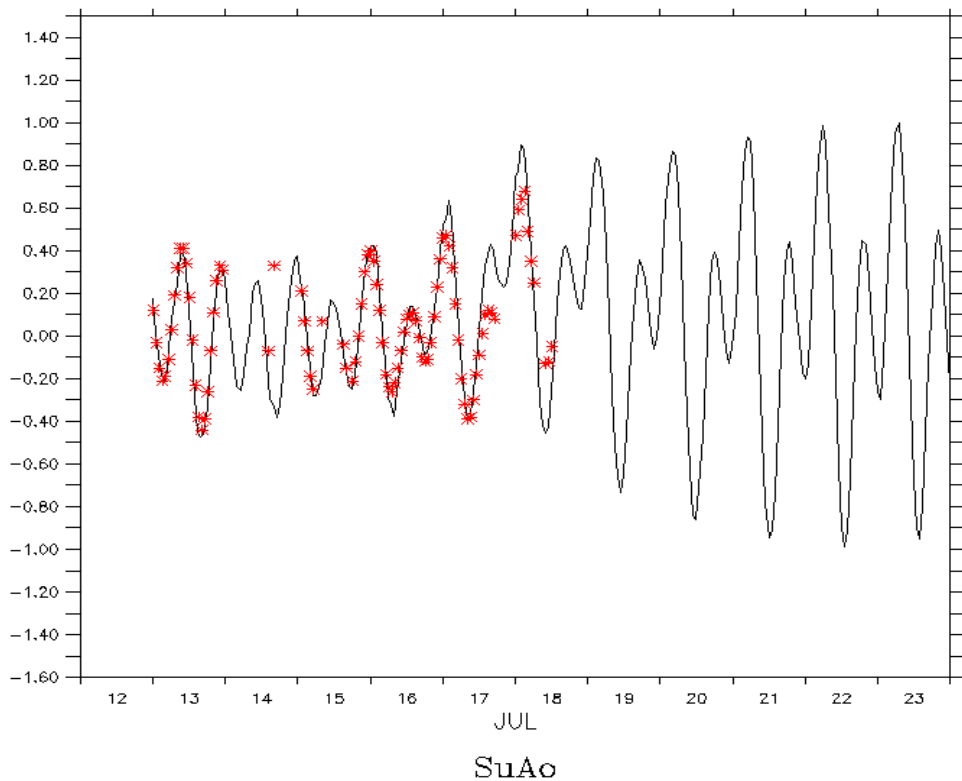


圖 2.1.1-8 海棠颱風期間蘇澳測站水位比對圖

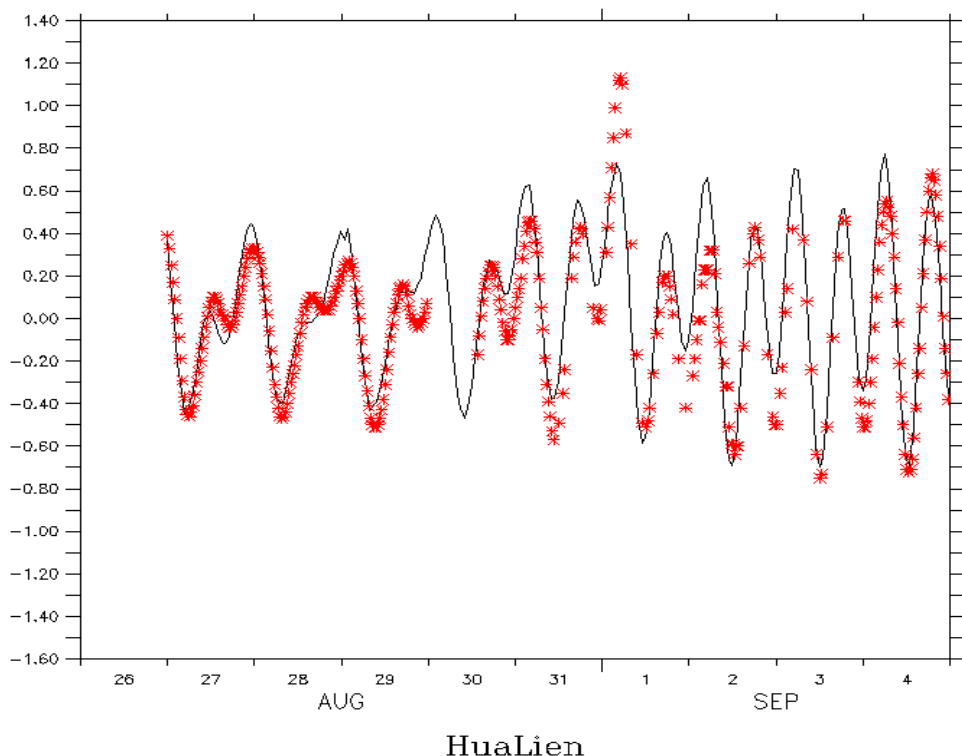


圖 2.1.1-9 泰利颱風期間花蓮測站水位比對圖

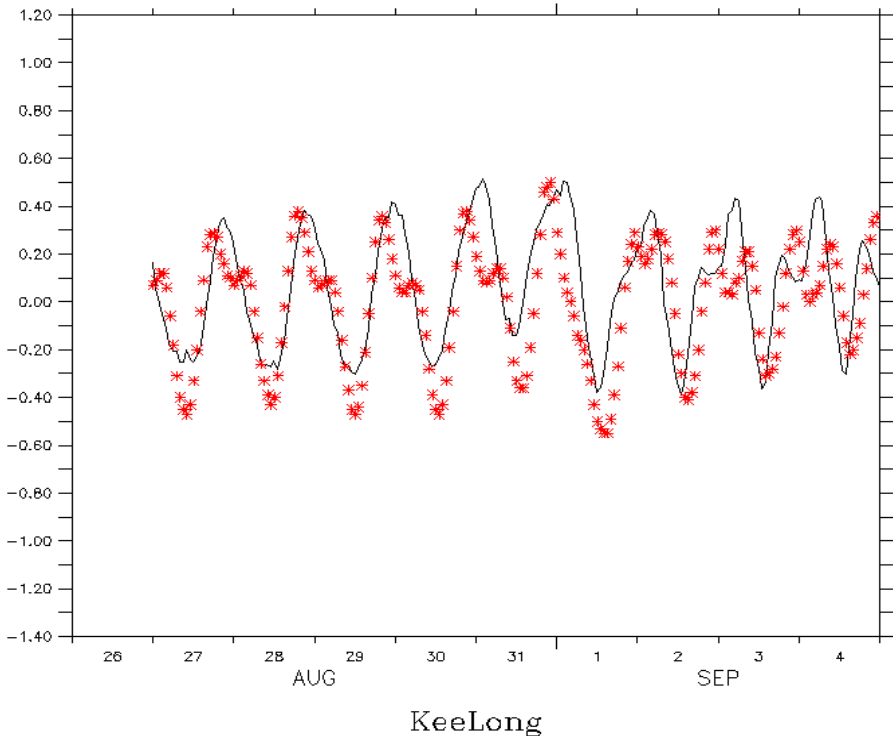


圖 2.1.1-10 泰利颱風期間基隆測站水位比對圖

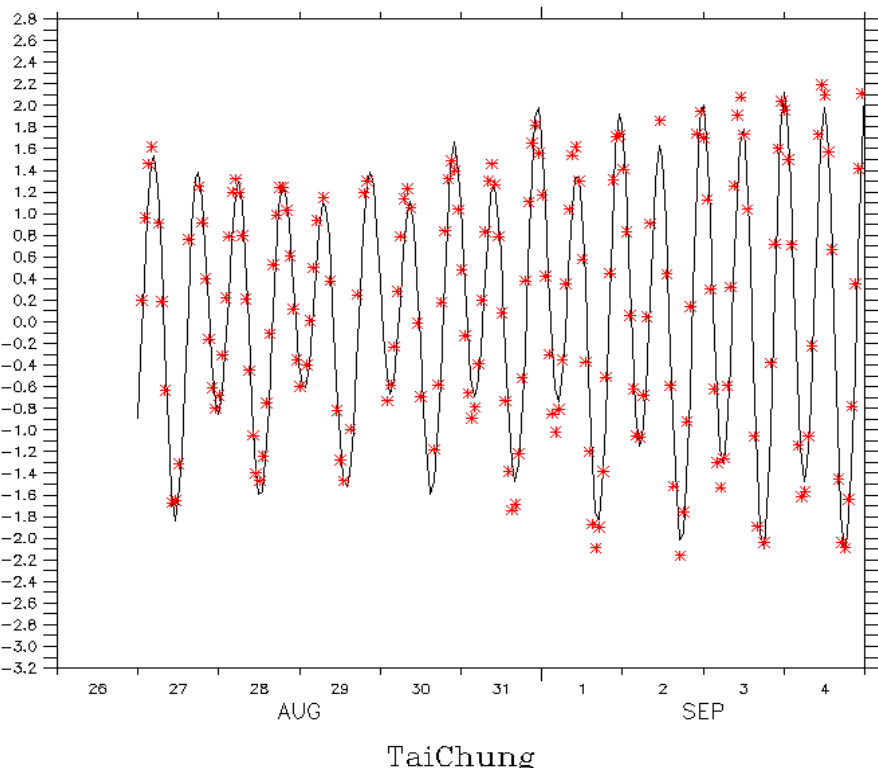


圖 2.1.1-11 泰利颱風期間臺中測站水位比對圖

2.1.2 定點類神經網路水位模式

本計劃將應用神經網路的快速學習及可模擬複雜問題的優點。依循 93 年計畫將以潮汐預測模式進行平時水位之預測，本年度再以颱風暴潮模式進行颱風期間水位的預測。

2.1.2.1 神經網路潮位預測模式

潮汐之水位升降運動對於海岸活動、海岸結構的設計高程及海港船隻進出安全有相當影響。因此，如何正確預測潮汐是相當重要的。往昔利用潮位測站實際量測資料，以瞭解潮汐的水位高低變化，並利用調和分析法(harmonic analysis)分析潮位之各分潮的特性 Darwin (1907)。而各分潮之分潮頻率則由天文球體運動理論求得，(Doodson 1921; Desai 1996)。最後以最小二乘法(least-square error method)來求取各分潮之振幅及相位角。分潮個數的選擇則依資料之長度而有所不同，一般 365 天之每時水位紀錄需 20 至 30 個分潮，才能滿足相近分潮頻率的分離。Le Provost et al. (1998) 則使用 26 個分潮於數值模式中進行潮位預測分析。

而以衛星資料進行調和分析法時，則受限於資料的取樣時間間隔及數據長短，導致於調和分析時無法有效的求解相近的分潮振幅及相位角，因此利用正交潮法之優點進行少量參數來定義平滑的潮位導納(tidal admittance)，並由潮位導納求解給定之各分潮參數，(Munk and Cartwright 1966; Groves and Reynolds 1975)。而反應正交潮模式(response-orthotide method)由 Ray (1988) 和 Desai (1996)首先提出。該模式亦被利用於全球潮位模式之計算，(Desai and Wahr (1995), Han et al. (2000), Matsumoto et al. (2000))。調合分析法及反應正交潮模式都是以潮位數據進行各分潮參數的求解以預測潮汐。

往昔應用類神經網路於潮汐預測方面有，Tsai 和 Lee(1999)應用類神經網路來預測潮位，此方法僅輸入前幾個時序列的潮汐資料，利用類神經網路非線性的預測功能，預測下一時刻的潮位，但若要再預測

下一時刻潮位，則需輸入前兩個小時之實測潮位才可繼續預測潮汐水位。Kumar 和 Minocha(2001)、Mandal(2001)、Medina(2001)等學者指出此模式對於工程應用方面稍嫌不足，且學習次數過少，網路架構不夠穩定等技術上的因素也影響預報之品質。Tsai 和 Lee(2001)之最終結論則說明，該類神經網路模式類似於 ARMA 模式之架構，亦可建立前 48 小時之水位輸入訊號，學習 24 小時之水位模式，以此模式來說明可進行較長時間之水位預測。並以 Swingler(1996)之文章說明該類神經網路之隱藏層與神經元數目已達穩定及最佳化之類神經網路結構。謝(2000)利用類神經網路預報長時的潮汐，其輸入層為各分潮所對應之餘弦和正弦函數，其輸出層為潮汐水位，並藉由網路之權重獲得輸出層與輸入層的關係。並提出該權重即類似調和分析法之調和參數，並以此神經網路進行潮汐預測。Kumar 和 Minocha(2001)、Mandal(2001)、Medina(2001)等學者指出此模式對於工程應用方面稍嫌不足，且學習次數過少，網路架構不夠穩定等技術上的因素也影響預報之品質。張和曾(2001)對網路架構的測試及模式預報能力的分析，提出類神經網路的輸入變數若不包含理論潮位，則預測能力不佳；相對地，給予理論天文潮汐當輸入參數後，經由神經網路演算可得到較佳的權重和閥值，並使網路學習到整體潮位變動的趨勢，如大潮與小潮的變化，以此增加預測的精確度。張和黃(2001)以 TOPEX/POSEIDON(T/P)衛星測高資料，並配合正交潮法及潮汐動力模式來計算潮汐。與實測資料比較發現，T/P 潮汐模式之預測對進暗潮汐具有較均勻的誤差，潮差的大小不會影響模式之誤差。另外，應用調和分析法來探討預報某一時程潮汐所需最適的實測資料幅度等。Lee (2002)以 ARMA 模式，計算前幾個小時之潮汐水位，與前幾個小時之潮汐水位的殘差值當成輸入值，輸出值則為下一時刻之潮汐水位，以神經網路來求取 ARMA 模式中潮位時序及其殘差與潮汐水位的關係，並利用該關係求解長期之潮汐水位。

本計劃將利用以太陽及月亮為主要作用的天體，並計算出地球上對應測點之相對位置與距離，藉此輸入神經網路以推算潮汐水位，並

以此預測資料來求得颱風暴潮。並與正交潮法與 Matsumoto et al. (2000)之 NAO.99b 模式進行水位預測之比較。

2.1.2.1-1 天文位勢之網路模式建立

本文將以 93 年所建立之天文位勢之神經網路模式論為基礎，進行神經網路之分析。並利用日、月及地球天體運行之三維空間資料，如表 2.1.2-1 所述之日、月參數，並增加日、月與地球之相對角度 φ ，示如圖 2.1.2-1，而本文之神經網路之輸入值共有七種參數，並計算每一種參數之延時，輸出值則對應之實測潮汐水位 η 。本神經網路稱為 ANN-AST，使用一層隱藏層，5 個神經元，學習長度為花蓮港 2001 年 8760 筆資料，疊代次數 1500 代。預測時間為花蓮港 2002-2004 年資料，並與正交潮模式與 NAO.99 模式比較。

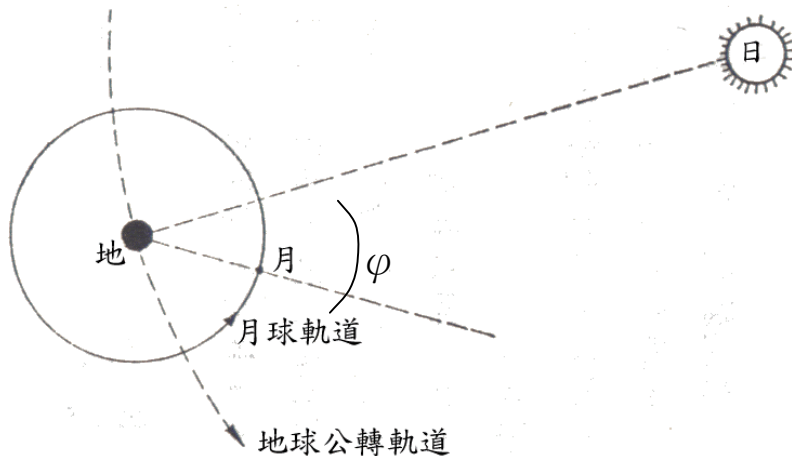


圖 2.1.2-1 太陽、月球相對地球角度

表 2.1.2-1 天文潮神經網路輸入參數

	Pattern		Pattern
Moon	$\left(\frac{R}{D_m} \right)_t$	Sun	$\left(\frac{R}{D_s} \right)_t$
Moon	$\left(\frac{R}{\rho_m} \right)_t$	Sun	$\left(\frac{R}{\rho_s} \right)_t$
Moon	$\left[\left(\frac{R}{D_m} \right)^2 \cos \theta_m \right]_t$	Sun	$\left[\left(\frac{R}{D_s} \right)^2 \cos \theta_s \right]_t$
M-S	$(\cos \varphi)_t$		

由上述之天文潮神經網路模式架構，經學習花蓮港潮位站一年(2001)資料後，預測下一年(2002)資料。網路學習之部分(前 12 個月)之誤差均方根值為 6.37 略低於調和分析法之結果，網路以不同延時之輸入值進行分析計算，本研究以誤差均方根(RMS)與相關係數(R^2)兩項參數來判斷網路延時最佳化之結果，並以延時為兩小時之網路結果為最好，計算誤差均方根值為 10.57，略高於調和分析法之結果，示如表 2.1.2-2。由上述結果顯示，本研究之 ANN-AST 模式之精度與調和分析法之結果相似，因此，本文將利用該模式於花蓮港四年潮位之推算與比較。

表 2.1.2-3 為 ANN-AST 模式與調和分析法選用 60 及 26 個分潮、正交潮法及 NAO.99b 模式之比較，由表 2.1.2-3 可看出調和分析法(60)學習一年後，預測 3 年的誤差均方根大約 10.28-12.21cm，而以調和分析法(26)之預測 3 年的誤差均方根大約 10.35-13.76cm。而正交潮模式其誤差均方值約為 10.34-15.24cm，NAO.99b 模式則為 10.69-14.05cm，本模式則為 10.57-11.96cm。由表 2.1.2-3 結果可知本模式之能力與調和分法相似，略優於 NAO.99b 模式之結果。而

NAO.99b 模式則與調和分析法(26)及正交潮模式之預測能力相似。因此，對於單點的潮位預測，則由神經網路模式獲得較好的結果，因此，本文以花蓮測站學習過之神經網路模式，將應用於東海岸的數個潮位站之潮汐推算，輸入值只提供不同位置對天體的各個參數值，代入花蓮之 ANN-AST 模式，即進行東海岸各測站的潮位推算。

表 2.1.2-2 網路模式與調和分析法之誤差均方根比較

Year	<i>RMS</i>	HM	ANN-AST (延時)			
	R^2	-	3	2	1	0
2001	<i>RMS</i>	6.57	8.43	6.37	8.64	17.58
	R^2	0.975	0.955	0.976	0.933	0.843
2002	<i>RMS</i>	10.28	14.45	10.57	13.02	15.75
	R^2	0.939	0.867	0.935	0.874	0.832

表 2.1.2-3 網路模式與各模式之比較

Method	<i>RMS</i>				R^2				
	2001	2002	2003	2004	2001	2002	2003	2004	2001
HM (60*)	6.57	10.28	12.21	10.38	0.975	0.939	0.964	0.937	6.57
HM (26*)	15.21	11.34	10.35	13.76	0.866	0.917	0.909	0.888	15.21
R-O	15.24	11.28	10.34	13.52	0.865	0.918	0.938	0.891	15.23
NAO.99b	15.61	11.69	10.69	14.05	0.861	0.911	0.930	0.884	15.61
ANN-AST	6.37	10.57	11.70	11.96	0.977	0.935	0.954	0.919	6.37

本計劃以龍洞(LD)、頭城(梗枋, TC)、蘇澳港(SA)、成功(CG)、蘭嶼(LY)及恆春(後壁湖, HC)等六個地點進行 2001-2002 年的潮位推算。目的在於建立神經網路模式後，可推算其他地點潮汐水位的架構。預期建立數個模式以推算臺灣全島之潮汐水位。表 2.1.2-4 為 ANN-AST 模式及 NAO.99b 模式推算東部不同測站的水位預測值比

較，其中龍洞資料於 2001 年資料只有 10-12 月資料，因此不計算 2001 年龍洞的潮位推算值。從東部六個潮位測站分析其法國制 F 值，由北往南依序 1.14、0.71、0.64、0.49、0.42 及 1.18。顯示所選取的六個站皆屬混合潮並包含花蓮，其法國制 F 值為 0.48。龍洞、頭城、蘇澳距花蓮約 131、106、72 公里，而成功、蘭嶼及恆春距花蓮約 102、214、243 公里。

由表 2.1.2-4 可知本模式東部測站的推算結果，可知龍洞與恆春之誤差方均根值大於 NAO.99b 模式之結果，其他四測站之結果與 NAO.99b 模式相似，而 NAO.99b 模式則需五年的資料進行 16 個短週期分潮的同化，才可進行全球潮位的推算。而 ANN-AST 模式可經由花蓮測站學習一年，再向外算至其他測站，其推算的範圍約從頭城至蘭嶼。未來將利用 ANN-AST 模式應用於臺灣西岸潮汐水位的推算。對於颱風暴潮模式，則以本模式所推算之潮汐水位扣除所觀測之潮汐水位，作為颱風暴潮的目標學習值。

表 2.1.2-4 東部地區潮汐水位不同模式之推算結果(單位：cm)

Year	Index	Method	Location					
			LD	TC	SA	CG	LY	HC
2001	RMS	ANN-AST	--	18.57	14.37	13.47	15.71	24.77
		NAO.99b	--	17.96	13.03	9.80	16.45	13.17
	R^2	ANN-AST	--	0.845	0.878	0.950	0.860	0.648
		NAO.99b	--	0.611	0.895	0.955	0.847	0.837
2002	RMS	ANN-AST	27.46	17.61	14.19	11.73	16.79	25.18
		NAO.99b	17.05	18.71	14.26	13.76	13.55	11.46
	R^2	ANN-AST	0.537	0.856	0.861	0.923	0.836	0.629
		NAO.99b	0.703	0.596	0.883	0.907	0.890	0.874

對於地形變化複雜的區域(如西部地區)將以其周邊區域之測站進行學習與預測，藉以網路最佳化的過程，建立適應地形變化的神經網路模式，以期完成臺灣全島的神經網路之潮汐推算模式。因此，本研究於西部地區分成 3 個區域進行神經網路的學習分區，分別為東北部、西北部及西南部。分區之準則以相似之海底地形分成一區，東北部之海底地形為基隆海棚起至龍洞終至麟山鼻；西北部之海底地形由淡水至臺中港附近則較為平緩，並以雲彰隆起為界；西南部自此到後壁湖地形坡度則逐漸增加。

2.1.2.1-2 網路模式之推算結果比較

本研究於三區類神經網路之學習測站由北至南分別為，龍洞(LD)、新竹(HC)及高雄(KH)。以 2001 年為學習長度，龍洞測站則以 2002 年為學習對象。以完成類神經網路之建構，對於周邊測站則以該模式輸入相對測站之相關天文參數，遂進行潮汐水位之推算。而推算結果示如表 2.1.2-5 及 2.1.2-7，由表 2.1.2-5 可知本研究以臺北港(TP)、竹圍(JHU)、新竹(HC)、臺中港(TaiC)等四個地點進行 2001-2002 年的潮位推算，其法國制 F 值由北至南為 0.30、0.25、0.20 及 0.18，臺北港、竹圍、臺中港距新竹約 61、44 及 73 公里。新竹測站經由第一年之學習後其誤差均方根及相關係數約為 10.64cm 與 0.993，第二年之推算結果則為 15.08cm 與 0.986，其結果優於 NAO.99b 模式之推算。另外，對於臺北港、竹圍及臺中港等測站之海潮推算結果本與 NAO.99b 模式相似。由實測水位之觀察顯示海潮受到地形變化，於西北部由北至南其平均潮差漸增，潮時約略相似。由於本研究之類神經網路為學習天文位勢引致海潮之變化，因此對於海潮受地形變化之動力機制之影響，則無進行考慮。

因此，本研究需藉平均潮差來進行潮汐水位之修正，本研究設定新竹平均潮差為 1，臺中港之比值與新竹相似，竹圍則約為 0.77，臺北港則為 0.66。上述比值皆以一年之統計值所求得。另外，為求工程應用簡便，本研究以一個月之平均潮差作為其比值，竹圍為 0.7；臺

北港為 0.6。因此，若以一年之統計值所求知竹圍與臺北港之預測值，於 2001-2002 年之水位推算值修正，比較一個月之平均潮差統計值之結果，示如表 2.1.2-6。由表 2.1.2-6 可知於竹圍與臺北港兩測站，不同統計時間之平均潮差比值，於模式潮位的修正之結果約略相似。因此，於實際應用上則需一個月之統計平均潮差比值，即可修正該種地形變化之海潮推算值。再由表 2.1.2-5 可知，臺北港、竹圍與臺中港之兩年推算結果，其誤差方均根之 ANN-AST 模式與 NAO.99b 模式差值為 1.41cm-18.03cm，其相關係數數亦優於 NAO.99b 模式之推算結果。由此結果顯示，可說明本模式所計算之水位受天文引力之影響外，再經由地形的修正即可達到較佳的精度，且優於 NAO.99b 模式。

另外，本文將東北部與西南部之 ANN-AST 模式計算合併於表 2.1.2-7，並推算安平(AP)、高雄(KH)、恆春(後壁湖，HO)及龍洞(LD)、基隆(KL)潮位，西南部其法國制 F 值由北至南為 1.24、1.31 及 1.12，安平港、恆春(後壁湖)距高雄港約 46 及 87 公里。東北部其法國制 F 值由東至西為 1.14、及 1.34，基隆港距龍洞約 21 公里。由表 2.1.2-7 可知以高雄為學習測站之模式，第一年之學習後其誤差均方根及相關係數約為 7.39cm 與 0.912，第二年之推算結果則為 9.36cm 與 0.866。另外由於龍洞資料於 2001 年資料只有 10-12 月資料，因此，以 2002 年座為學習時間，第一年之學習後其誤差均方根及相關係數約為 8.75cm 與 0.922，第二年之推算結果則為 11.08cm 與 0.822，兩測站其結果皆優於 NAO.99b 模式之推算值。因此，對於周邊測站則引入天文參數於 ANN-AST 模式，以推算海潮水位的變化。

本研究模式之推算結果與實測水位進行比較時，其潮時與實測值存在相位差。根據氣象局之潮時統計資料，東海岸比西海岸約早 5 個小時，後壁湖比高雄早 1.3 小時，高雄比東石約早 2.5 小時，頭城(梗枋)比淡水約早 4.2 小時，顯示海底地形之複雜變化引致潮時之不均勻的分布。因此，於工程應用上，本文設定恆春(後壁湖)測站早於高雄 1 小時，於安平約 2 小時；龍洞早於基隆 1 小時以進行潮時之 ANN-AST

模式修正，並示如表 2.1.2-7。

表 2.1.2-5 西北部地區潮汐水位不同模式之推算結果(單位：cm)

Year	Index	Method	Location			
			TP	JHU	HC	TaiC
2001	RMS	ANN-AST	18.57	13.46	10.64	17.89
		NAO.99b	26.64	31.49	18.40	21.63
	R^2	ANN-AST	0.954	0.986	0.993	0.986
		NAO.99b	0.940	0.907	0.980	0.975
2002	RMS	ANN-AST	16.45	15.53	15.08	20.72
		NAO.99b	28.98	30.88	19.45	22.13
	R^2	ANN-AST	0.961	0.977	0.986	0.981
		NAO.99b	0.912	0.908	0.976	0.975

表 2.1.2-6 不同統計時間之平均水位修正模式潮位結果(單位：cm)

Location	YEAR	Ratio(0.6,0.7)	Ratio (0.66,0.77)
TP	2001	17.45	17.68
	2002	16.62	16.83
JHU	2001	14.51	13.67
	2002	16.71	16.57

安平 2001 年則因為該年資料品質不佳，因此不採用於潮位分析，基隆 2002 年則無潮位紀錄。由表 2.1.2-7 可知，安平 2002 年之推算誤差均方根大於 NAO.99b 模式 1.26cm，恆春(後壁湖)2001 年則與 NAO.99b 模式相似，2002 年則大於 2.67cm，於基隆推算 2003 年之誤差均方根則小於 NAO.99b 模式 1.24cm。顯示海底地形的變化複

雜，無法以潮時之修正給予 ANN-AST 模式較佳知精度，海潮於該種地形的動力變化相對於神經網路模式，仍屬無法完整描述的機制。因此，模式之水位推算結果稍大於 NAO.99b 模式。

表 2.1.2-7 東北及西南部地區潮汐水位不同模式之推算結果(單位：cm)

Year	Index	Method	Location					
			AP	KH	HC		LD	KL
2001	RMS	ANN-AST	--	7.39	13.74	2002	8.75	--
		NAO.99b	--	13.82	13.17		17.06	--
	R^2	ANN-AST	--	0.912	0.860		0.922	--
		NAO.99b	--	0.726	0.838		0.703	--
2002	RMS	ANN-AST	14.88	9.69	14.07	2003	11.08	14.55
		NAO.99b	13.62	13.61	11.40		17.32	15.79
	R^2	ANN-AST	0.732	0.866	0.857		0.882	0.769
		NAO.99b	0.806	0.747	0.874		0.720	0.741

2.1.2.2 神經網路颱風暴潮預測模式

2.1.2.2-1 暴潮與颱風動態之統計分析

本研究之潮汐資料為 2001-2004 年花蓮港資料測站之數據，而潮汐資料初步整理過後如下表 2.1.2-8 所示，其中資料不滿 20 天的用「◎」來作代表。由表 2.1.2-8 可知 2003 年資料的缺失較多。當原始數據不足一年時，則必須進行補遺的動作。補遺過後的數據，再利用調和分析法做潮位分析及預測的步驟。可從中得到分潮特性(振幅及相位角)，其補遺及分析流程示如圖 2.1.2-2。

表 2.1.2-8 2000-2004 花蓮港潮汐資料之初步整理

月份 年	1	2	3	4	5	6	7	8	9	10	11	12
2001	◎	◎	◎	O	O	O	O	O	O	◎	O	O
2002	O	O	O	O	O	O	O	O	O	O	O	O
2003	O	O	O	O	O	◎	◎	O	◎	◎	◎	O
2004	O	O	O	O	O	O	O	O	O	O	O	O

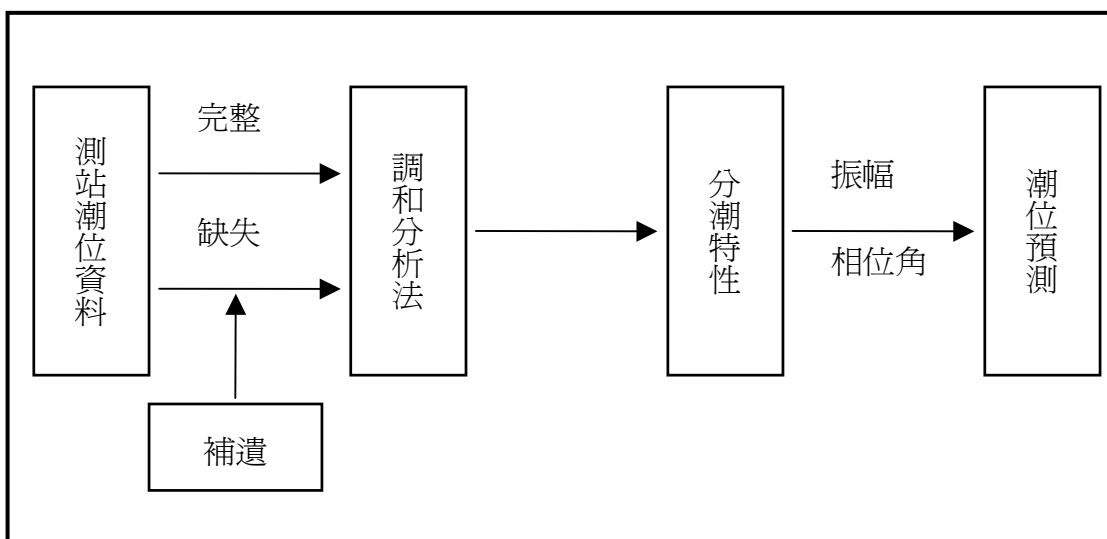


圖 2.1.2-2 潮位資料補遺與分析流程圖

於補遺的過程中，將遺失之數據補零，並代入調合分析法。設定遺失數據補遺前後之誤差均方根小於 1cm 時，則完成潮位資料之補遺程序。本研究將潮位數據補遺後，即以 2001 年作為調合分析之學習時間，並預測 2002-2004 年之調合分析水位。並將潮位數據於颱風發生期間扣除調和分析之潮位記錄，則為暴潮。本文為探討暴潮與颱風動態的相關性，於 unisys 網站 (<http://weather.unisys.com>) 收集颱風於 2002-2004 之颱風路徑與其中心風速之相關資料示如表 2.1.2-9。其中表 2.1.2-9 有 * 號的標記，是代表暴潮現象較為明顯之資料數據。

而颱風資料共有 26 個颱風，其中選定暴潮較為顯著的有 13 個颱風進一步討論，本研究以蘭寧 (RANANIM) 和艾利 (AERE) 暴潮為例，示如圖 2.1.2-3，其中蘭寧 (RANANIM) 颱風暴潮偏差最大值為 40cm，艾利 (AERE) 暴潮偏差最大值則為 35cm。

表2.1.2-9 2001-2004颱風資料列表

2002	2003	2004
*雷馬遜 (RAMMASUN)	*柯吉拉 (KUJIRA)	*妮坦 (NIDA)
*娜克莉 (NAKRI)	*蓮花 (LINFA)	*康森 (CONSON)
辛樂克 (SINLAKU)	*南卡 (NANGKA)	*敏督利 (MINDULLE)
*諾古力 (NOGUR)	*蘇迪勒 (SOUDELOR)	康柏斯 (KOMPASU)
	*莫拉克 (MORAKOT)	*蘭寧 (RANANIM)
	艾陶 (ETAU)	梅姬 (MEGI)
	梵高 (VAMCO)	*艾利 (AERE)
	杜鵑 (DUJUAN)	桑達 (SONGDA)
	梅米 (MAEMI)	米雷 (MEARI)
	米勒 (MELOR)	馬鞍 (MA_ON)
		納坦 (NOCK_TEN)
		南瑪都 (NANMADOL)

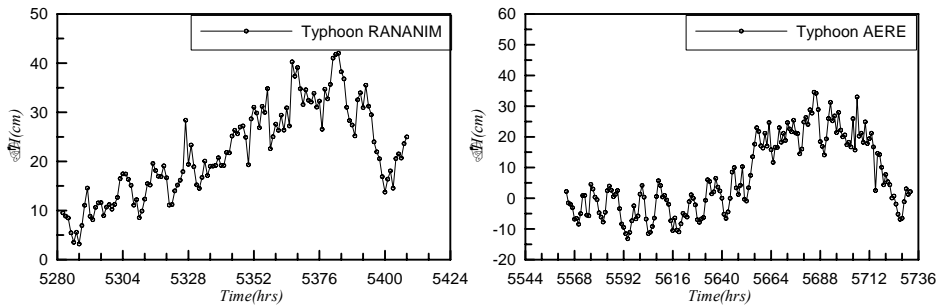


圖 2.1.2-3 蘭寧 (RANANIM) 與艾利 (AERE) 之暴潮偏差

圖 2.1.2-4 至圖 2.1.2-6 為各年颱風之行進路徑圖，於圖中之颱風路徑分類除了按照氣象局分類為 10 類之外，殊颱風路徑則歸類為第 11 類。圖 4 中的颱風路徑分別為雷馬遜為第 6 類、娜克莉為第 9 類及諾古力為第 11 類。而圖 5 柯吉拉為第 6 類、蓮花及蘇迪勒為第 11 大類、南卡為第 9 類、莫拉克為第 7 類。圖 6 妮坦為第 9 類、康森為第 8 類、敏督利為第 6 類、蘭寧及艾利則為第 1 類颱風路徑。

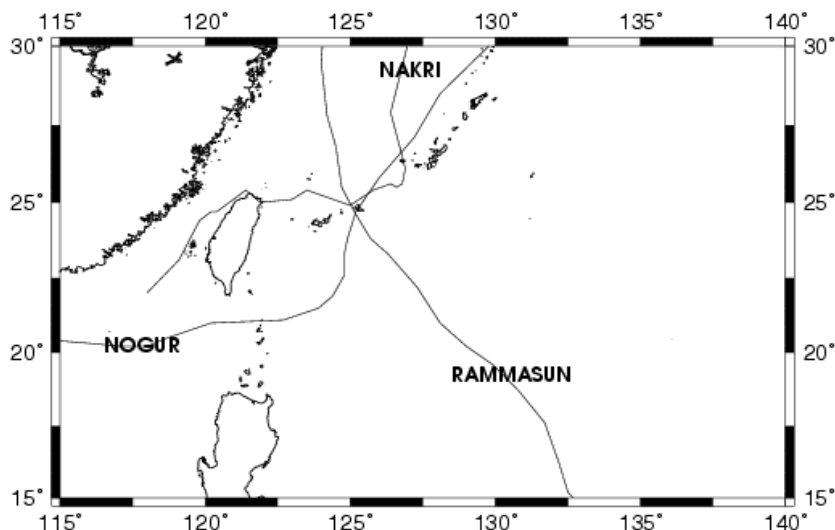


圖 2.1.2-4 2002 颱風路徑圖

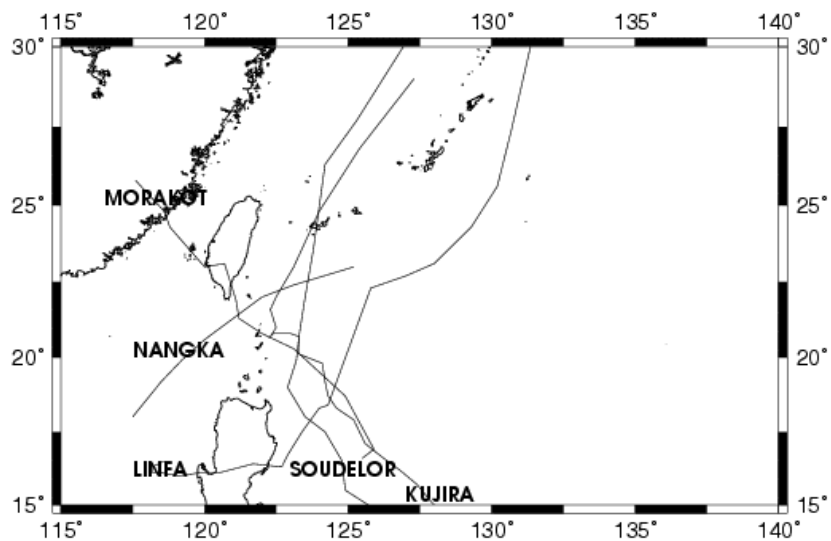


圖 2.1.2-5 2003 颱風路徑圖

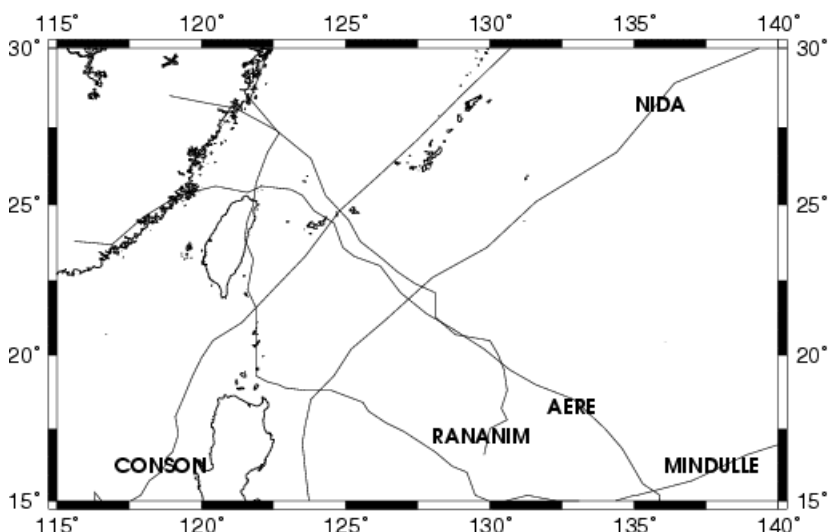


圖 2.1.2-6 2004 颱風路徑圖

為了探討暴潮與颱風動態之相關性，本研究將分析暴潮與颱風測站間之距離及中心風速之間的關係。並利用相關係數 R^2 做為評估相關與否之參數，其數值介於 1 與 0 之間，當相關性越接近 1 時即代表兩者相關性較顯著。本研究分析 2002-2004 年之颱風暴潮與測站距離及中心風速之 R^2 值，示如表 2.1.2-10。由表 2.1.2-10 之分析計算並取結果較佳之五個颱風資料，並依顯著性之優劣排序。其中以蘭寧颱風

之分析結果與測站距離之 R^2 為 0.73 及中心風速之 R^2 為 0.67 為最高。圖 2.1.2-7 至 2.1.2-11 為其相關性分析圖。由上述的分析結果得知，測站距離對暴潮的影響較中心風速大，然而就花蓮港來說，由經度 $130^\circ\sim 137^\circ\text{E}$ ，緯度 $15^\circ\sim 18^\circ\text{N}$ 左右的颱風往西北方向前進時，對花蓮港所產生之暴潮最為顯著。

表 2.1.2-10 暴潮與測站距離及中心風速之相關性

年代	颱風名稱	距離(km)	中心風速(knts)
2004	蘭寧 (RANANIM)	0.73	0.67
2004	艾利 (AERE)	0.54	0.42
2002	雷馬遜 (RAMMASUN)	0.49	0.37
2002	娜克莉 (NAKRI)	0.34	0.05
2003	莫拉克 (MORAKOT)	0.34	0.01

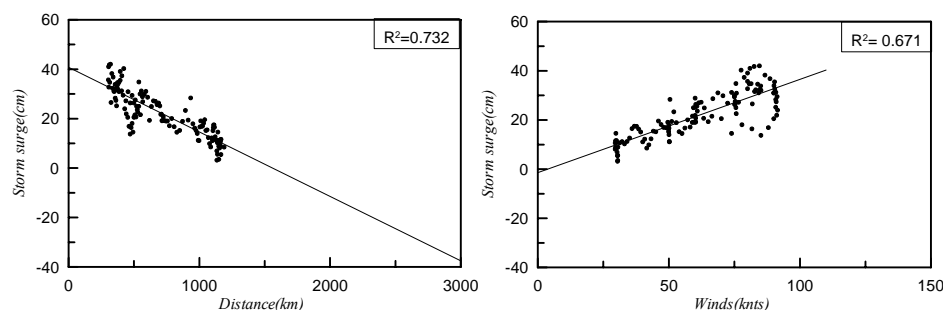


圖 2.1.2-7 蘭寧颱風暴潮偏差與測站距離及中心風速相關性分析

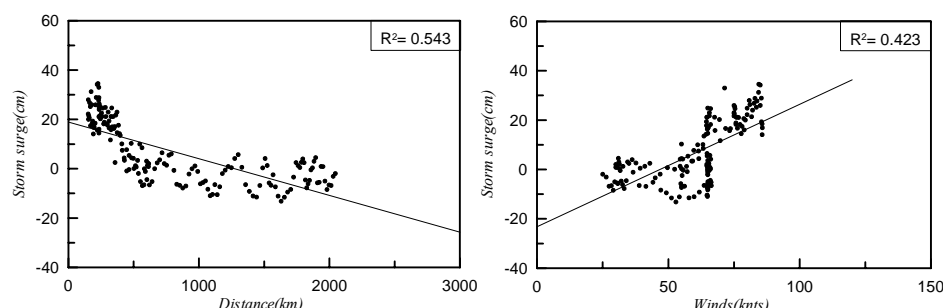


圖 2.1.2-8 艾利颱風暴潮偏差與測站距離及中心風速相關性分析

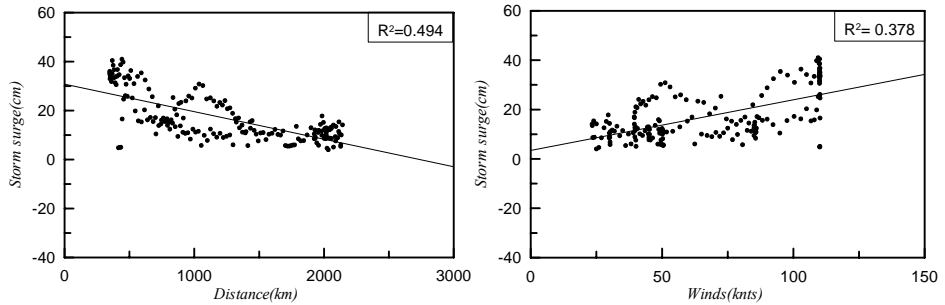


圖2.1.2-9 雷馬遜颱風暴潮偏差與測站距離及中心風速相關性分析

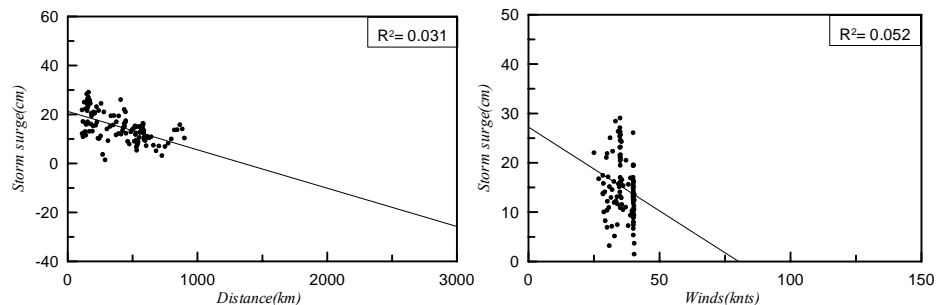


圖2.1.2-10 娜克莉颱風暴潮偏差與測站距離及中心風速相關性分析

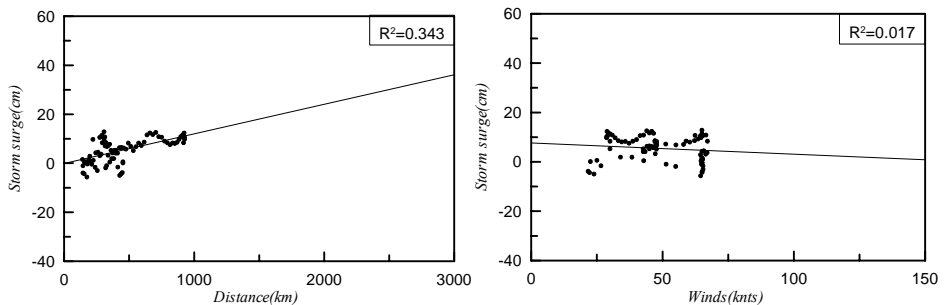


圖2.1.2-11 莫拉克颱風暴潮偏差與測站距離及中心風速相關性分析

2.1.2.2 神經網路颱風暴潮模式之建構

颱風暴潮成因是低氣壓、風剪力、波浪及地形環境因素等的綜合非線性動力交互作用結果，而颱風暴潮的發展行為取決於颱風的路徑與影響時間。當颱風接近臺灣地區時，受到中央山脈的阻擋，颱風結構遭到破壞變形，暴潮發展的情況更加複雜。此外，颱風路徑預報、海面風場及氣壓場的正確程度與誤差，對颱風暴潮預測結果的準確性佔了相當重要的角色。這樣複雜的機制使的一般的數值模式難以精確

地描述颱風、暴潮的關係，但隨著模糊理論以及類神經網路理論的新科技發展，在分析非線性關係的方法上有相當大的改善，因此以類神經網路結合颱風模式來計算颱風暴潮位將可以提高暴潮位推算結果的準確性。

為了提高暴潮模式推算的穩定性，並且增加模式應用的範圍，模式建構的主要架構延續採用本計畫『規劃海象觀測網、暴潮數值最佳網格化系統』(2004) 第二年期的類神經模式架構外並將此波浪推算模式的架構作為暴潮模式的核心，並加入了 12 個虛擬的颱風海面上 10 公尺風速觀測點，藉以對觀測站海域風場分佈及變化有更周全的描述與反映，並將此模式的架構發展成為模組化，藉以應用在颱風波浪、水位的推測甚至模式的資料同化。12 個虛擬觀測站位置如圖 2.1.2-12 所示。

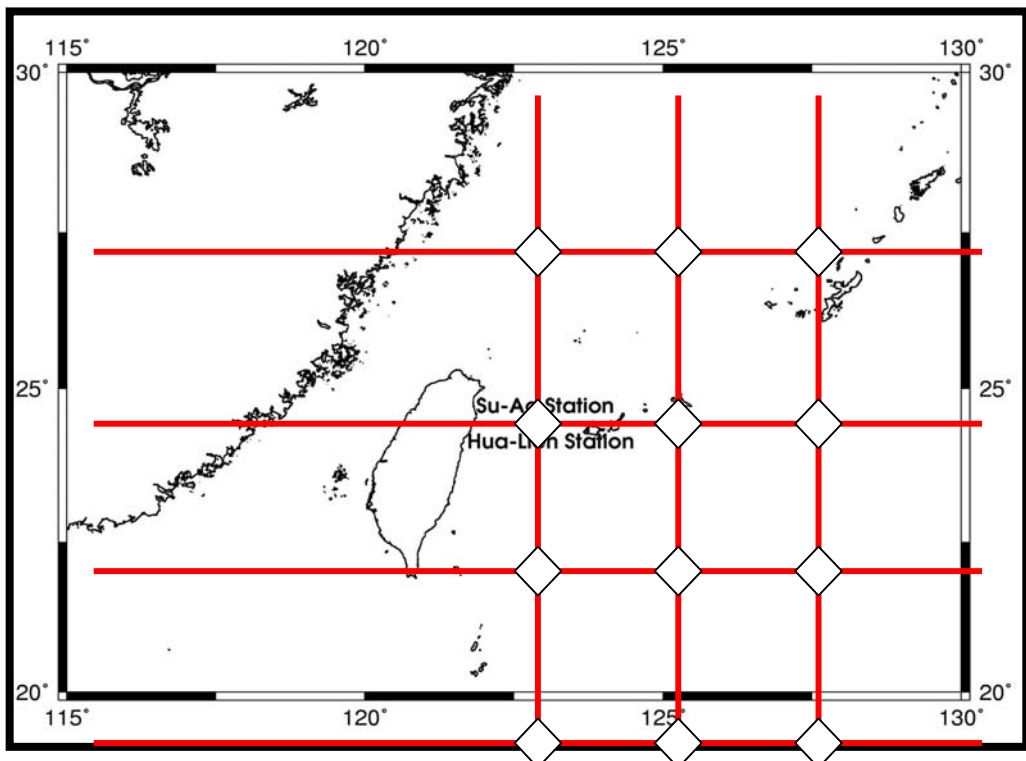


圖 2.1.2-13 12 個虛擬觀測站位置

本文選擇 Holland (1980)的經驗參數模式來描述颱風風場，其為

$$\frac{p - p_c}{p_n - p_c} = \exp\left[-\left(\frac{R}{r}\right)^B\right] \quad (2.1.2-1)$$

其中 p_n 為颱風影響範外的氣壓，本文設定為 1 大氣壓 (1013.3 mb)， p_c 為颱風中心氣壓 (mb)， p (mb) 為距離颱風中心 r (km) 的氣壓。風場內距離颱風中心 r 的風速 V (m/s) 可以下式表示：

$$V = \left[\frac{B(p_n - p_c)}{\rho} \left(\frac{R}{r} \right)^B \exp\left[-\left(\frac{R}{r}\right)^B\right] + \frac{r^2 f^2}{4} \right]^{0.5} - \frac{rf}{2} \quad (2.1.2-2)$$

其中 f 為柯氏參數(Coriolis parameter)。若忽略柯氏力的影響，颱風最大風速可表示為：

$$V_{\max} = \left[\frac{B(p_n - p_c)}{\rho \cdot e} \right]^{0.5} \quad (2.1.2-3)$$

係數 B 採用 Harper and Holland (1999)建議的關係式：

$$B = 2 - \frac{p_c - 900}{160}, \quad 1.0 < B < 2.5 \quad (2.1.2-4)$$

風場在海面上 10 公尺的風速為：

$$V_{10} = K_m V \quad (2.1.2-5)$$

Harper and Holland (1999)建議 $K_m = 0.7$ ，而颱風風場的風傾角假設為 25° 。颱風移動速度 V_f 對颱風風場內的影響，採用 Jelesnianski (1966)建議的關係式：

$$V(r) = \frac{R \cdot r}{R^2 + r^2} V_f \quad (2.1.2-6)$$

由風場的規模變動及推算點的距離、角度藉由式(2.1.2-1)至式(2.1.2-6)可推算出區域的 V_{10} ，此 V_{10} 可充分表現出該區域颱風風場特性與颱風波浪的相對關係，所以，考慮颱風運動及颱風規模連續的變動則影響波浪、暴潮隨時間的改變即可由 V_{10} 、 r 、 θ_i 及時間 t 的函數表示

之。

由 Holland (1980)等文獻的討論分析了解，風速 V_{10} 分佈與氣壓成正比，也是提供及影響颱風波浪、暴潮能量主要的因素，因此在暴潮的推算上假設風速 V_{10} 分佈可以充分表達大氣壓力的分佈情形。而颱風的路徑及行為是影響颱風波浪、暴潮變化的另一個因素，在固定位置上同樣的颱風規模及運動方向不同的路徑也將有不同發展的颱風波浪、暴潮。隨著波浪接近海岸時在複雜地形及海流的交互作用下，更增加了計算在近岸颱風波浪的困難度，為了簡化能量方程式的架構，對於固定區域 t_j 時刻颱風波浪推算總和能量 S 的能量交換在行為、規模相似的颱風條件下，可以表示為過去颱風資料 $V_{10}, r, \theta, \theta_1$ 的函數線性組合：

$$S(t_j) = \sum_{i=0}^j a_i f_1(V_{10}, r, \theta, \theta_1; t_i) \quad (2.1.2-7)$$

式(2.1.2-7)中 a_i 為係數， f_1 為函數， t_i 為時間。根據以上的能量平衡觀念， t_j 小時的颱風暴潮為內能量 S 的函數：

$$\Delta \eta(t_j) = \sum_{i=0}^j b_i f_2[S(t_i)] \quad (2.1.2-8)$$

結合式(2.1.2-7)及式(2.1.2-8)可表示颱風暴潮為不同時間 $V_{10}, r, \theta, \theta_1$ 的函數

$$\Delta \eta(t_j) = \sum_{i=j-m}^j c_i f(V_{10}, r, \theta, \theta_1; t_i) \quad (2.1.2-9)$$

式(2.1.2-9)中 m 表示颱風開始產生颱風暴潮的時間，即 t_j 時刻的颱風波浪只受過去 m 小時內的颱風行為影響， m 即為計算颱風波浪資料的延時時間。配合 12 個虛擬風速觀測站，式(2.1.2-9)可以寫成式(2.1.2-10)。本文將針對式(2.1.2-10)的架構建立類神經網路模式，利用收集的颱風氣象與颱風暴潮資料進行類神經網路模式的測試與驗證，並以式(2.1.2-10)的架構建立類神經網路模式。

$$\Delta \eta(t_j) = \sum_{i=j-m}^j c_i f(V_{10}, V_{(1)10}, \dots, V_{(12)10}, r, \theta, \theta_1; t_i) \quad (2.1.2-10)$$

類神經網路模式採用到傳遞量神經網路架構，關於到傳遞神經網路的理論與演算在文獻中有詳細的說明與推導，具有一個隱藏層的倒傳遞類神經網路通常表示為：

$$O_{P \times 1} = f(W_{S \times R} I_{R \times 1} + b_{S \times 1}) \quad (2.1.2-11)$$

其中 $O_{P \times 1}$ 為神經網路具有 P 個向量的輸出矩陣， f 為轉移函數， $I_{R \times 1}$ 為具有 R 個向量的輸入矩陣， $W_{S \times R}$ 為具有 S 個神經元的神經網路權重矩陣， $b_{S \times 1}$ 為網路偏權值矩陣，而式(2.1.2-11)簡單的表示方法為”S-P”，所以具有 1 個輸入項，2 個隱藏層神經元的個數分別為 10、20，一個輸出單元時，簡單的表示法為 1-10-20-1。

式(2.1.2-8)及式(2.1.2-9)中的 V_{\max} 、 V_f 、 V_{10} 、 $V_{(1)10}$ 、 \dots 、 $V_{(12)10}$ 、 r 具有連續的特性， θ 為颱風中心與颱風暴潮推算位置的方位角，在颱風行進的路徑可能發生角度不連續的現象，因此類神經網路採用兩個隱藏層的架構解決不連續的問題，若將颱風示性波浪與週期合併考量於推算模式時，因此類神經網路模式可以表示為

$$O_1 = f_1(W_{S2 \times S1} \cdot f_1(W_{S1 \times (R \times n)} [I_{1R \times 1}]_{n \times 1} + b_{S1 \times 1}) + b_{S2 \times 1}) \quad (2.1.2-12)$$

模式的輸出 $O_1 = [\Delta\eta]$ ，輸入函數， $I_1 = [V_{10}, V_{(1)10}, \dots, V_{(12)10}, r, \theta, \theta_1]^T$ ，輸入資料延時 n 。

A. 陸地效應的修正

目前颱風風場與陸地交互影響的關係目前仍然無法完全解析，參數形式的颱風風場模式更難以即時反應陸地對風場的影響，因此，藉由修正颱風風場模式達到修正颱風暴潮是相當困難的。陸地地形除了影響颱風風場外，陸地的遮蔽效應也影響颱風暴潮的行為。所以可以在空間上進行初步的區分，在特定颱風路徑與位置時，區分出陸地效應影響颱風暴潮的範圍，逐步找出颱風位置與影響颱風暴潮的關係，

藉此，可以修正颱風暴潮行為。對於特地區域颱風暴潮推算模式的建立可以藉由分析該區域陸地地形特性對風、暴潮的影響，在平面空間上劃分出影響的區域，逐步修正該推算區域的颱風暴潮。在陸地效應影響區域的分析，包括：颱風暴潮推算區域的地形分析、陸地遮蔽範圍分析與分區、颱風風場與地形關係分析與分區以及被區分區域間的關係。

襲臺灣的颱風大都來自北太平洋西部，發生的地點以加羅林群島、馬利安納群島和帛琉群島附近一帶由臺灣東部向西行的最多，另外也有部分來自中國南海海面由臺灣的西南部向東北行進，但次數較少。針對臺灣東部花蓮港海域模式建構而在颱風路徑條件上做出限制的考量，包括：臺灣東部的海域沒有大型的島嶼，且颱風生成後颱風波浪的發展相當穩定，颱風在東岸發展的颱風波浪作用型為與生成機制相似，因此可以將臺灣東岸生成且西行的颱風歸為一類。

由臺灣西岸中國南海海面生成颱風的颱風暴潮，對臺灣東岸的影響並非單獨且直接作用，且受到陸地強烈的影響，在颱風波浪、颱風暴潮生成機制與波浪行為明顯不同於東岸生成的颱風波浪與颱風暴潮，以及西部颱風對東岸海域影響有限的考量下，選取北太平洋西部生成且直接威脅臺灣東岸花蓮港海域的颱風做為建立推算颱風波浪模式應用的目標，示如圖 2.1.2-14。圖 2.1.2-14 提供了颱風暴潮推算區域花蓮港海域與臺灣本島的相對位置、陸地範圍等，以及依地形環境建立的 4 個區域 Area1、Area2、Area3、Area4，其中 Area1、Area4 位於臺灣東部，當颱風西行且中心位於這兩個區域時，波浪、暴潮發展機制相近而 Area1、Area4 的差別在於颱風在 Area1 時是以颱風左半圓接近花蓮港海域，而在 Area4 時颱風是以右半圓接近花蓮港海域，這兩個區域的差別在輸入參數中，可以充分反映出來，而 Area2、Area3 則是受到陸地效應影響的區域，兩個區域的差別也是考慮颱風接近花蓮港海域時是受到颱風左半圓或右半圓影響而區分。

當颱風由 Area1、Area4 逐漸接近觀測站時，風場直接作用直接

反映於觀測站海域示性波高與颱風暴潮上，但是當颱風接近觀測站海域進入 Area2、Area3 時，颱風波浪、颱風暴潮發展就有明顯的不同。當颱風中心位於 Area2 時，颱風左半圓接近觀測站而因為颱風風向為逆時鐘旋轉，受到陸地的影響使的颱風左半圓風場無法持續作用海面，因而颱風提供波浪的能量大減造成示性波高快速降低。而當颱風中心位於 Area3 時颱風右半圓接近觀測站，颱風風場持續作用海面，所以當颱風中心進入陸地後最大示性波高與暴潮才到達。陸地效應的影響隨著颱風距離推算區域愈遠影響也愈小。

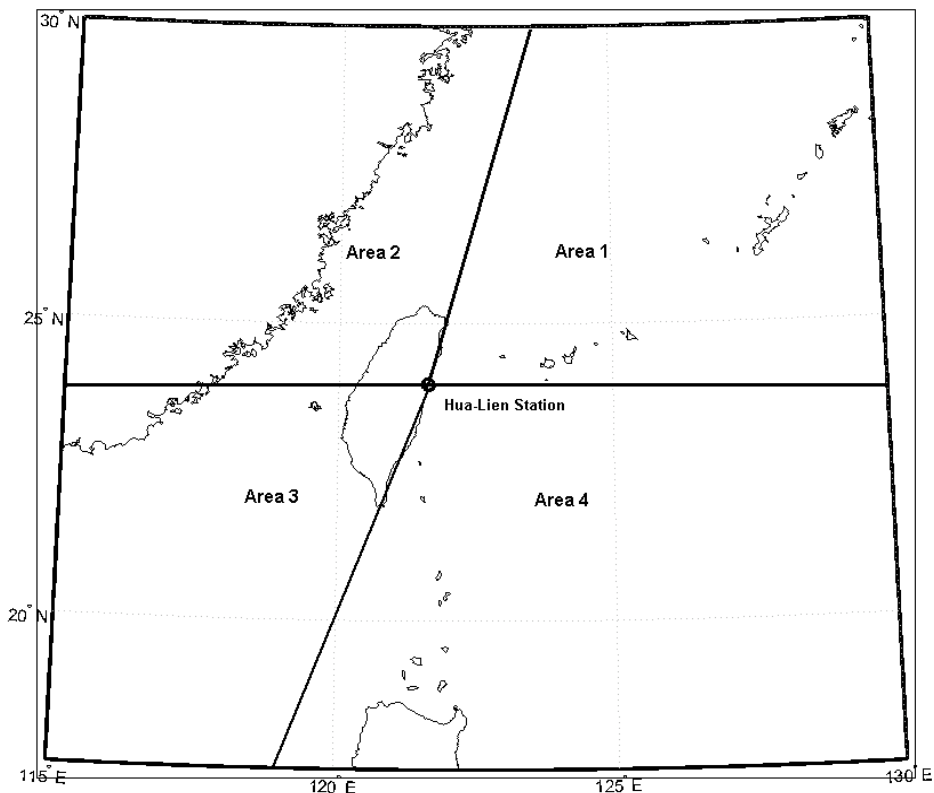


圖 2.1.2-14 臺灣東岸花蓮港位置與陸地影響區域區分

利用以上的現象以及陸地效應與颱風暴潮行為，藉由模糊理論以颱風位置建立示性波浪、暴潮與陸地間的模糊關係，藉以修正颱風暴潮推算模式。以颱風中心位置 r, θ_1 建立影響颱風暴潮關係的二維關係

函數，可以表示為 $MF(r, \theta_1)$ 。利用 $MF(r, \theta_1)$ 修正陸地效應對颱風暴潮的影響方法，示如圖 2.1.2-15。模式架構是將颱風暴潮的計算分成兩個階段，第一個階段維持 2004 模式，原有颱風推算模式架構與參數設定，第二個階段是將原模式輸出的示性波高串連另一個以 $MF(r, \theta_1)$ 函數為主體的類神經模糊網路模式進行修正，反應陸地效應對颱風波浪的影響。第二個階段的類神經模糊架構可表示為

$$\overline{\Delta \eta} = f_2(W_{S2 \times S1} \cdot f_1(W_{S1 \times (R * n)} [\bar{I}_{R \times 1}]_{n \times 1} + b_{S1 \times 1}) + b_{S2 \times 1}) \quad (2.1.2-13)$$

其中 $\bar{I} = [\Delta \eta]^T \times MF(r, \theta_1)$ ，輸入資料延時 n 。

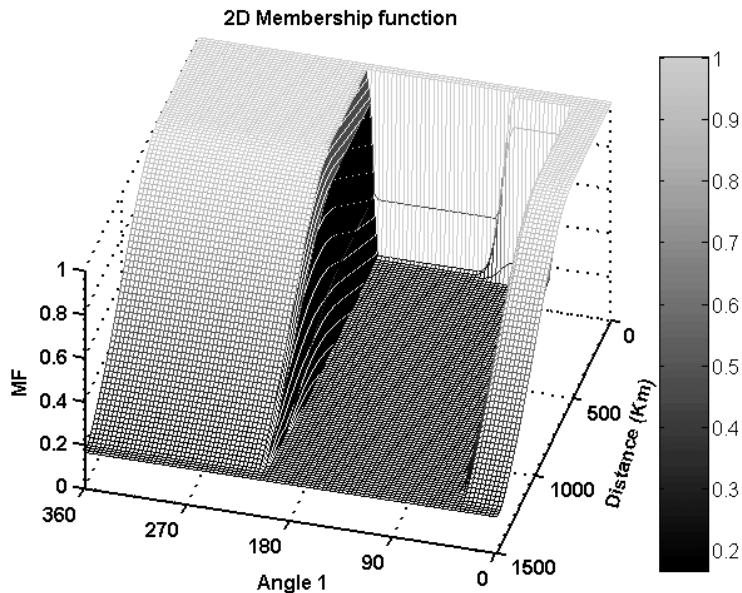


圖 2.1.2-15 陸地效應二維模糊關係函數

B. 模式操作

對於類神經網路學習資料的收集，目前以花蓮港的颱風暴潮資料收集較為完整，模式操作的部分將以花蓮港為模式推算的測試港口，藉以瞭解模式推算的能力。颱風暴潮學習資料：花蓮港颱風資料驗證學習內容為 AERE (2004) 颱風、MINDULLE (2004) 颱風、NIDA (2004) 颱風、RANANIM (2004) 颱風，學習結果相關係數為 0.863，示如圖 2.1.2-16。

本計劃所研究之暴潮模式以花蓮港颱風資料驗證，RAMMASUN (2002) 颱風，之測試相關係數為 0.723，示如圖 2.1.2-17，其結果有略偏低的現象，經過時間序列的比較發現如圖 2.1.2-18 所示，發現颱風接近臺灣的期間颱風暴潮的估算相當接近實測值，當颱風遠離時颱風暴潮推算值與實測值出現較大誤差，誤差的原因可能來自於風場模擬時的誤差或是觀測資料受到其他因素影響而產生較大誤差所致。

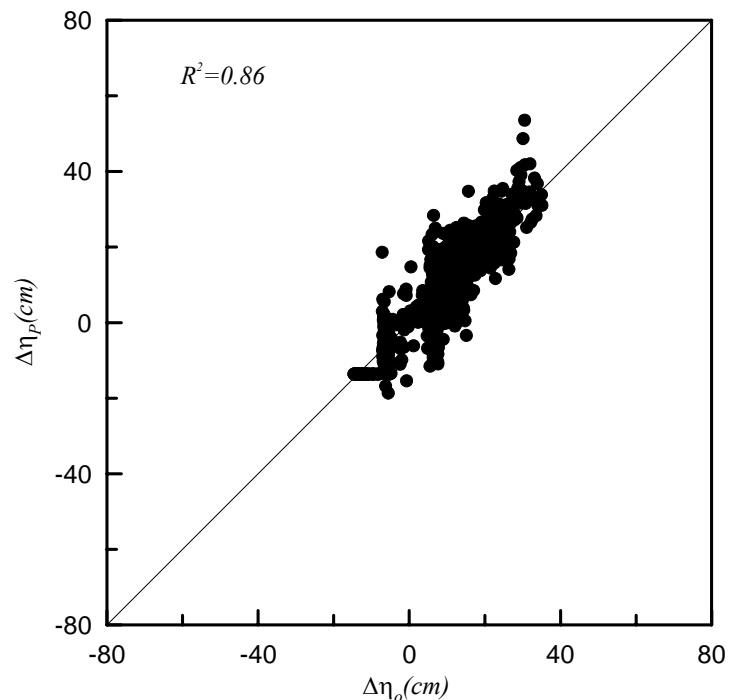


圖 2.1.2-16 類神經網路颱風暴潮模式學習結果關係圖

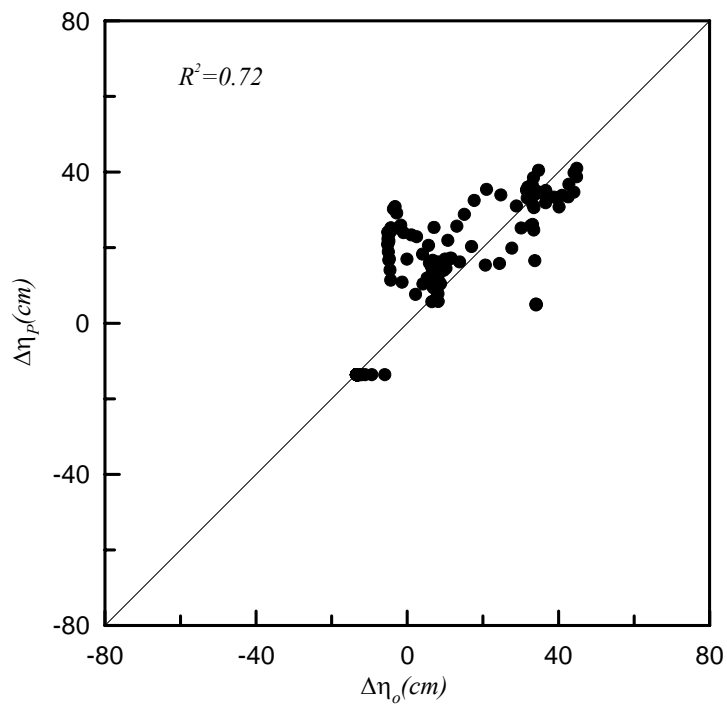


圖 2.1.2-17 蘭寧颱風類神經網路模式測試結果關係圖

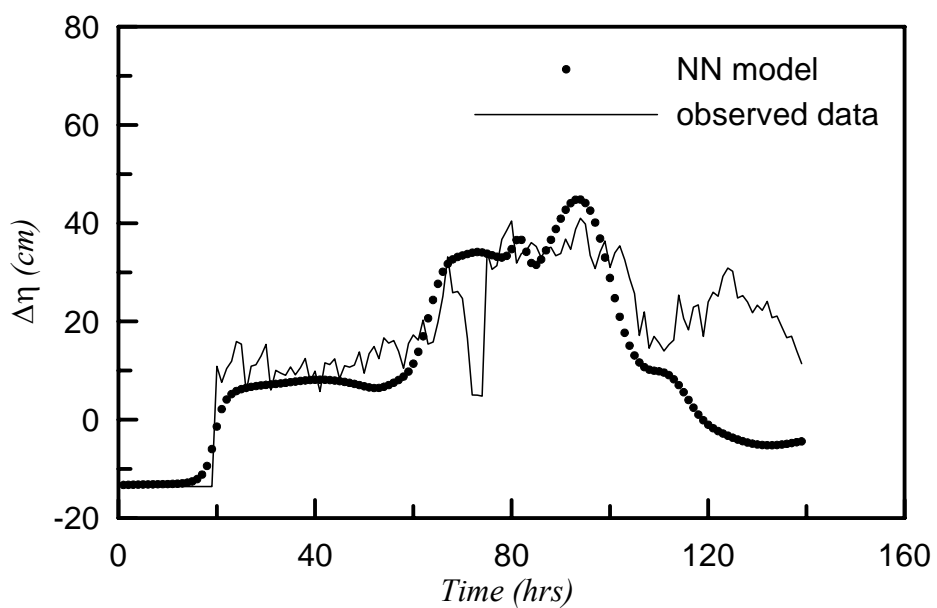


圖 2.1.2-18 蘭寧颱風暴潮偏差與觀測值比較

2.1.2.2-3 颱風暴潮模式之預測

經由上述類神經網路的建構與暴潮之驗證，本計劃即應用該模式

進行 2005 年颱風暴潮之推算，本計劃共收集兩場颱風潮汐數據依次為，海棠(HAITANG)及泰利(TALIM)。其中海棠及泰利為強度颱風，其行進路徑皆有穿越中央山脈，兩場颱風路徑則示如圖 2.1.2-19。

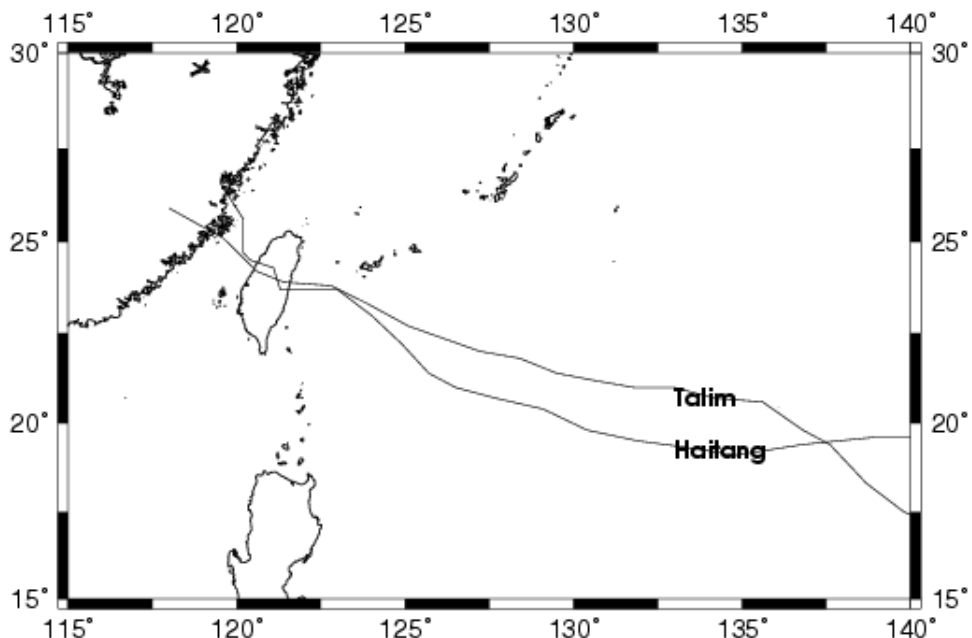


圖 2.1.2-19 海棠及泰利颱風行進路徑圖

本計劃以所收集之颱風潮位數據有港灣技術中心(IHMT)及氣象局(CWB)資料，其扣除上節模式之推算潮位，即為颱風暴潮數據。並以神經網路輸入颱風動態數據，進行颱風暴潮之預測與比較。並以花蓮港與蘇澳港為推算之測站，圖 2.1.2-20 為花蓮測站於海棠颱風之推算結果，由圖 2.1.2-20 可知於暴潮發生的時間，兩單位之潮位資料皆無紀錄，且氣象局則只有 7 月 19 日以後之資料。而模式的推算暴潮最大值則為 0.5 公尺。圖 2.1.2-21 為蘇澳港於颱風之推算結果，由圖中可知兩單位之資料於 7 月 13 至 18 日皆有較完整的潮位紀錄，模式之推算暴潮最大值約為 0.51 公尺，而港研中心之實測最大值約為 0.45 公尺，氣象局之實測最大值約為 0.81 公尺。其中模式推算最大值距港研中心數據時間約早 2 個小時，與氣象局數據時間約晚為 2 個小時。圖 2.1.2-22 為花蓮港測站於泰利颱風之暴潮推算結果，由圖中可

知港研中心較為完整，氣象局則只有 8 月 27 日至 9 月 1 日之資料，於暴潮發生時間則無紀錄。模式推算最大暴潮為 0.47 公尺，而港研中心數據則為 0.67 公尺，大暴潮發生時間之模式推算值與港研中心觀測值，則為同時。

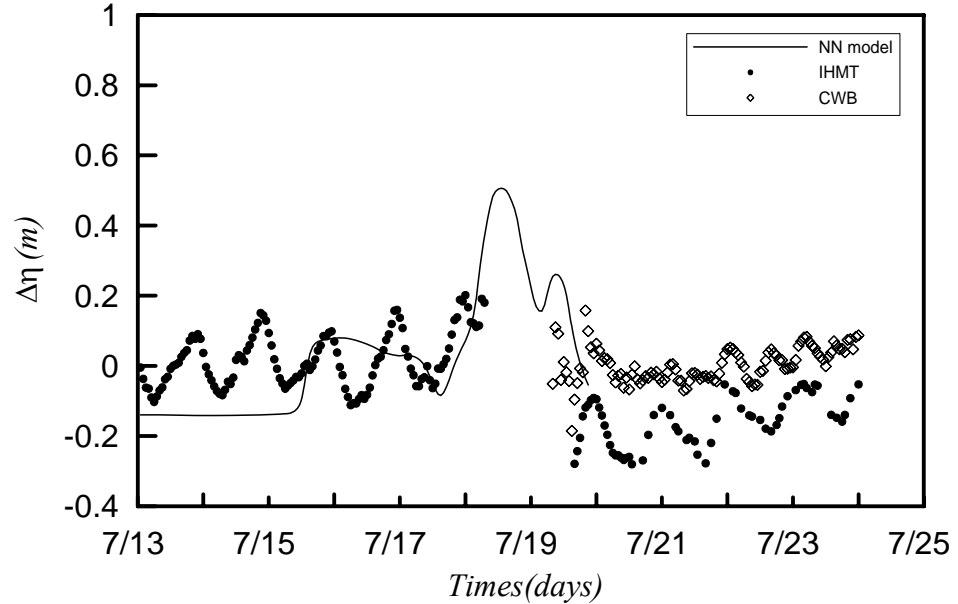


圖 2.1.2-20 海棠颱風暴潮偏差與花蓮港觀測值之比較

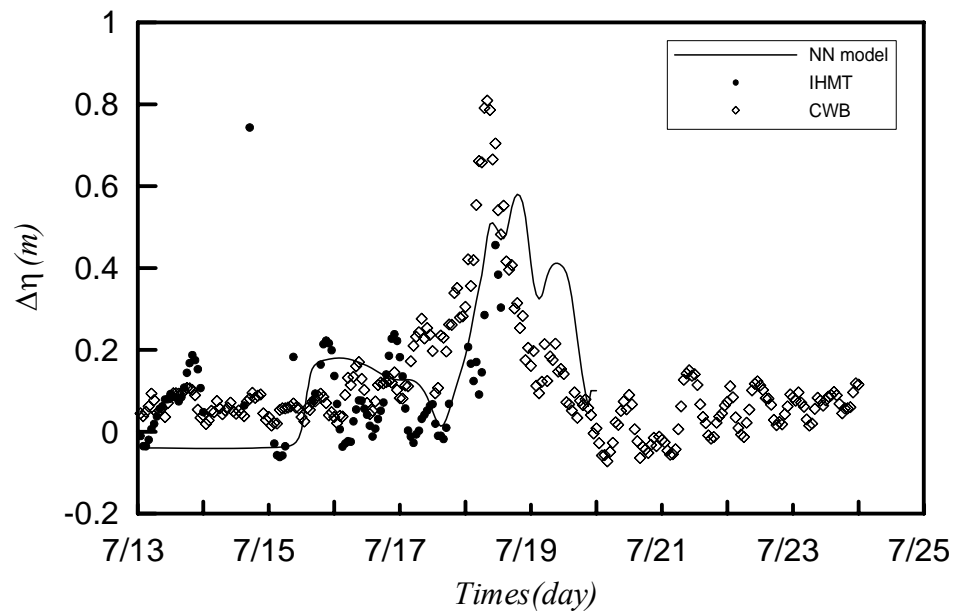


圖 2.1.2-21 海棠颱風暴潮偏差與蘇澳港觀測值之比較

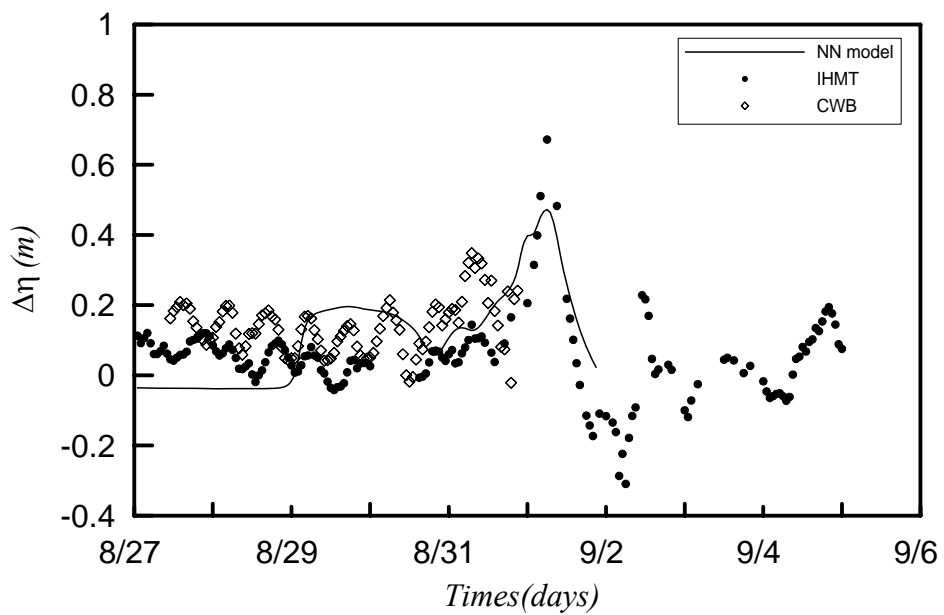


圖 2.1.2-22 泰利颱風暴潮偏差與花蓮港觀測值之比較

2.1.3 全年最大水位推估

本計畫從 2004 年 11 月開始接收氣象局動態氣象場資料，累積至今年 2005 年 10 月共 11 個月，已橫跨四季及颱風季節，因此進行整年度的水位計算，推估全年最大水位，可作為工程運用之參考依據，結果如表 2.1.3-1。

表 2.1.3-1 全年最大水位推估值

港名	發生時間	水位（公尺）
基隆	2005/08/05 04:00	0.718
臺北	2005/07/23 01:00	1.495
臺中	2005/09/20 13:00	2.572
安平	2005/07/21 07:00	0.802
高雄	2005/07/23 07:00	1.044
蘇澳	2005/07/23 07:00	1.0
花蓮	2005/07/23 07:00	1.021

2.2 海流模式

2.2.1 二維海流模式

二維海流模式原理請參照水位模式部分，此部分為水深平均流速，主要驅動力為潮汐及風驅流，並無洋流的輸入。由於本年度未取得實際的流速資料，再加上模式得出的結果並非近岸流場，與近岸流速計測出之流場比對有其困難度，因此僅列出過去 10 各颱風及今年度兩個颱風之流場模擬結果，待未來取得實測資料會積極進行模式比對，以供未來擴散模式利用。目前模式計算網格大小為 10 分解析度，時間步長為 20 秒。

2.2.2 三維海流模式

本計畫後續幾年將建置污染物傳輸模式，以完成完整的防救災預報系統，因此會需要三維的流場資訊作為傳輸動力，所以本年度計畫規劃了三維水動力模式。由於三維水動力模式需要的計算時間相當的長，以目前單一 PC 的運算速度來說，要當作預報模式是不可行的，所以在三維水動力模式部分僅為初步建置，主要目標仍是將二維水動力模式上線，待未來平行計算主機建置完成後，再將其正式上線。

控制方程式使用球面座標系統展示如下：

動量方程式

$$\begin{aligned} \frac{1}{J} \frac{\partial}{\partial t} (Ju) + \frac{1}{JR \cos \phi} \frac{\partial}{\partial \lambda} (Ju^2) + \frac{1}{JR \cos \phi} \frac{\partial}{\partial \phi} (J \cos \phi uv) + \frac{1}{J} \frac{\partial}{\partial x_3} (J \tilde{w} u) = \\ \frac{\tan \phi}{R} uv + 2\Omega \sin \phi v - \frac{1}{R \cos \phi} \left(g \frac{\partial \zeta}{\partial \lambda} - \frac{1}{\rho_0} \frac{\partial \rho_a}{\partial \lambda} \right) + Q_\lambda + \frac{1}{J} \frac{\partial}{\partial x_3} \left(\frac{\nu_T}{J} \frac{\partial u}{\partial x_3} \right) + \\ \frac{1}{JR \cos \phi} \frac{\partial}{\partial \lambda} (J \tau_{\lambda \lambda}) + \frac{1}{JR \cos \phi} \frac{\partial}{\partial \phi} (J \cos \phi \tau_{\phi \lambda}) - \frac{\tan \phi}{R} \tau_{\phi \lambda} \end{aligned} \quad (2.2.2-1)$$

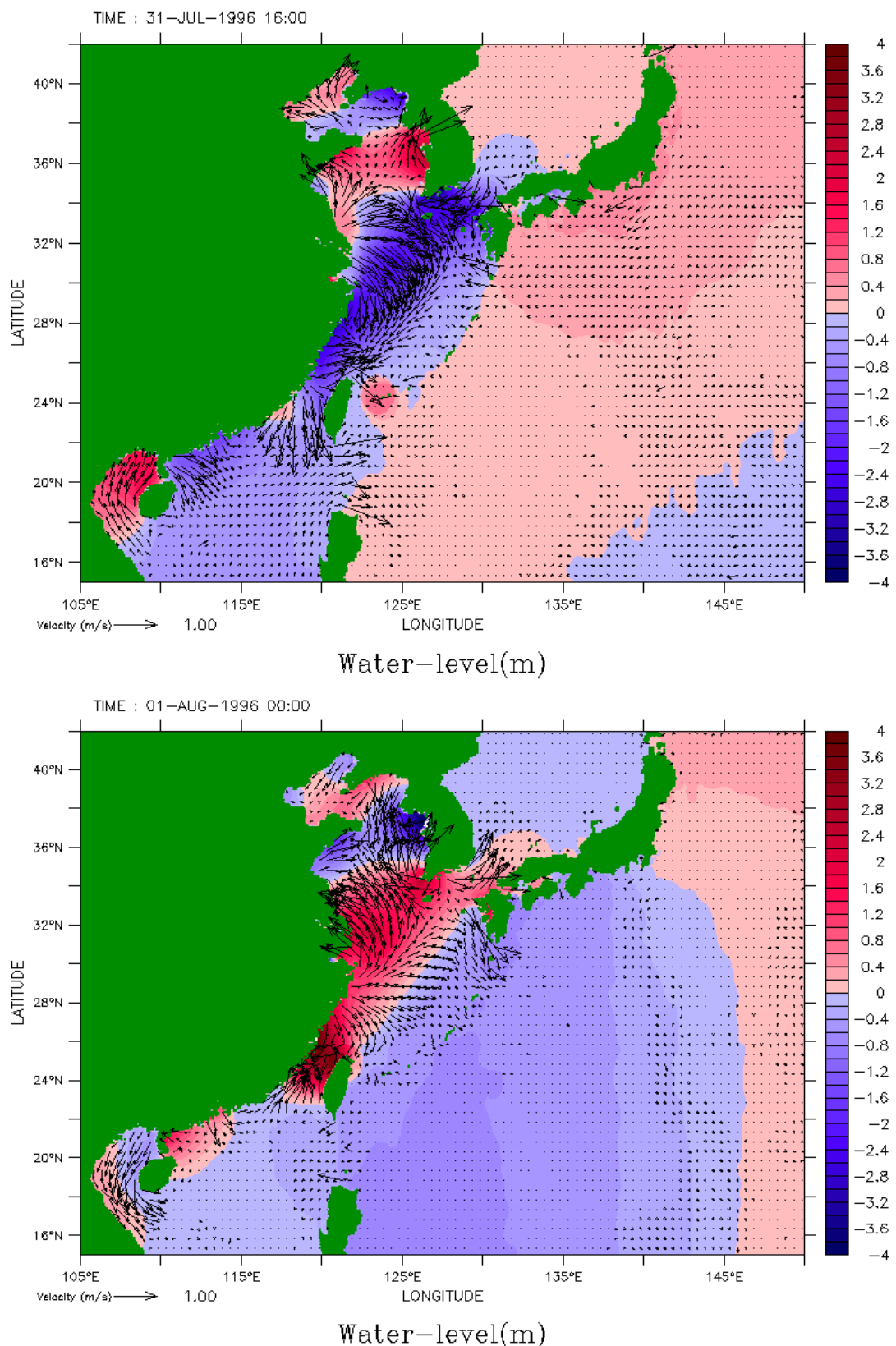


圖 2.2.1-1 賀伯颱風期間平面流場截圖

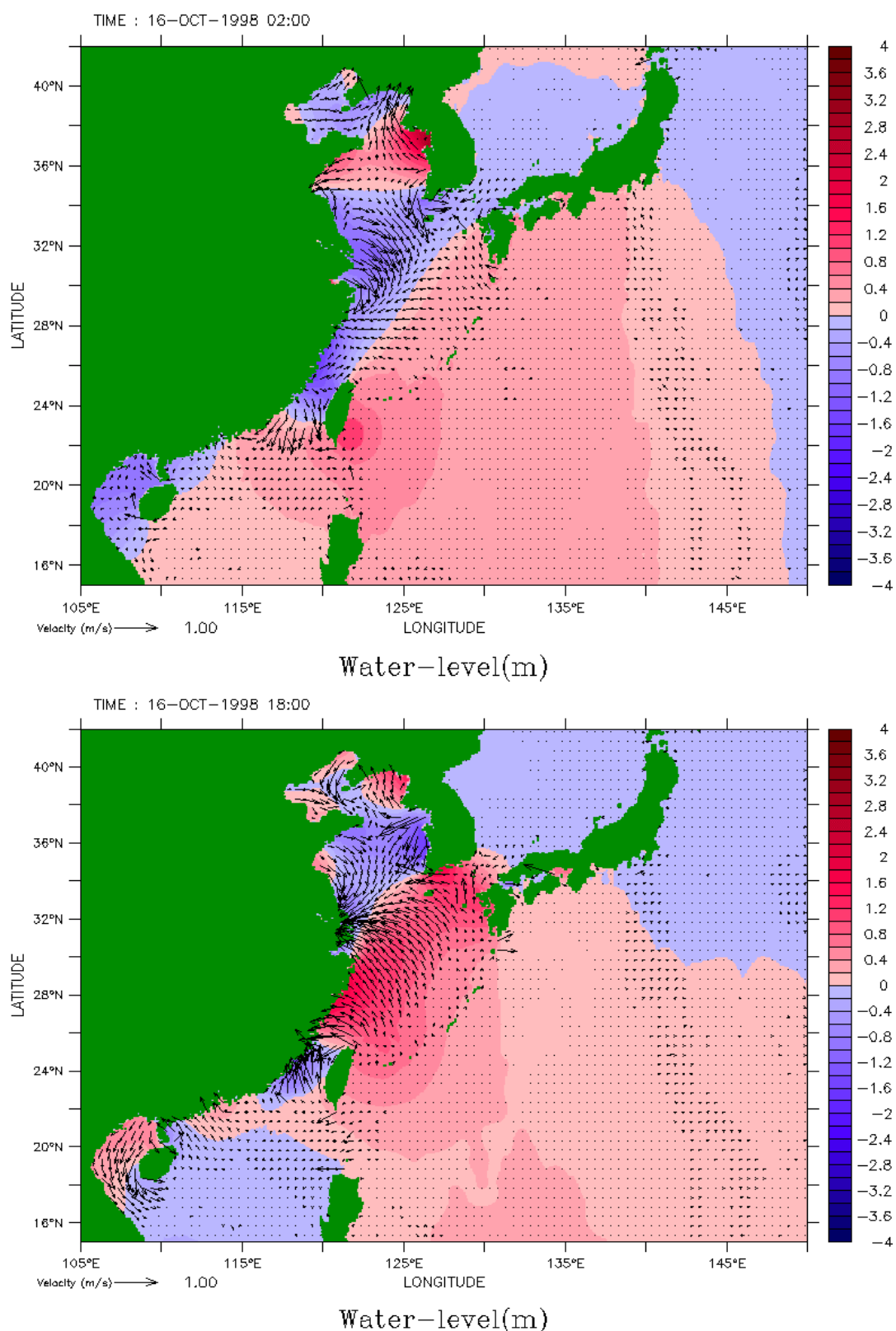


圖 2.2.1-2 瑞伯颱風期間平面流場截圖

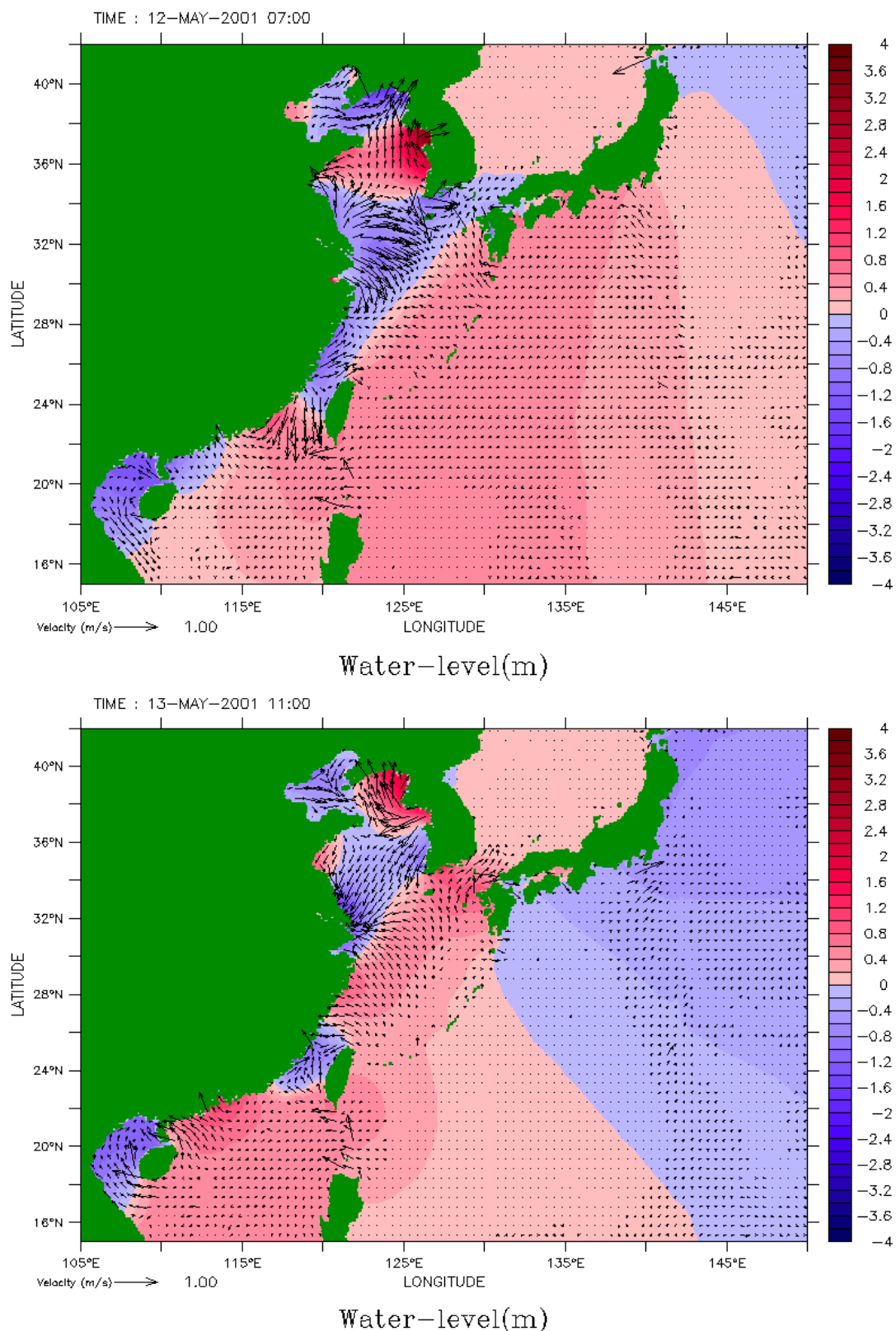


圖 2.2.1-3 西馬隆颱風期間平面流場截圖

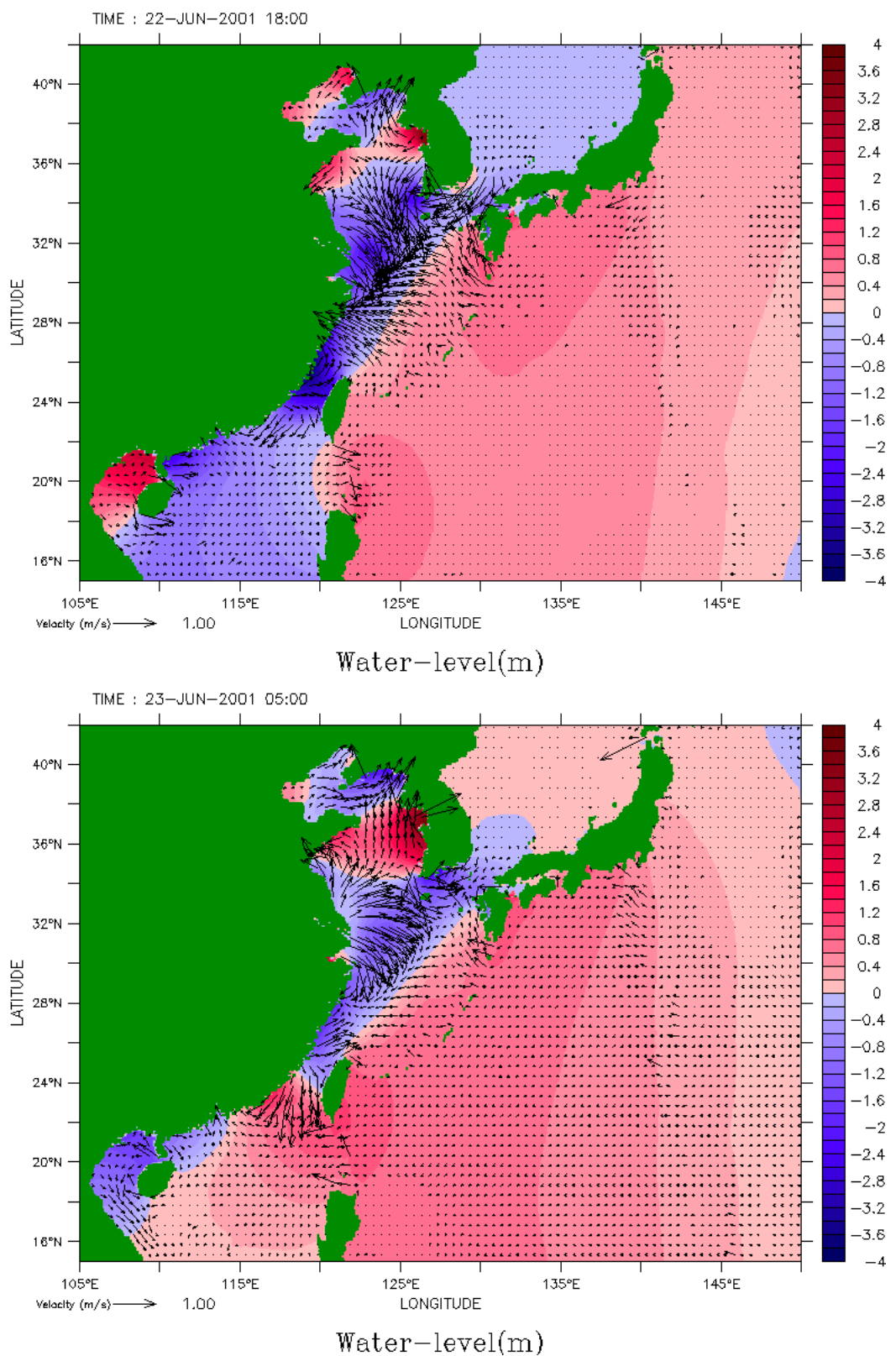


圖 2.2.1-4 奇比颱風期間平面流場截圖

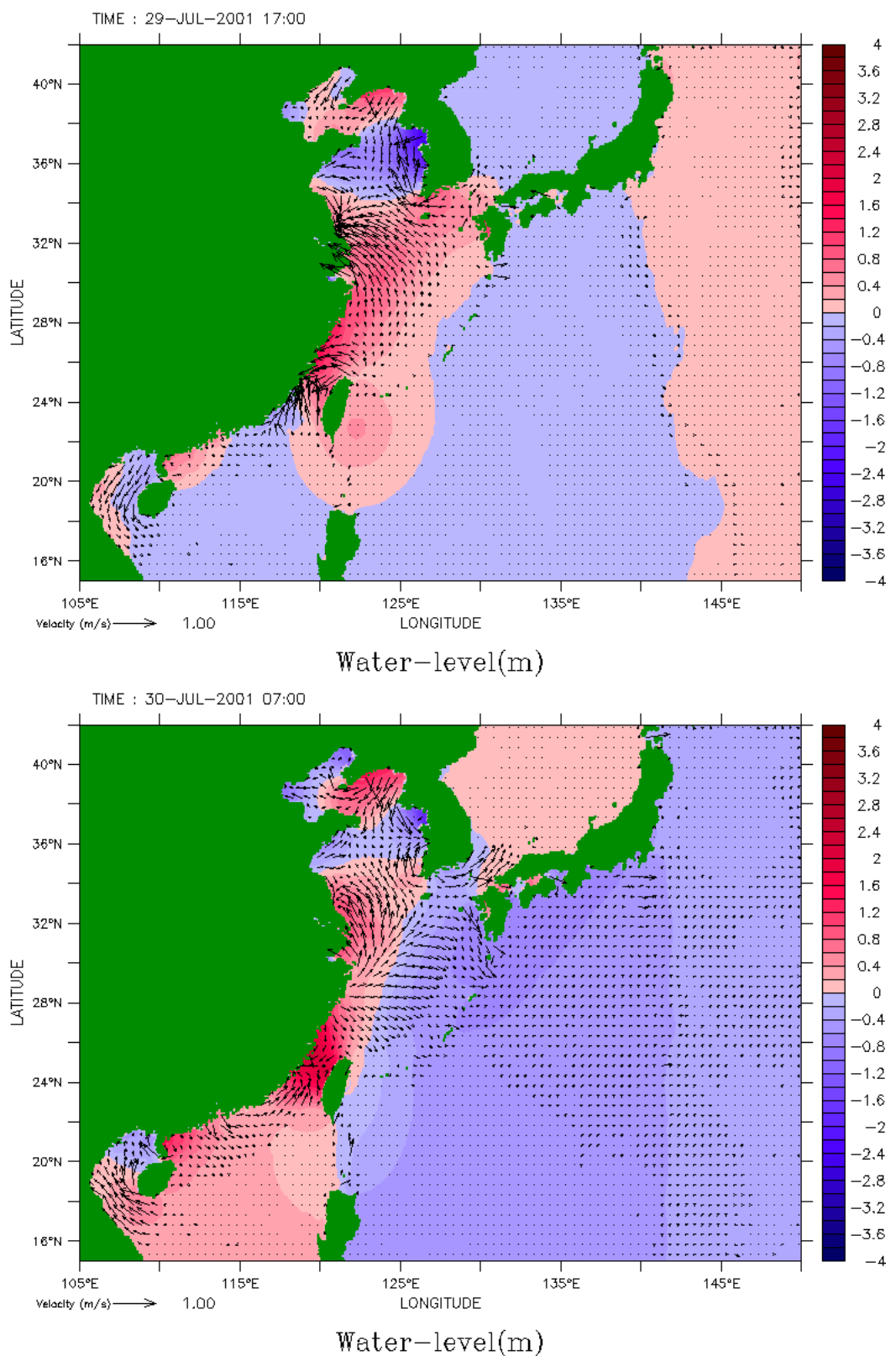


圖 2.2.1-5 桃芝颱風期間平面流場截圖

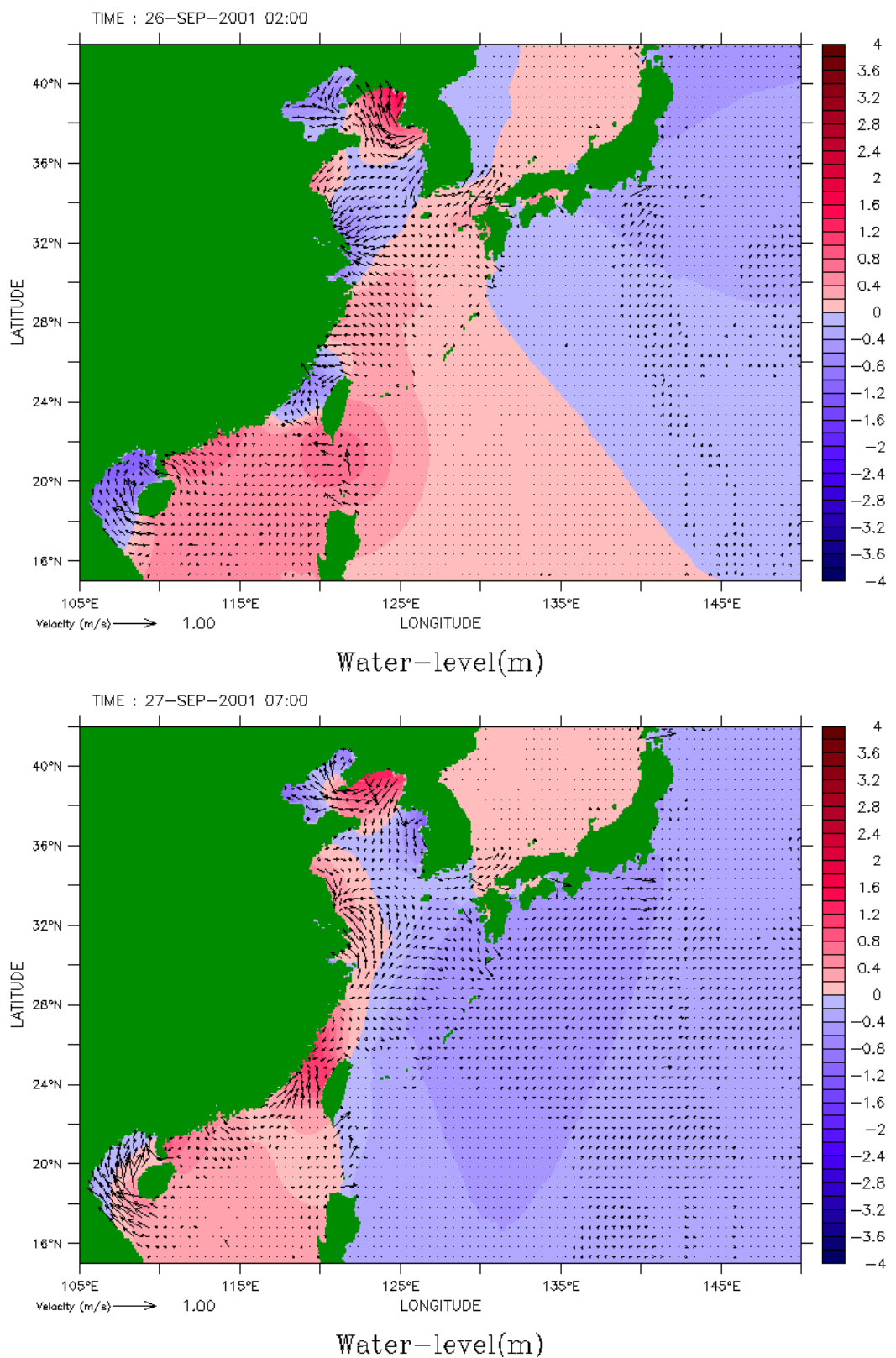


圖 2.2.1-6 利奇馬颱風期間平面流場截圖

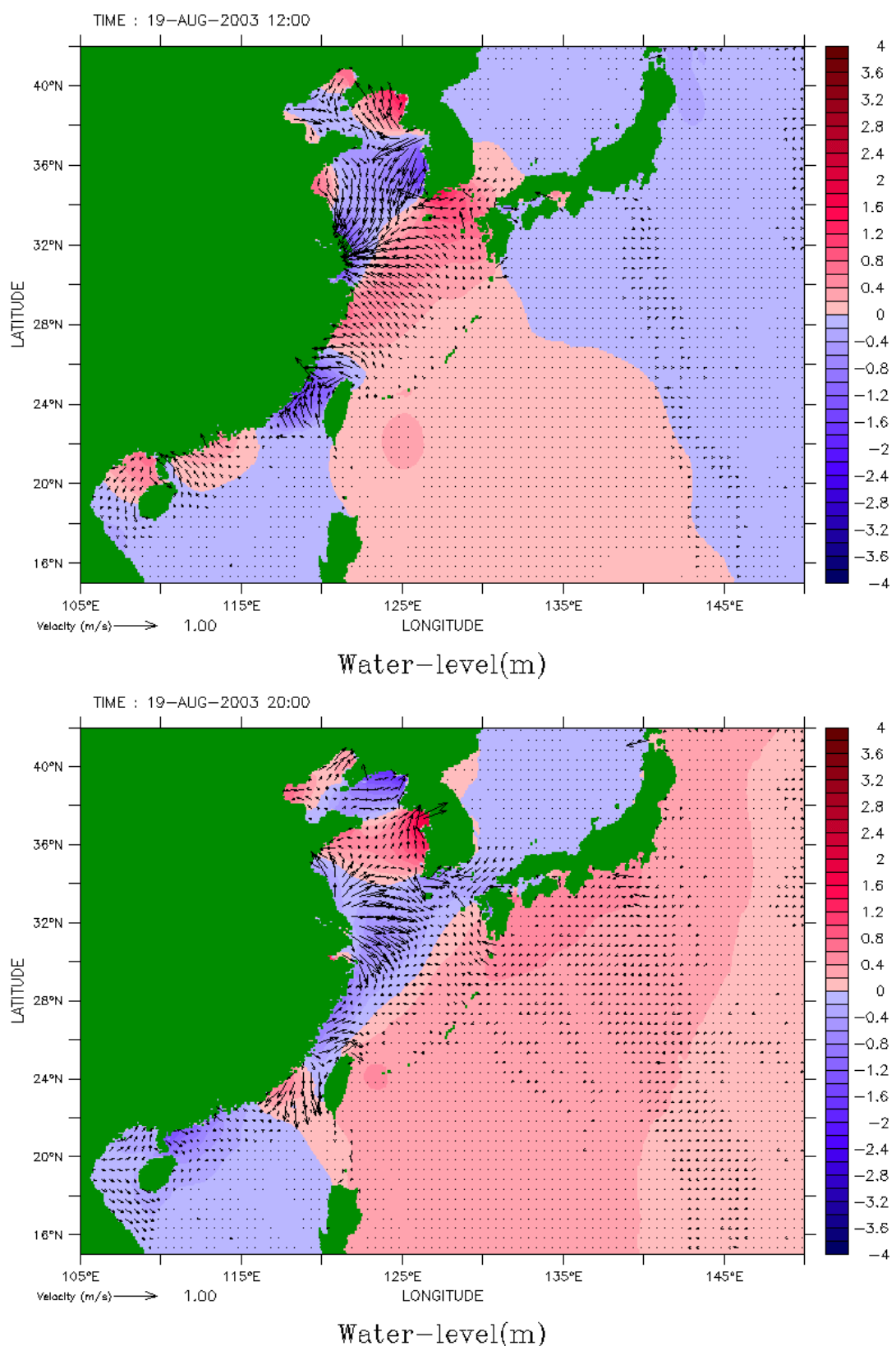


圖 2.2.1-7 梵高颱風期間平面流場截圖

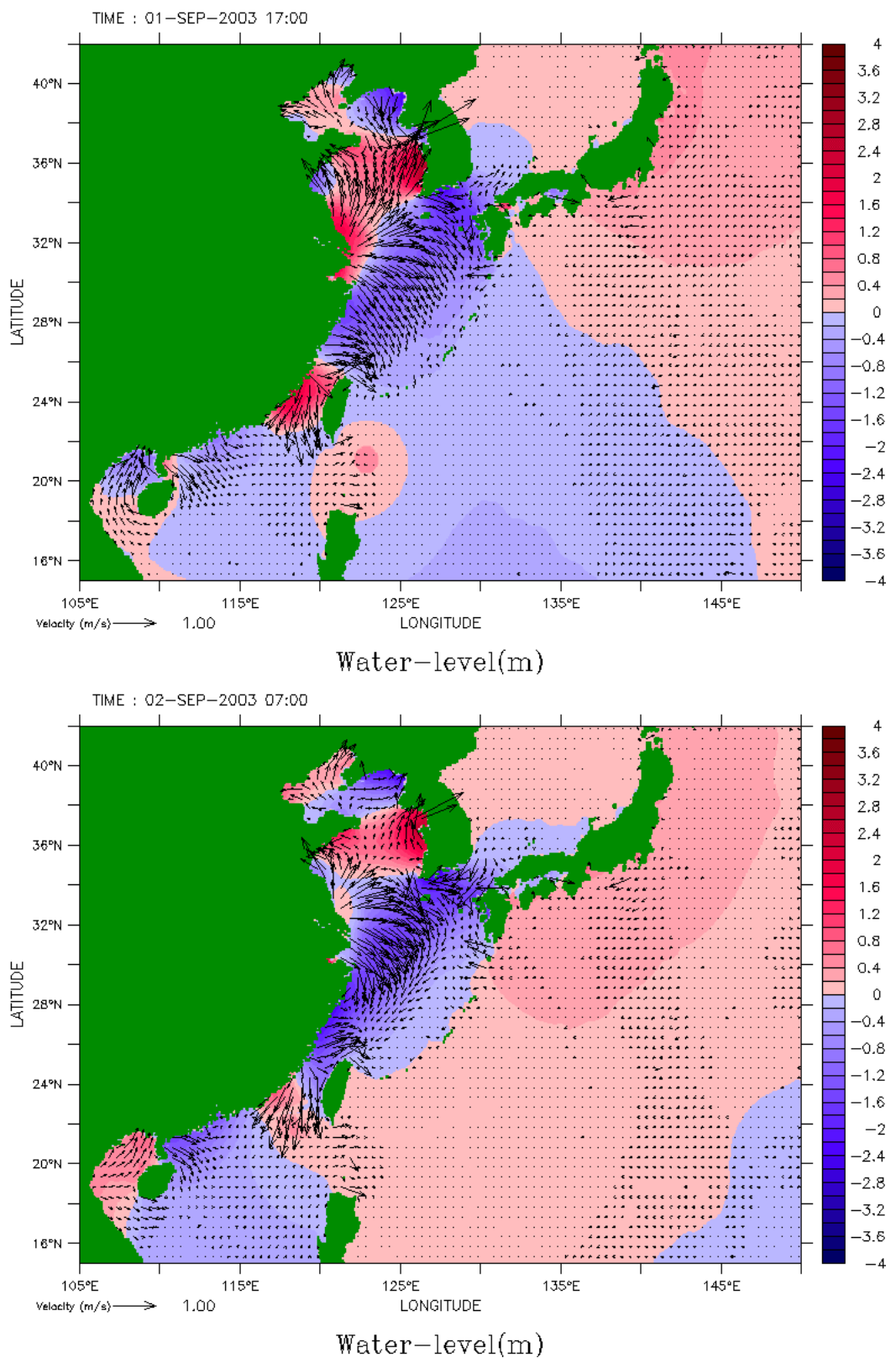


圖 2.2.1-8 杜鵑颱風期間平面流場截圖

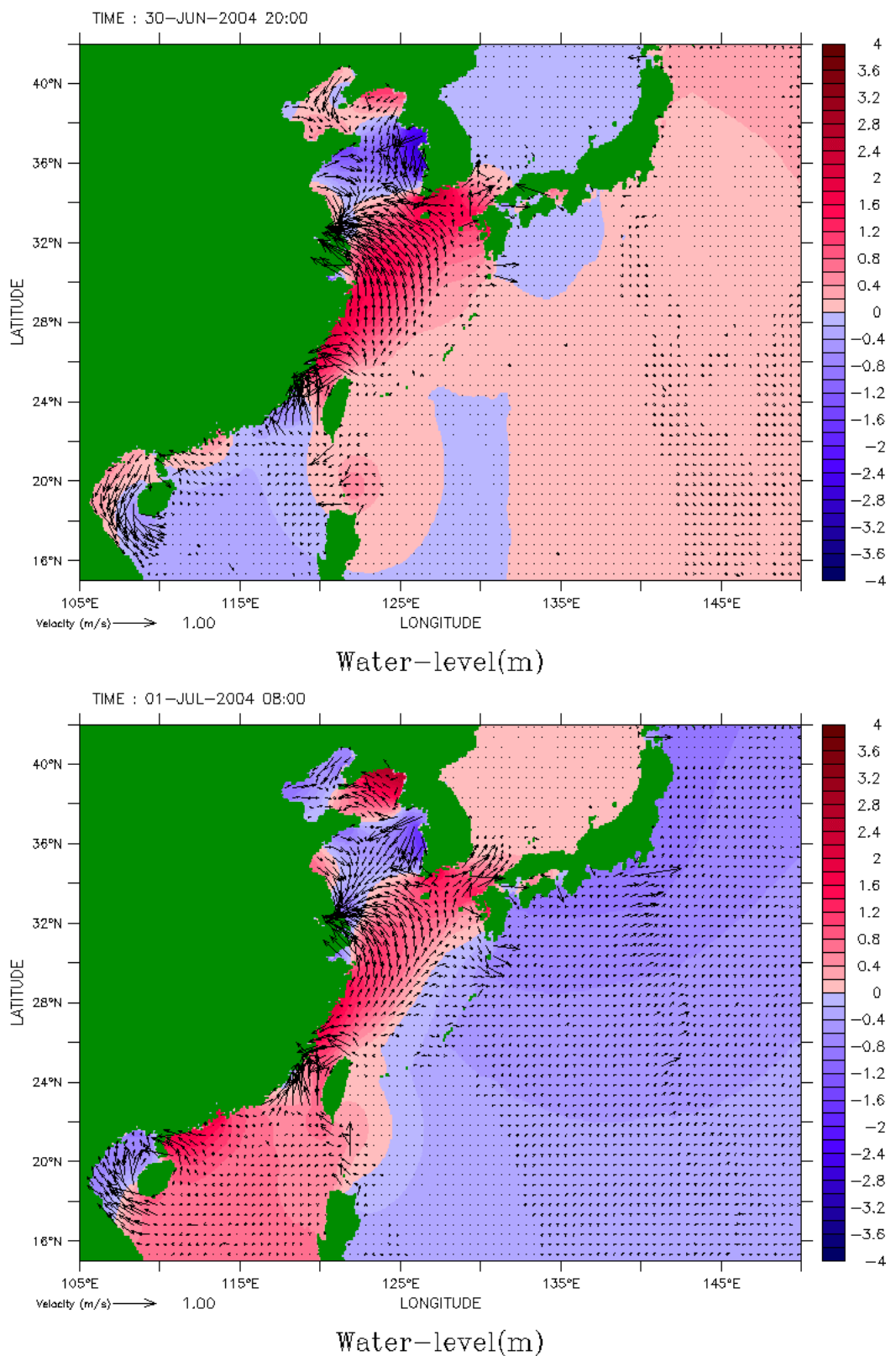


圖 2.2.1-9 敏督利颱風期間平面流場截圖

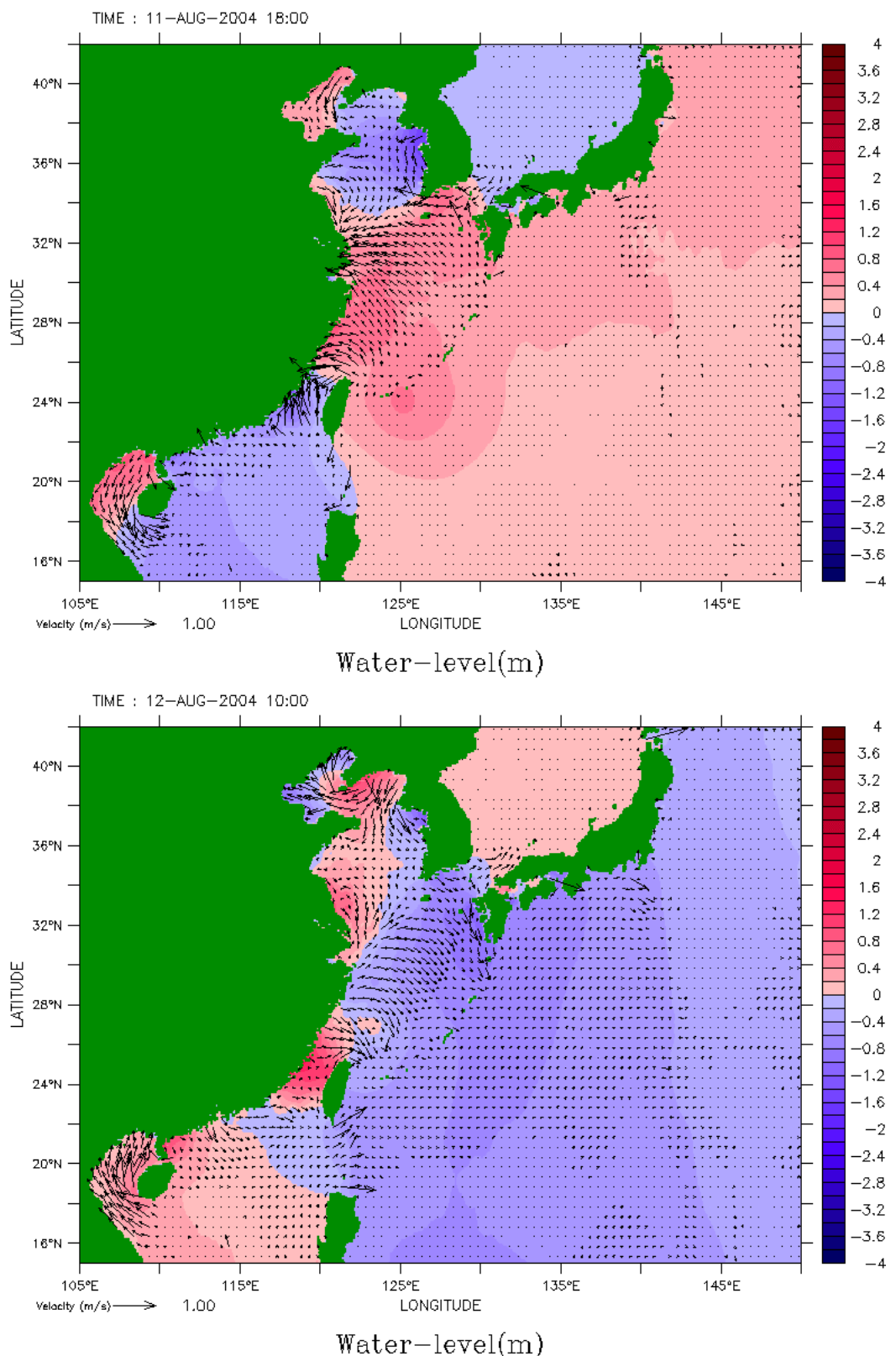


圖 2.2.1-10 蘭寧颱風期間平面流場截圖

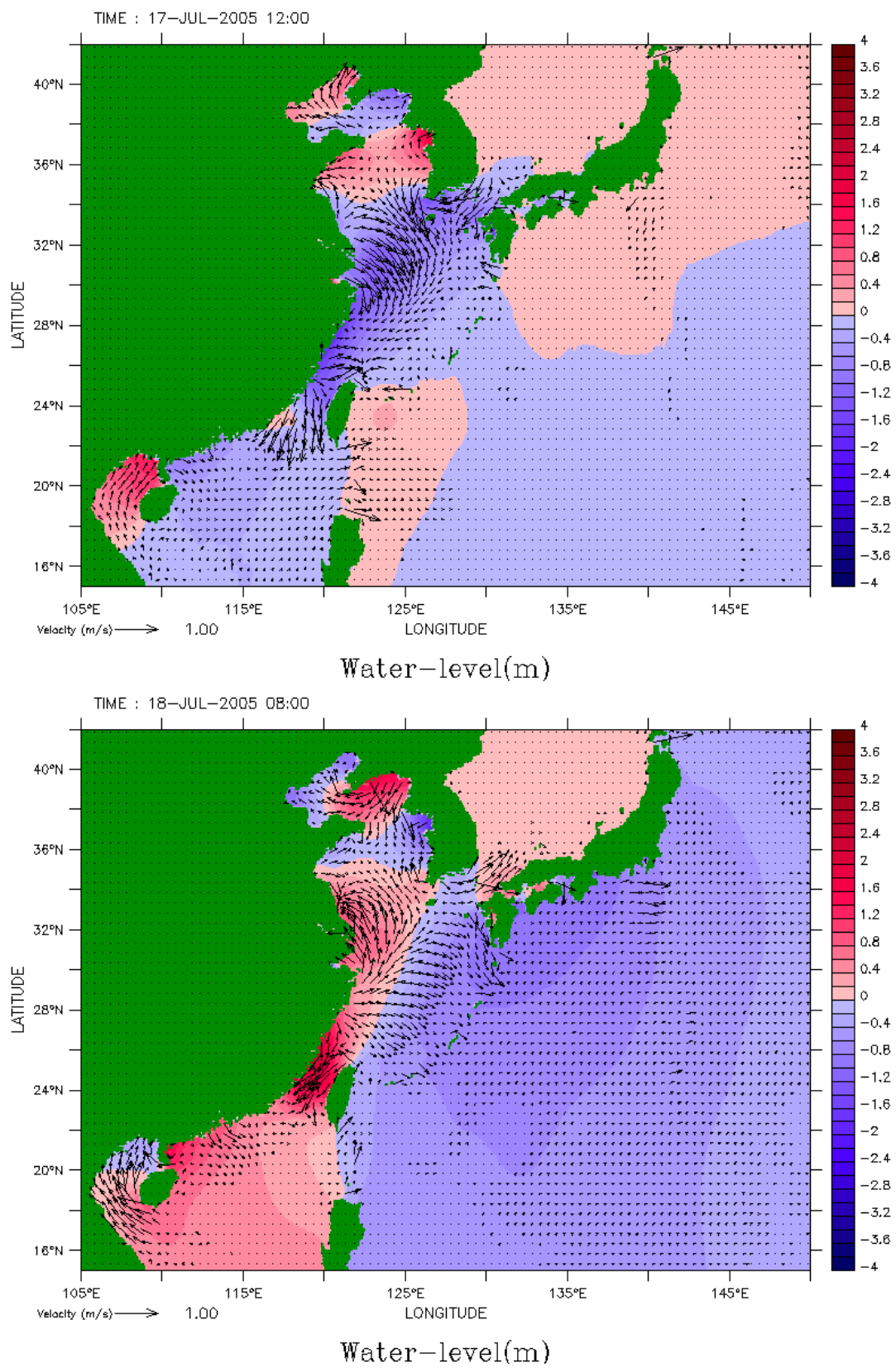


圖 2.2.1-11 海棠颱風期間平面流場截圖

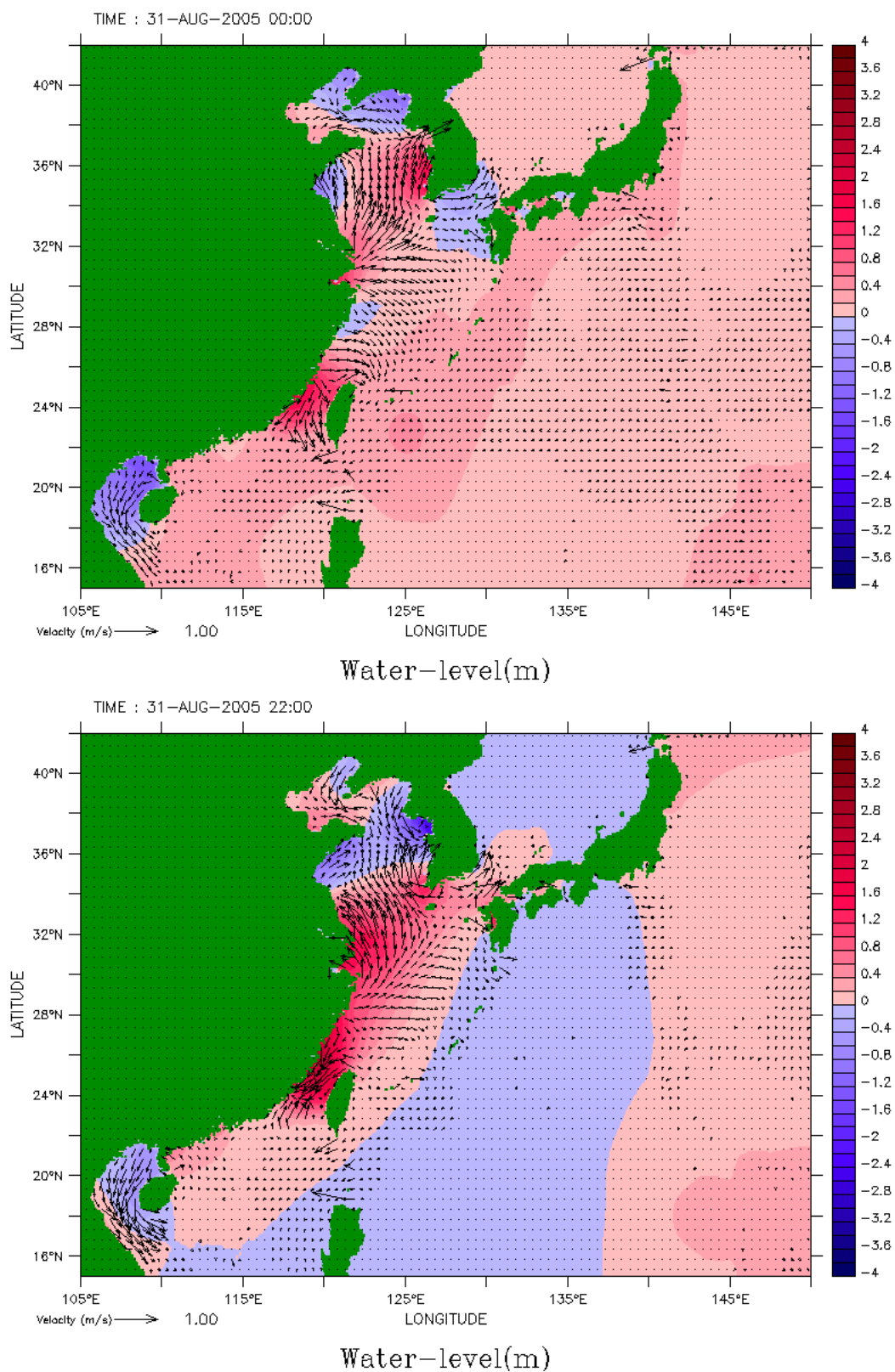


圖 2.2.1-12 泰利颱風期間平面流場截圖

$$\begin{aligned}
& \frac{1}{J} \frac{\partial}{\partial t} (Jv) + \frac{1}{JR \cos \phi} \frac{\partial}{\partial \lambda} (Ju v) + \frac{1}{JR \cos \phi} \frac{\partial}{\partial \phi} (J \cos \phi u^2) + \frac{1}{J} \frac{\partial}{\partial \tilde{x}_3} (J \tilde{w} u) = \\
& -\frac{\tan \phi}{R} u^2 - 2\Omega \sin \phi u - \frac{1}{R} \left(g \frac{\partial \zeta}{\partial \phi} - \frac{1}{\rho_0} \frac{\partial \rho_a}{\partial \phi} \right) + Q_\phi + \frac{1}{J} \frac{\partial}{\partial \tilde{x}_3} \left(\frac{\nu_T}{J} \frac{\partial v}{\partial \tilde{x}_3} \right) + \\
& \frac{1}{JR \cos \phi} \frac{\partial}{\partial \lambda} (J \tau_{\lambda \phi}) + \frac{1}{JR \cos \phi} \frac{\partial}{\partial \phi} (J \cos \phi \tau_{\phi \phi}) + \frac{\tan \phi}{R} \tau_{\lambda \lambda}
\end{aligned} \quad (2.2.2-2)$$

連續方程式

$$\frac{1}{J} \frac{\partial J}{\partial t} + \frac{1}{JR \cos \phi} \frac{\partial}{\partial \lambda} (Ju) + \frac{1}{JR \cos \phi} \frac{\partial}{\partial \phi} (J \cos \phi v) + \frac{1}{J} \frac{\partial}{\partial \tilde{x}_3} (J \tilde{w}) = 0 \quad (2.2.2-3)$$

壓力平衡方程式

$$\frac{1}{J} \frac{\partial q_d}{\partial \tilde{x}_3} = -g \left(\frac{\rho - \rho_0}{\rho_0} \right) \quad (2.2.2-4)$$

其中

$$Q_\lambda = -\frac{1}{JR \cos \phi} \left\{ \frac{\partial}{\partial \lambda} (J q_d) - \frac{\partial}{\partial \tilde{x}_3} \left[q_d \left(\sigma \frac{\partial H}{\partial \lambda} - \frac{\partial h}{\partial \lambda} \right) \right] \right\}$$

$$Q_\phi = -\frac{1}{JR} \left\{ \frac{\partial}{\partial \phi} (J q_d) - \frac{\partial}{\partial \tilde{x}_3} \left[q_d \left(\sigma \frac{\partial H}{\partial \phi} - \frac{\partial h}{\partial \phi} \right) \right] \right\}$$

$$\tau_{\lambda \lambda} = 2\nu_H \left(\frac{1}{R \cos \phi} \frac{\partial u}{\partial \lambda} - \frac{\tan \phi}{R} v \right)$$

$$\tau_{\phi \lambda} = \tau_{\lambda \phi} = \nu_H \left(\frac{1}{R} \frac{\partial u}{\partial \phi} + \frac{\tan \phi}{R} u + \frac{1}{R \cos \phi} \frac{\partial v}{\partial \lambda} \right)$$

$$\tau_{\phi \phi} = 2\nu_H \frac{1}{R} \frac{\partial v}{\partial \phi}$$

三維海流模式計算，僅由潮汐及風場驅動，並未加入洋流等其它的外部流場之邊界條件輸入。

圖 2.2.2-1 至圖 2.2.2-3 為泰利颱風期間三維流場各層分佈截圖，模式垂直分層為 10 層，採用深度平均分層。由於計算時間相當長，因此採用 10 分的地形作為模式計算格點縮短計算時間。圖上可明顯看出表層流速由於受到颱風的影響，因此流速較中層及底層來的大；而在海峽內部由於深度較淺，因此流速大小幾乎相同，惟表面受到颱風風場影響，流向與底層有所差異。

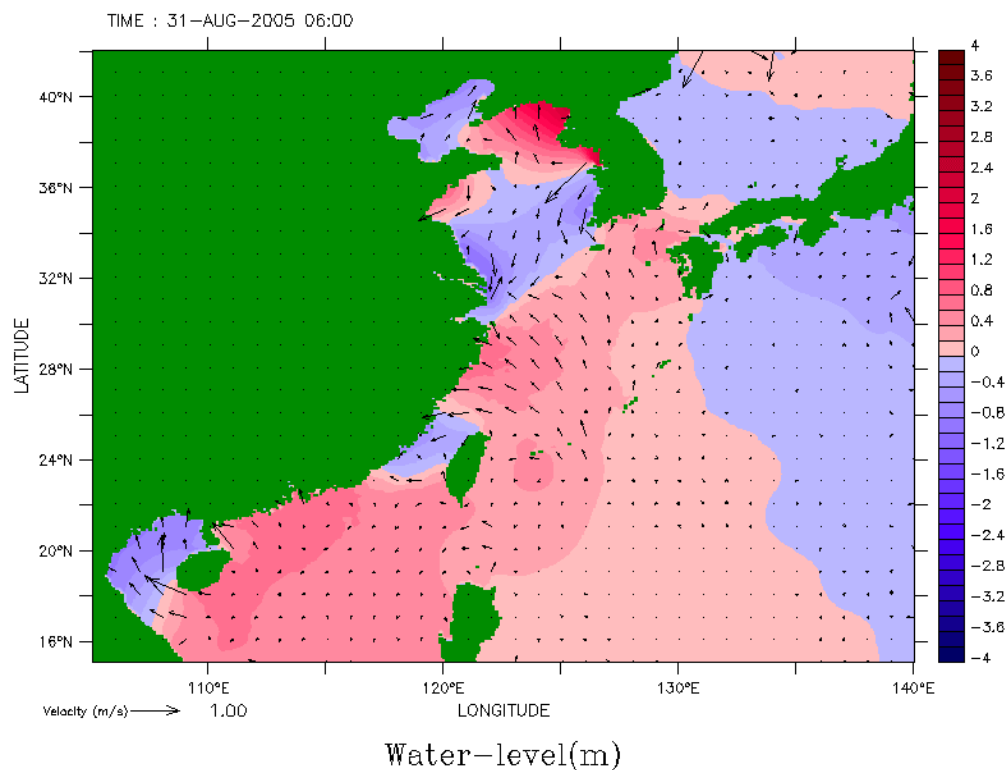


圖 2.2.2-1 泰利颱風期間表層流場分佈

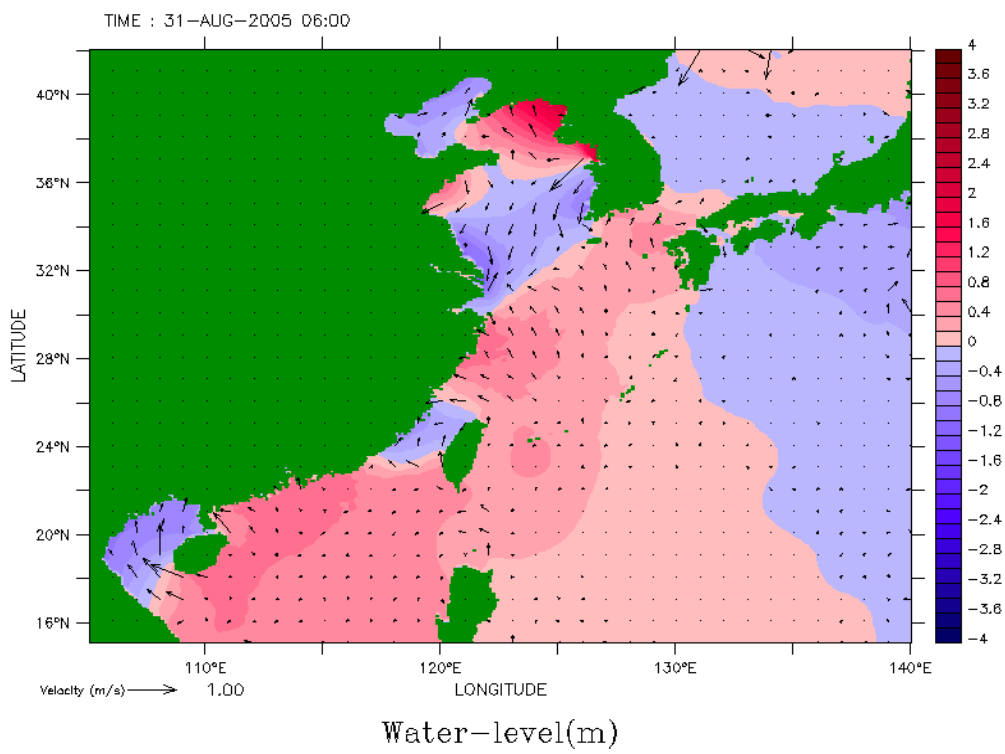


圖 2.2.2-2 泰利颱風期間中層流速分佈

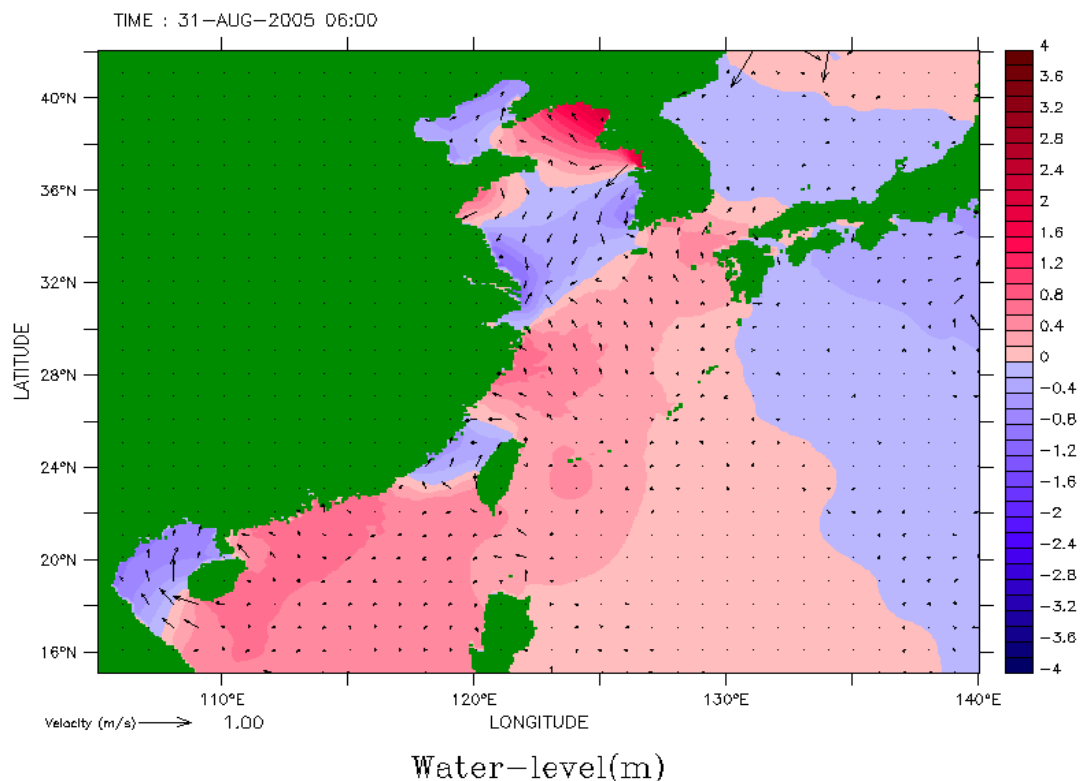


圖 2.2.2-3 泰利颱風期間底層流速分佈

第三章 臺灣海域波浪模式

3.1 臺灣海域全域風浪模式系統

3.1.1 WAM 模式基本理論及功能概述

本系統所使用的全域風浪模式是經過 WAMDI Group (1988)在模式的物理過程和數值方法上加以改良後，適用於遠域風浪預報的 WAM 模式(Wave Model)。WAM 模式所使用的基本控制方程式為波浪能量平衡方程式，此方程式能描述方向波譜在時間及空間上的變化過程。這些變化過程包括風傳遞到波浪的波能輸入條件、白沫效應、底床摩擦和波、波之非線性交互作用。其波浪能量平衡方程式可表示為：

$$\frac{\partial E}{\partial t} + \nabla_h \cdot [(\bar{U} + \bar{C}_g)E] = S_{tot} \quad (3.1-1)$$

由於在計算大範圍波場時，地球曲率將會影響到波浪的傳遞，為使模式適用於大範圍之計算，將式(3.1.1)從直角座標轉換為球面座標，其方程式表示如下 (WAMDI Group , 1988)：

$$\frac{\partial E}{\partial t} + (\cos \phi)^{-1} \frac{\partial}{\partial \phi} (C_\phi E) + \frac{\partial}{\partial \lambda} (C_\lambda E) + \frac{\partial}{\partial \theta} (C_\theta E) = S_{tot} \quad (3.1-2)$$

式中， ϕ 為緯度， λ 為經度， C_ϕ 、 C_λ 與 C_θ 分別 ϕ 、 λ 與 θ 領域之傳遞速度，各領域的傳遞速度如下：

$$C_\phi = C_g \sin \theta / R, \quad C_\lambda = C_g \cos \theta / R \cos \phi \quad (3.1-3)$$

$$C_\theta = \frac{1}{k} \frac{\partial \sigma}{\partial d} \left(\frac{\sin \theta}{\cos \phi} \frac{\partial d}{\partial \lambda} - \cos \theta \frac{\partial d}{\partial \phi} \right) / R \quad (3.1-4)$$

如同波譜的線性假設，源項可表示為不同波浪成長與消散的能量總和，即

$$S_{tot} = S_{in} + S_{nl} + S_{ds} + \dots \quad (3.1-5)$$

式中 S_{in} 為風傳遞到波浪的波能輸入通量， S_{nl} 為波與波間之非線性

交互作用波能傳遞通量， S_{ds} 為白沫效應所引起的波能消散通量。

當波浪傳遞至近岸地區時，由於水深變淺、地形變化顯著以及海流之作用，波浪可能受到碎波與底床摩擦影響導致波浪能量的衰減，而海流與地形變化也會使波浪在傳遞過程中產生頻率位移與折射效應。然而當波浪在遠域傳播時，這些現象並不顯著，而且波浪作用力在波浪傳遞過程中仍須保持守恆 (Bretherthon 和 Garrett, 1968)，因此波浪作用力平衡方程式可退化成簡單的方程式。若不考慮波浪成長與消散情況時，波浪作用力平衡方程式可寫成：

$$\frac{\partial N}{\partial t} + \nabla_h \cdot [(\bar{U} + \bar{C}_g)N] = 0 \quad (3.1-6)$$

式中， $N(\sigma, \theta) = E(\sigma, \theta)/\sigma$ 為波浪作用力密度波譜， $E(\sigma, \theta)$ 為能量密度波譜。將 $E(\sigma, \theta)$ 代入式 (3.1.6)，則上式可改寫成

$$\frac{\partial E}{\partial t} + \nabla_h \cdot [(\bar{U} + \bar{C}_g)E] = \frac{E}{\sigma} \left[\frac{\partial \sigma}{\partial t} + (\bar{U} + \bar{C}_g) \cdot \nabla_h \sigma \right] \quad (3.1-7)$$

上式當波浪角頻率不因時空而變化時，可進一步化簡為波浪能量平衡方程式。但如果波浪場中有流之作用時，則能量平衡方程式將不適用，不過波浪作用力平衡方程式仍然成立，故利用波浪作用平衡力方程式可較為適用於地形與海流變化劇烈之近岸地區。

3.1.2 WAM 模式硬體及作業系統規格

本計劃在應用 WAN 模式模擬臺灣環島遠域之波浪時，採用桌上型高速電腦計算，相關規格為 INTEL Pentium 4 CPU 2.80 GHz 之中央處理器，512 MB 之記憶體，作業系統為 Microsoft Windows XP。由於 WAM 模式利用 Fortran 90 程式語言發展，故利用標準 Fortran 90 程式語言編譯成相關程式執行檔，本計劃選擇之編譯程式為 Compaq Visual Fortran Professional Edition 6.6。

3.1.3 WAM 模式流程圖

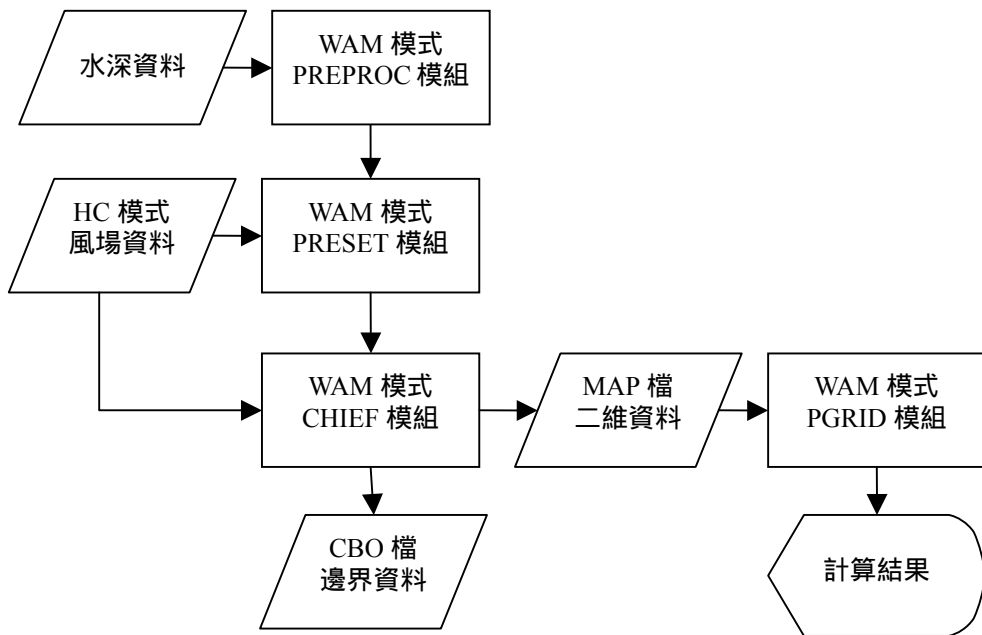


圖 3.1-1 WAM 風浪模式操作流程

3.1.4 WAM 模式相關程式檔說明

本計畫中所使用的版本是 WAM cycle 4 版本，其中包含數個模組 PREPROC、PRESET、CHIEF、BOUINT、PGRID、PSWGRID、PSPEC 及 PSWSPEC 等，根據本計劃執行需求，只使用到格網處理模組 PREPROC、初始值給定模組 PRESET、風浪計算模組 CHIEF 與後處理模組 PGRID。以下說明各模組之處理程序。

WAM 模式計算時，首先執行格網處理模組 PREPROC，程式檔名為 preproc.exe，此模組為模式計算前置作業之一，主要處理模式計算所需之格網水深資料、頻率帶及方位角、巢狀格網等相關資料，記錄於 ..\coarse 目錄下之 gridtai、ubuftai、bouctai。前置作業之二為初始值給定模組 PRESET，程式檔檔名為 preset.exe，此模組主要為 JONSWAP 波譜相關參數及風場輸入資料之設定，並將模式計算之初始條件記錄於 ..\coarse 目錄下之 blspanal、slatanal、lawianal。本計劃應用 WAM 模式進行長期波浪推算，因模式計算設定條件相同，故僅於首次計算時執行此二模組，初始條件則紀錄於相關檔案中，供後續模式計算使用。

風浪計算模組 CHIEF，程式檔檔名為 wamodel.exe，此模組為模式計算之主軸，包含決定模式計算時間、座標系、考慮折射與否以及計算結果相關輸出內容。後處理模組 PGRID，程式檔檔名為 pgrid.exe，此模組則是將風浪計算模組計算輸出之二維資料，分析為簡易作業之格式。

3.1.5 WAM 模式計算範圍

本計畫應用 WAM 模式能快速模擬風浪能力與 SWAN 模式能解析近岸較小校格網之功能，利用兩者相互配合模擬海面風浪，使用 WAM 模式模擬大範圍海域風浪演變，利用 SWAN 模式內插 WAM 模式所計算出來的二維頻譜，獲得小範圍 SWAN 模式所需之邊界入射條件，使用巢狀網格進行計算，可清楚模擬出颱風波浪於近岸處的分佈情形。圖 3.1-2 顯示遠域波浪計算範圍及水深分佈圖。詳細的操作程序可參考 93 年度期末報告的附件--全區波浪模式使用手冊(SWAN 模式)。

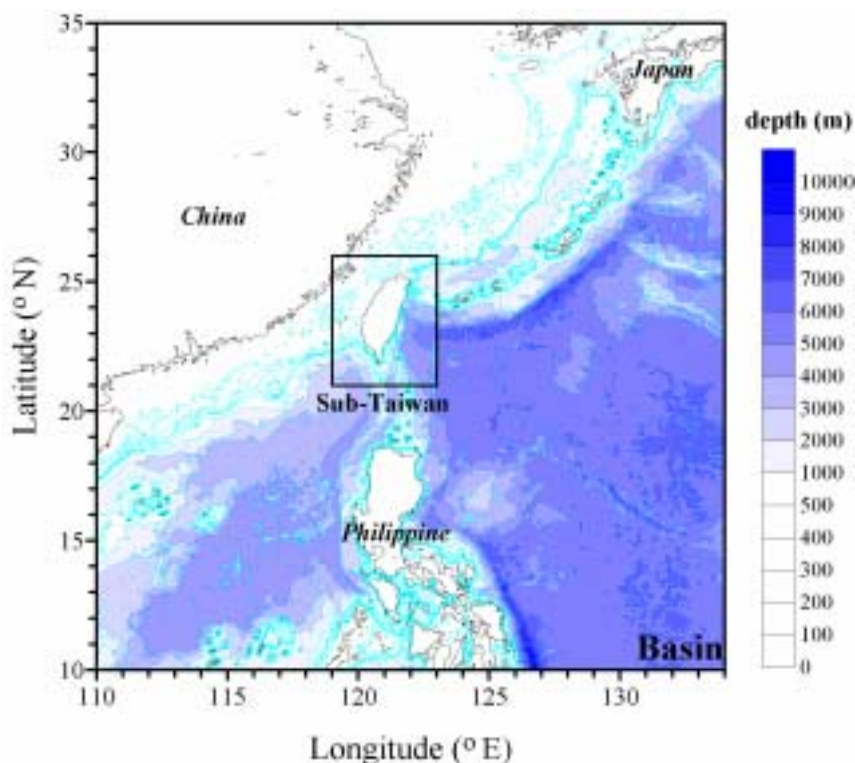


圖 3.1-2 遠域波浪計算範圍及水深分佈圖

3.1.6 SWAN 的理論基礎

臺灣近岸海域的波浪模式係引用由荷蘭 Delft 技術大學所發展的波浪模式 SWAN 模式(Simulating WAve Nearshore, Booij et al., 1996)。在過去數十年中，有關波浪預報波浪的方法，從利用各種型式的經驗公式來推算波浪，發展至以波浪數值模式利用電子計算機的快速運算來更周延地預測波浪，目前已經發展到第三代的波浪模式，例如 SWAN、WAM 及 Wave Watch III 等模式即其中具有代表性的模式。目前這些模式在全世界有相當多的國家在使用這些模式進行海洋及近海的波浪預報。然而，由於考慮的尺度不同，這些模式中對波浪的物理過程的描述並不完整，尤其是波浪的傳遞和消長過程。SWAN 的使用手冊便指出該模式沒有考慮波浪的繞射以及因為波浪引起的流。

SWAN 模式是一個利用風、海底底床及海流狀況以獲得在海岸地區、湖泊或河口附近水域的合理預估的波浪參數的波浪數值模式，這個數值模式基本上是依據波浪作用力平衡方程式 (wave action balance equation) 或是沒有流作用下的能量平衡方程式，以及源流與沉流 (source and sink)，它是屬於第三代的波浪預報模式。此一模式係累積過去學者的研究成果為基礎加以整合及改良而成，它可以計算波浪在時間及空間領域中的傳遞、波與波的非線性交互作用、波浪受風的成長、碎波、因底床摩擦所造成的能力衰減、及受到海流及地形變化而產生的頻率位移、淺化與折射。因此，SWAN 模式具有推算近岸波浪的功能。

SWAN 的功能中可表現出下列的波浪傳播過程：

- (a) 在地理空間中的正線性傳播
- (b) 由於海底底床與水流在空間上的變化而引致的折射與淺化
- (c) 由於對向海流引起的阻滯與反射
- (d) 障礙物所引致的反射、阻滯或通過的情形以及下列有關波浪的生成及消散過程：

- (a) 因為風所引致的波浪生成
- (b) 因為白沫(whitecapping)所引致的波浪消散
- (c) 因為水深引起碎波(depth-induced wave breaking)所引致的波浪消散
- (d) 因為底床摩擦(bottom friction)所引致的波浪消散
- (e) 波浪間的交互作用(quadruplets and triads wave-wave interaction)
- (f) 障礙物

此外，SWAN 也可以計算因為波浪所引致的平均海平面的上升(wave-induced set-up)。

SWAN Cycle III 可以在直角座標及球面座標系統中進行定常(stationary)及部分非定常狀態(optionally non-stationary)的波浪模擬。定常狀態的模擬應用於短期的波浪作用，例如當波浪通過該水域的時間小於地理學上的條件（如波浪的邊界條件、風、潮位及暴潮等）。而類定常的模擬(quasi-stationary)則可以結合定常的 SWAN 計算模擬在時變序列上的定常狀況。

然而，我們也必須了解到 SWAN 並沒有考慮波浪的繞射。因此，SWAN 不應使用於在很短波長的距離內水深變化很大的場合，也因此 SWAN 不適用於島嶼或港灣附近的波浪模擬。SWAN 也不計算因為波浪引致的水流，該項水流必須被視為資料輸入的一部份。

在 SWAN 中，不論非線性效應是否明顯，波浪是利用二維的波浪作用力頻譜密度函數來描述。其理由是在高度非線性的情形下，它似乎可以比較合理且正確地預測波浪的二階頻譜矩的分布。SWAN 中所適用的頻譜是波浪作用力頻譜密度函數 $N(\sigma, \theta)$ (其中， σ 為相對頻率； θ 為波浪方向角)，而不是能量頻譜密度函數 $E(\sigma, \theta)$ ，主要是因為當有流的作用時，作用力密度可以守恆，但能量密度則否 (例如，Whitham, 1974)。 $N(\sigma, \theta) = E(\sigma, \theta)/\sigma$ 。在 SWAN 中，此一頻譜可以隨著時間及空

間而改變。其理論簡述如下，詳細的理論敘述可參考 SWAN 的使用手冊：

(1)作用力平衡方程式(wave action balance equation)

波譜的發展過程可以用頻譜作用力平衡方程式來描述(Hasselmann et al., 1973)

$$\frac{\partial N}{\partial t} + \frac{\partial c_x N}{\partial x} + \frac{\partial c_y N}{\partial y} + \frac{\partial c_\sigma N}{\partial \sigma} + \frac{\partial c_\theta N}{\partial \theta} = \frac{S}{\sigma} \quad (3.1-8)$$

其中，左式第一項表示作用力密度隨時間的變化率；第二及第三項為作用力在空間中分別以 c_x 及 c_y 的速度在 x -及 y -軸方向傳遞；第四項為受到水深及流的變化所導致相對頻率在 σ -軸上以 c_σ 的速度位移；第五項係表示因為水深或流所引起的折射(在 θ -軸上以 c_θ 的速度傳遞)；這些速度可以線性波理論計算而得(如，Whitham, 1974；Mei, 1983；Dingemans, 1997)。右式的 $S (= S(\sigma, \theta))$ 是以能量密度表示的來源項，包含能量的生成、衰減、及非線性的波浪交互作用。

(2)風的能量輸入

風的能量傳入波的理論是以 Phillips(1957)的共鳴機制(resonance mechanism)以及 Miles(1957)的回饋機制(feed-back mechanism)來描述，其關係式如下：

$$S_{in}(\sigma, \theta) = A + BE(\sigma, \theta) \quad (3.1-9)$$

其中，A 及 B 的係數值受到波浪頻率及方向，以及風速及風向的影響。流的影響也是以區域性的風速及風向來表示。

(3)能量消散

SWAN 考慮的波浪能量的消散項包含了三個部分：飛沫(whitecapping) $S_{ds,w}(\sigma, \theta)$ 、底床摩擦 $S_{ds,b}(\sigma, \theta)$ 、及水深引起碎波 $S_{ds,b}(\sigma, \theta)$ 。

飛沫主要是由波形尖銳度(wave steepness)所控制，依據 Hasselmann(1974)所推導的 Pulse-based 模式，此一消散項可表為

$$S_{ds,w}(\sigma, \theta) = -\Gamma \tilde{\sigma} \frac{k}{\tilde{k}} E(\sigma, \theta) \quad (3.1-10)$$

其中， Γ 是與波形尖銳度有關的係數； $k = 2\pi/L$ 是波數； L 是波長； $\tilde{\sigma}$ 及 \tilde{k} 分別為平均相對頻率及平均波數。

因為水深引致的能量消散的原因包含了底床摩擦、底床運動、底部滲漏、及因為底床不規則性所產生的逆向散射。對於屬砂質底床的大陸棚海域，其主要的消散機制應該是底床摩擦

$$S_{ds,b}(\sigma, \theta) = -C_{bottom} \frac{\sigma^2}{g^2 \sinh^2 kd} E(\sigma, \theta) \quad (3.1-11)$$

其中， C_{bottom} 為底床摩擦係數。由於底床摩擦所引致的平均水流對能量消散的影響並不在考慮範圍內，其原因是在於該項因子的影響程度尚無法掌握。

有關因為水深引致的碎波過程，至今我們的了解仍然有限，更遑論它的頻譜變化。目前可以掌握的是因為碎波所引致的總能量消散

$$S_{ds,br}(\sigma, \theta) = \frac{D_{tot}}{E_{tot}} E(\sigma, \theta) \quad (3.1-12)$$

其中， E_{tot} 是總波浪能量； D_{tot} (負值)是依據 Battjes 及 Janssen(1978) 所提有關因為碎波導致的總能量消散。 D_{tot} 的值與碎波參數 $\gamma = H_{max}/d$ 有明顯關係，其中 H_{max} 為最大可能個別波高； d 為當地水深。

SWAN 可以估算透過一個結構體（如防波堤或壩）的波浪。這樣的結構物可能以兩種方式影響波浪場：其一，它可以沿著結構體的堤身局部性降低波高；其次，在結構體的端緣產生波浪的繞射。SWAN 本質上並不考慮繞射現象，但對於多方向不規則波場而言，除非波譜為窄頻，且在結構物附近一至二個波長的範圍內，波浪繞射效應並不顯著，因此 SWAN 仍可以很合理地計算結構物附近的波場。就 SWAN 的海底地形格點分割而言，因為結構物的橫斷面積相對太小而無法顯示，因此往往將結構物視為一條線。如果防波堤是容許越波情形發生

時，其透過係數可表為

$$K_t = 0.5 \left[1 - \sin \left(\frac{\pi}{2\alpha} \left(\frac{F}{H_i} + \beta \right) \right) \right] \quad \text{for } -\beta - \alpha < \frac{F}{H_i} < \alpha - \beta \quad (3.1-13)$$

其中， $F=h-d$ 是堤體的乾舷高度； H_i 是入射波高； h 是冠牆高度； d 是平均水位； α 及 β 係數則與堤體的形狀有關，參考值如表 3.1-1。

表 3.1-1 不同堤體之透過係數參數表

堤體種類	α	β
直立薄板	1.8	0.10
沉箱	2.2	0.40
2:3 坡度的壩體	2.6	0.15

(4) 非線性波浪交互作用

在深水區裡，四波交互作用(quadruplet wave-wave interaction)的現象主導了頻譜的發展。它將能量從譜峰處下低頻區傳遞(所以譜峰頻率向低頻方向移動)以及向高頻區傳遞(以白沫型式消散能量)。而在非常淺水區，三波交互作用將能量低頻區傳遞至高頻區而引起較高的諧波。

3.1.7 SWAN 模式硬體及作業系統規格

本計劃在應用 SWAN 模式模擬臺灣環島近域之波浪時，採用桌上型高速電腦計算，相關規格為 INTEL Pentium 4 CPU 2.80 GHz 之中央處理器，512 MB 之記憶體，作業系統為 Microsoft Windows XP。由於 SWAN 模式利用 Fortran 90 程式語言發展，故利用標準 Fortran 90 程式語言編譯成相關程式執行檔，本計劃選擇之編譯程式為 Compaq Visual Fortran Professional Edition 6.6。

3.1.8 SWAN 模式流程圖

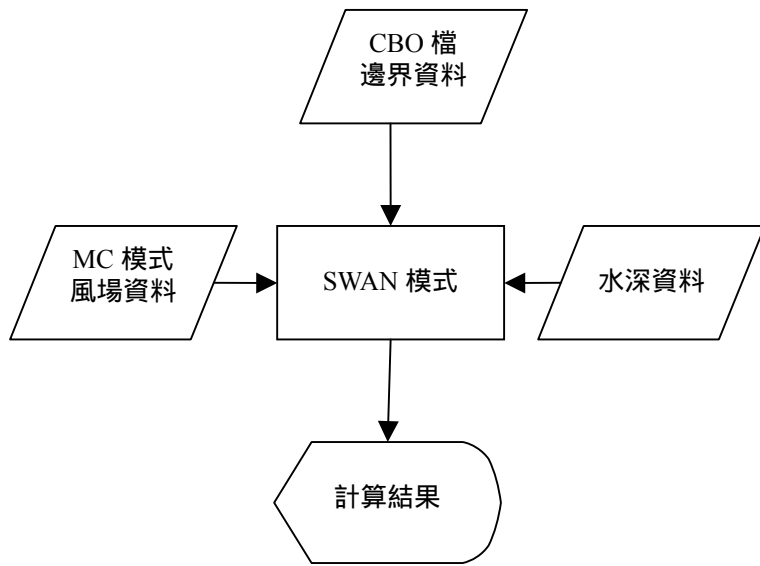


圖 3.1-3 SWAN 風浪模式操作流程

3.1.9 SWAN 模式相關程式檔說明

本計劃使用之 SWAN 模式為 SWAN cycle III Version 40.31 版本，模式執行程式包含模式處理批次檔 (swan.bat) 及風浪計算程式 (swannew.exe)。為便利計畫結束後相關人員之操作，本計劃建立模式處理之批次檔來進行模式計算，如此能簡易地完成模式計算過程。

模式程式檔之執行方式在 MS-DOS 環境下，路徑下須包括模式輸入檔、水深資料、風場資料及 CBO 檔邊界資料，執行批次檔 (D:\TaiCOMS\swan 01010100_swn) 即可完成模式計算。

3.1.10 SWAN 模式計算範圍

本計畫應用 WAM 模式能快速模擬風浪能力與 SWAN 模式能解析近岸較小校格網之功能，利用兩者相互配合模擬海面風浪，使用 WAM 模式模擬大範圍海域風浪演變，利用 SWAN 模式內插 WAM 模式所計算出來的二維頻譜，獲得小範圍 SWAN 模式所需之邊界入射條件，使用巢狀網格進行計算，可清楚模擬出颱風波浪於近岸處的分佈情形。

以計算 2002 年 1 月份波浪為例，說明 SWAN 模式實例操作過程。SWAN 模式之計算範圍與數位化水深如圖 3.1-4 所示，南至北緯 21° ，

北至北緯 26° ，西至中國大陸約在東經 119° ，東至東經 123° ，模式所應用的格網大小 $\Delta x = \Delta y = 0.04^{\circ}$ ，最小與最大頻率解析度為 0.05 Hz 和 1.0 Hz ，並採指數遞增分佈共 25 個頻率帶，方向波譜之解析度採用 $\Delta\theta = 15^{\circ}$ ，共計 24 個方位角，計算時間間隔為 $\Delta t = 10$ 分鐘。

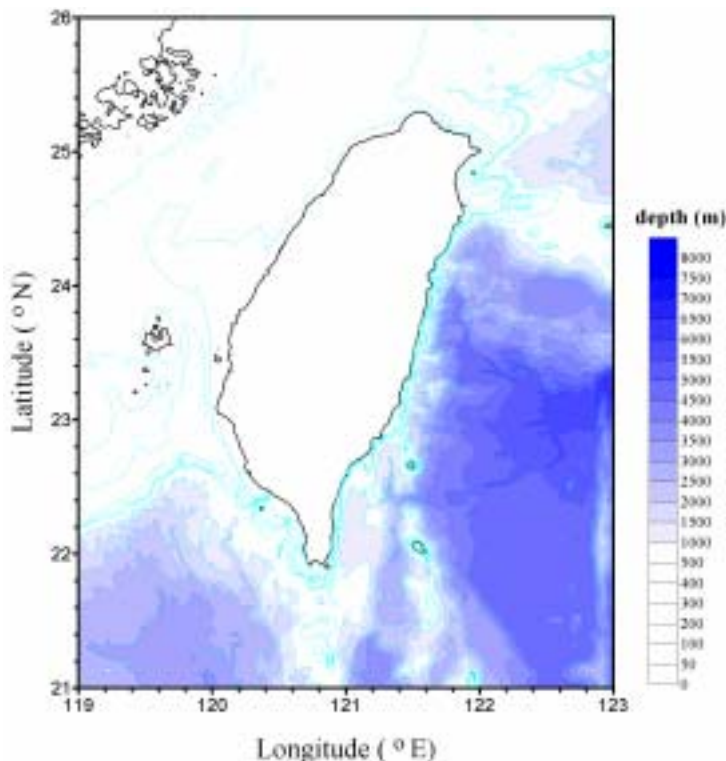


圖 3.1-4 臺灣附近海域計算範圍及水深分佈圖

地形水深檔檔名為 sub1_6hc.z，資料排列方式自左下往右排列，再由下往上排列。輸入風場範圍為南至北緯 10° ，北至北緯 34° ，西至中國大陸約在東經 110° ，東至東經 135° ，格網大小 $\Delta x = \Delta y = 0.2^{\circ}$ ，起始時間為 2002 年 1 月 1 日 0 時，每 3 小時輸入一筆風場資料，風場序列檔檔名為 wind_serial0201.dat。利用 WAM 模式生成之巢狀格網邊界檔檔名為 wam_nest0201.dat。模式計算結果輸出於 02010100_swn.dat，輸出起始時間為 2002 年 1 月 1 日 0 時，每 1 小時輸入一筆風場資料。依據上述計算條件進行模式設定模式相關輸入檔，如圖 3.1-3 所示。詳細的操作程序可參考 93 年度期末報告的附件

--全區波浪模式使用手冊(SWAN 模式)。

3.1.11 年度颱風比對結果

目前雖然已經建構了臺灣海域全域風浪模式系統，而且也完成了網頁連線與展示的功能，但由於各個波浪模擬程式中仍有許多與區域性有關的參數需要有在空間與時間上涵蓋性高的資料進行檢核與比對，並透過統計及相關性分析，或者資料同化的技巧操作，始可能找到適合臺灣海域的相關參數。在此之前，本節先以本年度所發生的兩個颱風—海棠颱風及泰利颱風—在七大商港(臺北港、臺中港、安平港、高雄港、基隆港、蘇澳港與花蓮港)的觀測資料與推算資料進行比對。圖 3.1-5 及 3.1-6 分別顯示兩個颱風的紀錄與路徑圖，基本上兩個颱風的行徑路徑屬於同一類型，也都從花蓮附近登陸及通過。

由於同時期的觀測資料因儀器的回收問題，在海棠颱風目前僅收集到基隆港、蘇澳港及花蓮港的波浪資料，而在泰利颱風期間則收集到基隆港、花蓮港及臺中港的波浪資料。圖 3.1-7 至 3.1-9 為海棠颱風期間(基隆港、蘇澳港及花蓮港)現場觀測資料、WAM 及 SWAN 推算資料的波高與週期比較圖，3.1-10 至 3.1-13 為海棠颱風期間在其他四個商港的 WAM 及 SWAN 推算資料的波高與週期比較圖。圖 3.1-14 至 3.1-16 為泰利颱風期間(基隆港、花蓮港及臺中港)現場觀測資料、WAM 及 SWAN 推算資料的波高與週期比較圖，3.1-17 至 3.1-20 為泰利颱風期間在其他四個商港的 WAM 及 SWAN 推算資料的波高與週期比較圖。

圖 3.1-7 至 3.1-13 中可發現，蘇澳港與花蓮港的推算波浪與實測波浪間的成長歷程相當類似，但基隆港的推算資料則過早的情形。WAM 及 SWAN 的推算波浪變化趨勢也有類似的地方，但 SWAN 的波高及週期值較 WAM 為小。高雄港的推算波高相當吻合，但沿著西部海岸則有越向北差異性越大的情形。研判應是與颱風的路徑、推算風場的正確性以及地形效應無法完全模擬有關。而圖 3.1-14 至 3.1-20 的泰利颱風期間的波浪比較亦發現相類似的情形，而且高雄港與安平港的變化相當雷同。

表 3.1-2 海棠颱風警報發佈概況表

中央氣象局颱風警報發布概況表	
名稱	海棠(HAITANG)
編號	0505
生成地點	關島北北東方海面
侵(近)臺日期	2005 年 7 月 18 日
發佈時間	海上:2005 年 7 月 16 日 14 時 30 分 陸上:2005 年 7 月 16 日 23 時 30 分
解除時間	海上:2005 年 7 月 20 日 2 時 30 分 陸上:2005 年 7 月 20 日 2 時 30 分
發佈報數	29
最大強度	強烈
近中心最大風速	55.0 (公尺/秒)
侵臺路徑分類	1
登陸地段	宜蘭東澳附近
動態	7 月 12 日在關島北北西方生成後，快速向西南西轉西北方向移動。7 月 18 日清晨接近臺灣時，在花蓮外海逆鐘向打轉一圈後，於當日 14 時 50 分左右於宜蘭東澳附近登陸，22 時左右於苗栗後龍附近進入臺灣海峽，繼續向西北移動。19 日 18 時在馬祖附近進入大陸，隨後於 20 日 20 時減弱為熱帶性低氣壓。

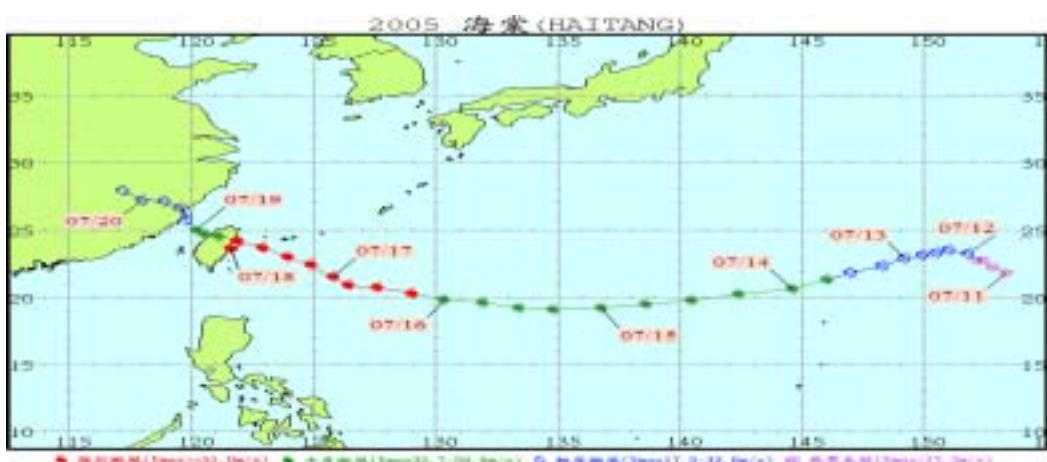


圖 3.1-5 2005 年 7 月海棠(Haitang)颱風記錄與路徑圖

表 3.1-3 泰利颱風警報發佈概況表

中央氣象局颱風警報發布概況表	
名稱	泰利(TALIM)
編號	0513
生成地點	關島西方海面
侵(近)臺日期	2005 年 9 月 1 日
發佈時間	海上:2005 年 8 月 30 日 8 時 30 分 陸上:2005 年 8 月 30 日 20 時 30 分
解除時間	海上:2005 年 9 月 1 日 23 時 30 分 陸上:2005 年 9 月 1 日 23 時 30 分
發佈報數	22
最大強度	強烈
近中心最大風速	53.0 (公尺/秒)
侵臺路徑分類	2
登陸地段	花蓮宜蘭之間
動態	8 月 27 日在關島西方生成後，向西北方向移動。28 日颱風轉向西北西方向朝臺灣移動。9 月 1 日清晨到達花蓮近海，其低層環流中心呈現滯留打轉並減弱消失，且隨即由臺中西方近海形成之副低壓中心取代，並持續向西北西移動。1 日 16 時進入大陸福建，隨後於 2 日 8 時後減弱為熱帶性低氣壓。

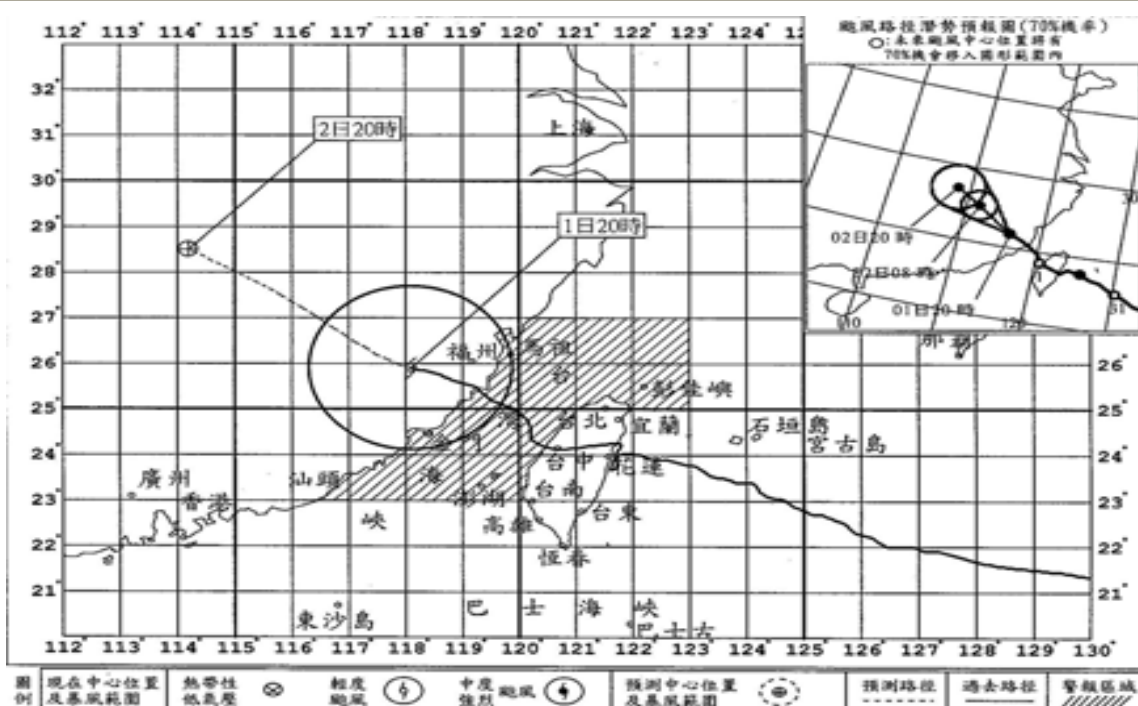


圖 3.1-6 2005 年 8 月泰利(Talim)颱風記錄與路徑圖

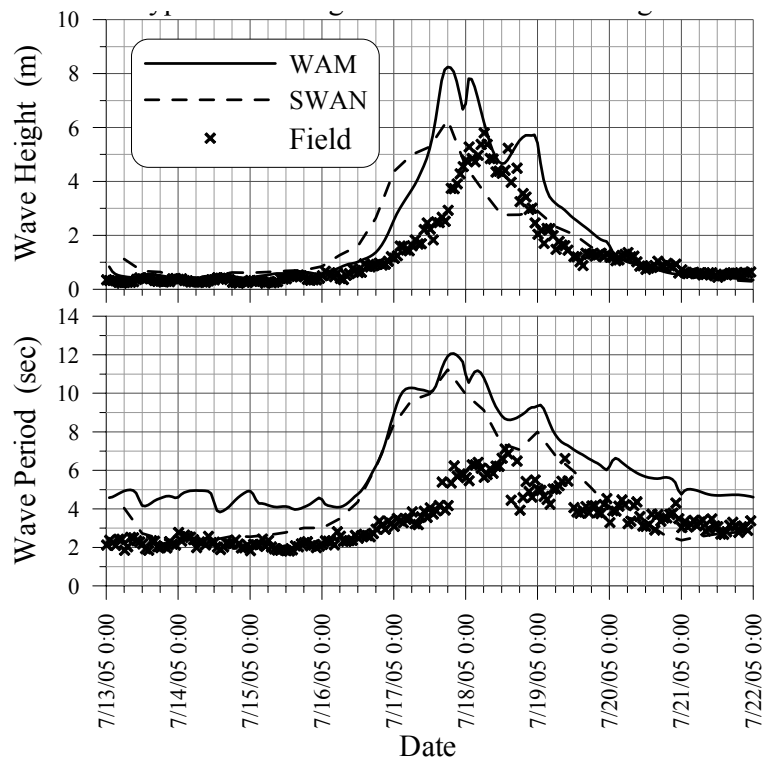


圖 3.1-7 海棠颱風侵襲時基隆港之推算波浪與觀測波浪比較圖

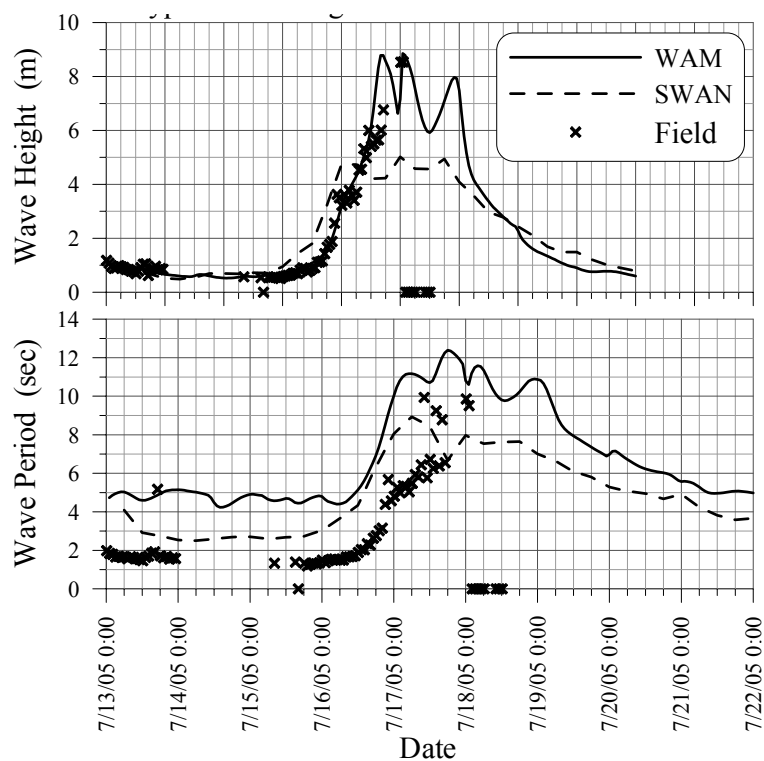


圖 3.1-8 海棠颱風侵襲時蘇澳港之推算波浪與觀測波浪比較圖

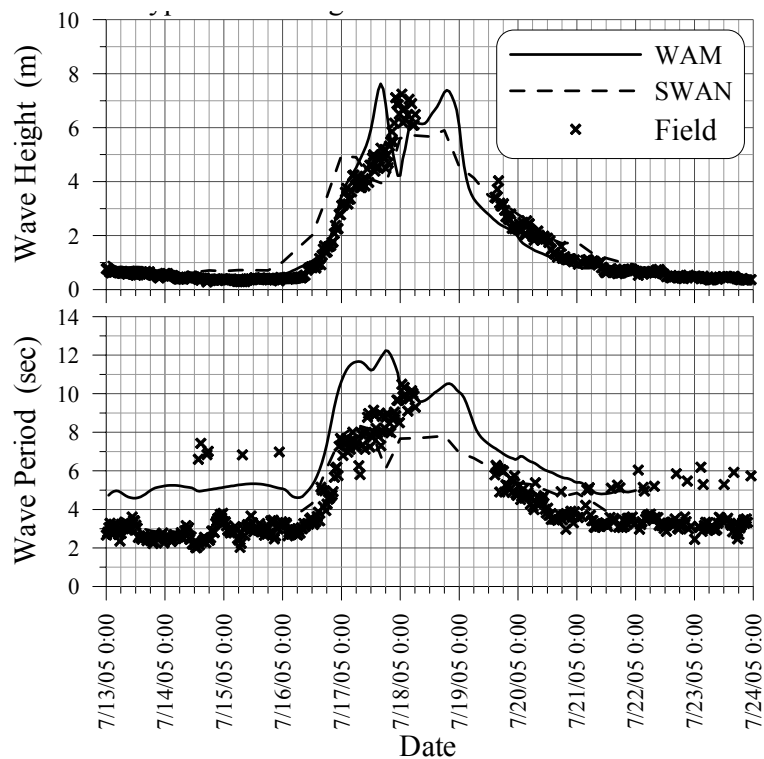


圖 3.1-9 海棠颱風侵襲時花蓮港之推算波浪與觀測波浪比較圖

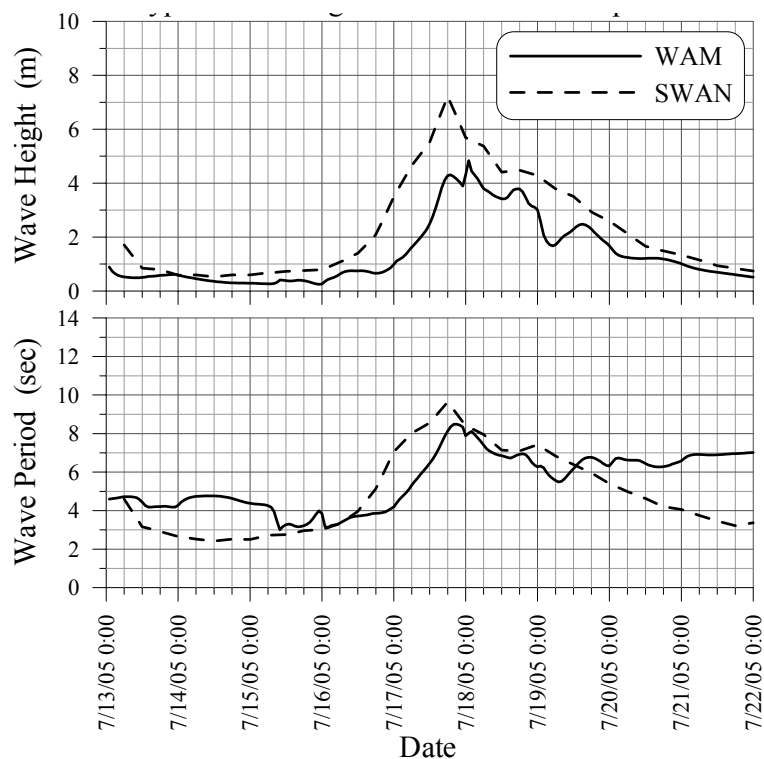


圖 3.1-10 海棠颱風侵襲時臺北港之推算波浪比較圖

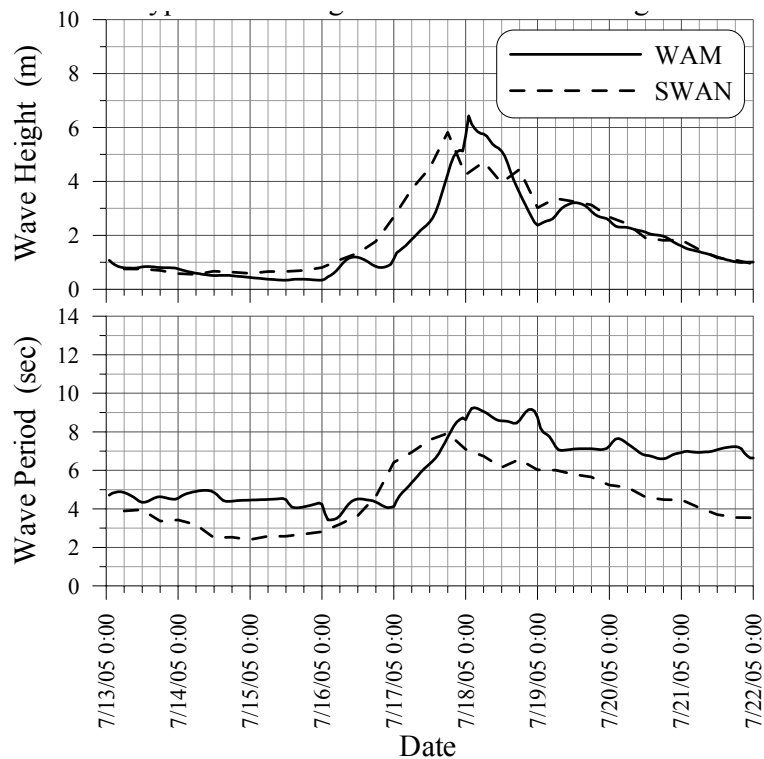


圖 3.1-11 海棠颱風侵襲時臺中港之推算波浪比較圖

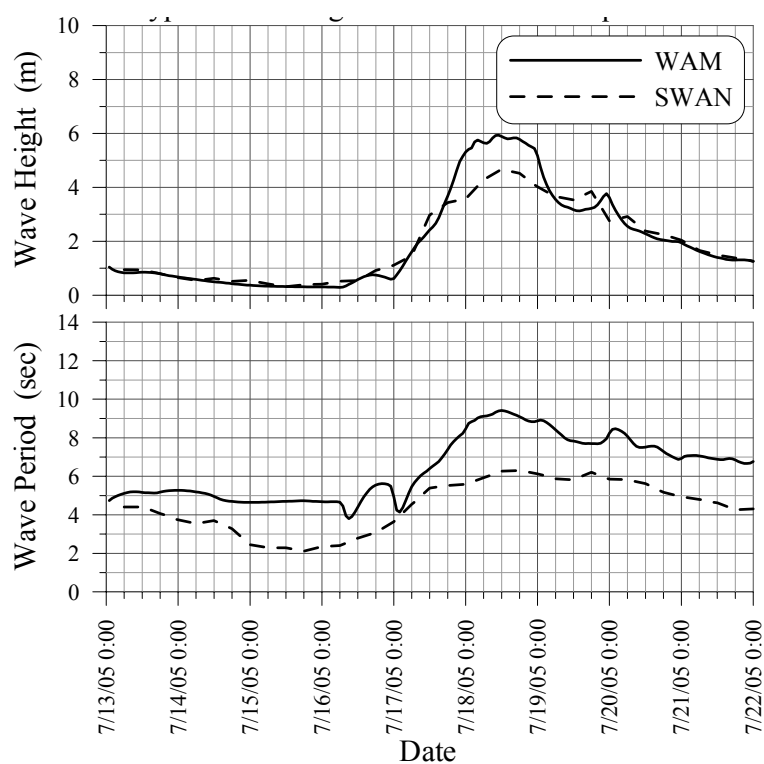


圖 3.1-12 海棠颱風侵襲時安平港之推算波浪比較圖

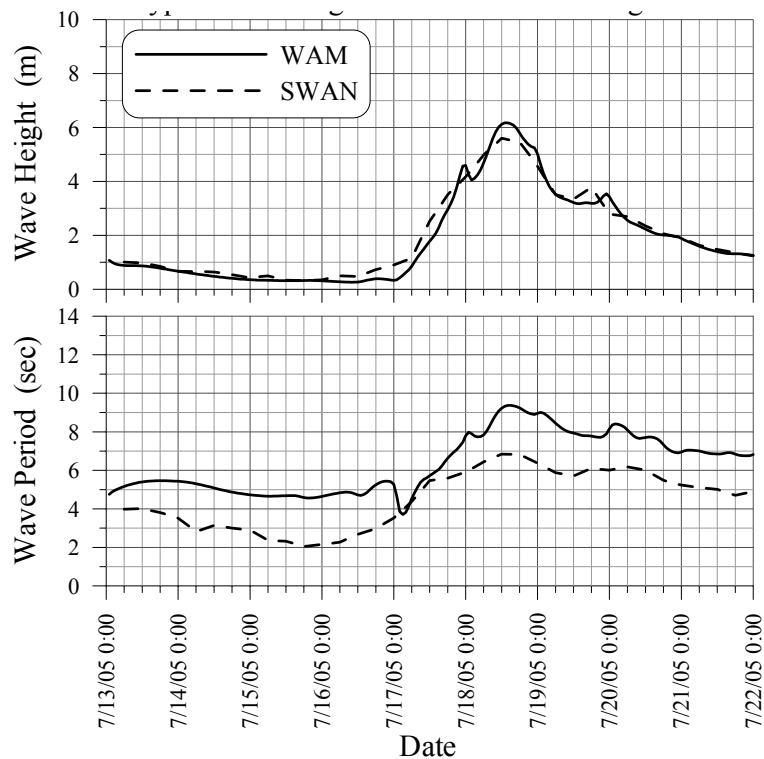


圖 3.1-13 海棠颱風侵襲時高雄港之推算波浪比較圖

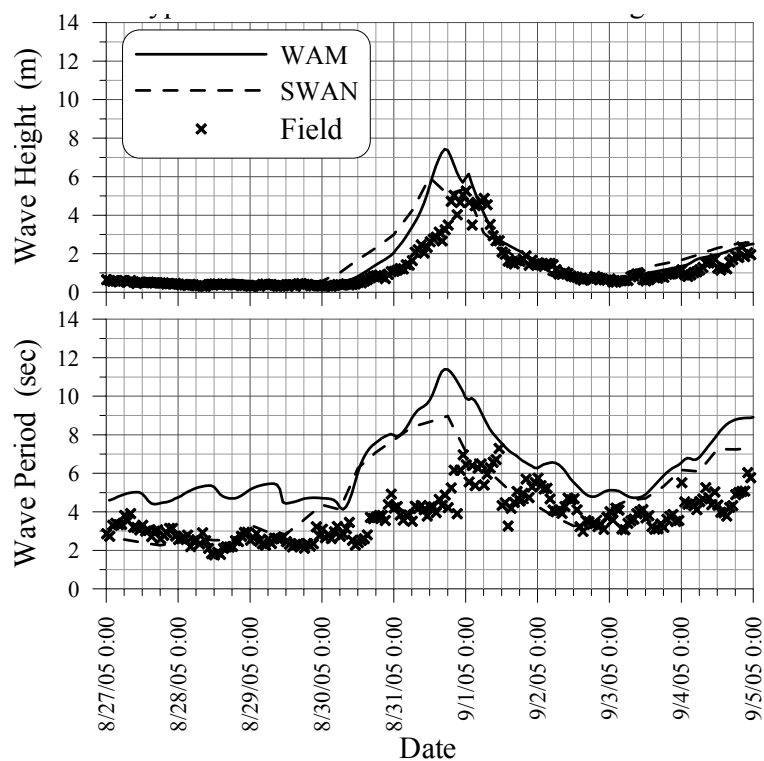


圖 3.1-14 泰利颱風侵襲時基隆港之推算波浪與觀測波浪比較圖

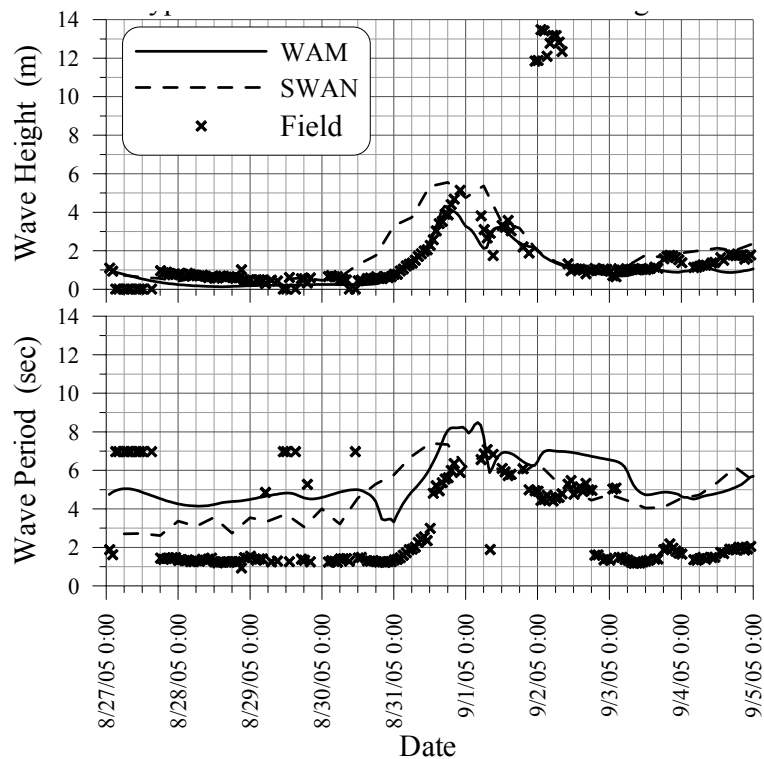


圖 3.1-15 泰利颱風侵襲時臺中港之推算波浪與觀測波浪比較圖

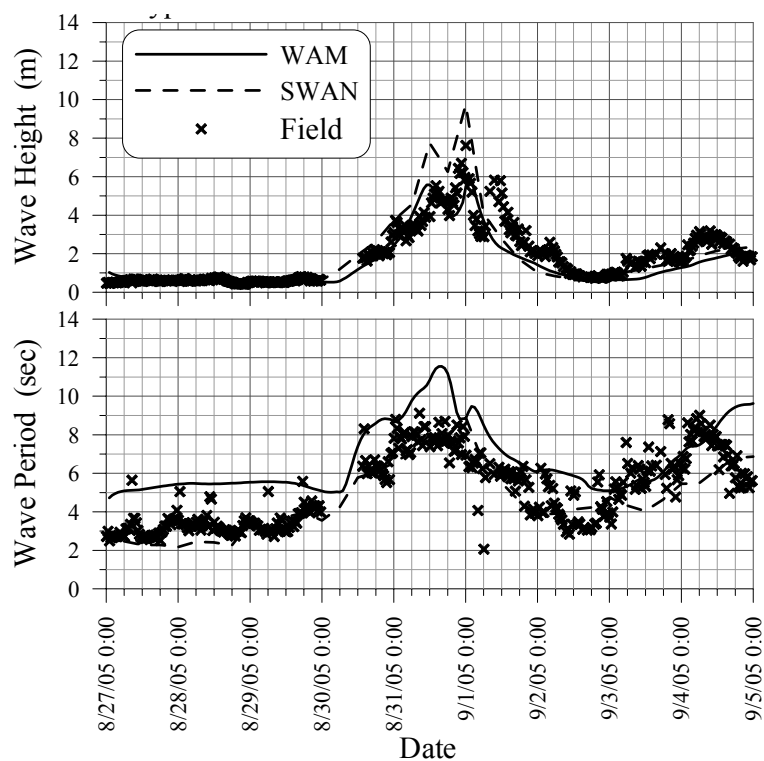


圖 3.1-16 泰利颱風侵襲時花蓮港之推算波浪與觀測波浪比較圖

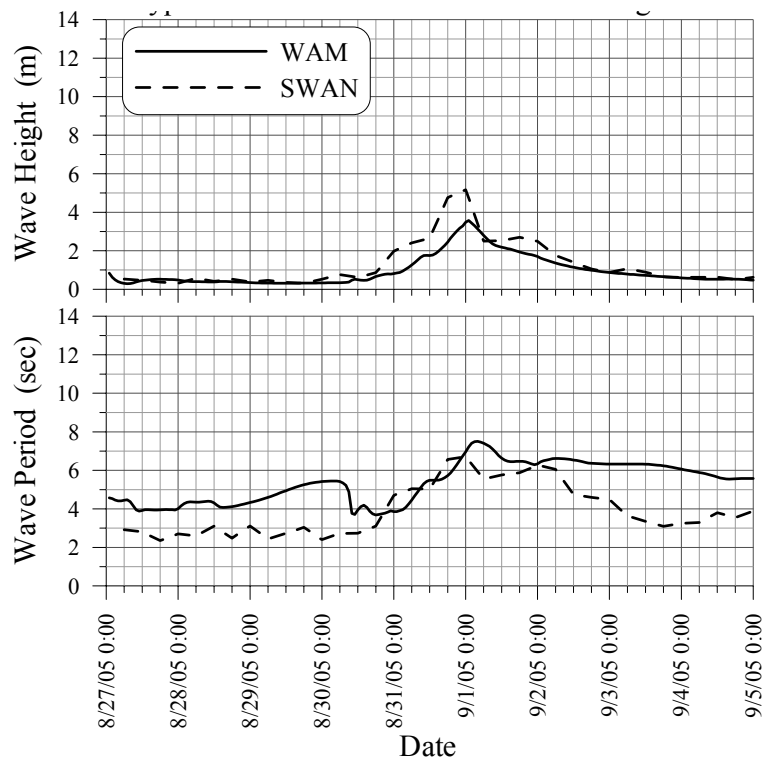


圖 3.1-17 泰利颱風侵襲時高雄港之推算波浪比較圖

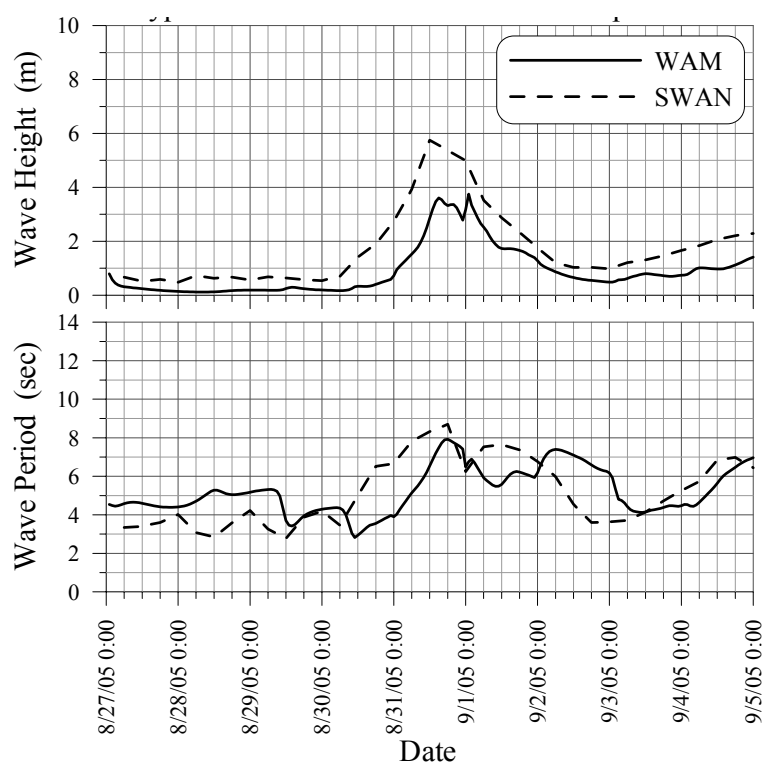


圖 3.1-18 泰利颱風侵襲時臺北港之推算波浪比較圖

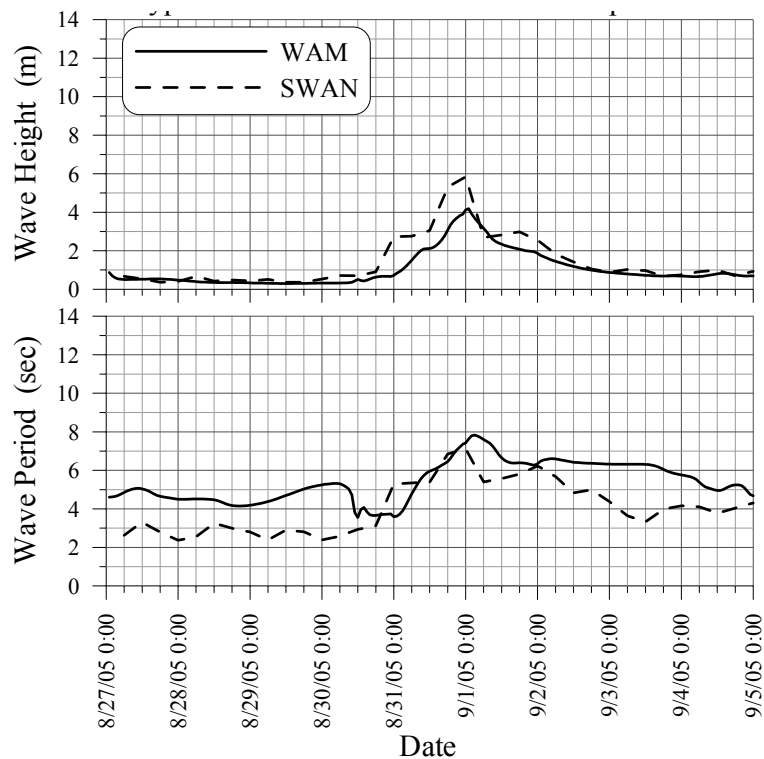


圖 3.1-19 泰利颱風侵襲時安平港之推算波浪比較圖

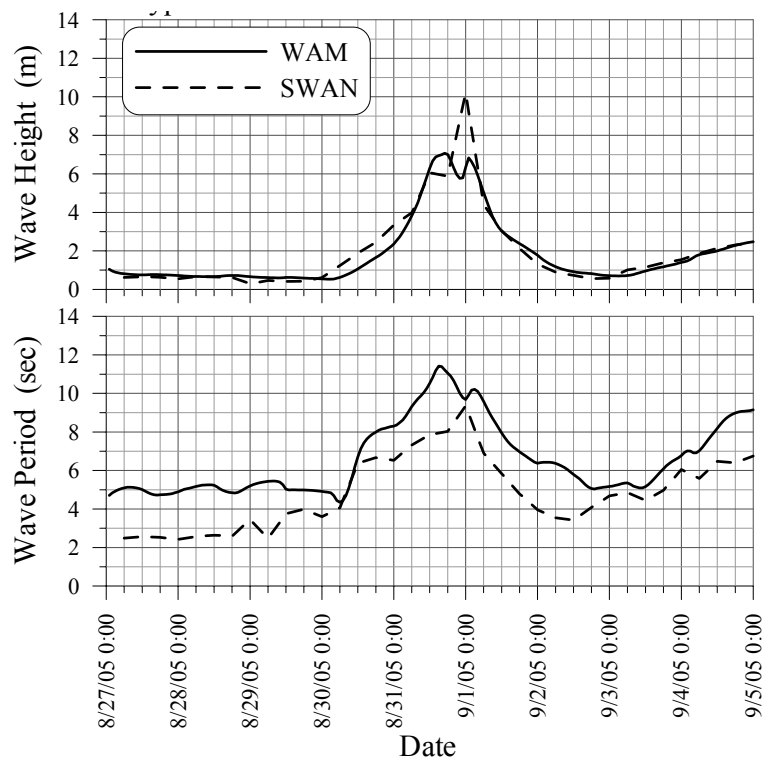


圖 3.1-20 泰利颱風侵襲時蘇澳港之推算波浪與觀測波浪比較圖

3.2 臺灣近岸海域波浪模擬系統

本計畫目的在於建立適合臺灣海域波浪模擬系統，藉以模擬臺灣沿海之波浪狀況。由於外海波浪向近岸區傳遞時，受到水深變淺之影響，波浪會產生折射、繞射及淺化效應；此外，海岸構造物的反射及底床摩擦效應等，亦會對近岸波浪狀況影響。基於本計畫中尺度全域風浪模式SWAN無法精確地描述近岸地形及海岸構造物對波場之影響，因此在SWAN模式之下構建一近岸海域波浪模擬系統，模擬臺灣近岸海域波浪狀況。此一近岸海域波浪模式係構建在緩坡方程式(MSE)之基礎上，模式可以模擬波浪向岸傳遞之淺化、折射、繞射與反射現象，並可考慮碎波及底床摩擦等波能損失效應。

於93年度本計畫團隊業已建置完成臺灣沿海七大商港(高雄港、安平港、臺中港、臺北港、基隆港、蘇澳港及花蓮港)之近岸海域波浪模擬系統，並模擬颱風侵臺期間之近岸波浪場(詳細內容參閱93年度報告)。鑑於93年度構建之近岸海域波浪模擬系統係以近域波浪模式(EEMSE)銜接中尺度全域風浪模式(SWAN)，受到中尺度全域波浪模式網格解析度($5\text{km} \times 5\text{km}$)之限制，近域波浪模式之模擬範圍需大於 $5\text{km} \times 5\text{km}$ ；同時為滿足EEMSE模式之計算精度要求，近岸波浪模擬系統所使用之網格解析度為 $10\text{m} \times 10\text{m}$ ，因此相當耗費電腦計算時間，影響所及可能無法滿足未來線上作業需求。

為改善近岸波浪模擬系統之模擬效率，本計畫於目前中尺度全域波浪模式(SWAN)下構建一具運算快速且容許較大數值計算網格之區域波浪模式。一般而言，描述近岸波場之緩坡方程式依其偏微方程式之型態可區分為在空間領域之橢圓型緩坡方程式如RCPWAVE(Regional Coastal Processes WAVE model, Ebersole, et al., 1986)，或空間領域之拋物線型緩坡方程式如REF/DIF模式(combined Refraction/Diffraction model, Kirby and Dalrymple, 1991)，以及在時間領域的雙曲線型緩坡方程式如MIKE 21'S模式；而本計畫93年度所構建之近域波浪模式EEMS(Hsu and Wen, 2001)則屬於時間領域之演進型拋物線緩坡方程式。其中Kirby and Dalrymple所發展的REF/DIF模式因採用

隱式法求解非時變性拋物線型緩坡方程式，其計算速度不僅較求解橢圓型緩坡方程式之RCPWAVE模式快，且當波浪前進方向與數值計算網格邊界之夾角較大(70°)時亦能保持穩定之數值計算(Kirby, 1986)。因此，本計畫選取REF/DIF模式為近岸波浪模擬系統之區域波浪模式。由於拋物線型緩坡方程式忽略反射波浪，因此REF/DIF模式在波浪場之計算，主要用於求解進前波場，較適用於波浪反射及繞射較弱的海域。對於港口或岸邊構造物等受反射波影響較大的近岸波場，本計畫仍沿用橢圓型緩坡方程式求解近域波浪場狀況。

3.2.1 REF/DIF 模式理論介紹

Booij(1981)以Lagrangian方法並考慮波、流交互作用之影響發展出拋物線型緩坡方程式，Kirby and Dalrymple(1983)進一步考慮非線性之影響提出修正型拋物線型緩坡方程式

$$\begin{aligned} & (C_g + U)A_x + VA_y + i(\bar{k} - k)(C_g + U)A + \frac{\sigma}{2} \left\{ \left(\frac{C_g + U}{\sigma} \right)_x + \left(\frac{V}{\sigma} \right)_y \right\} A \\ & - \frac{i}{2\sigma} [(p - V^2)A_y]_y - \sigma \frac{k^2}{2} D |A|^2 A = 0 \end{aligned} \quad (3.2.1)$$

式中 $A(x,y)$ 為複數型態自由表面波形振幅， A_x 及 A_y 分別為 x 及 y 方向之振幅分量， $\sigma = \omega - kU$ 稱為內在頻率(intrinsic frequency)， ω 為波浪之角頻率， $k(x,y)$ 為波浪週波數， \bar{k} 為參考週波數(定義為沿 y 軸上週波數之平均值)， U 及 V 分別為 x 及 y 方向之平均流速度，參數 $p = CC_g$ ， C 為波浪之波速， C_g 為波浪群速度， D 為非線性影響項等於

$$D = \frac{\cosh(4kh) + 8 - 2 \tanh^2(kh)}{8 \sinh^4(kh)} \quad (3.2.2)$$

式中 h 為靜水深。

Kirby(1986)進一步推導上述方程式使其適用於波浪大角度入射的情形，得到下列控制制程式

$$\begin{aligned}
& (C_g + U)A_x - 2\Delta_1 V A_y + i(\bar{k} - a_0 k)(C_g + U)A + \left\{ \frac{\sigma}{2} \left(\frac{C_g + U}{\sigma} \right)_x - \Delta_1 \sigma \left(\frac{V}{\sigma} \right)_y \right\} A \\
& + i\Delta' \left[\left(p - V^2 \left(\frac{A}{\sigma} \right)_y \right)_y - i\Delta_1 \left\{ \left[UV \left(\frac{A}{\sigma} \right)_y \right]_x + \left[UV \left(\frac{A}{\sigma} \right)_x \right]_y \right\} \right. \\
& \left. + i\sigma \frac{k^2}{2} D|A|^2 A + \frac{\omega}{2} A + \frac{-b_1}{k} \left\{ \left[\left(p - V^2 \left(\frac{A}{\sigma} \right)_y \right]_{yx} + 2i \left[\sigma V \left(\frac{A}{\sigma} \right)_y \right]_x \right\} \right. \\
& \left. + b_1 \beta \left\{ 2i\omega U \left(\frac{A}{\sigma} \right)_x + 2i\sigma V \left(\frac{A}{\sigma} \right)_y - 2UV \left(\frac{A}{\sigma} \right)_{xy} + \left[\left(p - V^2 \left(\frac{A}{\sigma} \right)_y \right]_y \right\} \right. \\
& \left. - \frac{i}{k} b_1 \left[(\omega V)_y + 3(\omega U)_x \left(\frac{A}{\sigma} \right)_x \right] - \Delta_2 \left[\omega U \left(\frac{A}{\sigma} \right)_x + \frac{1}{2} \omega U_x \left(\frac{A}{\sigma} \right) \right] \right. \\
& \left. + ik\omega U (a_0 - 1) \left(\frac{A}{\sigma} \right) = 0 \right. \tag{3.2.3}
\end{aligned}$$

其中

$$\beta = \frac{k_x}{k^2} + \frac{\left| k(p - U^2) \right|_x}{2k^2(p - U^2)} \tag{3.2.4}$$

$$\Delta_1 = a_1 - b_1 \tag{3.2.5}$$

$$\Delta_2 = 1 + 2a_1 - 2b_1 \tag{3.2.6}$$

$$\Delta' = a_1 - b_1 \frac{\bar{k}}{k} \tag{3.2.7}$$

係數 a_0 , a_1 及 b_1 可依據所考慮的波浪入射角度範圍利用 Minimax approximation 決定之，此處模式所採用的係數值分別為

$$a_0 = 0.994733$$

$$a_1 = -0.890065$$

$$b_1 = -0.451641$$

考慮波浪主要沿著 x 軸方向傳播時，上述內在頻率 σ 滿足波浪頻散關係，即

$$\sigma^2 = (\omega - kU)^2 = gk \tanh(kh) \quad (3.2.8)$$

惟當波浪進入淺水區，或 Ursell number ($U_r = HL^2/h^3$) 超過 40 時，Stokes 理論解將不再適用，因此模式中波浪之頻散關係採用 Hedges(1976)修正公式

$$\sigma^2 = (\omega - kU)^2 = gk \tanh(kh(1 + A/h)) \quad (3.2.9)$$

式中 g 為重力加速度。

對於波浪受到底床摩擦影響以及波浪碎波所產生的波能損失，模式採用具有消散項的線性緩坡方程式處理，即

$$\frac{\partial A}{\partial x} = \frac{i}{k} \frac{\partial^2 A}{\partial x^2} + wA \quad (3.2.10)$$

式中 $i = \sqrt{-1}$ ； w 為波能消散因子，可依據能量消散特性給定不同的型式。

(1) 當考慮底床邊界層為紊流狀態時，波能消散因子具有下列型式 (Dean and Dalrymple, 1984)

$$w = \frac{2\sigma kf|A|(1-i)}{3\pi \sinh(2kh)\sinh(kh)} \quad (3.2.11)$$

式中 f 為 Darcy-Weisbach 摩擦因子，其值等於 0.01。

(2) 當考慮具透水性之砂質底床時，砂質底床內 Darcy 流況所造成的波浪減衰可以表示成

$$w = \frac{gkC_p(1-i)}{\cosh^2(kh)} \quad (3.2.12)$$

式中 C_p 為底床透水性係數，單位為 m^2 ，其值大小約為 4.5×10^{-11} 。

(3) 對於波浪碎波所產生的波能損失，Kirby and Dalrymple (1986) 提出下列公式

$$w = \frac{KC_g[1 - (\gamma h/H)^2]}{h} \quad (3.2.13)$$

式中 K 及 γ 為經驗常數，其值分別為 0.017 及 0.4 (Dally et al.)， H 為波高

等於 $2|A|$ ，碎波指標採用 $H_b > 0.78h$ 計算之。

3.2.2 近岸區域波浪模式計算結果

為瞭解近岸區域波浪模式(REF/DIF)應用於臺灣沿海波浪狀況模擬之適用性，本計畫以國內七大港口為案例(如圖3.2-1所示)，根據93年度近岸波浪模式(EEMSE)之數值計算網格與計算條件(表3.2-1)，分別模擬七大港口附近海域波浪場，並與EEMSE模擬結果比較。

圖3.2-2至圖3.2-8所示分別為花蓮港、蘇澳港、基隆港、臺北港、臺中港、安平港及高雄港之數值網格計算範圍及地形水深分佈圖。其中花蓮港計算範圍北起奇來鼻燈塔南側，南迄吉安溪口北側，全長8公里，離岸3.2公里，約至水深120m處；蘇澳港計算範圍為北起北方澳北側，南迄南方澳南側，全長8公里，離岸6公里，約至水深80m處；基隆港計算範圍為西起澳底漁港，東迄和平島東側，全長7公里，並考慮龜山島對於基隆港附近海域之近岸波場之影響，故離岸計算範圍延伸至外海10公里，水深約130m處；臺北港計算範圍為南起林口灰塘，北迄淡水河口北側，全長14公里，離岸5公里，約至水深25m處；臺中港計算範圍為沿岸南起大肚溪口北側，北迄番仔寮，全長14公里，離岸6.4公里，約至水深25m處；安平港計算範圍為沿岸南起二仁溪口北側，北迄鹽水溪口南側，全長10公里，離岸5公里，約至水深20m處；高雄港計算範圍為沿岸南起高屏溪口北側，北迄一港口外海處，全長20公里，離岸9公里，約至水深35m處。

表 3.2-1 近岸波浪場模式計算條件

計算例		計算格網 (10m×10m)	波高 (m)	週期 (sec)	波向
花蓮港	奇比	321×801	2.78	8.76	S48°E
	艾莉		3.40	8.61	E20.9°N
蘇澳港	奇比	601×801	3.22	8.50	S39°W
	艾莉		3.34	8.53	E18.2°N
基隆港	奇比	1001×701	2.25	8.74	N30°W
	艾莉		3.45	8.32	N38.9°E
臺北港	奇比	501×1401	1.28	8.19	N29.7°W
	艾莉		3.07	7.18	N6.5°W
臺中港	奇比	631×1401	0.46	5.01	S55.6°W
	艾莉		2.57	6.50	N6.9°E
安平港	奇比	501×1001	2.26	6.39	S17.6°W
	艾莉		2.08	6.94	S46.6°W
高雄港	奇比	901×2001	2.24	6.71	S16.4°W
	艾莉		1.71	7.12	S41.7°W

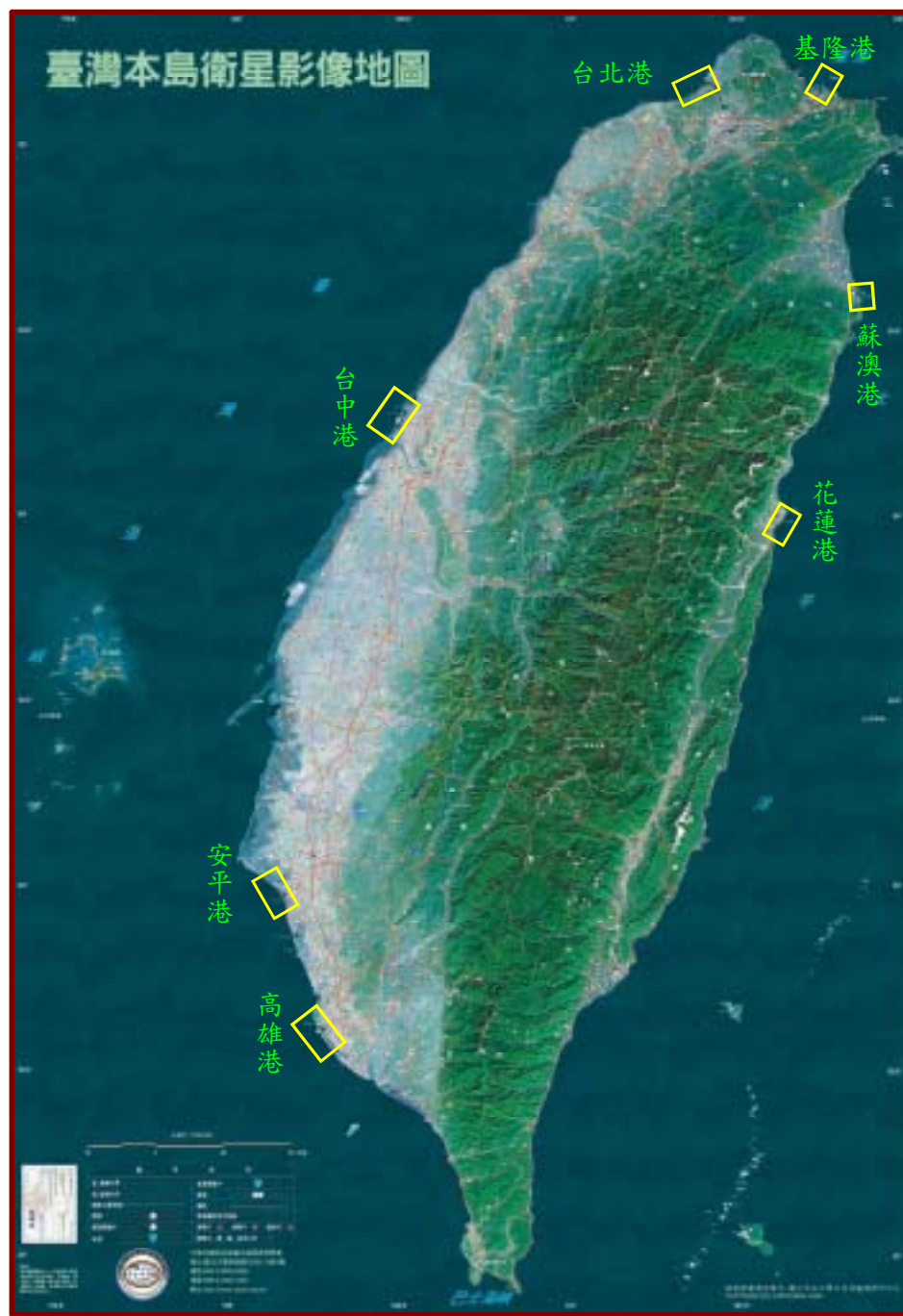


圖3.2-1 國內七大港口地理位置
(國立中央大學太空及遙測研究中心，2000)

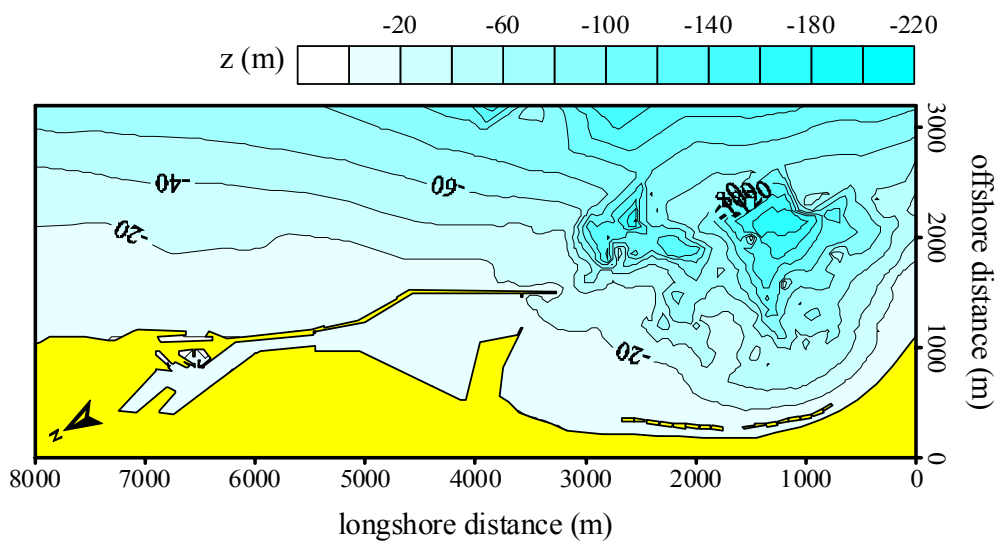


圖3.2-2 花蓮港近岸區域波浪模式計算範圍及水深地形分佈圖

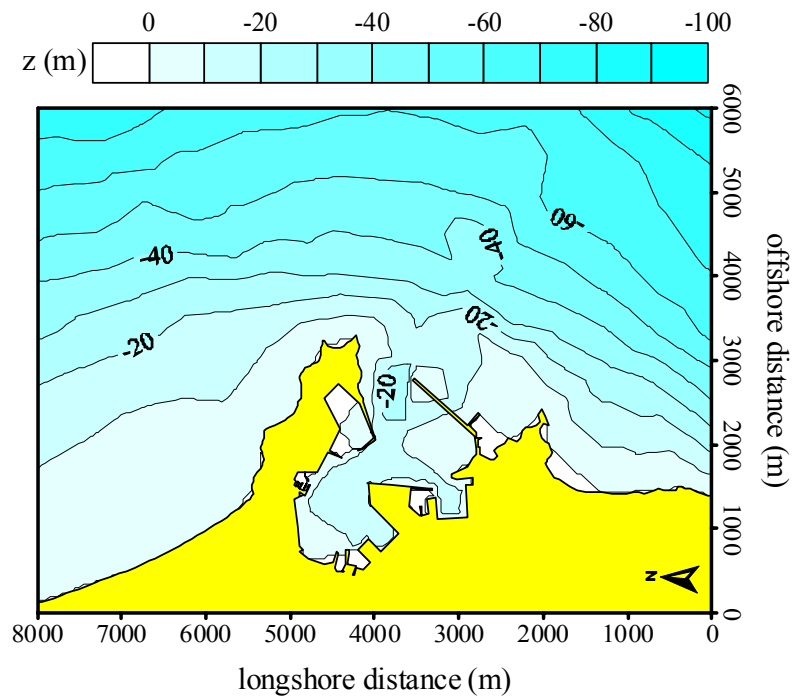


圖3.2-3 蘇澳港近岸區域波浪模式計算範圍及水深地形分佈圖

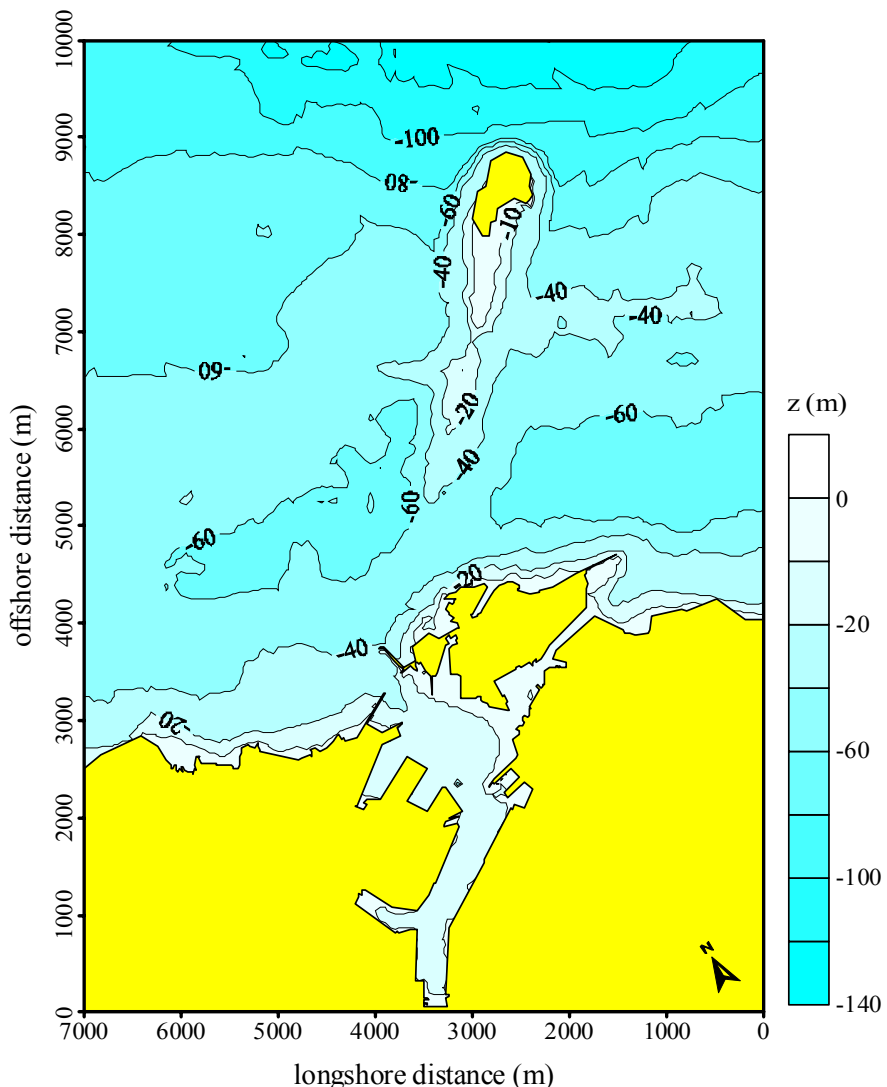


圖3.2-4 基隆港近岸區域波浪模式計算範圍及水深地形分佈圖

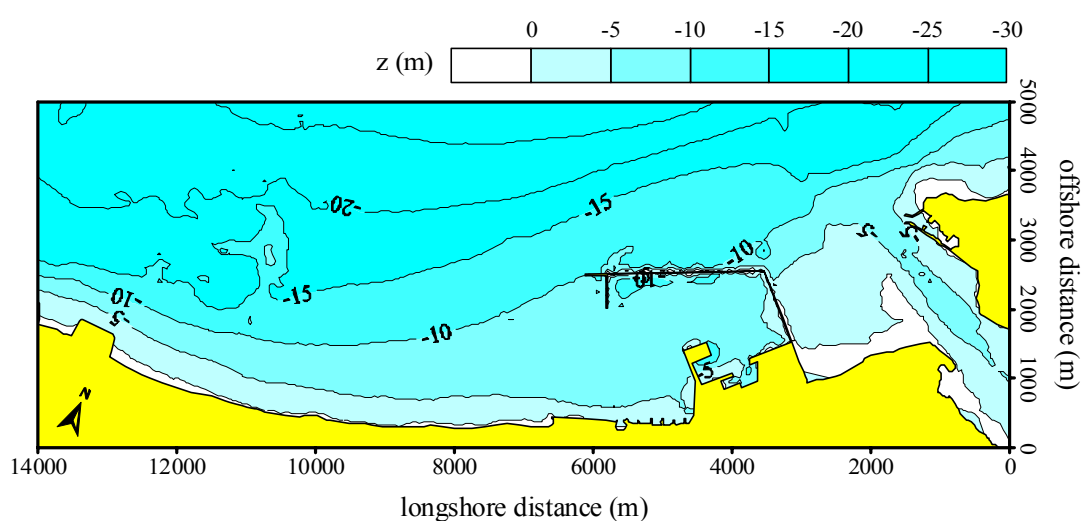


圖3.2-5 臺北港近岸區域波浪模式計算範圍及水深地形分佈圖

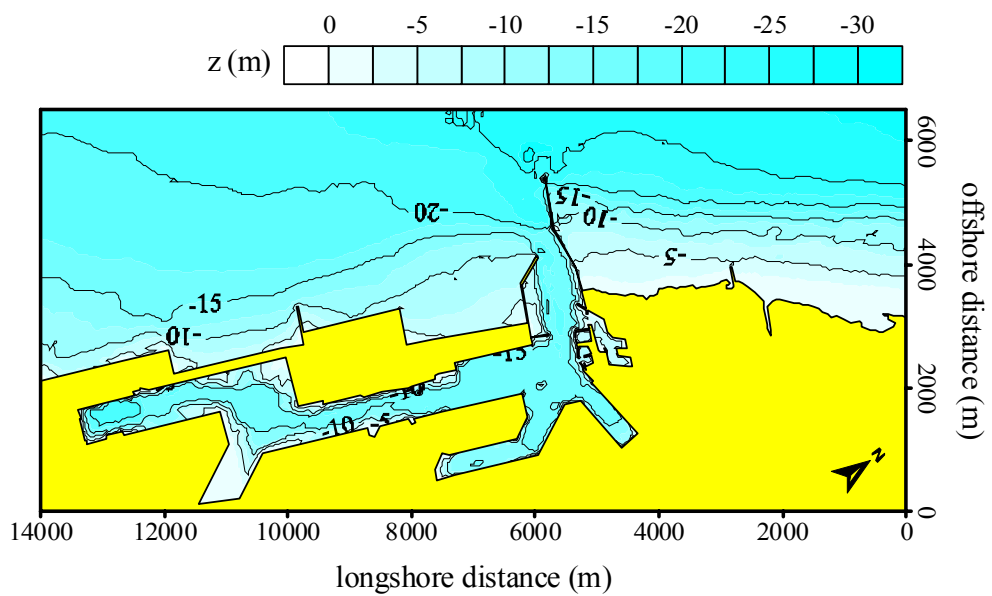


圖3.2-6 臺中港近岸區域波浪模式計算範圍及水深地形分佈圖

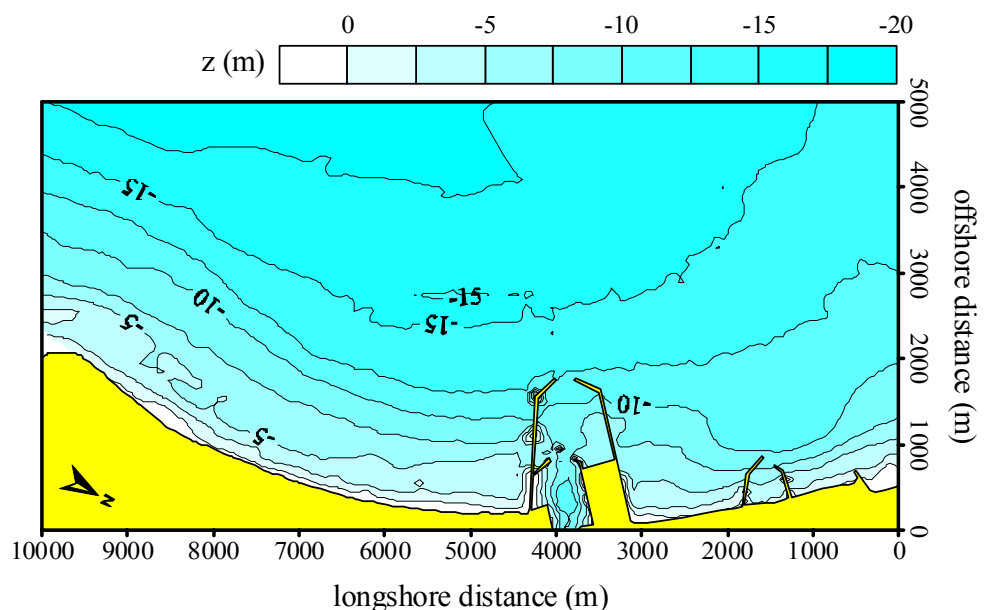


圖3.2-7 安平港近岸區域波浪模式計算範圍及水深地形分佈圖

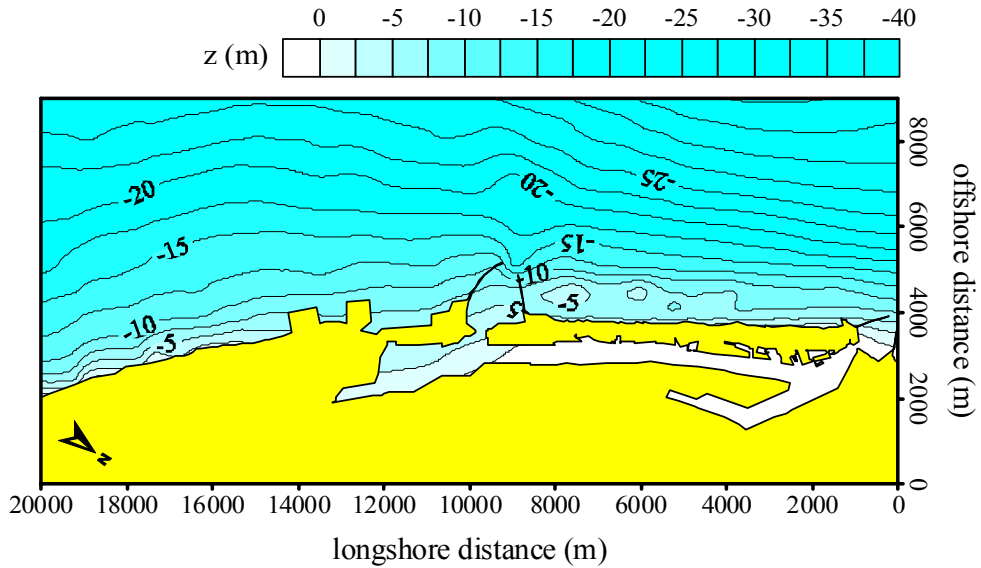
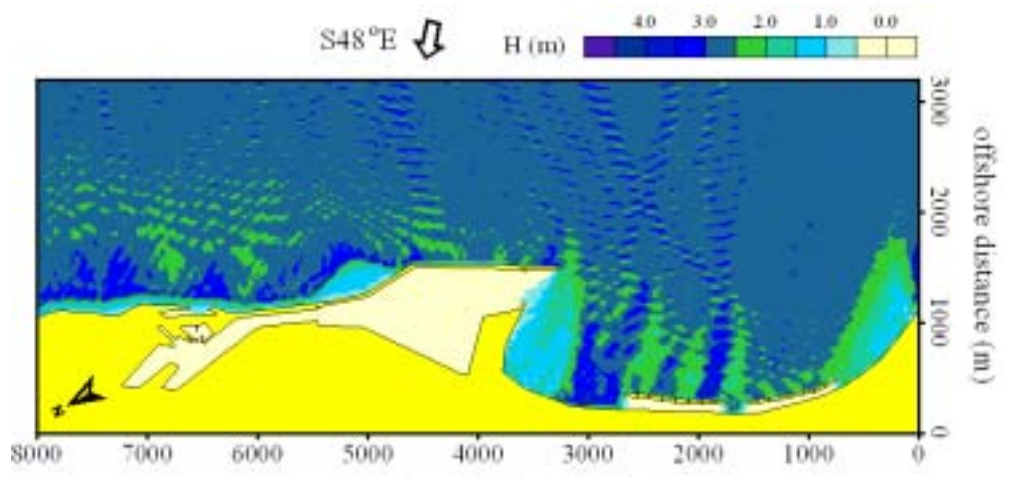


圖 3.2-8 高雄港近岸區域波浪模式計算範圍及水深地形分佈圖

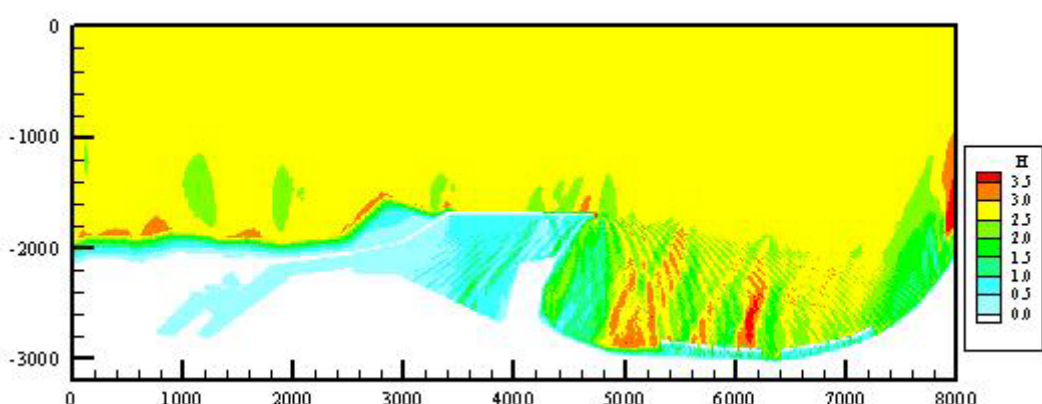
圖 3.2-9 及圖 3.2-10 所示為花蓮港近岸波浪場模擬結果，結果顯示 REF/DIF 區域模式僅考慮波浪前進所產生的折、繞射現象，故外海(深海)無向外傳遞的反射波，此與 EEMSE 模式模擬結果有顯著的差異。除此之外，受地形影響所產生的折、繞射現象 REF/DIF 區域模式模擬結果與 EEMSE 模式模擬結果相當一致，僅波高大小略有差異。港內波浪則以 REF/DIF 區域模式模擬結果有明顯的繞射現象，而 EEMSE 模式模擬結果繞射現象僅止於港口附近(註:可能因繪圖尺度不同所致)。圖 3.2-11 及圖 3.2-12 所示為蘇澳港近岸波浪場模擬結果，結果亦顯示除了反射波影響外，在折、繞射現象方面 REF/DIF 區域模式模擬結果與 EEMSE 近域模式模擬結果仍具有一致性。圖 3.2-13 所示為艾莉颱風波浪條件下基隆港近岸波浪場模擬結果，顯示 REF/DIF 區域模式模擬結果與 EEMSE 近域模式模擬結果略有出入。另外，針對奇比颱風波浪條件： $H=2.25\text{m}$ ， $T=8.74\text{sec}$ ， $S48^\circ\text{E}$ (入射角度與離岸方向夾角為 60° ，如圖 3.2-14 所示)，REF/DIF 區域模式模擬失敗(原因仍待進一步探討)，EEMSE 模式則可以成功地模擬波浪入射之波浪場。圖 3.2-15 至圖 3.2-22 所示分別為臺北港、臺中港、安平港、及高雄港之近岸波浪場模擬結果，顯示 REF/DIF 區域模式模擬波浪因地形產生的折、繞射現象與 EEMSE 近域模式模擬結果相當近似；惟對於港口內波浪狀況模擬結

果，REF/DIF 區域模式模擬之波高值略高於 EEMSE 近域模式模擬結果。

綜合上述模擬結果，顯示以 REF/DIF 區域模式模擬七大港口之波浪狀況，瞭解 REF/DIF 區域模式所模擬的近岸波浪場，除了無法顯現岸邊構造物所產生強烈反射波浪外，對於地形所產生的折、繞射現象以及結構物所產生的繞射及遮蔽現象均可充份地模擬之。此外，上述計算結果以目前電腦 PC 之運算速度均可在短時間內(約一分鐘或數分鐘內)完成，運算效率顯著地較 EEMSE 近域模式高，因此採用 REF/DIF 模式為本計劃近岸區域波浪模式模擬臺灣沿海波浪狀況，不僅可以增大數值計算範圍，同時可以滿足未來沿海波浪模擬之線上作業需求。

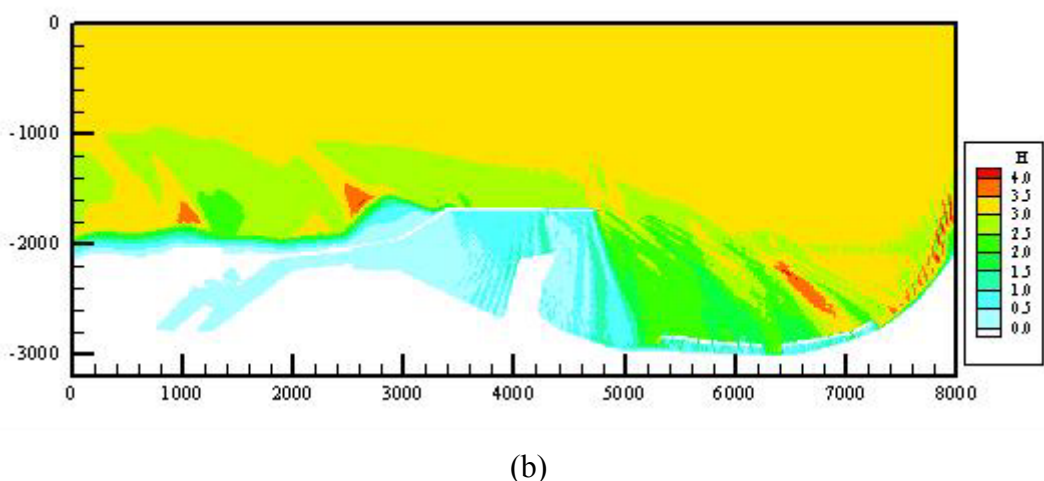
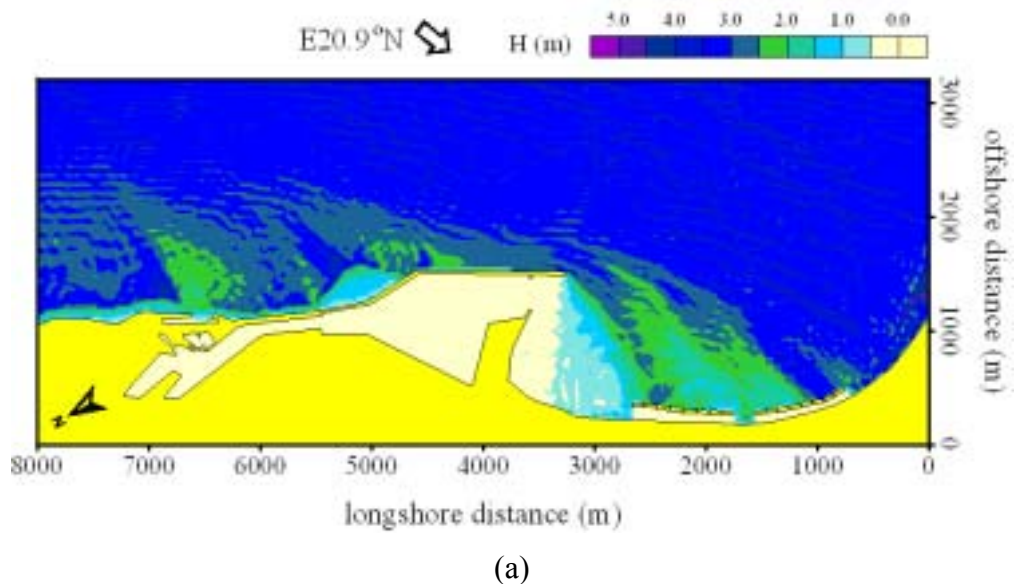


(a)

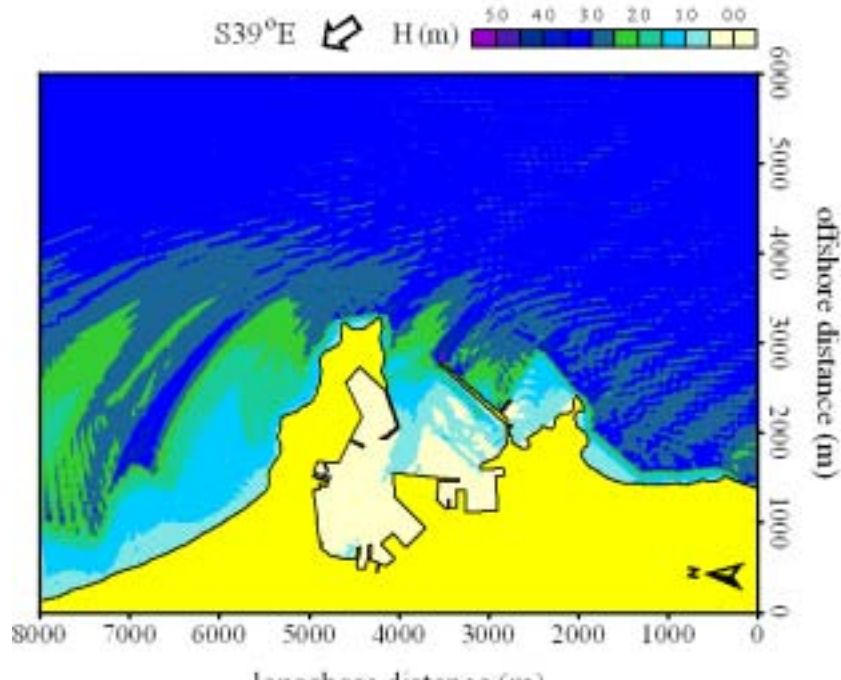


(b)

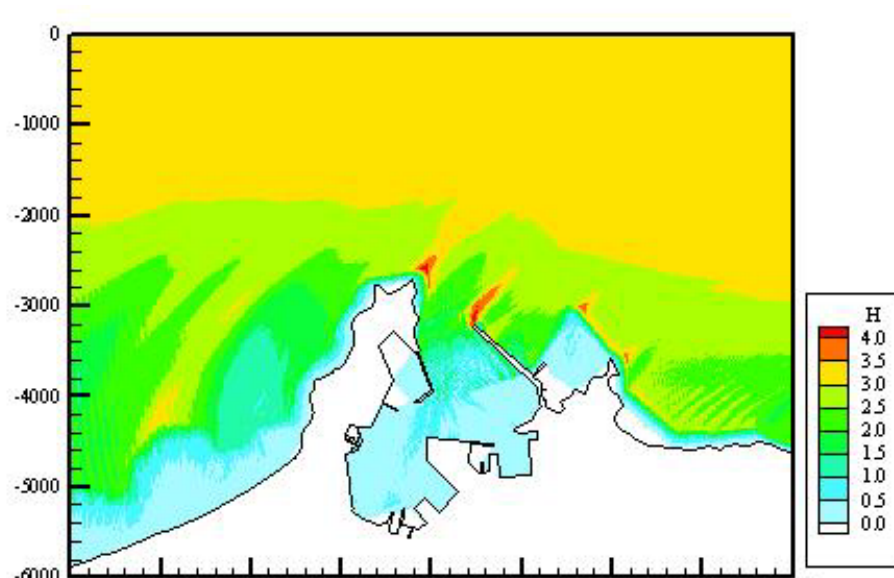
圖3.2-9 花蓮港近岸波浪場模擬結果(a)EEMSE近域模式(b)REF/DIF區域模式(奇比颱風， $H=2.78m$ ， $T=8.76sec$ ， $S48^{\circ}E$)



**圖3.2-10 花蓮港近岸波浪場模擬結果(a)EEMSE近域模式(b) REF/DIF
區域模式(艾莉颱風， $H=3.40\text{m}$ ， $T=8.61\text{sec}$ ， $E20.9^{\circ}\text{N}$)**

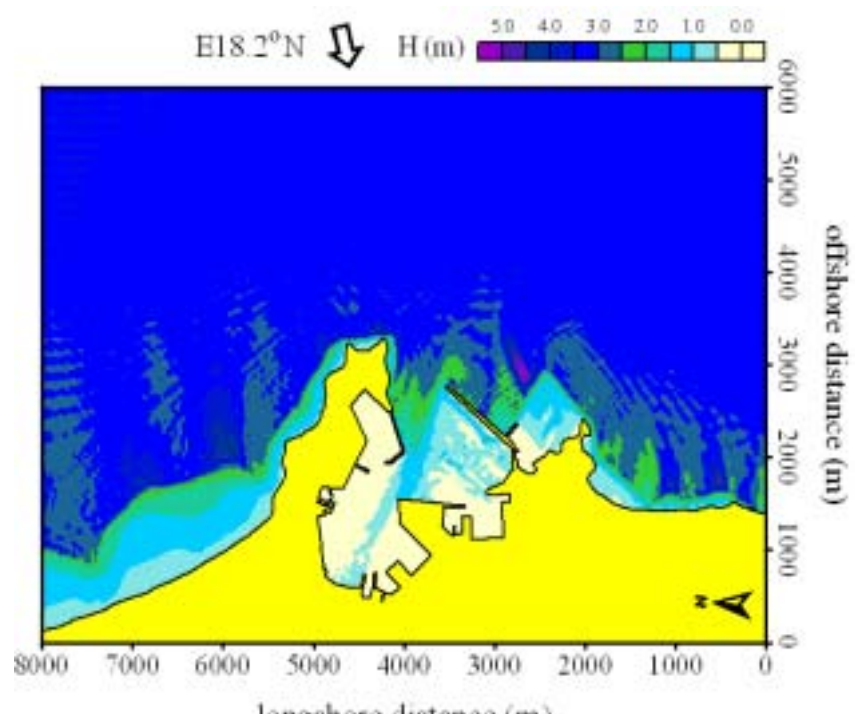


(a)

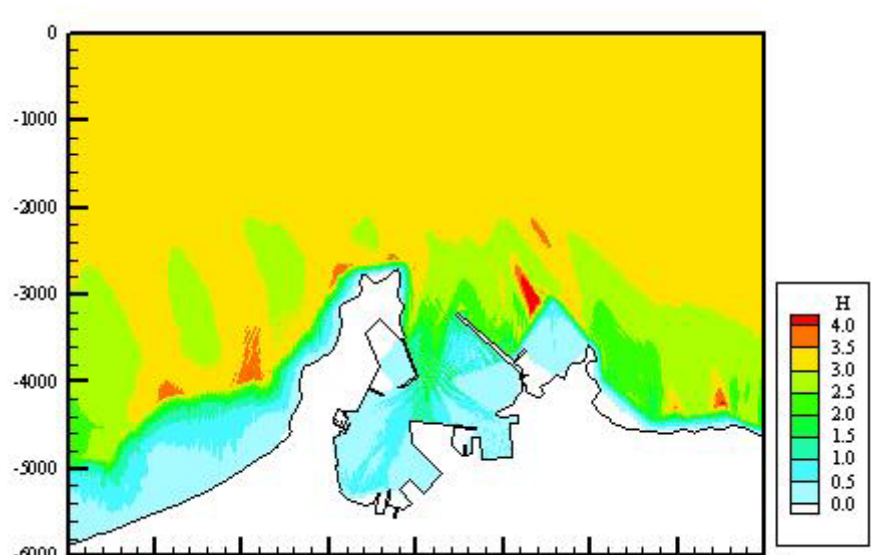


(b)

圖3.2-11 蘇澳港近岸波浪場模擬結果(a)EEMSE近域模式(b)
REF/DIF區域模式(奇比颱風, $H=3.22m$, $T=8.50sec$, $S39^{\circ}E$)

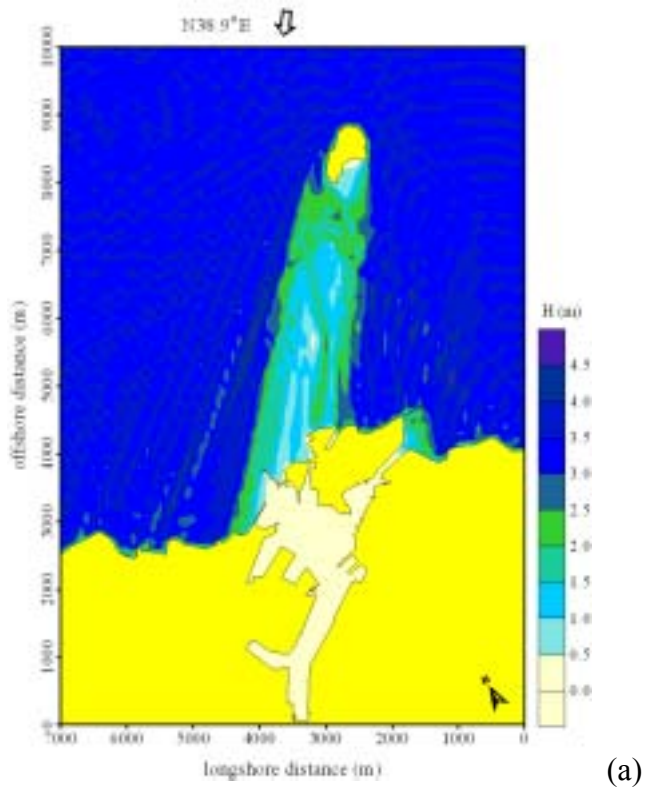


(a)

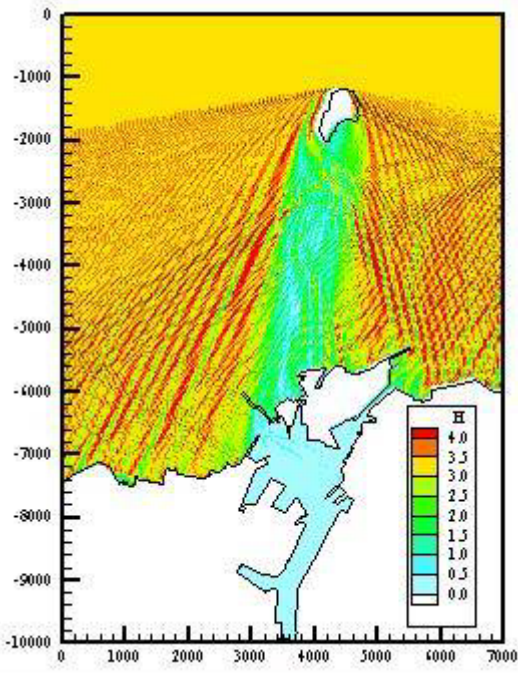


(b)

圖3.2-12 蘇澳港近岸波浪場模擬結果(a)EEMSE近域模式(b) REF/DIF
區域模式(艾莉颱風, $H=3.40\text{m}$, $T=8.61\text{sec}$, $E20.9^{\circ}\text{N}$)



(a)



(b)

圖3.2-13 基隆港近岸波浪場模擬結果(a)EEMSE近域模式(b) REF/DIF
區域模式(艾莉颱風， $H=3.40\text{m}$ ， $T=8.61\text{sec}$ ， $E20.9^\circ\text{N}$)

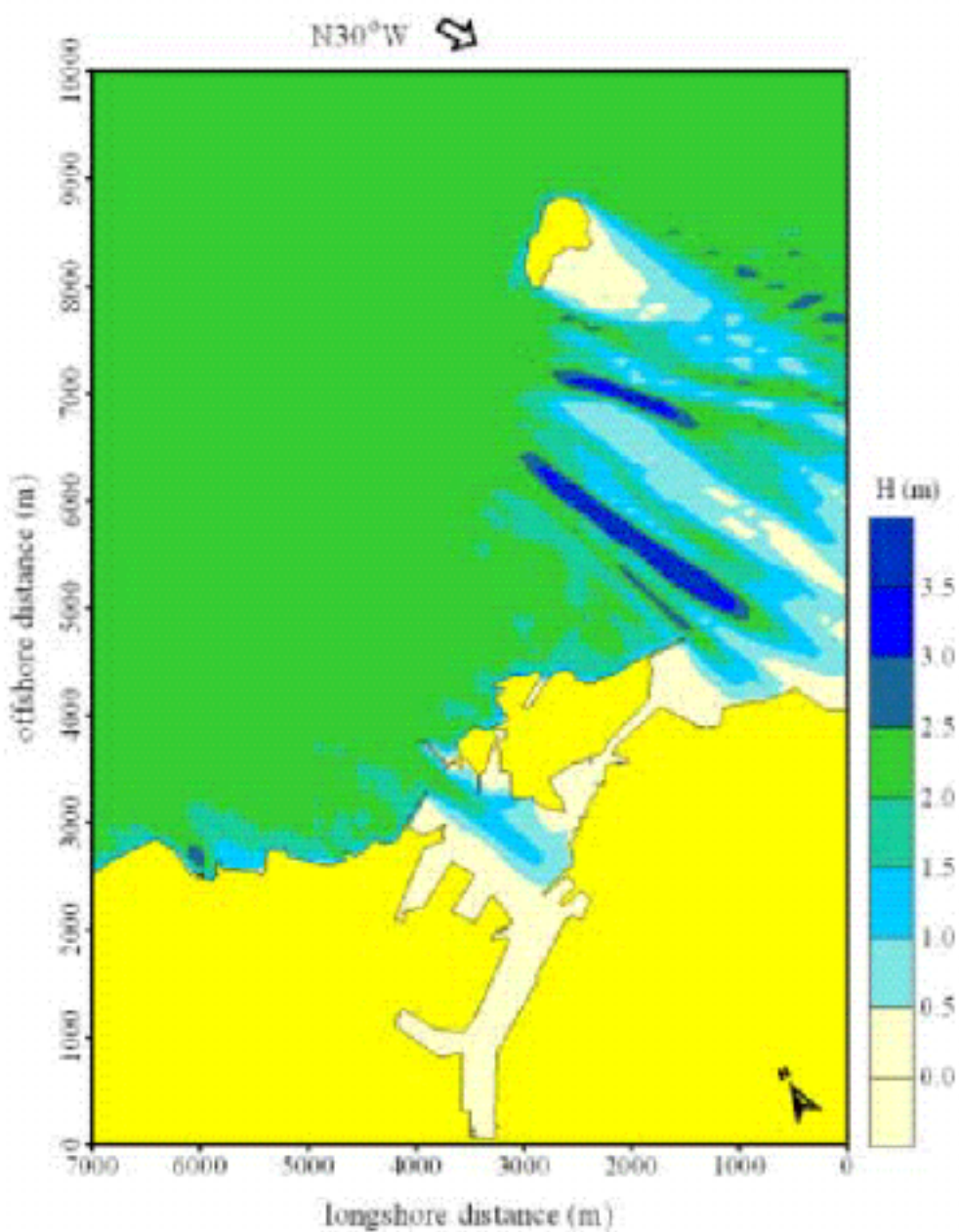
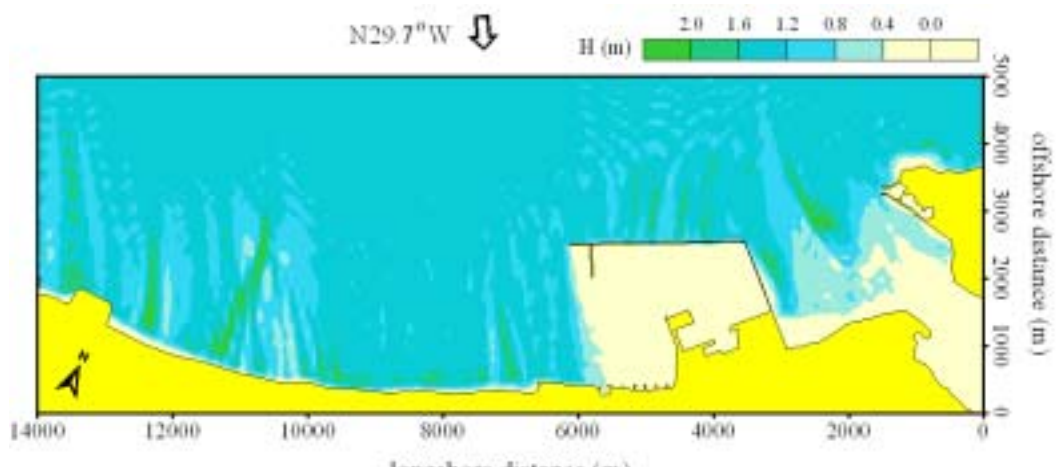
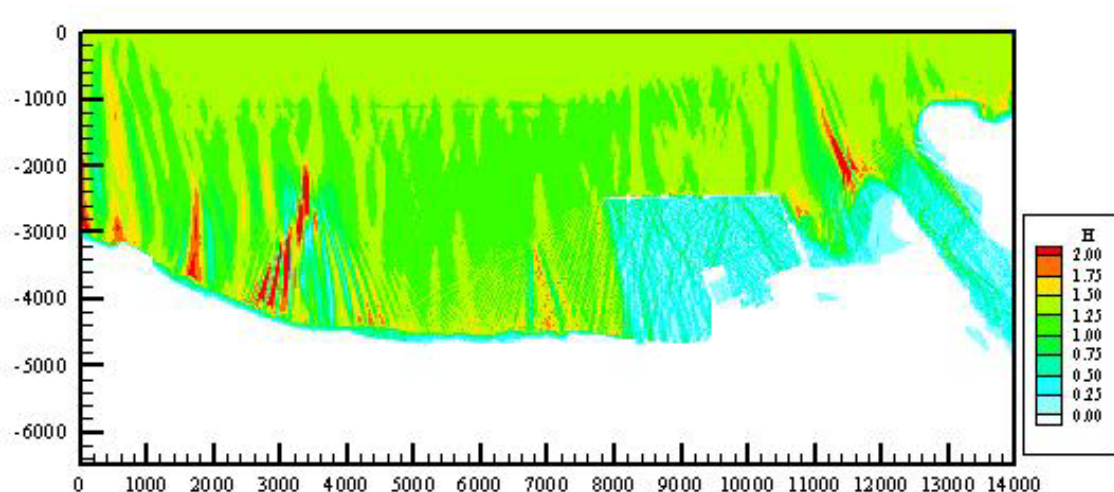


圖3.2-14 基隆港近岸波浪場EEMSE近域模式模擬結果
(奇比颱風， $H=2.25\text{m}$ ， $T=8.74\text{sec}$ ， $S48^\circ\text{E}$)

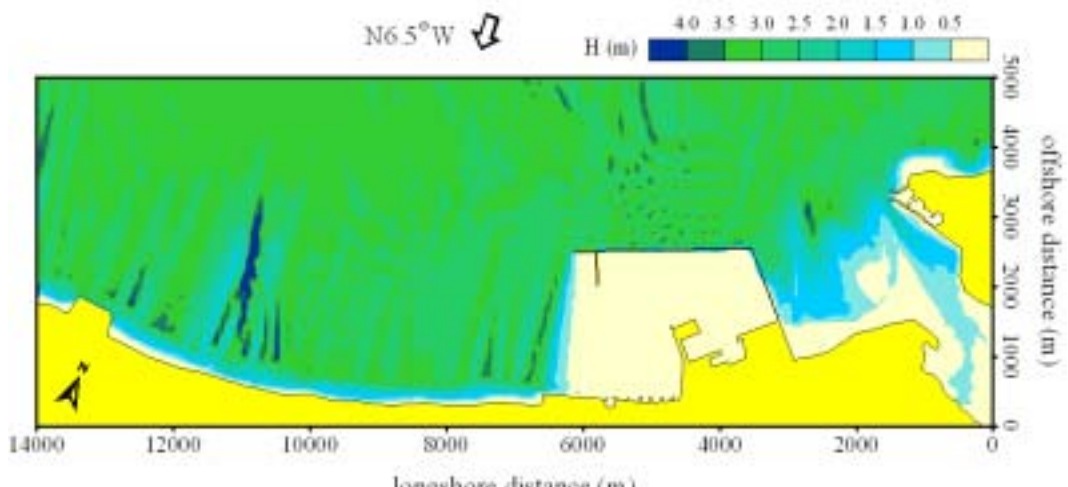


(a)

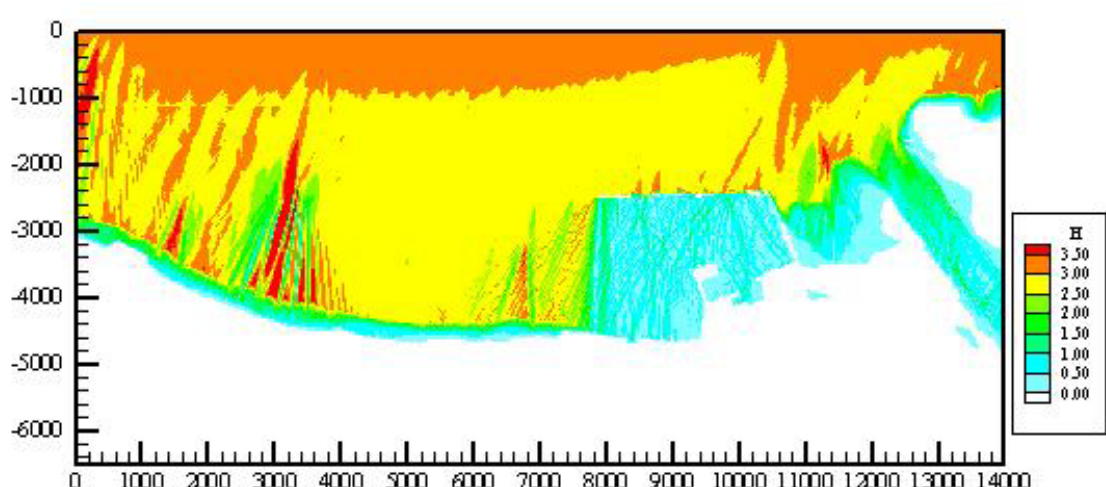


(b)

圖3.2-15 臺北港近岸波浪場模擬結果(a)EEMSE近域模式(b) REF/DIF
區域模式(奇比颱風， $H=1.28\text{m}$ ， $T=8.19\text{sec}$ ， $N29.7^{\circ}\text{W}$)

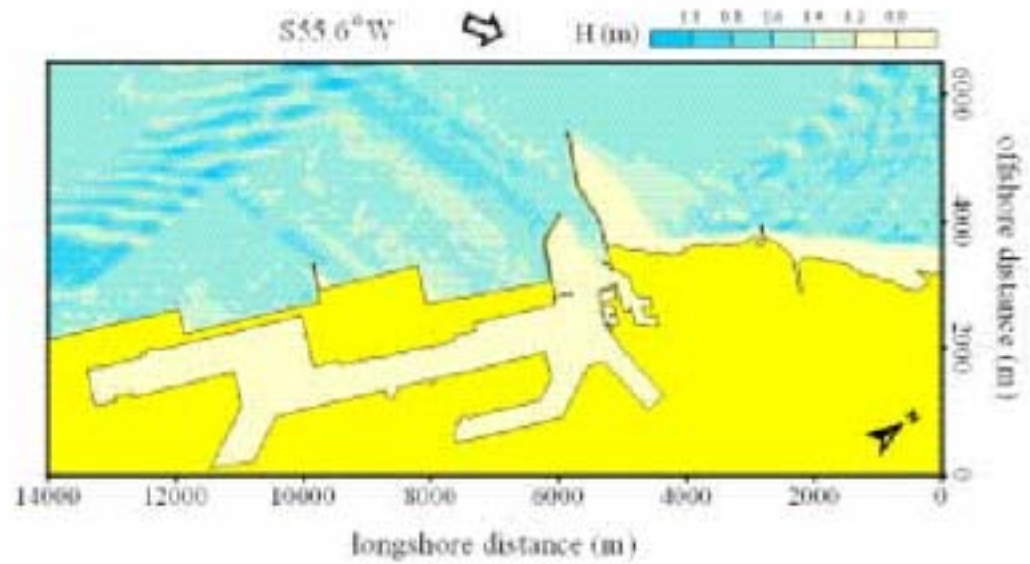


(a)

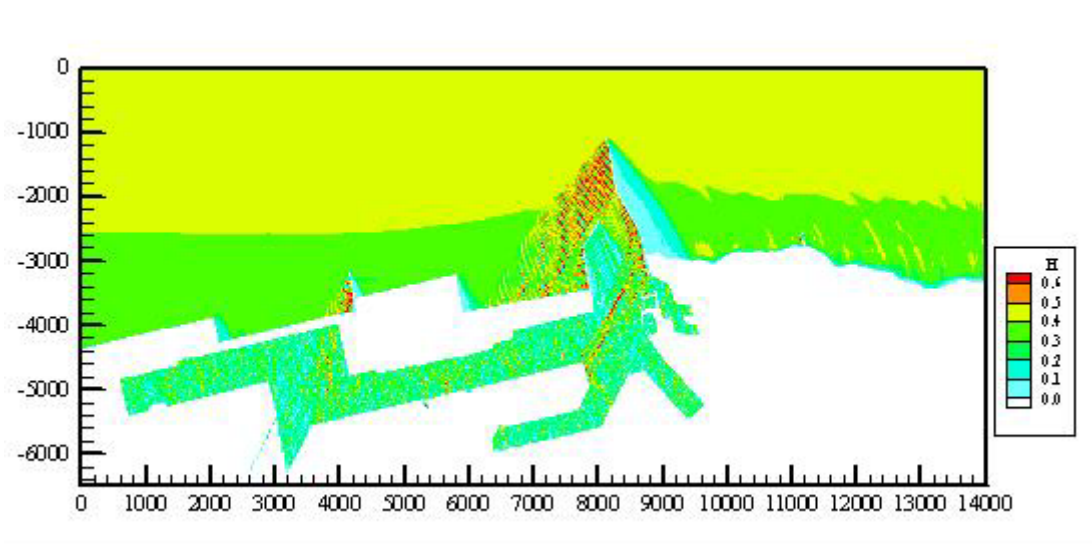


(b)

圖3.2-16 臺北港近岸波浪場模擬結果(a)EEMSE近域模式(b) REF/DIF
區域模式(艾莉颱風， $H=3.07\text{m}$ ， $T=7.18\text{sec}$ ， $N6.5^{\circ}\text{W}$)



(a)



(b)

圖3.2-17 臺中港近岸波浪場模擬結果(a)EEMSE近域模式(b) REF/DIF
區域模式(奇比颱風， $H=0.46\text{m}$ ， $T=5.01\text{sec}$ ， $S55.6^\circ\text{W}$)

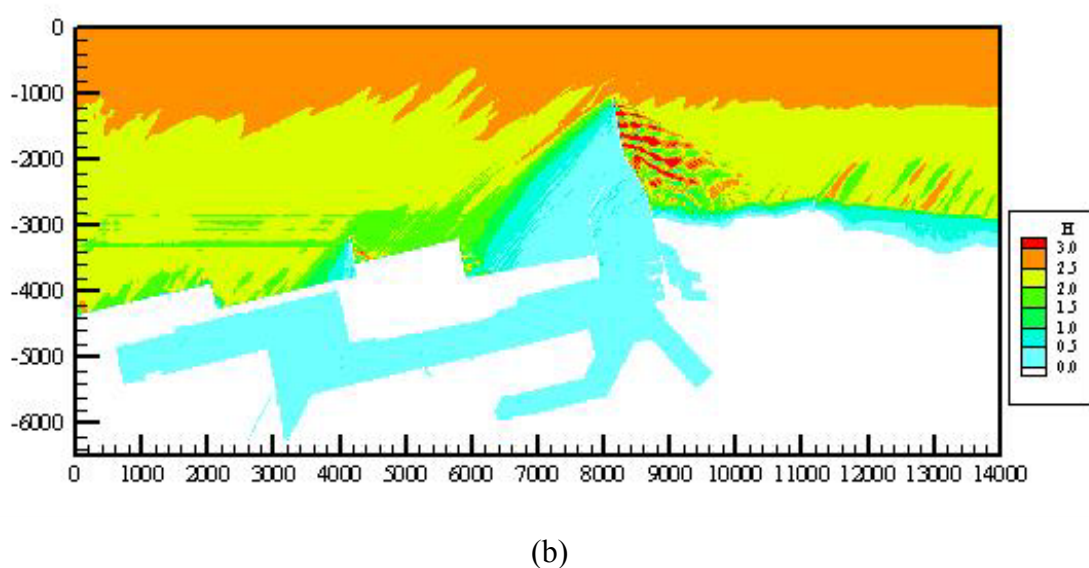
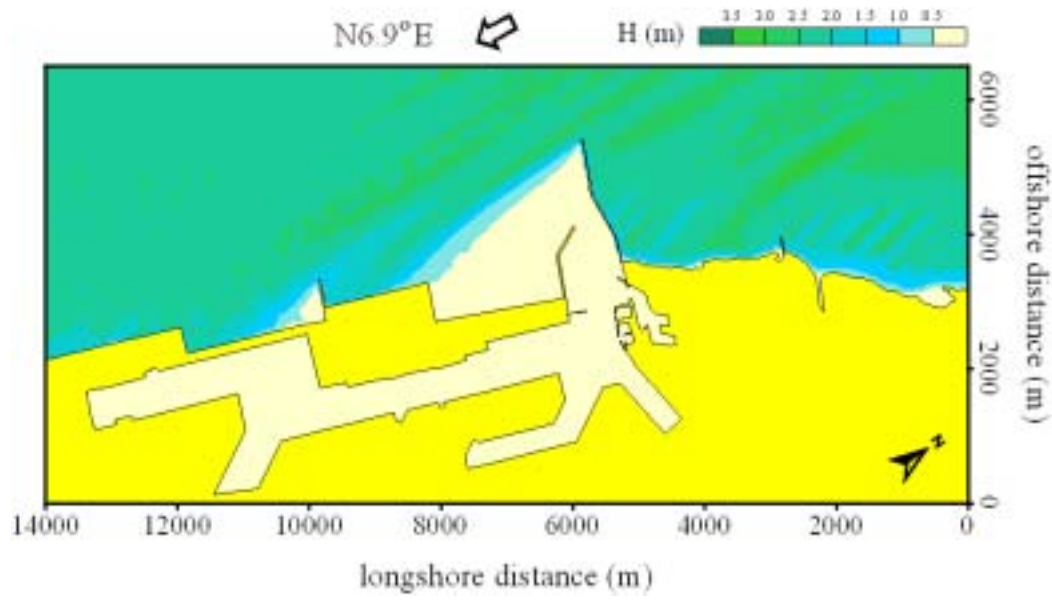
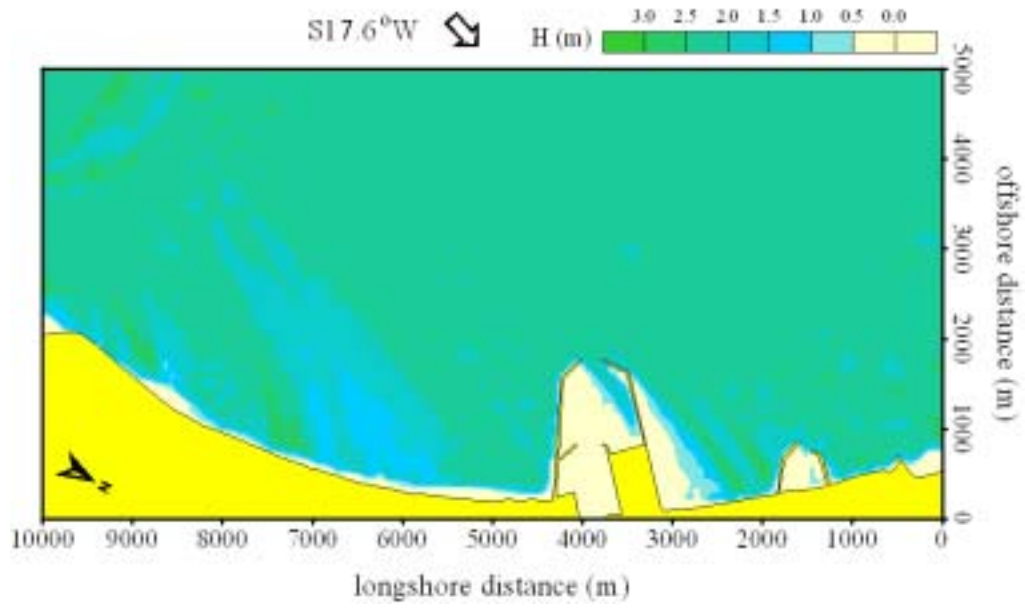


圖3.2-18 臺中港近岸波浪場模擬結果(a)EEMSE近域模式(b) REF/DIF
區域模式(艾莉颱風, $H=2.57\text{m}$, $T=6.50\text{sec}$, $N6.9^\circ\text{E}$)



(a)

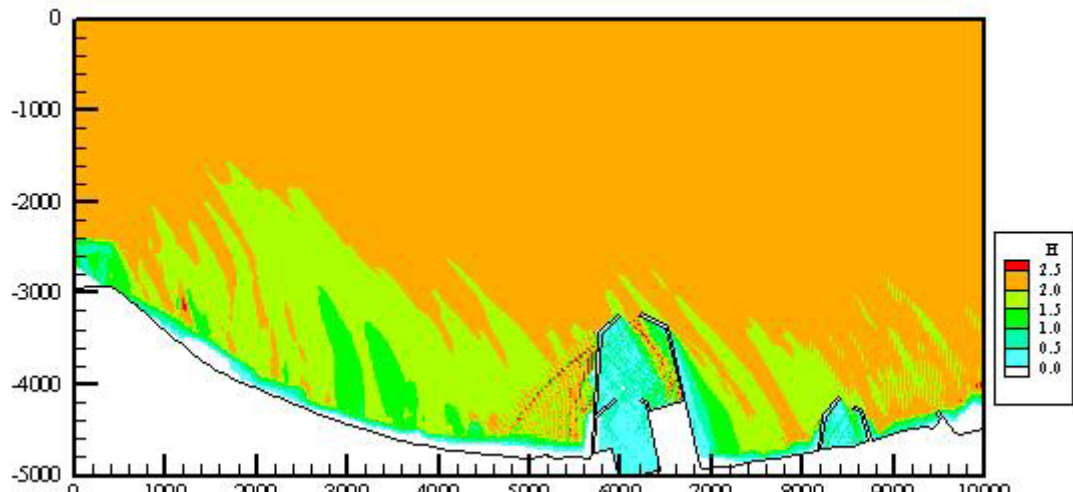
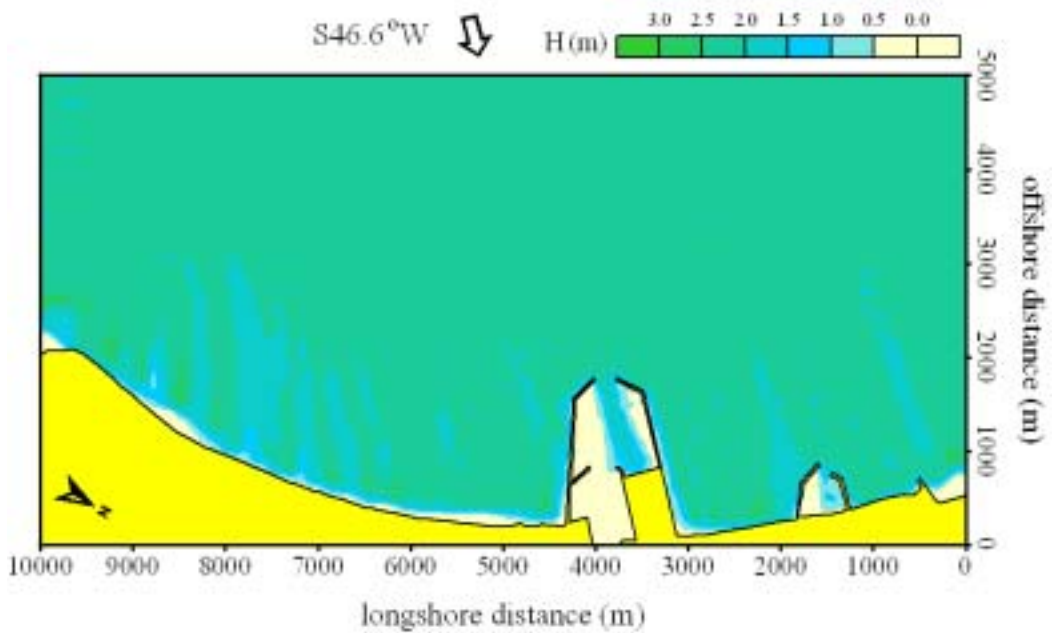
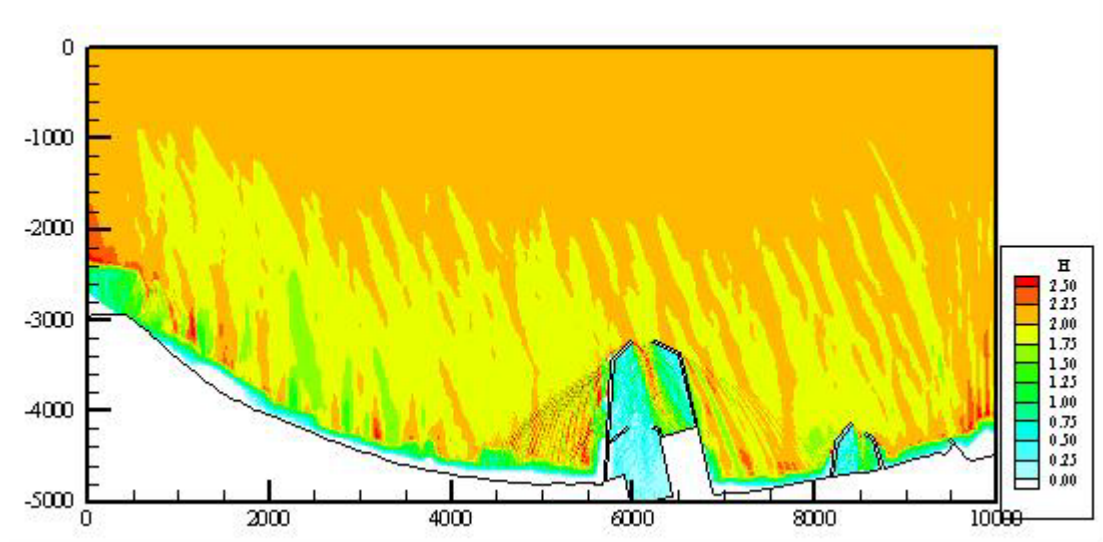


圖3.2-19 安平港近岸波浪場模擬結果(a)EEMSE近域模式(b) REF/DIF
區域模式(奇比颱風， $H=2.26\text{m}$ ， $T=6.39\text{sec}$ ， $S17.6^\circ\text{W}$)



(a)



(b)

圖3.2-20 安平港近岸波浪場模擬結果(a)EEMSE近域模式(b) REF/DIF
區域模式(艾莉颱風, $H=2.08\text{m}$, $T=6.94\text{sec}$, $S46.6^\circ\text{W}$)

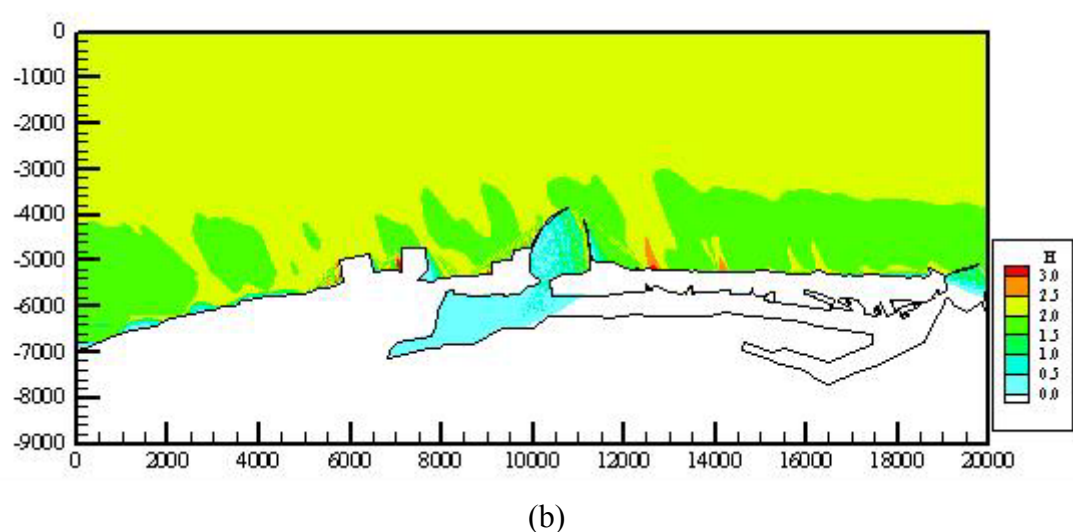
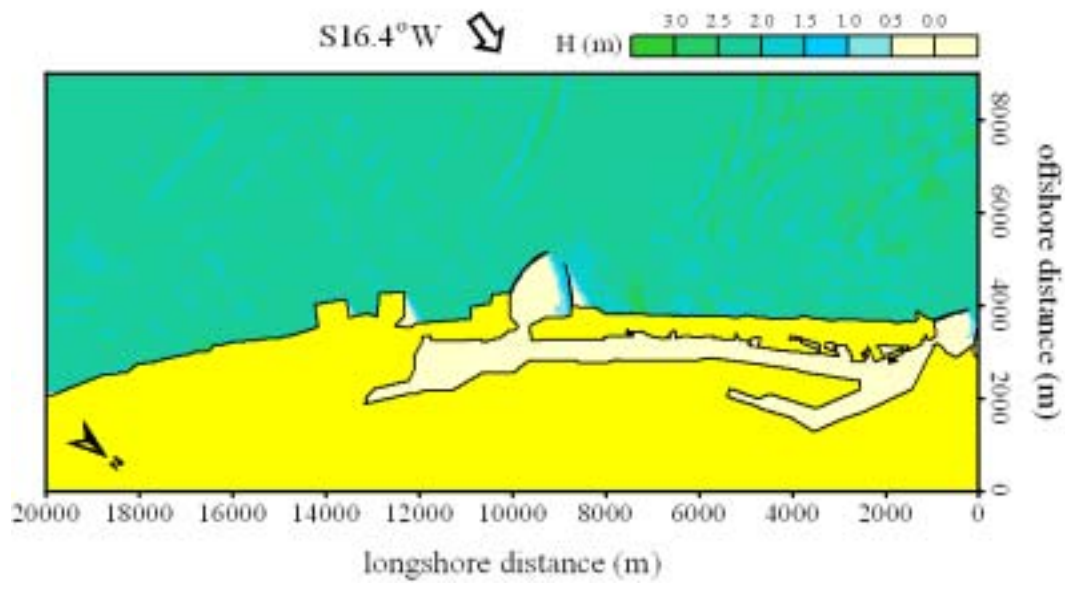
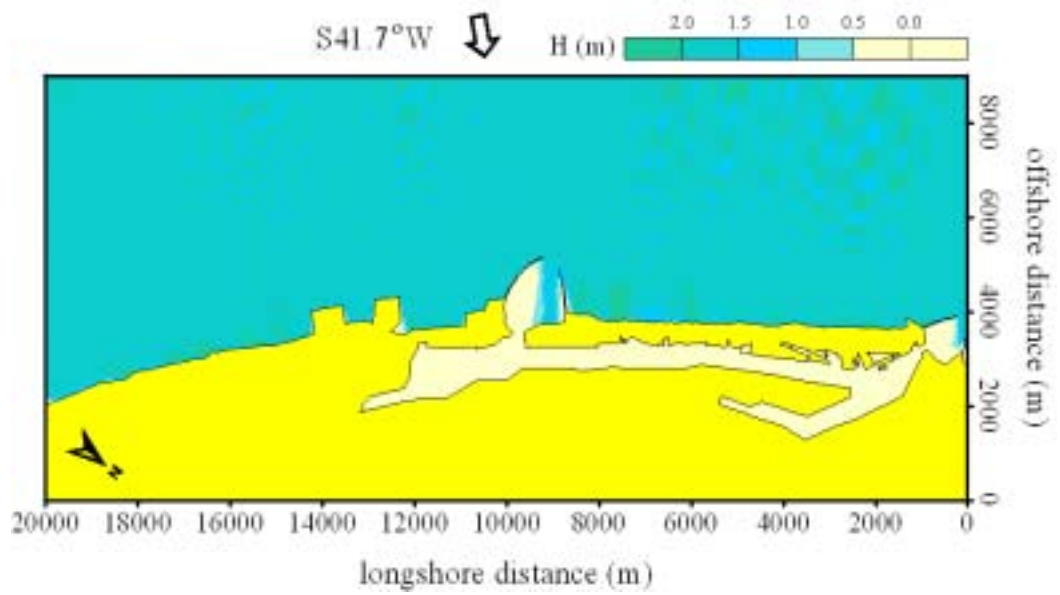
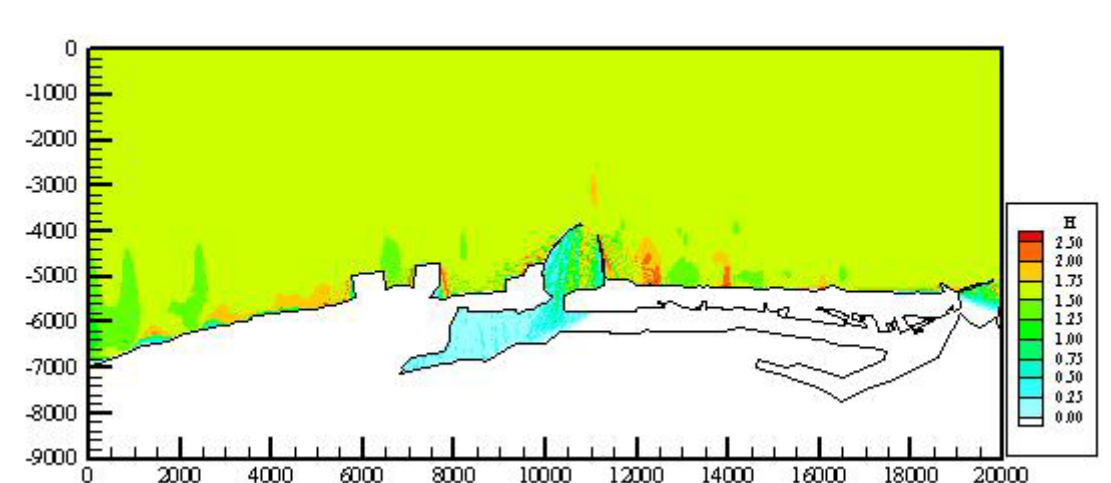


圖3.2-21 高雄港近岸波浪場模擬結果(a)EEMSE近域模式(b) REF/DIF
區域模式(奇比颱風, $H=2.24\text{m}$, $T=6.71\text{sec}$, $S16.4^\circ\text{W}$)



(a)



(b)

圖3.2-22 高雄港近岸波浪場模擬結果(a)EEMSE近域模式(b) REF/DIF
區域模式(艾莉颱風, $H=1.71\text{m}$, $T=7.12\text{sec}$, $S41.7^\circ\text{W}$)

3.2.3 環島近岸區域波浪模擬系統

基於近岸區域波浪模式允許較大數值計算網格以及運算速度快等優點，本計畫利用上述近岸區域波浪模式(REF/DIF)構建臺灣環島近岸海域波浪模擬系統。本年度計畫將針對臺灣東部海岸構建16個近岸區域波浪模擬區塊，藉以承接全域風浪模式之計算結果，進而將外海波浪推算至岸線。

本計畫區域模式所使用之地形水深資料，係依據港灣技術研究中心所提供之網格水深資料，如圖3.2-23所示，圖中資料網格大小為500m×500m。本計畫針對東部海岸自北端三紹角起至最南端鵝鑾鼻，共規劃16個近岸區域波浪數值模擬區塊(A～P)，如圖3.2-24所示。各區域波浪數值模擬區塊之大小與座標，如表3.2-2所示；區域波浪模式數值計算網格之間距為0.001°(約109 m)，各區域波浪數值模擬區域與本計畫全域風浪模式SWAN及WAM之數值計算網格之相關位置，如圖3.2-25所示。

本計畫近岸區域波浪模擬系統(以下簡稱RGWS)之作業流程如圖3.2-26所示，目前已針對上述16個模擬區域(A～P)分別建立子模組，因此系統僅需輸入波浪資料(波高週期及波向)及潮位即可執行各子模組模擬近岸區域波浪場。如表3.2-3所示為系統測試所使用之計算條件，相關波浪條件為本計畫全域波浪模式SWAN模擬冬季季風之結果。各模擬區域之波高及波向模擬結果如圖3.2-27至圖3.2-39所示，由於東部海岸水深相當大，僅近岸狹長地帶屬淺水區，因此模擬區域內波浪之折繞射現象相當不顯著，僅極近岸淺水區波高及波向才有較顯著之改變。此外由於目前模式所使用的地形水深資料，其解析度為500m×500m，亦導致模式部份近岸水深與現況不相符，進而影響模式模擬之結果。

本計畫未來將進一步蒐集近岸水深資料修正目前模式之水深資料，藉以增進數值模式模擬結果。

表 3.2-2 近岸區域波浪模式模擬區域網格資料

模擬區域編號	左下角座標	右上角座標	計算網格	ND
A	(121.80, 24.60)	(122.08, 25.00)	281×401	10
B	(121.82, 24.48)	(121.96, 24.64)	141×161	15
C	(121.76, 24.32)	(121.92, 24.52)	161×201	15
D	(121.64, 24.16)	(121.84, 24.36)	201×201	15
E	(121.60, 24.00)	(121.76, 24.20)	161×201	15
F	(121.56, 23.88)	(121.68, 24.04)	121×161	15
G	(121.52, 23.72)	(121.68, 23.92)	161×201	15
H	(121.48, 23.56)	(121.62, 23.76)	141×201	15
I	(121.44, 23.36)	(121.60, 23.60)	161×241	15
J	(121.36, 23.12)	(121.56, 23.40)	201×281	15
K	(121.28, 22.96)	(121.48, 23.16)	201×201	15
L	(121.16, 22.76)	(121.40, 23.00)	241×241	15
M	(120.96, 22.56)	(121.32, 22.80)	361×241	15
N	(120.88, 22.32)	(121.12, 22.60)	241×281	15
O	(120.86, 22.16)	(121.04, 22.40)	181×241	15
P	(120.84, 21.90)	(121.0, 22.20)	161×301	15

註：ND 為 y 軸方向數值計算網格內之加密格點數

表 3.2-3 近岸區域波浪模式模擬條件

模擬區域編號	波高(m)	週期(sec)	波向(°)	潮位(m)
A	2.40	5.05	218.5	0
B	2.30	5.28	210.7	0
C	2.30	5.29	209.7	0
D	2.24	5.44	205.0	0
E	2.20	5.60	202.0	0
F	2.20	5.80	201.5	0
G	2.27	5.80	201.8	0
H	2.30	5.90	202.5	0
I	2.30	5.90	202.4	0
J	2.40	5.90	202.2	0
K	2.40	6.10	202.1	0
L	2.40	6.20	201.4	0
M	2.40	6.00	200.3	0
N	2.50	5.60	190.5	0
O	2.50	5.23	190.5	0
P	2.80	5.00	194.1	0

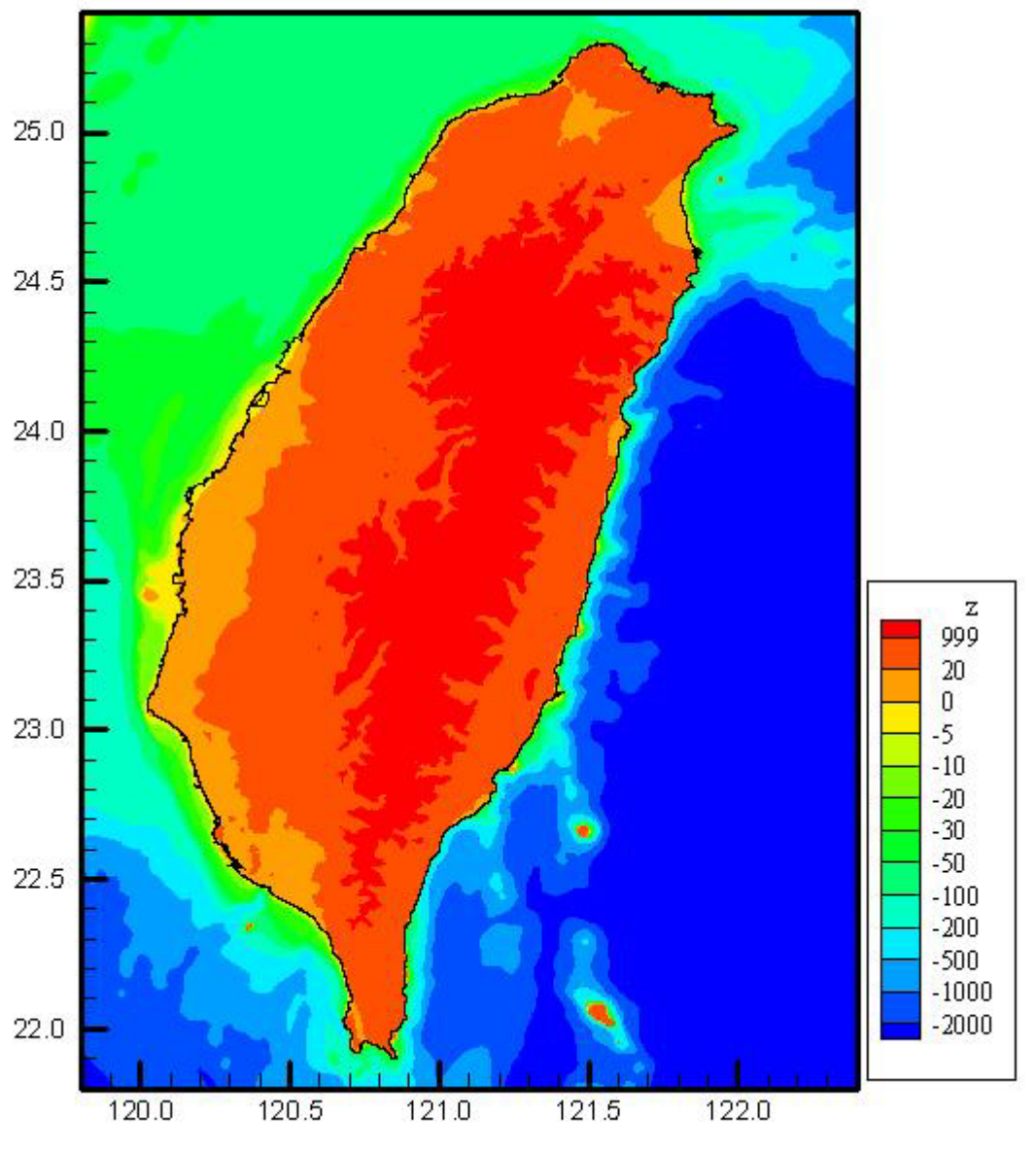


圖3.2-23 臺灣環島海域地形水深圖

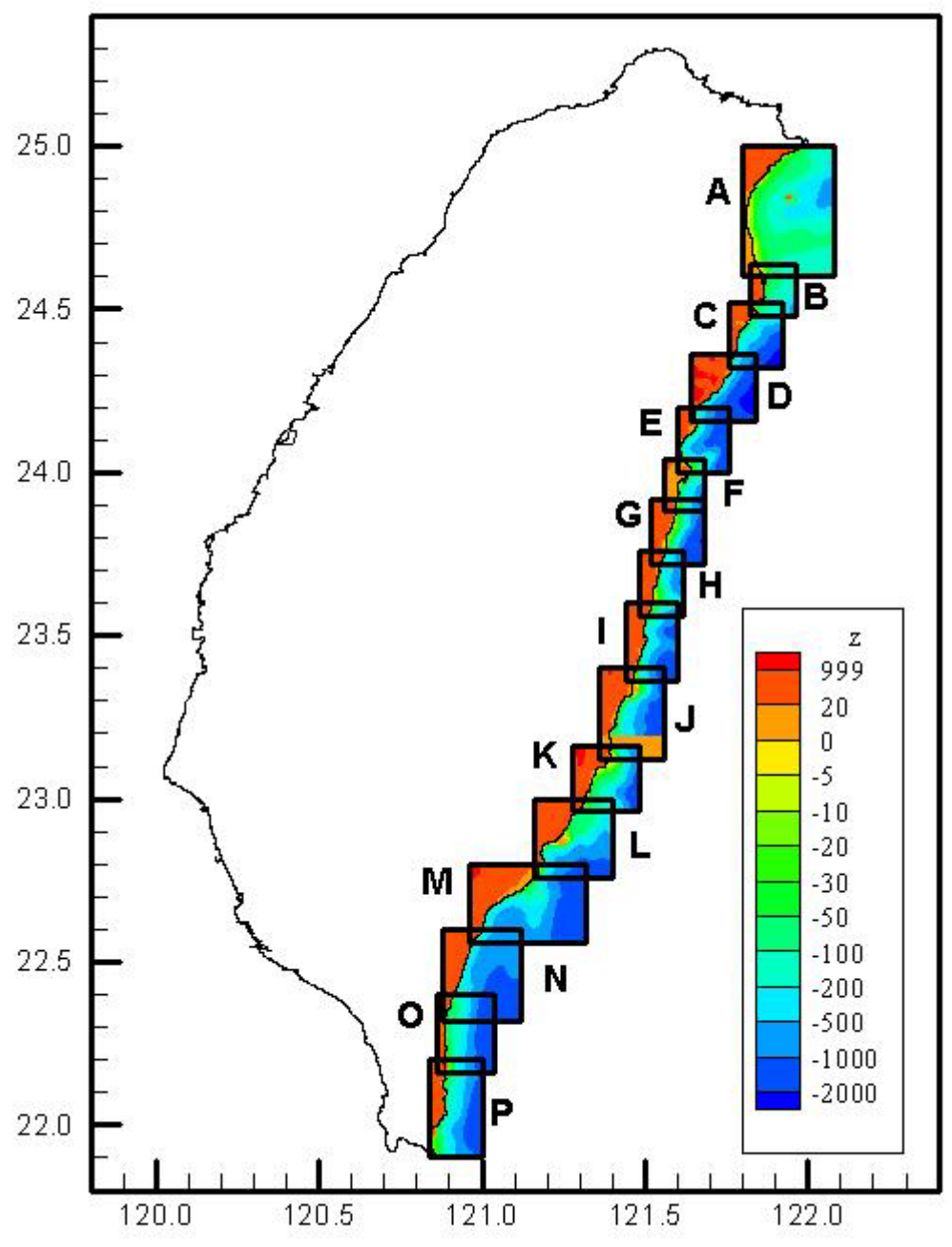


圖3.2-24 臺灣東部海岸近岸區域波浪模式模擬範圍示意圖

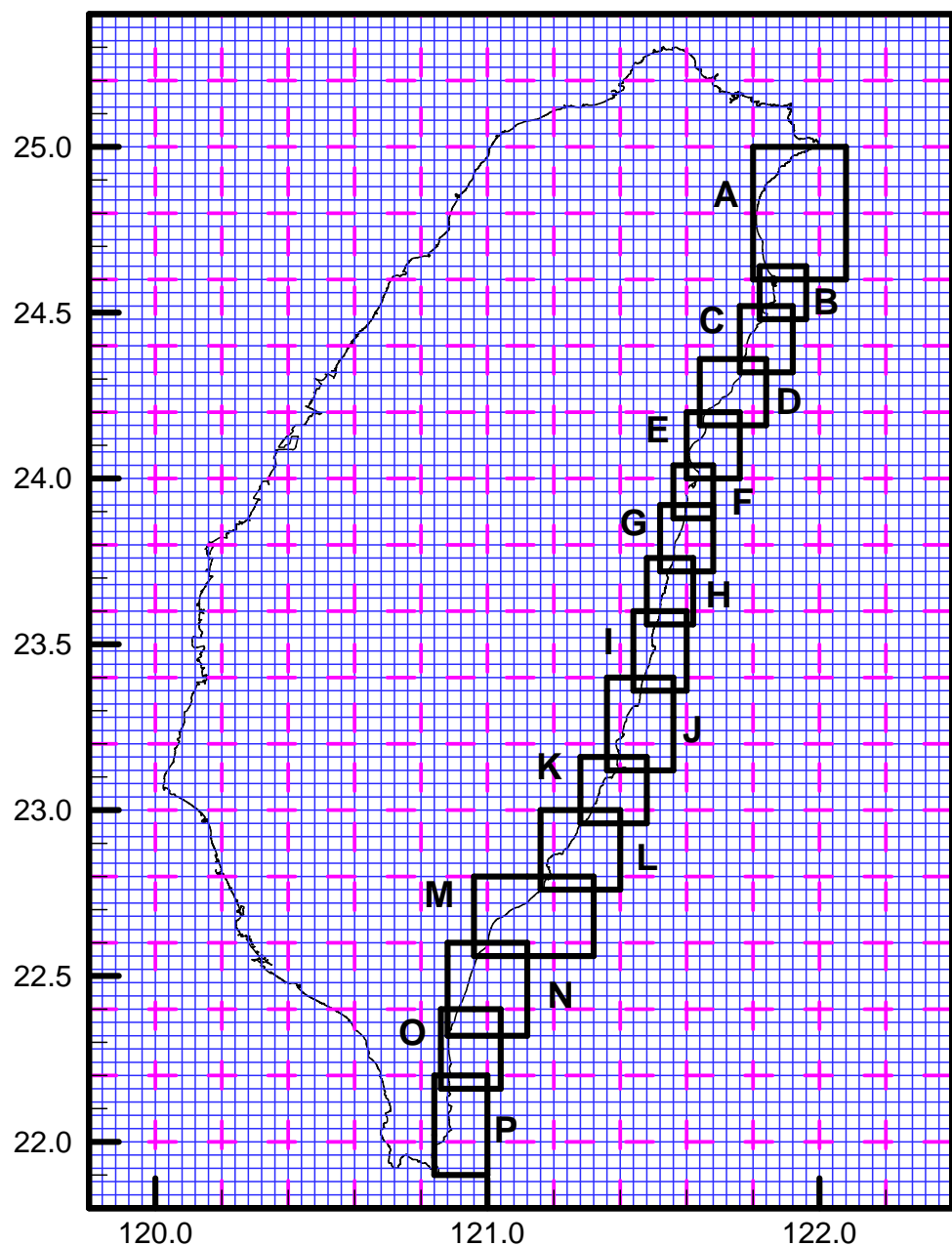


圖3.2-25 近岸區域波浪模式模擬區域與全域風浪模式SWAN(細實線)
及WAM(粗虛線)數值網格相關位置圖

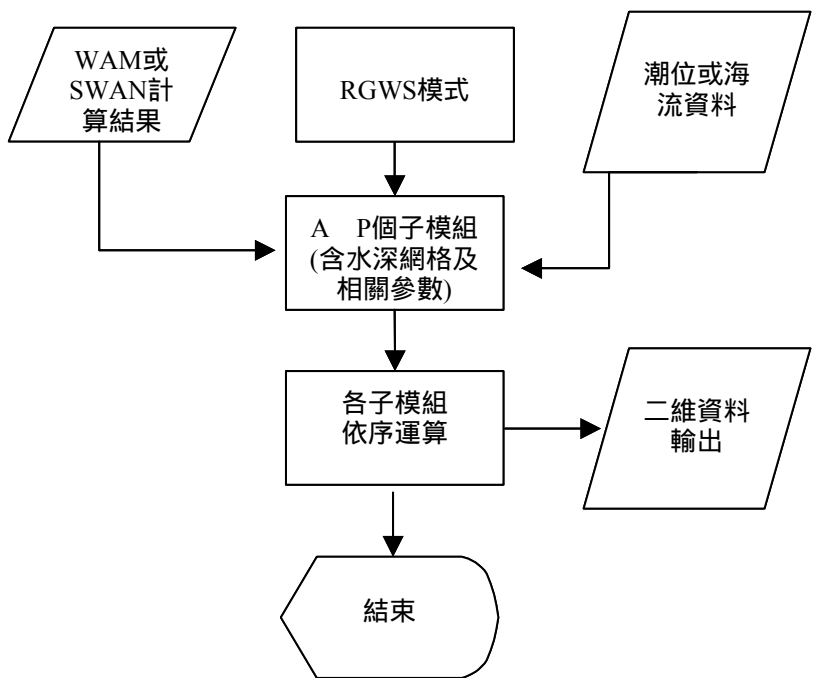


圖3.2-26 近岸區域波浪模擬系統(RGWS)計算流程

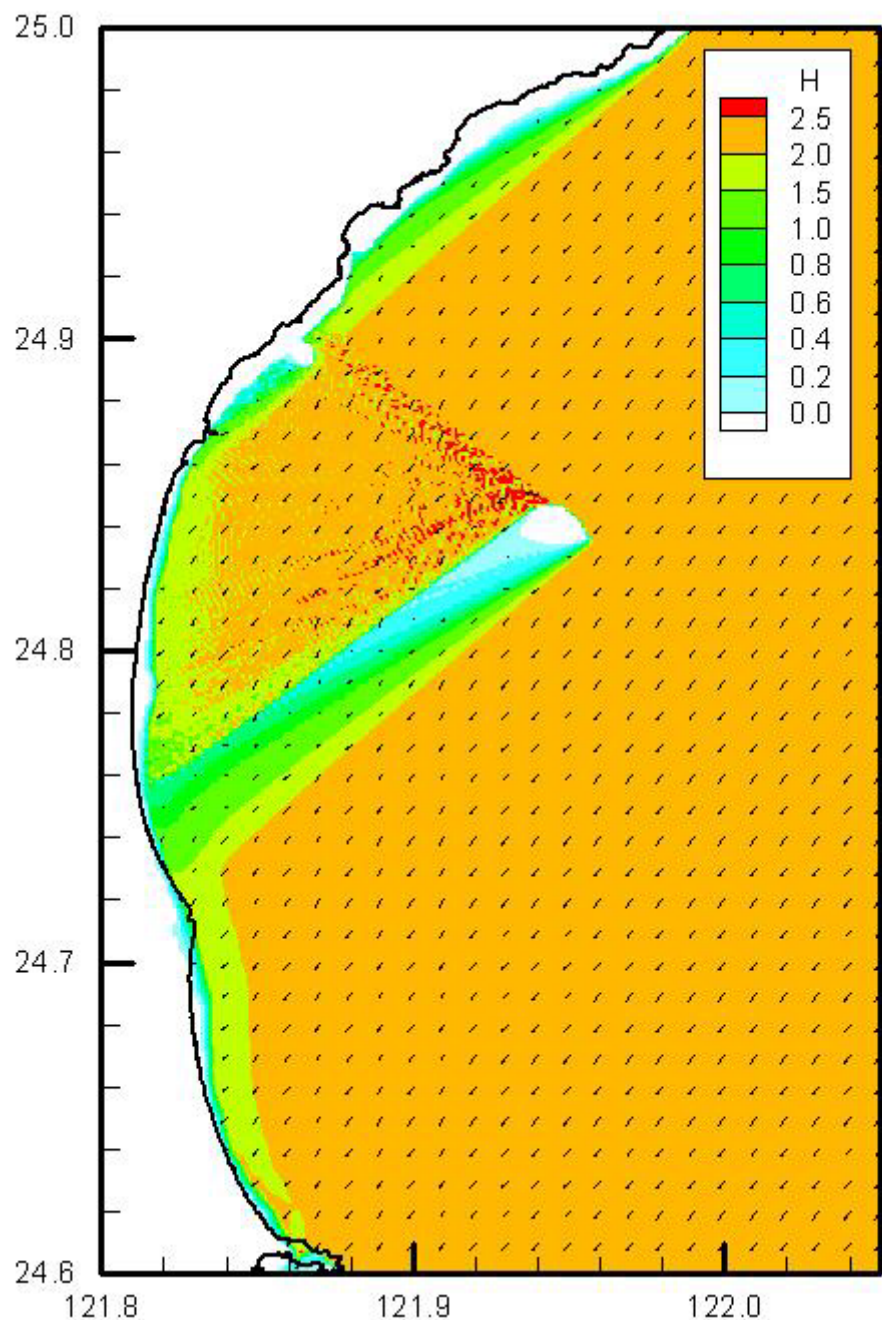


圖3.2-27 近岸區域波浪模式模擬區域A之波高及波向

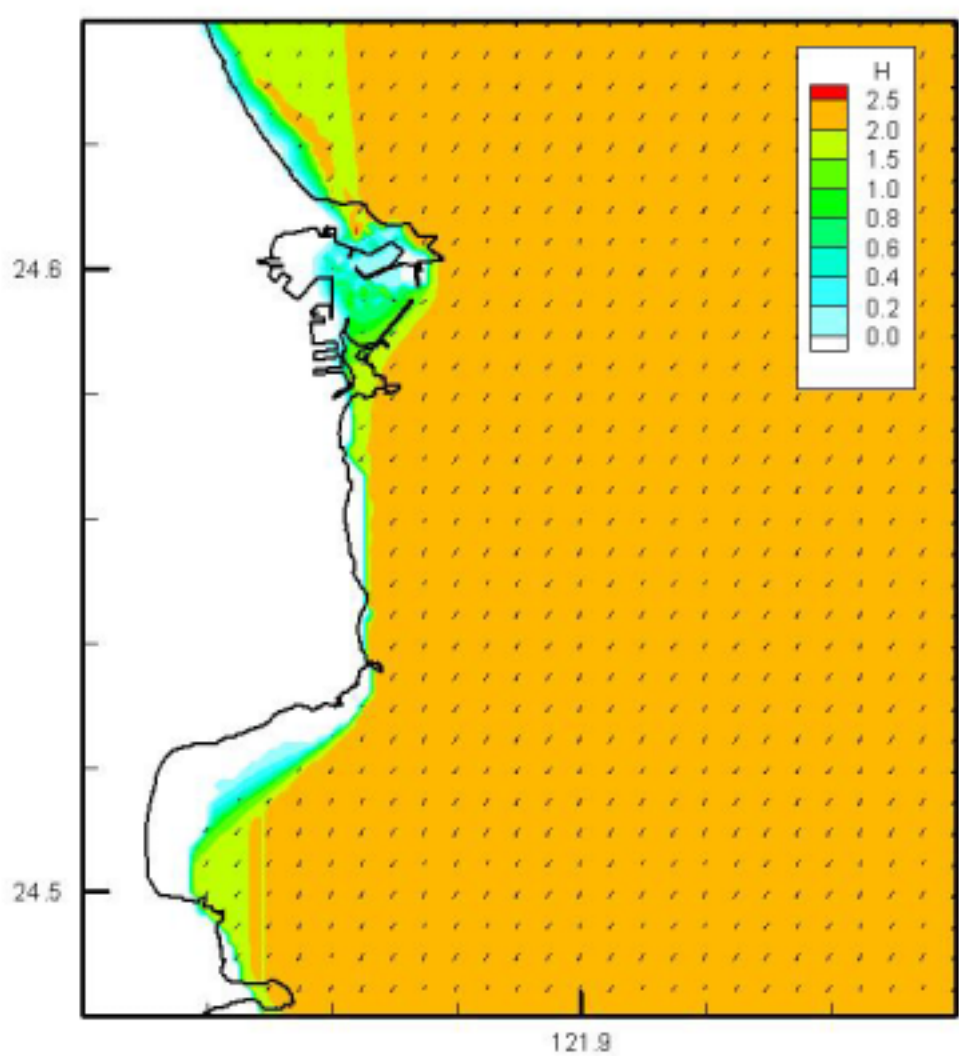


圖3.2-28 近岸區域波浪模式模擬區域B之波高及波向

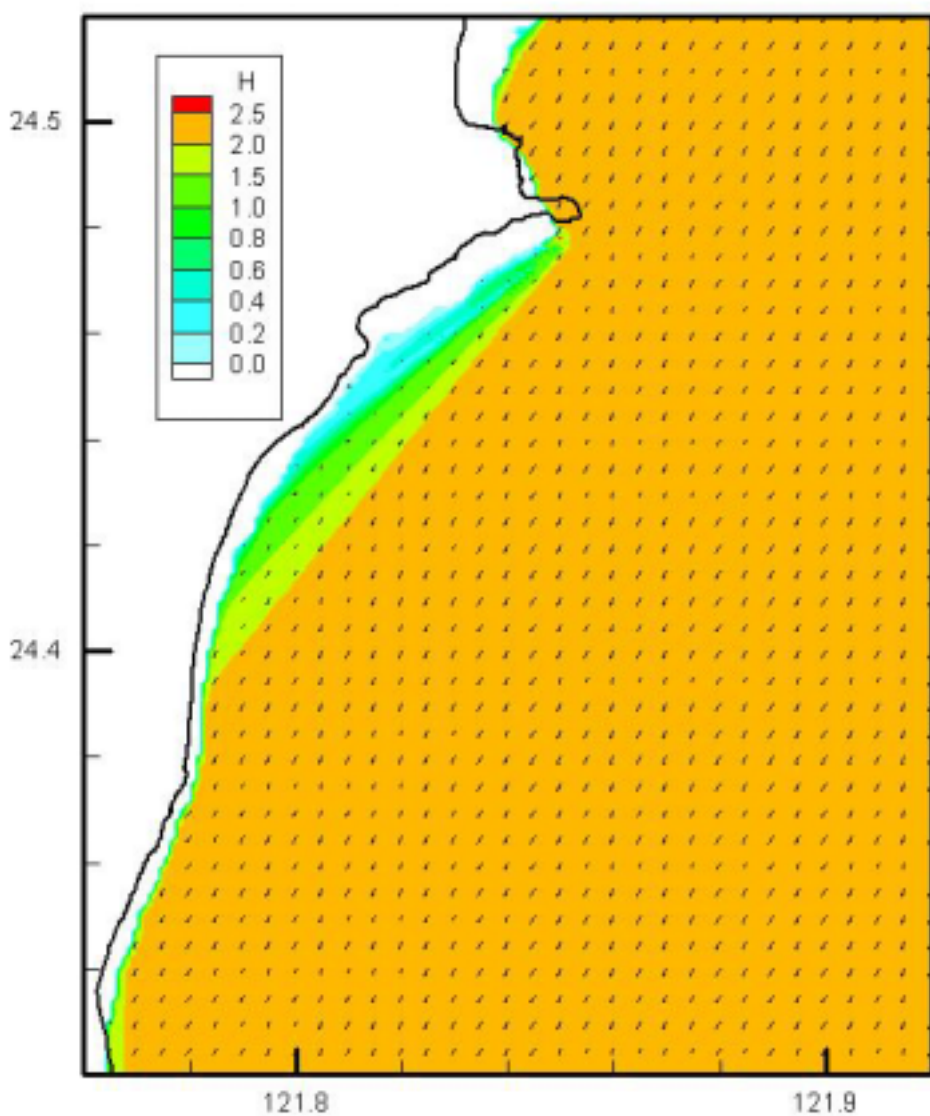


圖3.2-29 近岸區域波浪模式模擬區域C之波高及波向分佈

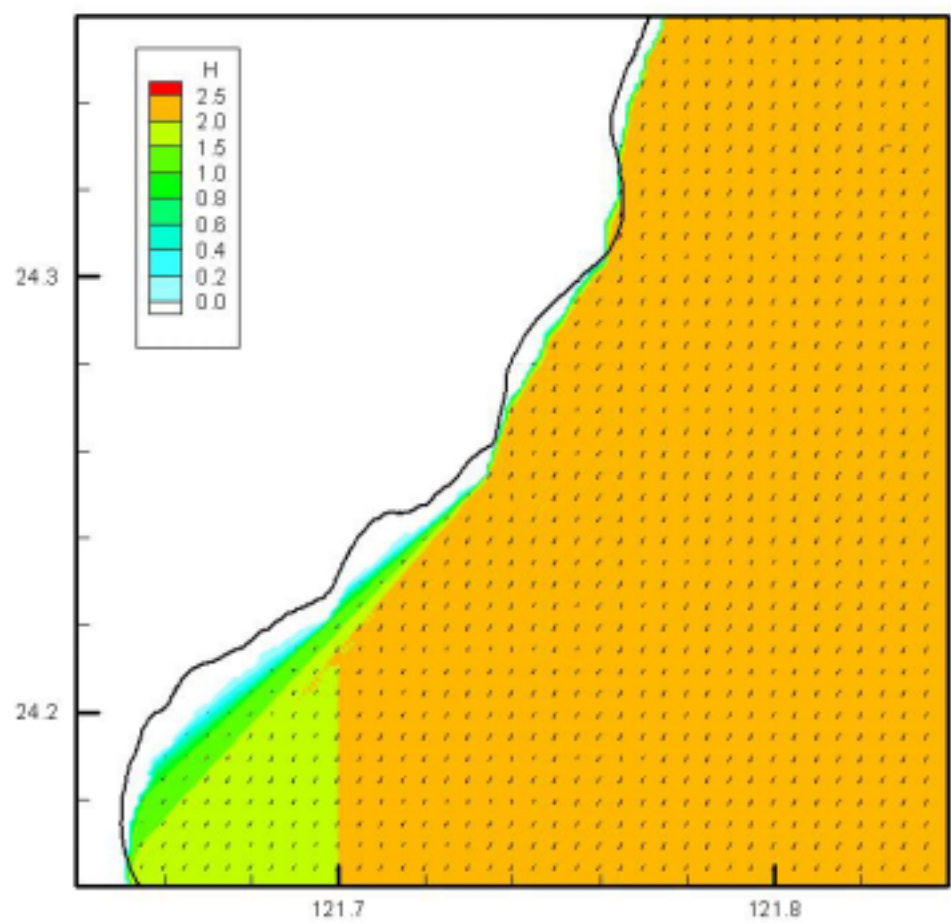


圖3.2-30 近岸區域波浪模式模擬區域D之波高及波向分佈

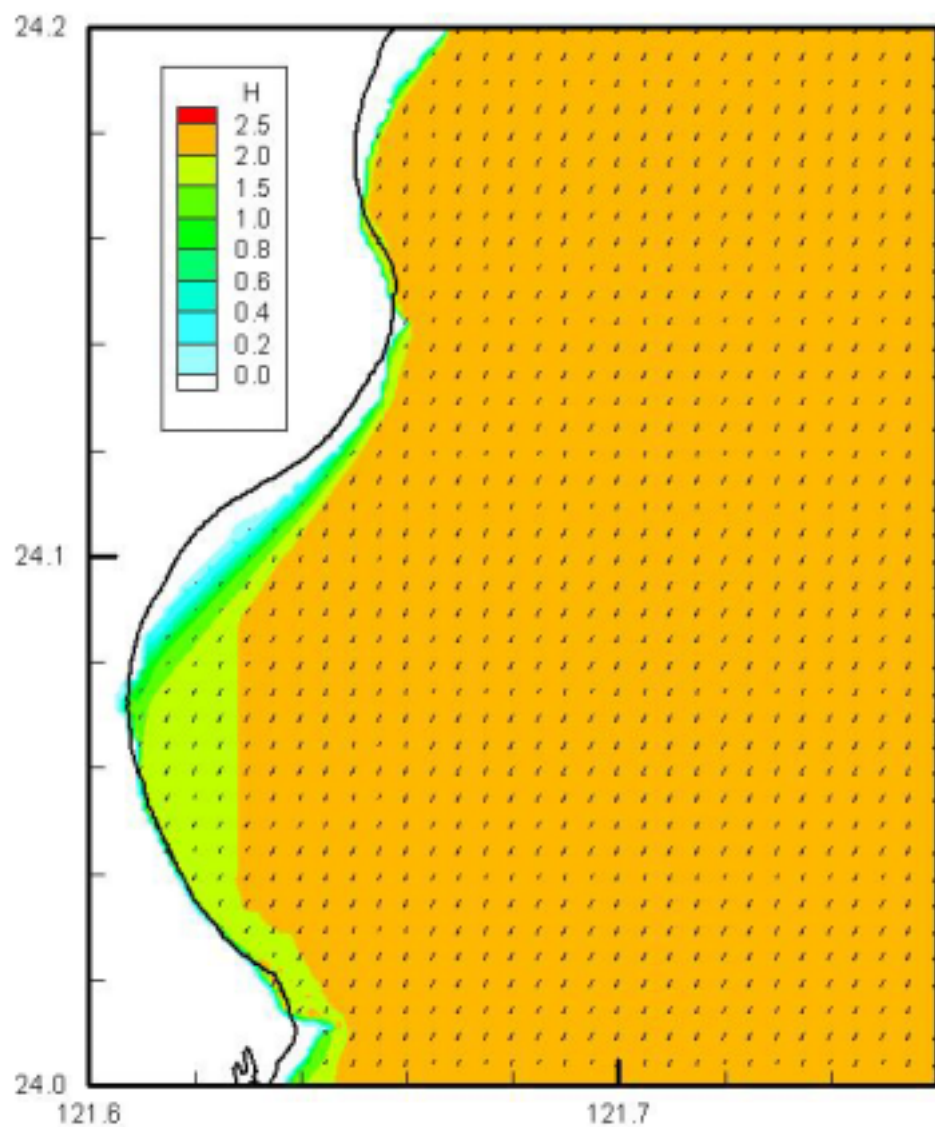


圖3.2-31 近岸區域波浪模式模擬區域E之波高及波向分佈

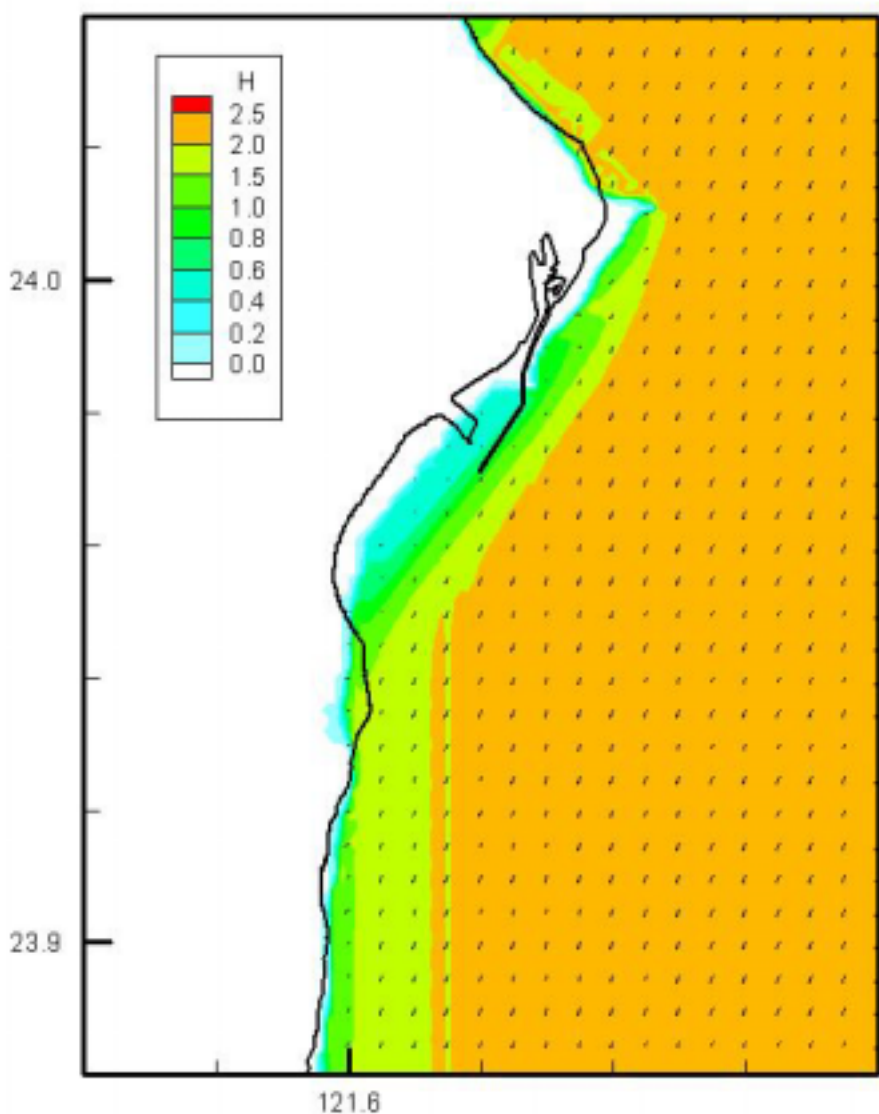


圖3.2-32 近岸區域波浪模式模擬區域F之波高及波向分佈

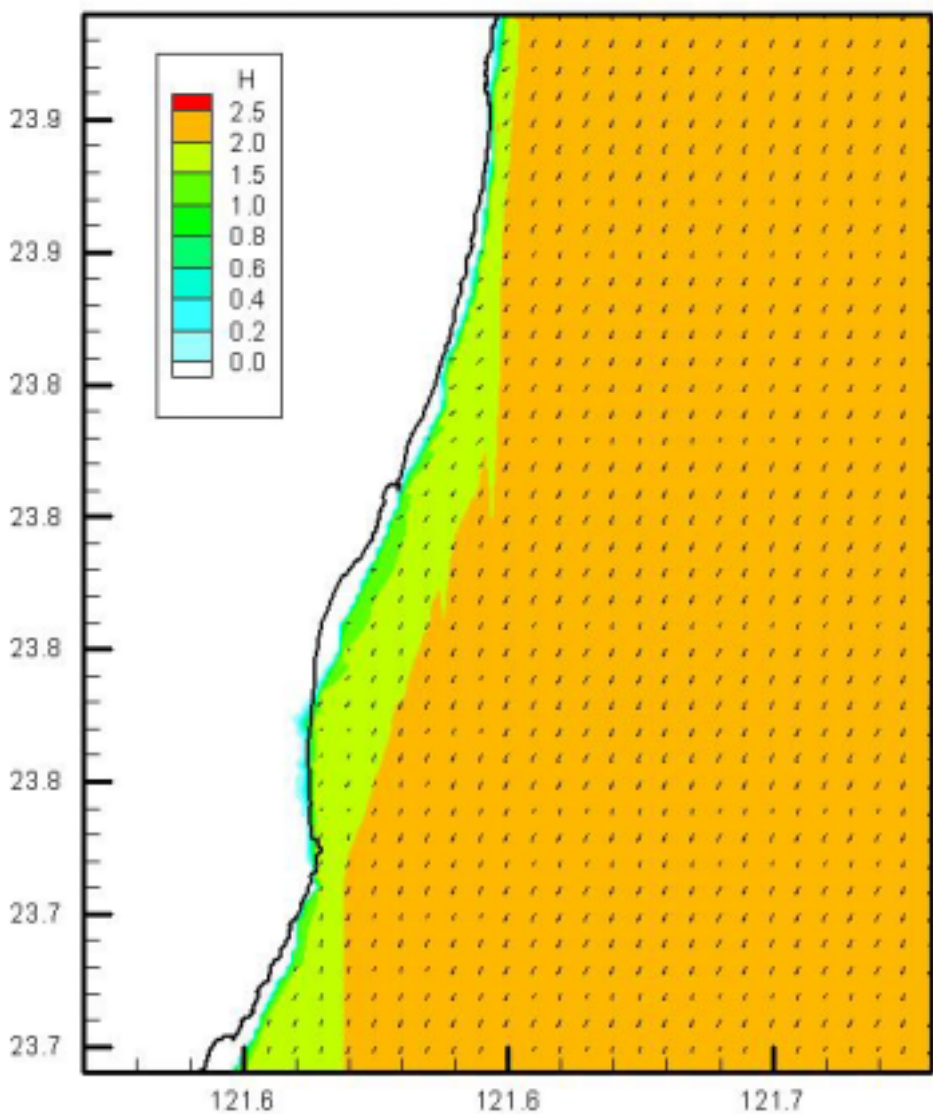


圖3.2-33 近岸區域波浪模式模擬區域G之波高及波向分佈

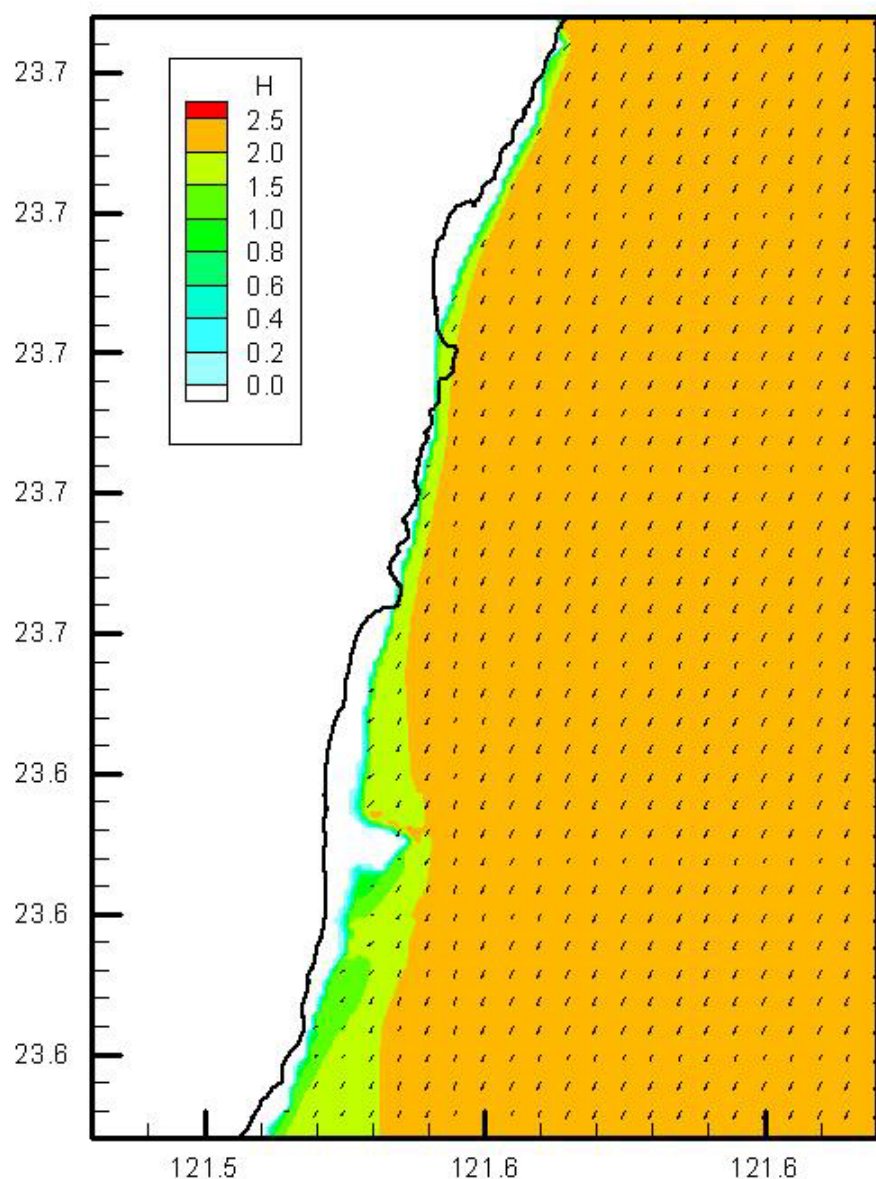


圖3.2-34 近岸區域波浪模式模擬區域H之波高及波向分佈

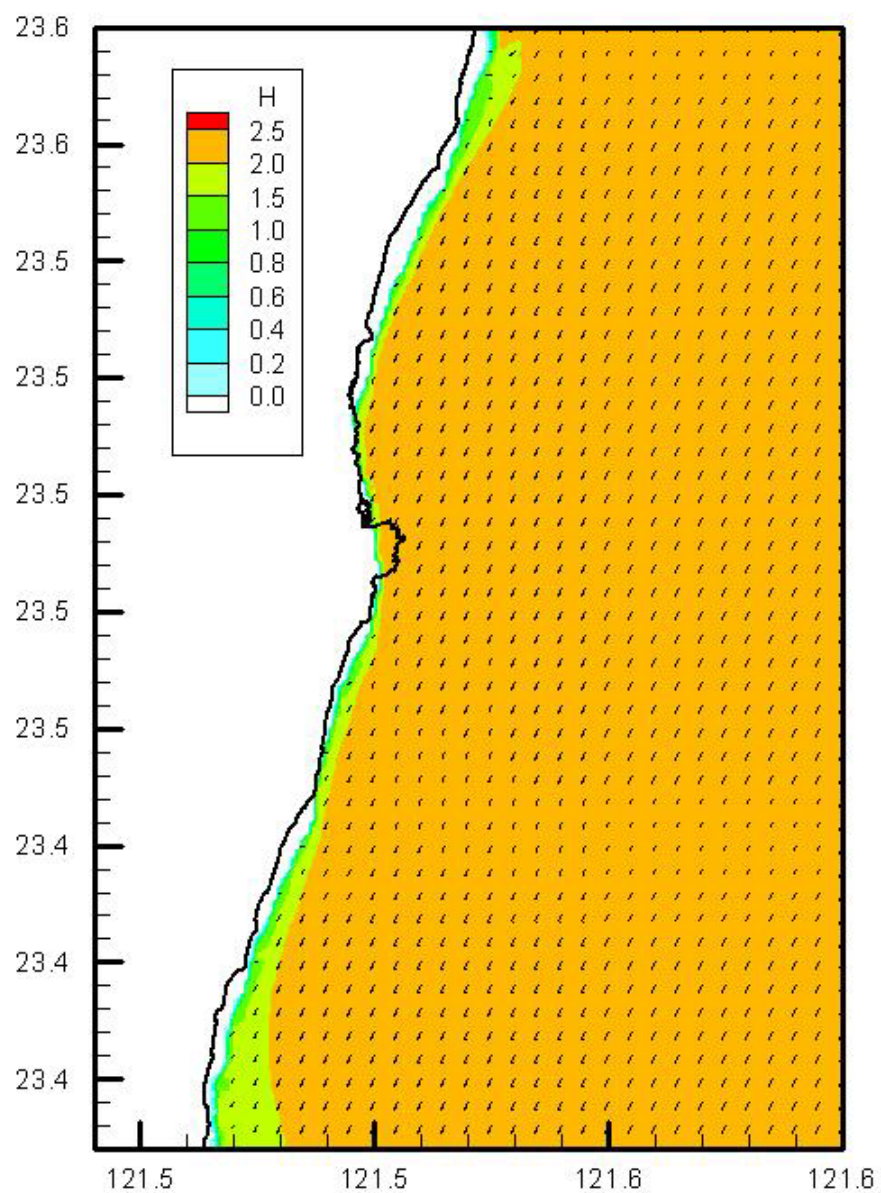


圖3.2-35 近岸區域波浪模式模擬區域I之波高及波向分佈

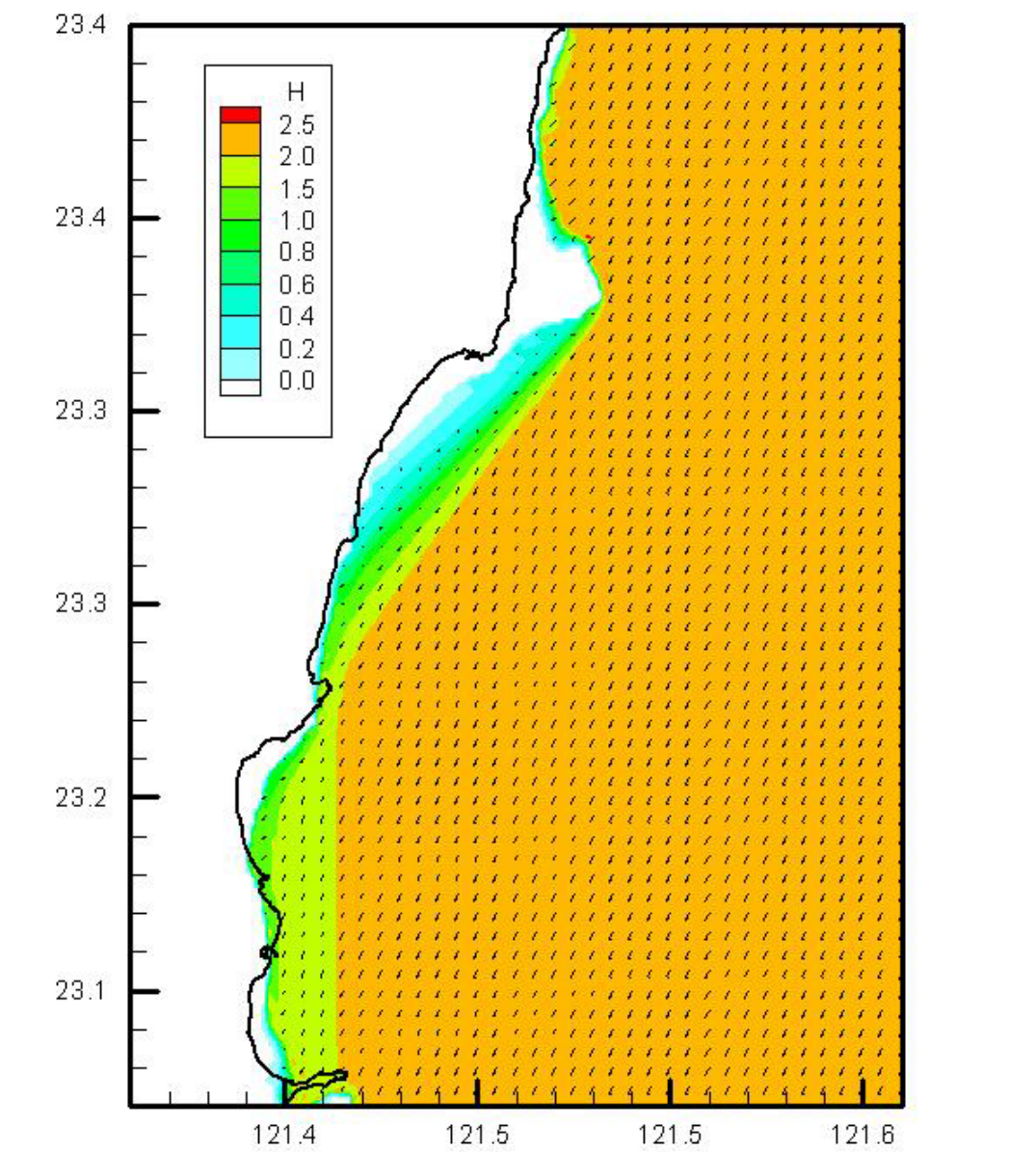


圖3.2-36 近岸區域波浪模式模擬區域J之波高及波向分佈

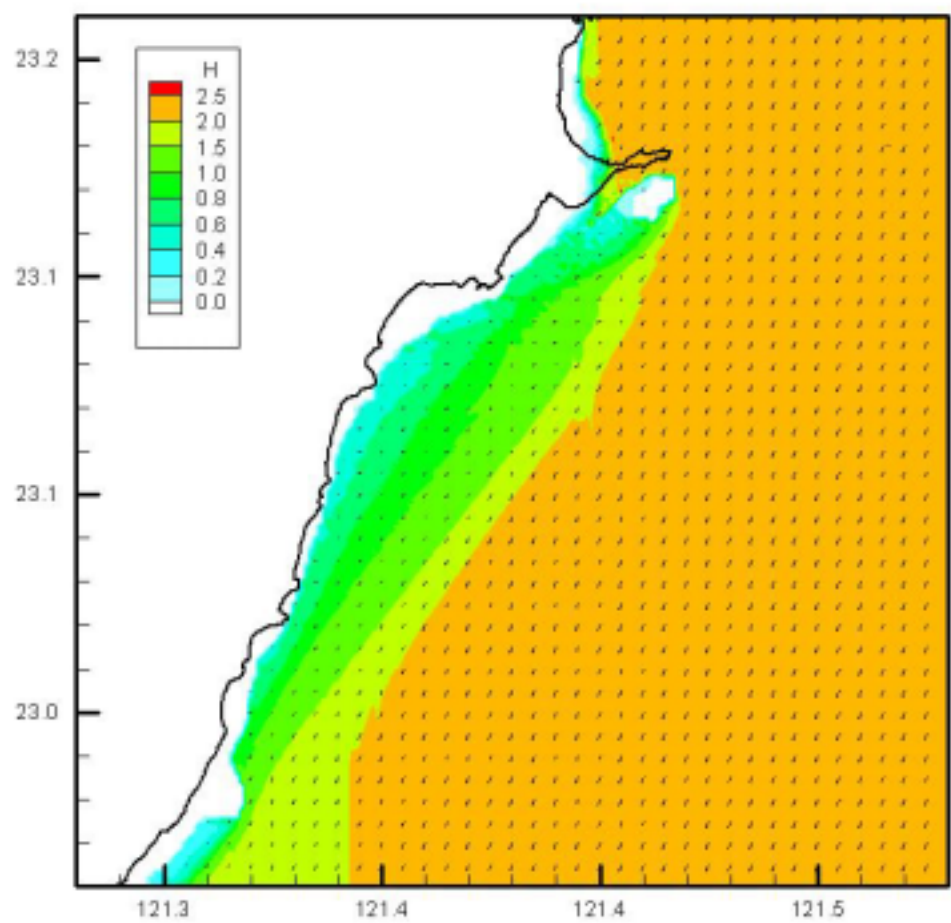


圖3.2-37 近岸區域波浪模式模擬區域K之波高及波向分佈

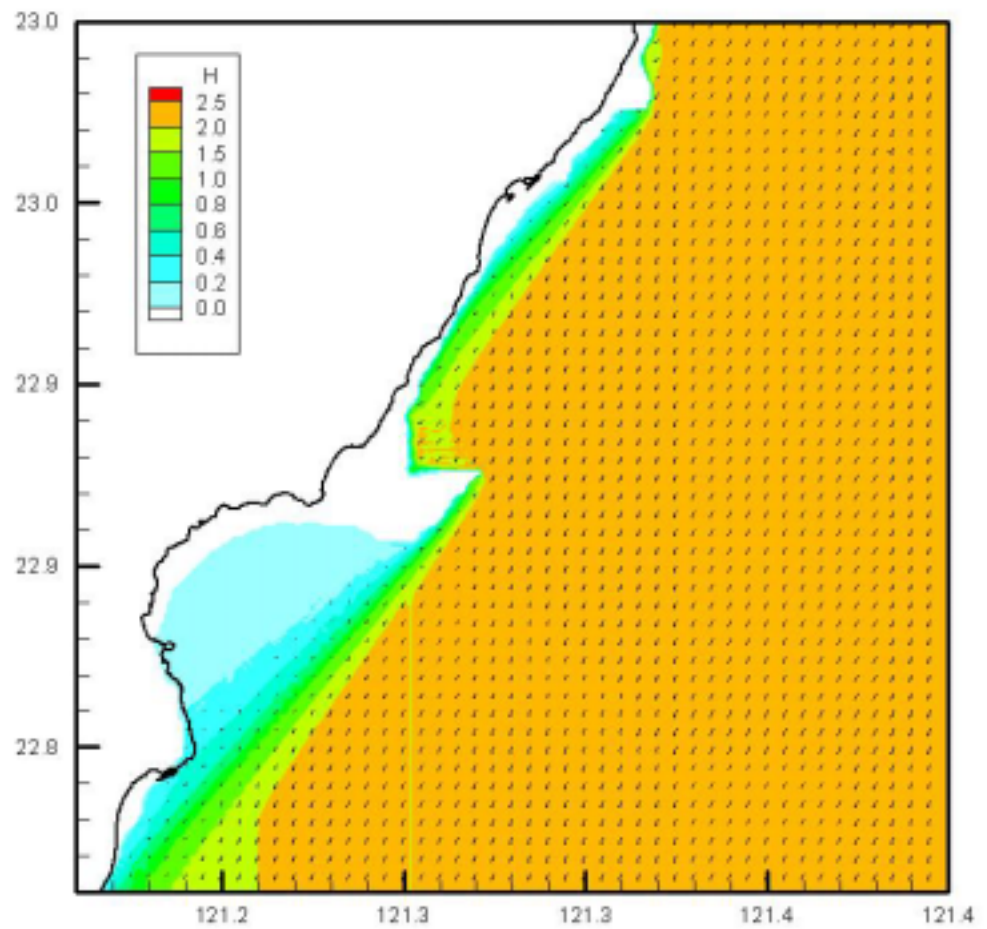


圖3.2-38 近岸區域波浪模式模擬區域L之波高及波向分佈

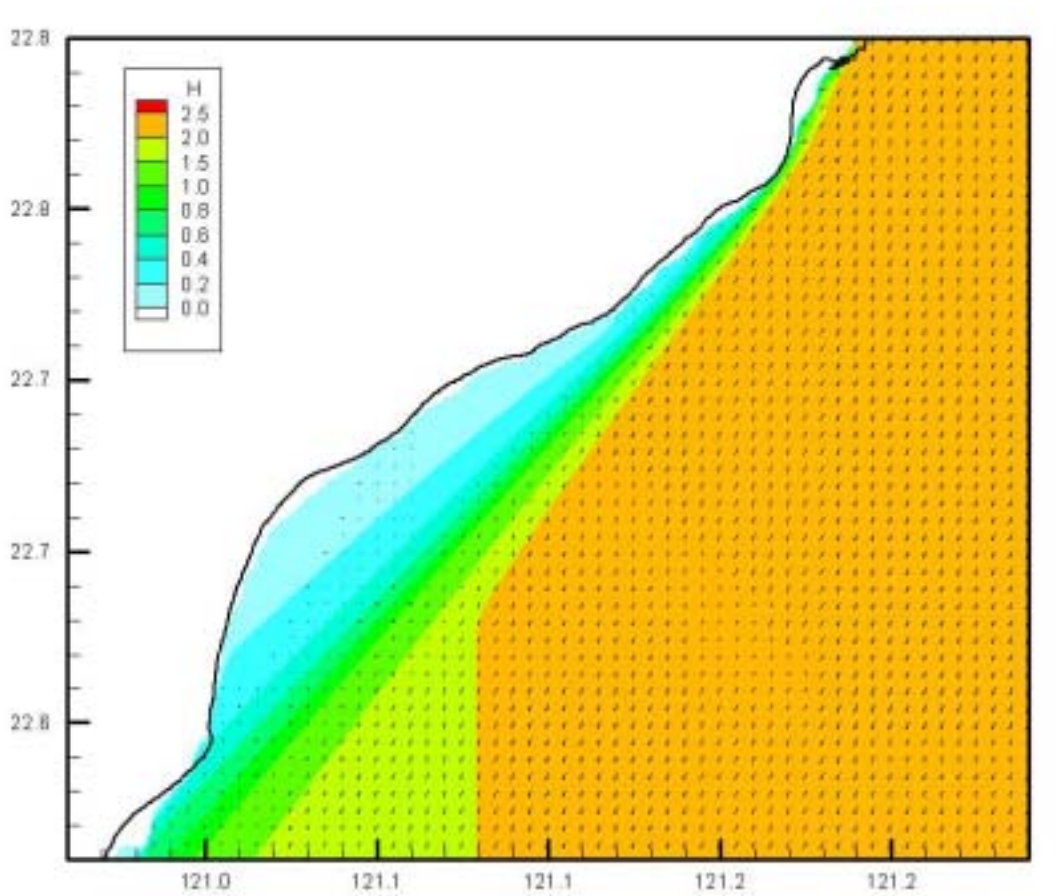


圖 3.2-39 近岸區域波浪模式模擬區域 M 之波高及波向分佈

3.3 定點類神經網路模式波浪預報系統

本計劃之類神經網路波浪預報系統包含颱風所產生的波浪，及季節風之風浪，皆以模糊理論輔以類神經網路，以建構其預報系統。本計劃於 2004 年度已建構完成颱風波浪推算模式，今年度(2005)除加強模式推算的精確度外，進一步加入季節風浪之推算。

3.3.1 類神經網路颱風波浪預報系統

臺灣處於颱風發生及主要行進的區域，颱風的豪雨、強風及其引起的巨浪對漁撈、航運交通造成損害，甚至傷及人員，颱風所引起的巨浪亦為破壞港灣的重要因素。颱風發生過程及其運動，一般的數值模式難以精確地描述颱風波浪，但隨著模糊理論以及類神經網路理論的新科技發展，在分析非線性關係的方法上有相當大的改善後，模糊理論及類神經網路的技術也被普遍的應用至各種工程領域。

對於描述非線性系統較常使用的方法包括類神經網路（NN）、模糊理論 Fuzzy system (FS) 及遺傳演算法 genetic algorithms (GA)，或依使用目的將三者相互的混和使用，其中又以類神經網路與 模糊理論在目前海洋工程與大氣科學的應用最為廣泛。Hajime (1995) 利用類神經網路的辨識及分類的能力，以經驗公式提供訓練類神經網路的資料，判定危險與穩定安全，來檢定對海堤的穩定度。Deo(1999) 以多個區域的波浪資料，利用區域間相互的關係，以類神經網路建構出一個固定區域波浪預報模式。Lee 和 Liu (1999) 利用衛星影像數位化，藉由類神經網路的辨識能力辨識熱帶低壓、氣旋及颱風並進行分類以作為預報颱風的參考。Johnson 和 Lin (1996) 利用倒傳遞類神經網路學習並且推測颱風運動路徑，並且與 ARIMA 作一比較，由比較的結果發現倒傳遞類神經網路有較好的推算結果。Hiraoka 等人(1999)模式中利用兩個模糊規則的運算，模糊規則中包括了颱風位置、颱風行進方向等交互作用規則，期望能對颱風的行進位置進行推測，達到預警的目的。

3.3.1-1 類神經網路颱風波浪預報模式

對特定臺灣區域目前發展的類神經網路預報模式系統，針對颱風波浪的推算歷年的研究包括

(1) 臺灣東部波浪預警系統之應用研究—港外波浪動態特性 (2000)

颱風波浪推算模式採用類神經網路，將學習颱風資料在類神經網路結構的輸入、隱藏、輸出分別建立了串聯及並聯類神經架構的兩個推算模式，並同時考慮 1 個小時波浪延時的效應。由結果發現此兩種模式除了可提高波浪推算的能力，對於相似路徑及規模相仿的颱風具有較高推算的能力，但對於未學習過的颱風，推算的颱風波浪還有較大的誤差。

(2) 臺灣地區波浪預警系統之應用研究 (2001)

颱風波浪推算模式利用模糊網路建立颱風波浪資料與颱風運動的模糊邏輯關係，將颱風運動型態進行分類，再配合 6 個小時的延時輸入的類神經網路組成一個完整模組化的學習模式，利用波浪及颱風資

料來增加模式的記憶及判斷能力。此計畫提出模組化的學習模式，可以隨時加入不同型態的颱風或波浪資料當作資料庫，而能提供推算模式運算的參考，增加推算不同型態颱風之颱風波浪的能力。

(3) 臺灣港灣地區颱風波浪推算之應用研究（2002）

颱風波浪推算模式主要結構是混和 (Hybrid) 模糊理論及類神經網路，推算模式的重點為滿足各個港口的地理環境特性及相對臺灣地形的氣象關係，另一個重點是對颱風的機制或特性建立與各個測站間的關係，以提高模式應用的範圍及推算的準確性。

(4) 臺灣港灣地區颱風波浪推算之應用研究（二）(2003)

颱風波浪推算模式結構混和模糊理論及類神經網路外，並對推算模式各個港口的地理環境特性及相對臺灣地形的氣象關係進行修正，此外對颱風風場作用的機制或特性，修正、建立與各個測站間的關係，以提高模式應用的範圍及推算的準確性。

由相關文獻的研究結果，建構類神經網路預報模式系統的結構如圖 3.3-1 所示，波浪預報模式主要由三個部分主成，首先是風浪的推算模式，將以風場分佈為主要參考實測資料而建構，湧浪推算模式的建構，將以大氣氣象資料及波浪實測數據為主要參考資料，最後藉由類神經網路將風浪及湧浪模式計算的結果整合，推算出觀測站的波浪資料。

對於推算結果準確度提升方式將分為兩個方向，一是將颱風風場模式與陸地間互動關係進行分析，修正影響風場變化的方式，另一個方向為多方收集颱風波浪資料，藉由學習的過程改善類神經網路的推算精確度。

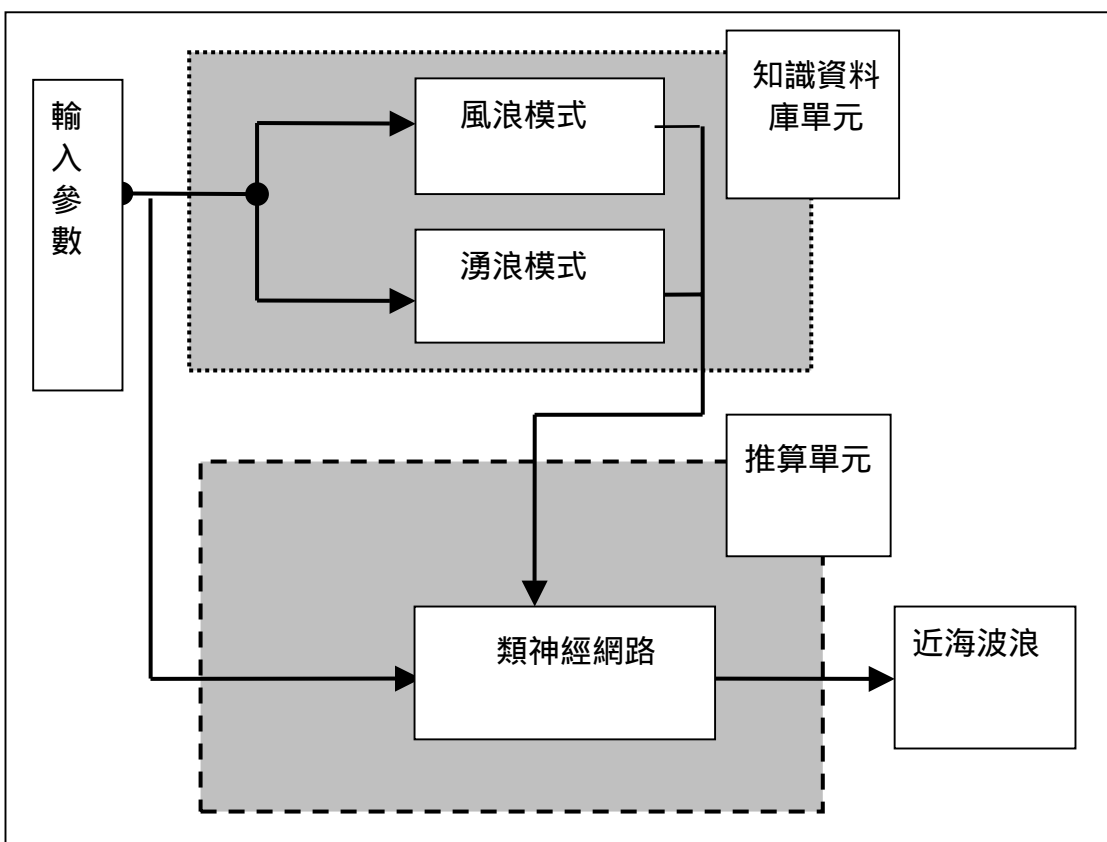


圖 3.3-1 類神經網路預報模式系統架構

為了提高波浪推算模式推算的穩定性，並且增加模式應用的範圍，模式建構的主要架構延續採用本計畫『規劃海象觀測網、暴潮數值最佳網格化系統』(2003) 第一年期的類神經模式架構外並將此波浪推算模式的架構作為修正模式建立的核心，由已知的研究成果對波浪推算模式的架構進行修正，另加入了 12 個虛擬的颱風海面上 10 公尺風速觀測點，藉以對觀測站海域風場分佈及變化有更周全的描述與反映，並將此模式的架構發展成為模組化，藉以應用在颱風波浪、水位的推測甚至模式的資料同化。12 個虛擬觀測站位置如圖 3.3-2 所示。

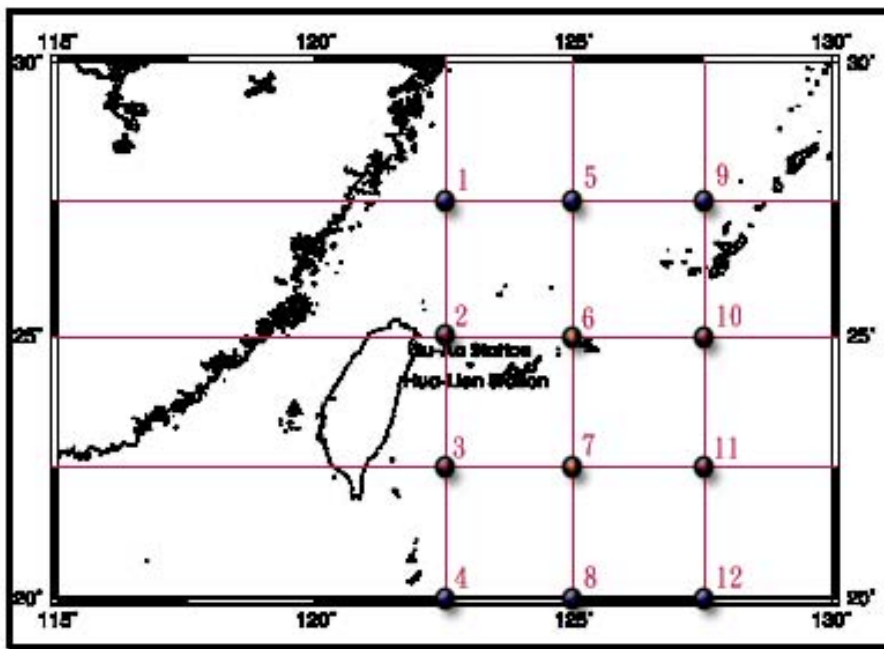


圖 3.3-2 12 個虛擬觀測站位置

由 Holland (1980) 等文獻的討論分析了解風速 V_{10} 是提供及影響颱風波浪能量主要的因素，而颱風的路徑及行為是影響颱風波浪變化的另一個因素，在固定位置上同樣的颱風規模及運動方向不同的路徑也將有不同發展的颱風波浪。隨著波浪接近海岸時在複雜地形及海流的交互作用下，更增加了計算在近岸颱風波浪的困難度，為了簡化能量方程式的架構，對於固定區域 t_j 時刻颱風波浪推算總和能量 S 的能量交換在行為、規模相似的颱風條件下，可以表示為過去颱風資料 $V_{10}, r, \theta, \theta_1$ 的函數線性組合

$$S(t_j) = \sum_{i=0}^j a_i f_1(V_{10}, r, \theta, \theta_1; t_i) \quad (3.3-1)$$

式(3.3-1)中 a_i 為係數， f_1 為函數， t_j 為時間。根據以上的能量平衝觀念， t_j 小時的颱風波浪為內能量 S 的函數

$$H_{1/3}(t_j) = \sum_{i=0}^j b_i f_2[S(t_i)] \quad (3.3-2)$$

結合式(3.3-1)及式(3.3-2)可表示颱風波浪之示性波高為不同時間
 $V_{10}, r, \theta, \theta_1$ 的函數

$$H_{1/3}(t_j) = \sum_{i=j-m}^j c_i f(V_{10}, r, \theta, \theta_1; t_i) \quad (3.3-3)$$

式(3.3-3)中 m 表示颱風開始影響颱風波浪的時間，即 t_j 時刻的颱風波浪只受過去 m 小時內的颱風行為影響， m 即為計算颱風波浪資料的延時時間。配合 12 個虛擬風速觀測站，式(3.3-3)可以寫成式(3.3-4)。本文將針對式(3.3-4)的架構建立類神經網路模式，利用收集的颱風氣象與波浪資料進行類神經網路模式的測試與驗證，並以式(3.3-4)的架構建立類神經網路模式。

$$H_{1/3}(t_j) = \sum_{i=j-m}^j c_i f(V_{10}, V_{(1)10}, \dots, V_{(12)10}, r, \theta, \theta_1; t_i) \quad (3.3-4)$$

類神經網路模式採用到傳遞量神經網路架構，關於到傳遞神經網路的理論與演算在文獻中有詳細的說明與推導，具有一個隱藏層的倒傳遞類神經網路通常表示為：

$$O_{P \times 1} = f(W_{S \times R} I_{R \times 1} + b_{S \times 1}) \quad (3.3-5)$$

其中 $O_{P \times 1}$ 為神經網路具有 P 個向量的輸出矩陣， f 為轉移函數， $I_{R \times 1}$ 為具有 R 個向量的輸入矩陣， $W_{S \times R}$ 為具有 S 個神經元的神經網路權重矩陣， $b_{S \times 1}$ 為網路偏權值矩陣，而式(3.3-5)簡單的表示方法為”S-P”，所以具有 1 個輸入項，2 個隱藏層神經元的個數分別為 10、20，一個輸出單元時，簡單的表示法為 1-10-20-1。

式(3.3-1)及式(3.3-3)中的 V_{max} 、 V_f 、 V_{10} 、 $V_{(1)10}$ 、 \dots 、 $V_{(12)10}$ 、 r 具有連續的特性， θ 為颱風中心與波浪推算位置的方位角，在颱風行進的路徑可能發生角度不連續的現象，因此類神經網路採用兩個隱藏層的架構解決不連續的問題，若將颱風示性波浪與週期合併考量於推算模

式時，因此類神經網路模式可以表示為

$$O_1 = f_1(W_{S2 \times S1} \cdot f_1(W_{S1 \times (R^*n)} [I_{1R \times 1}]_{n \times 1} + b_{S1 \times 1}) + b_{S2 \times 1}) \quad (3.3-6)$$

模式的輸出 $O_1 = \begin{bmatrix} H_{1/3} \\ T_{1/3} \end{bmatrix}$ ，輸入函數， $I_1 = [V_{10}, V_{(1)10}, \dots, V_{(12)10}, r, \theta, \theta_1]^T$ ，輸入資料延時 n。

3.3.1-2 2005 颱風波浪之推算

本計劃於今年度選取海棠(HAITANG)、馬莎(MATSA)、珊瑚(SANVU)與泰利(TALIM)共四個颱風。其中海棠與泰利為強烈颱風，馬莎為中度颱風，珊瑚則為輕度颱風。並以此作為類神經模式之推算對象，推算地點仍以花蓮與蘇澳為主，收集港研中心(IHMT)與氣象局(CWB)之實測資料進行模式比較分析。海棠颱風生成於東經 152.7 度，北緯 22.9 度，其七級暴風半徑約為 280 公里，接觸宜蘭東澳陸地時，臺北附近有 13 級強風發生。海棠颱風接近臺灣時，於花蓮外海打轉一圈後再進行登陸。受到地形影響，底層環流向南，高層環流向西，導致高低層環流風向不一致，相互拉扯，由於海棠本身的強度夠，高低層牽制，位於低層的颱風中心，出現了打轉的現象。繞完一圈之後，上下層環流的風向再度趨於一致，因此也就恢復為原有的路徑，登陸臺灣。馬莎颱風生成於東經 135.5 度，北緯 10.4 度，其路徑由北臺灣海域通過，而珊瑚颱風生成於東經 129.6 度，北緯 14.5 度，其路徑由巴士海峽海域通過。

而泰利颱風生成於東經 142.7 度，北緯 12.8 度，其七級暴風半徑約為 250 公里，接觸花蓮陸地時有 15 級強風發生，且其高低層結構開始出現分離狀況，因而減弱為中度颱風；低層環流中心從宜蘭與花蓮間進入陸地以後，已經減弱消失，由臺中西方外海逐漸醞釀出的副低壓中心取代，朝西北擺盪移動。兩者皆由臺灣東部登陸再穿過中央山脈，由中部地區出海並至福建沿海地區，颱風路徑圖示如圖 3.3-3。其颱風中心皆因中央山脈的影響，有颱風中心的分離及變化的現象，由此造成颱風風場的改變，進而陸地及沿海地區造成較大影響與災害，

特別是沿海地區的風浪的變化使堤防遭到破壞。

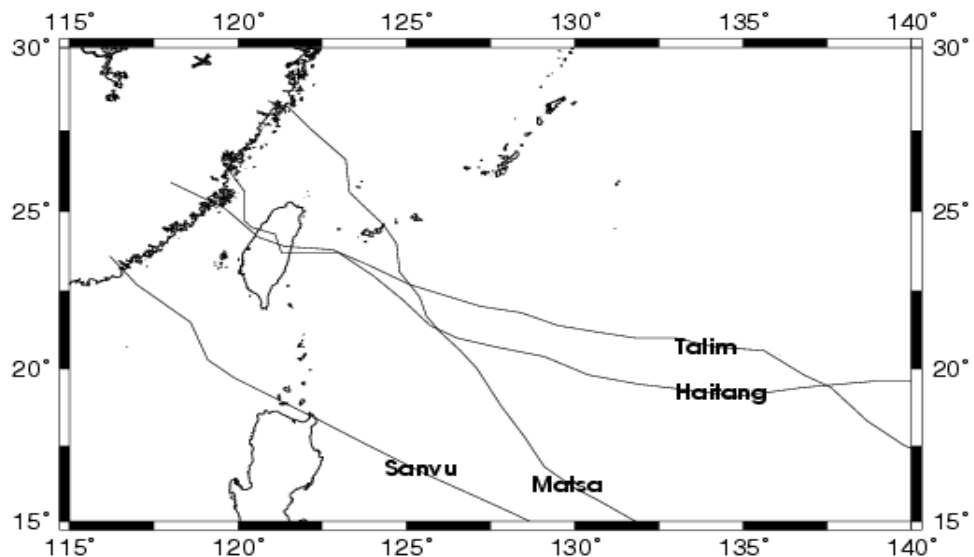


圖 3.3-3 颱風路徑圖

針對 2005 年生成的颱風進行模式推算分析，並以類神經網路波浪推算模式將針對花蓮及蘇澳觀測站附近海域進行模擬。其推算結果示如圖 3.3-4 至 3.3-11。其中圖 3.3-4 為花蓮測站的推算結果與實測值之比較，由圖中可看出港研中心實測資料之最大示性波高為 7.11 公尺，其中資料間斷 31 小時後再有波浪紀錄，氣象局實測資料之最大示性波高為 9.47 公尺。而模式推算最大示性波高則為 7.32 公尺，與港研中心資料最大值發生時間早 12 小時，與氣象局資料則早 4 個小時。而蘇澳測站之推算結果示如圖 3.3-5。由圖中可知港研中心實測資料最大示性波高約為 8.54 公尺，而氣象局資料則為 9.25 公尺。模式推算波浪最大值約為 6.63 公尺，兩個單位的實測資料只記錄到 7 月 18 日，往後即無資料紀錄。最大值發生時間間隔，模式晚於港研中心資料約 8 小時，晚於氣象局資料則約 9 小時。由於颱風於宜蘭地區登陸，因此由實測資料可知蘇澳之颱風波浪大於花蓮之觀測值，此後由於實測資料遺缺的影響，無法得知該段時間內的颱風波浪的變化情形，但是由於海棠颱風打轉及其停留的時間等現象，使得模式推算結果於蘇澳地區，風

浪出現有兩個峰值之結果，與颱風動態現象略有符合。

圖 3.3-6 至 3.3-7 為花蓮及蘇澳測站之馬莎颱風波浪推算，與實測波浪分析圖。其中圖 3.3-6 模式之最大波高為 4.40 公尺，氣象局實測最大波高則為 3.32 公尺，模式發生最大波高時間早於實測資料約 9 小時，整體推算結果與實測資料之相關係數約為 0.81。圖 3.3-7 由觀測值資料顯示有兩個峰值，模式之最大波高為 4.50 公尺，氣象局實測最大波高則為 4.58 公尺，模式發生最大波高時間晚於實測資料約 9 小時；另一峰值模式之性波高為 4.15 公尺，實測資料則為 4.23 公尺，兩者發生的時間為同時。推算時間序列與實測資料之相關係數約為 0.82。

圖 3.3-8 至 3.3-9 為花蓮及蘇澳測站之珊瑚颱風波浪推算，與實測波浪分析圖。其中圖 3.3-8 模式之最大波高為 3.79 公尺，氣象局實測最大波高則為 2.87 公尺，模式發生最大波高時間早於實測資料約 11 小時，整體推算結果與實測資料之相關係數約為 0.85。圖 3.3-9 模式之最大波高為 3.73 公尺，氣象局實測最大波高則為 3.94 公尺，模式發生最大波高時間早於實測資料約 3 小時，時間序列與實測資料之相關係數約為 0.85。

另外本模式亦推算泰利颱風於花蓮與蘇澳之結果，示如圖 3.3-10 至 3.3-11，由圖 3.3-10 中可知港研中心觀測波浪最大值為 7.62 公尺，氣象局資料則為 4.96。模式推算則為 4.47 公尺。由模式及實測結果可知，最大值發生時間，模式約晚港研中心資料 4 個小時，於氣象局資料約晚 6 個小時，氣象局資料於花蓮之波浪只紀錄至 8 月 31 日。由圖 3.3-11 可知，模式推算最大波高為 6.56 公尺，氣象局觀測最大波高則為 7.75，模式約晚氣象局資料 12 個小時。及蘇澳，由於泰利颱風亦產生兩個颱風中心，於分離過程中類神經模式之颱風波浪無法完整描述其過程，導致峰值之推算誤差較大之故。

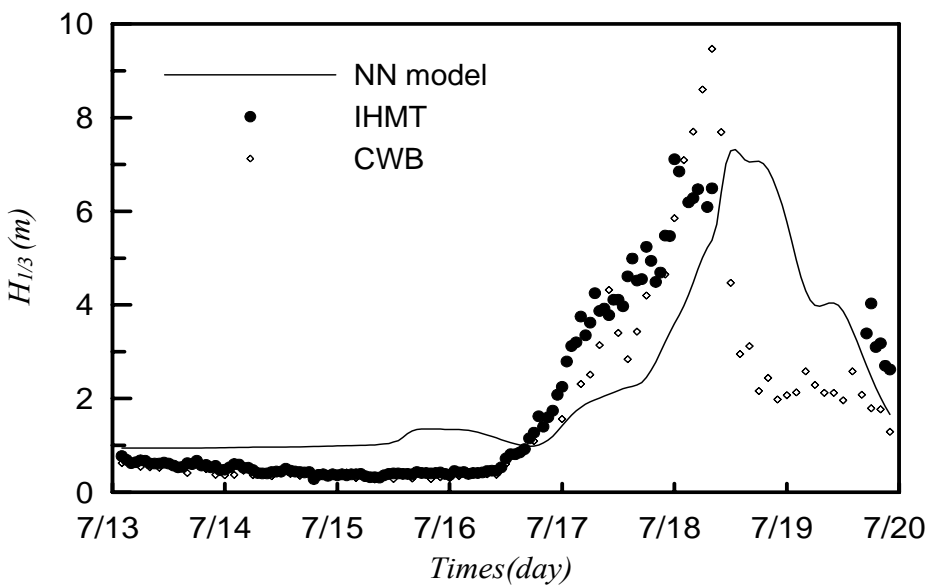


圖 3.3-4 花蓮測站海棠颱風神經網路模式推算與實測值比較

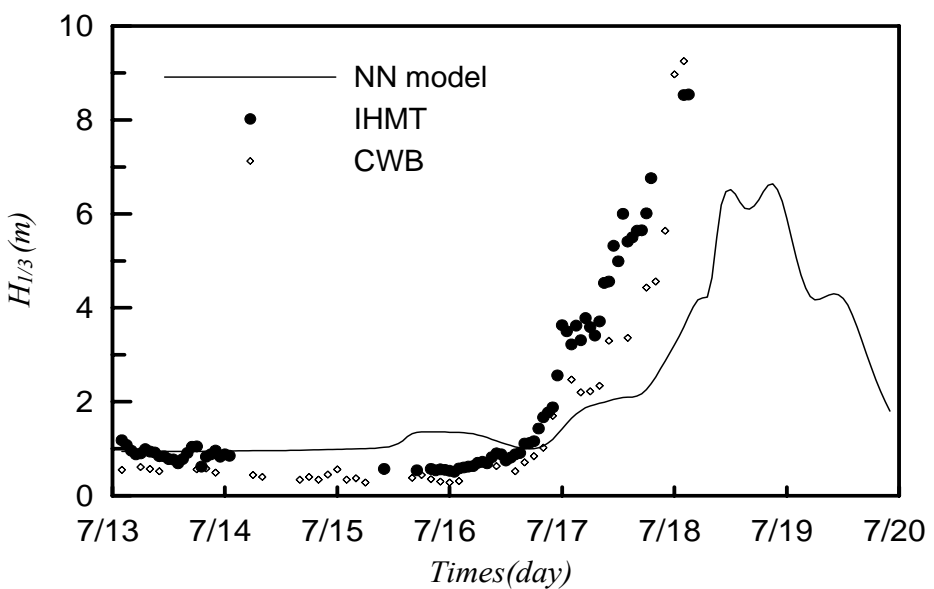


圖 3.3-5 蘇澳測站海棠颱風神經網路模式推算與實測值比較

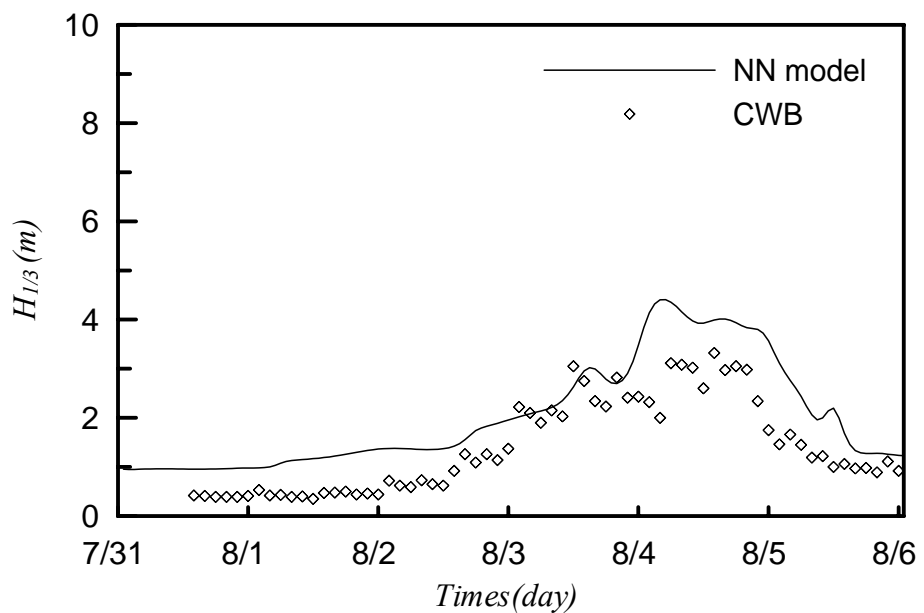


圖 3.3-6 花蓮測站馬莎颱風神經網路模式推算與實測值比較

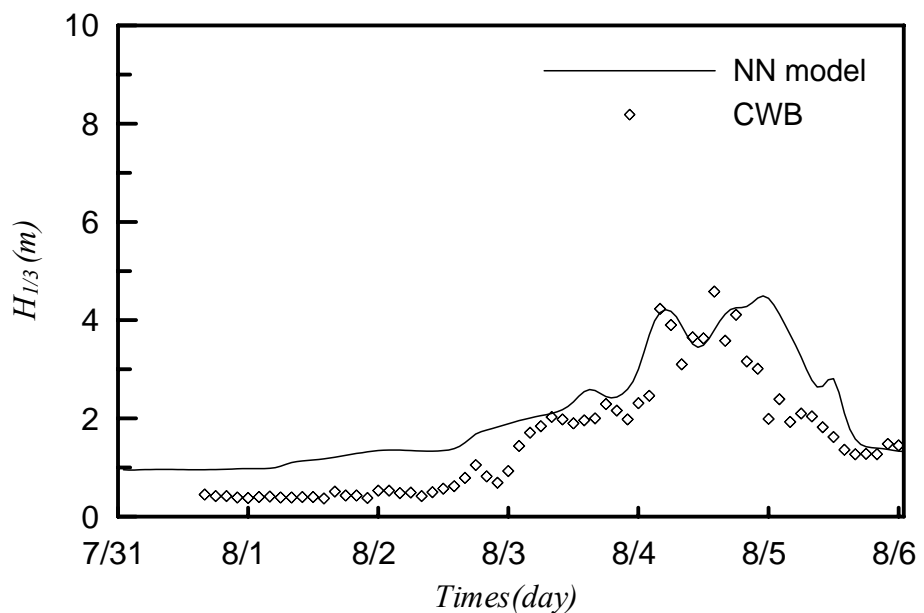


圖 3.3-7 蘇澳測站馬莎颱風神經網路模式推算與實測值比較

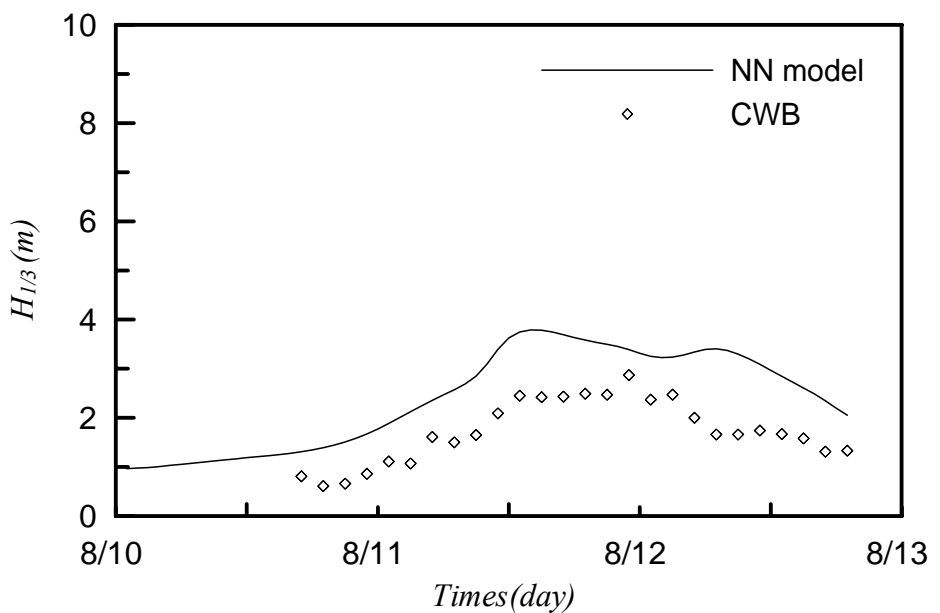


圖 3.3-8 花蓮測站珊瑚颱風神經網路模式推算與實測值比較

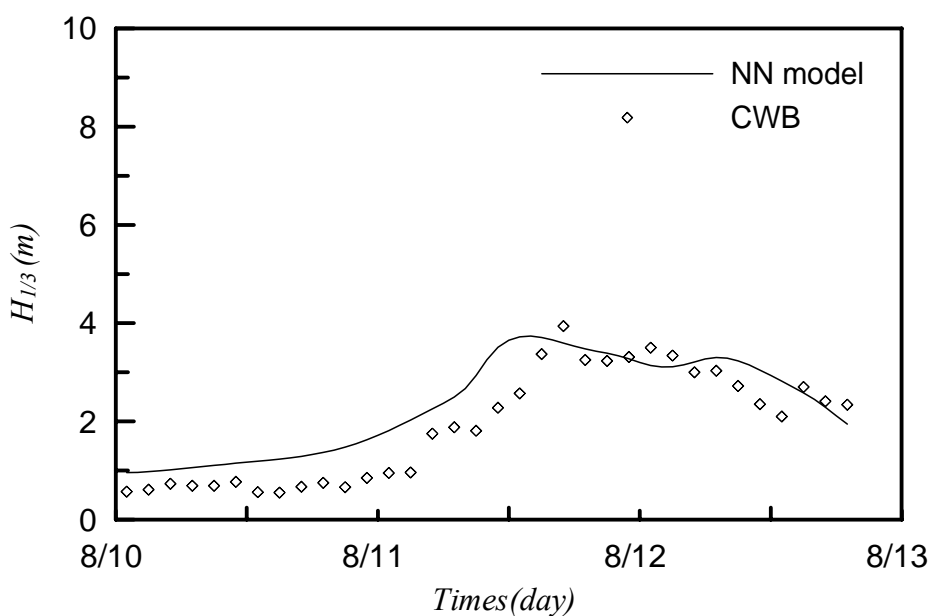


圖 3.3-9 蘇澳測站珊瑚颱風神經網路模式推算與實測值比較

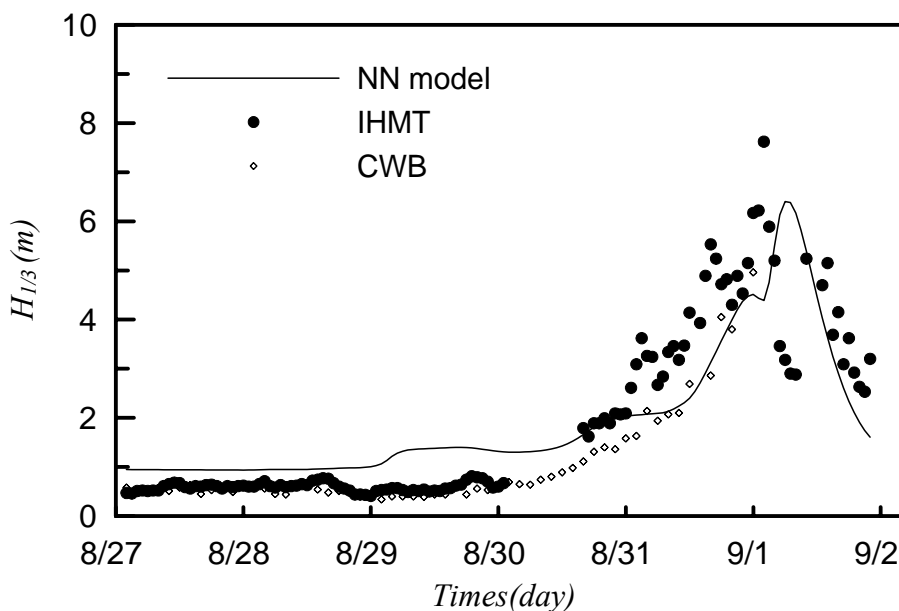


圖 3.3-10 花蓮測站泰利颱風神經網路模式推算與實測值比較

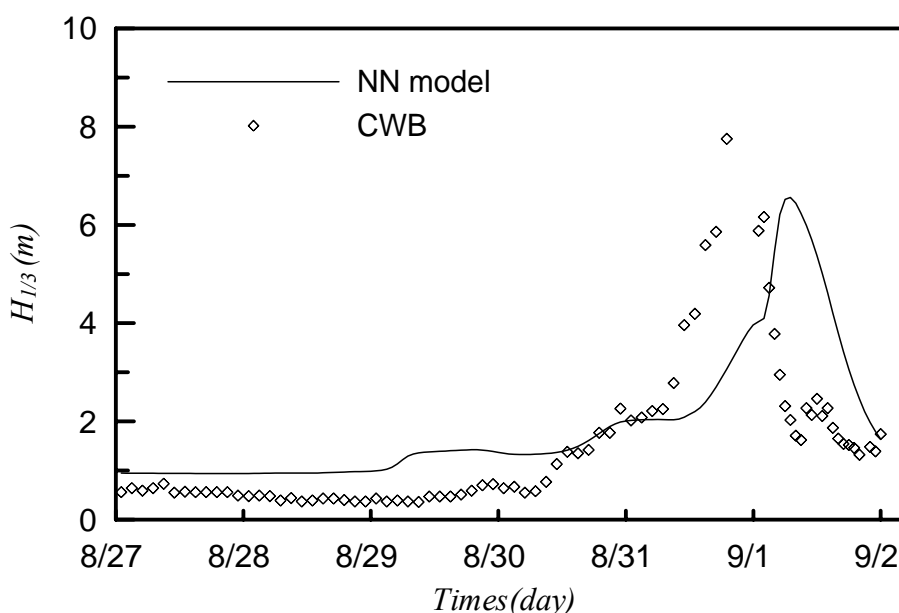


圖 3.3-11 蘇澳測站泰利颱風神經網路模式推算與實測值比較

3.3.2 類神經網路季風波浪預報系統

海島的臺灣，其位置正處於歐亞大陸與太平洋之交會地帶，因為陸地對熱的反應遠比海洋大，在冬季時，北半球吸收太陽熱量較少，陸地散熱較快，因此其氣溫下降較海洋多，尤其是高緯度且廣大的西

伯利亞地區，終年為冰雪覆蓋，降溫更劇烈，降溫後的空氣密度增大，形成龐大的高氣壓，產生順時針旋轉向外的氣流，形成東北季風，其範圍伸展至亞洲南方。於夏季時，因為亞洲內陸接受太陽熱量後，陸地因此較海洋熱，其溫度迅速增高，形成一廣大的低壓區，使得印度洋之空氣吹向陸地，形成西南季風。因此臺灣常會有季節風之變化進而影響海面波浪，特別是冬季時東北季風的強風，每當有強大的極地大陸氣團南下時，常使海上風力快速增強，強烈陣風可達 10 級以上，其風力並不亞於颱風，這些頻繁的災害性天氣現象，對於在海上作業的漁民造成極大的危險，而造成生命財產之重大損失，因此須研究季節風與其所造成波浪之特性以減少災害。此外在研究海岸工程、海洋環保及海洋資源開發等課題時，首先必須對當地之波浪有相當程度地了解。

往昔對於風浪的預測，已有相當多的研究，鑑於風與波高的不確定性，預測的成果也相當有限。國內多位學者(侯和劉，1982)也曾以統計分析之方法，收集往昔之風速及相對應時間波浪，建立兩者之線性關係，利用迴歸公式，便可簡單的推算波浪，但是這些統計模式皆具有地域性，且風速較小時，波高可能會產生負值等不合理的現象。

然而既有的物理方法及統計模式雖然廣為使用，但其仍有模式難以架構、需要較多的資料、及參數不易求取等缺點。而類神經模糊系統卻具有學習演算及非線性最佳化之優點，且容易適應新的資料，即使輸出與輸入參數之間的關係是相當複雜的，仍然比一般傳統之統計迴歸方法較佳。故本文利用類神經模糊系統，來建立季節風與波浪的關係以進行波高的推算，達到長期預報的能力。

有關風浪成長起源自十九世紀初，Jeffreys(1924, 1925) 提出遮蔽學說(Jeffreys sheltering hypothesis)，假設海面之氣流通過波浪表面，在波峰處形成向風與背風面之壓力差，因而促成波浪成長。Phillips (1957) 則提出共鳴機制(resonance mechanism)的學說，說明風吹海面時，由於風的紊流(turbulent flow)特性，所以海面受不均勻之壓力，致使水面形成波動，而壓力與波動都可以藉由不同頻率的成份來描述，當兩者中

同一頻率的成份開始發生共振時，該頻率的波動成份隨時間呈線性成長，但因其假設壓力結構不受所生水面波動影響，而實際上波浪產生後必定改變波浪表面之壓力場，所以無法進一步描述波浪產生後的成長現象。Miles (1957) 提出剪力流理論(shear flow hypothesis)，假設海面上之平均風速依對數形式分佈，當水面引入小振幅波動時，原平行氣流受擾動，隨之產生波動速度及相對的雷諾應力，透過雷諾應力的向下傳遞，風會損失能量與動量，最後由與波面斜度同位相的壓力分量將能量傳輸至波動，使波浪隨時間成指數成長。隨後 Miles (1960) 將剪力流理論與 Phillips 共鳴機制結合，以描述波浪初期線性成長及後來主要的指數成長，此聯合模型則為現今成長的主要理論。

波浪推算模式始於二次大戰後期，模式一般可分為示性波法(significant wave method)及波譜法(wave spectrum method)，前者是將變動之海洋波浪以示性波來描述，將波浪大小與風速、吹風歷時、吹送距離等參數關係。至於波譜法(wave spectrum method)則是應用波浪能量平衡方程式為其控制方程式，並配合波浪傳遞後各種物理過程來加以推算。示性波法有較早的 SMB(Sverdrup and Munk, 1947；Bretschneider, 1952)方法，是將波浪大小與風速、吹送距離，坐定量關係分析，此方法導入統計代表量的示性波概念來描述隨機海面波浪，理論架構包括風浪發生、發達、傳遞及減衰等連串現象的系統推導，最後建立示性波波高及週期與風速吹風速離、延時等公式。若主風向及主波向不是一致時，假設其夾角為 θ ，風速則修正為 $\bar{U} \cos \theta$ ，此種推算方法稱為 Donelan-JONSWAP 推算法。

模糊理論與類神經網路的應用在海洋工程方面，國內外近年來也有許多。Deo et al. (2002) 應用類神經網路建立易取得之波浪參數與分佈參數(spreading parameter)間的關係，來分析波浪傳遞之波向。Deo et al. (2003) 利用類神經網路以深水波高、深水週期及底床斜率等參數，預測深水波淺化後碎波波高及碎波水深。期間，類神經網路運用在風浪推測模式上的研究有，Deo et al. (2001) 以類神經網路建構一簡單風浪預報模式，直接採用風速資料去推求波高與週期，由其預測結果的

相關係數 (Correlation Coefficient) 發現似未能獲得令人滿意的結果。在波浪推算方面，Deo et al. (1999) 曾以類神經網路作波浪的即時預報，結果顯示類神經網路在波浪的預報上比 AR 統計模式有較良好的表現。上述關於類神經網路在波浪推算應用方面，都是基於波浪具有時序列的特性，因此利用類神經網路預測時序列可得不錯之結果。Johnson 和 Lin (1996) 利用倒傳遞類神經網路學習並且推測颱風運動路徑，並且與 ARIMA 做一比較，由比較的結果發現倒傳遞類神經網路有較好的推算結果。Hiraoka 等人(1999)利用兩個模糊規則對颱風的行進位置進行推測，而模糊規則中包括了颱風位置、颱風行進方向等交互作用規則。錢等 (2000, 2001, 2002) 近年來利用類神經網路及模糊理論推算颱風波浪，以三種不同影響參數之模式來模擬颱風波浪。

因此，本研究將採用模糊理論及類神經網路為主要架構，利用模糊理論及類神經網路能處理有時變、非線性關係與不確定事件的優點，藉由分析季節風風場特性，來建立季節風與波浪的關係，達到長期預報的機制。

3.3.2-1 資料收集

本研究所收集之 2001-2002 年季風與示性波高資料是中央氣象局所屬的花蓮資料浮標測站的數據。花蓮的資料浮標位於花蓮七星潭外海 0.5km，水深 30m 處。風速、風向和波高資料均為每兩小時一筆的格式，但其中有部份資料缺失。為了將短時間之不完整資料作部分補遺，本文利用多項式三次內差方式 (Lagrangian formula)，進行資料補遺，風向資料的缺漏是利用前後兩筆所測得的風向平均，使其缺漏之風向資料與其前、後筆的風向，經過補遺風向之後變動不會超過 180° ，而維持在一致的風向。

3.3.2-2 影響季節風示性波浪之風的參數

本研究主要是利用季節風的資料來推估示性波高，因此在進行季節風波浪預報模式之資料分析前，須選定季節風的資料中可能會影響波浪之風的參數。根據 SPM(Shore protection manual, 1978) 風浪成長之

經驗公式，顯示示性波高與風速、風域(Fetch)及延時(Duration)有關，Donelan(1980)提出風向與主波向修正的公式。由此結果說明影響示性波浪風的參數為：

1. 風速(U)

英國海軍上將蒲福(Admiral Sir Francis Beaufort)於 1806 年所訂定的蒲福風級(Beaufort Scale)，在 1838 年採用時蒲福風級僅有十三級，目前已延伸至十八級。每級蒲福風級之對應的風浪之名稱及風速跟可能波高跟最大波高的值。當風速越大，波高則越大，風速與波高有著明顯的關係。

2. 風域(F)

根據 SMB 波浪預報法應用於開放水域中，基於有效有限風域(Effective finite fetch)之概念，SMB 曲線可以由以下公式表示(Saville et al.1962)：

$$\hat{H}_{1/3} = 0.283 \tanh(0.0125 \tilde{F}^{0.42}) \quad (3.3-8)$$

其中無因次化參數 $\hat{H}_{1/3}$ 及 \tilde{F} 定義如下

$$\hat{H}_{1/3} = \frac{gH_{1/3}}{U_w^2} \quad (3.3-9)$$

$$\tilde{F} = \frac{gF}{U_w^2} \quad (3.3-10)$$

式 (3.3-9)、(3.3-10) 中 U_w 為海上 10m 之風速， F 為吹送距離， $H_{1/3}$ 為示性波高。由式(3.3-8)可知示性波高與風域成 \tanh 函數正比之關係。

3. 延時

根據 SPM 之深水波示性波高與延時關係圖，如圖 3.3-12 所示。圖 3.3-7 顯示出當在固定風速下，延時愈久，波高愈大，但不同風速最終均會達到成熟波不再成長之結果。

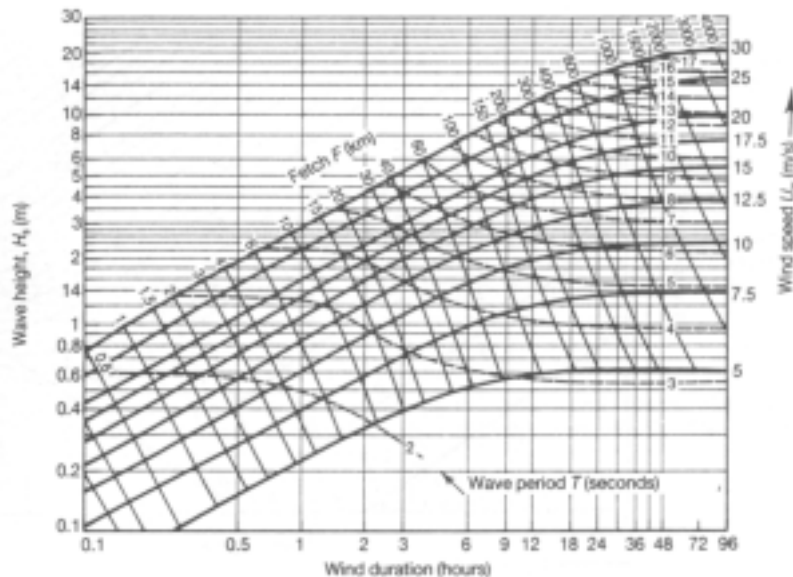


圖 3.3-12 深水波之示性波高與延時關係圖(引自 SPM,1978)

4. 風向(θ)

風向的定義以測站中心指向正北方為起點，順時針指向風吹來方向之夾角，亦指離地約 10 公尺高度水平方向的風向。由於風場分佈是多變且複雜，只要受地形或建築物的阻擋，就會改變方向，因此在寬廣的洋面上和沿海地區的風向亦會不同。此外季節的改變也會使風向出現 180° 的轉變，使得風向變化變的極為複雜，然而所產生的波浪變化情形將會隨風向之角度不同亦有所不同。

對於風域之影響，因花蓮港並無設置許多點的測站，來提供空間上之風速分佈，以評估風域之影響，故本文僅就風速、風向及延時進行後續之分析。

3.3.2-3 氣象及波浪資料特性分析

臺灣東部的港口主要受到冬季東北季風影響，其影響的時期從每年的 10 月開始，一直到隔年的 4 月才會結束，時間長達 7 個月之久。根據港研中心分析花蓮港年平均風力之特性示如圖 3.3-13，由圖 3.3-13 可知其主要風速分布在東北及西南方向。為了瞭解冬季東北季風與夏

季西南季風時期之風浪特性，因此本文將冬季季風定義為每年的 1 月至 4 月以及 10、11 及 12 月等 7 個月份，而夏季季風時期定義為每年的 5 月至 9 月等 5 個月份，將依夏季與冬季時期分別作探討分析。

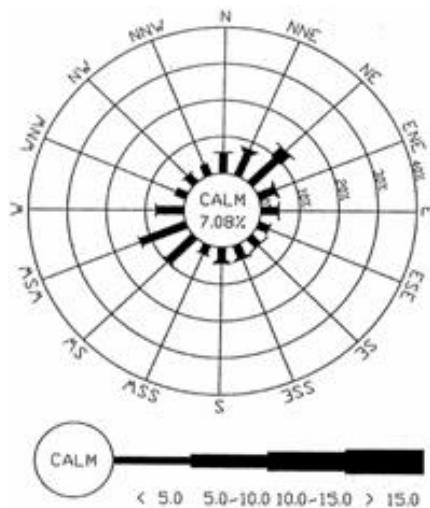


圖 3.3-13 花蓮港年平均風力統計分布(資料來源：港研所，1996)

由前節影響季節風波浪中風速和風向，分別繪製與冬季和夏季季風時期之示性波高的關係圖，如圖 3.3-14 至圖 3.3-21 所示。圖 3.3-14 和圖 3.3-15 為 2001 和 2002 年冬季季風時期風速與示性波高關係，可以看出在冬季時當風速增強的情況下，示性波高也會明顯地較大，圖 3.3-9 中有風速低但卻產生 4~6m 之波高，是由於花蓮浮標受到較弱的離岸風時但卻有較大入射波之緣故。圖 3.3-16 和圖 3.3-17 為 2001 和 2002 年夏季季風時期風速與示性波高關係。比較圖 3.3-14 及圖 3.3-16 或圖 3.3-15 及圖 3.3-17 可見夏季季風風速較冬季季風之風速小，但當風速增大時，示性波高並無明顯增大之趨勢。

圖 3.3-18 和圖 3.3-19 為 2001 年和 2002 年冬季季風時期風向與示性波高之關係，而圖 3.3-20 和圖 3.3-21 為 2001 年和 2002 年夏季季風時期風向與示性波高之關係，由此可以得知風向在冬季與夏季均與示性波高並無明顯關係。

本研究利用相關係數(correlation coefficient)評估其關係性，此數值

介於-1 與 1 之間，當相關係數的絕對值愈大即代表相關程度愈高，而正負號代表兩者是呈現正相關或負相關。表 3.3-1 為 2001-2002 年風速、風向與示性波高之相關係數，表中， θ 表示為風向， $H_{1/3}$ 表示為示性波高， U 為風速，由表 3.3-1 得知季節風影響波浪，風速與示性波高呈現較高的正相關值，顯示風速愈大，示性波高也愈大，而風向與示性波高呈現負相關，且相關係數之絕對值相當低，表示兩者間並沒有很明顯強烈的關係。

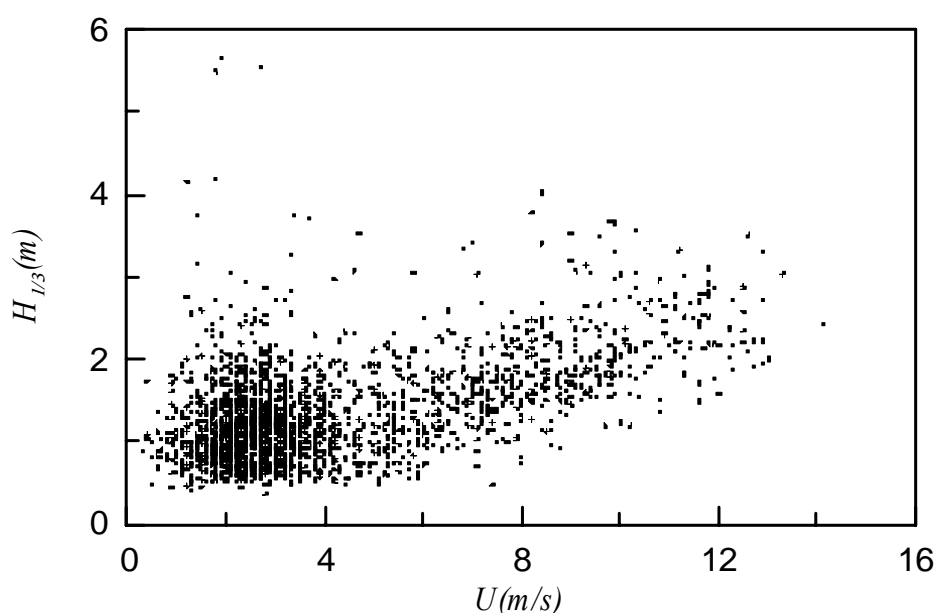


圖 3.3-14 2001 年冬季季風時期風速與示性波高關係

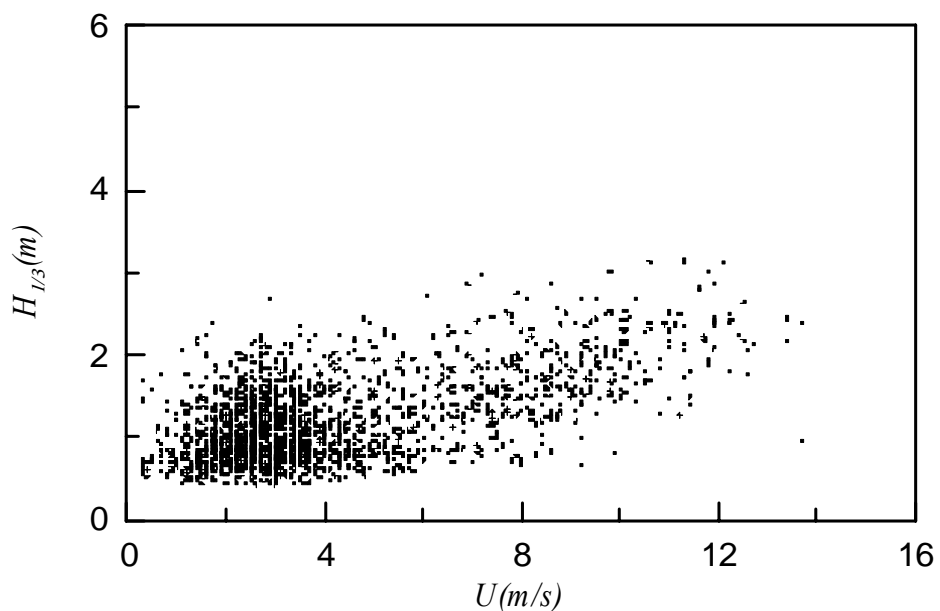


圖 3.3-15 2002 年冬季季風時期風速與示性波高關係

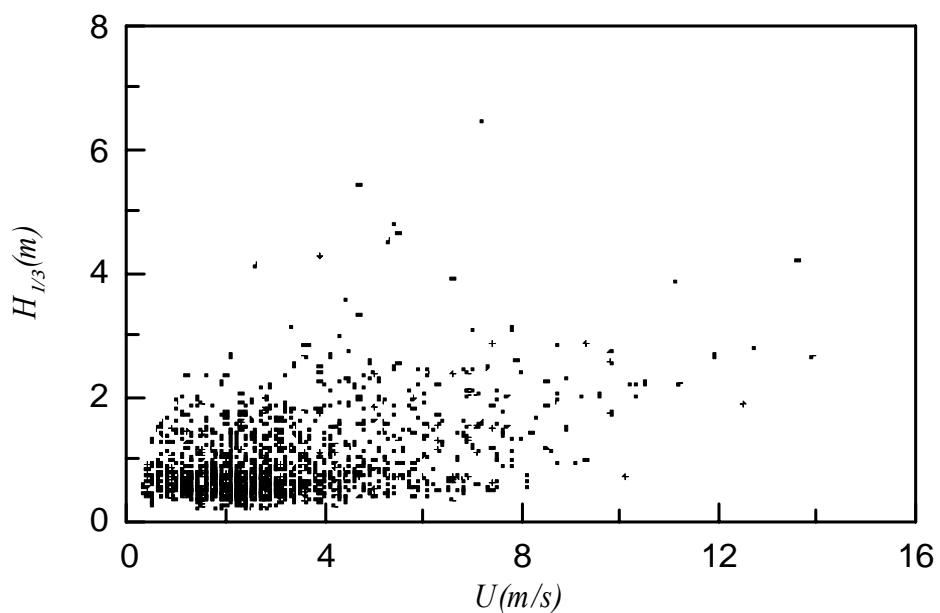


圖 3.3-16 2001 年夏季季風時期風速與示性波高關係

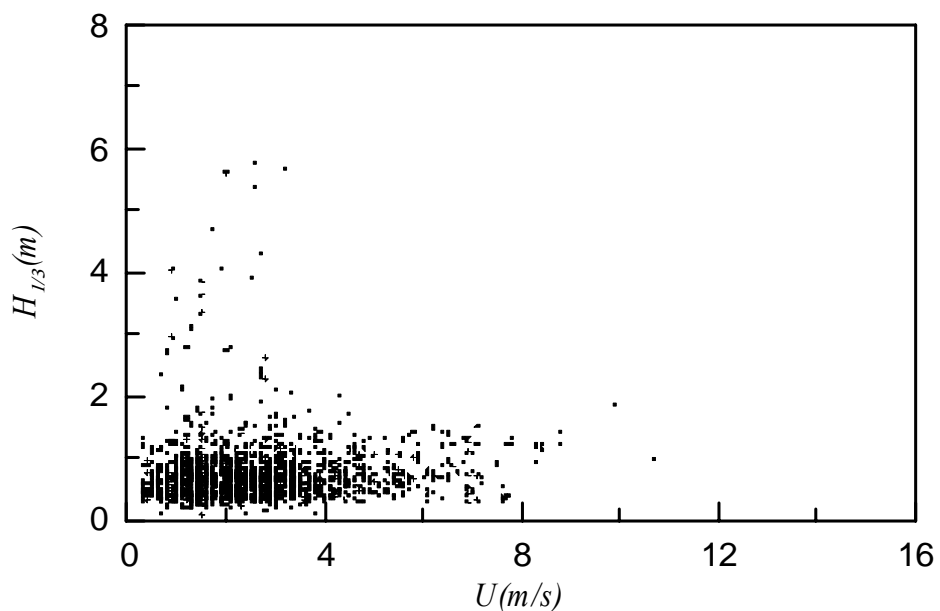


圖 3.3-17 2002 年夏季季風時期風速與示性波高關係

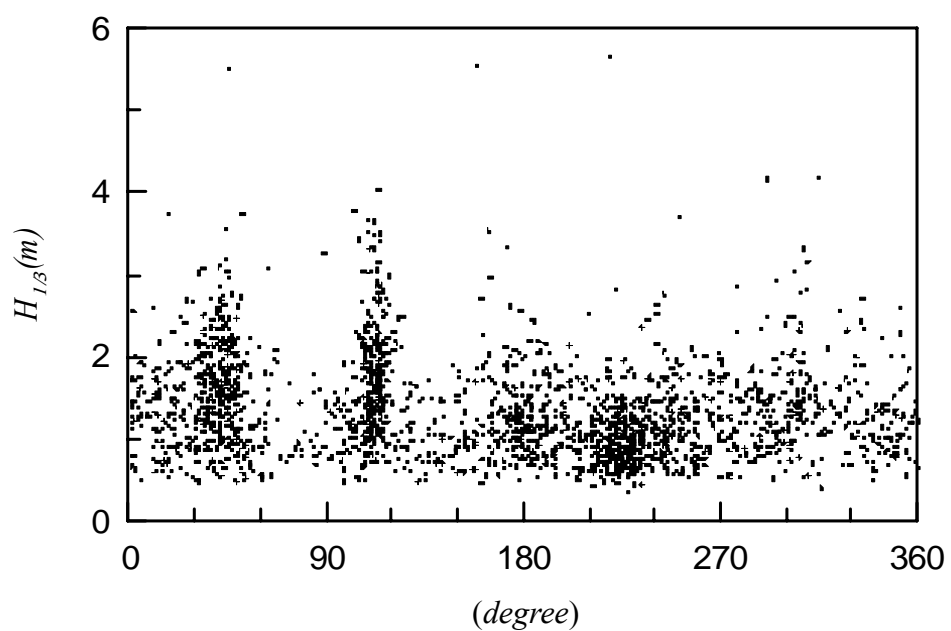


圖 3.3-18 2001 年冬季季風時期風向與示性波高關係

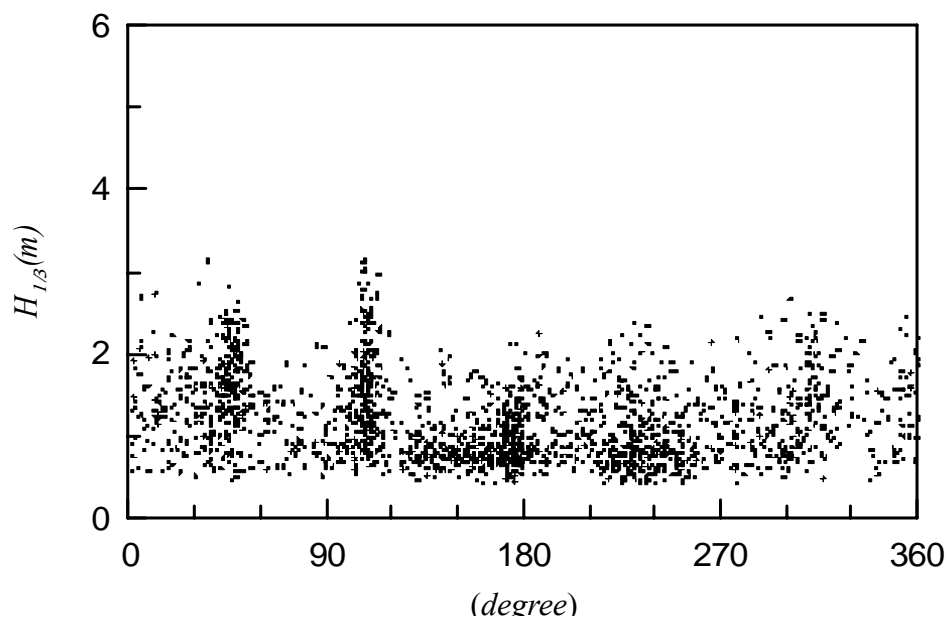


圖 3.3-19 2002 年冬季季風時期風向與示性波高關係

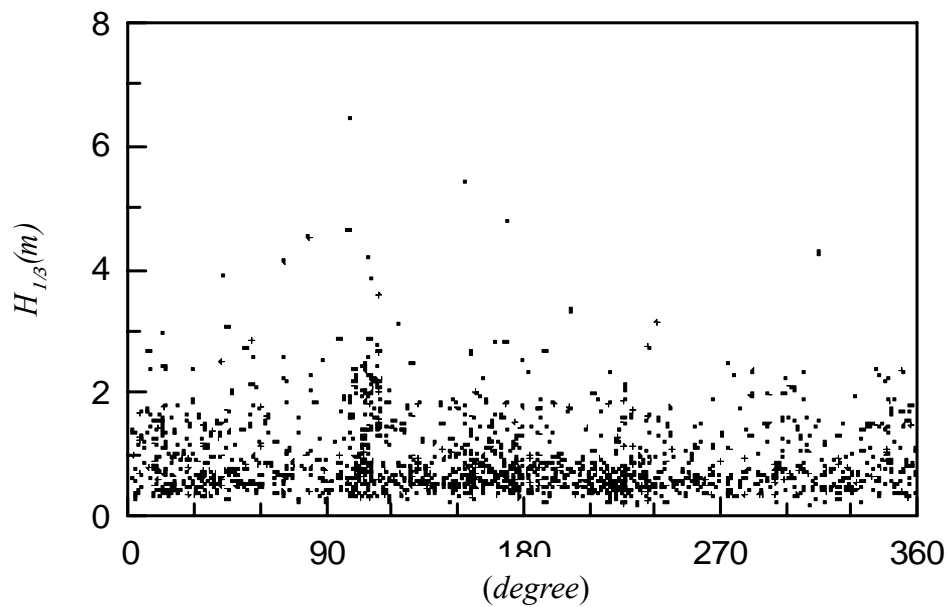


圖 3.3-20 2001 年夏季季風時期風向與示性波高關係

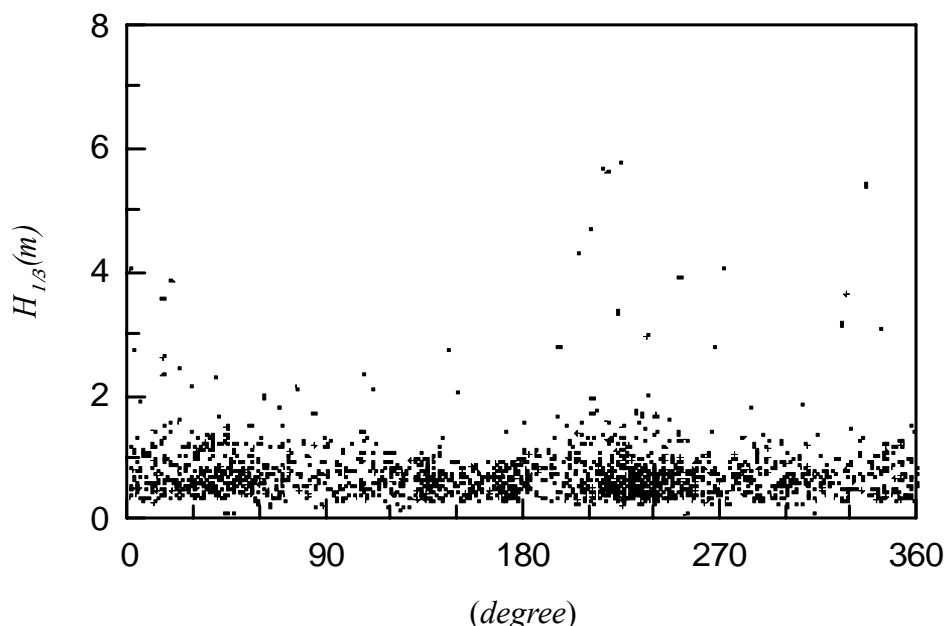


圖 3.3-21 2002 年夏季季風時期風向與示性波高關係

表 3.3-1 2001-2002 年風向、風速與示性波高之相關係數

季風時期		θ	U
2001 年	冬季	-0.21	0.51
	夏季	-0.09	0.42
2002 年	冬季	-0.18	0.57
	夏季	-0.032	0.04

然而利用上述基本的迴歸方式，並沒有得到預測值與實測值良好的關係。在此本研究希望藉由模糊理論與類神經網路能處理有時變、非線性關係與不確定事件的優點，來建立適合的季節風波浪預報模式。

3.3.2-4 模糊類神經網路簡介

在此，本研究介紹種適應性網路架構模糊推論系統，簡稱為 ANFIS 的基本理論。ANFIS 在 IF-THEN 規則與模糊推論中採用的是 Sugeno 模糊模式，如圖 3.3-22 所示，且同一層節點的歸屬函數或轉換函數採

用相似的函數，來建置 ANFIS 模式主體架構。

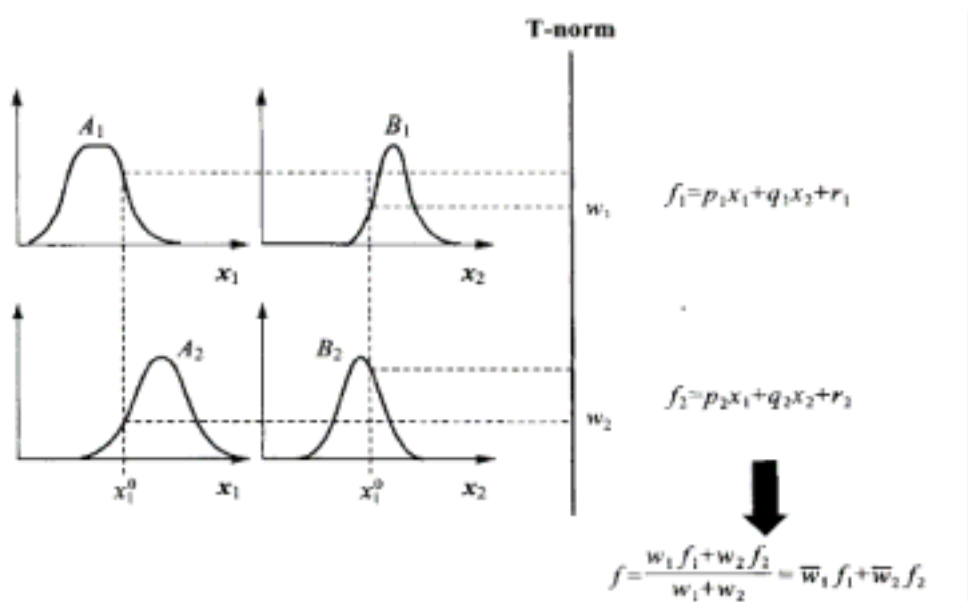


圖 3.3-22 Sugeno 模式示意圖

本研究選擇高斯(Gauss)歸屬函數為歸屬函數示如圖 3.3-23，因為高斯歸屬函數無非連續的轉折點，能以最陡坡降法微分，而可求出各調變參數的調變量。

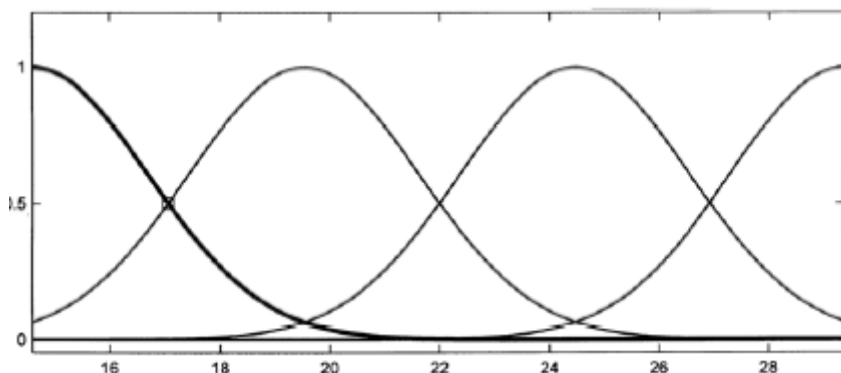


圖 3.3-23 高斯歸屬函數圖

在學習與調整參數方面，則是結合前饋式類神經網路與監督式學習方法，使得模糊推論系統的所有參數可獲得適當的調整，讓模式具有

自我學習與組織能力。若輸入變數有 N 個、輸出變數有 1 個，以及架構有 5 層的模糊推論系統的主要架構如圖 3.3-24 所示。

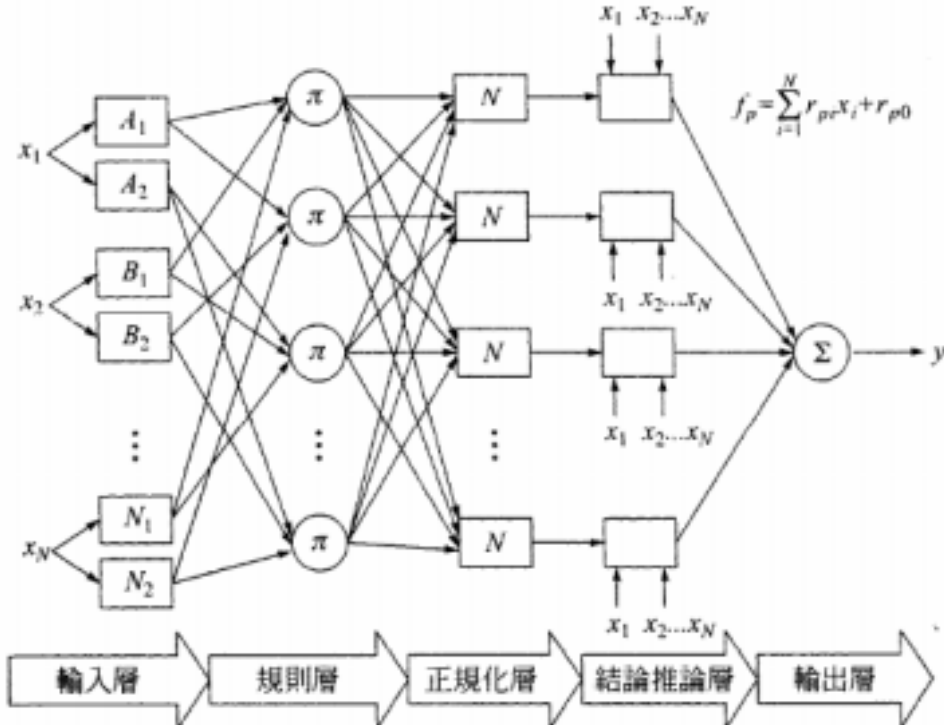


圖 3.3-24 適應性網路架構模糊推論系統架構示意圖

圖 3.3-24 中函數式模糊規則的推論過程，共分五層，其相對應的 ANFIS 的架構分別說明如下。其中相同層的類神經元執行相同的運算，以下本文就每一層的類神經元的功能及運算說明如下：

1. Layer 1 (輸入層)

第一層輸入層是將輸入變數映射到模糊集合中，如圖所示，屬於的模糊集分為和兩個子集合，屬於的模糊集合也分為和、兩個子集合，其映射之歸屬函數若選用鐘型函數，則以式 3.3-11 表示輸入層的轉換公式：

$$\mu_A(x) = \frac{1}{1 + \left| \frac{x - c_i}{a_i} \right|^{2b_i}} \quad (3.4-11)$$

其中， $\{a_i, b_i, c_i\}$ 是歸屬函數 $\mu_A(x)$ 的相關參數，不同的參數會有不同形狀的隸屬函數，而這些參數稱為「前件部參數」。

2. Layer 2 (規則層)

各輸入變數的模糊集合與歸屬函數在第一層內決定後，即進行先決條件配對，將各輸入變數間的模糊集合進行排列組合之配對（如圖，組合出 P 條規則）後，進行模糊邏輯運算，本層選用 T-norm 進行模糊 AND 運算，第二層的類神經元以代號 Π 來標示，執行的運算如下：

$$O_{2,p} = w_p = \prod_{i=1}^N \mu_{j_i}(x_i), j_i = 1, 2, 3, \dots, M : p = 1, 2, 3, \dots, P \quad (3.3-12)$$

3. Layer 3 (正規化層)

本層節點以 N 符號表示，將上一層各節點所得的結果正規化，也就是將第上條規則的輸出結果除以所有規則之輸出結果，使其輸出值介於 0 到 1 之間，執行的運算過程如下：

$$O_{3,p} = \bar{w}_p = \frac{w_p}{\sum_{p=1}^P w_p} \quad (3.3-13)$$

4. Layer 4 (結論推論層)

將上層獲得之正規化結果與 Sugeno 模糊模式相乘，計算過程如下：

$$O_{4,p} = \bar{w}_p f_p = \bar{w}_p \left(\sum_{i=0}^N r_{pi} x_i \right), x_0 = 1 \quad (3.3-14)$$

$\{p_i, q_i, r_i\}$ 在此稱為「後見部參數」。

5. Layer 5 (輸出層)

第五層中只有一個類神經元，以代號 Σ 標示，計算前一層中類神經元輸出的總和，以作為最後網路的輸出值，其計算過程如下：

$$O_{5,i} = \sum_i \bar{w}_i f_i = \frac{\sum_i w_i f_i}{\sum_i w_i} \quad (3.3-15)$$

ANFIS 模式結合前饋式類神經網路的監督式學習方法，將訓練範例代入後，比較真實輸出值和模式推估值之間的誤差，試圖求得誤差的最小平方和，使得模糊推論系統的所有參數可獲得適當的調整。ANFIS 模式所調整的參數，分為前提部分和結論部分，最常使用的方法為誤差倒傳遞學習演算法(backpropagation)，利用最陡坡降法(the steepest descent method)來修正模糊系統的隸屬函數之各項參數值，提高演算效率及效能，以達到我們所需的精度。

本研究將利用 MATLAB 其中之 FUZZY Toolbox 所提供之 ANFIS 功能來建立模式、推估結果，作模糊系統以及類神經網路的輸入輸出以及學習訓練，所建立之模糊規則資料庫，作為模式建構之核心，其風浪相關波高之模糊類神經網路模式的建立流程如圖 3.3-25 所示。

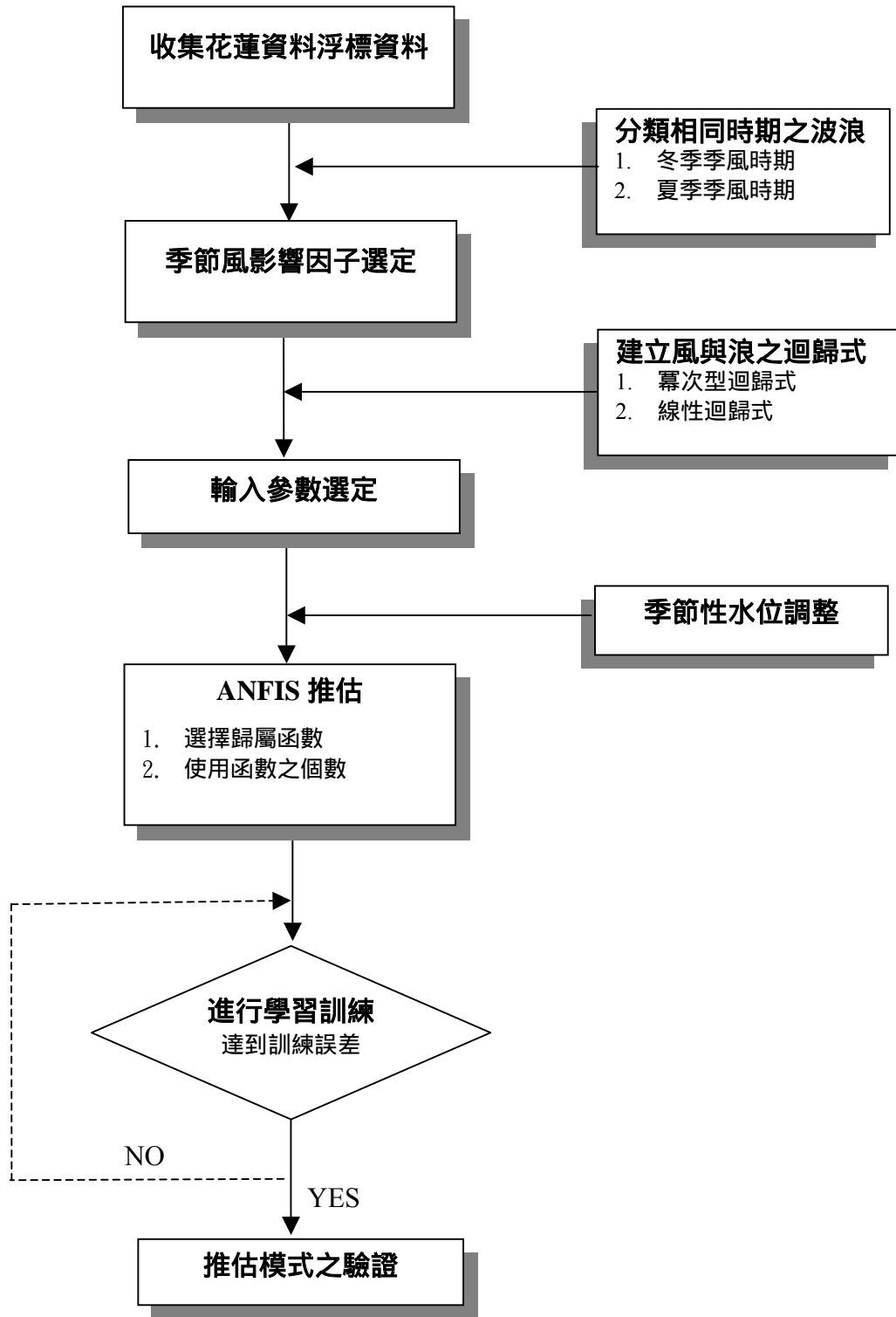


圖 3.3-25 模式建構流程圖

3.3.2-5 模糊類神經網路模式之建立與驗證

1. 風速與示性波浪之季節性趨勢

臺灣冬季時為強烈之東北季風氣候，而夏季則為西南季風氣候，風速明顯有所差異。因此風速資料應會呈現季節性之趨勢。為瞭解風速及示性波浪之季節性趨勢以及兩者之間是否有關係，本研究利用平均移動法(moving average method)以分析出長時間之趨勢。移動平均法是利用統計處理的方式，主要是將時間數列中不規則變化或季節性因素予以剔除，進行平滑化(smoothing)。其原理是利用時間點相近的觀察值，其值相差不大，因此計算時間序列中一定間隔長度之移動平均數，再由這些移動平均數形成的新的時間數列便可將原數列不規則變化部分去除，減低原數列中短期偶然因素的影響，得到較平滑之趨勢變化部分。

將花蓮測站 2001-2002 年之風速以及示性波高進行 720 小時移動平均結果分別示如圖 3.3-26 和圖 3.3-27。比較兩圖之移動平均風速及移動平均示性波高之時序特性，可以發現同時二者均有在冬季較高於在夏季之趨勢，若將移動平均風速與移動平均示性波高進行相關分析(cross correlation)，其結果如圖 3.3-28 所示，其相關係數為 0.88，其結果顯示平均移動風速與平均示性波高有相似之趨勢。

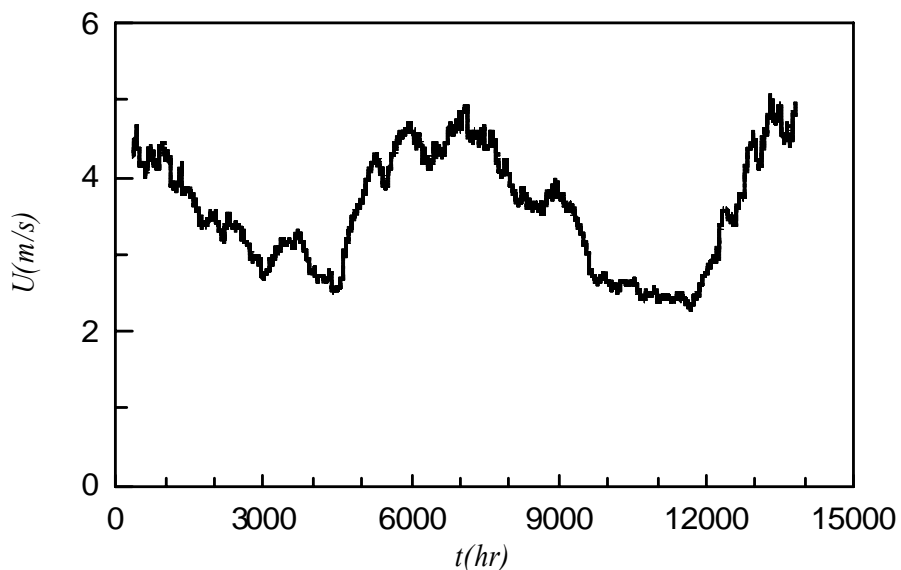


圖 3.3-26 2001-2002 花蓮站 720 小時之移動平均風速

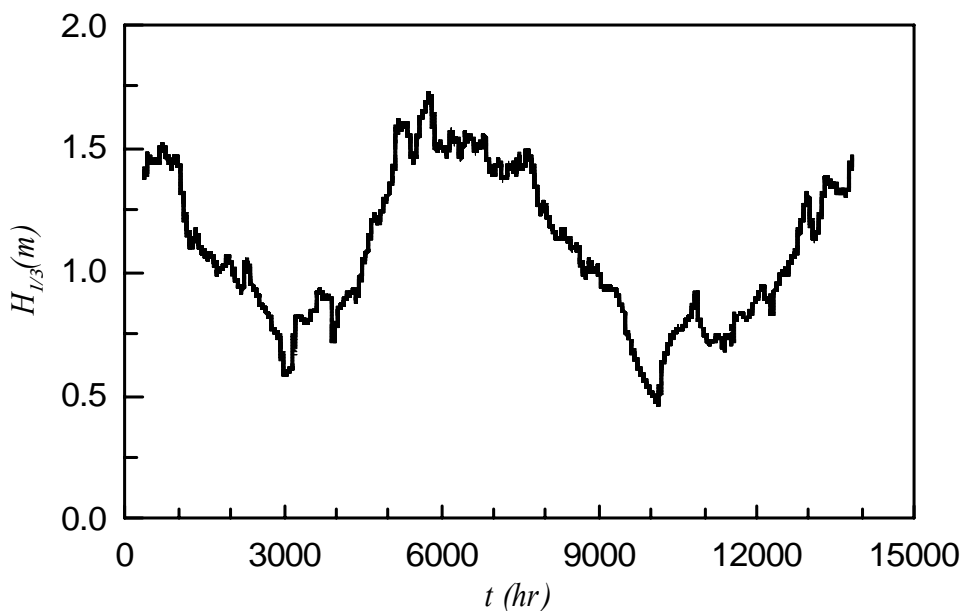


圖 3.3-27 2001-2002 花蓮站 720 小時之移動平均示性波高

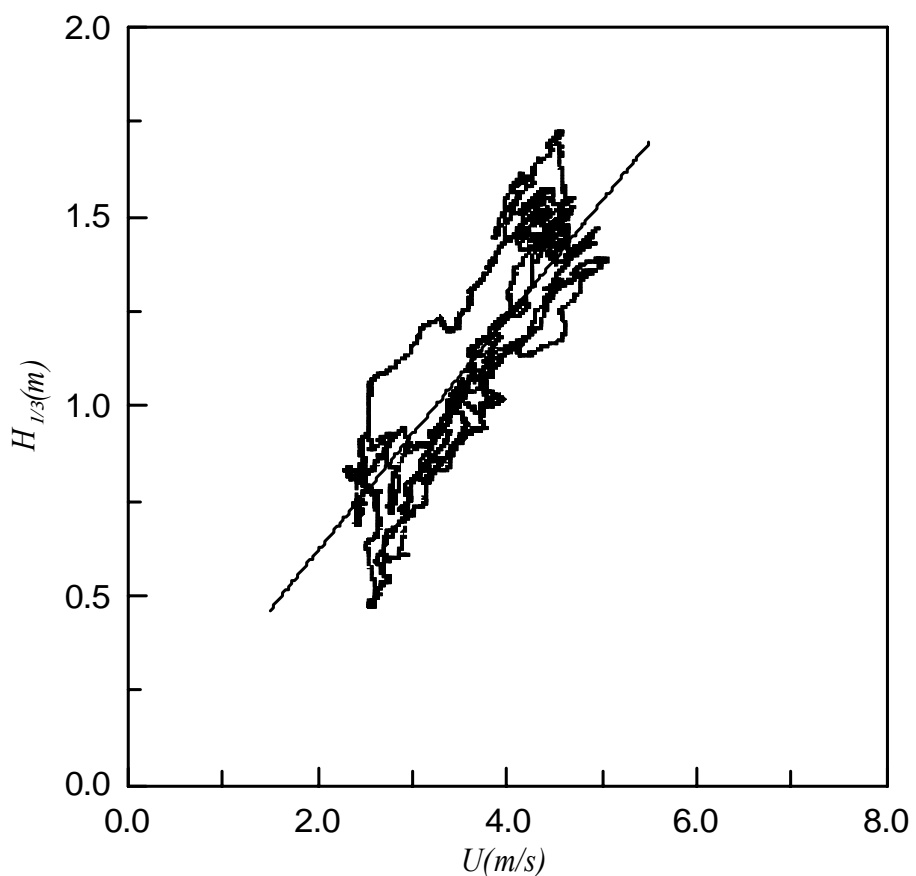


圖 3.3-28 2001-2002 花蓮站 720 小時之移動平均風速與
720 小時之移動平均示性波高 Q-Q 圖

2.季節性水位調整之方法

根據 Nelson 等(1999)指出，在進行含有季節性變化趨勢之時間序列預測時，若先扣除季節性的影響量，則預測精度便可以提升。為此本文嘗試以 ANFIS 來學習季節性的波浪變化，並先模擬季節性變化的波高。

本文利用 2001 年 720 小時移動平均之風速和示性波高，作為網路訓練資料，再利用 2002 年 720 小時移動平均之風速和 720 小時移動平均之示性波高，作為網路測試資料。網路訓練所輸出之示性波高結果與實測值之比較示如圖 3.3-29，而其 RMS 值為 11.23cm，兩者相關係數平方值 $r^2=0.932$ ，二者之關係程度如圖 3.3-25 所示。由網路測試所輸出 2002 年之移動平均示性波高結果與實測值之比較示如圖 3.3-30 所示，而其 RMS 值為 11.57cm，兩者相關係數平方值 $r^2=0.936$ ，二者之關係程度如圖 3.3-31 所示。

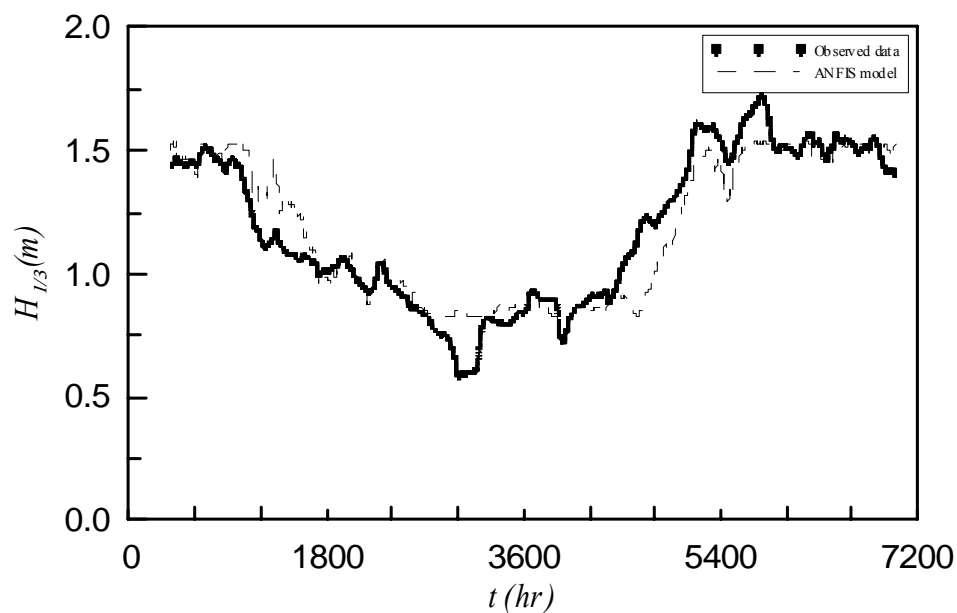


圖 3.3-29 以 2001 年之訓練輸出值與實際值的 720 小時之移動平均示性波高之比較圖

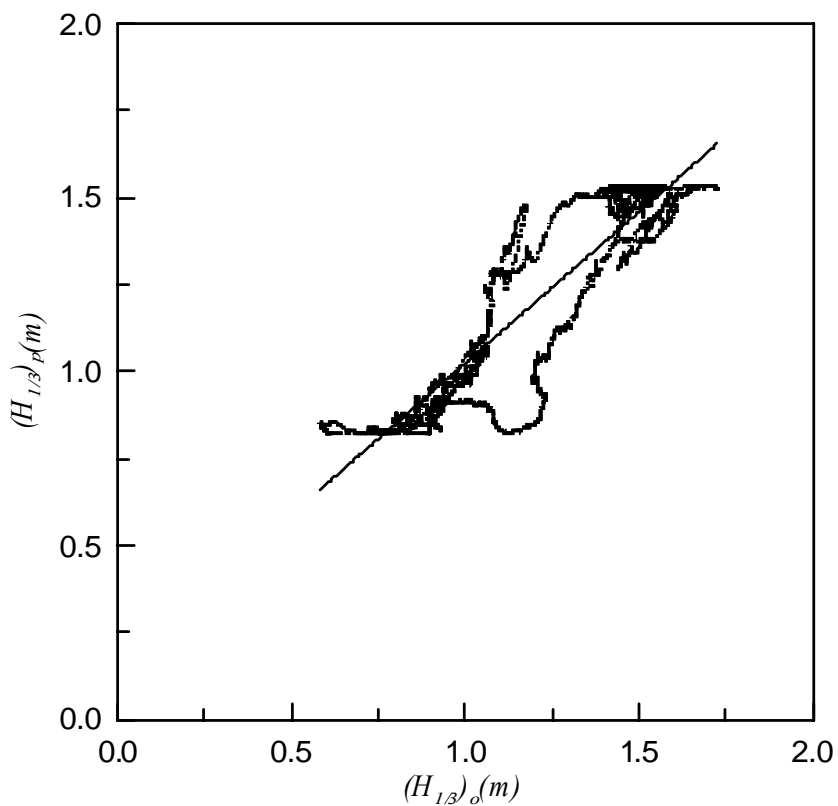


圖 3.3-30 以 2001 年之訓練輸出值與實際值的 720 小時移動平均波高之 Q-Q 圖

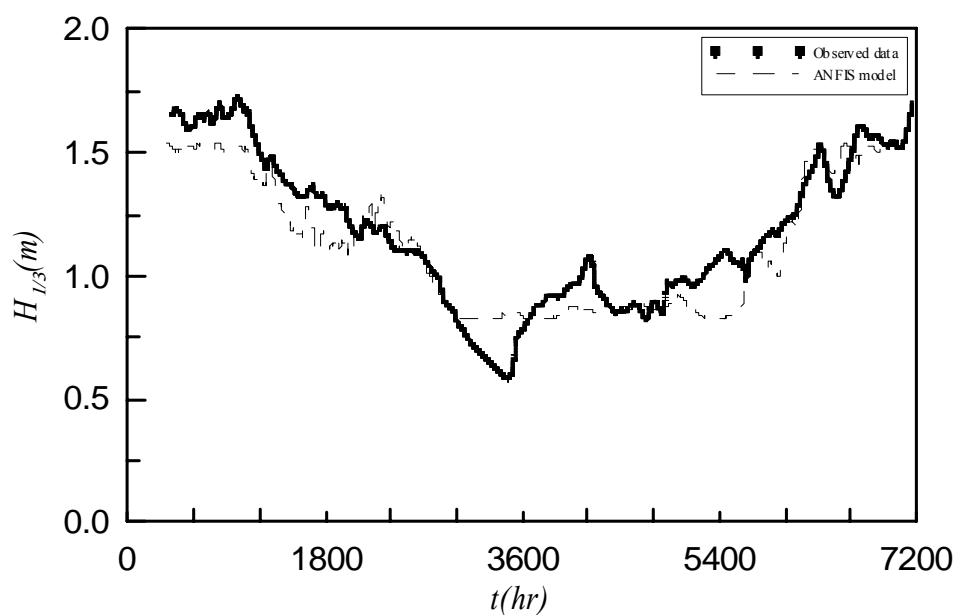


圖 3.3-31 以 2002 年之訓練輸出值與實際值的 720 小時之移動平均示性波高之比較圖

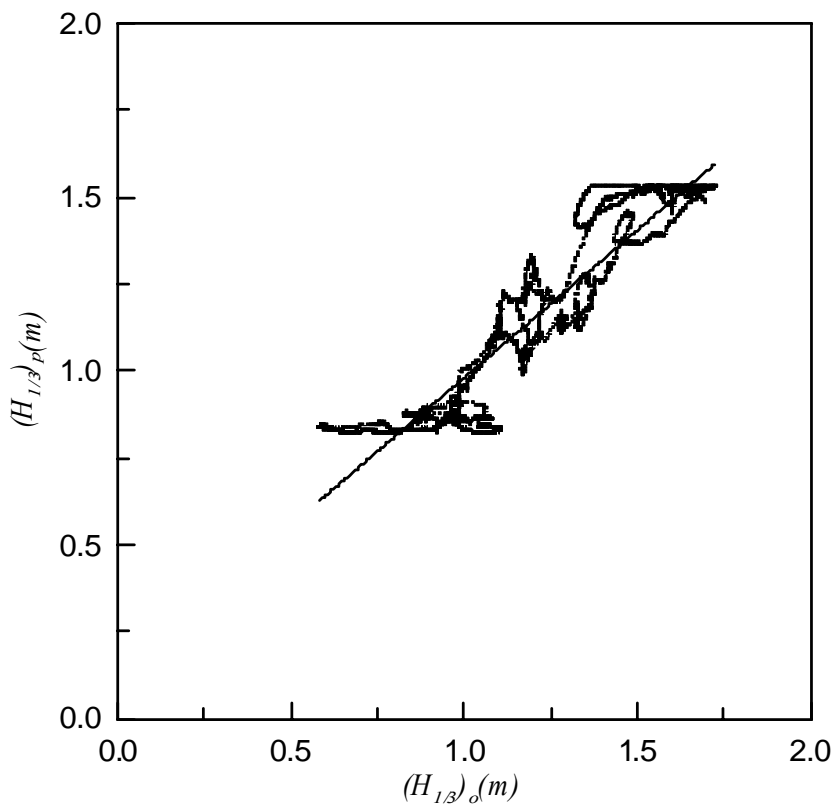


圖 3.3-27 以 2002 年之訓練輸出值與實際值的 720 小時移動平均波高之 Q-Q 圖

求得長時間的水位變化後，便要考慮到資料處理的方法，利用整年的波浪資料扣除長期季節水位的變化，如此此時的波浪資料便無季節性的水位影響，之後對此波浪資料進行季節風波浪預報推算，可以認定此資料所包含的訊息絕大部分是由風速所造成的。最後將季節風波浪預報模式所預測之波高再加上求得之季節性水位變化。

3. 模式架構之建立

A. 輸入參數之選擇

由上述之結果，顯示示性波高與風速、風向及延時有關，在本節將討論 6 種可能組合的輸入參數對輸出參數即示性波高之影響，輸入參數分別編排成 Case1~Case6，如表 3.3-2 所示，表中 $U(t)$ 表示為瞬時風速， $\bar{U}(t)$ 表示為平均風速，平均風速定義示如表 3.3-16。

$$\overline{U(t)} = \frac{1}{n} [u(t) + u(t - \Delta t) + u(t - 2\Delta t) + \dots + u(t - (n+1)\Delta t)] \quad (3.3-16)$$

其中 n 為資料筆數， Δt 為資料時間，本研季為 2 小時

Case1~Case3 是利用瞬時風速與風向所編排而成，其中 Case1 僅以瞬時風速來推估示性波高，Case2~Case3 則是加入角度的因素 $\cos(\theta-105^\circ)$ 。根據花蓮測站之當地海岸地形走向為 15° 順時向 195° ，若風向在 $15^\circ \sim 195^\circ$ 間為吹向岸風，反之，風向則吹離岸風，垂直海岸風向為 105° 度，因此本研究將風向減去 105° 取其餘弦函數，是將季節風對岸之影響正規化至 1 到-1 之間。Case2 是分別使用瞬時風速與 $\cos(\theta-105^\circ)$ 兩個輸入參數來推估示性波高。Case3 是利用瞬時風速與 $\cos(\theta-105^\circ)$ 之乘積來推估示性波高。

Case4~Case6 是考慮平均風速與風向，主要是因為實際上風浪大小與吹風延時有時間的連續關係，換言之，當時示性波高的大小並不只是受當時的瞬時風速影響，有可能是前幾個小時的風速綜合影響所造成之示性波高。Case4 僅利用平均風速來推估示性波高。Case5 是利用平均風速與 $\cos(\theta-105^\circ)$ 兩個輸入參數來推估示性波高。Case6 是利用瞬時風速(U) 與 $\cos(\theta-105^\circ)$ 之乘積再取其移動平均值推估示性波高。

表 3.3-2 不同輸入參數的測試編號

Case	輸入參數
1	$U(t)$
2	$U(t)、\cos(\theta-105^\circ)$
3	$U(t) \times \cos(\theta-105^\circ)$
4	$\overline{U(t)}$
5	$\overline{U(t)}、\cos(\theta-105^\circ)$
6	$\overline{U(t) \times \cos(\theta-105^\circ)}$

B. 訓練資料長度之測試

為了探討輸入及輸出參數的資料長度，是否會對模式之波高推估值產生影響。本文將以 Case1 為例，選擇 15、20、25、30 及 35 天之不同資料長度，進行風浪網路模式訓練。於冬季訓練時期為 2001 年 1 月，測試資料為 2001 年 2-4 月，而於夏季訓練資料為 2001 年 6 月，測試資料為 2001 年 5-9 月，冬、夏兩季之模式推估值與實測值的 RMS 比較圖，分別如圖 3.3-32 和圖 3.3-33 所示。由圖 3.3-32 可以得知在冬季時期所推估之示性波高 RMS 值約在 $0.4m$ 以下，而訓練天數在 15 天時，其 $RMS = 0.32m$ 為最低，因此顯示網路模式以 15 天之訓練資料長度，在冬季即可適當地模擬風浪特性。由圖 3.3-33 得知，在夏季所推估之示性波高的 RMS 值皆在 $0.5m$ 以下，但訓練長度 15 天與 20 天之 RMS 值相近，而其 r^2 值分別為 0.68 與 0.61，訓練長度 15 天的模式推估波高之 r^2 值較高。因此，冬季季風與夏季季風皆選用 15 天之風浪資料長度以作為網路訓練長度。

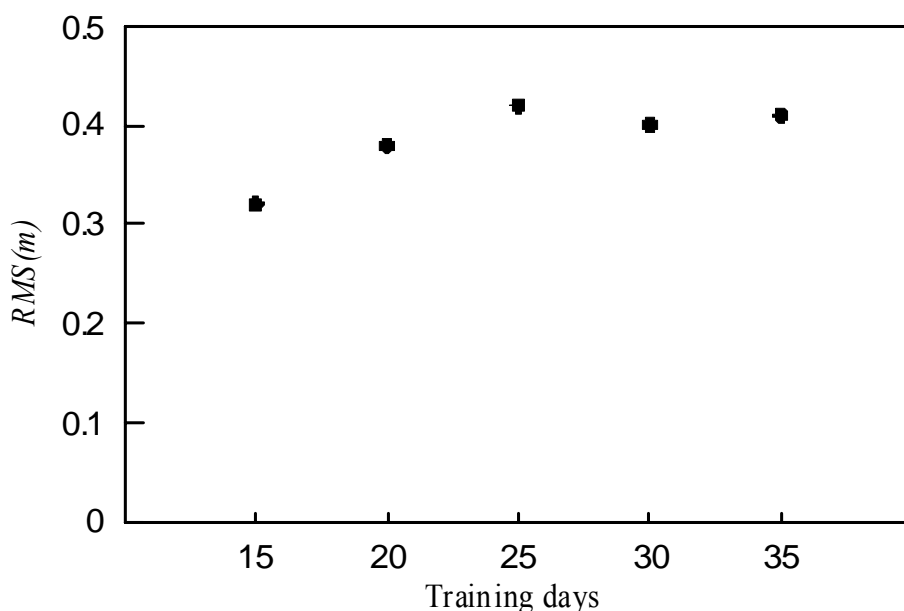


圖 3.3-32 冬季時期不同訓練時間長度所推估之示性波高 RMS 比較圖

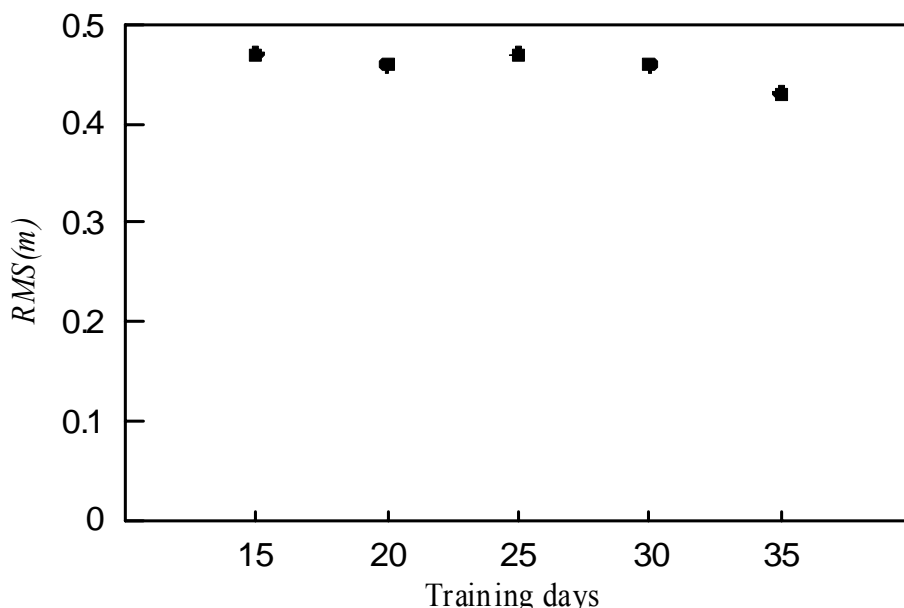


圖 3.3-33 夏季時期不同訓練時間長度所推估之示性波高 RMS 比較圖

C. 移動平均風速之選擇

Case4-Case6 之輸入參數是利用平均風速，其主要原因為考慮到實際上風浪大小與風吹延時有時間連續關係，本研究以 Case4 為例，探討不同時間長度之移動平均風速對推估波高值之影響，本文選擇 6、12、24、36 及 48 小時不同時間的移動平均風速，冬季及夏季的訓練及測試資料如同前節。以不同移動平均時段當輸入的模式，所推估示性波高的 RMS 值分別示如圖 3.3-34 和 3.3-35。由圖 3.3-34 可知以 24 小時移動平均風速當輸入的模式，推估示性波高的 RMS 值最低，約為 0.29m。而由圖 3.3-35 顯示其 RMS 值都約為 0.4m，又以 24 小時移動平均風速模式之推估值，其 RMS 值較其他時間之移動平均風速為低， RMS 值約為 0.38m 左右。因此，本文 Case4-Case6 輸入參數中的平均風速採用 24 小時移動平均。

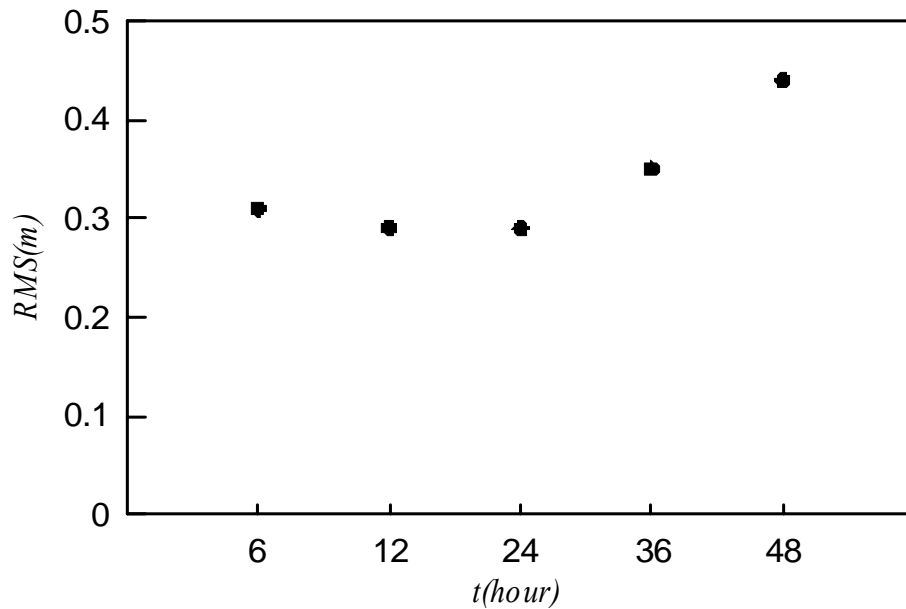


圖 3.3-34 冬季時期不同時間以移動平均風速推估之示性波高 RMS 比較圖

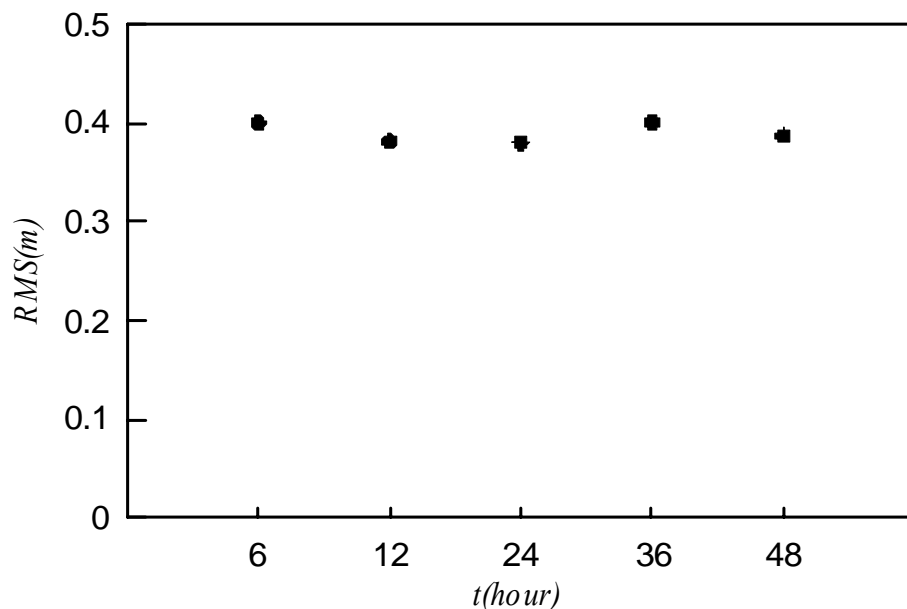


圖 3.3-35 夏季時期不同時間以移動平均風速推估之示性波高 RMS 比較圖

D. 最佳輸入參數之選擇

由前節的測試，本研究在 Case1-Case6 輸入參數中選取最佳輸入參數，以建構示性波高推估模式。冬季與夏季的模式訓練及測試資料如

前所述，並比較 Case1-Case6 為輸入參數建立模式所推估示性波高的 RMS 值，分別如圖 3.3-36 與圖 3.3-37 所示。由圖 3.3-36 比較知，Case1-Case6 模式所推估冬季示性波高之 RMS 值都在 0.4m 以下，其中又以 Case4 模式所推估之示性波高 RMS 值最低，其 RMS 值為 0.29m。由圖 3.3-36 與圖 3.3-37 比較可知，Case1-Case6 模式所推估結果均較推估夏季者準確，其中以 Case4 模式所推估之夏季示性波高 RMS 的值最低，其 RMS 值約為 0.38m。因此本文將以 Case4 為最佳輸入參數。

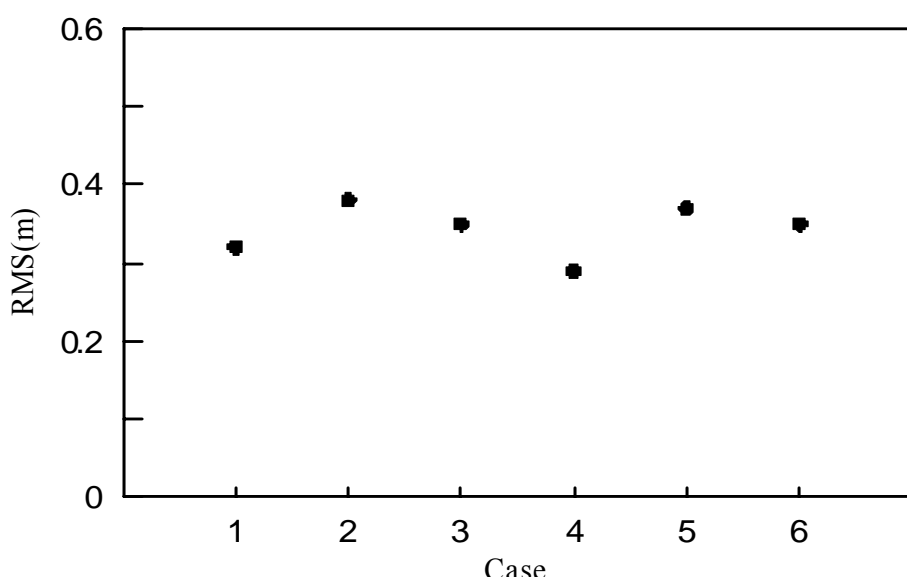


圖 3.3-36 冬季季風時期 Case1- Case6 推估波高之 RMS 比較圖

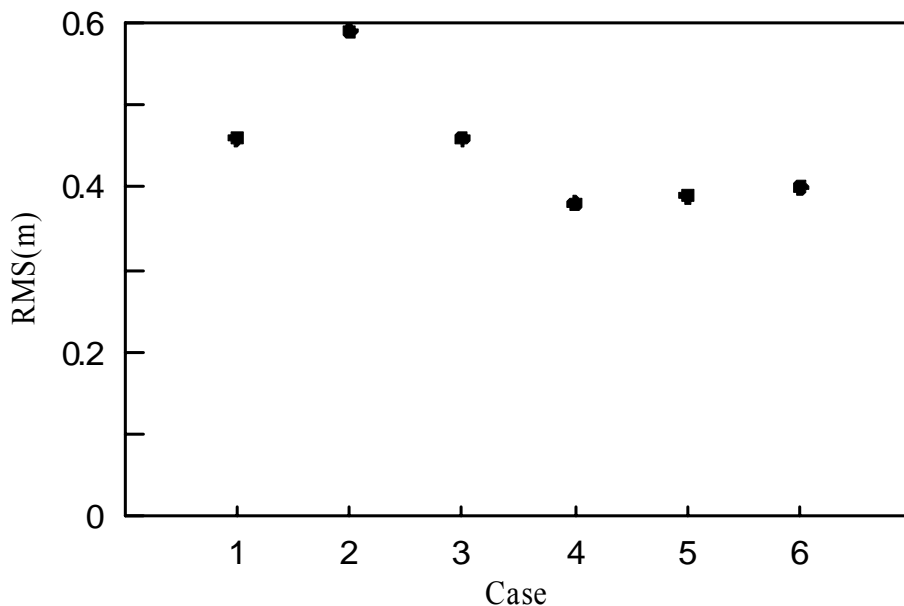


圖 3.3-37 夏季季風時期 Case1- Case6 推估波高之 *RMS* 比較圖

E. 模式驗證

根據網路參數選擇之結果，得知季節風波浪預報模式最佳輸入參數為 Case4，為了更進一步驗證本模式之可行性，本研究將花蓮 2001-2002 的風速及波高數據，分成冬季與夏季時期討論。

a. 冬季示性波高之推估

本文利用 2001 年 1 月前 15 天作為訓練資料，經由模式推估至 2002 年冬季時期之其他月份，作為模式建構之驗證，推估結果分別如圖 3.3-38 至圖 3.3-41 所示。圖 3.3-38 與圖 3.3-39 分別為 2001 年 2-4 月與 2002 年 1-4 月示性波高之推估與實測值比較圖。由圖 3.3-40 與圖 3.3-41 可知，所推估之波高與實測波高趨勢吻合，但在實測波高小於 1.2m 時，有高估之情況發生，其 *RMS* 值分別為 0.29m 和 0.33m， r^2 值分別為 0.73 與 0.72。圖 3.3-38 與圖 3.3-39 是以模式 2001 年 10-12 月與 2002 年 10-11 月冬季示性波高與實測值之推算時序圖。由圖 3.3-40 與圖 3.3-41 可知，當實測波高值低於約 1.4m 處，所推估之波高也有高估之現象，其 *RMS* 值分別為 0.29m 和 0.4m， r^2 值分別為 0.64 與 0.71。

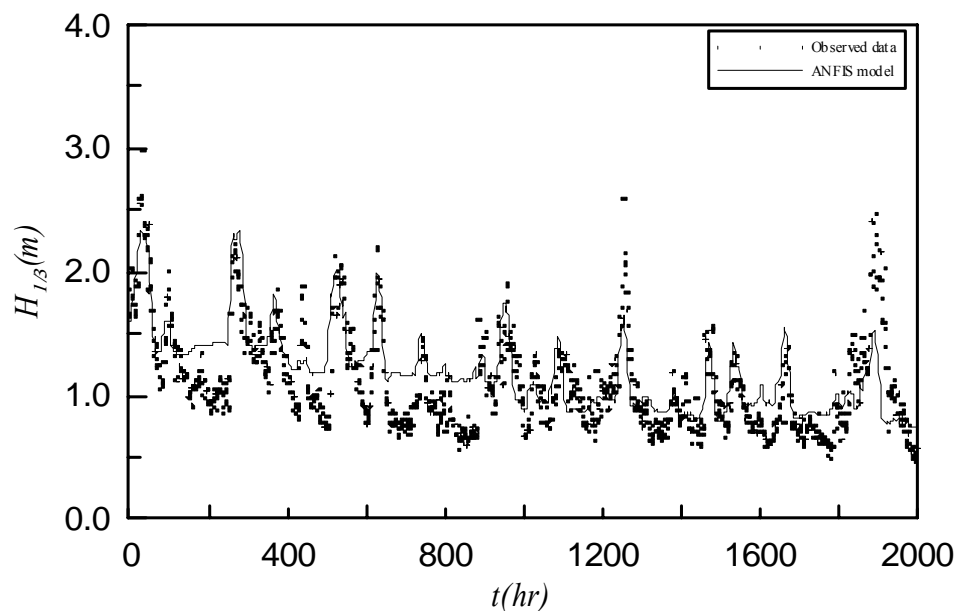


圖 3.3-38 2001 年 2-4 月實測與推算波高時序圖

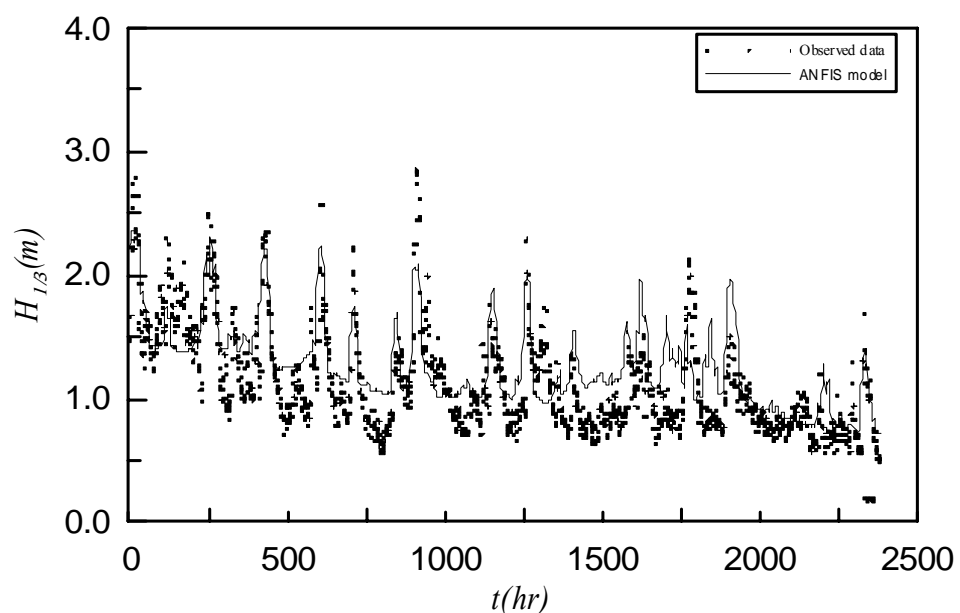


圖 3.3-39 2002 年 1-4 月實測與推算波高時序圖

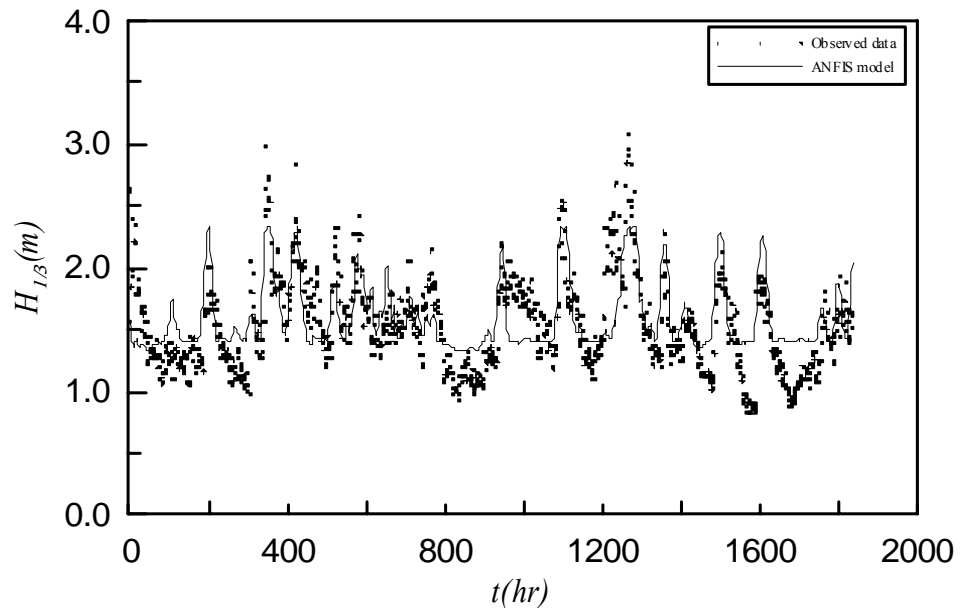


圖 3.3-40 2001 年 10-12 月實測與推算波高時序圖

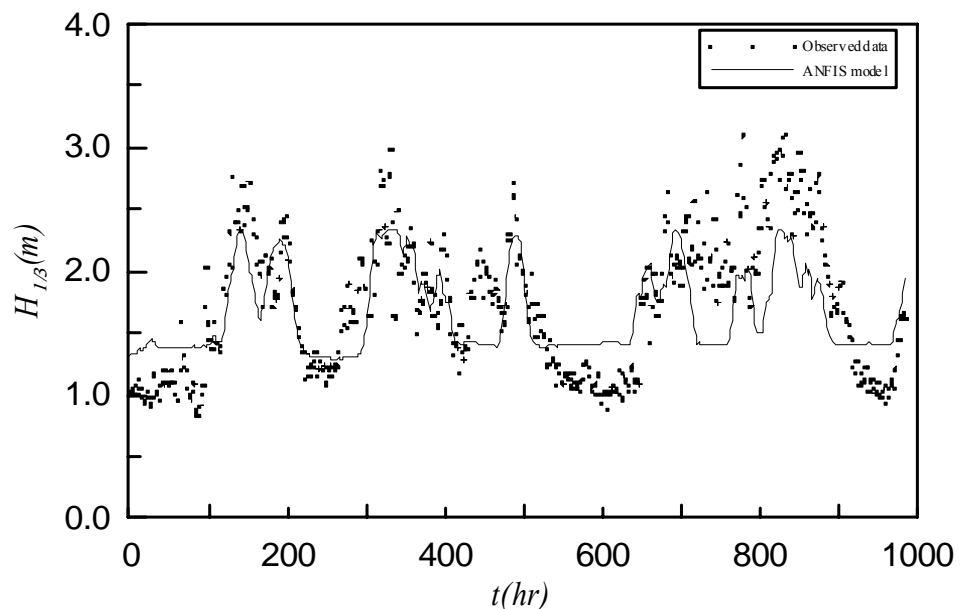


圖 3.3-41 2002 年 10-11 月實測與推算波高時序圖

b. 夏季示性波高之推估

本研究利用 2001 年 6 月之前 15 天作為訓練資料，由最佳模式推估 2001 及 2002 年夏季示性波高分別示如圖 3.3-42 與圖 3.3-43。圖 3.3-42

為推算 2001 年 5-9 月示性波高，其 RMS 為 0.38m，而 $r^2=0.61$ 。圖 3.3-42 為推算 2002 年 5-9 月示性波高，其 RMS 為 0.4m， $r^2=0.39$ 。由圖 3.3-42 及圖 3.3-43 可知，實測夏季波高均較小，大部份觀測值約在 0.7 m 以下，所推估之波高有高估之現象。此外由於臺灣每年夏季期間經常有颱風侵襲，導致風速與波高均有不穩定之現象，因此利用本模式所推估出來的結果會較冬季季風時期不理想。

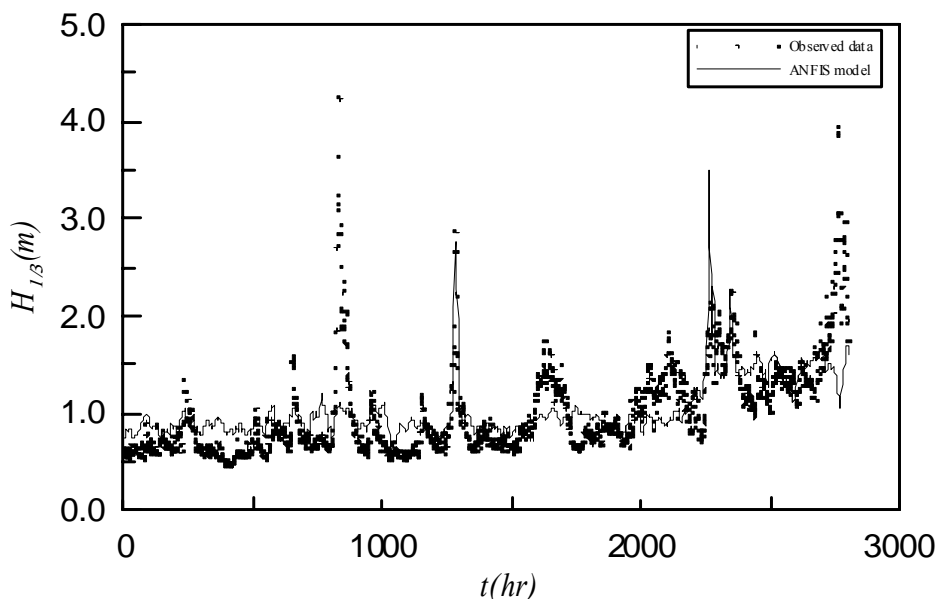


圖 3.3-42 2001 年 5-9 月實測與推算波高時序圖

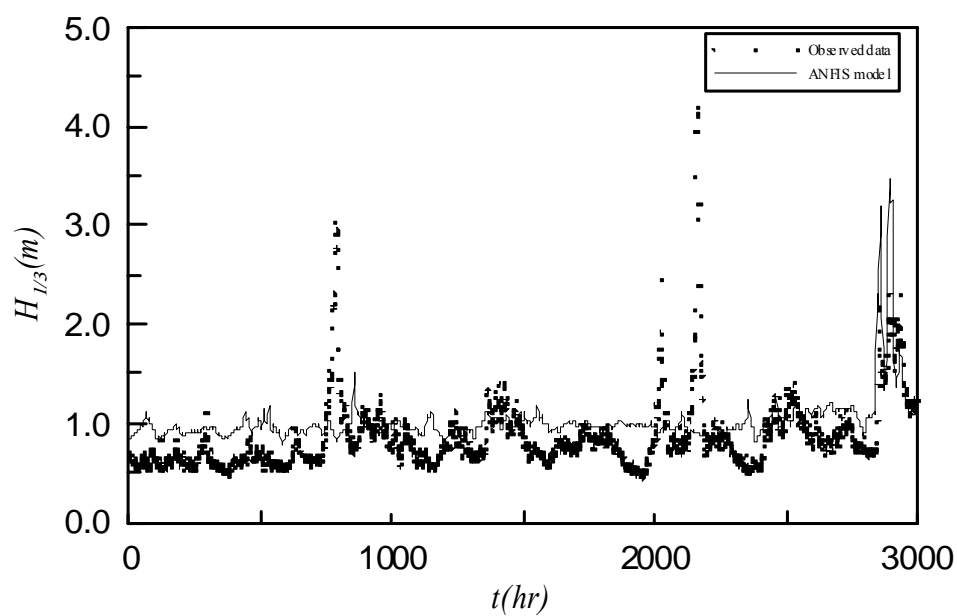


圖 3.3-43 2002 年 5~9 月實測與推算波高時序圖

c.全年推估結果

本模式僅利用 2001 年 1 月前 15 天資料以及 2001 年 6 月前 15 天資料，推估 2001-2002 年冬季與夏季時期之示性波浪，並將所推估 2001-2002 年示性波高之 RMS 值，依 2001-2002 年各月份整理示如圖 3.3-44 和圖 3.3-45。由圖中可知 2001 年所推估之結果 RMS 值都在 0.4m 以下，而 2002 年所推估之結果之 RMS 值，除了 3 個月份之外，其餘月份之 RMS 值也都在 0.4m 以下，其中 2001 年冬季的推估值之 RMS 值約在 0.27m~0.31m 之間，其 $r^2=0.771$ ，夏季的推估值之 RMS 值約在 0.23m~0.44m 之間，其 $r^2=0.614$ 。而 2002 年冬季推估值之 RMS 值約在 0.31m~0.41m 之間，其 $r^2=0.772$ ，夏季推估值之 RMS 值約在 0.22m~0.42m 之間，其 $r^2=0.388$ 。本模式相較於第二章兩種統計迴歸方式之結果，示如表 3.3-3，不論冬季或夏季時期，本模式推估之示性波高 RMS 值較迴歸模式推估者降低且 r^2 值也提升許多，由此顯示本模式比統計迴歸公式所推估之結果，具有較高的精度。

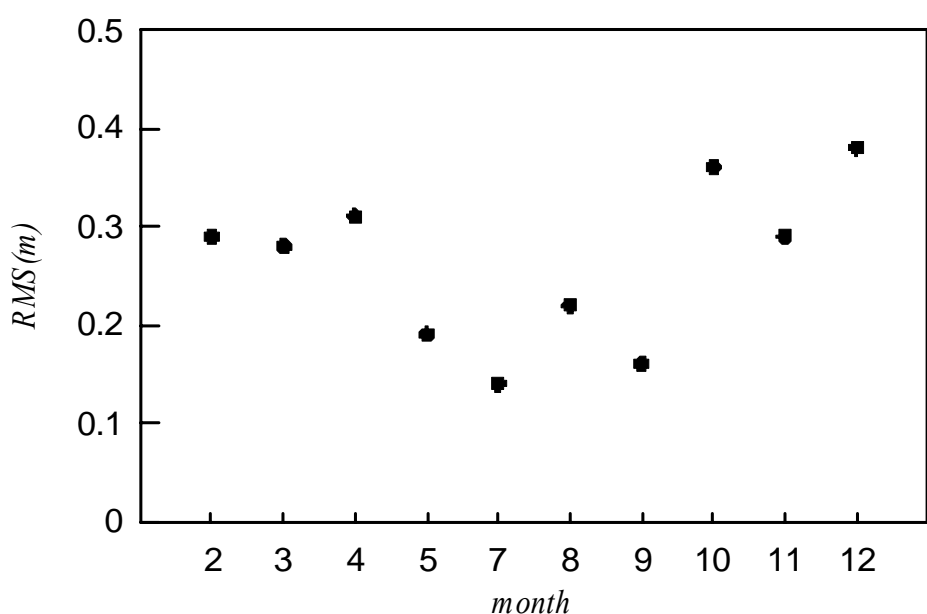


圖 3.3-44 2001 年各月份之推估波高 RMS 值

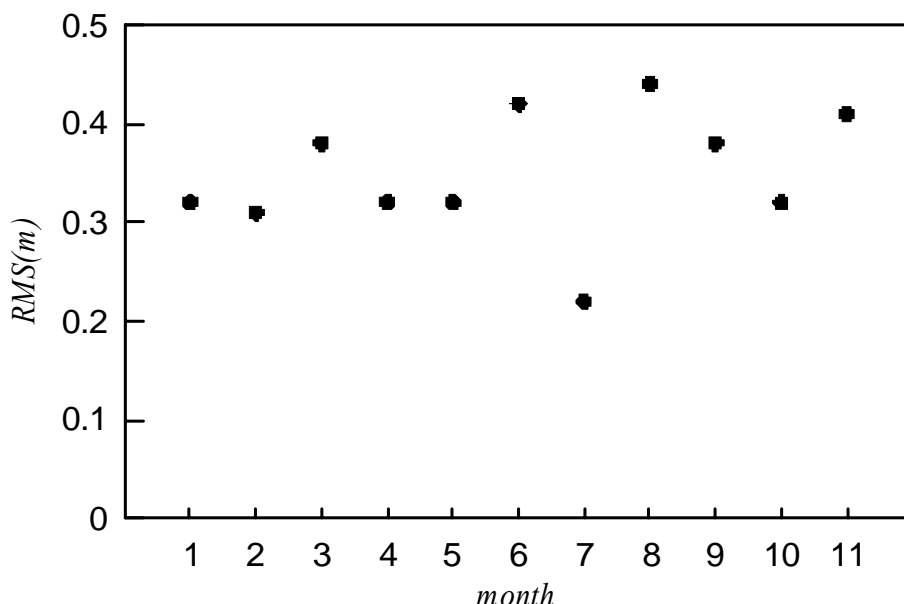


圖 3.3-45 2002 年各月份之推估波高 RMS 值

表 3.3-3 示性波高之幕次及線性迴歸與模式推估值的 RMS 與 r^2 值比較

季風時期	幕次迴歸		線性迴歸		模式推算	
	$RMS(m)$	r^2	$RMS(m)$	r^2	$RMS(m)$	r^2
2001 年	冬季	0.53	0.21	0.51	0.26	0.27
	夏季	0.64	0.11	0.57	0.18	0.30
2002 年	冬季	0.43	0.23	0.41	0.33	0.34
	夏季	0.50	0.01	0.49	0.001	0.35

3.3.3 結論

類神經網路波浪推算模式以能量平衡方程式為基礎，在颱風波浪的計算上配合參數形式的颱風模式 Holland Model 藉由輸入參數與輸出函數間的關係，修正類神經網路轉換函數組成颱風波浪推算模式，並以臺灣東部海域花蓮港為例。颱風波浪推算模式可以有效且穩定的計算出推算區域內颱風波浪的行為。以類神經網路為核心並修正轉換函數所建構的颱風波浪推算模式，達到模式建構過程容易、計算快速、計算結果準確及模式具自我修正調校功能的目標，同時避免於一般數

值模式需較長計算時間，又能夠有相當精度之預測能力，於馬莎颱風與珊瑚颱風有較精確的推算，但是對於海棠與泰利之颱風中心因颱風與地形發生交互作用時，產生之變化。海棠與泰利颱風中心都曾產生上下層分離之情形，因此 Holland Model 與實測風場有較大的差異，導致類神經網路推算產生誤差。對於馬莎與珊瑚颱風，其颱風中心無變異情形則推算結果則較精確。因此，未來針對對於這樣的限制可以藉由結合及時風場資料或是更精準的颱風風場計算模式得到改善。

本計畫以冪次與線性之迴歸公式，來推估冬季與夏季季風之示性波高，但並沒有得到與實測值一致的預測值。因此藉由模糊類神經網路來建立適合的季節風波浪預報模式。本模式首先利用 ANFIS 來調整季節性變化之波浪，經過訓練資料長度的測試與 6 種不同網路輸入參數之比較，最後由推算之 RMS 值優劣選出，以 24 小時移動平均之風速作為模式之輸入參數，且只需 2001 年 1 月份之前 15 天和 6 月份之前 15 天的網路學習訓練，即可分別推估 2002 年冬季與夏季之示性波浪。

推估 2001 年冬季之示性波高 RMS 值約在 0.27m~0.3m，而 2002 年冬季所推估之示性波高的 RMS 值約在 0.31m~0.41m，所推估 2001 年夏季之示性波高 RMS 值約在 0.23m~0.44m，推估 2002 年夏季之示性波高 RMS 值約在 0.22m~0.42m，應用本模示可利用冬、夏兩季各 15 天之資料來訓練，即可精確地推算全年示性波高，在工程上具有較大的應用性，並可供海岸工程施工以及港灣船隻作業之參考。

3.4 長期波浪模擬與觀測資料比較相關模式預報系統

鑑於以橢圓型緩坡方程式(EMS)或具時變性演進型緩坡方程式(EEMSE)為基礎之近域波浪場模式均相當耗費電腦運算時間，勢必無法滿足未來線上作業之需求。為達成未來線上作業之目的，本計畫先於 3.2 節提出以具運算快速特性之 REF/DIF 區域波浪模式取代 EEMSE 近域波浪模式，為本計畫臺灣沿海波浪模擬系統之線上操作模式。惟以 REF/DIF 模式所構建之區域模式，無法有效地處理岸邊構造物反射

波問題，因此較適用於近岸自然岸灘波浪場模擬，或岸邊構造物具弱反射特性(即具良好消波特性)之波浪場模擬。對於反射現象顯著之港口或岸邊構造物之波浪場模擬，仍須以可以處理反射波之近域波浪模式如 EEMSE 模式或 EMS 模式模擬之。為克服近域波浪模式運算費時間問題，港研中心提出以長期波浪模擬結果建立波場相關模式，以期達到未來線上作業之目標。

為落實此一構想本計畫擬以資料庫方式構建七大港口近域波浪場資料庫，即根據長期波浪觀測資料構建波浪模擬條件資料庫，再根據波浪模擬條件以近域模式模擬各港口近域波浪場，並將相關模擬結果(網格座標、波高及相位角等)儲存成波場資料庫，再將波浪模擬條件及波場資料庫內波浪資料建立關聯模式。未來即可根據外海入射波浪條件透過此一關聯模式於波場資料庫內蒐取適當波浪場進行各港口近域波場模擬之線上作業。

由於近域波浪場模擬相當費時，以及長期波浪觀測資料分析模擬亦相當費時，本計畫初期目標選取花蓮港為案例進行相關研究。同時考量模式運算速度及時間問題，本計畫將採用李等(2001)以有限元素法所構建的 EMS 模式取代目前 EEMSE 模式，模擬花蓮港近域波浪場。本計畫花蓮港波浪場相關數值模式計算範圍如圖 3.4-1 所示，圖中圓形點位代表全域 SWAN 模式輸出位置，菱形點位為港研中心波浪資料觀測位置，藍色實線所選取的範圍為有限元素法波浪模式 EMS 之計算範圍，粗黑點虛線為近岸區域模式模擬範圍。

3.4.1 EMS 港域波浪模式

EMS 港域波浪模式係以有限元素法求解波浪緩坡方程式，模式不僅可模擬波浪前進過程中因水深變化或阻礙物所造成之波浪折、繞射效應，亦可處理結構物邊界所產生的反射現象，因此本計畫所採用的 EMS 港域波浪模式實為一綜合考慮波浪繞射、折射及反射之港域波浪計算數值模式。其基本理論簡述如下：

當波浪自外海前進至港域時，由於受到水深地形變化以及海岸線、防波堤和港內岸壁等結構物之影響，波浪因而產生繞射、折射及

反射等效應。一般求解此一問題的方法是將問題的領域分為外海半無限領域和港池有限領域等兩個領域，同時假設外海半無限領域為等水深，港池有限領域則為緩變之不等水深區域。另外，考慮入射波浪為單一週期之規則波，整個理論求解架構建立在穩定週期性運動之線性理論上。

如圖 3.4-2 所示，所取之直角座標系統為 X 軸與海岸線重合，Y 軸向外海為正，Z 軸垂直紙面向上為正， $Z=0$ 為靜水面。外海半無限領域及有限領域別以領域(I)及(II)稱之，領域(I)及領域(II)之相連邊界為半徑 R_0 之半圓，以 B_1 表示。領域(II)則包含了港池內及港外半徑 R_0 之半圓區內水域部分，其所包括的海岸邊界、防波堤邊界及港池岸壁邊界以 B_2 表示。假設領域(I)為等水深 h_1 ，領域(II)之水深變化為 $h_2(x, y)$ 。各領域內水位變化 $\eta_j(x, y, t)$ 可表示成

$$\eta_j(x, y, t) = f_j(x, y)e^{i\omega t} \quad , j = 1, 2 \quad (3.4-1)$$

式中 $f_1(x, y)$ 及 $f_2(x, y)$ 分別稱為領域(I)及領域(II)之波浪水位函數， ω 為入射波之角頻率($2\pi/T$)， T 為入射波之週期。所欲求解之波浪水位函數 $f_j(x, y)$ ， $j = 1, 2$ 分別滿足下列控制方程式：

$$\nabla^2 f_1 + K_1^2 f_1 = 0 \quad , \text{在領域(I)內} \quad (3.4-2)$$

$$\nabla \cdot (C_2 C_{2g} \nabla \phi) + (C_2 C_{2g} K_2^2 + i\omega\mu + iC_{2g}\omega\gamma)\phi = 0 \quad , \text{在領域(II)內} \quad (3.4-3)$$

式中 $\nabla = (\partial/\partial x, \partial/\partial y)$ 為二維梯度運算子， μ 為摩擦因子， γ 為考慮波浪碎波之碎波參數， K_1 及 K_2 分別為波浪在領域(I)及(II)內之波數， C_2 為波浪在領域(II)內之波速($=L_2/T$)， C_{2g} 為群速度($=\kappa C_2$)。其中 κ 定義為

$$\kappa = 0.5[1 + 2K_2 h_2 / \sinh(2K_2 h_2)] \quad (3.4-4)$$

上述方程式(3.4-2)為荷姆茲方程式之型態，式(3.4-3)則為修正型態之緩坡方程式(mild slope equation)。

有關摩擦因子 μ 之計算可採用 Dalrymple et al. (1984) 之表示式：

$$\mu = \frac{2\kappa\omega}{K_2} \left[\frac{2f_r}{3\pi} \frac{aK_2^2}{(2K_2 h_2 + \sinh 2K_2 h_2) \sinh K_2 h_2} \right] \quad (3.4-5)$$

式中 a 為波浪之振幅， f_r 為摩擦係數。碎波參數 γ 可採用下列計算式

$$\gamma = \frac{\chi}{h_2} \left(1 - \frac{\Gamma^2 h_2^2}{4a^2} \right) \quad (3.4-6)$$

式中 χ 及 Γ 分別為經驗常數(其值可分別採用 0.15 及 0.4)。

在領域(I)及(II)之交接假想邊界(B_1)上須滿足下列連續條件：

$$f_1 = f_2 \quad ,\text{在邊界 } B_1 \text{ 上} \quad (3.4-7)$$

$$C_1 C_{1g} \frac{\partial f_1}{\partial n} = -C_2 C_{2g} \frac{\partial f_2}{\partial n} \quad ,\text{在邊界 } B_1 \text{ 上} \quad (3.4-8)$$

此外，在一般海岸線或結構物邊界(B_2)上須滿足下列部份反射邊界條件：

$$\frac{\partial f_2}{\partial n} = -i\alpha K_2 f_2 \quad ,\text{在邊界 } B_2 \text{ 上} \quad (3.4-9)$$

式中 \bar{n} 表示邊界面上離開領域向外之單位法線向量， α 為消能係數，其值與波浪入射角、相位及港池岸壁之反射係數有關， $\alpha=0$ 時表示港池岸壁為完全反射之情況(即 $\partial f_2 / \partial n = 0$)，而 $\alpha=1$ 則表示港池岸壁具有完全消能之作用。一般常用之計算式如下：

$$\alpha = \frac{1 - K_r}{1 + K_r} \quad (3.4-10)$$

式中 K_r 為邊界之反射係數。

在領域(I)內波浪水位函數 f_1 通常是由入射波 f_I 及受到直線海岸線影響產生的反射波 f_R 及受到防波堤配置和港池開口影響而向外傳播之散射波 f_S 等構成的，因此 f_1 可表示

$$f_1 = f_I + f_R + f_S \quad (3.4-11)$$

其中散射波 f_S 係由港池開口往外海方向輻射出去，在無窮遠處滿足波浪輻射條件：

$$\lim_{K_1 r \rightarrow \infty} \sqrt{r} \left(\frac{\partial}{\partial r} + iK_1 \right) f_S = 0 \quad (3.4-12)$$

假設入射波浪 $\eta^I(x, y, t)$ 之振幅為 A^I ，波長為 L_1 ，週波數為 K_1 ，波向為與正 X 軸成 θ_0 角度，其複數表示為：

$$\eta^I(x, y, t) = A^I e^{-i[K_1(x \cos \theta_0 + y \sin \theta_0) - \omega t]} \quad (3.4-13)$$

針對上述邊界值問題，一般常採用混合方法求解(Mei, 1989)，即對於領域(I)使用理論解析法，領域(II)使用有限元素法合併求解。(詳細求解過程請參考 Mei, 1989，或李等, 2002)

3.4.2 花蓮港相關模式預報系統之建立

以有限元素法求解橢圓型緩坡方程式(FEM_EMS)時，數值網格大小必須滿足一個波長內至少涵蓋 6 至 10 個節點才足以合理地描述波浪場變化之基本要求。由於本計畫所考慮的波浪條件均屬短週期波浪，如風浪(wind wave)或湧浪(swells)等，因此模式所需之數值網格數量相當龐大，勢必無法採用傳統的人為方式構建，而必須藉助電腦輔助軟體或程式才能達成。本計畫採用 Kashiyama and Okada (1992)所發表的三角形網格自動生成方法建立滿足計算精度需求之三角形有限元素計算網格，首先對計畫模擬區域建立粗網格，如圖 3.4-3 所示，再依波浪條件產生滿足數值計算精度之細網格。當波浪條件為 5sec 時，本計畫模式計算所需之節點及三角形元素之數目分別為 250,943 個節點及 498,834 個元素；當波浪條件為 6sec 時，模式計算所需之節點及三角形元素之數目分別為 132,933 個節點及 263,621 個元素；當波浪條件大於 8sec 時，本計畫模式計算所採用的網格節點及三角形元素之數目分別為 49985 個節點及 98296 個元素。顯示當波浪週期愈短，模式計算所需之數值網格節點數及其所產生的三角形元素愈龐大，相對的模式計算所花費的電腦運算 CPU 亦非常可觀。

本計畫 FEM_EMS 波場模式之邊界條件主要有兩種，一為輻射邊界條件，係假設在波浪進行方向上無任何反射波產生，主要用於外海開放領域之假想邊界或港域內之開放邊界上；一為消能邊界條件，主要用於自然海岸或港工或海岸結構物等邊界上。此類海岸構造物邊界大都具有某種程度之消波功能，或設置拋石、護岸等消波設施以保護

結構物安全。雖然結構物反射係數之大小是影響港池振盪計算結果之重要因素之一，然反射係數大小除了與結構物之材質、透水性及形狀有關外，波浪週期、水深條件等均會影響反射係數大小。一般而言，所考慮之波浪條件屬於短週期波浪時，反射係數之決定往往允許較大的彈性範圍；反之，對長週期波浪而言，結構物反射係數通常很大(近乎等於 1)，此時邊界條件可視為全反射之情況。在實際應用上往往受反射係數大小不易決定之影響，因此計算過程中往往先給定固定之反射係數進行模擬，再依據模擬結果針對不同的岸邊構造物結構給予不同的反射係數進行校正。

波高、週期及波向為決定波浪場之三要素，因此模式之波浪模擬條件資料庫亦應包含此三要素。依據 2003 年港灣海地氣象觀測資料年報得知花蓮港波高、週期及波向歷年統計值分別為

- (1) 波高：0.5m 以下佔 7.8%、0.5~1.0m 佔 26.5%、1.0~1.5m 佔 31.4%、1.5~2.0m 佔 20.6%、2.0~3.0m 佔 12.3%、3.0~4.0m 佔 1.2%、4.0~5.0m 佔 1.2%。
- (2) 週期：4.0~5.0sec 佔 0.4%、5.0~6.0sec 佔 19.4%、6.0~7.0sec 佔 47.6%、7.0~8.0sec 佔 25.2%、8.0~9.0sec 佔 5.4%、9.0~10.0sec 佔 1.2%、10.0~12.0sec 佔 0.6%、12.0~15.0sec 佔 0.1%。
- (3) 波向：主要 NNE 佔 5.8%、NE 佔 16.3%、ENE 佔 9.5%、E 佔 18.3%、ESE 佔 24.5%、SE 佔 18.2%、SSE 佔 3.8% 為主。

本計畫依據上述波浪長期觀測資料統計結果規畫出相關波浪模擬條件，其中週期模擬條件為 5.0~15sec 間以 0.5sec 為增量，共 21 組條件；波向選取 NE~SSE 間以 11.25° 為增量共計 11 個波向。在波高模擬條件方面本計畫在不考慮波浪碎波效應之前題下，入射波高計算條件將可簡化為一單量。根據以上波浪條件共可模擬出 231 組花蓮港近域波浪場，並將模擬結果儲存建立花蓮港近域波浪場資料庫。其中每組波浪場資料包含了節點之座標(x, y)及、高放大係數及位相角，以及元素之節點編號資料。

本計畫進一步依據上述波浪模擬條件(波向及週期)建立關聯模式，亦即由外界讀取波浪條件波高週期及波向即可透過關聯模式進行條件比對，並自資料庫中讀取近域波浪場，同時將波浪場資料中振幅放大係數乘以波高值，再將相關資料轉成圖形，如圖 3.4-4～圖 3.4-5 所示。

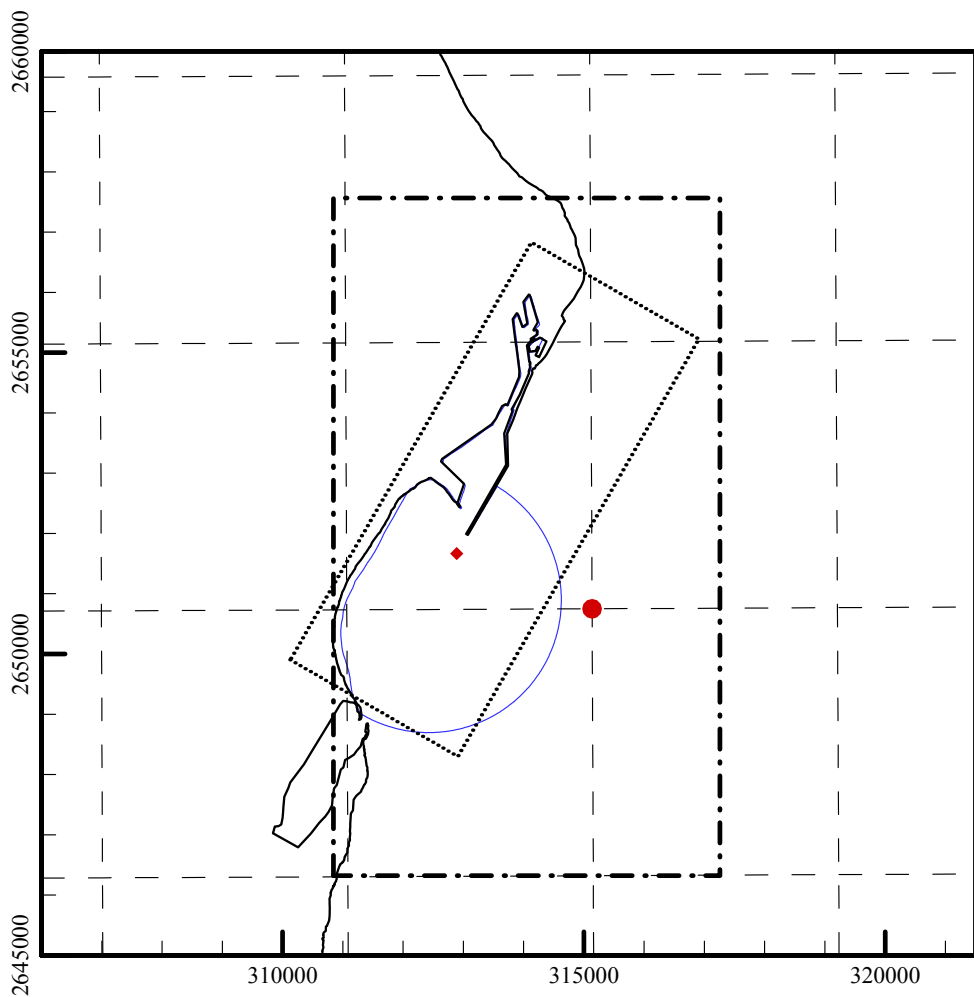


圖3.4-1 花蓮港波浪場相關數值模式模擬範圍示意圖(圖中虛線格網為全域SWAN模式計算網格，粗黑點虛線、點線及藍實線分別為區域模式、EEMSE模式及FEM_EMS模式之計算範圍，圓形代表SWAN模式輸出點位，菱形代表波浪資料觀測位置)

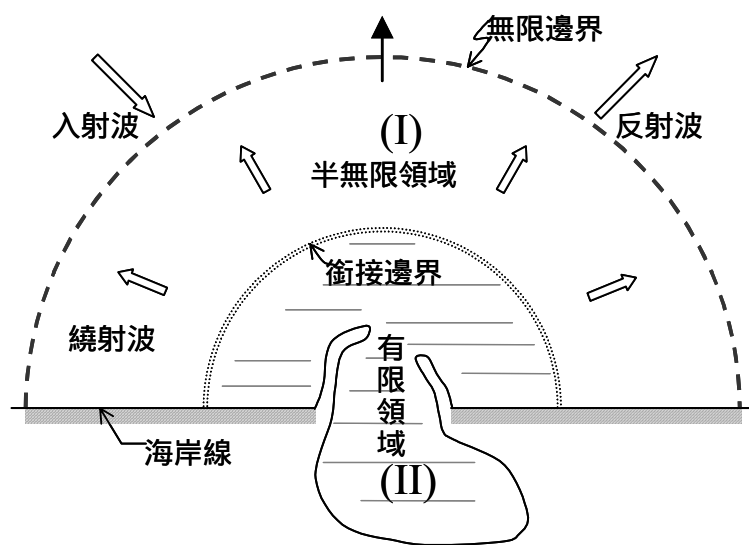


圖3.4-2 任意水深港域波浪場示意圖

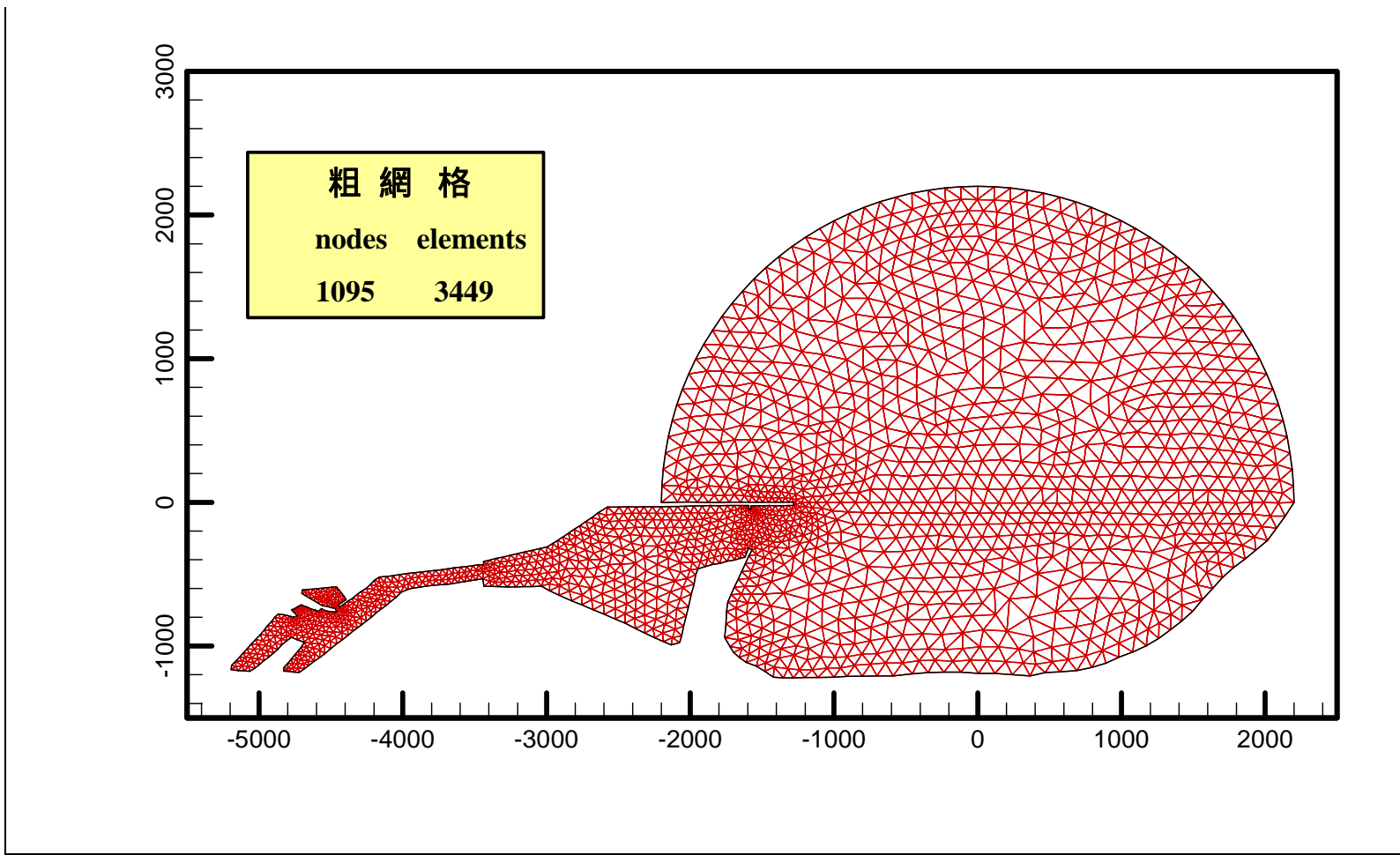


圖3.4-3 花蓮港波浪場三角形有限元素數值計算網格圖

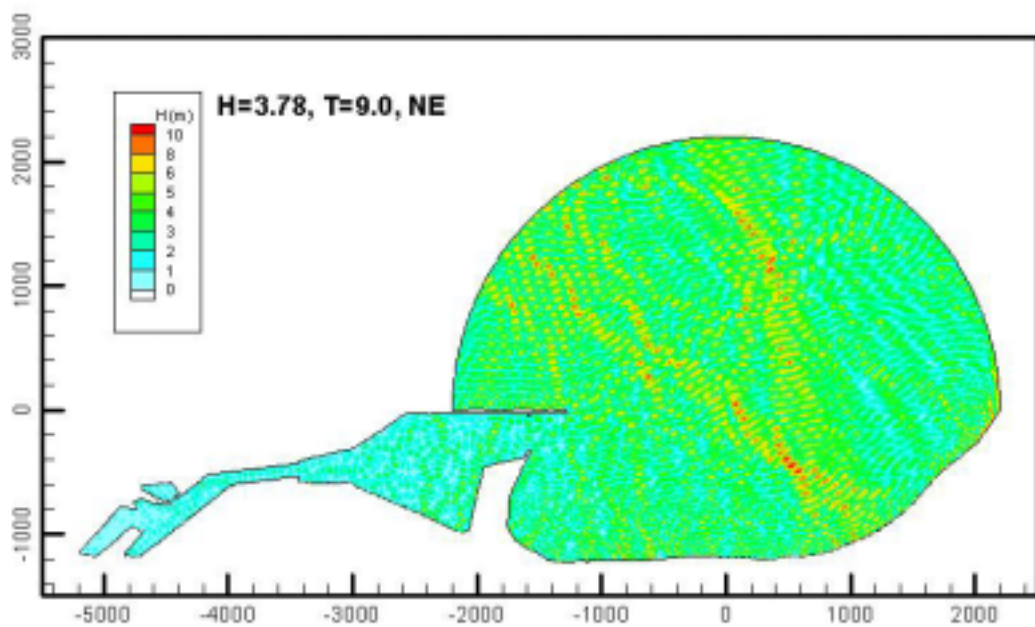


圖3.4-4 花蓮港近域波浪場之波高分布圖

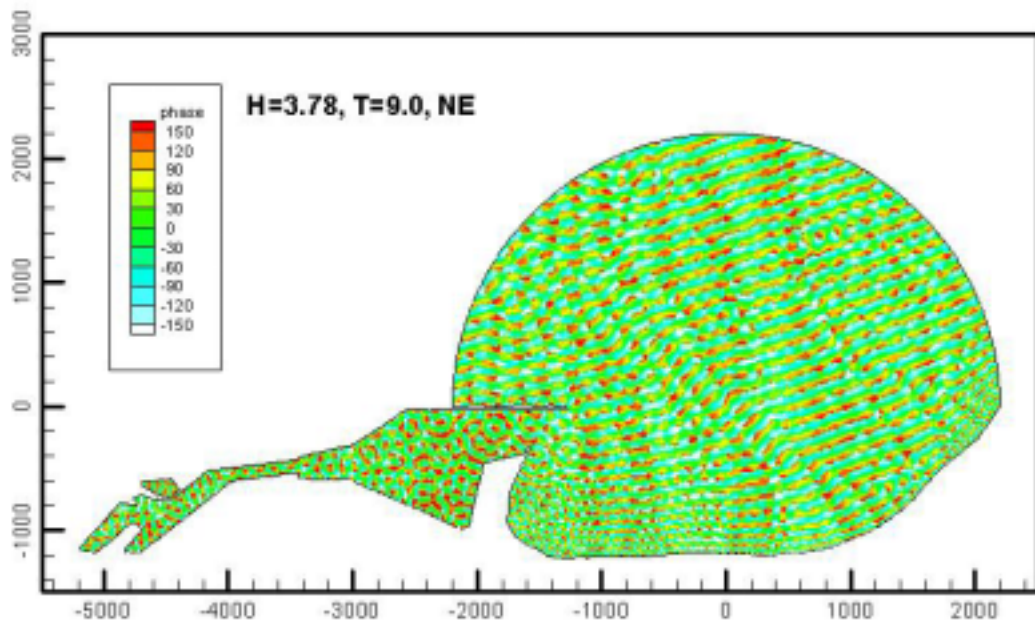


圖3.4-5 花蓮港近域波浪場之相位分布圖

3.5 七大港口最大波浪推算

由於波浪為近岸海域最複雜且影響最大之自然界外力之一，因此任何港灣工程或海洋結構物之規劃設計均有賴長期波浪資料作為規劃

設計或分析之依據。近年來，國內七大港口(基隆港、臺北港、臺中港、安平港、高雄港、花蓮港及蘇澳港等)已陸續建立海上長期海象觀測站，進行波浪、海潮流等海象資料現場即時觀測。惟對於港灣或海岸工程設計而言，上述波浪觀測資料仍屬有限，因此欲瞭解最大可能發生之波浪，仍有賴數值模式推算過去極端波浪如颱風波浪等，作為海岸工程相關設計之依據。

臺灣四周環海，夏秋之際時有颱風侵襲，因此臺灣四周海域之極端波浪實由颱風波浪決定之。梁等(1985)曾針對臺灣四周海岸選取野柳、觀音、臺中、高雄、臺東、花蓮及蘇澳等海岸，以實用法推算歷年(1949~1982 年)侵臺颱風所引起的颱風波浪；並選取波高極端值利用 Gumbel 分佈求取上述海岸 50 年復現期距之最大颱風波高，分別得到野柳 15.23m(本站採用湯麟武法)、觀音 8.44m、臺中 9.37m、高雄 8.72m、臺東 10.42m、花蓮 10.74m 及蘇澳 11.34m(註：極端值樣本數 34)。張及邱(1997)亦曾以統計回歸方法推導出颱風波浪推算公式，並據以推算蘇澳港颱風波浪，配合極值統計分析方法得到蘇澳港 50 年復現期距之颱風波高約為 10.3~11.7m(極端值樣本數 10)。劉等(2000)年曾選取 1971~1998 年間侵臺颱風資料，利用移動風域數值推算法(或稱之湯麟武法)推算臺灣西南海域布袋港等 9 個海岸地區之颱風波浪。

為瞭解國內七大港口可能發生之最大波浪，乃利用本計畫所構建之定點風域推算半經驗颱風波浪模式，推算歷年颱風侵襲時七大港口可能發生最大波浪之波高、週期及波向。各港口推算點位置及推算之吹風距離線如圖 3.5-1 所示，各推算點之經緯度座標及水深如表 3.5-1 所示。

3.5.1 定點風域推算半經驗颱風波浪模式

模式之基本理論及計算原理說明如下：

一、深海波浪

在深海時根據 Wilson(1955)之方法推算深海風浪，即以下列近似公式推算波浪之波高與週期，即

$$\frac{gH}{U^2} = \alpha \tanh \left[k_1 \left(\frac{gF}{U^2} \right)^{1/2} \right] \quad (3.5-1)$$

$$\frac{gT}{2\pi U} = \beta \tanh \left[k_2 \left(\frac{gF}{U^2} \right)^{1/3} \right] \quad (3.5-2)$$

式中 H 為示性波波高，T 為示性波週期，F 為吹風距離；U 為風速，g 為重力加速度； α , β , k_1 及 k_2 為常數值，分別等於 0.26、1.40、0.01 及 0.0436。

二、淺海波浪

當波浪進入淺水區後，依風、浪、水深間之關係為(湯,1968)

$$\frac{gH}{U^2} = \alpha \tanh \left[k_3 \left(\frac{gD}{U^2} \right)^{3/4} \right] \tanh \left\{ \frac{k_1 \left(\frac{gF}{U^2} \right)^{1/2}}{\tanh \left[k_3 \left(\frac{gD}{U^2} \right)^{3/4} \right]} \right\} \quad (3.5-3)$$

$$\frac{gT}{2\pi U} = \beta \tanh \left[k_4 \left(\frac{gD}{U^2} \right)^{3/8} \right] \tanh \left\{ \frac{k_2 \left(\frac{gF}{U^2} \right)^{1/3}}{\tanh \left[k_4 \left(\frac{gD}{U^2} \right)^{3/8} \right]} \right\} \quad (3.5-4)$$

式中 D 表示水深，常數 $k_3=0.578$ ， $k_4=0.520$ 。當 $D \rightarrow \infty$ 時此二式可簡化為(3.5-1)及(3.5-2)式。

三、數值計算法

在深海中若已知某一時間在海面第 n 點($x = x_n$ ， $t = t_n$)之波高 H_n 、週期 T_n 、群速度 G_n 及風速 U_n ，則順風方向 Δx 距離處(即 $x_{n+1} = x_n + \Delta x$ ，如 Δx 甚小時風速及水深可視為常數)之波高 H_{n+1} 及群速度 G_{n+1} 分別為

$$H_{n+1} = H_n + \left(\frac{dH}{dx} \right)_n \Delta x \quad (3.5-5)$$

$$G_{n+1} = G_n + \left(\frac{dG}{dx} \right)_n \Delta x \quad (3.5-6)$$

式中 $(dH/dx)_n$ 及 $(dG/dx)_n$ 可由(3.5-1)及(3.5-2)式得到，即

$$\left(\frac{dH}{dx}\right)_n = \frac{k_1^2}{\alpha} \frac{(\alpha + gH_n/U_n^2)(\alpha - gH_n/U_n^2)}{\ln(\alpha + gH_n/U_n^2) - \ln(\alpha - gH_n/U_n^2)} \quad (3.5-7)$$

$$\left(\frac{dG}{dx}\right)_n = \frac{8k_2^3 g}{3\beta U_n} \frac{(\beta/2 + G_n/U_n)(\beta/2 - G_n/U_n)}{[\ln(\beta/2 + G_n/U_n) - \ln(\beta/2 - G_n/U_n)]} \quad (3.5-8)$$

當風浪進入淺海區後，波高仍可依(3.5-5)式計算之，其中 $(dH/dx)_n$ 可由(3.5-3)式求得如下：

$$\left(\frac{dH}{dx}\right)_n = \frac{k_1^2}{\alpha} \frac{(\alpha\mu_n + gH_n/U_n^2)(\alpha\mu_n - gH_n/U_n^2)}{(\alpha\mu_n)^3 [\ln(\alpha\mu_n + gH_n/U_n^2) - \ln(\alpha\mu_n - gH_n/U_n^2)]} \quad (3.5-9)$$

式中 $\mu_n = \tanh[k_3(gD_n/U_n^{3/4})]$ 。

唯在淺海中之群速度與在深海中不同，無法直接計算 G 或 T ，故需藉由下列關係式求得。

$$\frac{G}{U} = \frac{1}{2} \left[1 + \frac{2kD}{\sinh(2kD)} \right] \frac{gT}{2\pi U} \tanh(kD) \quad (3.5-10)$$

式中 k 為週波數($k = 2\pi/L$ ， L 為水深 D 處之波長)。由於(3.5-10)式為非線性方程式，無法直接求得 G 值，必須將 G 改為 $f(x, U, d)$ 之形式，始可進行計算。令

$$S = \frac{2\pi D}{L_0} \quad ; \quad y = \frac{2\pi D}{L}$$

其中 L_0 為深海處之波長($= gT^2/2\pi$)，則 S 可改寫

$$S = \frac{4\pi^2 D}{gT^2} = \frac{gD/U^2}{(gT/2\pi U)^2} \quad (3.5-11)$$

由(3.5-11)式可得到下列關係式

$$\frac{gT}{2\pi U} = \left(\frac{gD/U^2}{S} \right)^{1/2} \quad (3.5-12)$$

同樣地由波浪之延散關係式知

$$S = \frac{2\pi D}{L} \tanh\left(\frac{2\pi D}{L}\right) = y \tanh(y) \quad (3.5-13)$$

將(3.5-12)及(3.5-13)式代入(3.5-10)式得到

$$\frac{G}{U} \frac{1}{(gD/U^2)^{1/2}} = \frac{1}{2yS^{1/2}} (S - S^2 + y^2) \quad (3.5-14)$$

上式等號右手邊可以表示為 S 之函數，等號左手邊可改寫為

$$Z = \frac{G/U}{(gD/U^2)^{1/2}} = \frac{G}{\sqrt{gD}} = f(S) \quad (3.5-15)$$

其中 G/\sqrt{gD} 為群速度與長波波速之比，因此 Z 又稱為無因次群速度。當波浪為深水波時， $S \geq \pi$ ， $S = y$ ，則 $Z = \sqrt{S}/2$ ；水深甚淺時， $\tanh(y) \approx y$ ， $S = y^2$ ，則 $Z = 1 - S/2 \approx 1$ 。當波浪為長波時 $G = \sqrt{gD}$ ， $Z = 1$ ，故 Z 可用於表示波浪特性。當水深 $D = L_0/2$ 時，則 $S = \pi$ 為深水波與淺水波之界限，此時 $Z = 1/(2\sqrt{\pi}) = 0.2821$ 。即

$Z < 0.2821$	波浪為深水波
$0.2821 \leq Z < 1$	波浪為淺水波
$Z = 1$	波浪為淺灘波

在 $0 < S < \pi$ 之區間內(即淺海波浪狀況下)，由於(3.5-15)式無法用理論求解，因此 Z 與 S 間之關係可以多項式型式表示其近似式為：

$$Z = 1 - a_1 S - a_2 S^2 - \dots - a_6 S^6 \quad (3.5-16)$$

式中常數 $a_1 = 0.4536$ 、 $a_2 = 0.0931$ 、 $a_3 = -0.2745$ 、 $a_4 = 0.17033$ 、 $a_5 = -0.0476$ 及 $a_6 = 0.005067$ 。

同理， S 亦可表示為 Z 之函數，其近似式為：

$$S = b_1(1-Z) + b_2(1-Z)^2 + \dots + b_7(1-Z)^7 \quad (3.5-17)$$

其中 $b_1 = 2.464857$ 、 $b_2 = -7.35305$ 、 $b_3 = 52.74583$ 、 $b_4 = -162.2$ 、 $b_5 = 275.83$ 、 $b_6 = -247.2$ 及 $b_7 = 101.190476$ 。

如已知 S 即可求出 Z ，則波浪之群速度 $G = Z\sqrt{gD}$ ，故欲求淺水波之週期及群速度時須先求出 S 。因此在淺水波之計算中，已知第 n 點之波高 H_n 及群速度 G_n ，可先求出第 n 點在風域圖上之位置 x_n 、 t_n 處之風速 U_n 及水深 D_n ，再進一步計算第 $n+1$ 點之波浪特性如下：

波高之計算如前述，以(3.5-5)及(3.5-9)式計算之，即

$$H_{n+1} = H_n + \left(\frac{dH}{dx} \right)_n \Delta x$$

$$\left(\frac{dH}{dx} \right)_n = \frac{k_1^2}{\alpha} \frac{(\alpha\mu_n + gH_n/U_n^2)(\alpha\mu_n - gH_n/U_n^2)}{(\alpha\mu_n)^3 [\ln(\alpha\mu_n + gH_n/U_n^2) - \ln(\alpha\mu_n - gH_n/U_n^2)]}$$

式中 $\mu_n = \tanh[k_3(gD_n/U_n^2)^{3/4}]$ 。

已知 G_n 、 D_n 可計算 $Z_n = G_n/\sqrt{gD_n}$ ，由(3.3-16)式計算出 S_n 後利用積分觀念求 S_{n+1} ：

$$S_{n+1} = S_n + \left(\frac{dS}{dx} \right)_n \Delta x \quad (3.5-18)$$

將(3.5-4)式代入(3.5-11)式得到

$$S = \left(\frac{gD}{U^2} \right) \left\{ \beta \tanh[k_4(gD/U^2)^{3/8}] \tanh \left\{ \frac{k_2(gF/U^2)^{1/3}}{\tanh[k_4(gD/U^2)^{3/8}]} \right\} \right\}^{-2} \quad (3.5-19)$$

則

$$\left(\frac{dS}{dx} \right)_n = -\frac{8k_2^3}{3\beta} \frac{g}{U_n^2} \frac{S_n}{(\nu_n)^4 [(1/S_n)(gD_n/U_n^2)]^{1/2}} \times \quad (3.5-20)$$

$$\frac{\left| \beta\nu_n + (1/S)^{1/2}(gD_n/U_n^2)^{1/2} \right| \left| \beta\nu_n - (1/S_n)^{1/2}(gD_n/U_n^2)^{1/2} \right|}{\left\{ \ln \left[\beta\nu + (1/S_n)^{1/2}(gD_n/U_n^2)^{1/2} \right] - \ln \left[\beta\nu - (1/S_n)^{1/2}(gD_n/U_n^2)^{1/2} \right] \right\}^2}$$

式中 $\nu_n = \tanh[k_4(gD_n/U_n^2)^{3/8}]$ 。

當 S_{n+1} 求出後，再由(3.5-16)式計算 Z_{n+1} 。因在 Δx 區域內水深均假設為 D_n ，故當波浪接近 $n+1$ 點時，波浪之群速度及週期分別為

$$G_{n+1} = Z_{n+1} \sqrt{gD_n} \quad (3.5-21)$$

$$T_{n+1} = 2\pi \sqrt{(D_n/gS_{n+1})} \quad (3.5-22)$$

於上述計算中要決定 Δx 及 Δt 之前，需先決定 Δx 及 Δt 之最大值，即在 $(\Delta x)_{\max}$ 之區間內，海面風速可作為常數，在 $(\Delta t)_{\max}$ 之時間內可視為沒有變化。如以颱風為例超過 20 分鐘以上風速風向必有變化，故 $(\Delta t)_{\max}$ 決不能超過 20min(即 1200sec)；而海面在 5km 之範圍內，如不考慮水深之影響，風速可視為常數，因此 $(\Delta x)_{\max}$ 應為 5km 以下。已知 G_n 時， Δx 及 Δt 可由以下決定：

$$G_n \geq \frac{(\Delta x)_{\max}}{(\Delta t)_{\max}} \text{ 時} , \quad \Delta x = (\Delta x)_{\max} , \quad \Delta t = \frac{(\Delta x)_{\max}}{G_n} \quad (3.5-23a)$$

$$G_n < \frac{(\Delta x)_{\max}}{(\Delta t)_{\max}} \text{ 時} , \quad \Delta x = G_n (\Delta t)_{\max} , \quad \Delta t = (\Delta t)_{\max} \quad (3.5-23b)$$

由於 Δx 之區間內水深須視作常數而計算，故如海底比降較陡時， $(\Delta x)_{\max}$ 須甚小，例如海底比降為 $s=1/100$ 時， $(\Delta x)_{\max}$ 如定為 1000m 則 D_n 與 D_{n+1} 即須相差 10m 之多，故必要時 $(\Delta x)_{\max}$ 須小至 100m 左右，此時 $(\Delta t)_{\max}$ 亦應相對減少。

當 $n+1$ 點之波浪求出後，可用同樣方法求出 $n+2$ 點之波浪，因自該點起之 Δx 區間內，均以水深 D_{n+1} 計算，故之前所求之 S_{n+1} 及 Z_{n+1} 均不適用，須重新以 $G_{n+1}/\sqrt{gD_{n+1}}$ 作為 Z_{n+1} ，再計算 S_{n+1} 。

四、湧浪及風浪之發達與減衰之辨別

波浪變成湧浪狀態時之辨別條件，在深海中為

$$\alpha \leq \frac{gH_n}{U_n^2} \quad (3.5-24)$$

或

$$\frac{\beta}{2} \leq \frac{G_n}{U_n} \quad (3.5-25)$$

在淺海中

$$\alpha \tanh \left[k_3 \left(gD_n / U_n^2 \right)^{3/4} \right] \leq \frac{gH_n}{U_n^2} \quad (3.5-26)$$

或

$$\beta \tanh \left[k_4 \left(gD_n / U_n^2 \right)^{3/8} \right] \leq \sqrt{\frac{1}{S_n} \frac{gD_n}{U_n^2}} \quad (3.5-27)$$

如在計算過程中遇到上述兩種情況時(即波浪已變為湧浪)，須改由下列公式計算其波高及週期：

$$\frac{H_{n+1}}{H_F} = \cosh^{-1} \left\{ 0.66 \left(\frac{F}{H_F} \right)^{0.05} \left(\frac{A_n + \Delta x}{F} \right)^{0.25} \tanh \left[3.0 \left(\frac{A_n + \Delta x}{F} \right)^{0.30} \right] \right\} \quad (3.5-28)$$

$$\frac{T_{n+1}}{T_F} = \cosh^{-1} \left\{ 1.74 \left(\frac{2\pi F}{gT_F^2} \right)^{-0.05} \left(\frac{A_n + \Delta x}{F} \right)^{0.20} \tanh \left[1.02 \left(\frac{2\pi F}{gT_F^2} \right)^{-0.04} \left(\frac{A_n + \Delta x}{F} \right)^{0.32} \right] \right\} \quad (3.5-29)$$

式中 H_F 與 T_F 分別為甫脫出風域時之波高及週期， F 為風域長度， $A_n + \Delta x$ 表示第 $n+1$ 點在脫離風域後之距離。

如在淺水區內則須考慮因底床摩擦引起之能量消散，可採用 Bretschneider 及 Reid(1954)之方法計算損失之波高 $(\Delta H)_f$ 如下：

$$H_{n+1} = \cosh^{-1} \left\{ 0.66 \left(\frac{F}{H_F} \right)^{0.05} \left(\frac{A_n + \Delta x}{F} \right)^{0.25} \tanh \left[3.0 \left(\frac{A_n + \Delta x}{F} \right)^{0.30} \right] \right\} H_F - \left[1 - \frac{1}{fH_n \Delta x \Phi + 1} \right] H_n \quad (3.5-30)$$

其中

$$\Phi = \frac{16\pi^2}{3g} \frac{1}{G_n T_n} \left\{ \sinh \left[Z_n \sqrt{S_n} + \sqrt{(Z_n^2 - 1)S_n + S_n^2} \right] \right\}^{-3} \quad (3.5-31)$$

(3.5-30)式之常數 f 為底床摩擦係數，通常可採用 Bretschneider 所假設之值 $f = 0.01$ 。

此外，如果波浪狀況屬於下列條件：

$$\alpha \tanh \left[k_3 \left(gD_n / U_n^2 \right)^{3/4} \right] \leq \frac{gH_n}{U_n^2} < \alpha \quad (3.5-32)$$

時，表示波浪屬於衰減風浪，此時波高之計算須修正為

$$H_{n+1} = \cosh^{-1} \left\{ 0.66 \left(\frac{F}{H_F} \right)^{0.05} \left(\frac{A_n + \Delta x}{F} \right)^{0.25} \tanh \left[3.0 \left(\frac{A_n + \Delta x}{F} \right)^{0.30} \right] \right\} H_n + \frac{k_1^2 \Delta x (\alpha + gH_n / U_n^2)(\alpha - gH_n / U_n^2)}{\alpha [\ln(\alpha + gH_n / U_n^2) - \ln(\alpha - gH_n / U_n^2)]} - \left[1 - \frac{1}{fH_n \Delta x \Phi + 1} \right] H_n \quad (3.5-33)$$

五、吹風距離線上之風速決定

已知計算颱風之中心氣壓 P_c (單位為 mb)、進行路徑(方向)及移動速度 V_F 時，求各吹風距離線上之風速之具體步驟如下：

1. 模型颱風之壓力分佈公式：

$$P = P_c + \Delta P \exp(-R_0/R) \quad (3.5-34)$$

- 其中 P_c 為颱風中心氣壓(單位為 mb)， ΔP 等於 $1013 - P_c$ ， R_0 為最大風速處距離中心之距離(km)， R 為距離颱風中心之距離， R_0 根據公式(3-7-4)計算之。

2. 傾度風計算公式如下：

$$V_g = \left[\frac{\Delta P}{\rho_a} \frac{R_0}{R} \exp(-R_0/R) + R^2 \Omega^2 \sin^2 \phi \right]^{1/2} - R \Omega \sin \phi \quad (3.5-35)$$

- 式中 V_g 為傾度風之風速(m/sec)， Ω 為地球自轉角速率(sec^{-1})， ϕ 為颱風所經過之緯度平均值， ρ_a 為空氣密度(kg/m^3)， R 為與颱風中心之距離(km)。

3. 以計算點為原點，吹風距離線為 x 軸，與之垂直之線為 y 軸，決定 $t=0$ 時刻之颱風中心位置為 (x_c, y_c) ，則任何時間、地點之吹風距離線上風速均可由下列公式求出為：

$$U(x, t) = C_{W1} \left\{ -\frac{1}{R} [\sin(\alpha)(x - V_x t - x_c) + \cos(\alpha)(-V_y t - y_c)] + \frac{C_{W2} V_x}{(V_g)_{\max}} \right\} V_g \quad (3.5-36)$$

● 其中

$$R = [(x - V_x t - x_c)^2 + (-V_y t - y_c)^2]^{1/2} \quad (3.5-37)$$

● 式中 V_x 及 V_y 各為颱風移動速度在 x 與 y 軸之分量， $(V_g)_{\max}$ 為 $R = R_0$ 時最大傾度風速； α 在北緯 25° 以南為 35° ，在北緯 25° 以北為 30° ； C_{W1} 及 C_{W2} 為颱風風場參數。

六、計算起點之決定

由於此計算方法不用風域圖，故必須以計算方法求出波浪前進線之起始點。如假設以吹風距離線上 $U = U_0$ 處為波浪計算之起始點，則此點對應之位置 x_0 及時間 t_0 可由下列方程式求出：

$$U_0 = C_{W1} \left\{ -\frac{1}{R} [\sin(\alpha)(x_0 - V_x t_0 - x_c) + \cos(\alpha)(-V_y t_0 - y_c)] + \frac{C_{W2} V_x}{(V_g)_{\max}} \right\} V_g \quad (3.5-38)$$

$$R = [(x_0 - V_x t_0 - x_c)^2 + (-V_y t_0 - y_c)^2]^{1/2} \quad (3.5-39)$$

由於上列方程式無法經由解析的方求解，故須採用近似解法。令

$$\Theta = \sin(\alpha)(x_0 - V_x t_0 - x_c) + \cos(\alpha)(-V_y t_0 - y_c) ,$$

則(3.5-38)式可簡化為

$$U_0 = -C_{W1} \left\{ \frac{\Theta}{R} - \frac{C_{W2} V_x}{(V_g)_{\max}} \right\} V_g \quad (3.5-40)$$

式中 V_g 僅為距離 R 之函數，因此上式可以表示成 $F(R, \Theta)=0$ 之函數型式。代入數值後計算 Θ 。由計算結果得知在 $R=100km \sim 500km$ 之範圍內， Θ 與 R^2 之關係可用二次曲線表示之，即

$$\Theta^2 + c_1\Theta + c_2R^2 + c_3 = 0 \quad (3.5-41)$$

其中 Θ^2 、 R^2 為 x_0 與 t_0 之二次函數， Θ 為 x_0 與 t_0 之一次函數，則 (3.5-41) 式為 x_0 與 t_0 之二次方程式，其解為

$$x_0 = c_6t_0 + c_7 \pm \sqrt{c_8t_0^2 + c_9t_0 + c_{10}} \quad (3.5-42)$$

因此已知 t_0 即可求出 x_0 ，每一吹風距離線必須求一次，若路徑有變動時亦須另求一次。

基本上，移動風域數值推算法屬於一種定點線風域(line fetch)波浪推算模式，模式所考慮的颱風移動路徑亦為直線；因此採用此模式推算颱風波浪時，模式所需輸入的颱風資料包括颱風位置(經、緯度)、颱風中心氣壓(P_c)、颱風移動速度(V_F)與行徑方向(θ_F)等(如表 3-3.1 所列)。此外，模式必須給定推算點位置(經、緯度)與自推算點延伸出去之吹風距離線及其相關水深資料、最大吹風距離長度等。

3.5.2 歷年颱風波浪推算結果

由於颱風所引起之波浪常因颱風強度與路徑之不同而有明顯的差異，故本計畫整理歷年(1971~2000)侵臺颱風路徑，並選取通過($117^\circ, 20^\circ$)~($123^\circ, 26^\circ$)範圍內之侵臺颱風共 101 個颱風，如圖 3.5-2 所示，藉以推算七大港口可能發生之最大颱風波浪。

基本上，本計畫定點風域推算半經驗颱風波浪模式所考慮的颱風移動路徑為一直線移動之風域，因此模式在推算颱風波浪時需事先決定颱風位置(經、緯度)、颱風中心氣壓(P_c)、颱風移動速度(V_F)與行徑方向(θ_F)等資料，颱風相關資料之決定說明如下：

- (1) 颱風位置之決定：根據中央氣象局所發布之颱風警報資料，參考颱風之行進路徑選取接近本計畫計算範圍($117^\circ, 20^\circ$)~($123^\circ, 26^\circ$)之颱風中心位置及時間為模式之輸入條件；
- (2) 颱風移動方向之決定：根據中央氣象局所發布之颱風警報資料，分別選取颱風登陸前後或接近臺灣之颱風中心位置，計算颱風移動方向及移動速度；

(3)颱風中心氣壓之決定：由颱風警報資料中選取最低中心低氣壓及颱風登陸前或接近臺灣時之中心氣壓計算其平均值，為模式之颱風中心氣壓；

(4)颱風波浪推算起始點之風速 U_0 設定為 8.0m/sec。

此外，對於特殊或複雜之颱風行進路徑者如 1977 年 AMY、THELMA、1986 年 WAYNE、1996 年 GIORIA 等另行計算之。

各港口(花蓮港、蘇澳港、基隆港、臺北港、臺中港、安平港及高雄港歷年(1971~2000)颱風波浪推算結果整理如表 3.5.2 至表 3.5.8 所列，計算結果顯示各港口最大可能颱風波浪分別為：花蓮港 11.9 公尺(NINA, 1975)、蘇澳港 10.9 公尺(HERB, 1996)、基隆港 10.4 公尺(HERB, 1996)、臺北港 6.6 公尺(TED, 1991)、臺中港 5.5 公尺(NINA, 1975 及 HERB, 1996)、安平港 5.4 公尺(THELMA, 1977)及高雄港 7.3 公尺(WILDA, 1973)。

為進一步瞭解各港口颱風波浪推算結果之特性，本計畫選取梁等(1985)推算花蓮港、蘇澳港、臺中港及高雄港四港口颱風波浪之結果進行比較，如表 3-7.9 所示。顯示本計畫部份颱風波浪推算結果與梁等推算結果差異頗大，探就其原因可能為本計畫推算結果受到颱風行進路徑與推算點間相對位置關係影響較大，故非所有強烈颱風均會對各港口產生較大的颱風波浪。此外，對於西部港口而言，由於受到臺灣海峽之影響各波向線上之吹風距離明顯受到限制，故本計畫模式所推算之颱風波浪大都呈現週期較短之風浪，故波高值明顯地較梁等(1985)計算結果為低。

表 3.5-1 七大港口颱風波浪推算點位置及水深表

港口名稱	波浪推算點位置 (經度, 緯度)		波浪推算點水深 (m)
花蓮港	121.614	24.056	37
蘇澳港	121.872	24.579	37
基隆港	121.756	25.187	40
臺北港	121.354	25.181	20
臺中港	120.416	24.245	20
安平港	120.108	22.956	20
高雄港	120.283	22.548	20

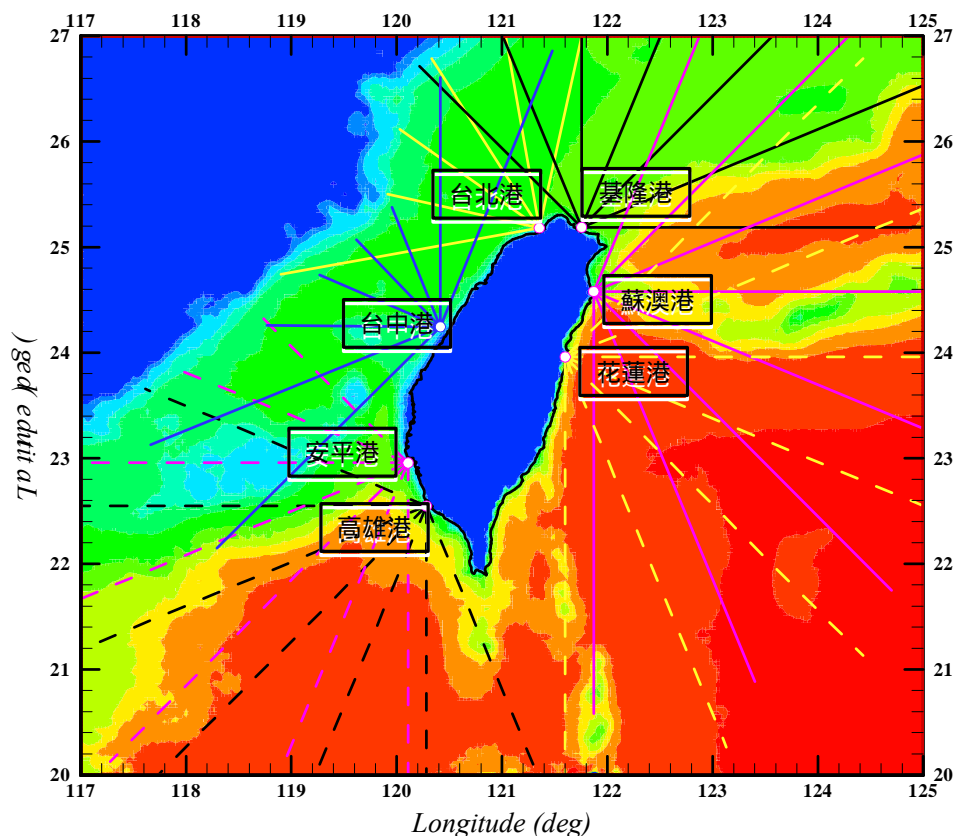


圖3.5-1 各港口推算點位置及吹風距離線示意圖

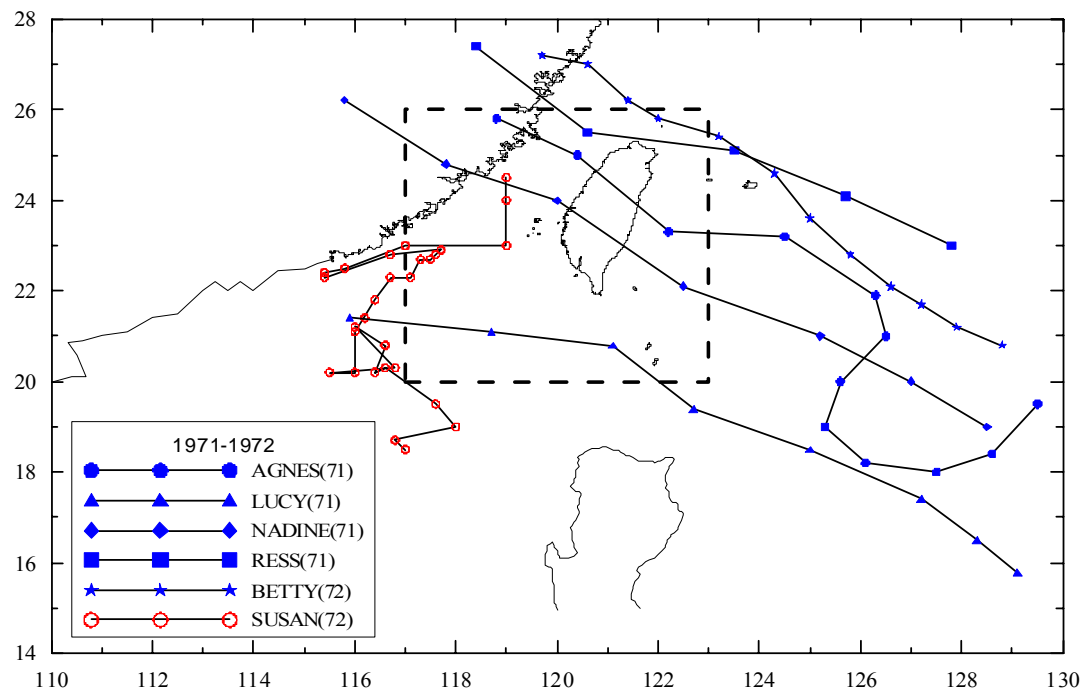


圖 3.5-2 歷年侵臺颱風路徑圖 (1971-1972 年)

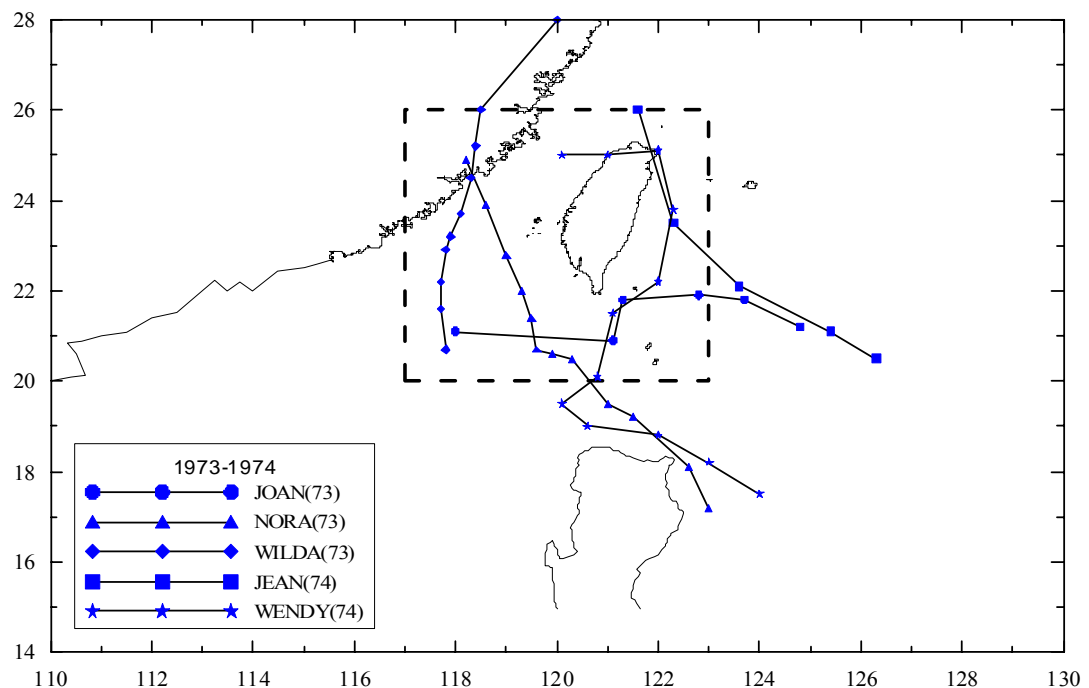


圖 3.5-2 (續 1) 歷年侵臺颱風路徑圖 (1973-1974 年)

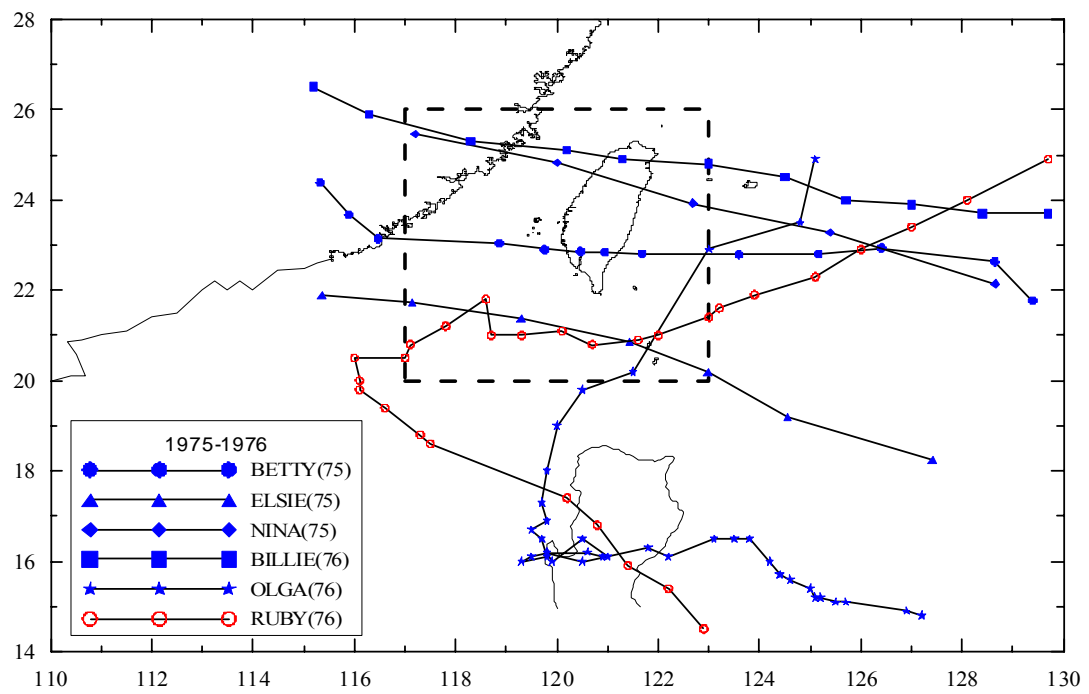


圖 3.5-2 (續 2)歷年侵臺颱風路徑圖 (1975-1976 年)

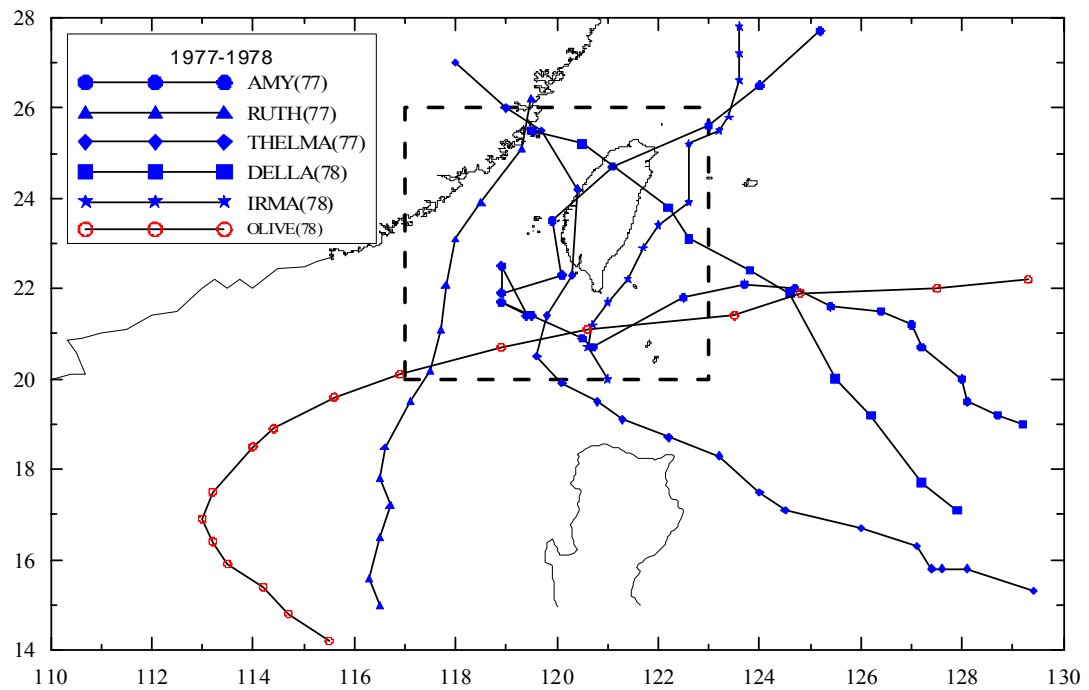


圖 3.5-2 (續 3)歷年侵臺颱風路徑圖 (1977-1978 年)

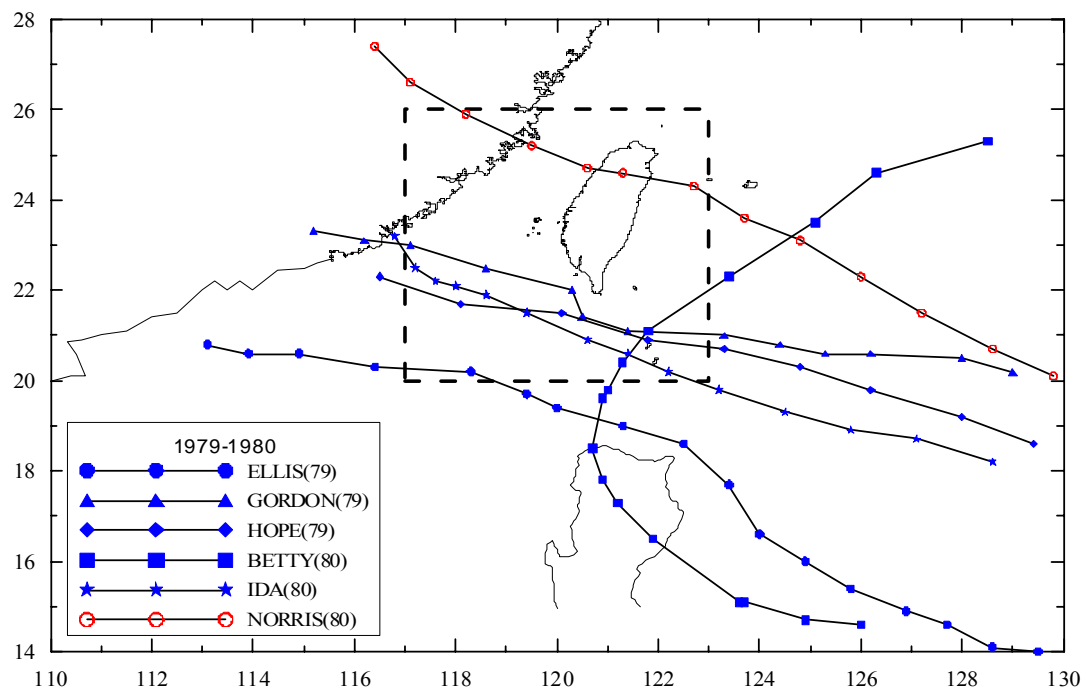


圖 3.5-2 (續 4)歷年侵臺颱風路徑圖 (1979-1980 年)

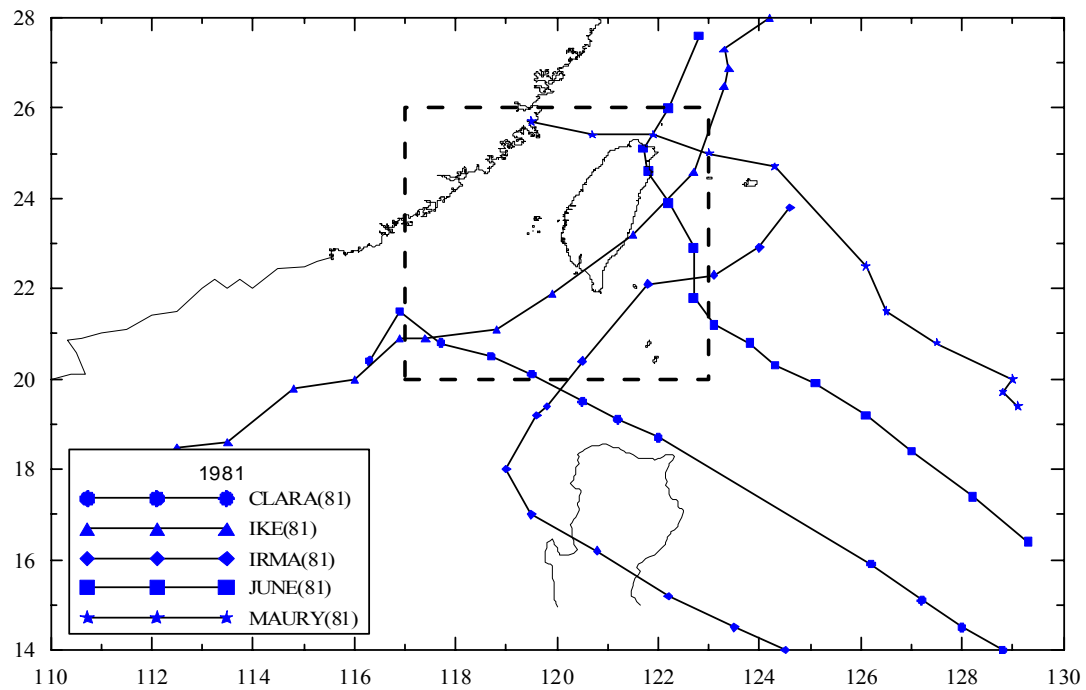


圖 3.5-2 (續 5)歷年侵臺颱風路徑圖 (1981 年)

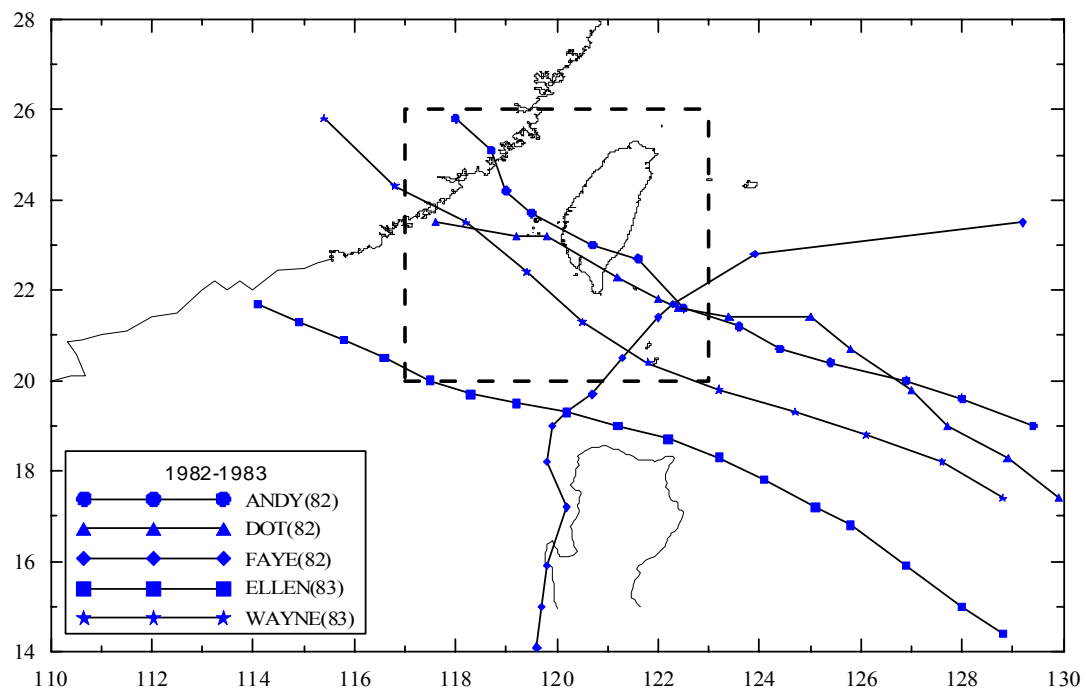


圖 3.5-2 (續 6)歷年侵臺颱風路徑圖 (1982-1983 年)

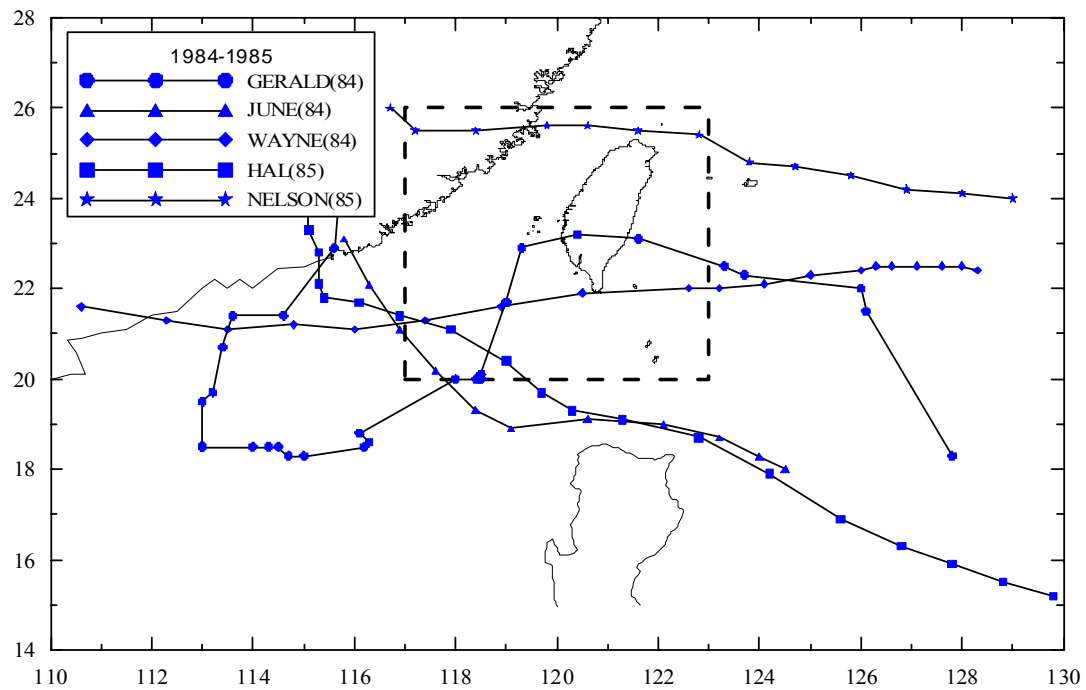


圖 3.5-2 (續 7)歷年侵臺颱風路徑圖 (1984-1985 年)

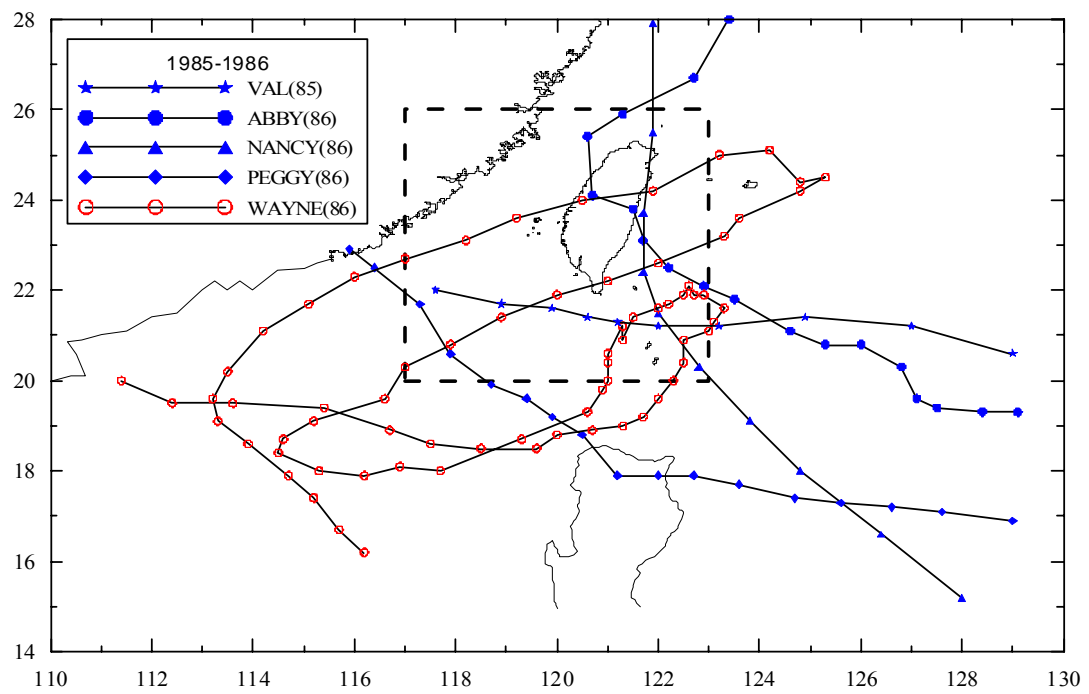


圖 3.5-2 (續 8)歷年侵臺颱風路徑圖 (1985-1986 年)

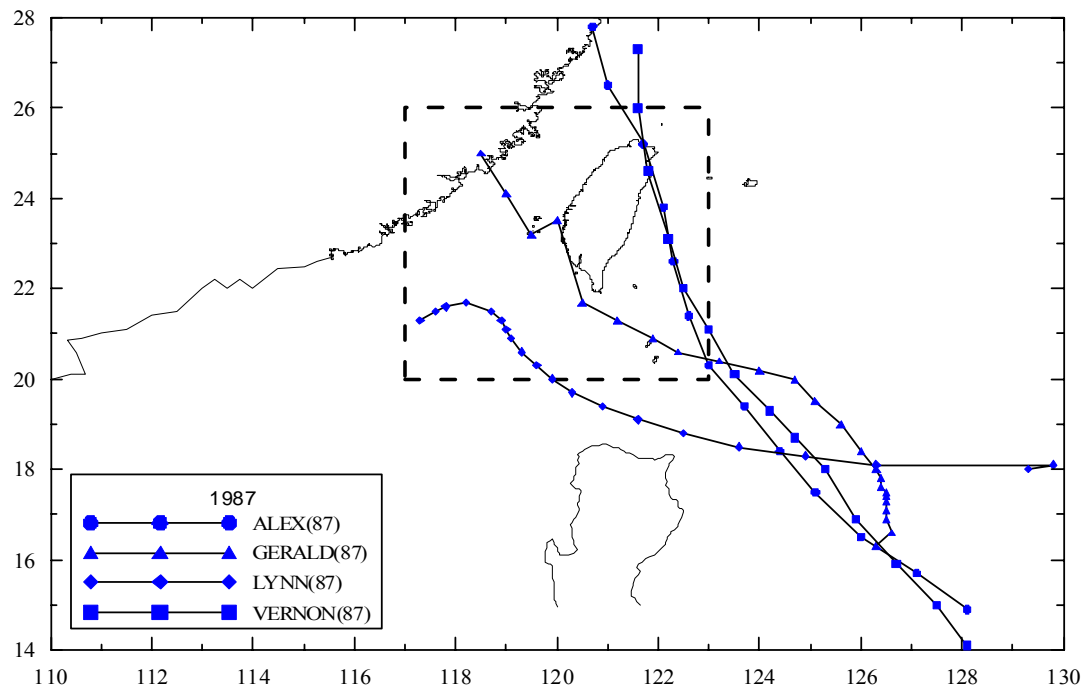


圖 3.5-2 (續 9)歷年侵臺颱風路徑圖 (1987 年)

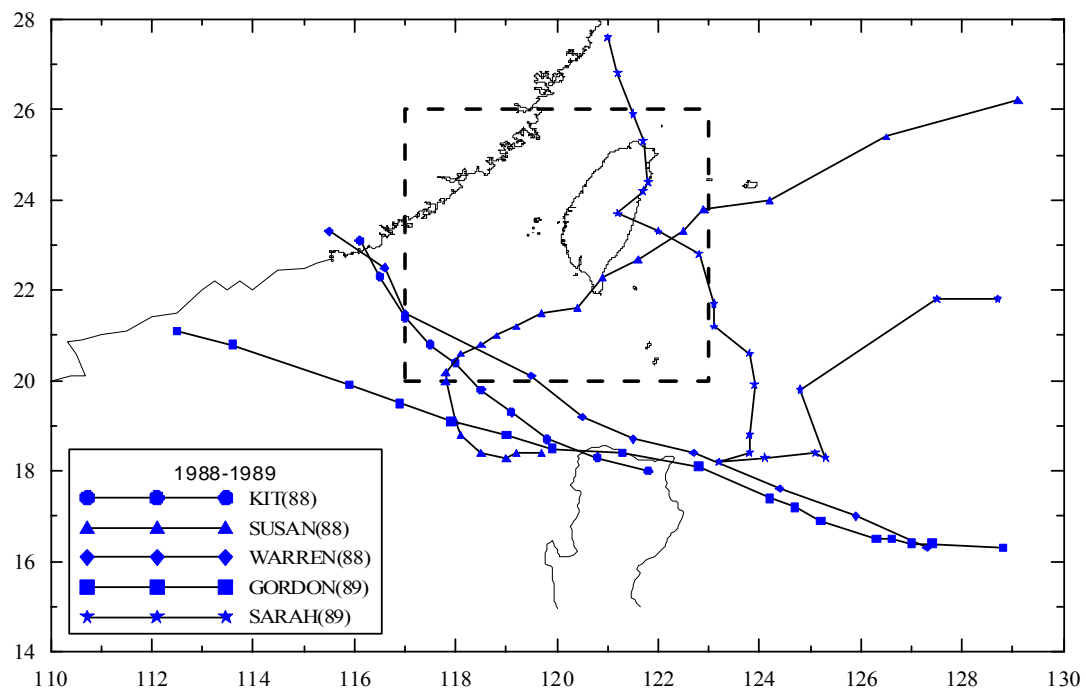


圖 3.5-2 (續 10)歷年侵臺颱風路徑圖 (1988-1989 年)

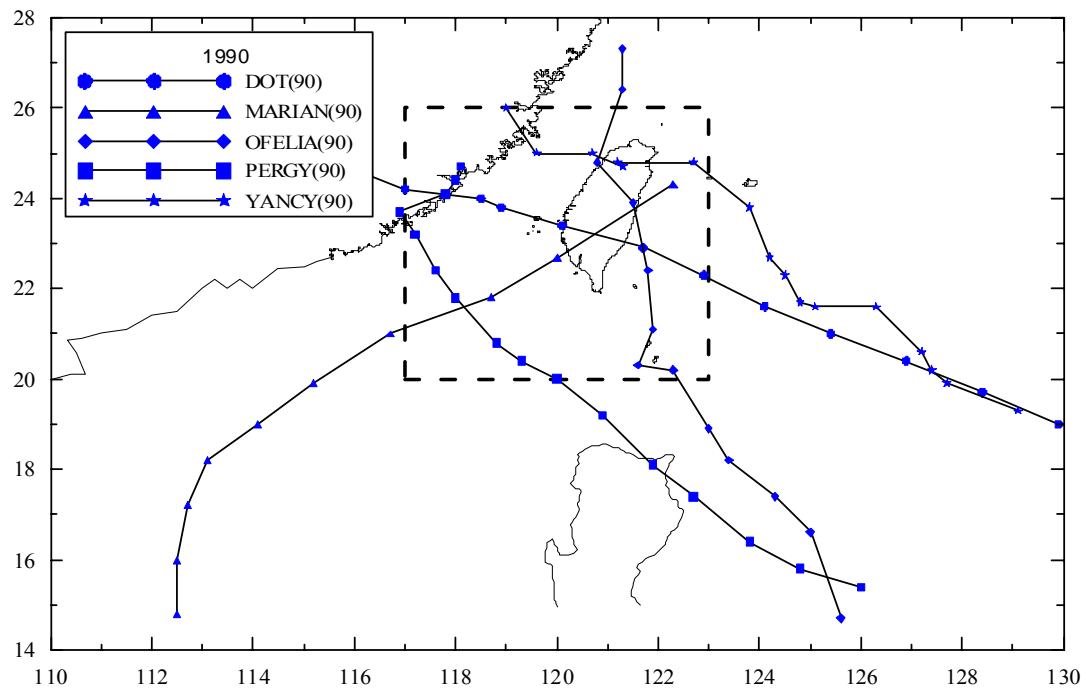


圖 3.5-2 (續 11)歷年侵臺颱風路徑圖 (1990 年)

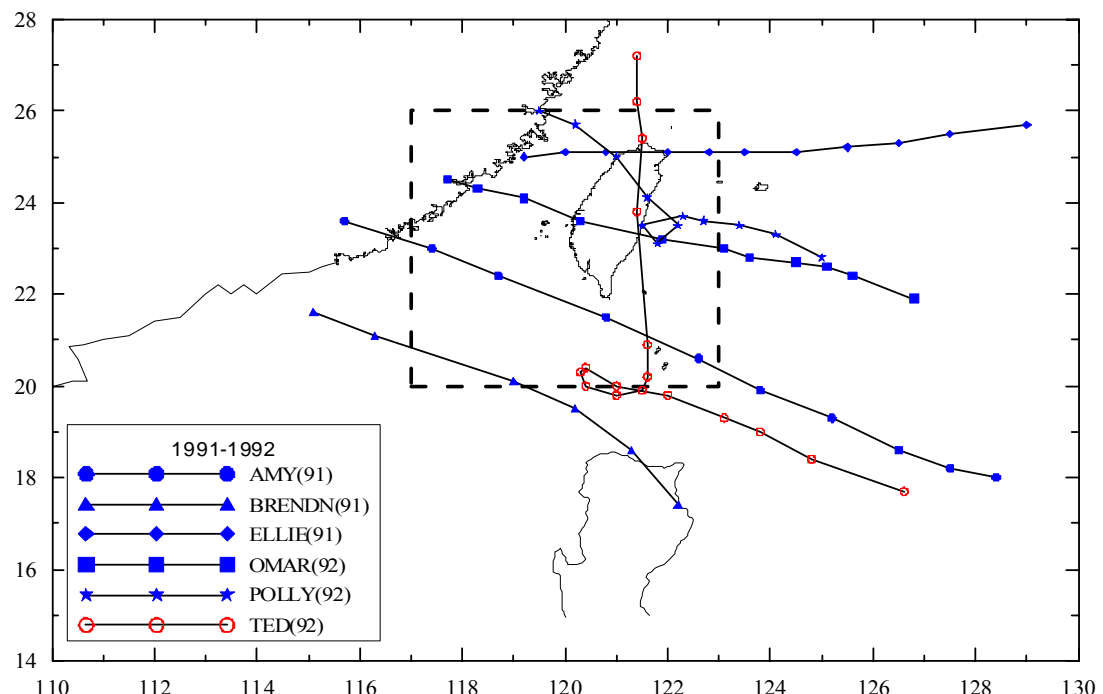


圖 3.5-2 (續 12)歷年侵臺颱風路徑圖 (1991-1992 年)

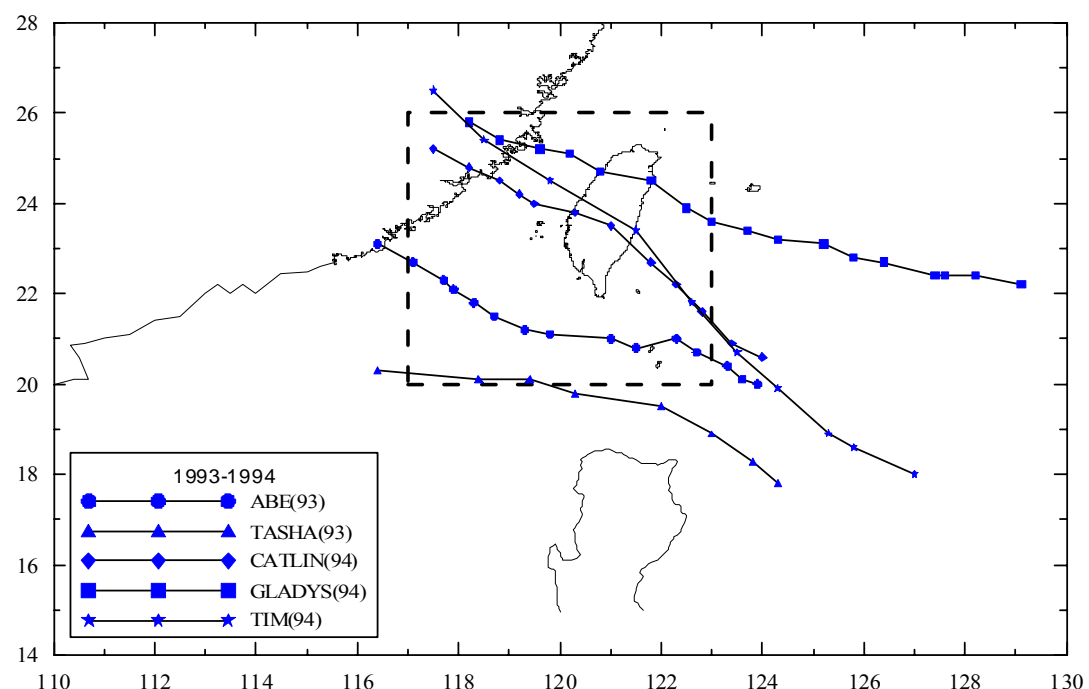


圖 3.5-2 (續 13)歷年侵臺颱風路徑圖 (1993-1994 年)

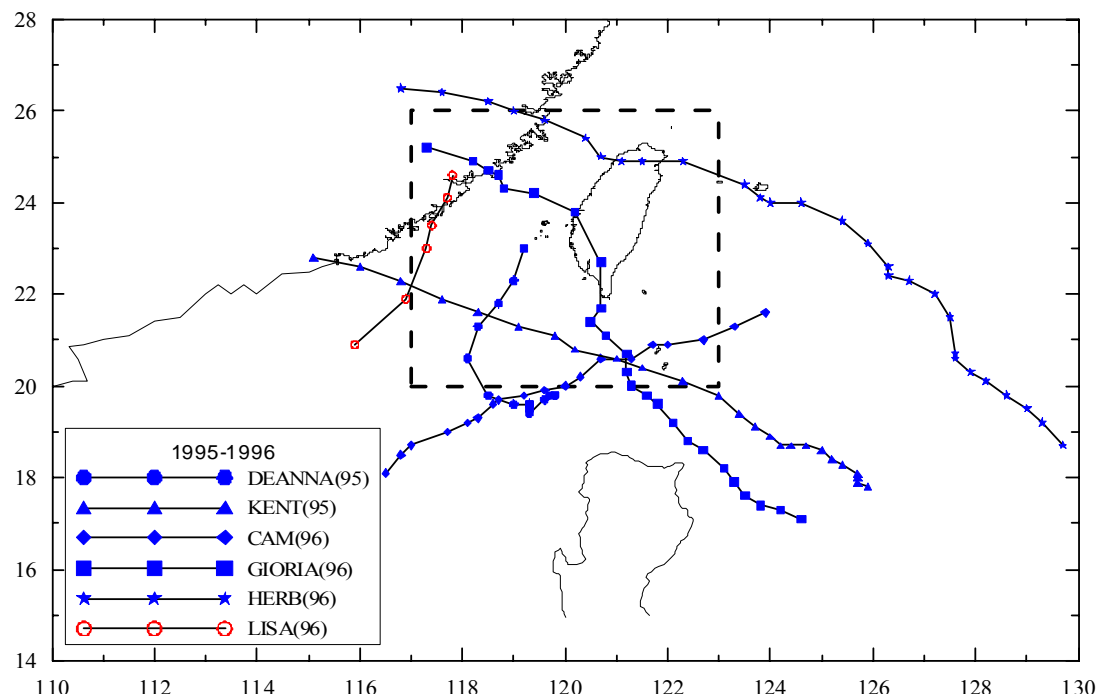


圖 3.5-2 (續 14)歷年侵臺颱風路徑圖 (1995-1996 年)

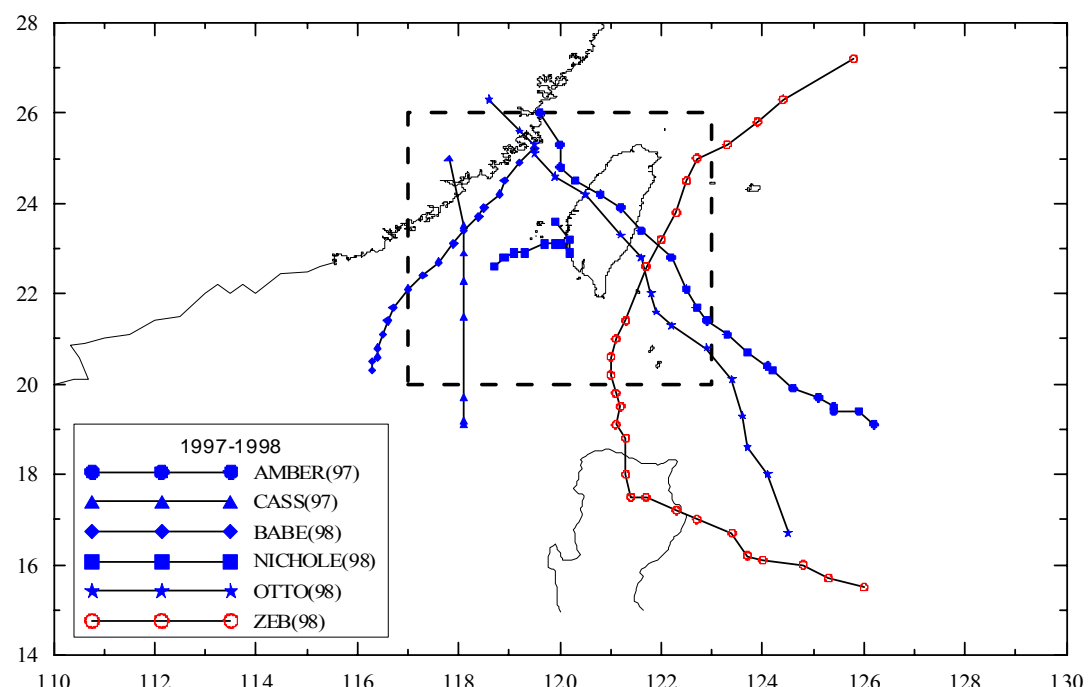


圖 3.5-2 (續 15)歷年侵臺颱風路徑圖 (1997-1998 年)

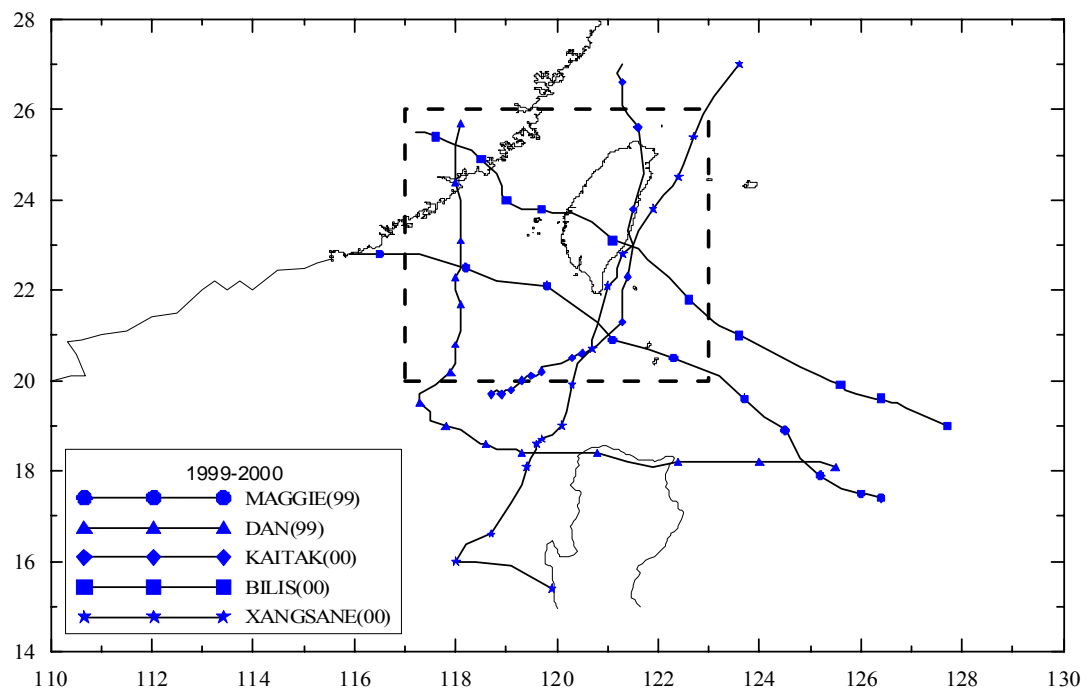


圖 3.5-2 (續 16)歷年侵臺颱風路徑圖 (1999-2000 年)

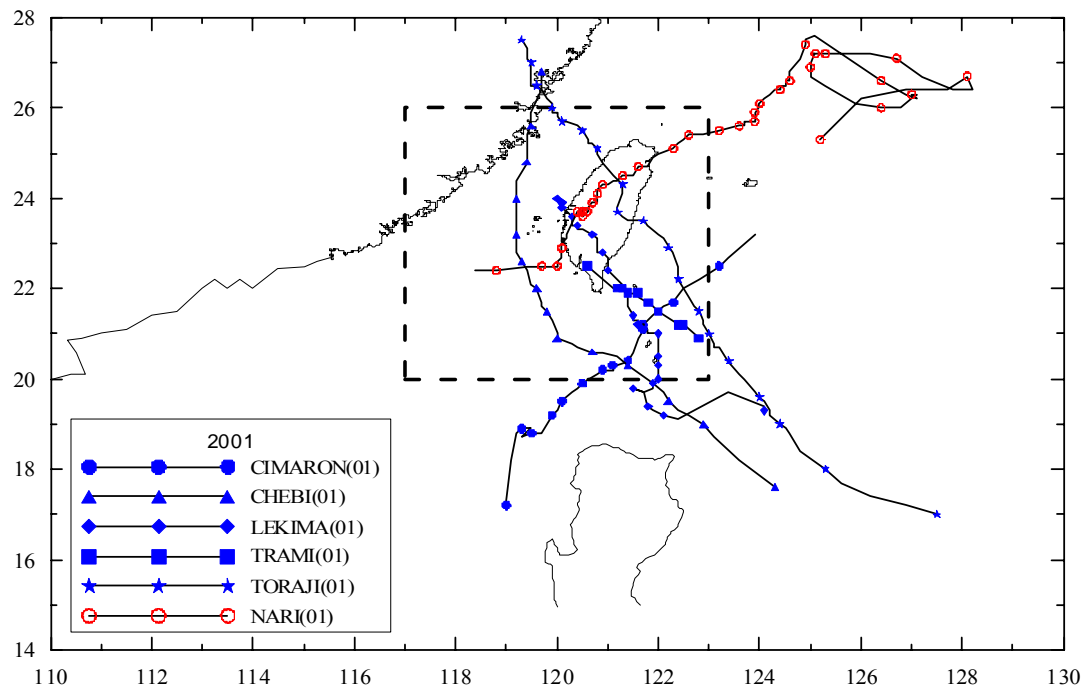


圖 3.5-2 (續 17)歷年侵臺颱風路徑圖 (2001 年)

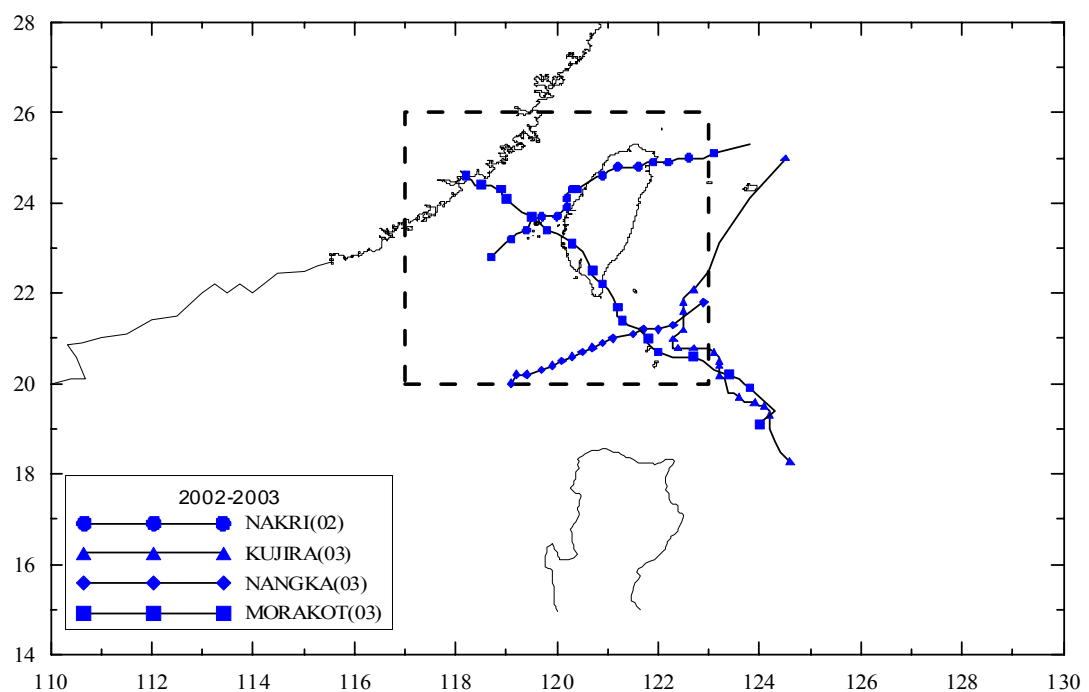


圖 3.5-2 (續 18)歷年侵臺颱風路徑圖 (2002-2003 年)

表3.5-2 花蓮港歷年颱風波浪推算結果

年	颱風名稱	S		SSE		ES		ESE		E		ENE		EN	
		波高	周期	波高	周期										
1971	AGNES	4.1	9.5	4.9	9.7	4.3	9.5	5.1	10.3	5.3	10.2	5.9	11.2	4.8	8.4
	LUCY	1.0	11.8	1.0	10.8	—	—	*	*	2.0	6.9	1.6	5.9	*	*
	NADINE	3.4	10.8	4.2	10.3	1.3	8.2	*	*	3.5	15.2	5.9	11.2	4.6	8.1
	RESS	1.1	4.8	*	*	*	*	*	*	2.3	10.6	5.8	14.4	5.0	13.4
1972	BETTY	2.0	6.4	*	*	*	*	3.9	14.1	9.2	16.8	7.9	15.5	6.6	14.2
1973	JOAN	1.0	9.0	1.4	8.5	—	—	*	*	*	*	*	*	*	*
	NORA	3.4	13.8	2.1	11.3	*	*	*	*	*	*	*	*	*	*
1974	JEAN	—	—	—	—	2.9	17.7	1.8	9.0	2.2	9.1	1.9	8.3	1.6	7.6
	WENDY	2.8	11.6	3.0	10.7	4.2	11.0	3.8	10.2	3.3	9.3	3.2	8.1	3.1	7.8
1975	BETTY	3.0	10.4	3.2	10.2	4.3	10.1	3.4	13.0	*	*	5.5	11	4.3	9.3
	ELSIE	4.5	15.3	4.5	14.5	2.5	11.1	2.1	7.4	2.0	6.9	1.6	5.9	*	*
	NINA	5.9	8.5	5.2	10.3	3.9	9.2	1.5	10.2	*	*	6.7	13.5	11.9	15.6
1976	BILLIE	3.6	7.6	2.8	6.5	2.0	5.3	*	*	4.6	15.0	1.9	10.0	5.2	13.0
	RUBY	2.5	11.7	2.1	11.4	1.7	11.3	1.3	12.4	—	—	*	*	*	*
1977	AMY	1.4	8.7	—	—	—	—	1.2	14.6	*	*	*	*	*	*
	THELMA	6.3	12.3	5.1	10.6	4.0	9.1	3.0	7.9	2.0	6.4	1.4	4.0	*	*
1978	DELLA	1.6	6.7	—	—	*	*	—	—	1.9	9.1	3.2	9.3	3.7	7.9
	IRMA	4.4	12.5	3.7	11.4	3.1	10.4	2.5	9.6	2.0	8.9	1.9	6.2	2.1	6.2
	OLIVE	—	—	2.3	7.0	1.5	5.5	*	*	*	*	*	*	*	*
1979	GORDON	1.6	10.6	1.0	9.6	—	—	1.4	10.9	*	*	*	*	*	*
	HOPE	1.4	11.5	2.0	10.7	—	—	*	*	2.4	14.5	3.8	9.2	2.9	7.9
1980	BETTY	1.7	4.2	0.6	3.1	*	*	—	—	—	—	2.9	12.5	1.1	11.8
	NORRIS	5	10.5	4.3	9.5	3.3	8.4	2.3	6.9	1.3	5.1	*	*	*	*

註：“*”表示推算波向線與颱風路徑夾角小於 5° 或風速未超過 8m/sec 或風向與波向逆向等。

“—”表示推算波向線上波高小於 1.0m，

表3.5-2 (續1) 花蓮港歷年颱風波浪推算結果

年	颱風名稱	S		SSE		ES		ESE		E		ENE		EN	
		波高	周期	波高	周期	波高	周期	波高	周期	波高	周期	波高	周期	波高	周期
1981	CLARA	2.7	13.7	3.1	14.2	1.7	12.3	*	*	*	*	*	*	*	*
	IKE	1.7	9.9	3.1	10.7	3.3	10.3	2.7	7.3	2.6	7.1	2.4	6.7	*	*
	IRMA	1.4	9.9	2.0	10.6	1.9	10.2	1.4	9.5	—	—	—	—	—	—
	JUNE	—	—	*	*	6.6	13.6	6.1	12.6	5.2	11.5	4.5	10.3	4.3	9.0
	MAURY	1.9	4.9	—	—	*	*	*	*	2.8	12.1	2.5	10.9	3.0	11.0
1982	ANDY	4.7	12.3	6.3	12.6	8.2	14.1	7.5	13.3	6.0	11.6	4.7	10.1	3.5	8.4
	DOT	1.2	9.1	1.0	7.5	2.1	12.9	*	*	2.1	6.7	1.5	5.6	—	—
1983	ELLEN	2.3	13.7	2.6	13.4	2.9	13.9	*	*	*	*	*	*	*	*
	WYNNE	1.2	11.7	1.6	10.9	3.7	20.3	3.9	19.3	2.6	8.0	2.6	7.5	1.7	6.0
1984	WYNNE	1.3	10.1	1.0	9.3	—	—	—	—	*	*	1.8	6.3	1.2	5.0
1985	HAL	1.8	11.8	1.0	11.4	—	—	*	*	*	*	*	*	*	*
	NEILSON	2.1	5.7	1.7	4.8	*	*	*	*	2.8	12.0	6.5	14.7	5.6	13.6
1986	NACCY	*	*	1.8	7.8	3.0	8.0	2.1	6.7	1.2	4.9	*	*	*	*
	ABBY	5.4	10.4	4.8	9.7	4.3	10.5	10.3	14.7	8.9	12.7	7.2	10.2	5.6	8.6
	PEGGY	1.7	12.3	—	—	*	*	*	*	*	*	*	*	*	*
	WAYNE+	2.7	9.5	2	8.9	2.5	7.5	2.9	8.4	4	10.2	—	—	4.2	9.9
1987	ALEX	—	—	7.0	15.0	4.7	11.7	6.1	12.2	5.5	10.8	4.6	9.5	3.9	8.7
	GERALD	3.5	11.6	3.6	11.6	*	*	2.6	7.6	1.9	6.4	1.1	4.8	—	—
	VERNON	—	—	5.5	13.6	1.3	9.0	2.2	9.3	2.9	9.2	2.4	7.9	2.4	6.4
1988	SUSAN	2.5	11.0	3.5	11.6	2.7	10.6	2.0	9.9	1.8	6.0	1.9	6.2	2.0	6.2
	WARREN	1.2	11.8	1.0	10.7	2.2	16.7	*	*	*	*	*	*	*	*
1989	SARAH	3.5	7.8	2.9	7.8	6.2	12.8	6.9	12.4	7.0	11.8	6.2	10.4	5.2	8.5
1990	DOT	2.5	10.0	2.5	9.3	2.1	12.7	*	*	1.7	8.4	4.1	9.5	3.3	8.0
	MARIAN*	0.5	7.2	1.2	7.8	1.2	7.5	0.6	8.5	—	—	—	—	0.9	8.2
	OFELIA	2.2	8.8	8.0	13.3	7.0	11.8	5.7	9.9	4.4	8.5	3.2	7.6	2.1	6.5
	YANCY	*	*	*	*	—	—	5.7	14.0	5.3	13.1	4.7	13.2	4.0	11.4

註：“*”表示推算波向線與颱風路徑夾角小於 5° 或風速未超過 8m/sec 或風向與波向逆向等。

“—”表示推算波向線上波高小於 1.0m，

表3.5-2 (續2) 花蓮港歷年颱風波浪推算結果

年	颱風名稱	S		SSE		ES		ESE		E		ENE		EN	
		波高	周期	波高	周期	波高	周期	波高	周期	波高	周期	波高	周期	波高	周期
1991	AMY	2.5	10.0	2.5	9.3	2.1	12.7	*	*	1.7	8.4	4.1	9.5	3.3	8.0
	ELLIE	2.0	5.9	2.0	4.9	—	—	*	*	*	*	4.6	13.4	4.3	12.4
1992	OMAR	2.6	10.0	9.6	9.6	2.8	9.0	2.1	12.3	*	*	3.5	9.4	4.4	9.7
	POLLY	4.4	9.0	4.2	8.9	3.6	8.1	5.3	10.2	6.0	11.3	5.0	10.6	5.0	9.2
	TED	*	*	—	—	1.3	8.7	2.3	8.8	3.6	8.4	2.6	7.0	1.8	5.2
1993	ABE	2.0	11.31	2.2	11.1	2.4	12.3	*	*	*	*	*	*	*	*
1994	CAITLIN	—	—	—	—	—	—	—	—	2.2	7.5	2.3	6.9	1.4	5.4
	GLADYS	2.1	5.2	—	—	*	*	—	—	2.1	10.5	3.7	11.7	3.6	11.1
	TIM	1.6	8.5	—	—	13.8	17.8	—	—	2.0	9.4	5.2	9.2	3.6	7.9
1995	KENT	1.9	12.0	1.1	12.2	—	—	*	*	*	*	*	*	*	*
1996	CAM	1.5	11.2	1.2	10.7	1.0	10.5	—	—	—	—	*	*	*	*
	GIORIA	3.8	9.6	*	*	3.3	8.6	2.5	7.3	1.7	6.0	—	—	*	*
	HERB	3.7	7.5	2.5	7.0	1.6	4.9	*	*	8.7	16.6	8.8	15.9	7.5	14.5
1997	AMBER	3.6	11.2	4.6	11.0	4.2	9.8	*	*	5.5	11.2	4.6	9.4	3.4	8.2
1998	OTTO	—	—	—	—	—	—	1.7	7.6	2.7	7.6	1.9	6.2	1.1	4.4
	ZEB	2.6	11.1	6.5	14.1	6.1	13.3	4.9	12.1	3.9	11.0	3.7	8.6	3.6	8.1
1999	DAN	2.3	7.2	1.8	6.1	1.8	4.5	*	*	*	*	*	*	*	*
	MAGGIE	2.6	11.1	6.5	14.1	6.1	13.3	4.9	12.1	3.9	11.0	3.7	8.6	3.6	8.1
2000	BILIS	2.2	10.5	2.2	9.5	2.7	15.3	9.1	14.3	1.4	14.1	4.8	10.2	3.7	8.5
	KAITAK	*	*	—	—	1.4	9.1	2.4	9.3	4.1	8.9	2.9	7.4	1.8	5.6
	XANGSANE	—	—	1.7	10.0	3.2	11.1	3.4	10.7	2.6	9.5	2.5	6.9	2.5	6.8

註：“*”表示推算波向線與颱風路徑夾角小於 5° 或風速未超過 8m/sec 或風向與波向逆向等。

“—”表示推算波向線上波高小於 1.0m，

表3.5-3 蘇澳港歷年颱風波浪推算結果

年	颱風名稱	S		SSE		ES		ESE		E		ENE		EN		NNE	
		波高	周期														
1971	AGNES	3.2	10.2	3.7	10.3	4.8	10.4	5.4	10.6	5.0	10.6	4.2	9.6	3.3	7.2	2.5	6.9
	LUCY	1.0	11.1	—	—	—	—	*	*	1.4	5.5	*	*	*	*	*	*
	NADINE	2.4	11.3	3.2	10.6	1.0	8.6	*	*	2.1	8.7	4.5	9.4	3.3	7.3	2.1	6.7
	RESS	2.3	6.4	1.9	3.8	*	*	*	*	3.9	12.1	6.2	14.0	5.4	13.0	4.6	12.0
1972	BETTY	1.6	4.3	*	*	*	*	—	—	5.2	13.3	5.6	13.6	4.7	12.6	3.9	11.8
1973	JOAN	1.1	9.8	1.4	8.4	—	—	—	—	*	*	*	*	*	*	*	*
	NORA	3.2	11.4	1.4	10.6	*	*	*	*	*	*	*	*	*	*	*	*
1974	JEAN	—	—	—	—	4.6	11.6	3.2	9.7	3.1	9.0	2.9	7.8	2.5	6.9	2.3	5.6
	WENDY	2.8	11.6	4.8	11.5	4.7	10.5	4.3	10.0	4.0	9.1	3.5	8.3	3.1	7.2	2.2	6.6
1975	BETTY	2.7	11.0	2.7	10.7	3.0	10.3	4.3	14.6	*	*	3.9	9.4	3.1	7.1	2.2	6.7
	ELSIE	4.3	15.9	4.0	14.1	1.7	10.2	1.0	7.4	*	*	*	*	*	*	*	*
	NINA	6.0	11.5	6.0	11.3	4.9	10.5	3.6	14.9	*	*	7.9	12.4	9.5	9.0	7.2	8.8
1976	BILLIE	4.2	9.0	4.0	8.1	3.1	7.9	—	—	*	*	2.1	10.3	5.8	12.7	6.4	12.2
	RUBY	2.4	12.2	2.0	11.6	1.6	11.7	1.2	12.9	*	*	*	*	*	*	*	*
1977	AMY	1.4	8.9	2.8	7.7	2.1	6.4	1.2	4.7	—	—	*	*	*	*	—	—
	THELMA	5.6	11.6	4.5	10.0	3.5	8.6	2.6	7.1	1.6	5.8	—	—	*	*	*	*
1978	DELLA	1.1	7.2	—	—	*	*	—	—	2.4	8.6	3.4	7.7	2.3	6.8	1.4	5.1
	IRMA	4.3	12.5	3.7	11.5	3.0	10.5	2.4	9.6	2.0	8.9	1.8	6.1	2.0	6.1	2.1	4.0
	OLIVE	—	—	2.3	6.8	1.6	5.6	*	*	*	*	*	*	*	*	—	—
1979	GORDON	1.5	10.9	1.0	9.8	—	—	—	—	*	*	*	*	*	*	*	*
	HOPE	1.2	11.9	1.4	11.0	—	—	*	*	1.8	12.7	3.0	8.1	2.1	6.8	1.0	4.4
1980	BETTY**	1.7	4.2	0.6	3.1	*	*	1.1	11.8	—	—	—	—	2.9	12.5	1.1	11.8
	NORRIS	5.2	10.3	5.1	10.1	4.0	9.4	*	*	*	*	8.7	10.2	6.8	8.4	5.2	7.7

註：“*”表示推算波向線與颱風路徑夾角小於 5° 或風速未超過 8m/sec 或風向與波向逆向等。

“—”表示推算波向線上波高小於 1.0m，

表3.5-3 (續1) 蘇澳港歷年颱風波浪推算結果

年	颱風名稱	S		SSE		ES		ESE		E		ENE		EN		NNE	
		波高	周期														
1981	CLARA	2.6	13.7	3.0	14.5	—	—	*	*	*	*	*	*	*	*	*	*
	IKE	1.7	10.1	3.0	10.9	3.1	10.6	2.3	9.5	2.2	6.6	2.2	6.4	—	—	2.2	6.5
	IRMA	1.4	10.0	2.0	10.7	1.8	10.3	1.4	9.7	1.0	9.8	—	—	—	—	*	*
	JUNE	1.7	6.6	*	*	8.1	13.2	7.3	11.6	6.0	9.9	4.8	8.5	3.6	7.5	2.6	6.9
	MAURY	2.4	6.4	2.5	6.0	—	—	—	—	5.3	14.4	3.6	11.2	3.8	11.1	3.1	9.8
1982	ANDY	4.2	12.7	5.1	13.3	6.3	14.6	5.5	11.6	4.5	11.1	3.5	8.8	2.5	7.4	1.4	5.4
	DOT	1.7	8.6	—	—	1.2	14.4	*	*	*	*	*	*	*	*	*	*
1983	ELLEN	2.0	14.4	2.5	14.0	2.3	13.3	*	*	*	*	*	*	*	*	*	*
	WYNNE	1.1	12.1	1.3	11.2	2.4	22.2	2.8	17.4	2.3	7.3	1.8	6.3	—	—	*	*
1985	HAL	1.7	12.6	1.0	11.7	1.8	14.0	*	*	*	*	*	*	*	*	*	*
	NELSON	3.6	6.7	2.7	6.7	2.0	5.8	*	*	6.5	15.0	7.1	14.4	6.2	13.2	5.2	12.0
1986	NACCY	*	*	2.2	7.6	2.5	7.3	1.7	5.9	—	—	*	*	*	*	*	*
	ABBY	5.7	11.2	6.3	11.7	8.7	13.9	7.9	12.8	6.4	11.5	5.0	9.0	3.7	7.2	2.5	7.0
	PEGGY	1.8	12.6	—	—	*	*	*	*	*	*	*	*	*	*	*	*
	WAYNE	2.7	9.5	2	8.9	2.5	7.5	4.2	9.9	2.9	8.4	4	10.2	—	—	4.2	9.9
1987	ALEX	—	—	*	*	5.7	11.5	6.5	10.1	5.1	8.7	3.8	8.1	2.5	7.0	1.7	5.1
	GERALD	3.1	12.1	3.2	11.9	*	*	1.4	5.4	—	—	*	*	*	*	*	*
	VERNON	—	—	5.1	18.5	1.4	8.7	2.5	9.0	3.8	8.7	2.8	7.2	2.1	6.1	1.0	4.3
1988	SUSAN	2.4	11.2	3.3	11.9	2.5	10.9	1.9	10.3	1.3	10.2	1.5	5.6	1.7	5.8	1.8	5.8
1989	SARAH	6.4	10.9	7.4	12.3	7.3	12.4	6.5	11.2	5.5	9.5	4.4	8.2	3.2	7.3	2.1	6.4
1990	DOT	2.1	10.5	1.6	9.8	2.2	14.0	*	*	2.5	8.1	3.1	8.2	2.2	6.8	1.2	4.9
	MARIAN*	—	—	1.2	8.9	1.3	8.2	1.0	7.8	1.1	7.8	1.5	4.2	1.6	4.6	2.2	3.8
	OFELIA	3.5	9.8	6.7	12.3	5.5	10.7	4.4	8.8	3.3	7.8	2.2	6.8	1.6	4.9	*	*
	YANCY	4.9	9.8	6.7	12.3	5.5	10.7	4.4	8.8	8.5	13.4	7.9	12.2	6.5	8.5	5.2	7.8

註：“*”表示推算波向線與颱風路徑夾角小於 5° 或風速未超過 8m/sec 或風向與波向逆向等。

“—”表示推算波向線上波高小於 1.0m，

表3.5-3 (續2) 蘇澳港歷年颱風波浪推算結果

年	颱風名稱	S		SSE		ES		ESE		E		ENE		EN		NNE	
		波高	周期	波高	周期	波高	周期	波高	周期	波高	周期	波高	周期	波高	周期	波高	周期
	YANCY	4.9	9.8	6.7	12.3	5.5	10.7	4.4	8.8	8.5	13.4	7.9	12.2	6.5	8.5	5.2	7.8
1991	AMY	2.1	10.5	1.6	9.8	2.2	14.0	*	*	2.5	8.1	3.1	8.2	2.2	6.8	1.2	4.9
	ELLIE	2.7	6.8	2.5	6.1	2.1	5.6	—	—	*	*	5.1	12.9	4.8	12.0	4.1	10.9
1992	OMAR	2.4	10.6	2.2	10.1	2.0	9.4	2.4	13.6	*	*	3.2	8.8	3.2	7.1	2.3	6.9
	POLLY	4.8	9.9	5.4	10.2	5.9	11.1	5.7	11.0	5.1	10.1	4.3	8.6	3.4	7.3	2.6	6.9
	TED	*	*	—	—	1.4	8.5	2.6	8.5	2.9	7.6	1.8	6.1	—	—	*	*
1993	ABE	1.9	11.6	2.0	10.5	2.0	12.0	*	*	*	*	*	*	*	*	*	*
1994	CAITLIN	—	—	—	—	—	—	1.0	7.3	1.9	6.4	1.3	5.1	*	*	*	*
	GLADYS	2.7	6.8	—	—	*	*	—	—	2.2	10.1	4.2	11.2	4.3	10.4	3.8	6.8
	TIM	1.2	8.9	—	—	*	*	—	—	2.2	9.0	3.8	8.5	2.4	7.0	1.1	4.7
1995	DEANNA	—	—	—	—	—	—	—	—	—	—	—	—	—	—	2.5	7.0
	KENT	2.0	12.3	1.0	11.9	—	—	*	*	*	*	*	*	*	*	*	*
1996	CAM	1.5	11.4	1.1	11.1	1.0	10.8	—	—	—	—	*	*	*	*	*	*
	GIORIA	1.6	14.6	*	*	1.5	5.6	—	—	*	*	*	*	*	*	*	*
	HERB	4.7	9.5	4.0	8.1	3.0	7.8	—	—	10.9	16.9	10.0	15.6	8.6	14.1	7.3	12.4
1997	AMBER	3.3	11.6	3.0	11.4	4.0	10.5	*	*	3.9	9.6	3.3	8.4	2.4	7.1	1.3	5.2
1998	OTTO	—	—	—	—	—	—	1.9	6.5	1.4	5.5	2.7	7.6	1.9	6.2	1.1	4.4
	ZEB	2.6	11.1	6.5	14.1	6.0	13.3	4.9	12.1	3.9	11.1	3.7	8.6	3.6	8.1	*	*
1999	DAN	2.6	6.9	1.7	6.1	1.7	4.4	*	*	*	*	*	*	*	*	*	*
	MAGGIE	2.6	11.1	6.5	14.1	6.0	13.3	4.9	12.1	3.9	11.1	3.7	8.6	3.6	8.1	*	*
2000	BILIS	1.5	10.9	1.5	9.9	3.0	19.3	6.9	19.3	1.3	8.2	3.8	9.0	2.6	7.3	1.5	5.5
	KAITAK	*	*	—	—	1.5	8.9	2.6	9.0	3.5	8.3	2.2	6.5	1.6	4.0	*	*
	XANGSANE	—	—	1.7	10.0	3.1	11.0	3.4	10.7	2.6	9.5	2.5	7.0	2.5	6.8	*	*

註：“*”表示推算波向線與颱風路徑夾角小於 5° 或風速未超過 8m/sec 或風向與波向逆向等。

“—”表示推算波向線上波高小於 1.0m，

表3.5-4 基隆港歷年颱風波浪推算結果

年	颱風名稱	ENE		EN		NNE		N		NNW		NW	
		波高	周期	波高	周期	波高	周期	波高	周期	波高	周期	波高	周期
1971	AGNES	2.5	7.1	1.9	6.4	1.2	5.0	*	*	*	*	*	*
	NADINE	3.2	7.1	2.3	7.0	1.2	4.9	*	*	*	*	*	*
	RESS	6.4	13.3	5.7	12.2	4.8	11.2	4.4	9.9	4.2	9.2	3.9	8.4
1972	BETTY	5.2	12.9	4.7	11.9	4.0	11.0	3.5	8.8	3.6	8.6	3.5	8.4
1974	JEAN	2.9	7.1	2.4	6.3	1.1	4.8	—	—	—	—	—	—
	WENDY	3.7	9.5	3.9	7.9	3.7	8.7	3.2	7.2	2.4	6.6	3.2	6.3
1975	BETTY	2.7	7.4	2.0	6.5	1.1	4.7	*	*	*	*	*	*
	NINA	6.7	12.4	7.1	8.5	5.3	8.1	3.7	7.1	2.1	6.5	*	*
1976	BILLIE	2.4	10.1	6.9	12.0	5.8	8.1	4.3	8.0	2.8	7.1	1.5	5.2
1977	AMY	—	—	*	*	—	—	1.0	8.9	1.2	8.3	1.7	8.1
	THELMA*	—	—	*	*	*	*	*	*	*	*	1.5	10.0
1978	DELLA	2.3	6.9	1.5	5.4	—	—	*	*	*	*	*	*
	IRMA	1.3	9.1	1.5	4.7	1.7	5.4	2.0	3.8	1.6	5.2	2.2	4.0
	OLIVE	*	*	*	*	*	*	—	—	—	—	1.5	10.1
	HOPE	2.3	7.1	1.5	5.7	*	*	*	*	*	*	*	*
1980	BETTY*	1.7	4.2	0.6	3.1	*	*	—	—	—	—	2.9	12.5
	NORRIS	5.6	8.1	4.3	7.2	3.1	7.2	1.9	6.3	—	—	*	*
1981	IKE	1.5	5.5	*	*	1.8	5.8	1.8	5.9	1.8	5.9	1.6	5.4
	JUNE	4.3	7.2	3.1	7.3	2.1	6.1	—	—	*	*	1.7	10.0
	MAURY	4.3	10.8	4.9	10.5	4.2	7.2	3.2	7.2	2.4	6.6	2.3	4.2
1982	ANDY	1.8	6.3	—	—	*	*	*	*	*	*	*	*
1985	NELSON	8.7	14.1	7.6	12.8	6.5	10.8	5.4	8.4	4.3	8.0	3.1	7.0
1986	ABBY	3.8	7.2	2.8	7.1	1.7	5.9	2.3	9.9	2.9	9.8	3.5	9.7
	WAYNE+	2.7	9.5	2	8.9	2.5	7.5	2.9	8.4	4	10.2	—	—

註：“*”表示推算波向線與颱風路徑夾角小於 5° 或風速未超過 8m/sec 或風向與波向逆向等。

“—”表示推算波向線上波高小於 1.0m，

表3.5-4 (續1) 基隆港歷年颱風波浪推算結果

年	颱風名稱	ENE		EN		NNE		N		NNW		NW	
		波高	周期	波高	周期	波高	周期	波高	周期	波高	周期	波高	周期
1987	ALEX	3.5	7.3	2.3	6.8	1.7	4.7	—	—	*	*	1.4	10.0
	GERALD	3.5	11.6	3.6	11.6	*	*	2.6	7.6	1.9	6.4	1.1	4.8
	VERNON	2.7	7.3	2.1	5.9	—	—	—	—	—	—	1.3	7.8
1989	SARAH	3.9	7.2	2.8	7.1	2.1	5.9	—	—	*	*	2.2	10.8
1990	DOT	2.1	6.7	1.3	5.1	*	*	*	*	*	*	*	*
	OFELIA	2.1	6.6	1.6	4.7	*	*	*	*	*	*	1.0	10.4
	YANCY	5.9	11.5	5.4	10.6	4.9	9.0	4.3	8.7	3.8	7.3	3.4	7.1
1991	AMY	2.1	6.7	1.3	5.1	*	*	*	*	*	*	*	*
	ELIJIE	6.6	12.3	6.1	11.4	5.1	10.0	4.1	8.0	3.2	7.1	2.3	6.5
1992	OMAR	2.4	7.1	1.8	6.1	—	—	*	*	*	*	*	*
	POLLY	3.2	7.2	2.4	7.1	1.9	5.6	—	—	*	*	*	*
	TED	1.6	6.1	1.9	3.8	—	—	*	*	1.0	9.5	1.2	8.5
1993	ABE	2.0	11.31	2.2	11.1	2.4	12.3	*	*	*	*	*	*
1994	GLADYS	4.5	10.5	4.7	8.1	3.5	7.3	2.3	6.6	2.2	4.1	*	*
	TIM	2.6	7.1	1.5	5.6	*	*	*	*	*	*	*	*
1996	HERB	10.4	13.0	8.3	8.8	6.5	8.5	4.9	8.1	3.2	7.2	1.6	5.5
1997	AMBER	2.4	7.2	1.6	5.7	*	*	*	*	*	*	*	*
1998	ZEB	2.4	7.0	2.5	7.2	*	*	2.6	7.2	2.6	7.1	2.4	7.5
1999	DAN	*	*	*	*	*	*	1.2	12.1	—	—	1.9	10.3
	MAGGIE	2.6	7.4	2.8	7.4	*	*	2.8	7.1	2.8	6.9	2.6	7.0
2000	BILIS	3.0	7.6	2.0	6.5	*	*	*	*	*	*	*	*
	KAITAK	2.8	7.2	1.7	5.4	—	—	*	*	1.2	9.3	1.8	8.2
	XANGSANE	1.6	6.0	2.0	6.3	*	*	2.1	6.3	2.2	6.5	2.2	6.4

註：“*”表示推算波向線與颱風路徑夾角小於 5° 或風速未超過 8m/sec 或風向與波向逆向等。

“—”表示推算波向線上波高小於 1.0m ，

表3.5-5 臺北港歷年颱風波浪推算結果

年	颱風名稱	NNE		N		NNW		NW		WNW		W		WSW	
		波高	周期	波高	周期	波高	周期	波高	周期	波高	周期	波高	周期	波高	周期
1971	AGNES	1.2	5.0	*	*	*	*	*	*	*	*	*	*	*	*
	NADINE	1.2	4.9	*	*	*	*	*	*	*	*	*	*	*	*
	RESS	4.8	11.1	4.0	10.0	3.6	8.1	3.4	5.8	*	*	3.3	5.9	3.1	5.5
1972	BETTY	4.0	11.0	3.4	10.2	3.1	7.8	3.1	5.8	3.1	5.7	3.2	5.8	2.9	5.5
1974	JEAN	1.1	4.8	—	—	—	—	—	—	1.2	7.2	1.5	7.0	1.1	6.8
	WENDY	3.4	7.5	3.2	5.8	2.4	5.6	1.6	5.6	—	—	*	*	1.4	8.6
1975	BETTY	1.1	4.7	*	*	*	*	*	*	*	*	*	*	*	*
	NINA	3.3	7.6	2.3	6.7	1.0	4.6	*	*	*	*	*	*	1.7	12.0
1976	BILLIE	4.6	7.6	3.5	5.9	2.5	5.6	1.6	4.9	*	*	*	*	1.6	10.2
1977	AMY	—	—	—	—	1.3	8.2	1.6	7.9	1.1	7.4	—	—	—	—
	RUTH	*	*	*	*	—	—	—	—	1.0	9.0	1.4	9.0	1.7	9.9
	THELMA*	*	*	*	*	*	*	1.2	10.4	2.2	10.0	*	*	3.6	9.4
1978	DELLA	—	—	*	*	*	*	*	*	*	*	—	—	1.2	9.2
	IRMA	1.8	3.8	1.9	5.0	2.1	4.1	1.9	4.8	—	—	*	*	*	*
	OLIVE	*	*	*	*	—	—	1.3	10.4	1.9	9.9	2.1	10.2	*	*
1979	HOPE	2.3	7.1	1.5	5.7	*	*	*	*	*	*	*	*	*	*
1980	NORRIS	2.7	7.1	1.6	5.0	—	—	*	*	*	*	*	*	1.6	10.5
1981	IKE	1.7	5.1	1.7	5.1	1.6	4.9	1.4	5.1	—	—	*	*	*	*
	JUNE	1.9	5.1	—	—	*	*	1.9	9.9	2.4	8.6	3.3	8.6	2.9	7.2
	MAURY	3.6	7.8	3.0	5.7	2.3	5.6	2.3	4.2	—	—	—	—	1.4	7.9
1985	NELSON	5.3	9.0	4.6	7.0	3.8	5.8	2.9	5.6	2.4	5.1	2.0	10.2	2.5	9.4
1986	NACCY	*	*	1.8	7.8	3.0	8.0	2.1	6.7	1.2	4.9	*	*	*	*
	ABBY	1.7	5.1	2.3	9.9	2.9	9.8	3.1	9.5	*	*	*	*	5.3	7.7
	WAYNE+	2.7	9.5	2	8.9	2.5	7.5	2.9	8.4	4	10.2	—	—	4.2	9.9

註：“*”表示推算波向線與颱風路徑夾角小於 5° 或風速未超過 8m/sec 或風向與波向逆向等。

“—”表示推算波向線上波高小於 1.0m，

表3.5-5 (續1) 臺北港歷年颱風波浪推算結果

年	颱風名稱	NNE		N		NNW		NW		WNW		W		WSW	
		波高	周期	波高	周期	波高	周期	波高	周期	波高	周期	波高	周期	波高	周期
1987	ALEX	1.7	4.7	—	—	*	*	1.4	9.8	1.9	9.1	2.3	8.9	2.2	8.2
	VERNON	—	—	—	—	—	—	1.3	7.8	1.5	7.3	1.6	7.3	1.3	7.2
1988	SUSAN	1.1	4.6	*	*	*	*	*	*	*	*	*	*	*	*
	SARAH	2.0	5.0	*	*	*	*	2.0	10.7	3.3	10.5	3.8	9.4	3.5	9.8
1989	OFELIA	*	*	—	—	1.0	9.2	1.4	8.8	1.9	8.3	2.6	9.7	4.0	9.9
	YANCY	3.2	7.4	2.2	5.6	1.6	5.5	*	*	*	*	*	*	*	2.2
1991	ELLIE	4.4	8.3	3.7	6.8	2.9	5.6	2.2	5.6	—	—	*	*	1.4	9.6
	POLLY	1.9	5.1	—	—	*	*	*	*	*	*	1.1	10.1	2.3	10.1
	TED	—	—	*	*	1.0	9.5	1.2	8.5	1.5	8.1	6.6	8.4	3.4	7.8
1994	GLADYS	3.2	5.7	2.2	5.6	2.2	4.1	*	*	1.2	9.7	1.9	8.7	2.4	8.5
	TIM	*	*	*	*	*	*	*	*	*	*	*	*	*	1.4
1996	GIORIA	*	*	*	*	*	*	*	*	*	*	—	—	4.5	11.2
	HERB	5.1	8.0	4.0	6.9	2.7	5.6	1.7	5.0	*	*	1.3	10.4	2.4	10.6
1998	BABE	*	*	1.1	10.9	1.2	10.2	2.4	10.0	2.1	10.1	2.4	10.2	3.6	10.0
	ZEB	*	*	2.5	6.8	2.5	6.8	2.4	6.9	2.2	4.1	1.9	4.9	—	—
1999	DAN	*	*	*	*	—	—	1.7	10.8	4.7	11.1	4.6	11.0	*	*
	MAGGIE	*	*	2.5	6.8	2.5	6.8	2.4	6.9	2.2	4.1	1.9	4.9	—	—
2000	KAITAK	—	—	*	*	1.2	9.3	1.8	8.2	2.0	8.0	2.3	8.0	1.8	7.9
	XANGSANE	*	*	1.9	5.2	2.0	5.0	2.0	5.0	2.3	4.3	1.9	3.8	*	*

註：“*”表示推算波向線與颱風路徑夾角小於 5°或風速未超過 8m/sec 或風向與波向逆向等。

“—”表示推算波向線上波高小於 1.0m，

表3.5-6 臺中港歷年颱風波浪推算結果

年	颱風名稱	NNE		N		NNW		NW		WNW		W		WSW		WS		
		波高	周期	波高	周期	波高	周期	波高	周期									
1971	AGNES	3.2	7.2	2.4	5.6	1.9	5.1	—	—	*	*	*	*	1.5	10.0	—	—	
	LUCY	*	*	*	*	*	*	*	*	*	*	*	*	—	—	1.7	12.9	
	NADINE	3.3	5.8	2.1	5.6	—	—	*	*	*	*	*	*	2.2	11.5	2.6	10.7	
	RESS	3.6	11.5	2.2	9.7	1.5	7.1	1.9	6.4	*	*	2.2	5.4	2.1	6.7	1.8	6.2	
1972	BETTY	3.0	12.1	1.5	9.2	1.0	6.7	1.5	5.2	1.6	5.0	1.6	5.7	1.4	5.1	—	—	
1973	WILDA	*	*	*	*	*	*	—	—	—	—	—	—	*	*	1.4	8.7	
1974	WENDY	2.6	9.7	2.3	9.1	1.7	8.1	1.8	5.2	2.1	5.2	*	*	1.9	6.4	1.8	6.3	
1975	BETTY	2.5	7.3	1.7	5.1	—	—	*	*	*	*	*	*	—	—	1.6	10.9	
	ELSIE	*	*	*	*	*	*	*	*	*	*	*	*	*	*	2.5	14.2	
	NINA	5.5	9.1	4.8	8.1	4.2	7.1	3.5	5.8	3.0	5.8	2.9	5.4	2.5	9.5	2.4	7.7	
1976	BILLIE	4.7	10.3	3.9	10.6	3.1	9.1	3.0	7.2	2.9	5.8	2.9	6.2	2.8	5.6	2.9	5.8	
1977	AMY	*	*	*	*	*	*	*	*	*	*	*	*	*	3.0	8.0	2.7	7.2
	RUTH	*	*	*	*	—	—	1.0	9.0	2.1	9.2	5.9	9.6	—	—	*	*	
	THELMA	2.6	5.7	*	*	2.4	6.3	3.3	8.8	3.3	8.1	3.6	6.2	3.3	5.8	2.7	6.4	
1978	DELLA	2.3	8.2	2.1	6.1	2.2	5.1	*	*	1.7	5.2	2.2	5.2	2.6	5.3	2.6	5.6	
	OLIVE	*	*	—	—	—	—	1.7	9.5	4.5	10.4	5.1	9.9	—	—	—	—	
1979	HOPE	2.3	7.0	1.0	4.4	*	*	*	*	*	*	*	*	—	—	2.5	11.6	
1980	BETTY**	1.7	4.2	0.6	3.1	*	*	1.1	11.8	—	—	—	—	2.9	12.5	1.1	11.8	
	NORRIS	4.0	9.4	3.5	8.3	3.2	7.7	3.0	5.7	*	*	3.5	6.1	3.1	5.7	3.1	5.6	
1981	CLARA	*	*	*	*	*	*	*	*	*	*	*	*	—	—	1.9	13.8	
	IKE	1.6	5.0	1.6	5.0	1.6	5.0	1.4	5.0	—	—	*	*	*	*	*	*	
	JUNE	1.8	9.8	1.8	5.1	*	*	2.0	6.3	2.1	5.0	2.2	4.1	2.0	3.9	—	—	
	MAURY	2.5	10.1	1.9	9.3	1.3	7.5	1.5	4.5	1.7	5.1	2.1	4.0	2.3	4.1	2.2	4.0	
1982	ANDY	2.2	6.5	—	—	*	*	*	*	*	*	*	*	*	2.2	11.9	2.6	11.2
1983	ELLEN	2.0	14.4	2.5	14.0	2.3	13.3	*	*	*	*	*	*	*	*	*	*	
	WYNNE	—	—	*	*	*	*	*	*	*	*	*	*	—	—	2.2	12.0	

註：“*”表示推算波向線與颱風路徑夾角小於5°或風速未超過8m/sec或風向與波向逆向等。

“—”表示推算波向線上波高小於1.0m，

表3.5-6 (續1) 臺中港歷年颱風波浪推算結果

年	颱風名稱	NNE		N		NNW		NW		WNW		W		WSW		WS		
		波高	周期	波高	周期	波高	周期	波高	周期	波高	周期	波高	周期	波高	周期	波高	周期	
1985	HAL	*	*	*	*	*	*	*	*	*	*	*	*	*	*	1.5	13.4	
	NELSON	4.4	10.8	3.2	9.9	2.3	8.0	2.5	7.3	2.7	7.2	2.8	7.4	2.7	5.8	2.6	6.6	
1986	NACCY	*	*	*	*	*	*	1.4	9.3	2.1	9.0	1.8	8.2	2.3	8.8	2.0	8.2	
	ABBY	4.9	8.1	4.4	7.3	3.8	6.3	3.2	5.7	3.0	8.8	3.4	8.0	3.6	7.5	3.5	5.6	
1987	WAYNE+	2.7	9.5	2	8.9	2.5	7.5	4.2	9.9	2.9	8.4	4	10.2	—	—	4.2	9.9	
	ALEX	1.8	9.3	2.0	6.4	2.1	6.4	2.1	6.5	2.3	5.1	2.2	5.2	2.0	5.1	2.0	4.0	
1988	GERALD	*	*	*	*	*	*	*	*	*	*	—	—	2.2	11.1	2.8	10.7	
	VERNON	1.0	8.0	—	—	—	—	1.9	4.1	2.1	4.1	2.1	3.9	—	—	*	*	
1988	SUSAN	1.2	5.0	1.2	4.9	—	—	*	*	*	*	*	*	*	*	*	*	
1989	SARAH	3.7	10.7	3.4	9.8	3.4	8.0	3.3	7.7	3.3	5.8	3.2	6.1	2.8	5.7	2.4	5.5	
1990	DOT	2.4	6.7	1.4	5.0	*	*	*	*	*	*	*	*	*	1.6	11.1	2.0	11.3
	MARIAN	—	—	1.8	3.9	1.7	4.0	1.6	4.1	—	—	*	*	*	*	—	—	
	OFELIA	2.8	5.7	2.8	5.8	2.9	5.6	3.0	5.8	3.0	5.7	3.0	5.3	2.6	5.6	2.8	5.1	
1991	AMY	2.4	6.7	1.4	5.0	*	*	*	*	*	*	*	*	1.6	11.1	2.0	10.3	
	ELLIE	3.7	10.4	3.1	10.1	2.1	8.7	2.2	6.8	2.3	6.9	*	*	2.5	6.8	2.4	5.5	
1992	OMAR	2.5	7.2	1.6	5.0	—	—	*	*	*	*	*	*	*	*	1.3	10.7	
	POLLY	3.3	9.7	3.1	9.5	3.1	8.2	3.1	8.1	3.1	5.8	3.2	6.1	3.0	5.8	2.6	5.5	
	TED	1.7	4.7	*	*	1.9	4.9	2.1	5.1	2.2	3.8	2.0	5.2	2.0	4.8	—	—	
1993	ABE	*	*	*	*	*	*	*	*	*	*	*	*	*	—	—	1.7	12.0
1994	CAITLIN	1.4	5.0	—	—	*	*	*	*	*	*	*	—	—	1.3	8.5	1.1	8.3
	GLADYS	2.3	10.6	1.6	10.1	1.5	5.0	*	*	1.8	5.1	1.8	6.0	1.8	5.1	1.6	5.0	
	TIM	2.7	5.6	1.4	5.1	*	*	*	*	*	*	1.1	10.4	2.0	10.0	2.2	9.8	
1996	GIORIA	*	*	*	*	*	*	*	*	—	—	—	—	2.3	10.0	1.6	10.1	
	HERB	5.5	10.6	4.1	10.1	3.3	9.5	3.4	8.1	3.3	5.9	3.4	6.1	3.2	5.8	3.1	5.6	

註：“*”表示推算波向線與颱風路徑夾角小於 5° 或風速未超過 8m/sec 或風向與波向逆向等。

“—”表示推算波向線上波高小於 1.0m，

表3.5-6 (續2) 臺中港歷年颱風波浪推算結果

年	颱風名稱	NNE		N		NNW		NW		WNW		W		WSW		WS	
		波高	周期	波高	周期	波高	周期	波高	周期	波高	周期	波高	周期	波高	周期	波高	周期
1997	AMBER	2.3	6.8	1.3	4.9	*	*	*	*	*	*	*	*	1.9	11.6	2.6	11.0
1998	BABE	—	—	*	*	1.0	9.0	1.6	9.2	2.4	9.6	*	*	*	*	*	*
	NICHOLE	1.0	4.8	—	—	—	—	—	—	*	*	*	*	*	*	1.9	10.6
	OTTO	1.6	4.4	—	—	*	*	*	*	—	—	1.3	8.4	1.7	7.8	1.2	7.8
	ZEB	*	*	1.9	6.4	1.9	6.3	1.7	5.1	1.2	5.0	*	*	*	*	*	*
1999	DAN	*	*	1.5	10.7	1.9	9.4	2.8	9.5	*	*	*	*	4.1	9.1	4.3	6.1
	MAGGIE	*	*	1.7	6.1	1.7	5.0	1.5	4.9	1.0	4.4	*	*	*	*	*	*
2000	BILIS	2.4	6.9	1.2	5.0	*	*	*	*	*	*	*	*	1.8	11.2	2.3	10.6
	XANGSANE	*	*	1.4	5.0	1.3	4.8	1.2	4.8	—	—	*	*	*	*	*	*

註：“*”表示推算波向線與颱風路徑夾角小於 5°或風速未超過 8m/sec 或風向與波向逆向等。

“—”表示推算波向線上波高小於 1.0m，

表3.5-7 安平港颱風波浪推算結果

年	颱風名稱	NW		WNW		W		WSW		SW		SSW		S	
		波高	周期	波高	周期	波高	周期	波高	周期	波高	周期	波高	周期	波高	周期
1971	AGNES	2.7	7.8	2.8	7.5	2.9	7.4	2.8	7.3	2.7	7.2	2.5	5.5	2.4	5.7
	LUCY	*	*	*	*	*	*	1.6	12.8	2.0	11.8	2.3	11.2	1.3	10.5
	NADINE	4.2	9.1	*	*	4.0	7.2	4.1	6.6	4.3	9.1	4.2	7.1	3.7	8.6
1973	JOAN	*	*	*	*	*	*	*	*	—	—	1.0	9.0	1.2	8.3
	NORA	*	*	—	—	3.5	10.5	2.6	11.0	3.2	10.6	3.8	11.1	4.3	11.6
	WILDA	—	—	*	*	*	*	2.1	9.7	1.7	9.1	3.0	12.0	2.3	6.5
1975	BETTY	3.2	6.0	2.4	5.9	*	*	2.1	8.7	3.1	8.2	3.8	8.4	4.0	8.9
	ELSIE	*	*	*	*	*	*	3.1	15.6	3.9	14.5	4.5	14.2	5.1	14.6
	NINA	2.8	8.2	3.0	7.7	3.1	8.0	3.0	7.7	2.9	7.7	2.6	7.3	2.1	5.5
1976	BILLIE	1.6	5.8	2.0	6.3	2.1	6.7	2.1	6.7	2.1	6.6	1.8	6.2	1.3	5.1
	RUBY	*	*	*	*	*	*	*	*	3.4	12.6	3.2	11.8	2.8	11.2
1977	AMY	1.4	8.1	*	*	2.4	7.7	2.8	6.8	2.5	7.4	—	—	—	—
	RUTH	*	*	2.3	9.0	3.7	9.0	1.3	7.4	*	*	*	*	3.4	8.5
	THELMA	3.5	6.2	4.1	6.9	3.9	7.2	3.4	6.5	2.5	5.8	—	—	5.4	16.1
1978	DELLA	*	*	1.3	3.9	1.5	3.9	1.4	3.8	—	—	*	*	*	*
	OLIVE	1.4	9.6	1.3	9.1	—	—	—	—	—	—	—	—	—	—
1979	GORDON	*	*	*	*	*	*	1.0	11.4	1.5	10.8	1.8	10.1	2.1	9.8
	HOPE	*	*	*	*	1.5	11.3	2.6	12.1	3.2	11.4	3.8	11.0	4.2	10.7
1980	IDA	*	*	*	*	*	*	1.0	10.7	1.3	10.0	1.6	9.1	1.1	8.8
	NORRIS	1.6	5.5	*	*	1.8	6.2	1.7	6.1	1.6	5.7	1.2	4.8	*	*
1981	CLARA	*	*	*	*	*	*	1.8	13.8	2.3	13.2	2.8	12.8	3.3	12.8
	IKE	2.6	5.5	2.9	6.2	2.1	5.9	—	—	1.4	15.9	—	—	1.7	10.0
1982	ANDY	2.1	5.5	1.8	11.0	2.3	9.1	3.5	9.6	4.5	9.8	4.8	9.9	4.5	9.4
	DOT	—	—	*	*	1.2	8.2	1.7	8.3	2.2	8.1	*	*	2.8	7.8
1983	ELLEN	*	*	*	*	*	*	—	—	1.8	13.8	2.3	13.1	2.7	12.9
	WYNNE	*	*	*	*	1.3	12.3	2.2	12.2	2.8	11.5	3.3	11.1	3.0	10.6

註：“*”表示推算波向線與颱風路徑夾角小於5°或風速未超過8m/sec或風向與波向逆向等。

“—”表示推算波向線上波高小於1.0m，

表3.5-7 (續1) 安平港颱風波浪推算結果

年	颱風名稱	NW		WNW		W		WSW		SW		SSW		S	
		波高	周期	波高	周期	波高	周期	波高	周期	波高	周期	波高	周期	波高	周期
1984	WYNNE	*	*	*	*	*	*	—	—	1.0	10.3	1.2	9.6	1.4	9.1
1985	HAL	*	*	*	*	*	*	1.2	12.4	1.6	12.4	2.0	11.7	2.2	11.3
	NELSON	1.0	7.6	—	—	1.3	5.3	1.3	5.1	—	—	*	*	*	*
	VAL	*	*	*	*	*	*	—	—	1.1	9.7	1.4	8.6	1.5	8.1
1986	NACCY	2.0	8.6	2.2	7.9	2.9	8.3	3.2	8.4	2.7	7.4	—	—	*	*
	ABBY	3.0	8.0	3.1	7.7	3.1	7.7	2.8	7.7	2.5	6.4	1.9	6.3	1.0	3.8
	PEGGY	*	*	*	*	—	—	1.5	12.6	1.9	12.0	2.2	11.7	2.0	11.4
	WAYNE**	2.7	9.5	2	8.9	2.5	7.5	2.9	8.4	4	10.2	—	—	4.2	9.9
1987	ALEX	1.5	5.4	1.4	5.4	1.1	4.8	*	*	*	*	*	*	*	*
	GERALD	*	*	1.8	10.7	2.1	8.5	3.1	9.4	4.1	9.6	4.6	9.8	4.3	9.4
1988	SUSAN	2.4	4.9	1.9	4.1	*	*	*	*	3.5	15.1	1.2	10.0	2.8	11.2
	WARREN	*	*	*	*	*	*	1.2	13.1	1.6	11.9	2.0	11.6	1.3	10.9
1989	SARAH	2.4	7.2	2.2	6.9	1.9	6.4	1.4	5.4	*	*	*	*	*	*
1990	DOT	3.0	5.9	*	*	3.0	6.1	3.2	7.6	3.7	8.1	4.0	8.0	3.6	6.5
	MARIAN	2.2	6.8	1.7	6.4	—	—	—	—	1.0	12.9	—	—	1.1	8.8
	OFELIA	2.2	6.7	2.2	5.7	2.1	5.8	2.1	3.8	—	—	*	*	*	*
	YANCY	1.8	5.6	*	*	2.1	6.7	1.9	6.0	1.7	5.9	1.1	4.8	*	*
1991	AMY	3.1	5.9	*	*	3.0	6.1	3.2	7.6	3.7	8.1	4.0	8.0	3.6	6.5
	BRENDAN	*	*	*	*	*	*	—	—	—	—	1.0	11.0	—	—
1992	OMAR	2.7	5.6	2.0	5.4	*	*	1.6	5.7	2.3	7.8	3	7.9	3.3	8.2
	POLLY	1.6	5.6	1.6	6.0	1.5	5.6	1.1	4.7	*	*	*	*	*	*
	TED	1.8	4.9	1.8	3.8	1.8	3.9	1.5	3.8	*	*	*	*	*	*
1993	ABE	*	*	*	*	*	*	1.7	11.5	2.1	10.9	2.7	11	3.2	11.1
1994	CAITLIN	2.5	4.1	2.2	4.9	1.7	5.4	2.5	5.5	2.4	5.8	2.6	5.9	1.8	5.7
	GLADYS														
	TIM	2.9	5.7	2.7	7.2	3.2	7.1	3.4	6.5	3.5	7.8	3.3	7.4	2.7	5.6

註：“*”表示推算波向線與颱風路徑夾角小於 5° 或風速未超過 8m/sec 或風向與波向逆向等。

“—”表示推算波向線上波高小於 1.0m，

表3.5-7 (續2) 安平港颱風波浪推算結果

年	颱風名稱	NW		WNW		W		WSW		SW		SSW		S	
		波高	周期	波高	周期	波高	周期	波高	周期	波高	周期	波高	周期	波高	周期
1995	KENT	*	*	*	*	*	*	1.3	12.5	1.8	11.8	2.2	11.3	2.2	10.9
1996	CAM	*	*	*	*	*	*	*	*	2.1	12.5	2.1	11.6	1.6	10.8
	GIORIA	1.6	10.3	3.2	8.6	3.1	8.7	3.6	9.0	4.0	9.1	3.7	8.8	1.8	6.2
	HERB	1.8	6.0	2.1	6.7	2.2	6.8	2.1	6.5	1.9	6.3	1.5	5.5	*	*
1997	AMBER	3.2	6.5	*	*	2.6	7.1	3.4	8.6	4.3	8.9	4.4	9.1	4.1	8.7
1998	BABS	1.7	10.3	3.2	10.3	1.6	9.3	2.5	9.0	*	*	2.6	7.2	2.1	6.4
1998	NICHOLE	2.1	5.9	1.7	4.5	1.7	6.7	*	*	3.3	8.8	3.2	8.5	2.9	6.0
1998	OTTO	*	*	1.5	5.0	1.9	5.1	2.3	5.5	2.6	5.7	2.0	5.7	—	—
	ZEB	2.0	6.7	1.6	5.7	—	—	*	*	*	*	*	*	*	*
1999	DAN	*	*	*	*	3.5	8.2	*	*	5.3	11.2	*	*	4.6	10.2
	MAGGIE	2.6	6.1	1.6	5.7	—	—	*	*	*	*	*	*	*	*
2000	BILIS	2.9	5.8	2.7	4.6	2.1	8.2	2.6	8.6	3.3	8.7	3.6	8.7	3.3	8.4
	KAITAK	*	*	*	*	*	*	*	*	—	—	4.4	13.9	4.1	13.1
	XANGSANE	1.5*	5.1	1.2	4.7	*	*	*	*	*	*	*	*	1.6	11.4

註：“*”表示推算波向線與颱風路徑夾角小於5°或風速未超過8m/sec或風向與波向逆向等。

“—”表示推算波向線上波高小於1.0m，

表3.5-8 高雄港颱風波浪推算結果

年	颱風名稱	NW		WNW		W		WSW		SW		SSW		S	
		波高	周期												
1971	AGNES	2.0	9.8	2.2	6.7	2.3	6.9	2.3	6.7	2.2	6.5	2.0	6.0	2.1	4.1
	LUCY	*	*	*	*	*	*	1.6	12.4	2.1	11.5	2.4	11.0	1.5	10.3
	NADINE	4.0	6.7	*	*	4.1	8.6	4.1	8.8	4.0	8.7	3.7	7.8	3.1	7.7
1973	JOAN	*	*	*	*	*	*	—	—	—	—	1.1	8.7	1.3	8.1
	NORA	*	*	1.3	11.3	1.6	9.2	2.7	10.6	3.3	10.8	3.9	11	4.5	11.4
	WILDA	—	—	5.7	10.6	7.3	10.2	2.1	9.8	1.7	9.2	2.8	12.1	1.8	6.3
1975	BETTY	3.6	6.7	3.4	7.6	*	*	3.5	7.7	3.7	8.0	3.8	7.6	3.6	6.9
	ELSIE	*	*	*	*	*	*	3.5	15.0	4.1	14.2	4.7	13.6	5.4	14.2
	NINA	2.3	6.7	2.6	7.4	2.7	7.5	2.7	7.4	2.5	7.2	2.1	6.7	1.6	5.7
1976	BILLIE	1.3	8.9	1.3	5.1	1.6	5.8	1.6	5.8	1.5	5.6	1.2	4.8	*	*
	RUBY	*	*	*	*	*	*	—	—	3.6	12.3	3.4	11.5	3.0	10.9
	AMY	1.4	8.2	1.8	8.0	2.2	7.9	2.7	7.9	2.6	7.5	—	—	—	—
1977	RUTH	1.6	10.2	4.1	9.9	2.8	9.3	1.2	7.6	2.0	11.9	*	*	2.8	8.0
	THELMA	3.3	8.3	4.1	8.4	4.5	8.7	3.8	8.2	3.1	8.0	1.1	7.3	*	*
	IRMA	2.1	4.4	—	—	*	*	*	*	*	*	—	—	*	*
1978	OLIVE	1.2	9.7	1.0	8.9	1.0	9.5	—	—	—	—	—	—	—	—
	GORDON	*	*	*	*	*	*	1.2	11.5	1.6	10.3	1.9	9.8	2.5	9.8
	HOPE	—	—	*	*	1.6	10.0	2.8	11.5	3.4	11.0	4.1	10.7	5.0	10.5
1980	IDA	*	*	*	*	*	*	1.1	10.3	1.3	9.5	1.6	8.9	1.2	8.6
	NORRIS	1.0	8.6	*	*	1.4	5.5	1.4	5.3	1.1	4.6	*	*	*	*
1981	CLARA	*	*	*	*	*	*	2.0	13.9	2.6	13.3	3.1	12.8	3.7	12.6
	IKE	3.7	7.8	3.3	7.3	2.3	7.0	—	—	*	*	—	—	1.9	9.7
1982	ANDY	4.2	6.6	4.0	7.4	4.3	8.1	4.6	9.2	4.7	8.5	4.6	8.2	4.2	7.9
	DOT	2.3	4.1	*	*	2.0	5.8	2.6	6.8	2.7	7.4	3.5	7.6	2.9	7.3
1983	ELLEN	*	*	*	*	*	*	—	—	1.9	13.3	2.4	12.9	2.8	12.6
	WYNNE	*	*	*	*	1.3	10.6	2.4	11.8	3.0	11.2	3.5	10.8	3.8	10.4

註：“*”表示推算波向線與颱風路徑夾角小於5°或風速未超過8m/sec或風向與波向逆向等。

“—”表示推算波向線上波高小於1.0m，

表3.5-8 (續1) 高雄港颱風波浪推算結果

年	颱風名稱	NW		WNW		W		WSW		SW		SSW		S	
		波高	周期	波高	周期	波高	周期	波高	周期	波高	周期	波高	周期	波高	周期
1984	WYNNE	—	—	*	*	*	*	—	—	1.1	9.6	1.4	9.4	1.7	8.6
1985	HAL	*	*	*	*	*	*	1.2	12.2	1.6	12.1	2.0	11.4	2.3	11.1
	VAL	*	*	*	*	*	*	—	—	1.1	9.2	1.5	8.3	1.7	7.9
1986	NACCY	1.8	9.0	2.2	8.8	2.5	8.4	3.3	8.5	2.8	8.6	—	—	*	*
	ABBY	2.7	7.0	2.8	7.7	2.8	7.6	2.5	7.3	2.1	6.7	1.6	5.7	*	*
	PEGGY	*	*	*	*	—	—	1.6	11.9	2.0	11.8	2.2	11.6	2.2	11.3
	WAYNE**														
1987	ALEX	1.5	5.6	1.4	5.5	1.2	4.9	—	—	*	*	*	*	*	*
	GERALD	*	*	1.8	9.4	2.4	9.1	3.4	9.1	4.6	9.4	4.6	9.0	4.1	8.7
1988	KIT														
	SUSAN	3.4	6.2	2.8	6.1	1.9	5.8	—	—	*	*	1.2	9.8	3.0	10.9
	WARREN	*	*	*	*	*	*	1.3	12.8	1.7	11.7	2.1	11.4	1.1	10.7
1989	SARAH	2.3	7.1	2.2	6.8	1.9	6.2	1.3	5.2	*	*	*	*	*	*
1990	DOT	3.0	6.2	*	*	3.2	7.3	3.4	7.4	3.6	6.7	3.6	6.4	3.1	6.2
	MARIAN	1.4	7.4	1.1	7.1	—	—	—	—	—	—	—	—	1.2	8.4
	OFEILIA	2.3	6.3	2.3	6.0	2.4	4.0	2.2	4.0	1.4	3.7	*	*	*	*
	YANCY	1.3	8.6	*	*	1.7	6.0	1.5	5.7	1.2	4.8	*	*	*	*
1991	AMY	3.6	6.2	*	*	3.2	7.3	3.4	7.4	3.6	6.7	3.6	6.4	3.1	6.2
1992	OMAR	2.9	6.1	2.7	7.2	*	*	2.8	6.8	3.2	7.1	3.5	6.6	3.3	6.9
	POLLY	—	—	1.3	5.1	1.0	4.5	*	*	*	*	*	*	*	*
	TED	2.0	5.2	2.0	4.8	1.9	4.2	2.2	3.9	—	—	*	*	*	*
1993	ABE	*	*	*	*	*	*	1.8	11.2	2.2	10.6	2.8	10.6	3.4	10.7
1994	CATLIN	2.4	4.0	2.5	3.9	1.6	5.4	1.8	5.7	2.2	5.7	2.1	4.8	2.1	4.7
	TIM	2.9	6.1	2.8	6.2	3.1	7.5	3.2	7.8	3.2	7.7	2.9	7.5	2.4	6.5
1995	KENT	*	*	*	*	*	*	1.4	12.1	1.9	11.6	2.4	11	2.4	10.7

註：“*”表示推算波向線與颱風路徑夾角小於5°或風速未超過8m/sec或風向與波向逆向等。

“—”表示推算波向線上波高小於1.0m，

表3.5-8 (續2) 高雄港颱風波浪推算結果

年	颱風名稱	NW		WNW		W		WSW		SW		SSW		S		
		波高	周期	波高	周期	波高	周期	波高	周期	波高	周期	波高	周期	波高	周期	
1996	CAM	*	*	*	*	*	*	*	*	2.7	12.3	2.2	11.3	1.7	10.3	
	GIORIA	1.4	10.5	2.1	8.9	2.5	8.9	3.7	8.9	4.2	9.0	3.8	8.7	1.8	6.7	
	HERB	1.3	8.6	1.7	6.1	1.8	6.2	1.7	6.1	1.5	5.6	—	—	*	*	
1997	AMBER	3.8	6.5	*	*	3.8	7.9	4.2	8.3	4.3	7.2	4.1	7.4	3.6	7.2	
1998	BABS	1.7	10.9	1.7	8.0	1.7	6.9	3.2	12.3	*	*	1.8	6.3	1.3	5.1	
	NICHOLE	1.7	7.1	2.3	7.3	3.4	8.4	*	*	3.0	8.3	2.5	7.4	1.9	6.5	
	OTTO	*	*	1.3	5.0	1.6	5.5	2.0	4.5	2.4	5.0	*	*	—	—	
1999	ZEB	2.5	6.3	2.2	6.7	1.6	5.8	*	*	*	*	*	*	*	*	*
	DAN	2.3	10.4	2.6	8.9	2.9	8.1	4.1	10.9	4.7	10.3	*	*	4.0	9.4	
	MAGGIE	2.5	6.3	2.2	6.7	1.6	5.8	*	*	*	*	*	*	*	*	
2000 a	BILIS	3.2	5.9	2.9	7.4	3.1	7.2	3.6	7.9	3.7	8.3	3.6	8.2	3.1	7.8	
	KAITAK	*	*	*	*	*	*	*	*	—	—	4.7	13.6	4.3	12.9	
	XANGSANE	1.8	5.8	2.0	4.2	1.7	3.9	*	*	*	*	*	*	—	—	

註：“*”表示推算波向線與颱風路徑夾角小於 5°或風速未超過 8m/sec 或風向與波向逆向等。

“—”表示推算波向線上波高小於 1.0m，

表3.5-9 花蓮等港口歷年颱風波浪推算結果之比較

年	颱風名稱	花蓮港				蘇澳港				臺中港				高雄港			
		本計畫		梁等(1985)		本計畫		梁等(1985)		本計畫		梁等(1985)		本計畫		梁等(1985)	
		波高	周期	波高	周期	波高	周期	波高	周期	波高	周期	波高	周期	波高	周期	波高	周期
1971	AGNES	5.9	11.2	5.8	11.9	5.4	10.6	6.54	12.29								
	NADINE													4.1	8.8	4.92	11.53
	RESS	5.8	14.4	6.38	12.07	6.2	14.0	7.41	12.57	3.6	11.5	4.54	11.12				
1972	BETTY	9.2	16.8	6.06	11.84	5.6	13.6	6.59	12.04	3.0	12.1	4.55	11.14				
1973	NORA													4.5	11.4	5.64	12.11
1974	WENDY	4.2	11.0	3.98	10.86	4.8	11.5	4.09	10.94								
1975	BETTY	5.5	11.0	8.61	13.11	4.3	14.6	8.09	12.95	2.5	7.3	5.27	11.96	3.8	7.6	6.02	12.15
	ELSIE	4.5	14.5	5.6	11.67	4.8	11.5	4.09	10.94	2.5	14.2	5.95	12.00	5.4	14.2	7.96	12.78
	NINA	11.9	15.6	8.87	13.04	9.5	9.0	8.96	12.96	5.5	9.1	6.12	12.7	2.7	7.8	4.26	11.02
1976	BILLIE	5.2	13.0	6.20	11.87	6.2	12.2	6.82	12.14								
1977	THELMA									3.6	6.2	4.86	11.54	4.5	8.7	3.81	10.75
1978	DELLA	3.7	7.9	5.06	11.93	3.4	7.7	6.18	12.71								
1980	NORRIS							8.7	10.2	6.05	11.8						
1981	IKE	3.3	10.2	4.12	10.75	3.1	10.6	3.88	10.64	3.7	7.8	4.09	10.84	3.7	7.8	4.09	10.84
	JUNE	6.6	13.6	5.43	11.76	8.1	13.2	5.58	11.8	2.2	4.1	3.02	10.17				
1982	ANDY	8.2	14.4	7.86	12.65	6.3*	14.6	7.25	12.45	2.6	11.2	7.13	12.57	4.7	8.5	5.08	11.71

3.6 波浪推算資料同化的發展

3.6.1 波浪推算與資料同化

波浪的生成與風場的變化有很大的關連性，因此波浪的推算除了湧浪的傳播外，主要仍以風波為主。波浪的推算也必須以風場作為主要的外力輸入，並需要考慮風場的變化歷程。在數值模式的建立上，大氣與波浪的行為常以一組用數學方程式表示的物理定理來代表，透過由這些物理定理可以計算大氣的量或場(如溫度、風向和風速及濕度等)將如何改變，因此如果我們可以解出這組代表物理定理的數學式，我們就可以由目前的天氣狀態推衍出對未來天氣現象的描述，這就是我們所謂的數值天氣預報。而如果能曉得的風力與波浪成長衰減間的關係，則由風場的變化也可以進一步推算海面上的波浪變化情形。

然而，由於表示物理定理的數學式均相當複雜，尤其是實際相關的邊界條件過於複雜無法用簡單數學式來加以表示，導致從數學上並無法找到完整而正確的解析解來描述未來大氣或波浪的行為，因此我們只能透過數值模擬的方式來獲得近似解。然而為了利用有限的計算資源來完成數值推算的工作，也往往對整個物理的問題進行了某程度的假設與簡化。電腦是目前進行數值解析的主要工具，如果代表大氣場或波場的空間解析度太低，則所推算得的未來變化場就越不詳細，對海氣象預報的助益就越小；而大幅度提高數值計算的空間解析度，當然越能詳細描述海氣象場的變化，對海氣象預報的助益就越大，但也意謂著得利用計算能量較大(也較昂貴)的電腦資源才能得到模擬結果。

目前波浪的數值推算可以依照其計算的時間點來區分為追報(hindcast)、現報(nowcast)、以及預報(forecast)三類，其中預報部分的正確性由於無法取得未來的海氣象變化資料，因此只能依靠數值模式本身所使用的數學理論是否周延，以及參數的選擇是否正確；而追報與現報則可以利用現場的實測資料來加以檢核與改善。在過去的波浪分

析與應用中，實測資料多只用來進行數值模式推算結果的檢核而已。而結合數值模式推算結果與現場實測資料來建立一較佳的海象預報模式的工作稱之為資料同化或資料分析(data assimilation or analysis)。資料分析首先被應用於氣象學的領域裡，氣象學家會先在氣壓實測的資料上繪製等壓線並比較及歸納氣壓分佈的標準型式，然後將分析成果帶入數值模式中。

由於實測的資料可以同時應用在數值模式的檢核與改善上，當一個模式是用數值自動模式擬合技術來進行改善(例如調整公式裡的參數)，也就是所謂的逆算建模(inverse modeling)，而不是直接利用一個固定的模式來計算資料然後再和實測資料相比較，實測資料便可在這種逆算建模中協助建立一較佳的模式。而所謂的資料同化一般是根據一動力模式逆向模擬處理任何數學模式與修正相關變動參數以便使計算資料與實測資料更加吻合。對中短期數值海氣象預報而言，預報品質的好壞受到初始場的影響很大。將各種實測資料以特定變數型式彙整至特定的網格系統的步驟稱為資料同化，其結果稱為分析場，而此分析場通常也是數值海氣象預報系統之初始場。如果在資料同化過程中不只考慮資料在空間上的互動關係及其間的差異性，同時也考慮資料在時間上之關連性時(例如利用數值動力預報模式進行不同實測時間資料的串聯)，便是所謂的資料四維同化。初始場的最佳估算是資料化工作中的主要目標之一。

大氣的資料同化觀念早從西元 1960 年代便已經引入到數值天氣預報中，而波浪預報方面則很晚才開始注意到此一問題。氣象預報的品質需要從預報模擬計算開始的初期狀態便進行大量的修正，也就是說在氣象預報上初期化是個非常重要的關鍵。然而在波浪建模上這並不是問題。事實上，當模式有效地啟動了以後，所有的初期條件都已經被取代而消失了。而且在早期的波浪模式中，風力場的品質成了最後波浪推算資料品質的限制因素。隨著風場預測及分析的改善，對波浪推算品質的改善，以及希望結合波浪推算與現場實測資料的要求也隨之增加。

雖然，波浪推算模式的改善已經有相當的進展，但由於缺乏高品質的實測資料，資料同化的企圖仍然被延宕了相當久的時間。目前只有在北海的聯合實測(JONSWAP)由於有相當密的實測網而成為早期資料同化研究的目標，因此較為成功外，全球性的實測資料由於僅能從船舶進行目視實測所得到的資料而有較大的誤差，而且其整體性分佈也不均勻(以國際海運航線為主)，因此仍是不正確。類似的情形其實也存在於氣象學裡，因為在陸地上可以充分地設置實測站，然而海面上則僅有少數幾個實測站，尤其是南半球的部分。

由於氣象實測衛星的發射，明顯地突破了此一困境，也提供了很多資訊給大氣及海洋模式的建立以及氣候的研究。例如，海洋氣象衛星可以提供固定時間間隔(例如，0、6、12 及 18 小時等)並以陸地部分為主的海氣象資料，而地表實測衛星也可以提供連續的海洋實測的資料。這種連續性實測資料的提供導致了資料同化從單一固定時刻的資料同化延伸為四維的系統，包含對時間軸的資料同化。

由以上所述可以知道，發展數值海氣象預報的要件包括了要有足夠且分佈均勻與準確的海氣象實測資料，並配合有效的資料四維同化技術、合理精確的數值天氣預報模式、及具高速運算能力的電腦資源。

參考鄭明典(2001)的回顧，氣象實測大致可以分為傳統(定時定點)的氣象探空實測，以及非傳統(在時間軸上近似與連續)氣象實測，如衛星遙測、飛機氣象報告及地面的雷達、剖風儀等。雖然目前最準確而可靠的氣象資料來源仍屬傳統的氣象探空實測，但是由於經費與分析技術的限制，並非所有國家都有能力也有興趣支持此項實測業務，而使得此項實測有逐漸式微的情形。就全球性氣象實測資料來源的穩定性而言，傳統氣象探空實測亦非任何單一國家或組織所能掌控，因此先進國家轉向開拓不受國界限制之實測平臺。

就過去十數年的氣象資料量的變化情形來看，全球性的氣象實測資料成長數量最多的是衛星遙測資料，而且預期此一趨勢將會持續成長。基本上，衛星實測所提供的是一幅幅強度的資料，雖然一般而言是

將幅射資料利用衛星反演計算後才使用於數值天氣預報，而此一步驟常會產生相當程度的誤差。此一過高的誤差及不充足的垂直解析度是現今衛星遙測資料最為被詬病的地方。然而隨著遙測及資料同化技術的進步，衛星遙測資料的可用度正逐年提昇中，就全球氣象資料同化的發展而言，未來很可能衛星遙測資料會成為唯一的資料來源。

3.6.2 整合性的資料同化技巧

在波浪模式建置中，資料同化的主要應用是在一個結合風場與波浪場的資料同化中對 scatterometer、altimeter 及 SAR 等資料的同化。其原因是這些儀器所取得的資料通常都是不完整的或者是不明確的，而且必須用其他的儀器或傳統的實測系統的資料來進行補遺。例如

- Scatterometer(散射量度器)可以量測小範圍的表面粗糙度，它和地表風場及表面應力有關。這些資料與從大氣模式所獲得的邊界層穩定性資料可以轉換成地表風場，而可以作為氣壓資料同化技術的輸入資料。對於最佳逆算 scattermeter 演算法中除了需要有初期猜測風場，而對於改進的資料修補可能還需要有初期猜測波浪場。
- Altimeter(高度計)可以提供示性波高與風速，而實測的波高與初期猜測模型波高可以應用在二維波譜的能量修正上。然而為了更新整個二維波譜，將會需要更多的資訊或假設。
- SAR(Symthetic Aperture Radars，孔徑合成雷達)可以獲得完整二維頻譜上經過率定的資料，不過由於凍結的海洋波浪影像上有 180° 方向的不明確性 ambiguity inherent 以及由於影像機制的高非線性所引起的高頻部分截斷，使得這些資料的有效性受到限制。雖然如此，利用模型波譜作為初期猜測值，我們仍可以從 SAR 潷取到有用的波譜。這些更詳細的資訊可以明顯地更新原來僅僅使用示性波高所進行的簡單資料同化。

有關波浪推算的同化作業，Hasselmann(1985)建議提出了一完整的風場與波場的資料同化系統，圖 3.6-1 顯示其建構的系統。由於衛星資

料演算與初期猜測資料有交互相關，因此該系統內包含了衛星資料演算，例如 SAR 的反算技術。利用初期猜測預報資料作為輸入資料，從衛星資料演算所得到的資料便可以帶入大氣與波浪推算模式及資料同化的整合模式中。所有的衛星資料與傳統的實測資料將與初期猜測場結合以提供有關風、波及一般氣象預報的修正初期分析場。修正分析場可以被用在各種不同的應用中，例如提供海象統計，或是從地表風場及應力場計算全球性風驅洋流等。由於整個系統關連非常廣，目前的相關研究工作都僅能集中在局部性的處理，要完成整個系統可能還需要努力很多年。

在波浪推算模式中的資料同化主要的仍是引用在大氣模式使用多年的技術，但仍有部分不同點：

- 由於波場的反應對風場相當地敏感，波場的資料同化中需要有風場與波場的聯合分析。如果修正的波場中含有湧浪的成分，則修正的湧浪將會在剩下的波浪推算過程中持續傳播。但是如果修正波場中只含有風波部分，而且不正確的風場並未隨著波場修正，則修正波場將會很快地衰退回原來的不正確波場。在大氣資料同化中有一類似的處理，就是將實測的風速資料緩換成氣壓場的變化，如果沒有進行此一工作的話，實測的資料將會很快的被清除掉。而事實上波浪的實測提供了一個評估風場品質的高度敏感指標，一般也認為波浪資料同化的主要動機對波浪分析的改善不如對風場的改善來得重要。
- 在個別節點上進行的連續波浪資料同化並不會像大氣模式中一樣引起嚴重的動態性衝擊，因為單一節點的修正傳播進入整個預報中，由於所有的物理過程都是局部性的，不會有相鄰節點的動態耦合現像。因此，在大氣模式中需要配合重力波的動態平衡初期化問題在波浪的資料同化中不會發生。
- 在波浪資料同化中的可用資料是明顯地比氣象實測系統中還更為不完整，例如只有具不明顯的整體性或方向性的波譜。一

個風場與波場的資料同化必須正視此一將不完整資訊引入最佳頻譜更新過程的問題。

- 波浪實測的影響範圍無法事先預估，而只能完全依賴海象的變化。例如，因為遠距暴風引發湧浪的空間修正尺度就比局部風場引發的湧浪修正來得大。一個風場與波場的資料同化技術就必須在資料同化過程中計算這些機制，並隨時追蹤各頻譜成分的成長情形，同時可能也需要過去的以及距離實測站某一距離的風場資料。

在所有的資料同化技術中有一個非常重要的特色，就是實測的資料無論如何一定少於模式的節點數，因此在模式的發展中輸入到一個節點的資訊必須也分佈到鄰近的節點以免產生不合理的不連續性。有關空間與時間的資料內插通常可以有兩種技術：

運動學技術(Kinematic schemes，屬於三維同化技術)忽略模式的限制，並且在某一特定時刻 t_0 利用線性結合在時刻 t_0 的初期猜測以及在 $[t_0-t_1, t_0+t_1]$ (t_1 為三個小時) 時段間所收集的資料的線性組合建立一分析場。所用的權重是推算誤差的經驗函數，或者由推算模式或是實測誤差的共變異數(covariance)計算而得。最早的波浪資料同化就是利用此一技術，例如 Janssen et al. (1987 及 1989)，Hasselmann et al. (1988)。他們僅修正波場，但風場則僅是修正同一時間的風場，而非所有風場。,

動力學技術(dynamical schemes，屬於四維同化技術)在模式方程式的限制下輸入實測資料。例如伴隨技術(adjoint technique)、Kalman-Bucy 濾波或是 Green(impulse)近似。此一技術相當複雜，而且需要較大的計算資源，目前正在發展中。

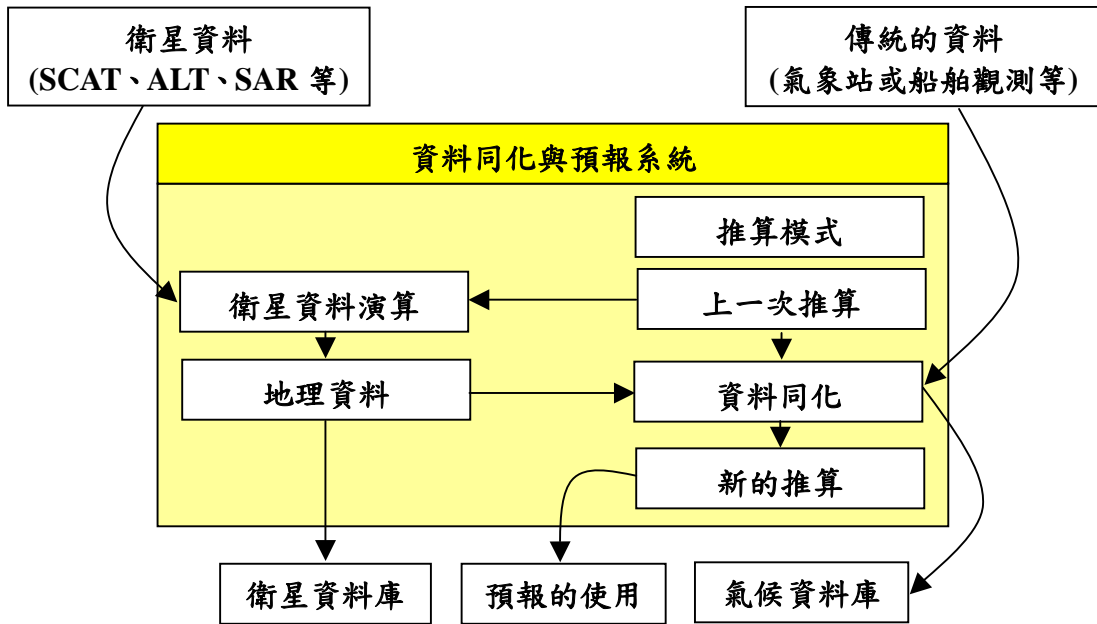


圖 3.6-1 風場及波場整合同化及預報系統

在波浪推算過程中，波浪成長是由動力過程(dynamical processes)所控制，因此海洋的水面變動歷程 $\eta(\mathbf{x}, t)$ 應該被視為一個機率過程(stochastic process)，而其能量的分佈則用波譜 $F(\mathbf{k}; \mathbf{x}, t)$ 來表示。由於波譜也被視為一個隨機過程，因此資料同化及逆算建模也都包含了一個二階隨機化的過程(second stochastization)。由於數值模式中沒有/無法考慮到某些效應，因此無法得到正確的計算結果；也由於量測誤差的問題，實測資料中一定有誤差。

有鑑於此，所有計算的頻譜 F 應該始終被看成是一個具有機率分佈 $P[F(\mathbf{k}; \mathbf{x}, t)]$ 的可能頻譜隨機函數中的一個特定取樣。在某些應用上，具統計本質的 F 會明確地定義，例如將一個 white noise 外力項加入能量平衡方程式中，或是假設初始值為隨機的。而在其他應用裡則可能只是讓它隨著其他因素自由發展。

同樣地，由於量測系統的誤差或是將原始資料轉換成地球物理學上的參數時的不完整演算過程，現場的量測也必須將其視為一個隨機變數。

3.6.3 波場資料同化技術的發展

參考陳(2004)的研究，目前有關波浪推算的資料同化發展大多以最小二乘法原理(least square method)，設法將模式預測與實測值之偏差最小化。在資料同化的初期係將實測值直接內插至模式格點上，以作為模式的初始場，此種方式稱為主觀分析 (subjective analysis)。後來，考量到實測值的空間分佈不均勻性，Panofsky (1949) 將實測值以曲線擬合方式 (curve fitting) 內插至格點上，此種方式又稱為客觀分析 (objective analysis)。然而由於在缺乏實測值的地區，利用曲線擬合很容易產生不連續的問題，故 Bergthorsson et al. (1955) 將模式背景場的觀念納入客觀分析中，而 Cressman (1959) 利用實測值誤差作為迭代收斂條件，稱為逐步校正法 (successive correction)。Gandin (1963) 進一步利用最小二乘法的概念，將實測值與模式推算值間均方差之最小化，並透過權重方式進行線性疊加，其權重包含了實測值、模式推算的誤差與相關函數，這種處理方法後來稱為最佳內插法 (optimal interpolation, OI)，在 80 年代開始被廣泛應用，並逐漸成為作業化的同化方法。而變分資料同化 (variation data assimilation, VAR.) 則是利用變分原理，重複調整最小化分析場、背景場及實測值的均方誤差，使其能獲得最佳的分析場，這種處理方法自 90 年代開始逐漸成為客觀分析方法的發展主流。

卡門濾波法則是連續性資料同化的一種，最早由 Kalman (1960) 提出，其利用前一時刻及同一時刻的實測值，與模式初始場作線性組合。惟其在求解均方誤差矩陣時，受到模式變數維度影響，較最佳內插法耗費記憶體及分析時間。另外，由於模式推算誤差與模式的動力發展有關，而 Kalman 原係針對線性系統所發展出來的 Kalman filter(KF)，一旦遇到模式為非線性系統時，KF 便無法作出最佳的評估 (Evensen, 1992)。因此後來發展出各種簡化的 KF 方法，例如 Voorrips 等人 (1999) 利用 Extended Kalman Filter (EKF) 的方法，改善空間領域的預報誤差，其與 OI 同為時間獨立 (time-independent) 的同化方法。

Komen (1985) 首先嘗試以實測波高應用於波浪數值模式資料同化

的研究，但受到湧浪的影響，使得港口附近的推算值有高估的現象。Thomas (1988) 結合浮標實測的波高值與風速進行資料同化，藉由實測風速重新分配 JONSWAP 波譜的能量與尖峰頻率。Hasselmann 等人 (1988) 及 Bauer 等人 (1992) 則以實測波高與模式推算值之比值作為修正二維波譜的參數，但在距離實測資料較遠的格點會產生極端的修正參數。Janssen 等人 (1989) 利用衛星實測波高資料來探討波高與風場的修正，他將波譜分為風浪波譜與湧浪波譜，湧浪波譜的修正為保持原有的波譜形狀及尖峰頻率而修正其能量，而風浪波譜的修正則是根據 Thomas (1988) 的研究以 JONSWAP 波譜重新分配波譜能量與尖峰頻率。Lionello 等人 (1992)、Lionello 等人 (1995) 及 Hasselmann 等人 (1997) 則利用最佳內插法之概念改善模式初始場，並以尺度因子修正模式預報波譜。Hasselmann 等人 (1994) 及 Gerling 等人 (1992) 利用波譜分割 (spectral partitioning) 的概念，直接以衛星實測的二維波譜進行同化，降低 OI 中求解變量的計算時間，又可稱為 Optimal Interpolation of Partitions (OIP)。

Voorrips et al. (1997) 曾利用兩種商業化波浪模式資料同化系統進行模擬比較，分別為 WAM/OIP 及 PHIDIAS/DASWAM，後者為 Delft Hydraulics 發展的第三代風浪模式，採 Adjoint method 作為資料同化方法。由於 WAM/OIP 乃利用浮標實測點作為同化變量，故同化修正範圍侷限在實測點附近；兩種資料同化後的風場沒有明顯改變；但透過偏差與變異數的分析，OIP 計算結果與實測值較為相近。

有關波浪推算的資料同化技術研究，雖然可以大量參考在大氣科學裡的發展成果，但由於氣象與海象資料的屬性與其變化機制不同，目前波浪方面仍在測試及發展當中，而就目前國內發展的經驗所知，波浪資料同化的瓶頸可能仍在於眾所皆知的實測資料的分佈不均勻且不同步、品質不一致、數量也有所不足。後續的工作中可能需要從現有的資料裡先研究相關參數間的統計特性，例如實測的風與波浪資料間的關係。

第四章 即時現報作業

4.1 臺灣近岸海域模式即時現報作業

本年度已經取得中央氣象局每日預報氣象資料，因此提前測試執行臺灣近海海域模式即時現報作業系統，目前參與現報作業的模式如下：

波浪模式：

WAM – 西太平洋大範圍模式

SWAN – 臺灣海域波浪模式

水位模式：

全域複合潮模式（西太平洋大範圍模式）

4.1.1 作業程序

配合氣象預報資料長度，目前每次現報作業時間為三天，包含 24 小時現報（現報結果與七大港即時觀測系統資料比對）及 48 小時預報（僅呈現模式計算結果），每日預報一次。圖 4.1-1 為即時現報作業示意，即 6 月 27 日下午兩點發佈的 TaiCOMS 現報資料時間為 6 月 26 日 0 時至 6 月 29 日 0 時，此時會將 6 月 27 日 0 時的計算結果存檔，以做為 6 月 28 日的計算起始點（warm start data），如此便可以將每日的氣象條件引入模式作計算，如此更能推算出符合實際情況的波浪及水位結果。

中央氣象局每日預報時間為 0 點及中午 12 點，由於氣象預報資料計算完成至上傳需數小時，考量到發佈時間的時效性，目前以前一日 12 時的氣象預報資料作為 TaiCOMS 氣象資料，原訂期望能夠在每日上午 10 點取得前一日中午 12 時產生的 72 小時預報資料，經解碼重整產出各模式所需氣象資料後，計畫期間暫時置於中山大學的主機伺服器，以供各模式負責團隊自行下載供計算現報及預報的水位及波浪，

各負責團隊將計算結果會於當天中午 12 點以前回傳至主機伺服器，再由系統自動進行整合與後處理，待製圖完成後於每天下午兩點以前更新即時作業網頁資料。目前嘗試提前至每日清晨 3 點即開始下載氣象資料，網路傳輸順利的情況下，作業均可提前。圖 4.1-2a 為線上預報流程圖。

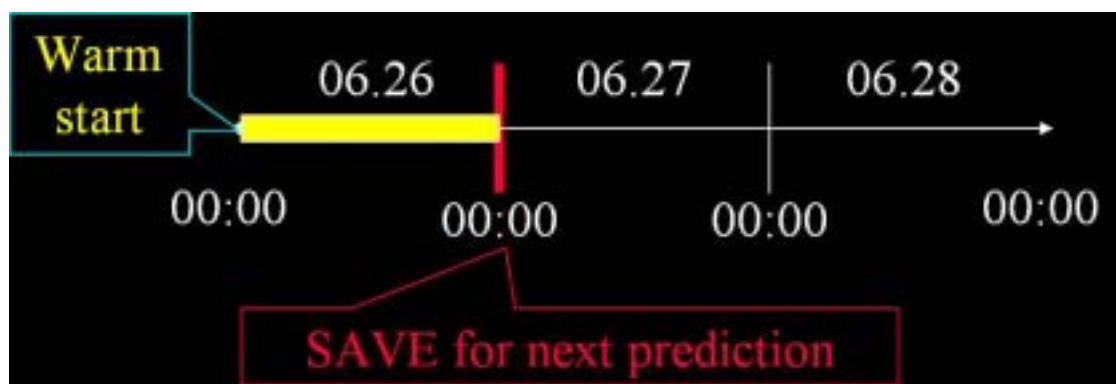


圖 4.1-1 現報作業預報時間

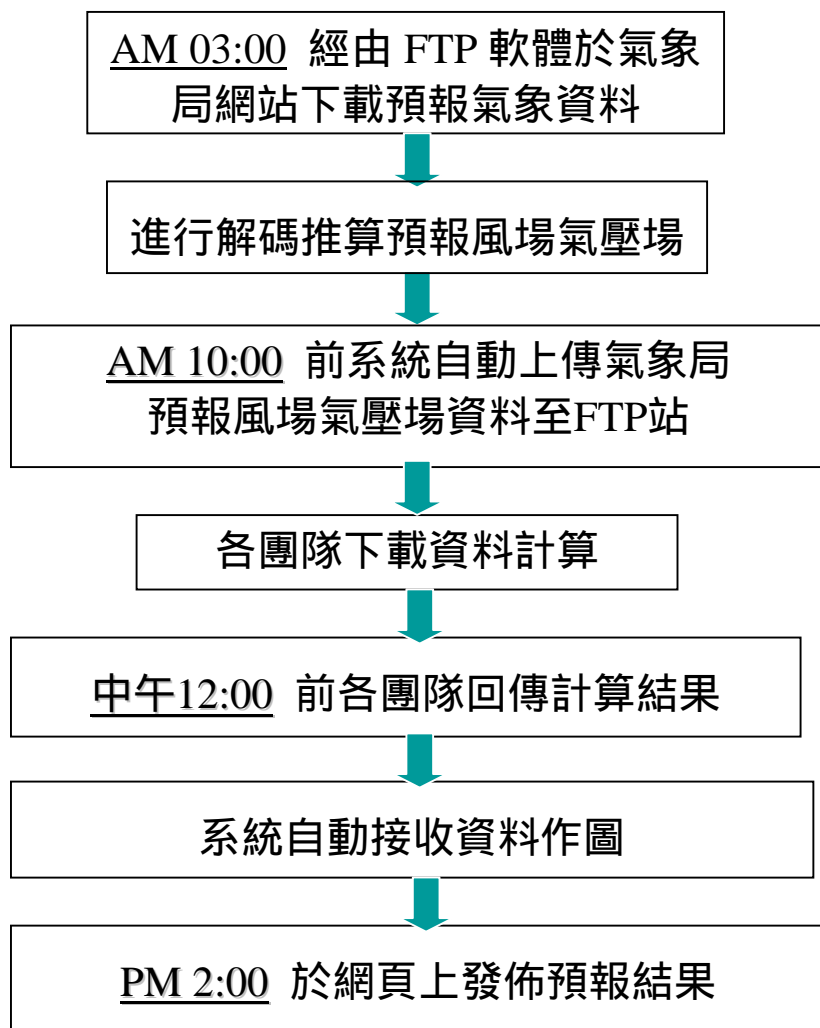


圖 4.1-2a 即時作業線報流程圖

目前已完成上線預報作業的項目為水位、流場、WAM 及 SWAN 波浪模式；另外，自中央氣象局取得之預報風場及氣壓場經解碼及格點轉換及內差處理後，亦經可視化處理將動畫展示於本計畫網頁。圖 4.1-2b 為 TaiCOMs 線上作業執行程序。模式計算之執行檔皆已產生，因此只要利用系統排程程式自動執行即可，目前 TaiCOMs 系統主要有以下六個執行檔啟動程式計算，首先為 genewind.sh，此檔案負責至氣象局 ftp 站下載當日預報所需資料，並將其解碼以利各團隊使用，執行完畢後，進入水位流場計算及波浪計算，分別為 run_n_backup.sh 及 taicoms_run.r、operate_wam.sh、operate_swan.sh，產生計算結果，並繪

製網頁展示所需要之圖檔，最後待各模式程序皆執行完後，執行 cp2dir.sh，將圖檔放置網頁指定的資料夾內，即完成當日預報程序。

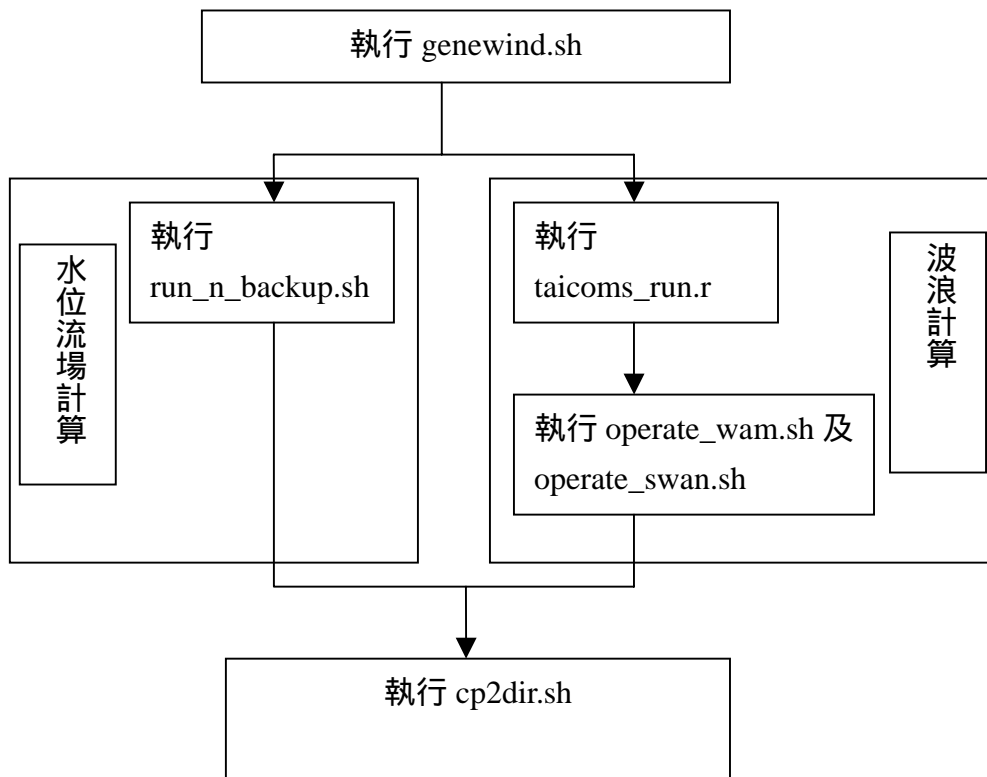


圖 4.1-2b TaiCOMs 線上預報執行程序

預報呈現的圖形計有七大港區三日水位變化時序圖、三日西太平洋海域水位及流場動畫、三日七大港區西太平洋大尺度網格波浪模式（WAM）及臺灣海域中尺度網格波浪模式（SWAN）等模式計算結果之波高、波向及週期時序圖以及三日 WAM（西太平洋海域）及 SWAN 模式（臺灣附近海域）波高、週期及波向動畫。圖 4.1-3~4.1-8 即為各模式每日預報之結果。圖 4.1-3 為各港區水位預報時序圖。圖 4.1-4 為三天平面水位動畫截圖，可提供西太平洋海域水位變化的趨勢。圖 4.1-5 為三天平面流場動畫截圖，目前流場模式僅為初步建置完成，未來還需利用實測資料持續校正模式。

圖 4.1-6 為 WAM 及 SWAN 模式於各港區的波高時序圖，黑色線為

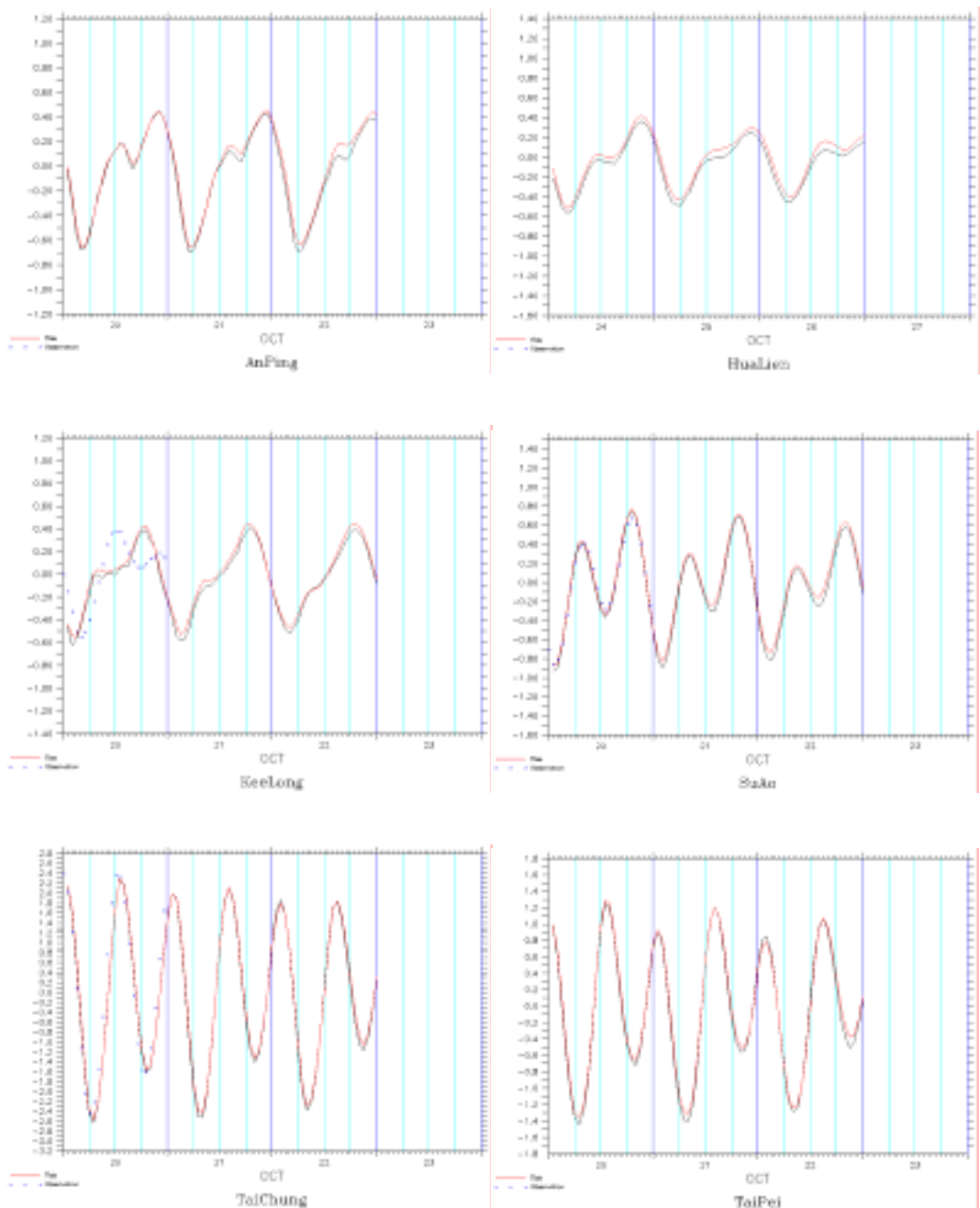
WAM 模式結果，紅色線為 SWAN 模式結果，藍色點為測站實測資料。圖 4.1-7 及圖 4.1-8 為 WAM 及 SWAN 三日波高預報動畫截圖，可提供西太平洋海域及臺灣附近海域波高趨勢參考。

實測資料已於九月份後可同步較穩定的上傳，目前僅有四個港區有資料上傳（花蓮、蘇澳、基隆及臺北港），然在今年度颱風肆虐之下，花蓮港區的觀測器材流失，因此現階段僅剩三個測站資料上傳，這部分仍需要加強資料的量及質。

目前還未上線之模式為近岸波場模式（七大港區近岸海域）類神經網路預警模，待未來取得預報資料後，即可上線預報。

現階段預報遭遇最大的問題是電力穩定性及網路穩定問題，目前因為本中心計算主機尚未建置完成，所以各團隊只能於各地區分別計算，若遇上停電或網路連結問題，則當天上線預報資料傳輸就會發生問題，目前系統已配合計畫發展研發建置完成計算主機，希望各團隊於今年度結束前將程式上傳並測試，期望下年度作業可統一於中山計算主機運算及資料交換，解決此部分問題。至於網路穩定性的問題，除保持目前作業路徑，也希望明年可以租用商業網路主機放置網頁展示檔案，以減少因學校網路中斷，外部使用者無法連結網頁的問題。

除了電力及網路問題外，另一問題即是中央氣象局預報氣象資料的取得，由於颱風期間中央氣象局會延遲發佈預報氣象資料結果，因此會延誤預報的時效性，甚至導致當天無預報結果可展示，此部分為不可控制之因素。



**圖 4.1-3 各港區水位預報時序圖範例
(藍線：複合水位，紅線：天文潮，藍點：實測水位)**

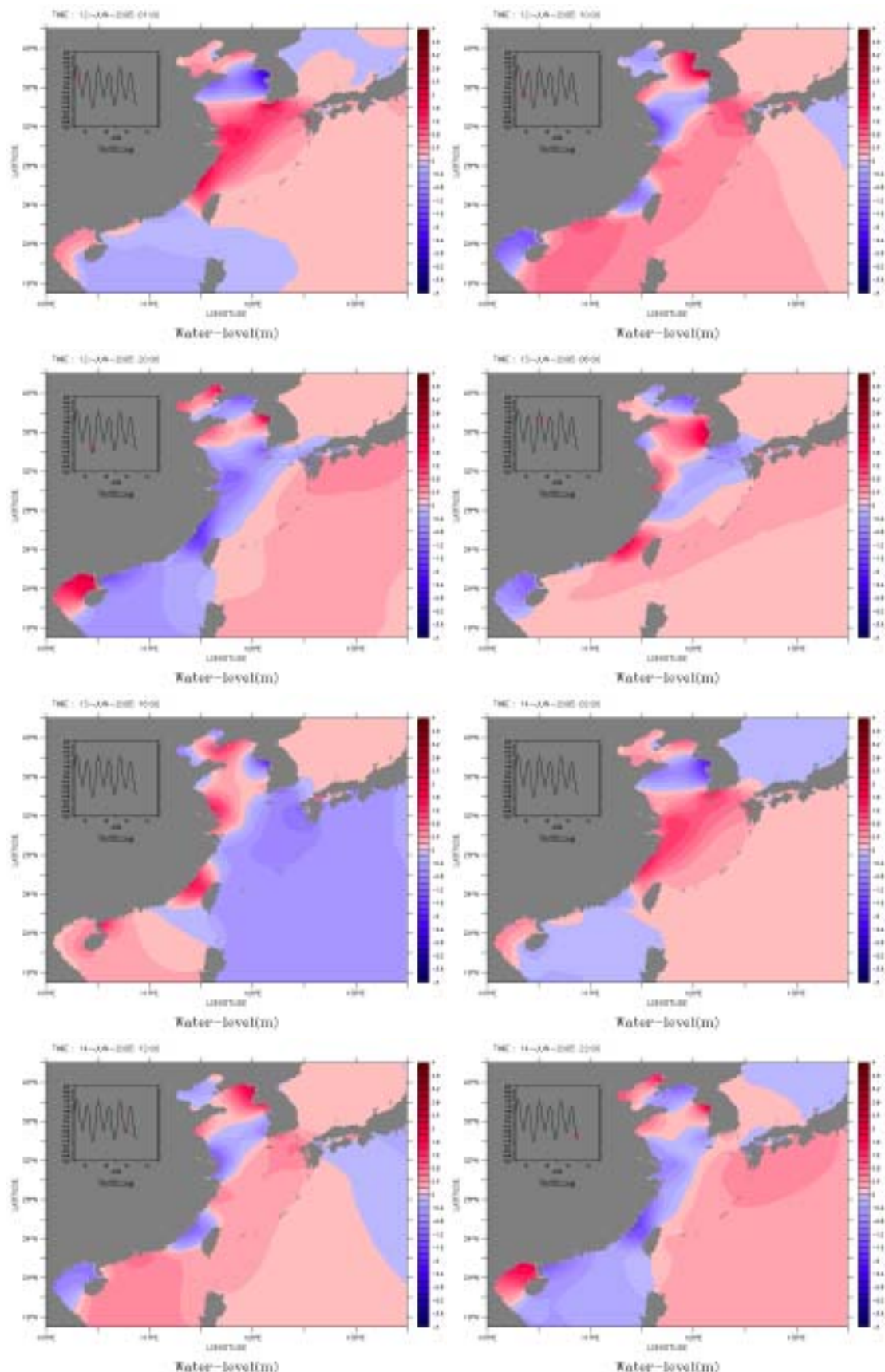


圖 4.1-4 平面水位預報動畫截圖範例

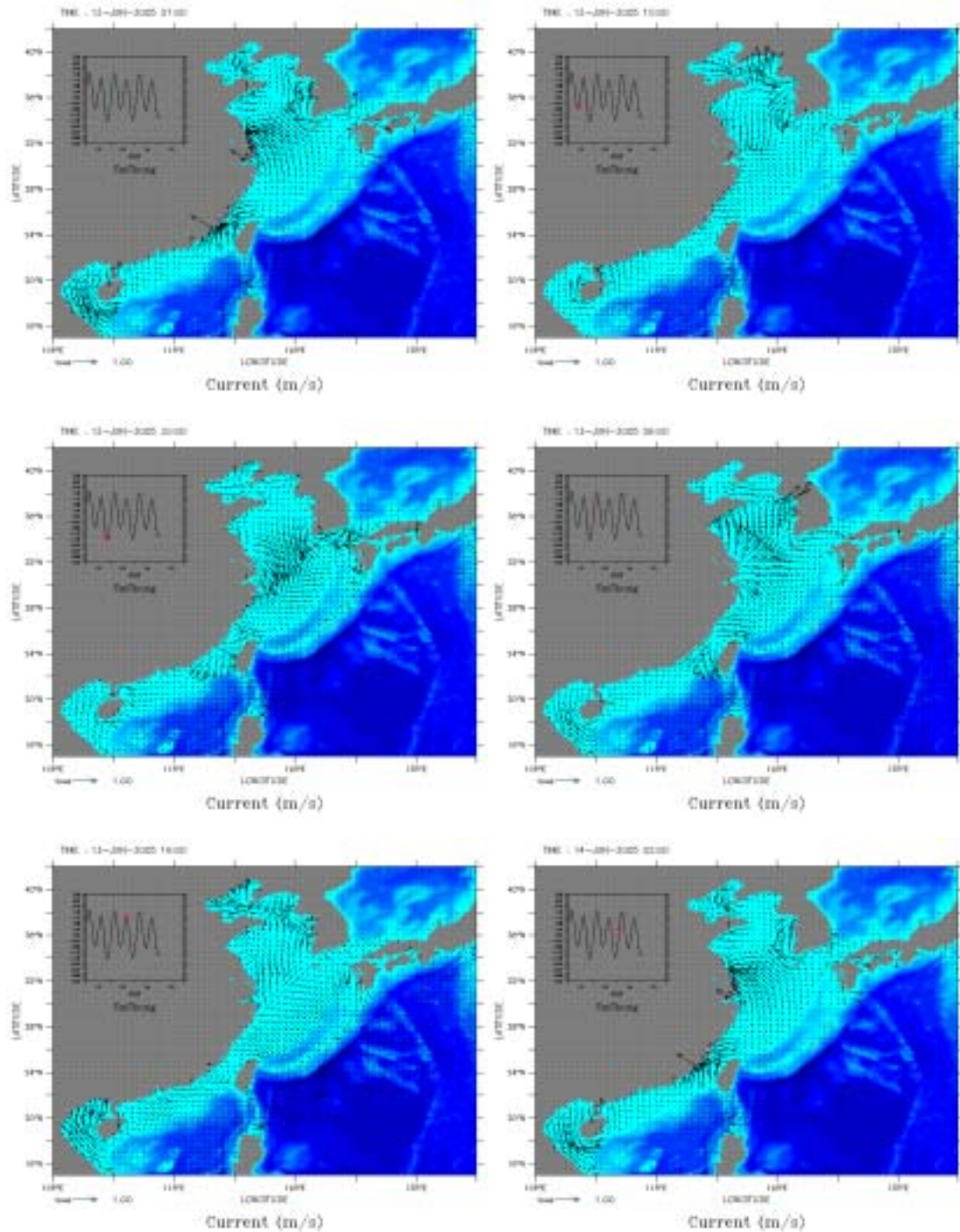
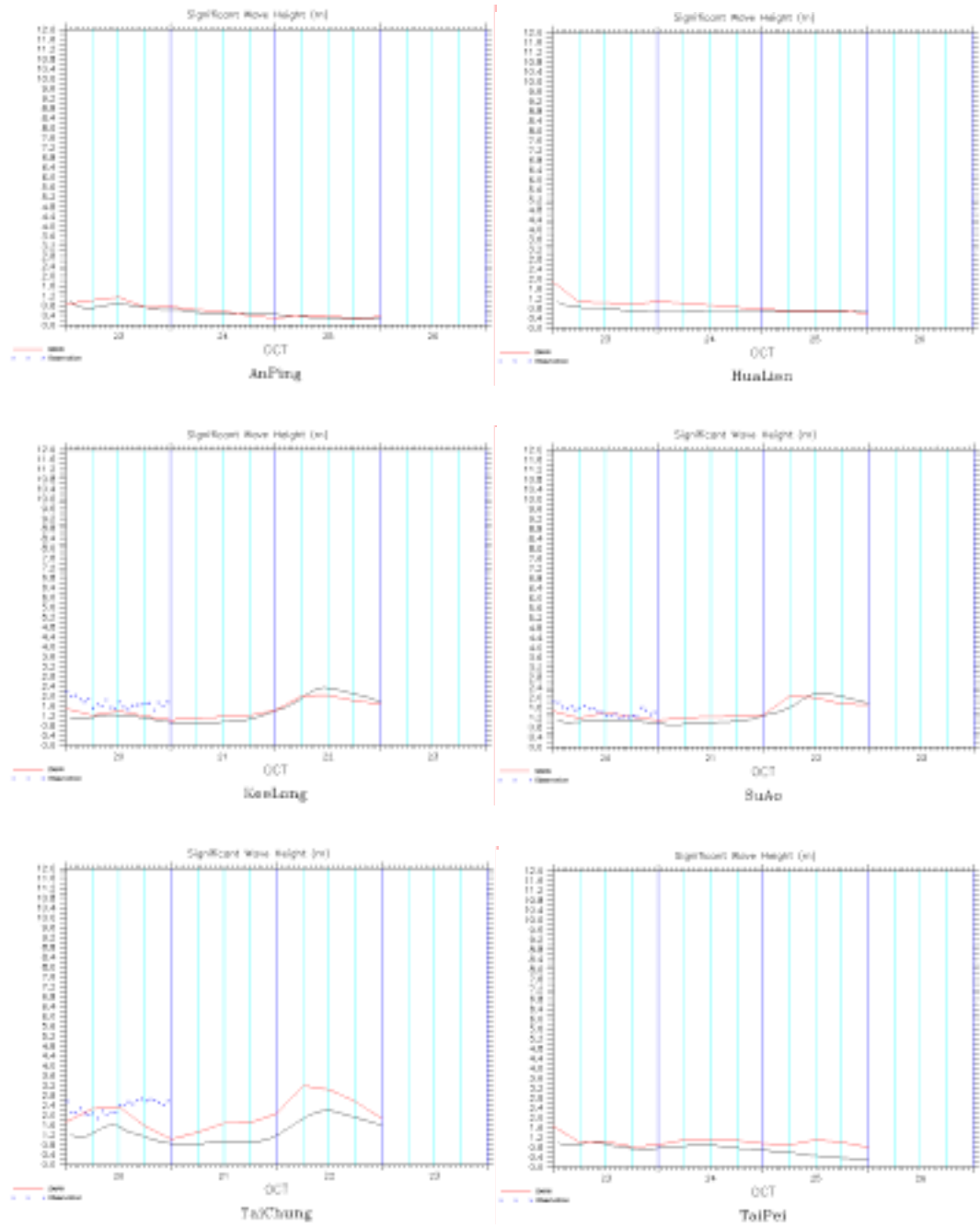


圖 4.1-5 平面流場預報動畫截圖範例



**圖 4.1-6 各港區 WAM 及 SWAN 波高預報時序圖範例
(黑：WAM，紅：SWAN，藍點：實測資料)**

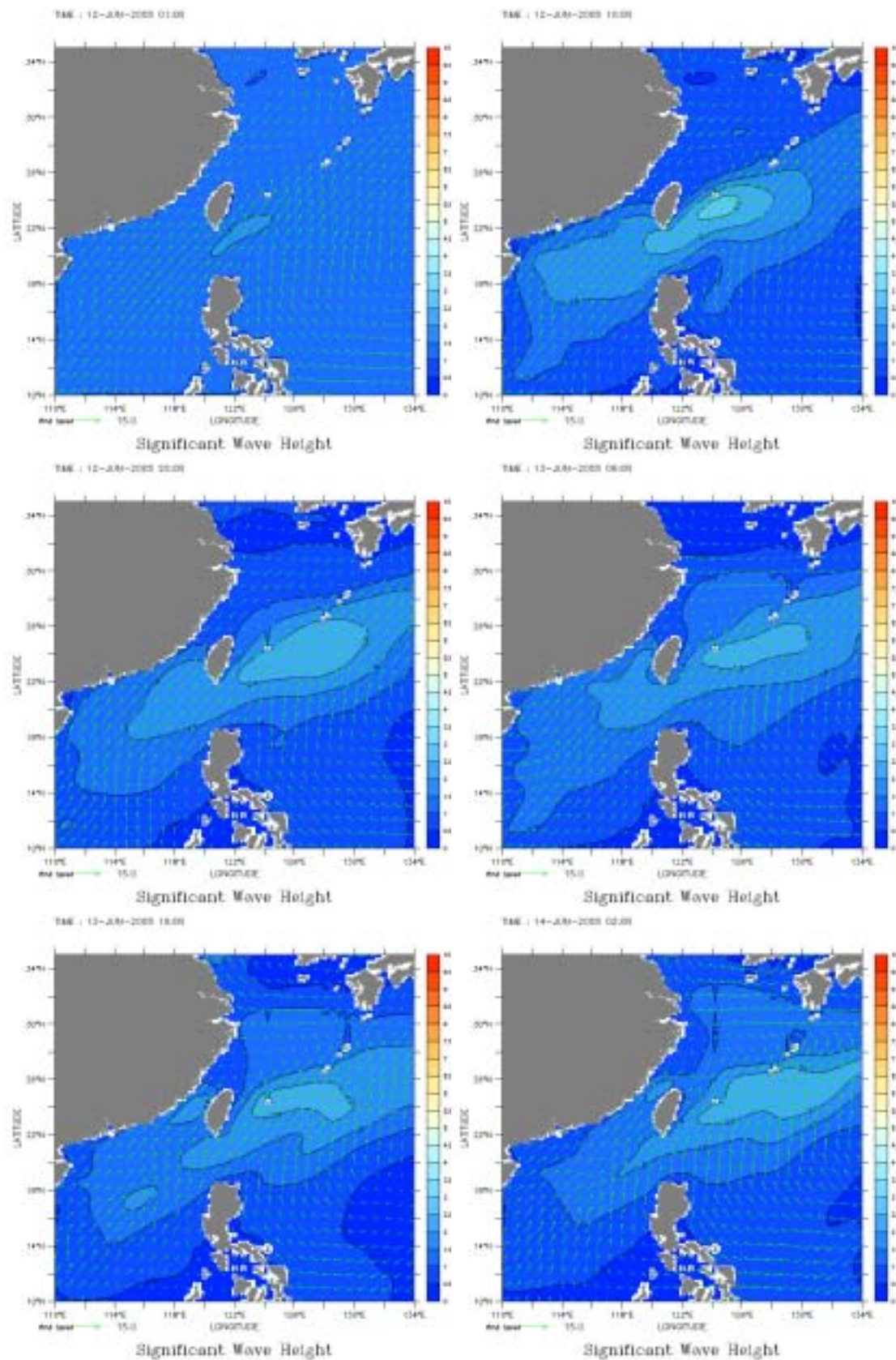


圖 4.1-7 WAM 波高預報動畫截圖範例

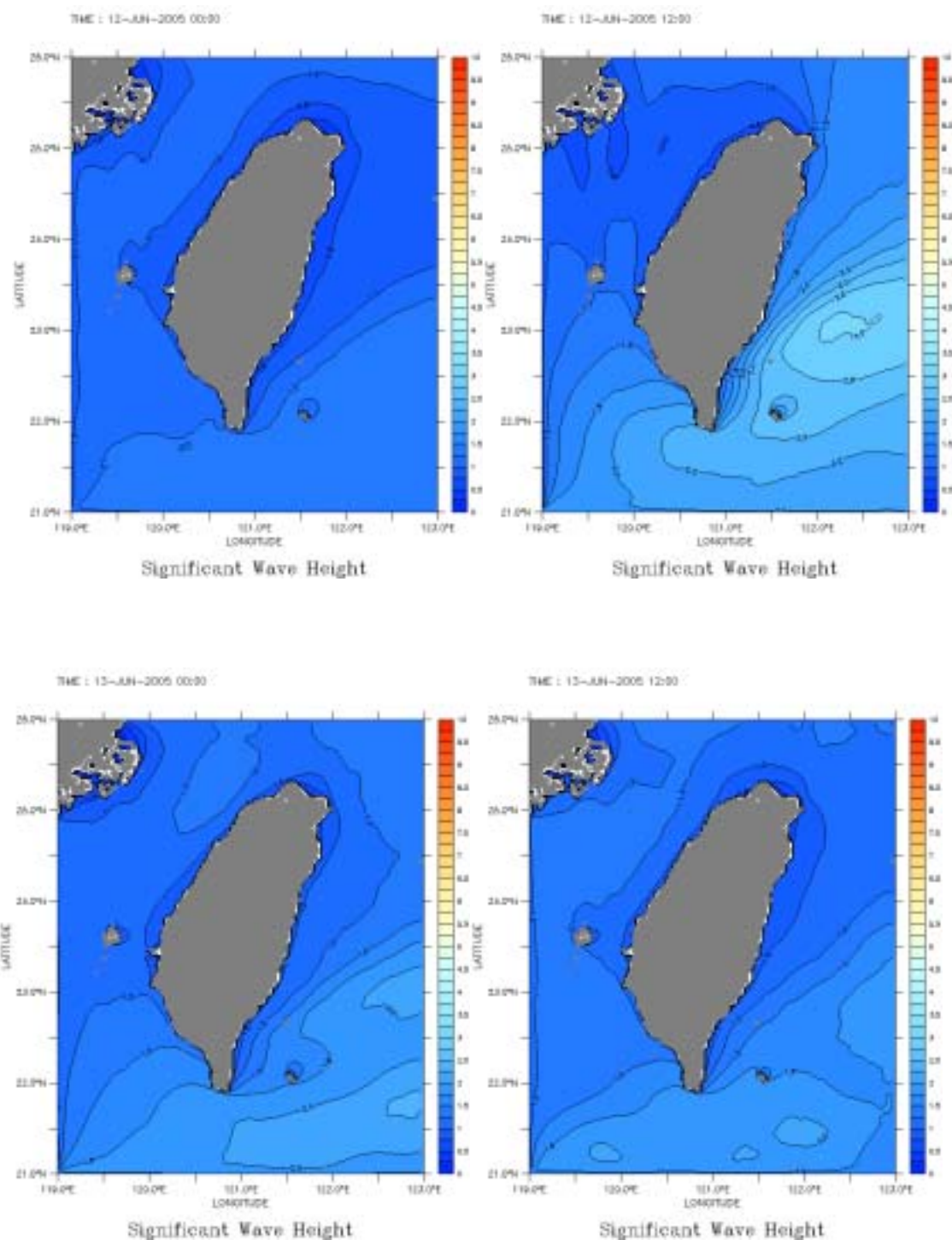


圖 4.1-8 SWAN 波高預報動畫截圖範例

4.2 本年度颱風期間作業化成果評估

本年度積極將各種模式運算之結果上線運作，並利用網頁呈現結果，讓使用者可以透過網頁的呈現了解未來兩天模式預報的結果。主要運作為四部分，第一部份為抓取氣象局資料，第二部份為模式運算，第三部分為實測資料上傳，第四部分則為出圖上網。

最早完成自動化上線運作為水位模式，於三月份測試完畢後正式運作，如圖 4.2-1；其後於九月份增加天文潮位，並增加標線，以利使用者觀看，如圖 4.2-2；最後於 9 月 28 日加入實測資料，如圖 4.2-3。波浪模式由於運算機器不在中山內部，每日仍須由海大團對上傳結果，因此在六月份為配合資料上傳時間，利用手動出圖上線，至八月份結果上傳時間穩定後，開始轉為自動上線出圖；其後九月份於圖上增加標線，以利使用者觀看，如圖 4.2-5；最後於 9 月 28 日加入實測資料，如圖 4.2-6。

實測資料於六月份開始上傳，然上傳時間並不固定，且資料品質相當不好，所以無法加入上線預報，直到九月份才有固定時間資料上傳，上傳資料僅有基隆、臺中、蘇澳及花蓮港四個港口；至十月份時，花蓮測站的觀測儀器遭颱風破壞，因此資料上傳僅剩三個港口。

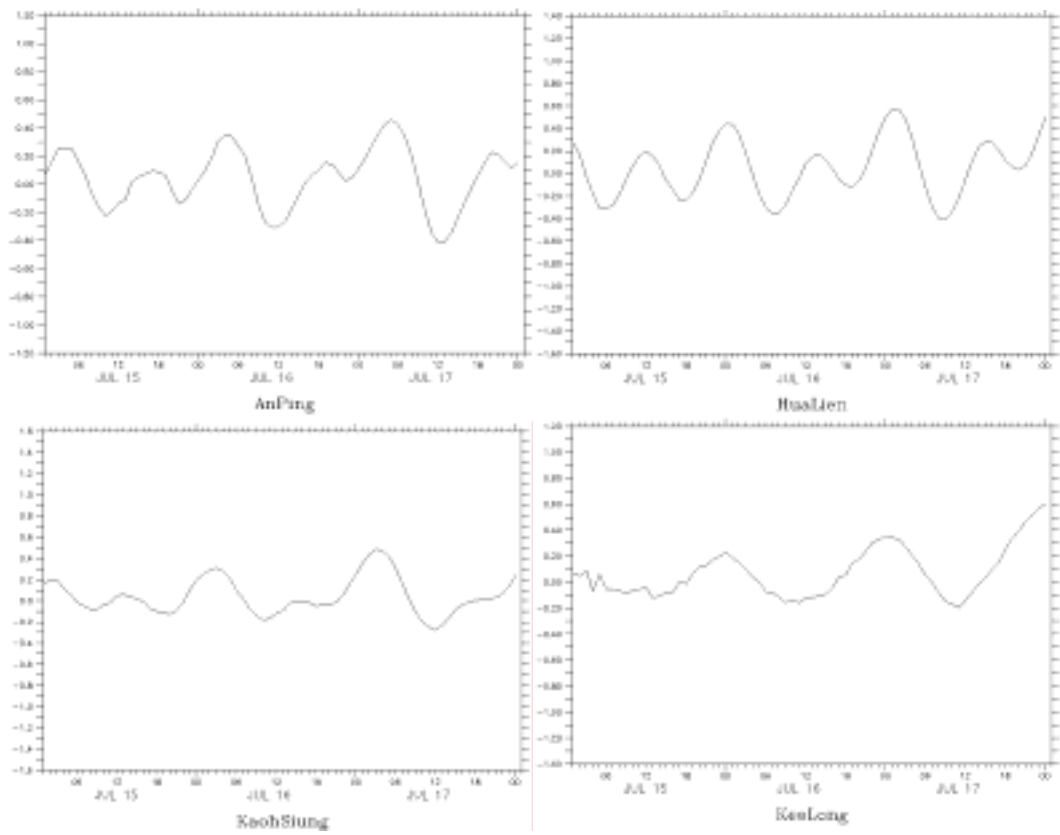


圖 4.2-1 水位模式上線預報圖

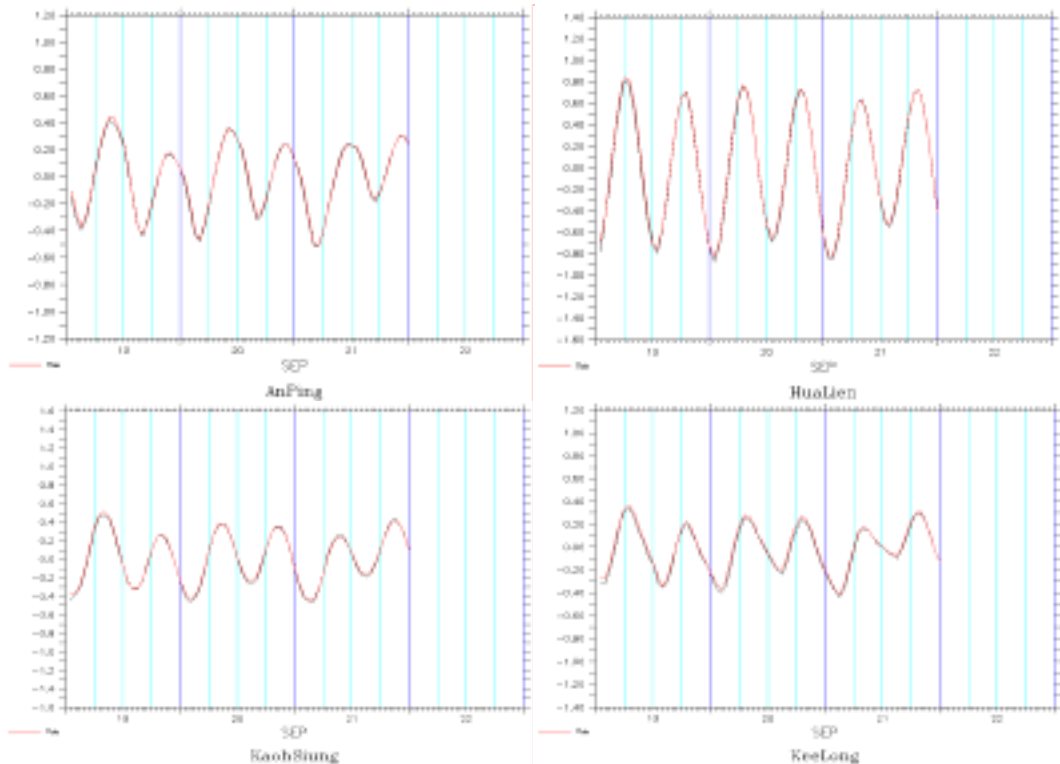


圖 4.2-2 天文潮與水位模式上線預報圖

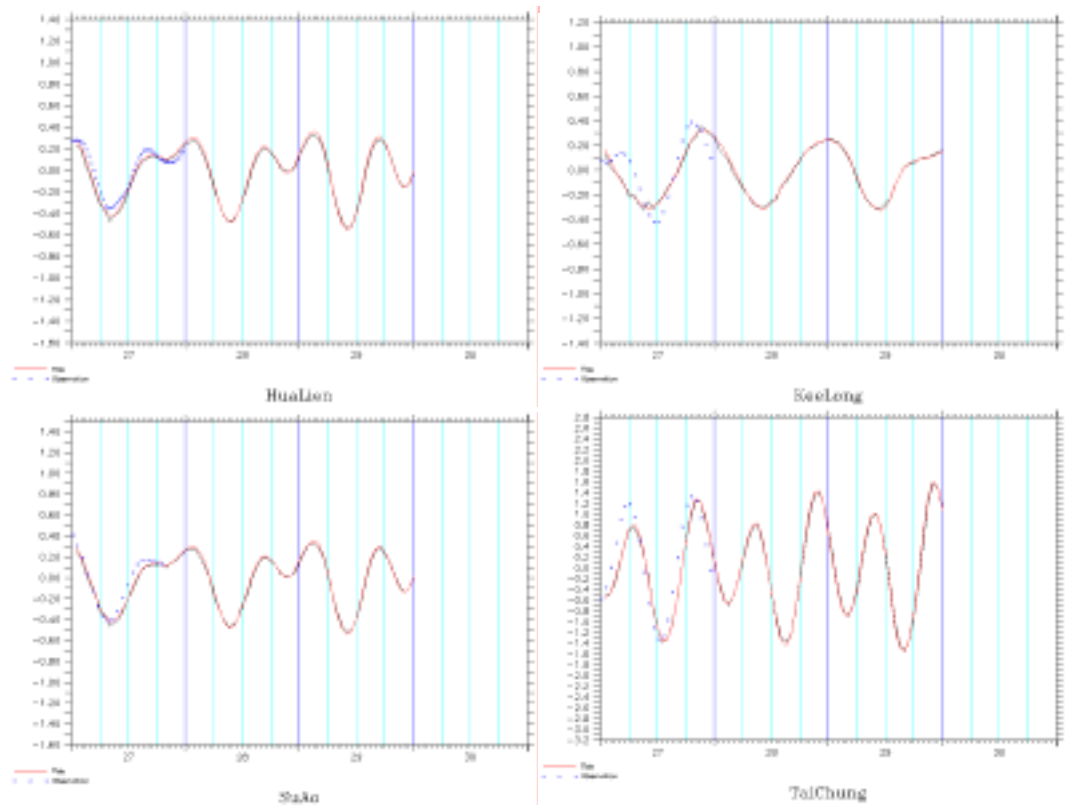


圖 4.2-3 天文潮、水位模式與實測資料上線預報圖

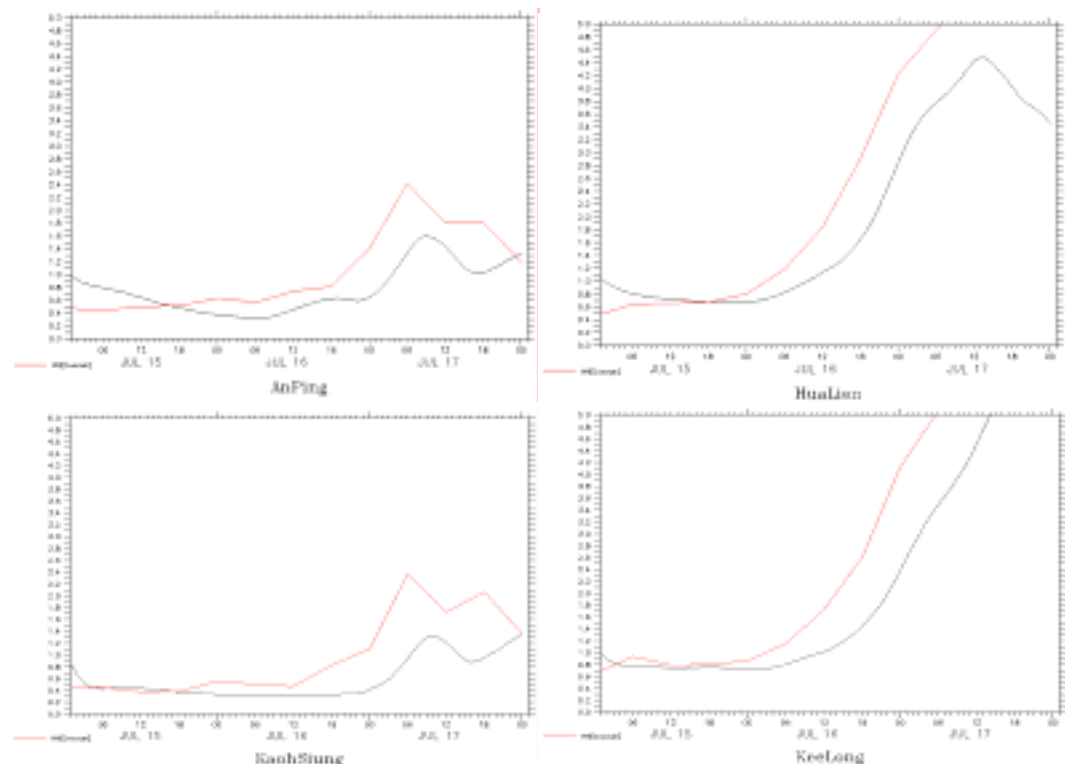


圖 4.2-4 WAM 與 SWAN 上線預報圖

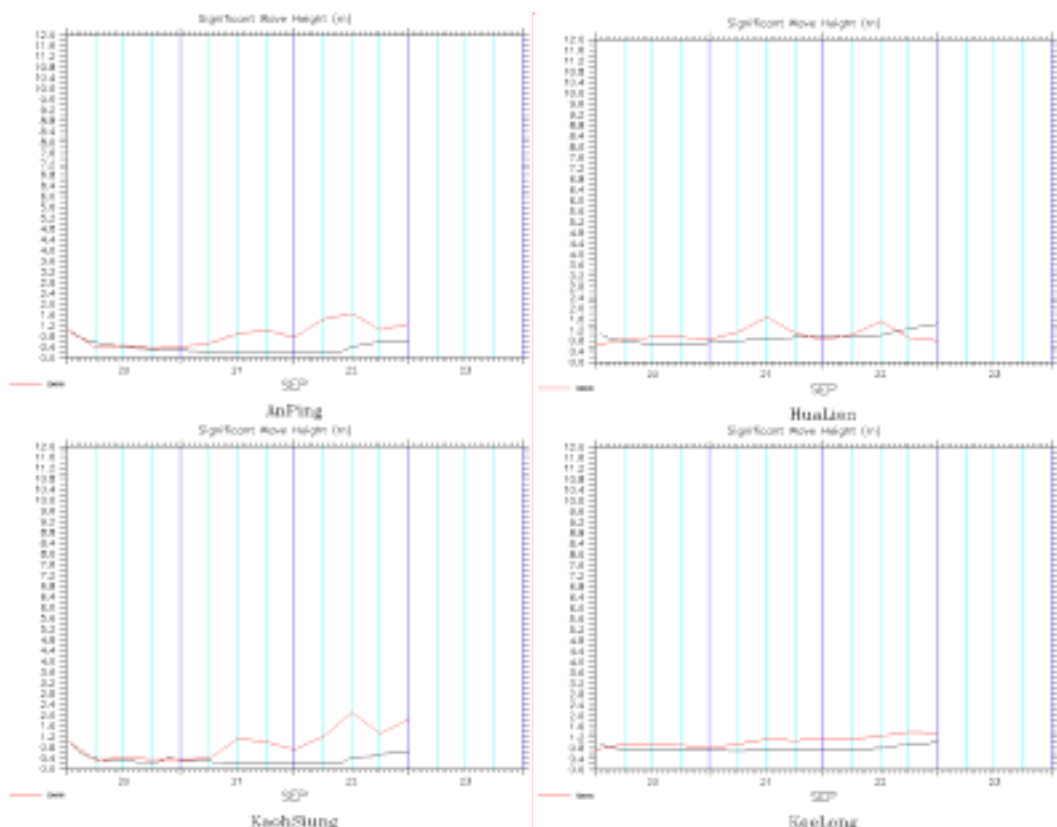


圖 4.2-5 WAM 與 SWAN 上線預報圖 (加入標線)

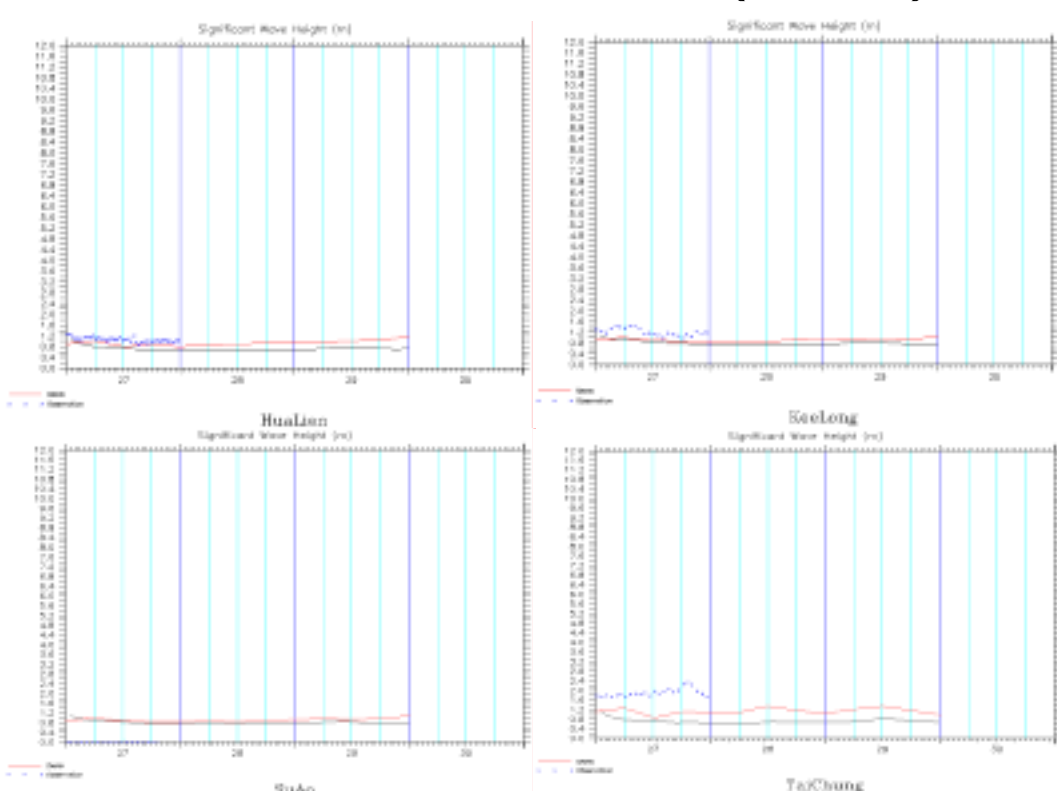


圖 4.2-6 WAM、SWAN 與實測資料上線預報圖

圖 4.2-7 至圖 4.2-14 為海棠颱風期間，水位與波高於四個港區預報圖。圖 4.2-7 至 4.2-10 為花蓮、基隆、蘇澳及臺中四個港口於海棠颱風期間的預報圖，由於此時還未加入天文潮及實測水位資料並未固定上傳，因此圖上僅能提供模式複合水位的結果，對於查詢的使用者來說較無法判斷模式的可靠度，同時由於未加入標線，對於使用者觀看圖形較不方便，此部分為第一階段上線作業，因此圖形展示仍有改進空間。

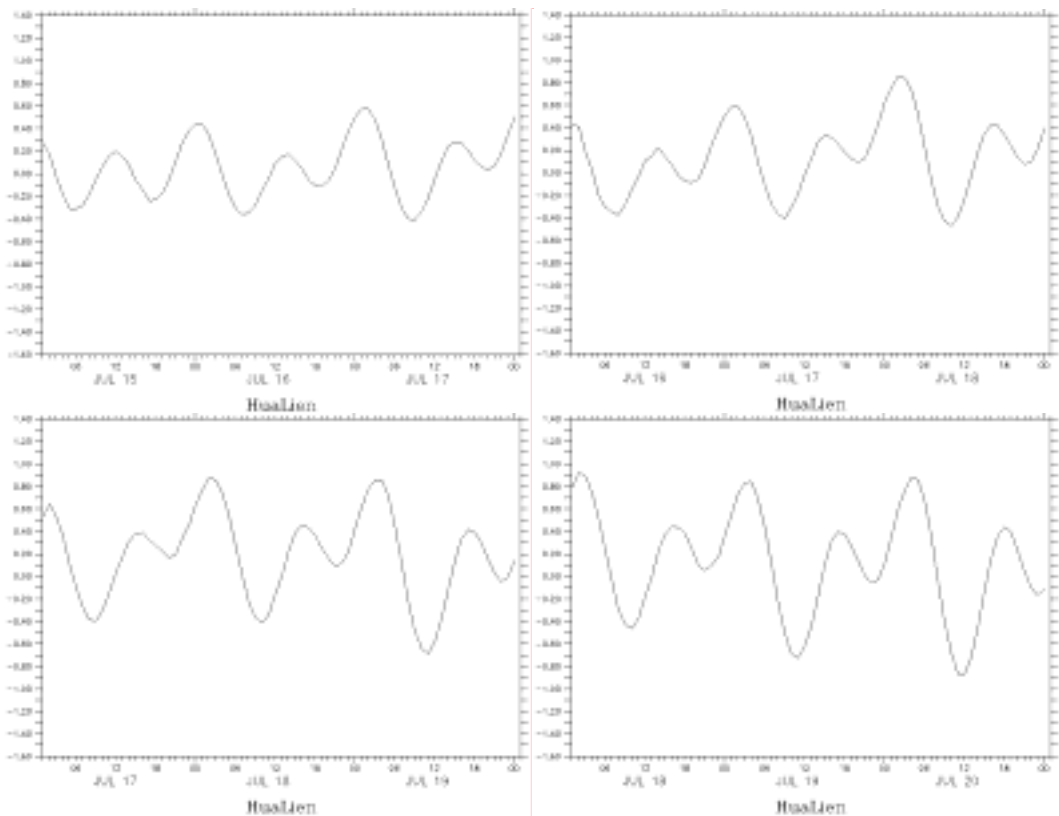


圖 4.2-7 海棠颱風期間花蓮港水位預報圖 (2005/07/16~07/19)

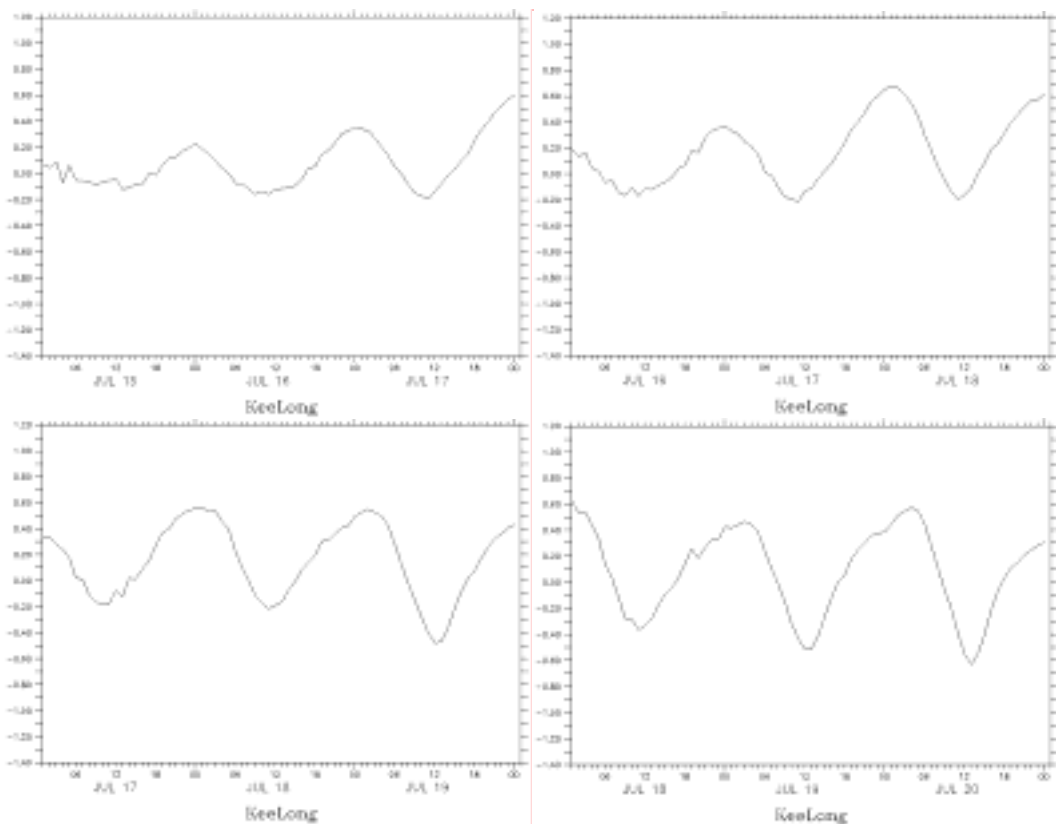


圖 4.2-8 海棠颱風期間基隆港水位預報圖 (2005/07/16~07/19)

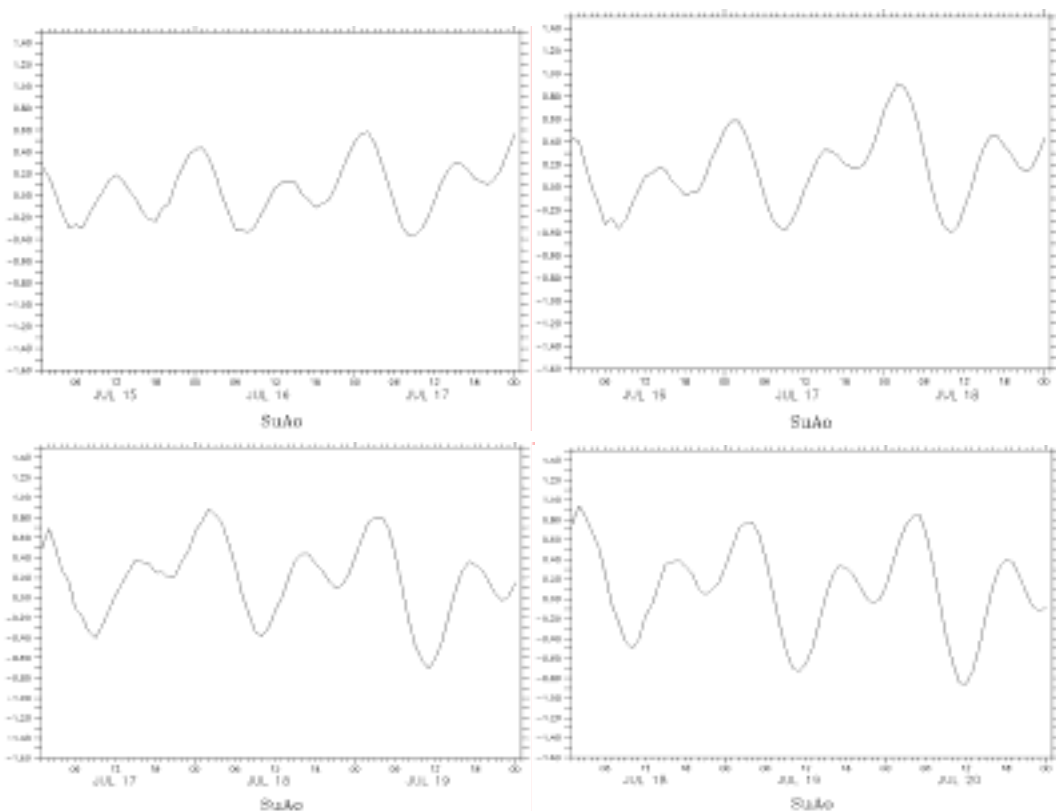


圖 4.2-9 海棠颱風期間蘇澳港水位預報圖 (2005/07/16~07/19)

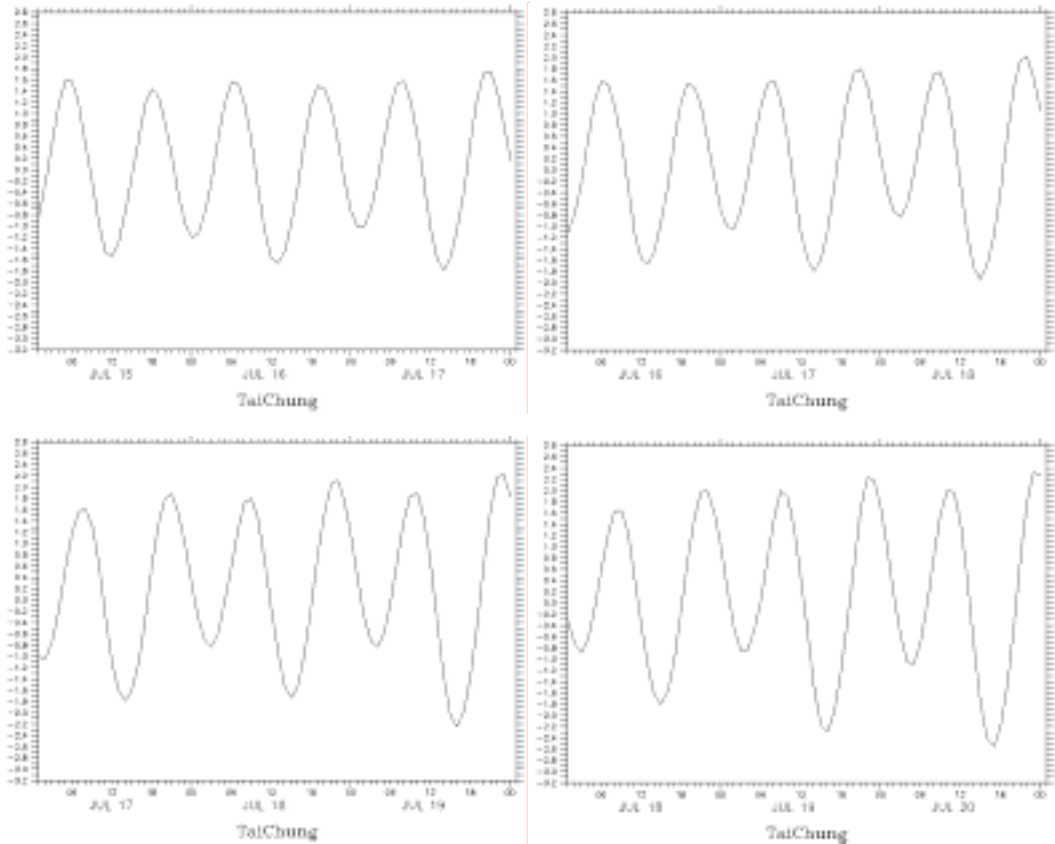


圖 4.2-10 海棠颱風期間臺中港水位預報圖（2005/07/16~07/19）

圖 4.2-11 至 4.2-14 為海棠颱風期間，花蓮、基隆、蘇澳及臺中四個港口之 WAM 及 SWAN 波高預報圖。由於海棠颱風期間，氣象局動態氣象資料發佈時間延遲，加上海洋大學受到風災導致停電，海大團隊模式無法運作，因此模式結果只有兩天的資料上傳。在圖形的展示部分，由於此時實測資料並未固定上傳，因此只有 WAM 及 SWAN 的結果展示。座標軸方面未發生颱風時，波高不大，因此初始訂定之座標軸上限較小，導致線超出圖外無法呈現；另外也未加上標線，增加使用者看圖的難度。

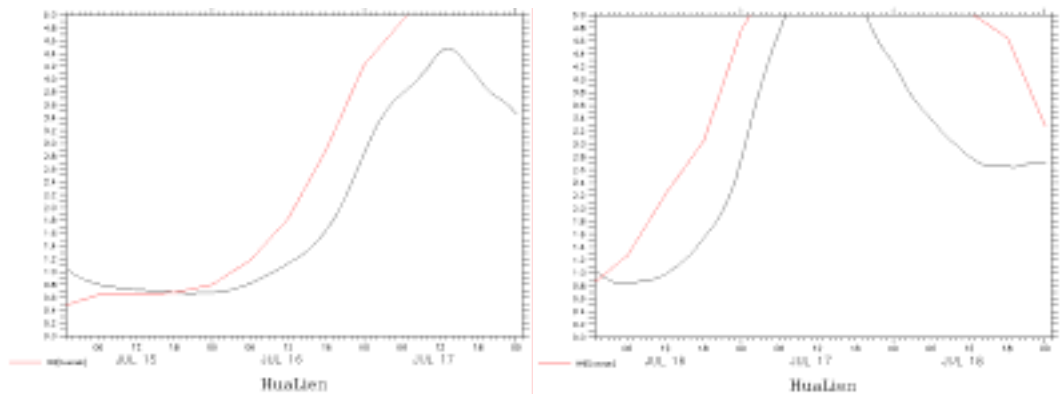


圖 4.2-11 海棠颱風期間花蓮波浪預報圖 (2005/07/16~07/17)

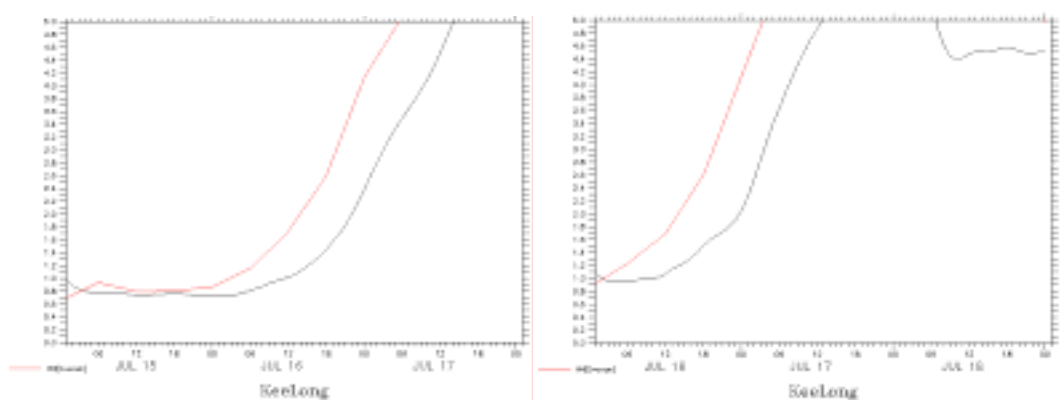


圖 4.2-12 海棠颱風期間基隆波浪預報圖 (2005/07/16~07/17)

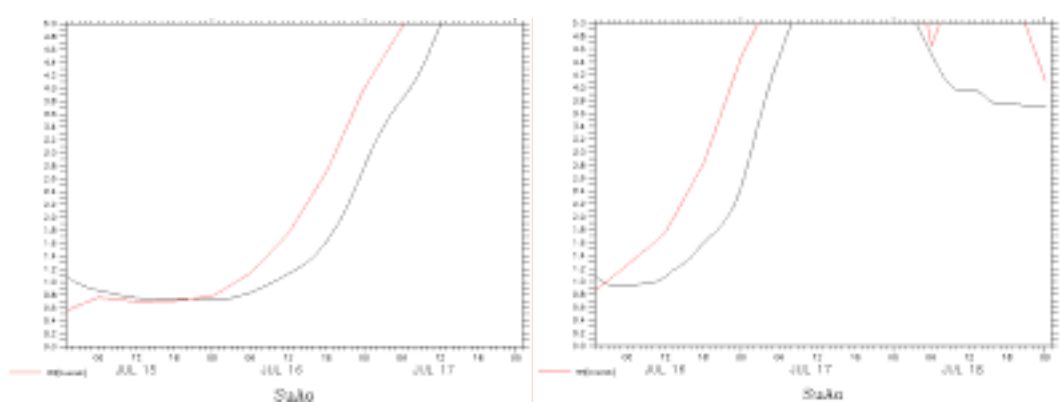


圖 4.2-13 海棠颱風期間蘇澳波浪預報圖 (2005/07/16~07/17)

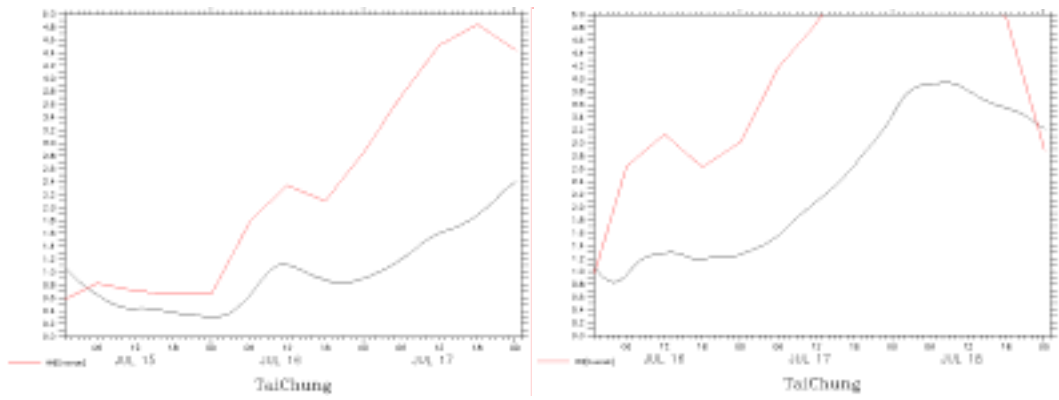


圖 4.2-14 海棠颱風期間臺中波浪預報圖（2005/07/16~07/17）

圖 4.2-15 至 4.2-18 為泰利颱風期間，花蓮、基隆、蘇澳及臺中四個港口水位預報圖。此預報時段由於實測資料未能完整上傳，天文潮預報還未加入，因此與海棠颱風時期一樣僅有複合水位預報。

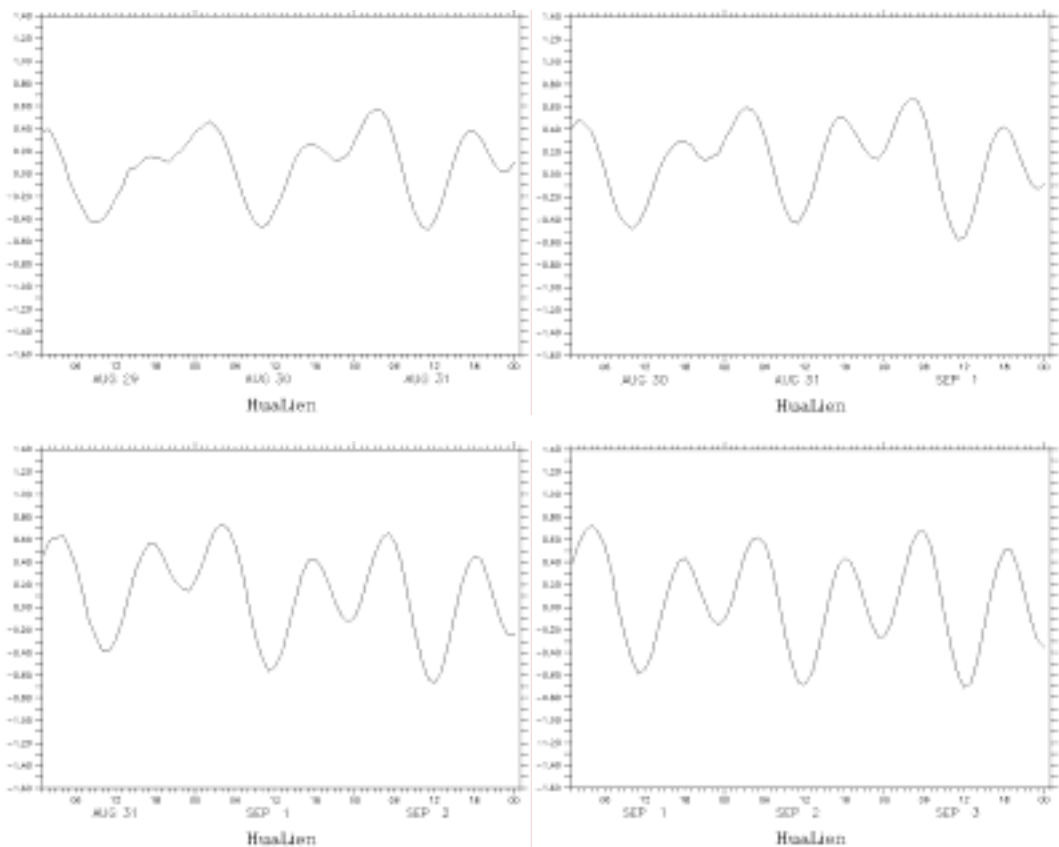


圖 4.2-15 泰利颱風期間花蓮港水位預報圖（2005/08/30~09/02）

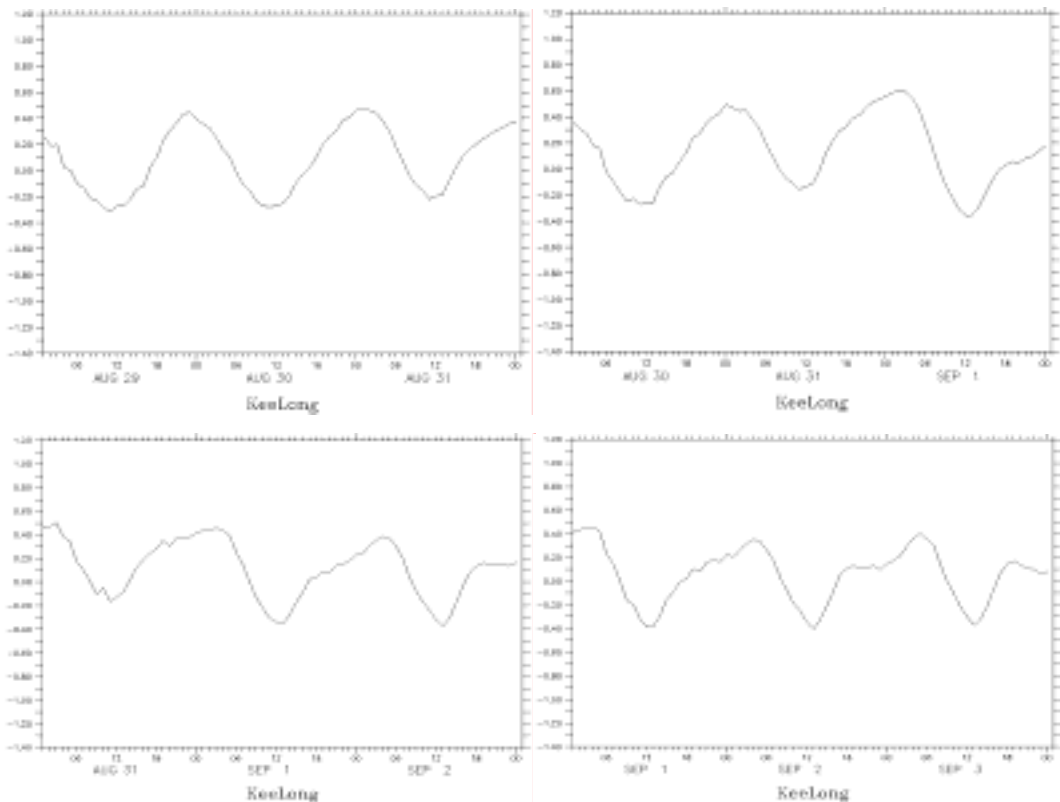


圖 4.2-16 泰利颱風期間基隆港水位預報圖 (2005/08/30~09/02)

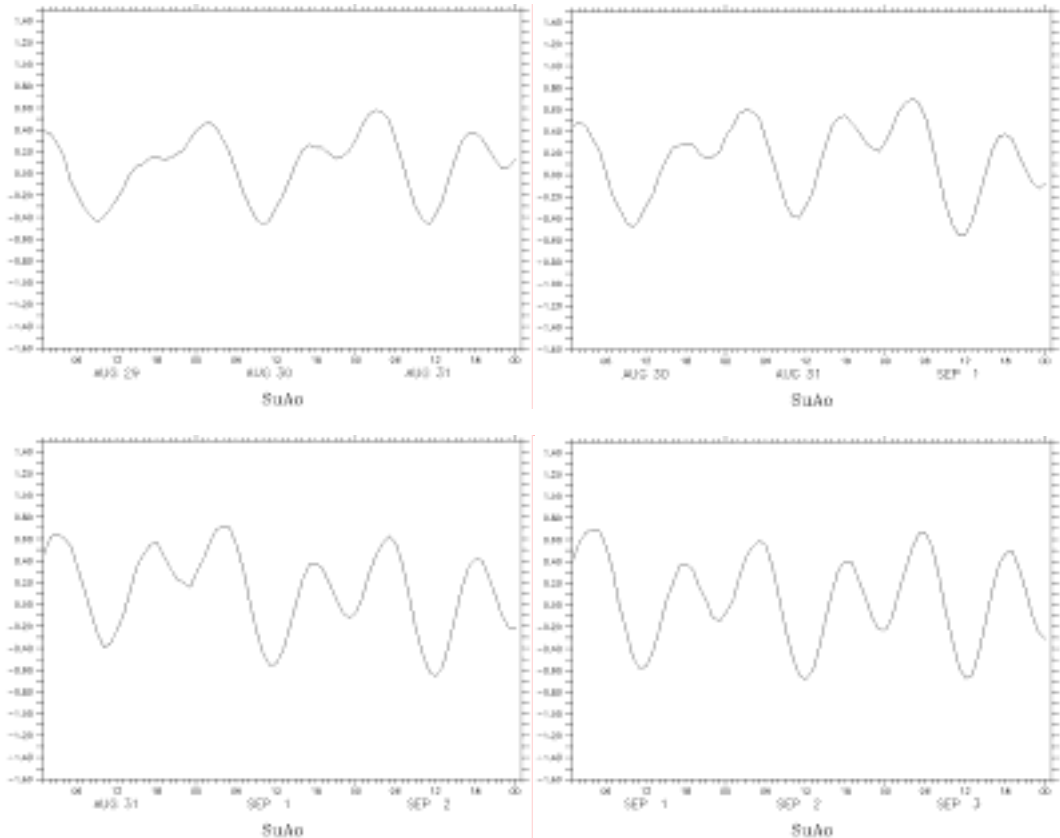


圖 4.2-17 泰利颱風期間蘇澳港水位預報圖 (2005/08/30~09/02)

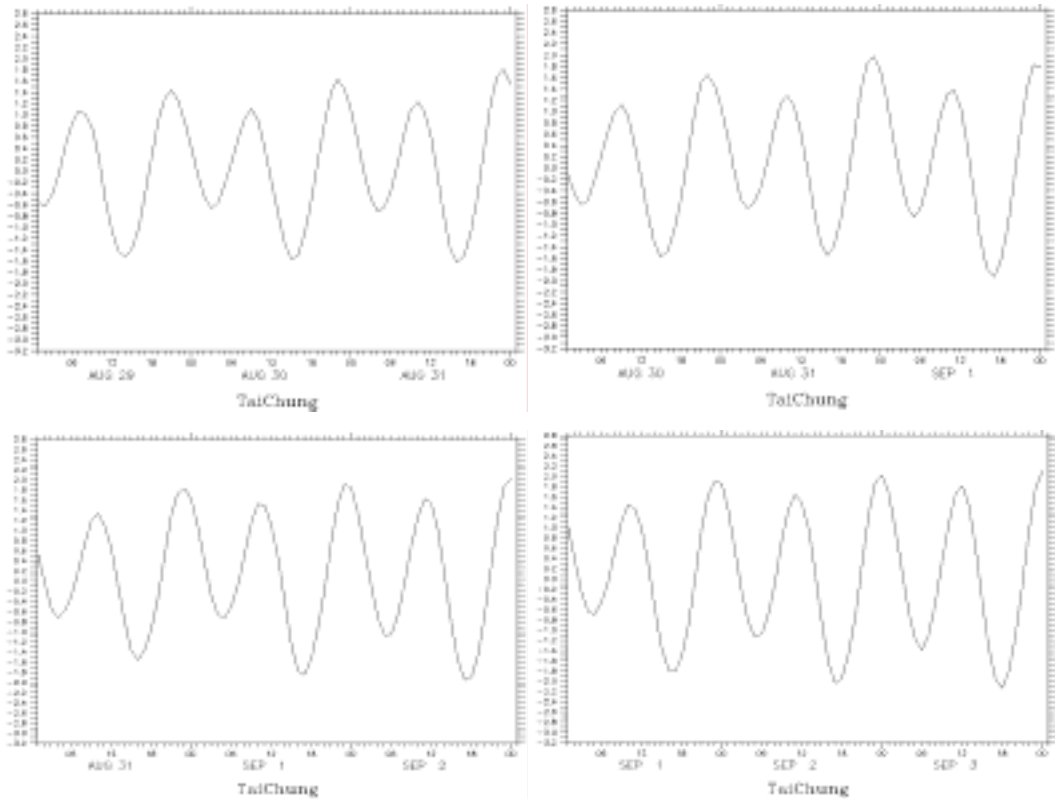


圖 4.2-18 泰利颱風期間臺中港水位預報圖（2005/08/30~09/02）

圖 4.2-19 為泰利颱風期間四個港口波高預報圖。由於颱風期間氣象局發佈資料時間會延遲，因此風場產生的時間也會產生延遲，導致其他團隊預報流程中斷，因此泰利颱風期間僅有一天的資料上傳。此時也常識於圖形內加入標線，以讓使用者方便觀看，然產生之標線過密，造成圖形整體不夠美觀。此時也改進海棠颱風時產生的座標軸過小問題，使超出圖形上限的狀況不會發生。實測資料目前也還未穩定上傳，因此沒有實測資料的圖形。

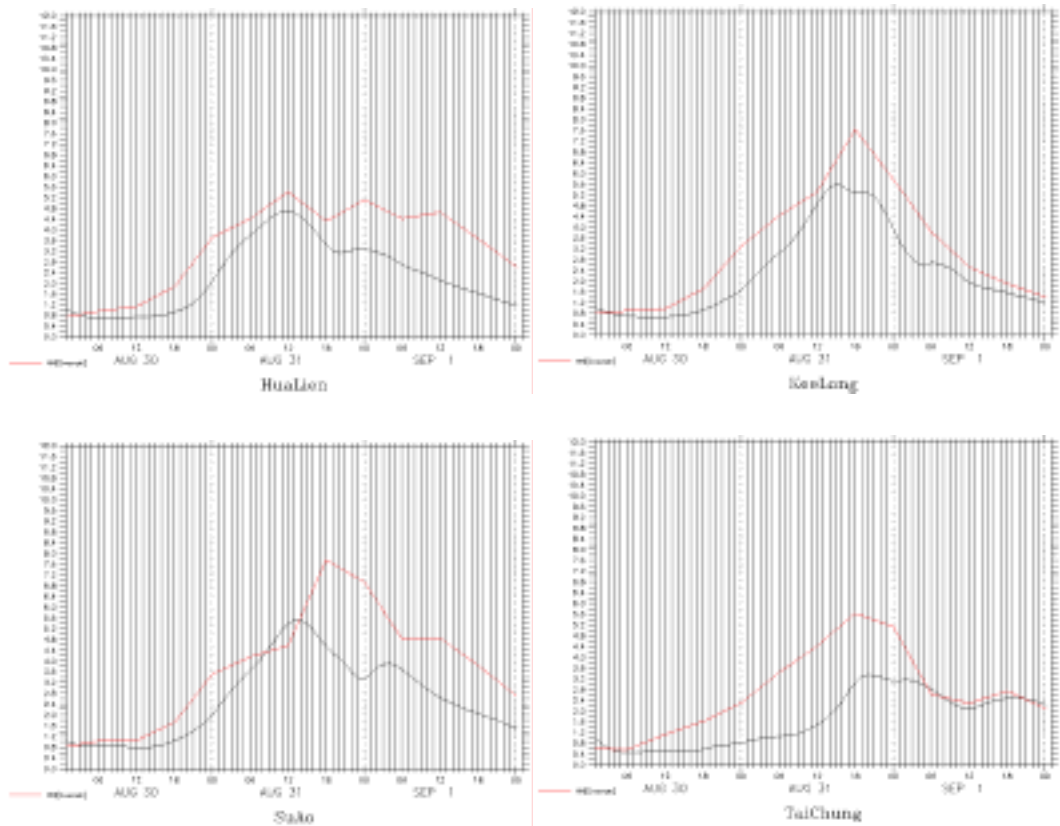


圖 4.2-19 泰利颱風期間波浪預報圖（2005/08/31）

圖 4.2-20 至 4.2-23 為龍王颱風期間四個港口花蓮、基隆、蘇澳及臺中的水位預報圖。圖上已有標線可提供使用者容易觀看，標線密度也減少至不影響觀看的程度，此時也以增加天文潮水位及前一天之實測資料，以提供使用者參考模式預報值的依據。實測資料上傳的部分可以發現仍然不是很穩定，龍王颱風前三天預報仍有完整的資料上傳，至 10/03 資料雖有上傳，然資料比數不足。由實測資料的疊上，可以得到除了基隆港外，其餘港區模式結果大致符合實測資料，如此預報資訊的參考價值提升不少。

圖 4.2-24 至 4.2-27 為龍王颱風期間四個港口花蓮、基隆、蘇澳及臺中的波高預報圖。前兩天模式預報資料與實測資料比對相當吻合，第三天預報則高估波高。由第三天第四天的結果也發現 WAM 與 SWAN 推測的結果一樣，此部分應為波浪結果為上傳成功，導致作圖程式利用舊的資料畫圖產生。

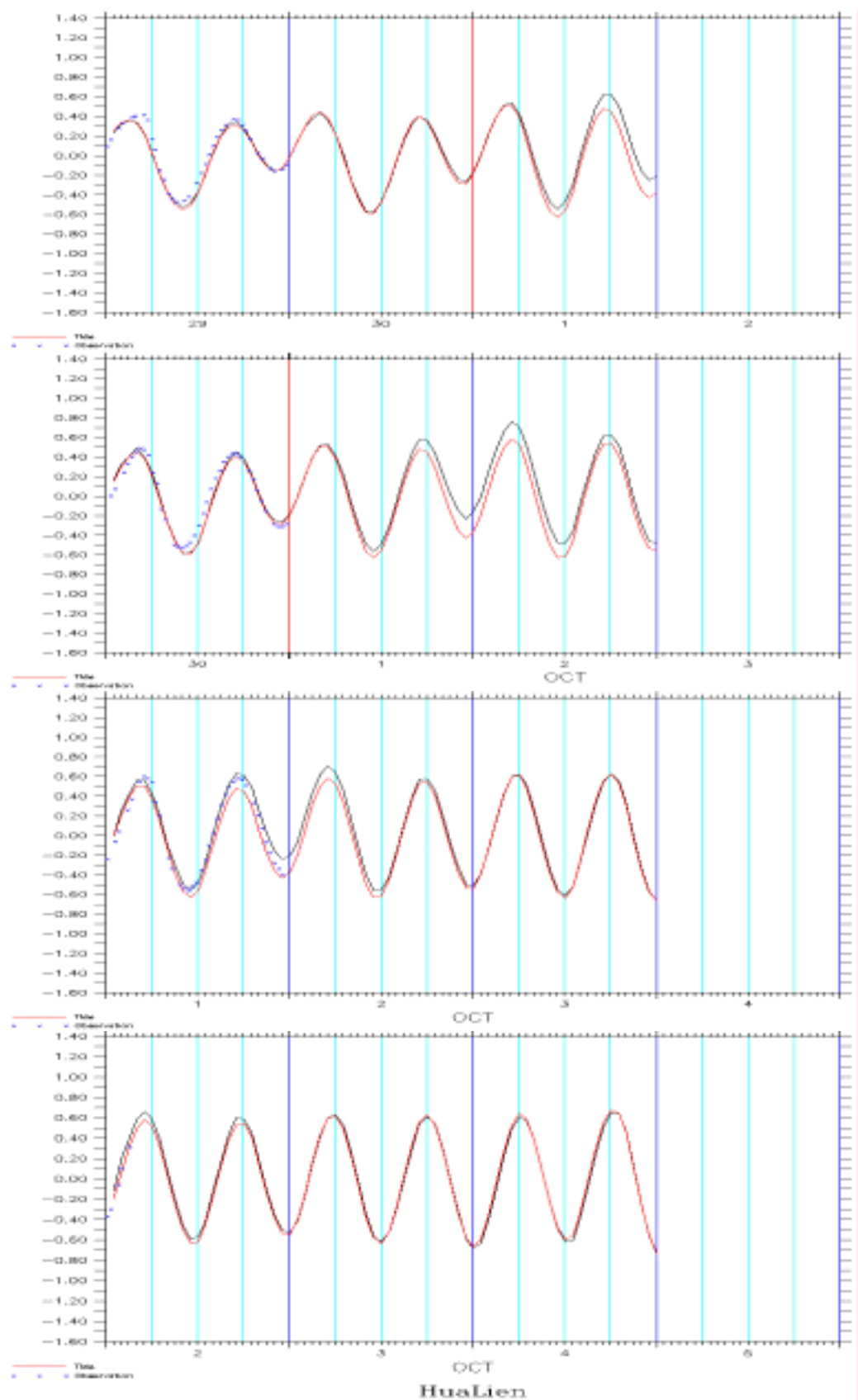


圖 4.2-20 龍王颱風期間花蓮港水位預報圖 (2005/09/30~10/03)

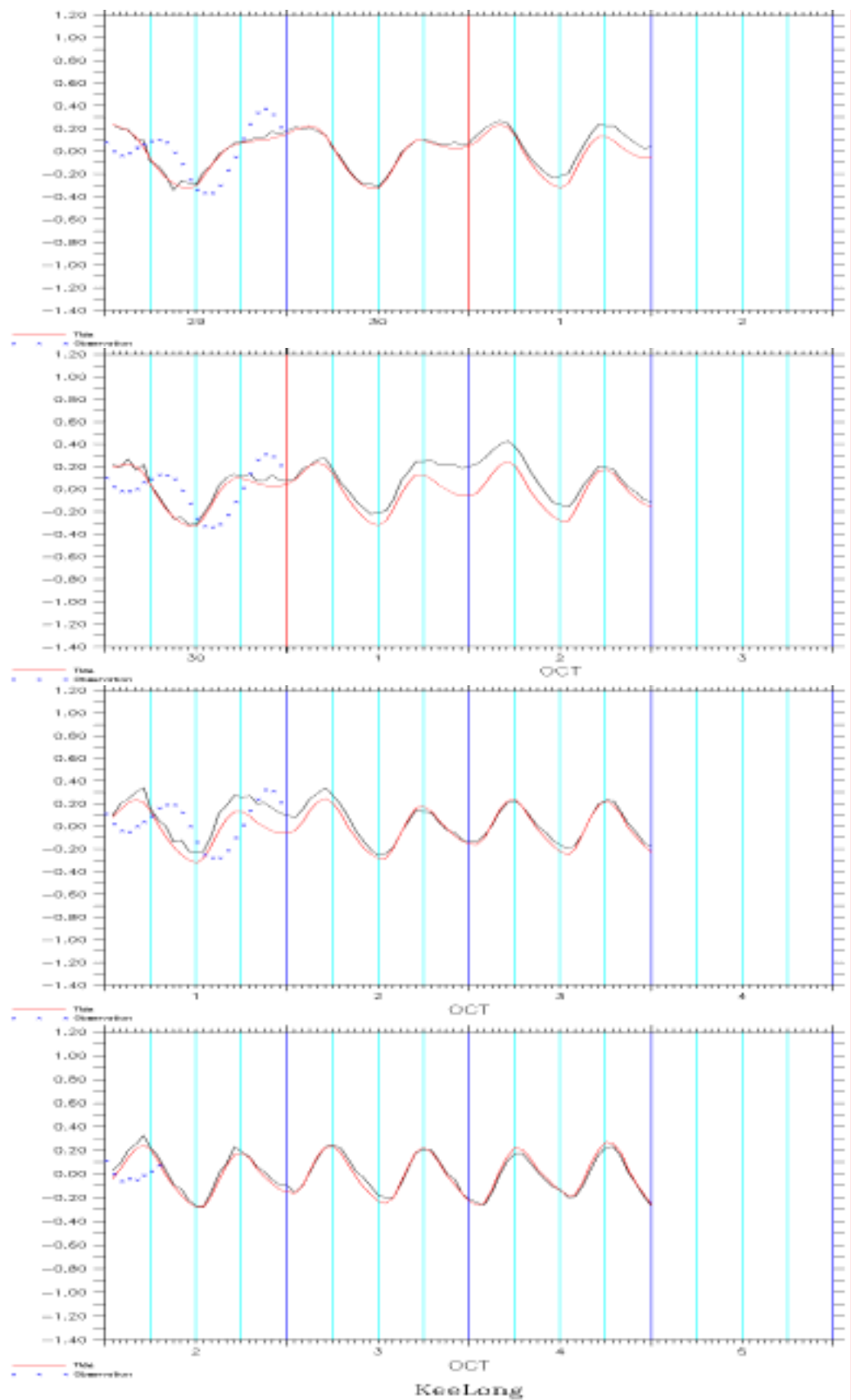


圖 4.2-21 龍王颱風期間基隆港水位預報圖 (2005/09/30~10/03)

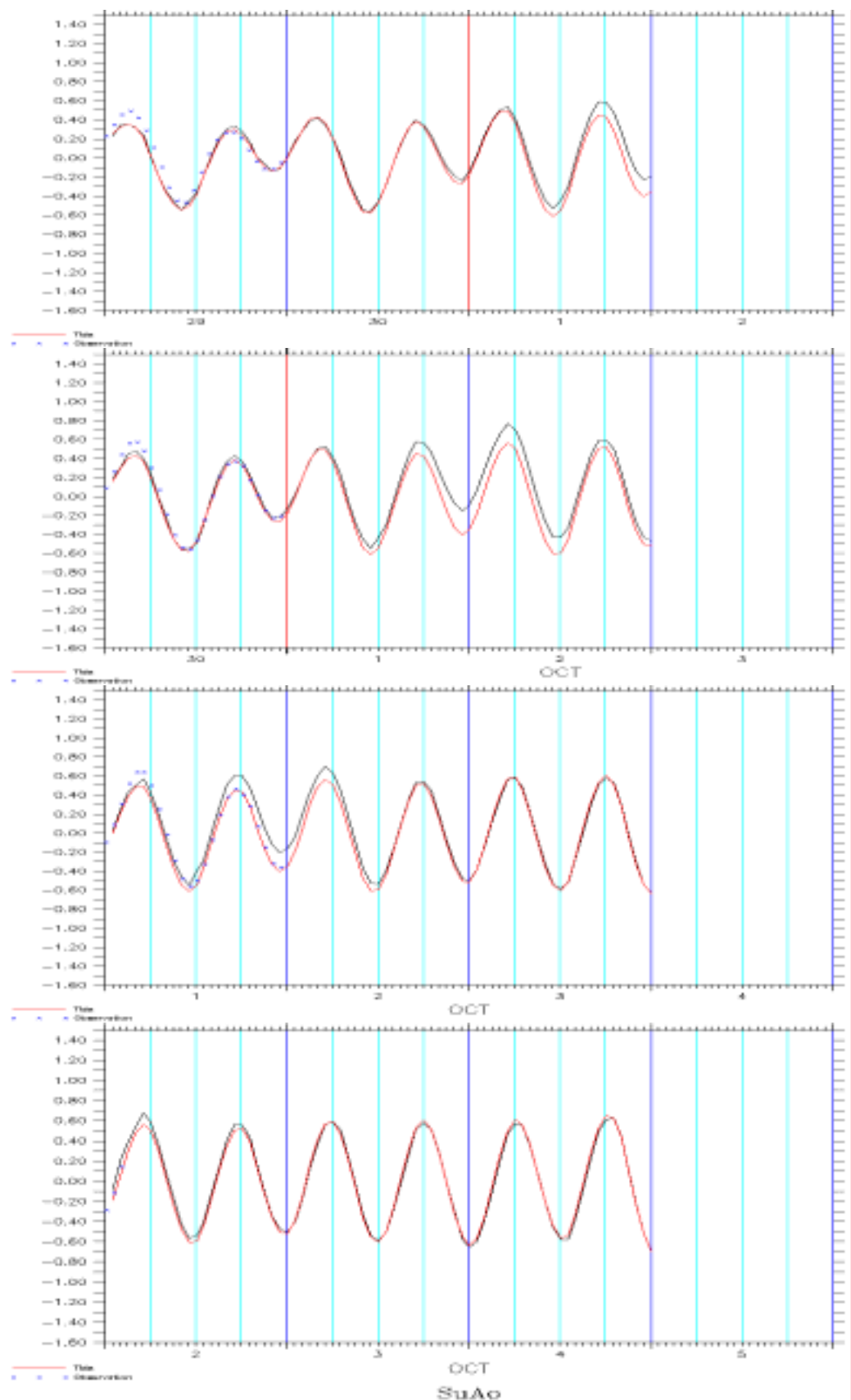


圖 4.2-22 龍王颱風期間蘇澳港水位預報圖 (2005/09/30~10/03)

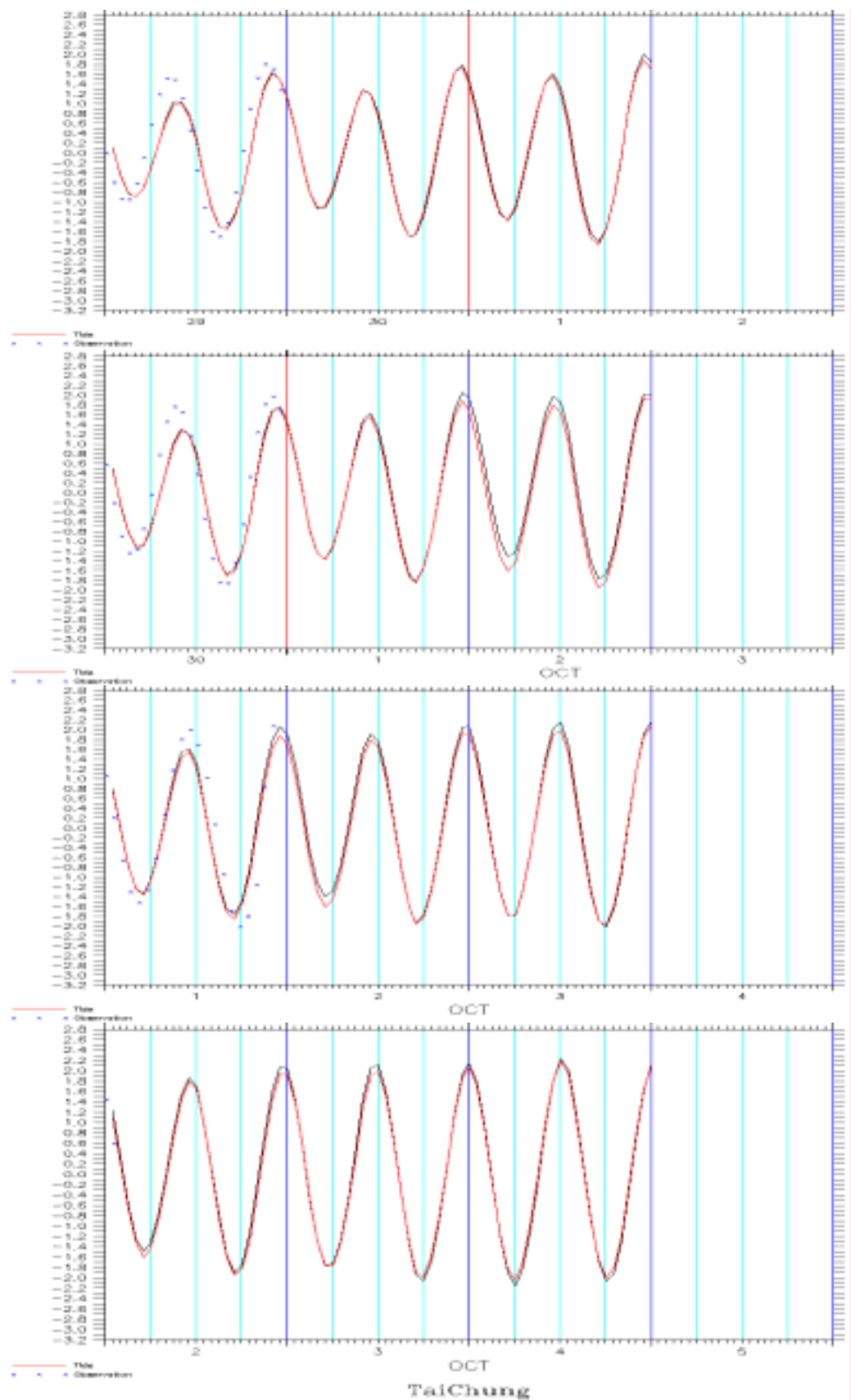


圖 4.2-23 龍王颱風期間臺中港水位預報圖 (2005/09/30~10/03)

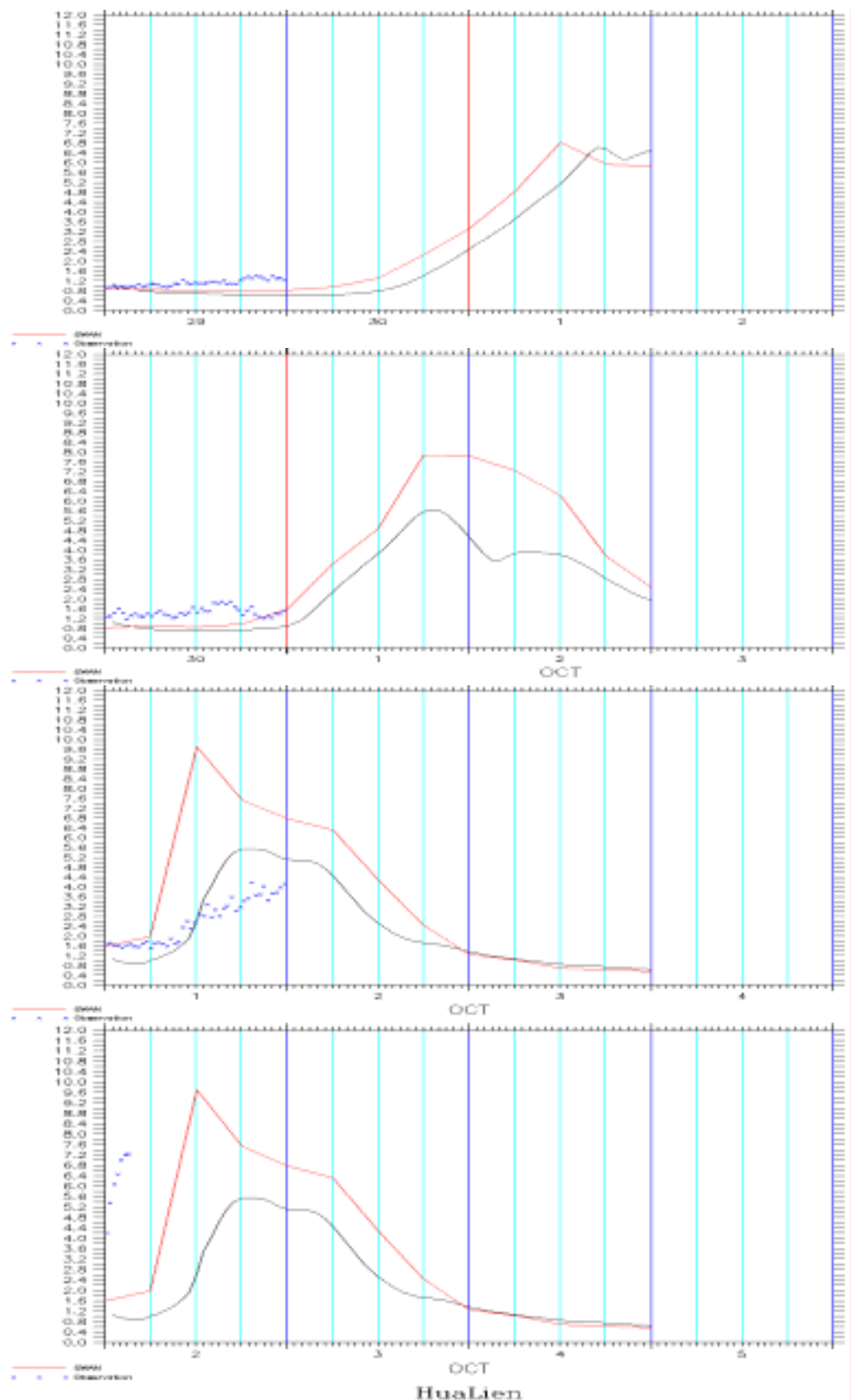


圖 4.2-24 龍王颱風期間花蓮港波高預報圖 (2005/09/30~10/03)

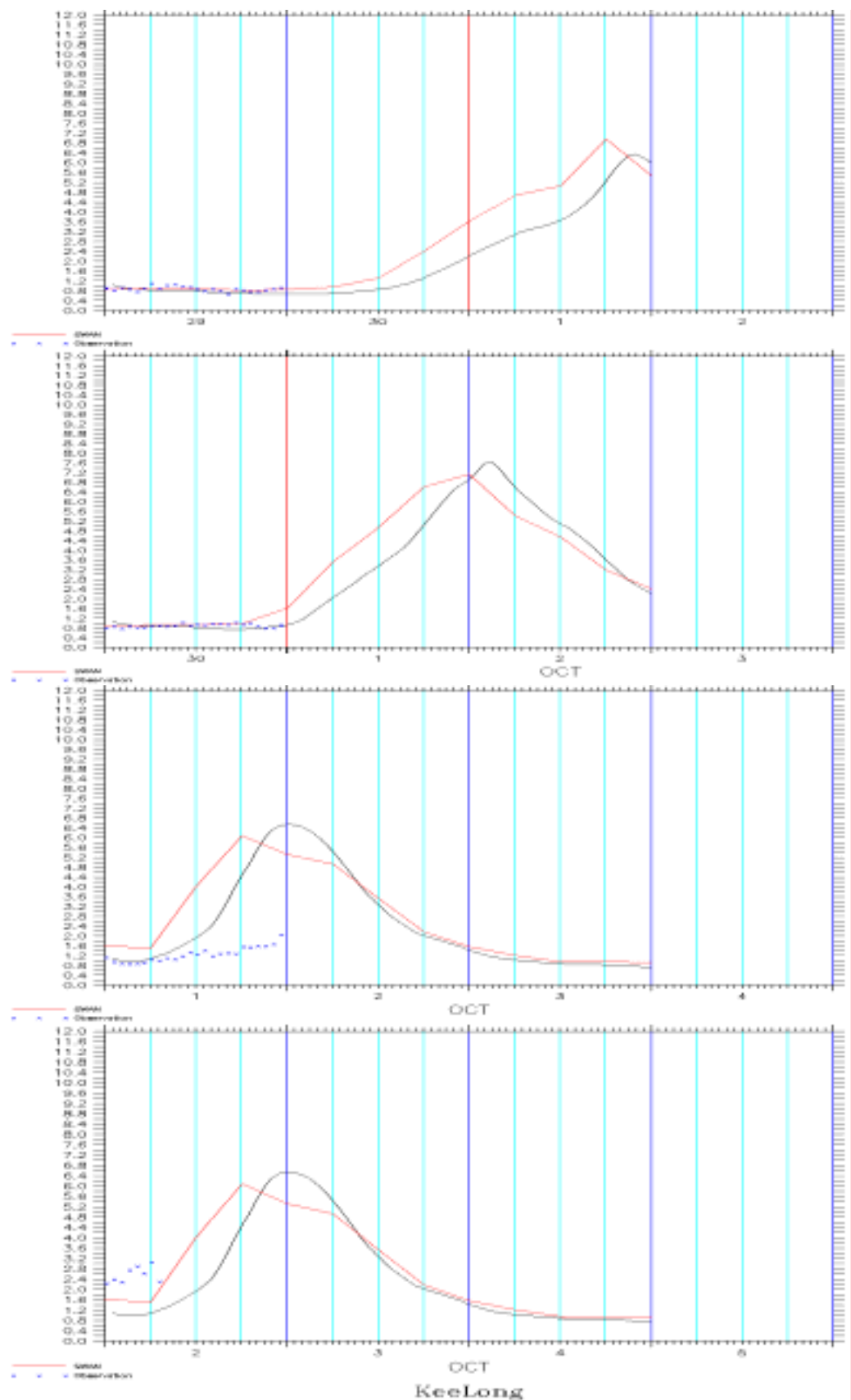


圖 4.2-25 龍王颱風期間基隆港波高預報圖 (2005/09/30~10/03)

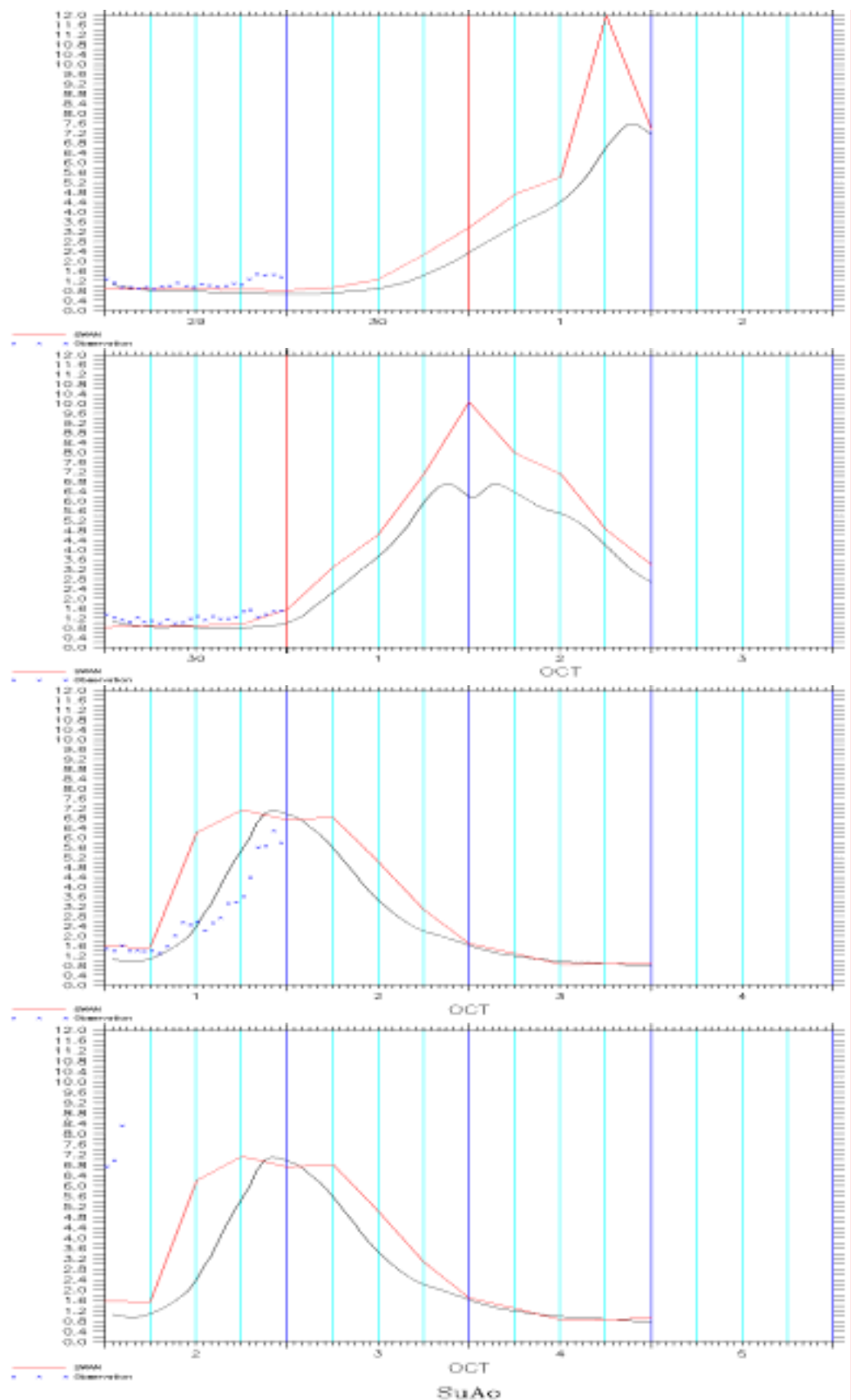


圖 4.2-26 龍王颱風期間蘇澳港波高預報圖 (2005/09/30~10/03)

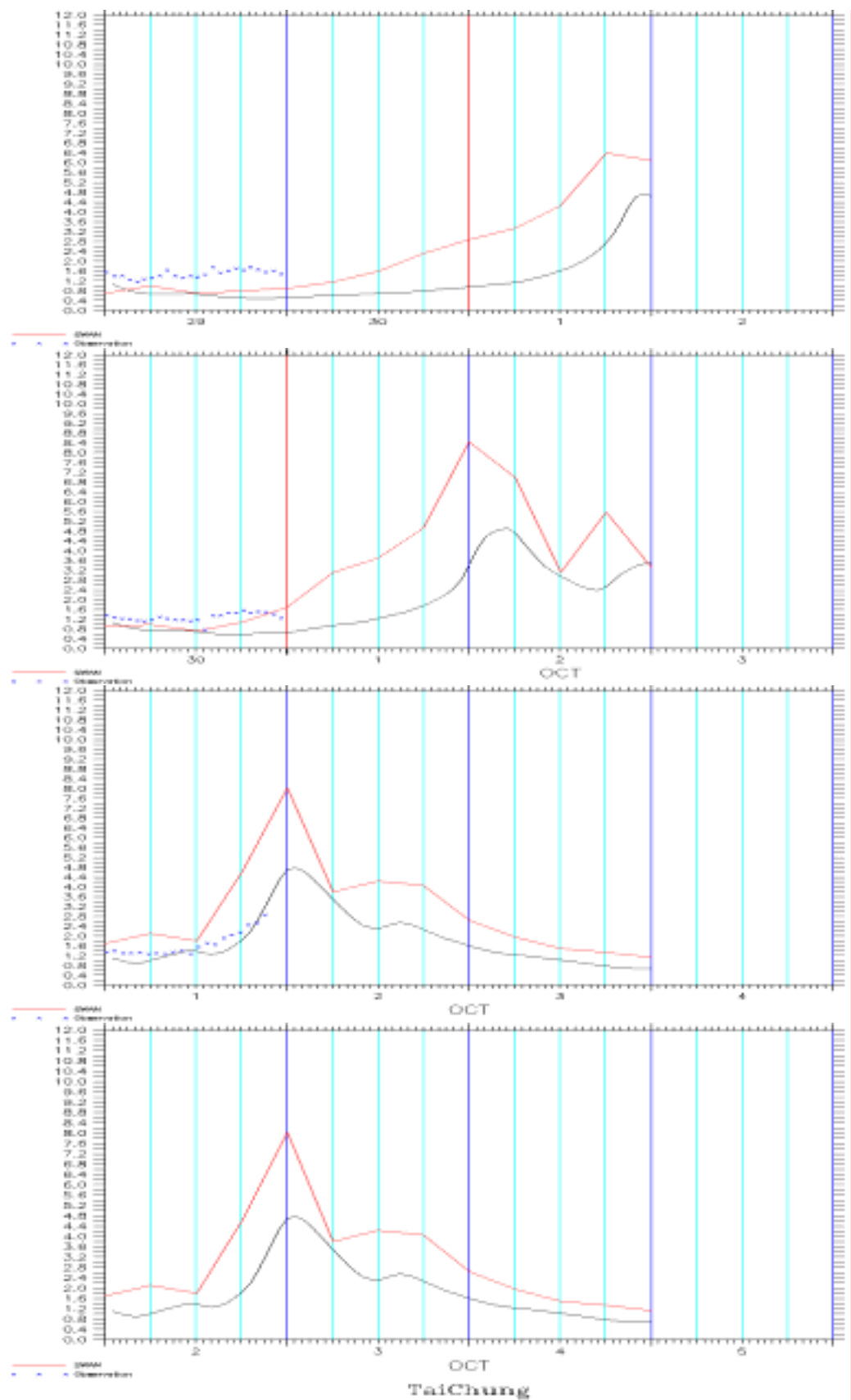


圖 4.2-27 龍王颱風期間臺中港波高預報圖 (2005/09/30~10/03)

圖 4.2-28 至 4.2-35 為非颱風期間水位及波浪預報圖，水位預報時間為 2005/10/13~18，波浪預報因為氣象局資料發佈問題，導致風場推算延遲，因此造成其他團隊預報流程中斷，資料缺失，僅展示從 2005/10/13~15。水位模式預報部分，除了基隆測站外，其餘三個測站之預報水位皆與實測水位接近，花蓮測站儀器受到破壞，自 15 日後便無資料上傳。而臺中水位則在潮時部分有些需偏差，在實測資料上傳部分也產生中斷的情況。

波浪預報的部分，除了基隆第三天的預報模式波高低於實測資料，在這三天的預報資料皆與實測資料接近，其中 SWAN 模式在波高的模擬較 WAM 來的精確。

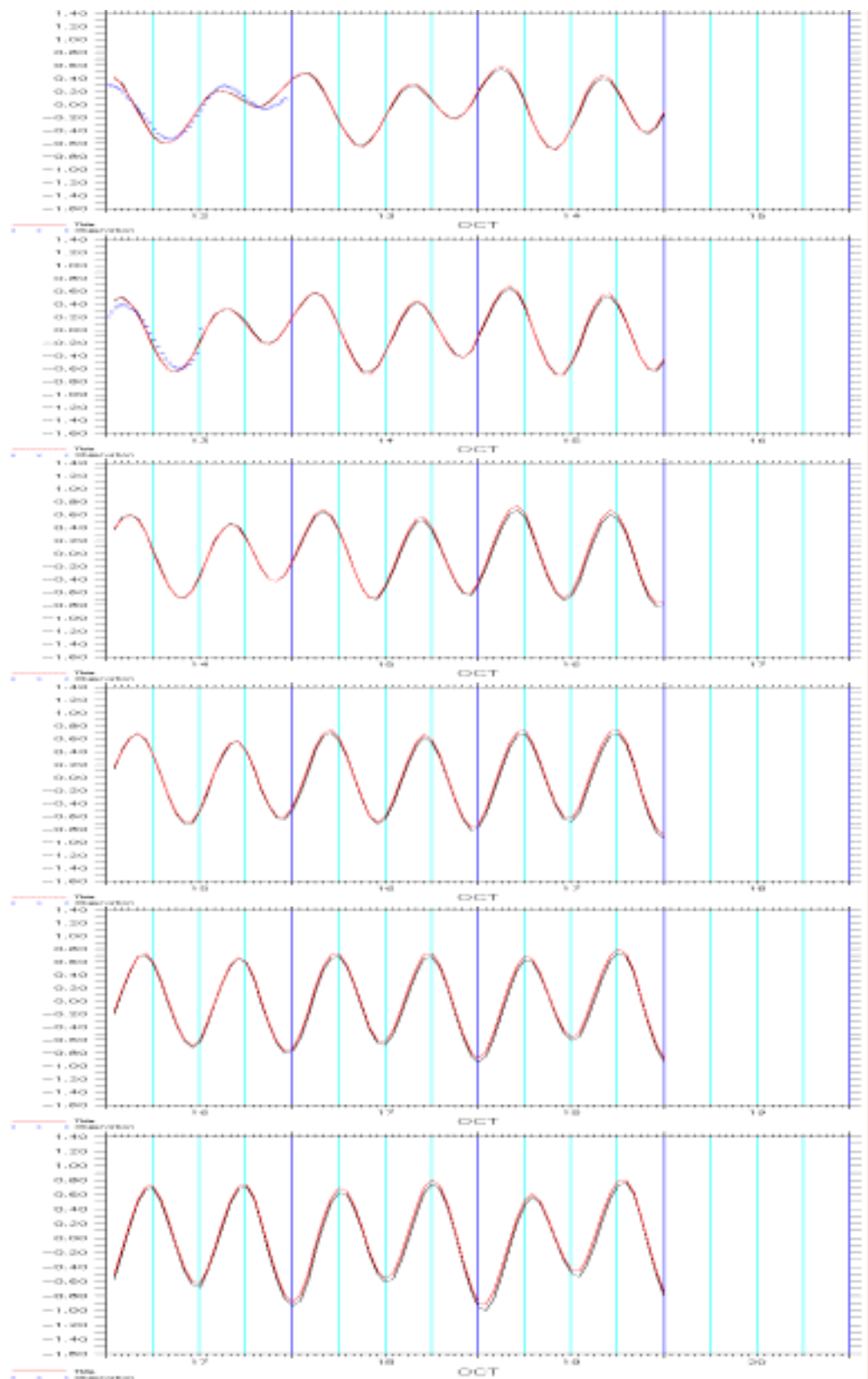


圖 4.2-28 非颱風期間花蓮港水位預報圖 (2005/10/13~18)

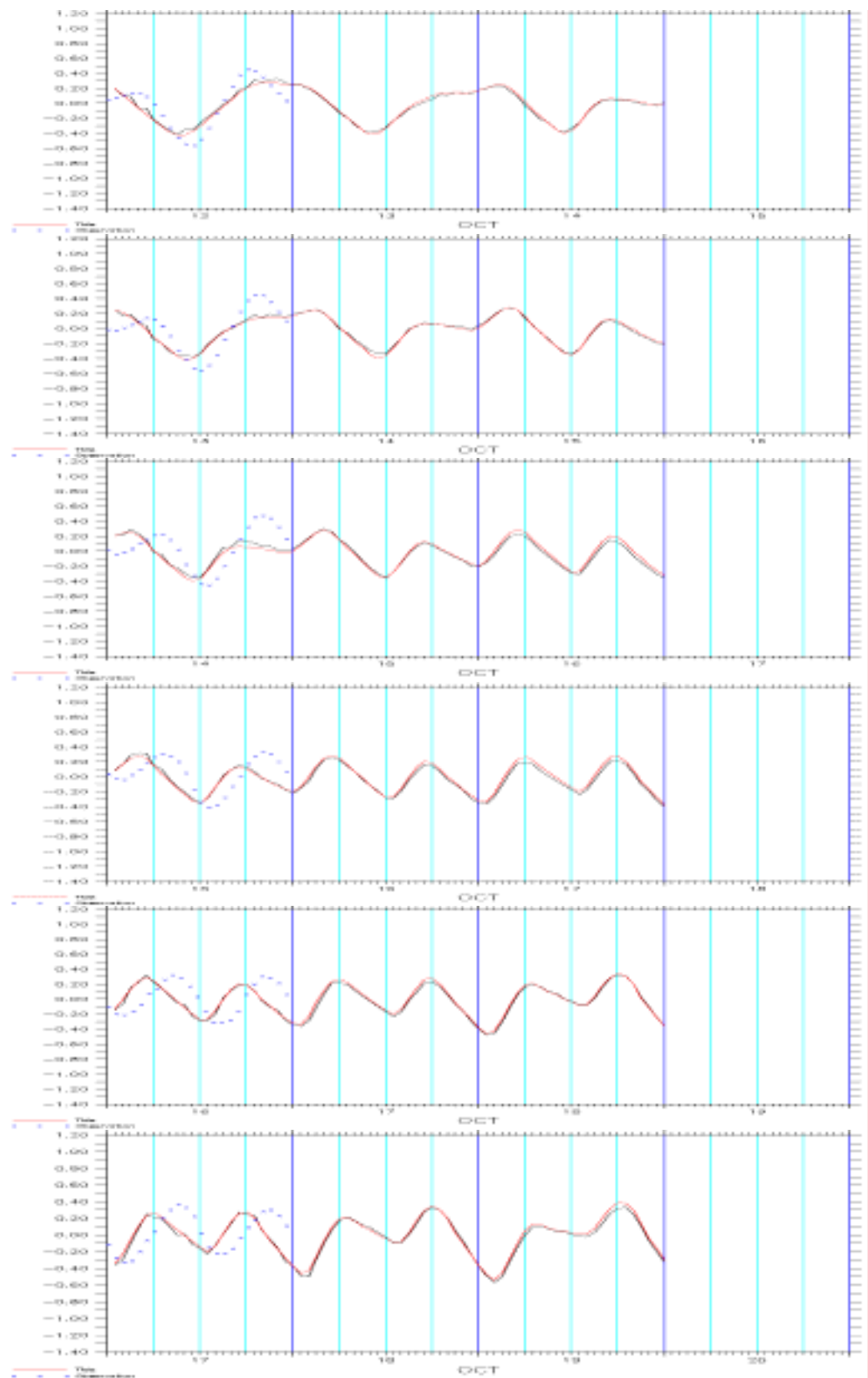


圖 4.2-29 非颱風期間基隆港水位預報圖 (2005/10/13~18)

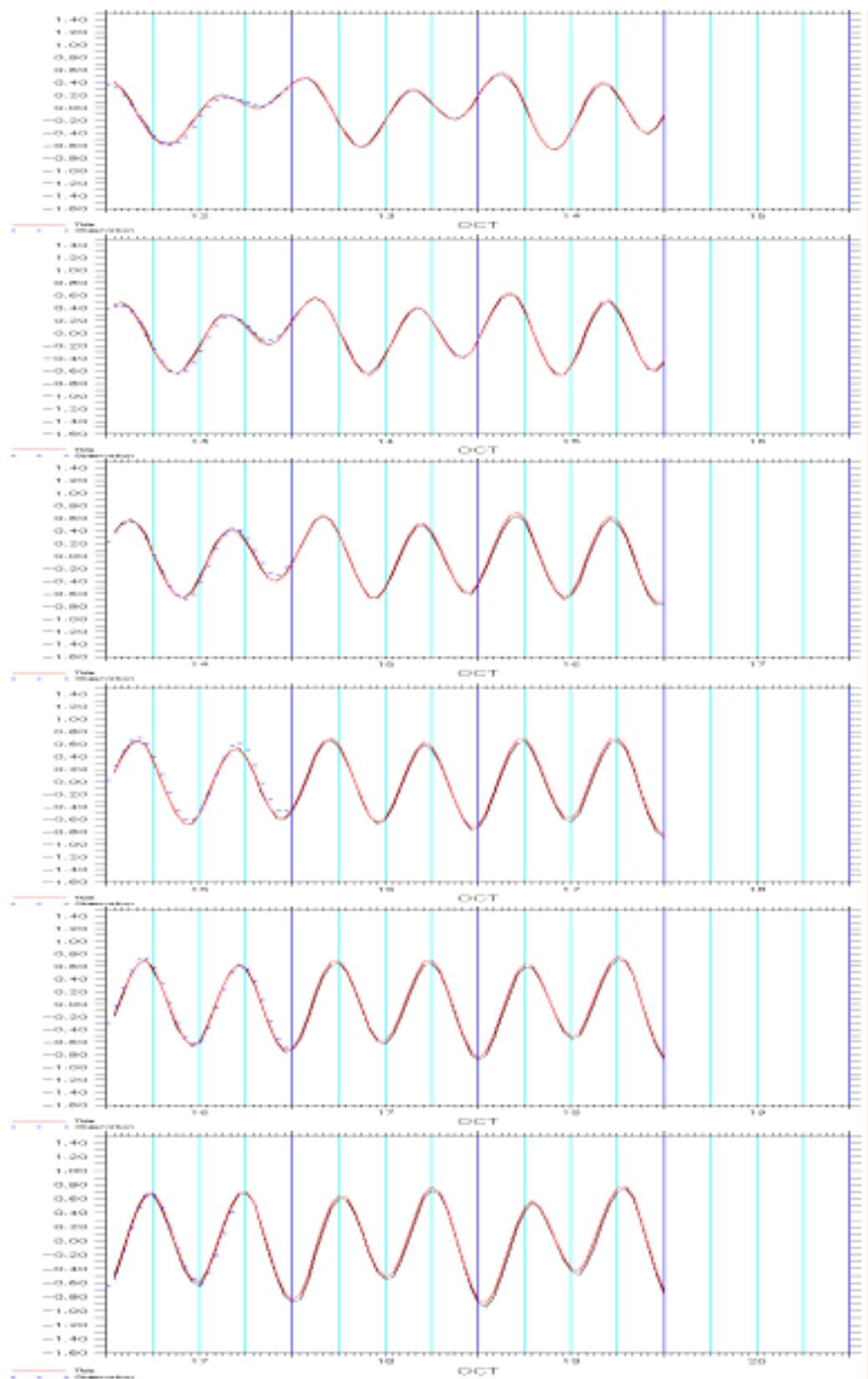


圖 4.2-30 非颱風期間蘇澳港水位預報圖 (2005/10/13~18)

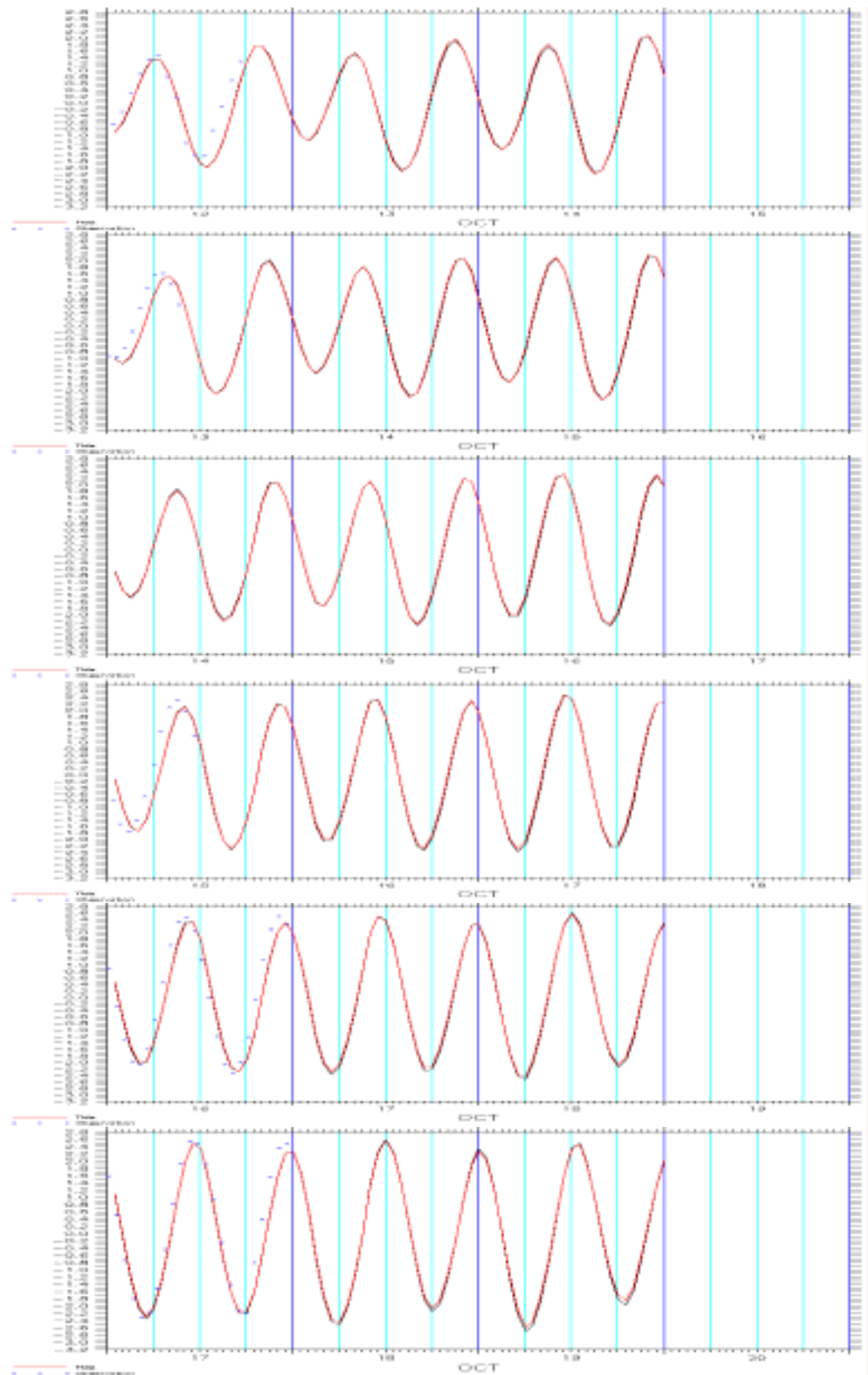


圖 4.2-31 非颱風期間臺中港水位預報圖 (2005/10/13~18)

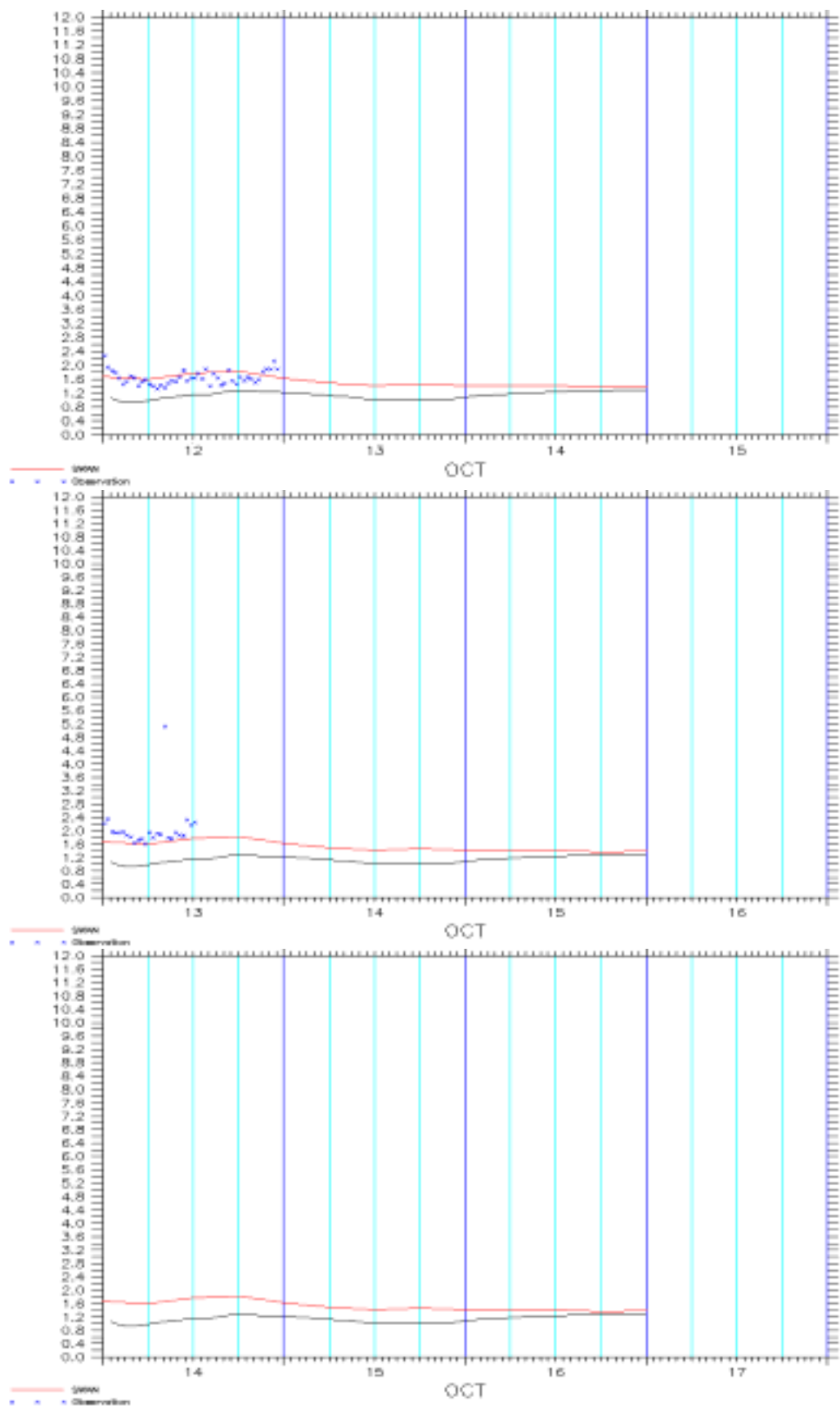


圖 4.2-32 非颱風期間花蓮港波高預報圖 (2005/10/13~15)

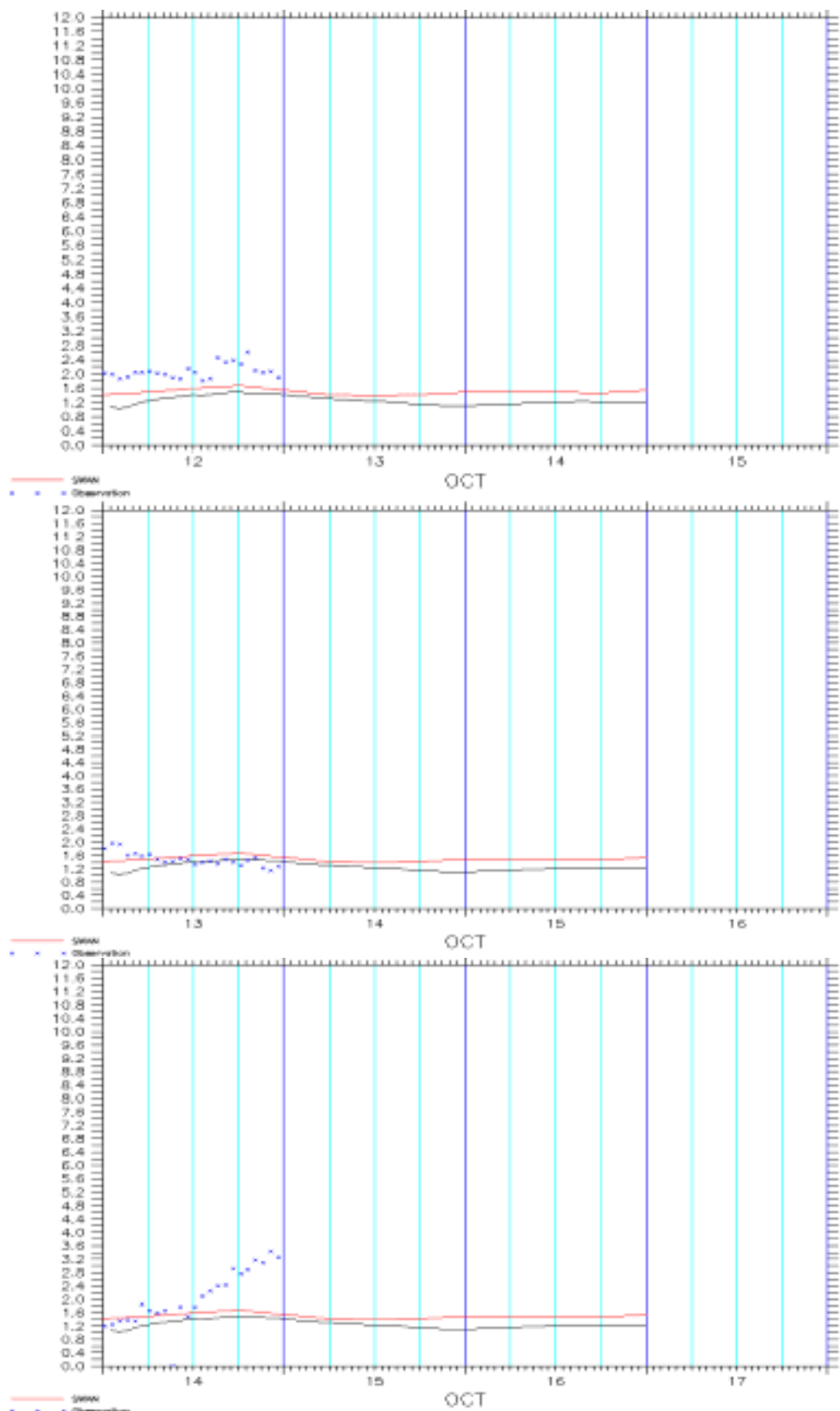


圖 4.2-33 非颱風期間基隆港波高預報圖 (2005/10/13~15)

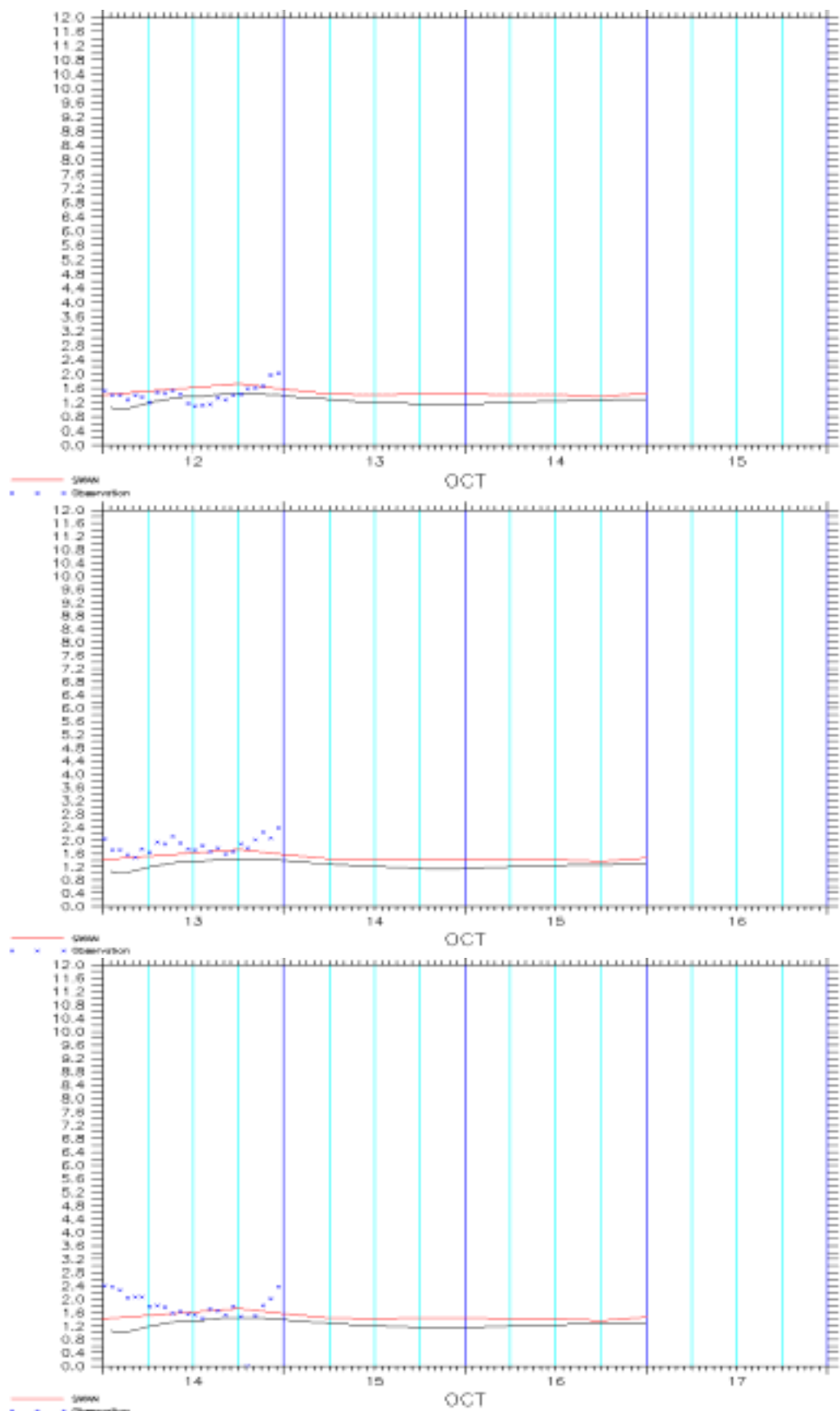


圖 4.2-34 非颱風期間蘇澳港波高預報圖 (2005/10/13~15)

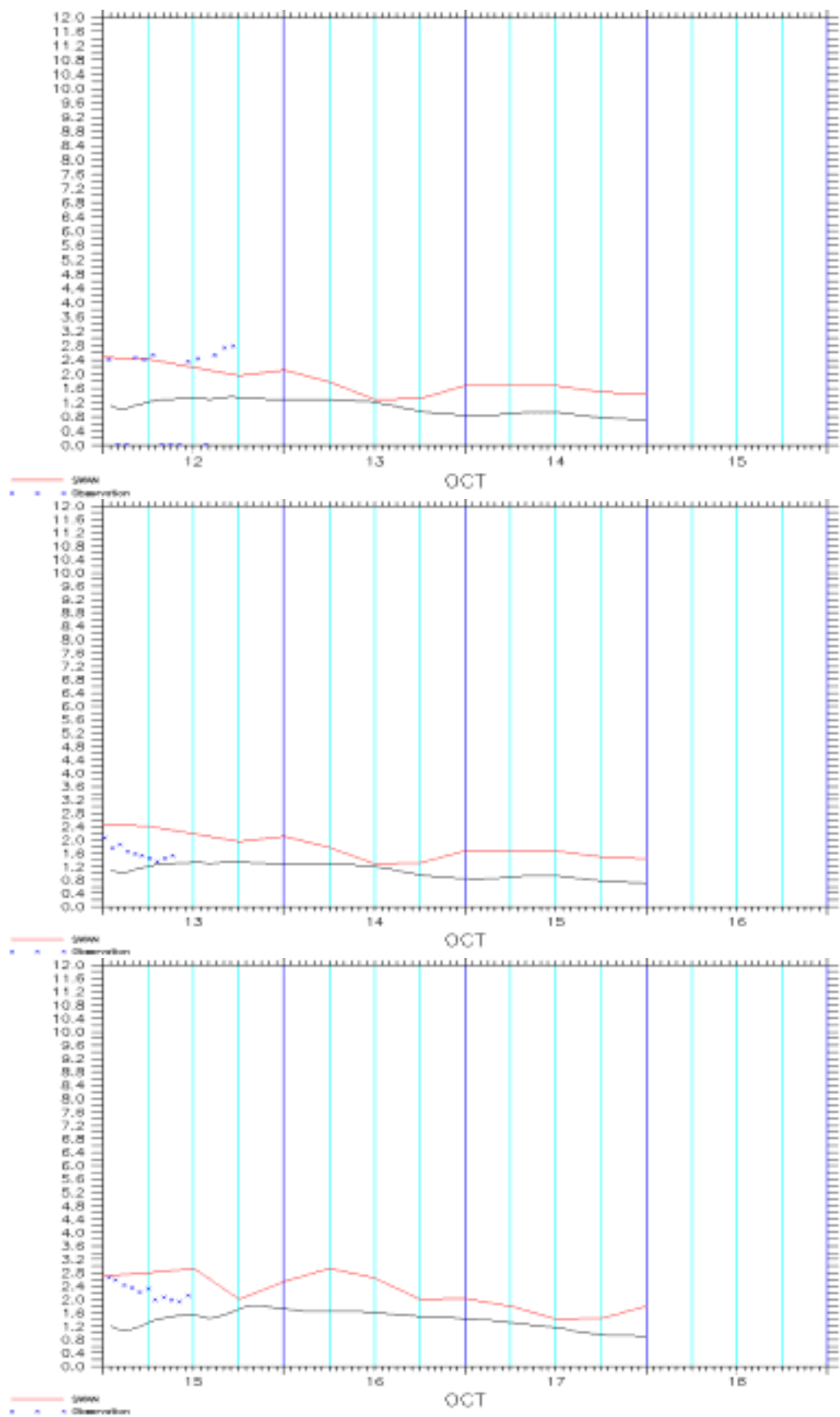


圖 4.2-35 非颱風期間臺中港波高預報圖 (2005/10/13~15)

總結今年度預報上線，雖然遇到了許多問題，然在各團隊盡力的配合下，至目前雖未能產生完美的預報系統，但至少每日可提供詳細的資訊供使用者查詢參考，以下為上線至今所遇到之問題列出，提供討論，以得到較完善的解決辦法，使本計畫預報網站更為實用。

- 1、中央氣象局預報資料取得。平日皆能準時的取得預報資料，準時完成本計畫預報，然遇到颱風日氣象局會延後發佈預報資料，此時對於本計畫的預報時效即產生影響，甚而當日無法發佈預報結果，此部分為本計畫團對目前無法控制之問題。
- 2、電力問題。每次遇到颱風期間，電力往往會發生問題，此時便無法正常預報，同時網頁也無法連結。雖然目前新架設之計算主機備有UPS，然其電力運作僅能支援短時間斷電，因此部分也是無法控制之問題。電力中斷導致網頁無法連結這部分，目前規劃明年度可租賃外部商業網路主機，將網站移於外部，如此可避免因中山出狀況導致外部使用者無法連線。
- 3、網路問題。分為兩部份，一為中山網路正常，其他團隊網路中斷，此狀況下仍可定時發佈氣象局氣象資料及水位預報結果，然其餘團隊之預報資料便無法上傳；另一部份為中山網路中斷，此時無法取得氣象局資料，所以各團隊無法進行預報流程，導致當天無預報結果產生。此部分在今年結束之前希望完成各團隊之整合，以解決各團隊網路中斷問題。而網頁展示若能移於外部商業主機，則網路中斷便不會影響使用者觀看。
- 4、實測資料上傳。實測資料上傳最初有四個港口花蓮、基隆、蘇澳及臺中，然上傳的時間再九月前都不穩定，資料量也不足，很多時候一天僅有一筆兩筆資料，另外上傳檔名也不固定，此部分對於上線處理相當困難；至九月份後資料開始較為穩定上傳，然中間仍會缺漏資料，日前又發生花蓮港觀測儀器遭颱風破壞，目前則已修復。

4.3 防救災預報系統網站

4.3.1 前言

臺灣四周海岸由不同單位依其個別需求而佈置許多海象觀測站。由於缺乏整體性的整合，往往形成觀測站分布不均、觀測項目、經度與資料格式不同，造成觀測結果無法相互支援提供防災使用，而顯現資源重複投資卻沒有發揮應有的功能現象。本計畫的另一目標是建置本土化颱風波浪預報系統，透過模式的預測模擬可提供臺灣沿海波浪在時間及空間上完整的資料，模式預報資料與現場觀測資料的比對與展示可以提供使用者參考，亦可作為模式修正的資訊。因此，本計劃嘗試規劃出一個以網路為溝通媒介的環境讓專家學者及各單位使用者能透過此系統輕鬆地掌握、瞭解所需的資料。

本模式介面的目標希望能藉由相關人員所建議且討論的資料架構圖，來建構一套符合需求的網站介面。資料呈現的架構是利用分門別類的方式將每個主題突顯出來，然後在針對每個主體內容做細部資料的呈現或查詢。資料架構圖說明如後：

4.3.1.1 第一層下拉式表單

- 系統說明
- 觀測資料
- 綜合查詢
- 颱風海象
- 風壓模式
- 波場模式
- 水位模式
- 流場模式
- 擴散模式
- 相關網站
- 回首頁

4.3.1.2 第二層下拉式表單

系統說明

- ◆ 系統概述
- ◆ 研究計畫

觀測資料

- ◆ 查詢說明
- ◆ 觀測網站
- ◆ 典型水深
- ◆ 典型颱風
- ◆ 典型風壓
- ◆ 典型波場
- ◆ 典型水位
- ◆ 典型流場
- ◆ 典型擴散

颱風海象

- ◆ 模式說明
- ◆ 典型資料

風壓模式

- ◆ 模式說明
- ◆ 典型風壓
- ◆ 即時風壓
- ◆ 歷史風壓

波場模式

- ◆ 模式說明
- ◆ 典型波場
- ◆ 即時波場
- ◆ 歷史波場(WAM)
- ◆ 歷史波場(SWAN)

□ 水位模式

- ◆ 模式說明
- ◆ 典型水位
- ◆ 即時水位
- ◆ 歷史水位

□ 流場模式

- ◆ 模式說明
- ◆ 即時流場
- ◆ 典型流場
- ◆ 歷史流場

□ 擴散模式

□ 相關網站

- 港灣研究中心
- 中央氣象局
- 經濟部水利署

□ 回首頁

4.3.2 網站架構及內容

4.3.2.1 網站架構概念

設計 Taicoms 網站架構時，預先考量到往後如果開放給一般民眾參觀，如何在使用者進入到此網站後，便可以一目了然的理解網站所要呈現的內容，同時可以符合中心所規劃的資料架構。現今的網頁均會在首頁，利用一些多媒體技術來加強網頁的生動、活潑性。因此，網頁設計之初也將此概念加入，利用 flash 的動畫來加強本網站的豐富性。網站的設計也可以讓使用者一目了然的架框結構來當作開發基礎。本網頁設計時將網頁切割成三個 FRAME(頁框)；左頁框放計劃執行相關單元選單，右頁框則當作顯示頁面，上頁框則是作為本網站 BANNER 顯示處。概念圖如圖 4.3-1 及圖 4.3-2 所示。

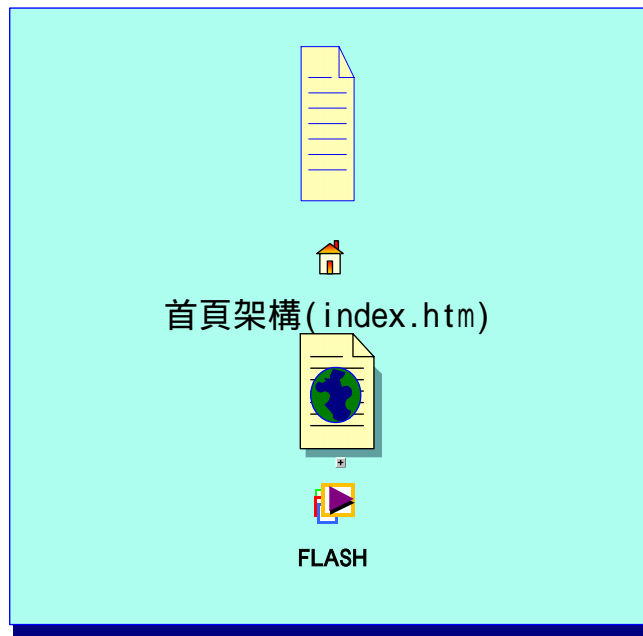


圖 4.3-1 TaiCOMS 首頁架構

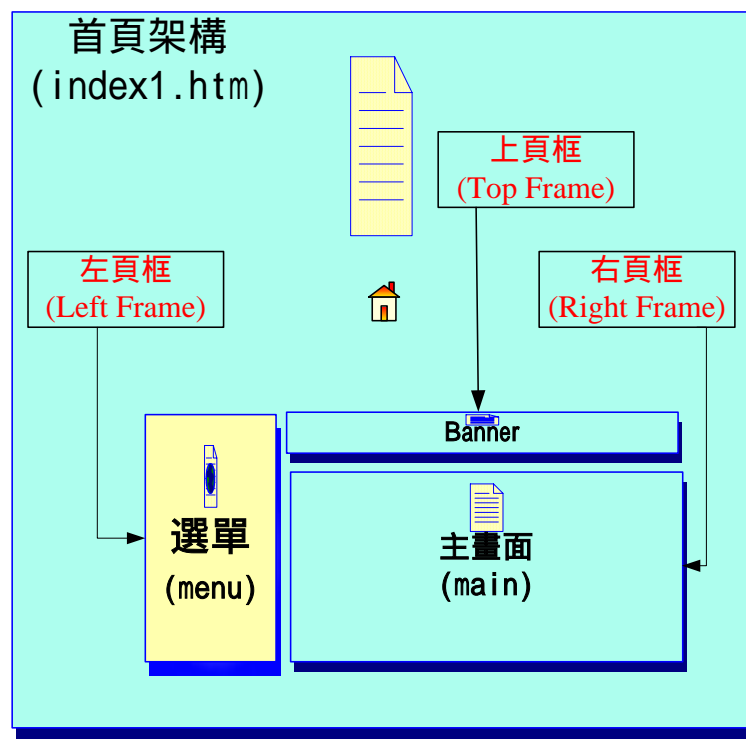


圖 4.3-2 TaiCOMS 網站架構概念

4.3.2.2 階層概念選單

本計劃中很多資料都必須利用階層式的概念，一層一層的將東西呈現。為了方便使用者在進入此網站後，可以馬上找到所需要的資料，設計時，先將所有主題分門別類，利用專業的概分方式(示意圖如 4.3-3)將本計劃的主題呈現出來。一般的政府機關網站也是利用此方式幫助使用者來找尋資料，所以使用者在使用上會有熟悉的感覺，操作較易。

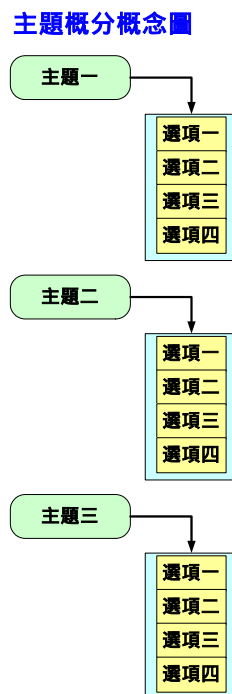


圖 4.3-3 以主題為概分概念圖

4.3.2.3 資料呈現方式

網站在資料的呈現部分完全以使用者的直覺化反應來作設計。當使用者在選單上點選所要觀看的主題後，往往希望能馬上在網頁看到選單選項的內容資料。所以網站設計上才會將視窗以架框的格式來實現，當使用者點選左邊架框的選單後，右手邊的頁框會馬上呈現資料(圖 4.3-4)。

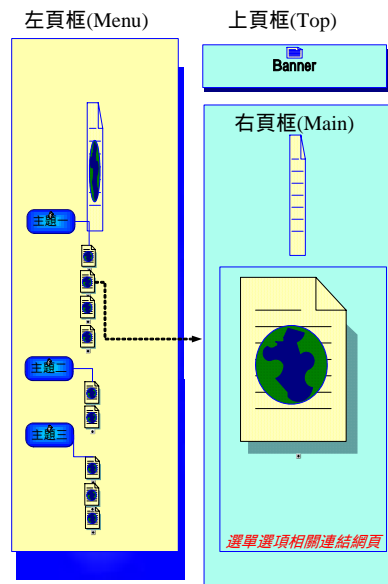


圖 4.3-4 資料呈現方式

4.3.2.4 網站內容

本章節將所規劃的概念，實際利用 Homepage 的方式呈現。本網站的首頁利用動畫 Flash (圖 4.3-5) 來呈現，讓網頁更加生動及活潑 (<http://taicoms.iut.nsysu.edu.tw/index1.htm>)。

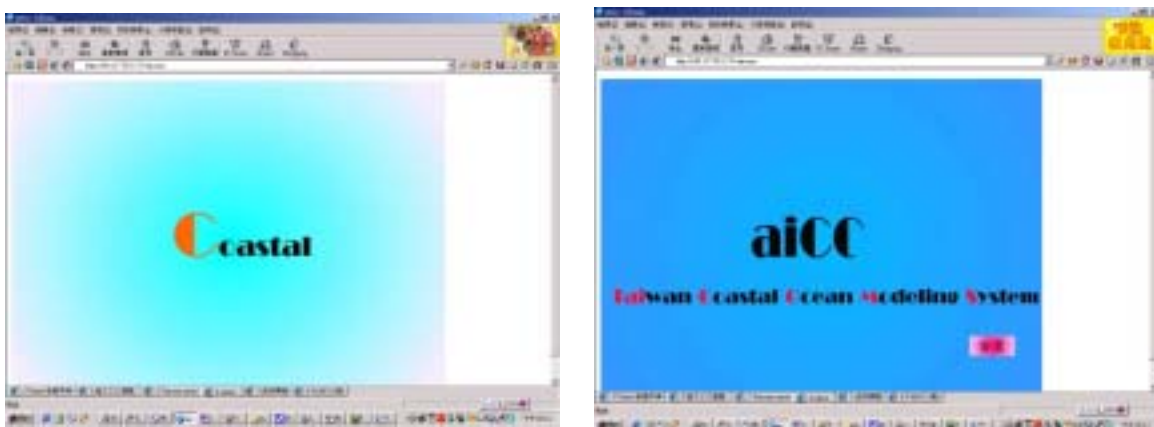


圖 4.3-5 Flash 多媒體首頁



圖 4.3-6 Taicoms 主網頁



圖 4.3-7 Taicoms 系統說明



圖 4.3-8 觀測網站



圖 4.3-9 觀測網站 - 風力測站



圖 4.3-10 觀測網站 - 典型水深

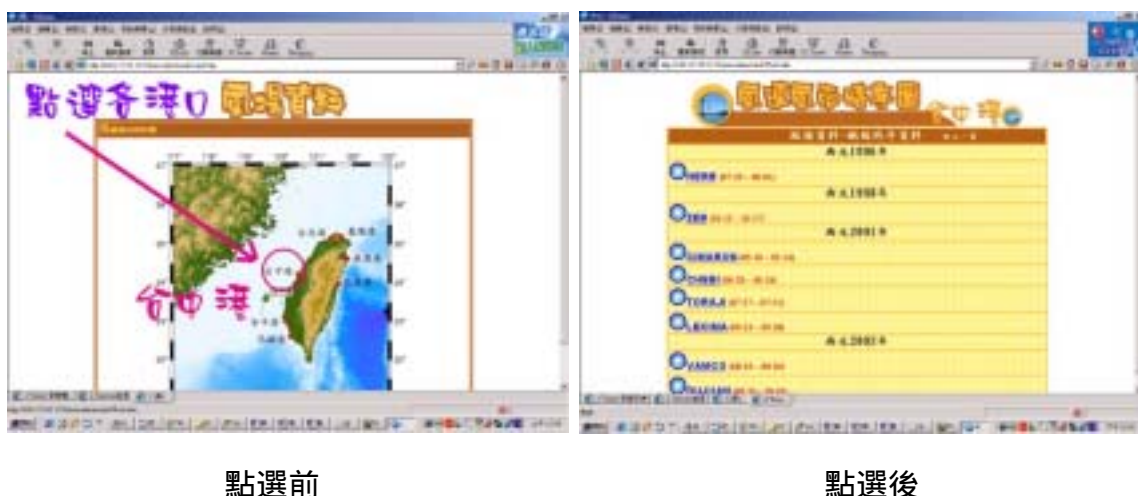
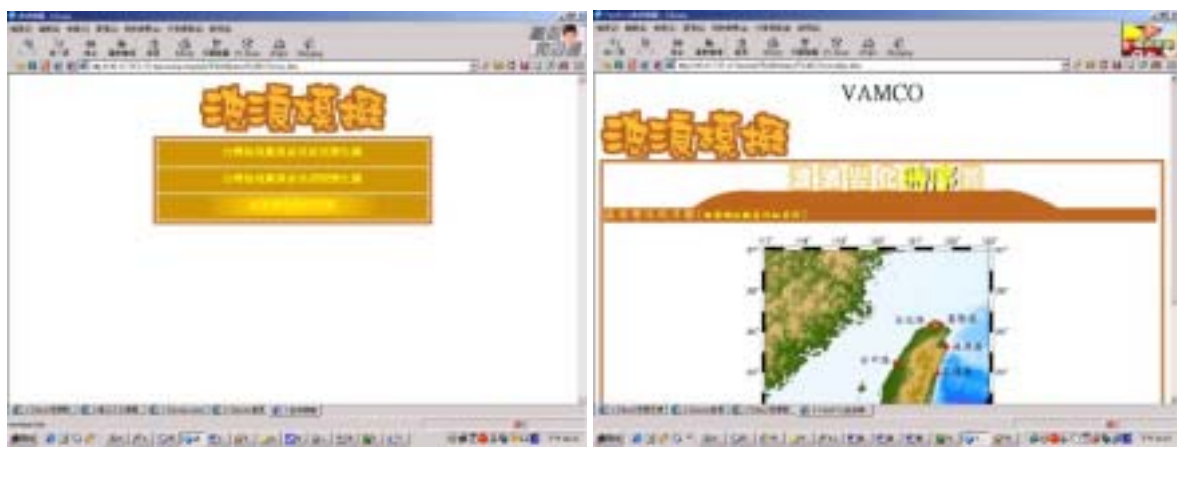


圖 4.3-11 觀測網站 - 典型風壓



點選前

點選後

圖 4.3-12 颱風波浪模擬之波浪變化時序圖

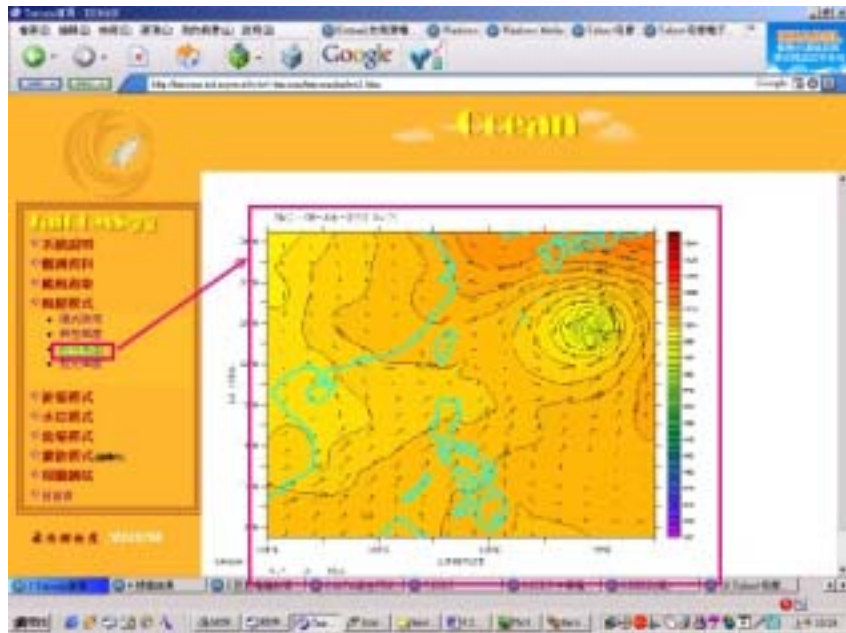


圖 4.3-13 風場模式 - 即時風壓

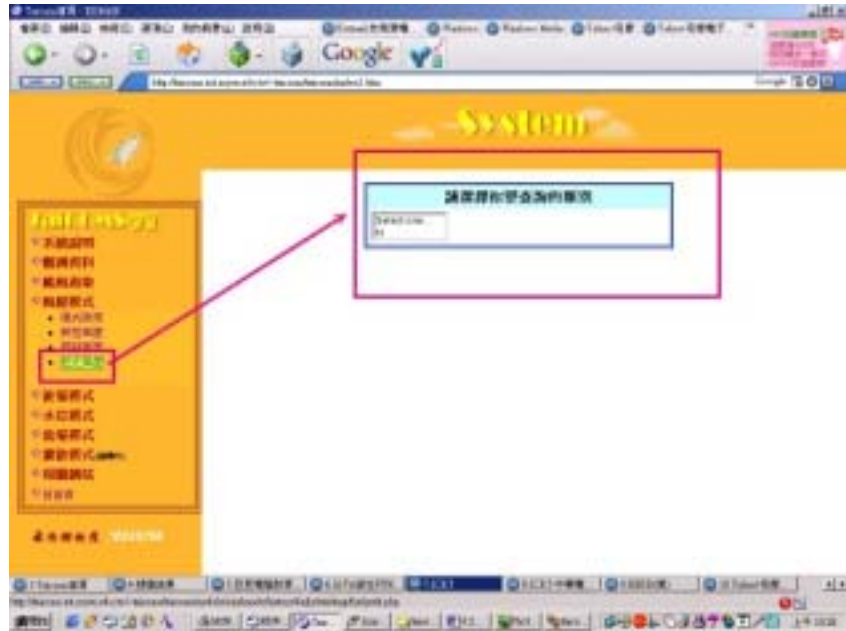


圖 4.3-14 風場模式 - 歷史風壓

4.3.3 綜合查詢自動化機制

為了提供使用者更多的資訊，本系統研發一機制來呈現歷年來利用觀測或數值模擬等方式所統計的資訊給使用者參考。同時為了考量使用者的習慣，我們透過下拉式選單來讓使用者點選所需要的資訊，達到所見即所得的友善介面。

4.3.3.1 資料格式

本機制的歷年資料由蘇博士整理提供，提供的格式以'.pdf'檔為主，各團隊所產生的圖檔為'.gif'或'.jpg'。為了讓資訊可以互相流通，團隊透過與蘇博士的溝通協調，制定一個命名的規範，所有參與相關單位依照此規範來產生相關檔案資訊。協定後按照規範命名的檔案如下：

N_WAV_HI_VW0_TC_PT-A_1998_MON-12_01_F&R_1.PDF

或

數值_波浪_歷史_WAN 模式_臺中港_測點 A_1998 年_12 月_1 日_

圖與表_1.PDF

由於檔案格式統一，利用此特性來建構一個有結構性的選單。

4.3.3.2 資料結構

由於先前檔案的命名已經統一格式，我們則依此格式模式，利用 C 語言來撰寫程式，並在 Linux 的作業平臺中執行。此程式會將每天所產生的風壓、波浪、水位等資料，變成結構化格式。透過巢狀結構的方式來拆解每個檔案並產生適當的資料夾階層，程式流程大概如圖 4.3-15 所示。經過 C 語言程式處理後，所有的檔案皆以巢狀結構資料夾型式（如圖 4.3-16）呈現。使用者可透過網頁所撰寫的 php 下拉式視窗程式來選取所要查詢的資料內容。

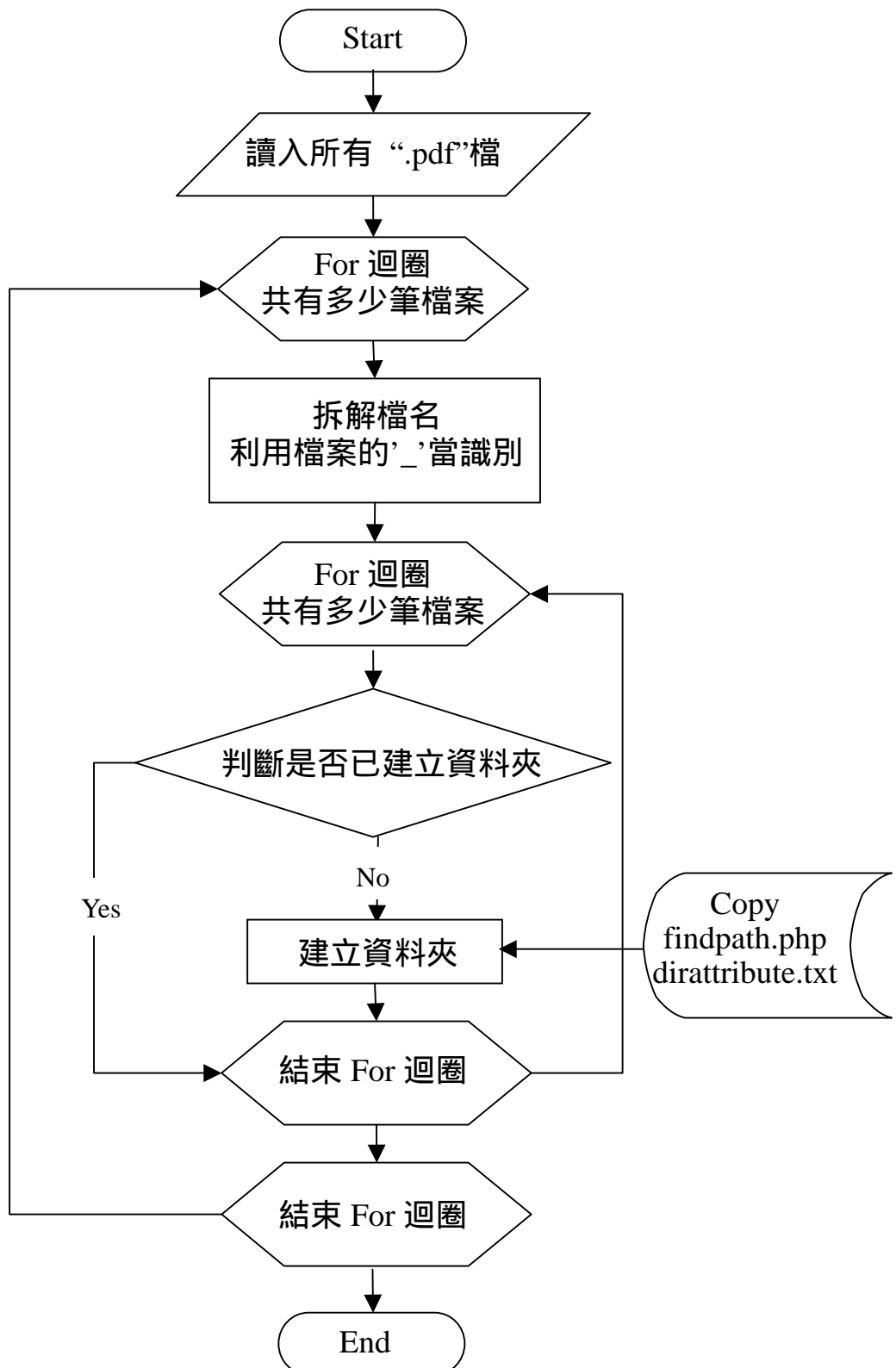


圖 4.3-15 C 語言程式處理流程

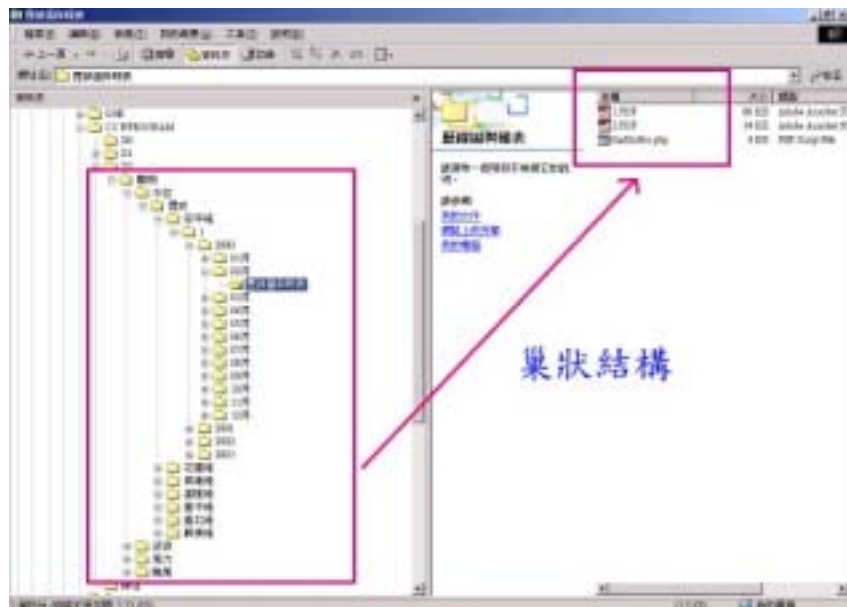


圖 4.3-16 巢狀資料夾結構



圖 4.3-17 下拉式視窗結構

4.3.4 相關資料與技術之轉移

本計畫產生的資料量相當的多，各個模式的模擬結果包括波浪場資料、風場資料以及水位資料；觀測網觀測的資料包括地形、水深、

氣壓、颱風、風場(風速、風向)、波場(波高、週期及波向)、水位(天文潮位、暴潮位)及流場(流速、流向)，目前相資料皆已建置於本中心的電腦系統內，以方便使用。各個執行模式的部分原始碼也建置於本中心的電腦系統內，使其可以在中心編譯及更新。

第五章 結論與建議

5.1 結論

5.1.1 臺灣海域水動力模式

目前二維水動力模式包含水位及流速，建置完成並完成上線作業，水位模式已可正式上線預報；海流模式則僅止於上線測試，模式結果還需要實測資料校正。三維海流模式則已建置完成，由於記憶體使用量過大及計算時間過長，在一般 PC 上執行有其模擬限制，因此目前還無法上線使用。

水位模式於今年兩個颱風期間模擬結果，大致上符合實測資料的趨勢，即時實測資料的測站，目前有基隆、花蓮、蘇澳、高雄及臺中等港區，但因現場觀測儀器於颱風期間偶會破壞，因此無法進行全面性的比對校正，未來作業期間應持續進行校正工作。另外由於水位實測資料，皆未包含觀測之基本水位，因此在轉換為模式高程水位變化與模式比對時，會產生偏移的現象，增加比對時的困難度，無法比對判斷，希望未來能獲得測站的基準水位，以減少此部分的誤差。

本年度利用了中央氣象局預報的全年動態氣象資料，進行全年最大水位推估，得到了七個港區的全年最大水位（以平均海平面為準），基隆為 0.718 公尺、臺北為 1.495 公尺、臺中為 2.572 公尺、安平為 0.802 公尺、高雄為 1.044 公尺、蘇澳為 1.0 公尺、花蓮為 1.021 公尺，此部分可供未來工程參考。

二維海流模式雖然於本年度建置完畢，也進行過去颱風時期流場推算，然缺乏實測流場資料進行比對校正，此部分仍須請港研中心配合提供資料，以得到較可信的流場分佈，尤其是海峽內之海流資料。

本計畫以天體位勢之神經網路，以花蓮測站學習一年的數據推算

2001-2004 年的潮汐水位，並與正交潮及 NAO.99b 模式相互比較下，顯示本模式之能力與調和分析法相仿。再者，本計劃亦使用神經網路之水位推算模式，進行外部測站的水位推算。經測試結果顯示，模式可推算之範圍由頭城至蘭嶼，且誤差量約與 NAO.99b 模式相似。於西北部經由新竹的學習後，建構其網路。其推算週邊測站之結果經過平均潮差的修正後，皆優於 NAO.99b 模式之結果；於西南部與東北部經由高雄與龍洞的學習，即推算週邊測站之潮汐水位。其潮位推算雖然經有潮時的修正後，潮汐於該種地形的動力變化相對於神經網路模式，仍屬無法完整描述的機制。因此，模式之水位推算結果稍大於 NAO.99b 模式。經過上述之類神經網路推算，再以實測水位扣除模式所求之天文潮位，即得暴潮偏差。本計劃將暴潮偏差進行建構颱風暴潮類網路模式，以求得未來在颱風期間之暴潮偏差。

本計劃將颱風期間之暴潮偏差，帶入颱風暴潮之神經網路模式，經由學習 2004 年四個颱風包含艾利(AERE)、敏督利(MINDULLE)、妮妲(NIDA)、蘭寧(RANANIM)，學習之相關係數約為 0.86。預測 RAMMASUN 颱風之暴潮水位，其相關係數約為 0.72。顯示本模式於預測颱風暴潮已有較佳的正確性，並於 2005 年進行海棠(HAITANG)與泰利(TALIM)兩颱風暴潮之預測，由預測結果可知除海棠颱風於花蓮之推算值與觀測值之比較，由於資料遺缺無法了解暴潮發生的時間及其最大值。除此之外，海棠於蘇澳之推算結果與兩單位所提供之資料時間約差 2 個小時，最大值誤差約為 0.06-0.3 公尺；泰利於花蓮之推算暴潮最大值與港研中心資料之誤差為 0.2 公尺，暴潮發生時間則為同時。由此可知，本計畫之颱風暴潮推算模式於最大值及其發生時間，有較可靠的推算能力，未來於工程設計或防災上有較大的應用性。

5.1.2 臺灣海域波浪模式部分

目前 WAM 波浪推算作業共分四個階段執行：Preproc、Preset、Wamodel，及 Pgrid_m。以目前的系統推算 72 小時的波場，並輸出全海域波場以及七個商港的波浪時序資料大約需要執行 2 小時 16 分鐘。

SWAN 波浪推算作業，為了爭取風浪推算的時效性，採用定常性狀態的推算模式。由於每一個時間的推算需要大約 4 分鐘，如果配合 WAM 進行 72 小時每小時的計算，則約需要 288 分鐘，顯然與推算作業的需求嚴重不合。因此，目前採用每 6 個小時為間隔進行推算，則 12 個時段共需要 48 分鐘。如果一切順利的話，可在上午 10:00 以前完成風浪推算結果並上傳至 TaiCOMS 網站。

本計畫3.2節近岸海域波浪模擬系統以具快速運算特性之REF/DIF區域波浪模式取代原有計算相當費時的近域波浪模式EEMSE，作為未來臺灣沿海近岸波浪模擬系統之線上作業模式。

本計畫先以REF/DIF區域波浪模式模擬花蓮港等七大港口波浪場，模擬結果顯示除基隆港外，各港口沿岸海域波浪因地形所引起的波浪折繞射現象與EEMSE近域模擬結果極相近似，僅港口防波堤附近波場略有出入。由於REF/DIF區域波浪模式運算快速，且模式可適用於較大海域範圍之波浪場模擬，因此本計畫今年度先針對臺灣東部海岸構建16個近岸區域波浪模擬區域，並整合成近岸區域模擬系統，藉以模擬臺灣東部海岸之近岸波浪場。未來將進一步針對其它海岸地區構建近岸區域波浪模擬區域，以達到構建臺灣環島近岸區域模擬系統之目的。

對於港口附近及港內波浪模擬本計畫以FEM_EMS模式取代原有的EEMSE近域波浪模式，並以花蓮港口為例，針對231組波浪入射條件進行波浪場之模擬，並建立相關聯模式，以達到即時自波浪場資料庫內擷取適當的波浪場。

類神經網路波浪推算模式以能量平衡方程式為基礎，在颱風波浪的計算上配合參數形式的颱風模式 Holland Model 藉由輸入參數與輸出函數間的關係，修正類神經網路轉換函數組成颱風波浪推算模式，並以臺灣東部海域花蓮港為例。颱風波浪推算模式可以有效且穩定的計算出推算區域內颱風波浪的行為。以類神經網路為核心並修正轉換函數所建構的颱風波浪推算模式，達到模式建構過程容易、計算快速、

計算結果準確及模式具自我修正調校功能的目標，同時避免於一般數值模式需較長計算時間，又能夠有相當精度之預測能力，於馬莎颱風與珊瑚颱風有較精確的推算，但是對於海棠與泰利之颱風中心因地形的變化，有變異的結果，使模式推算無法獲得較佳的結果。因此，未來針對對於這樣的限制可以藉由結合及時風場資料或是更精準的颱風風場計算模式得到改善。

本計畫以冪次與線性之迴歸公式，來推估冬季與夏季季風之示性波高，但並沒有得到與實測值一致的預測值。因此藉由模糊類神經網路來建立適合的季節風波浪預報模式。本模式首先利用 ANFIS 來調整季節性變化之波浪，經過訓練資料長度的測試與 6 種不同網路輸入參數之比較，最後由推算之 RMS 值優劣選出，以 24 小時移動平均之風速作為模式之輸入參數，且只需 2001 年 1 月份之前 15 天和 6 月份之前 15 天的網路學習訓練，即可分別推估 2002 年冬季與夏季之示性波浪。

推估 2001 年冬季之示性波高 RMS 值約在 0.27m~0.3m，而 2002 年冬季所推估之示性波高的 RMS 值約在 0.31m~0.41m，所推估 2001 年夏季之示性波高 RMS 值約在 0.23m~0.44m，推估 2002 年夏季之示性波高 RMS 值約在 0.22m~0.42m，應用本模示可利用冬、夏兩季各 15 天之資料來訓練，即可精確地推算全年示性波高，在工程上具有較大的應用性，並可供海岸工程施工以及港灣船隻作業之參考。

5.1.3 線上預報作業

目前已完成上線預報作業的項目為水位、流場、WAM 及 SWAN 模式，另外，自中央氣象局取得之預報風場及氣壓場經解碼及格點轉換及內差處理後，亦經可視化處理將動畫展示於海情中心網頁。預報呈現的圖形計有七大港區三日水位變化時序圖、三日西太平洋海域水位及流場動畫、三日七大港區西太平洋大尺度網格波浪模式（WAM）及臺灣海域中尺度網格波浪模式（SWAN）等模式計算結果之波高、波向及週期時序圖以及三日 WAM（西太平洋海域）及 SWAN 模式（臺

灣附近海域)波高、週期及波向動畫。

實測資料已於九月份後可同步較穩定的上傳，目前有四個港區有資料上傳(花蓮、蘇澳、基隆及臺北港)，然在今年度颱風肆虐之下，花蓮港區的觀測器材流失，因此現階段僅剩三個測站資料上傳，這部分仍需要港研中心的支援，加強上傳資料的量及質。

目前還未上線之模式為近岸波場模式(七大港區近岸海域)、類神經網路預警模式，待未來取得預報資料後，即可上線預報。

5.2 建議

總結今年度預報上線，雖然遇到了許多問題，然在各團隊盡力的配合下，至目前雖未能產生完美的預報系統，但至少每日可提供詳細的資訊供使用者查詢參考，以下為上線至今所遇到之問題列出，提供討論，以得到較完善的解決辦法，使本計畫預報網站更為實用。

- 1、中央氣象局預報資料取得。平日皆能準時的取得預報資料，準時完成本計畫預報，然遇到颱風日氣象局會延後發佈預報資料，此時對於本計畫的預報時效即產生影響，甚而當日無法發佈預報結果，此部分為本計畫團對目前無法控制之問題。
- 2、電力問題。每次遇到颱風期間，電力往往會發生問題，此時便無法正常預報，同時網頁也無法連結。雖然目前暫置於中山大學新架設之計算主機備有 UPS，然其電力運作僅能支援短時間斷電，因此此部分也是目前無法控制之問題。電力中斷導致網頁無法連結這部分，目前規劃明年度可租賃外部商業網路主機，將網站移於外部，如此可避免因出狀況導致外部使用者無法連線。
- 3、網路問題。分為兩部份，一為主機網路正常，其他團隊網路中斷，此狀況下仍可定時發佈氣象局氣象資料及水位預報結果，然其餘團隊之預報資料便無法上傳；另一部份為中山網路中斷，此時無法取得氣象局資料，所以各團隊無法進行預報流程，導致當天無預報結

果產生。此部分在今年結束之前希望完成各團隊之整合，以解決各團隊網路中斷問題。而網頁展示若能移於外部商業主機，則網路中斷便不會影響使用者觀看。

4、現場實測資料蒐集方面，實測資料上傳目前有花蓮、基隆、蘇澳、高雄及臺中等港口，然現場觀測儀器於颱風期間偶會召破壞，上傳的資料不太穩定，此部分對於模擬成果資料之比對驗證甚為重要，維持更穩定之資料蒐集率為努力目標。

參考文獻

1. Arakawa A. and Suarez M. J., 1983, Vertical differencing of the primitive equations in sigma coordinates. *Monthly Weather Review*, 111, 34-45.
2. Backhaus J. O., 1985, A three-dimensional model for the simulation of shelf sea dynamics. *Deutsche hyrographische Zeitschrift*, 38, 165-187.
3. Bauer, E., S. Hasselmann and K. Hasselmann, 1992, Validation and Assimilation of Seaset Altimeter Wave Heights Using the WAM Wave Model, *J. Geophys. Res.*, 97, pp. 12671-12682.
4. Booji, N., 1981, Gravity waves on water with non-uniform depth and current, Department of Civil Engineering, Delft University of Technique, Delft, The Netherlands, Report No. 81-1.
5. Bretschneider, C.L., 1952, The generation and decay of wind waves in deep water. *Transaction American Geophysical Union*, Vol. 33, No. 3, 381-389.
6. Cressman, G., 1959, An operational objective analysis system, *Monthly Weather Review*, 87, 367-374.
7. Darwin, G. H., 1907, The harmonic analysis of tidal observations in Scientific Papers, 1, Oceanic tides and lunar disturbances of gravity., Cambrige Univ. Press, London.
8. Deleersnijder E., Norro A. and Wolanski E., 1992, A three-dimensional model of the water circulation around an island in shallow water. *Continental Shelf Research*, 12, 891-906.
9. Deo, M.C., Gondane, D. S., and Sanil Kumar, V., 2002, Analysis of wave directional spreading using neural networks. *Journal of Waterway, Port, Coastal, and Ocean Engineering*, Vol. 128, No. 1, pp. 30-37.
10. Deo, M.C., Jagdale, S.S., 2003, Prediction of breaking waves with neural networks. *Ocean Engineering*, Vol. 30, No. 9, pp. 1163-1178.

11. Deo, M.C., Jha, A., Chaphekar, A.S., Ravikant, K., 2001, Neural networks for wave forecasting. *Ocean Engineering*, Vol. 28, No. 7, pp. 889-898.
12. Deo, M.C., Kiran Kumar, N., 2000, Interpolation of wave heights. *Ocean Engineering*, Vol. 27, No. 9, pp. 907-919.
13. Deo, M.C., Sridhar Naidu, C., 1999, Real time wave forecasting using neural networks. *Ocean Engineering*, Vol. 26, No. 3, 191-203.
14. Desai, S. D., 1996, Ocean tides from TOPEX/POSEIDON altimetry with some geophysical applications. Ph. D. dissertation submitted to the department of Aerospace Engineering Sciences, University of Colorado, Boulder, CO.
15. Desai, S. D., and Wahr, J., 1995, "Empirical ocean tide models estimated from TOPEX/POSEIDON altimetry." *J. Geophys. Res.*, 100(c12), 25205-25228.
16. Doodson, A.T., 1921, The harmonic development of the tide-generating potential. *Proc. R. Soc. Lond. A.*, 100, 305-329.
17. Evensen, G., 1992, Using the extended Kalman filter with a multi-layer quasi-geostrophic ocean model, *J. Geophys. Res.*, 97, 17905-17921.
18. Gandin, L.S., 1963, Objective Analysis of Meteorological Fields, Gidrometeoizdat, Leningrd, 242.
19. Gerling, T.W., 1992, Partitioning sequences and arrays of directional ocean wave spectra into component wave systems, *J. Atm. Oc. Techn.*, 9, 444-458.
20. Groves, G. W., and Reynolds, R. W., 1975, An orthogonalized convolution method of tide prediction. *J. Geophys. Res.*, 80, 4131-4138.
21. Hajime, M., Sakamoto, M., and Sakai, T., 1995, Neural network for stability analysis of rubble-mound breakwaters. *J. of Waterway Port, Coastal and Ocean Eng.*, ASCE, 97, 139–154.
22. Han, G. R. Hendry and Ikeda, M., 2000, Assimilating TOPEX/POSEIDON derived tides in a primitive equation model over the Newfoundland Shelf. *Cont. Shelf Res.*, 20, 83-108.

- 23.Hasselmann, K., S. Hasselmann, E. Bauer, C. Brüning, S. Lehner, H.C. Graber and P. Lionello, 1988, Development of a Satellite SAR Image Spectra and Altimeter Wave Height Data Assimilation System for ERS-1, Final Report ESA Study Contract No. 6875/87/HGE-I(SC), Max-Planck-Institut für Meteorologie, Report No. 19, 155.
- 24.Hasselmann, S., C. Brüning and P. Lionell, 1994, Towards a generalized optimal interpolation method for the assimilation of ERS-1 SAR retrieved wave spectra in a wave model, *Proc. 2nd ERS-1 Symp.*, ESA SP-361, 21-25.
- 25.Hasselmann, S., P. Lionello and K. Hasselmann, 1997, An Optimal Interpolation Scheme for the Assimilation of Spectral Wave Data, *J. Geophys. Res.*, 102, 15823-15836.
- 26.Hedges, T. S., 1976, An empirical modification to linear wave theory, *Proc. Inst. Civ. Eng.*, 61, pp. 575-579.
- 27.Hiraoka, T., H. Maeda and N. Ikoma, 1999, Two-stage prediction method of typhoon position by fuzzy modeling-fusion of outline prediction and detailed prediction systems, Proceedings of IEEE SMC '99 Conference on Man, and Cybernetics, Vol. 6, pp. 581 -585.
- 28.Hopfield, J.J., and Tank, D., 1985, Neural computation of decision in optimization problems. *Biological Cybernetics*, Vol. 51, pp. 141-152.
- 29.Hsu, T. W. and Wen C. C., 2001, A parabolic equation extended to account for rapidly varying topography, *Ocean Engineering*, Vol. 28, pp. 1479-1498.
- 30.Janssen, P.A.E.M., P. Lionello, M. Reistad and A. Hollingsworth, 1989, Hindcasts and data assimilation studies with the WAM model during the Seasat period, *J. Geophys. Res.*, 94, 973-993.
- 31.Jeffreys, H., 1924, On the formation of water waves by wind. Proceedings of Royal Society of London Series A, Vol. 107, pp. 189-206.
- 32.Jeffreys, H., 1925, On the formation of water waves by wind II . Proceedings of Royal Society of London Series A, Vol. 110, pp. 341-347.
- 33.Johnson, G.P. and F.C. Lin, 1996, Hurricane tracking via backpropagation

- neural network, Proceedings of 1996 IEEE International Conference on Neural Networks, Vol. 2, pp. 1103-1106.
34. Kalman, R.E, 1960, A new approach to linear filtering and prediction problems, *Trans. ASME J. Basic Eng.*, 82, 35-45.
35. Kashiyama, K. and Okada T., 1992, Automatic mesh generation method for shallow water flow analysis, *International Journal Numerical Methods Fluid*, Vol. 15, pp. 1037-1057.
36. Kirby, J. T., 1986, Higher-order approximations in the parabolic equation method for water waves, *Journal of Geophysical Research*, Vol. 91, No. C1, pp. 933-952.
37. Kirby, J. T. and Dalrymple R. A., 1983, The propagation of weakly nonlinear waves in the presence of varying depth and currents, *Proc. 20th Congress I.A.H.R.*, Moscow.
38. Kirby, J. T. and Dalrymple R. A., 1991, *User's manual, combined refraction/diffraction model*, Center for Applied Coastal Research, Department of Civil Engineering, University of Delaware, Newark, De 19716, REF/DIF 1, version 2.3.
39. Komen, G.J., 1985, Introduction to Wave Models and Assimilation of Satellite Data in Wave Models, In: The Use of Satellite Data in Climate Models, *Proc. Alpbach Conference, ESA Pub., ESA SP*, 244, 21-26.
40. Komen, G. J., L. Cavaleri, M. Donelan, K. Hasselmann, S. Hasselmann and P.A.E.M. Janssen, 1996, Dynamics and modeling of ocean waves, Cambridge University Press.
41. Kumar, A., and Minocha, V. K., 2001, A Discussion on Back-propagation Neural Network in Tidal-level Forecasting, by Tsai, C.P., and Lee, T.L., *Journal of Waterway, Port, Coastal and Ocean Engineering*, vol. 127, pp. 54-55.
42. Le Provost, C., Lyard, F., Molines, J., M. Genco, M. L., and Rabilloud, F., 1998, A hydrodynamic ocean tide model improved by assimilating a satellite altimeter-derived data set. *J. Geophys. Res.*, 103(C3), 5513-5529.

- 43.Lee, R. S. T., and Liu, J. N. K., 1999, An elastic graph dynamic link model for tropical cyclone pattern recognition, Proc. of the 6th Int. Conf. on Neural Information, ICONIP'99, 1, 177-182.
- 44.Lee, T.L., and D.S. Jeng, 2002. Application of artificial neural networks in tide forecasting, *Ocean Engineering*, Vol. 29, pp. 1003-1022.
- 45.Lionello, P., H. Günther and P.A.E.M. Janssen, 1992, Assimilation of Altimeter Data in a Global Third Generation Wave Model, *J. Geophys. Res.*, 97, 14253-14474.
- 46.Lionello, P., H. Günther and B. Hansen, 1995, A Sequential Assimilation Scheme Applied to Global Wave Analysis and Prediction, *J. Mar. Syst.*, 6, 87-107.
- 47.Luyten P. J., 1996. An analytical and numerical study of surface and bottom boundary layer with variable forcing and application to the North Sea, *Journal of Marine Systems*, 8, 171-189.
- 48.Matsumoto, K., Takanezawa, T., and Ooe, M., 2000, Ocean tide model developed by assimilating TOPEX/POSEIDON altimetry Data into hydrodynamical model: A global and a regional model around Japan. *Journal of Oceanography.*, 56 , 567-581.
- 49.Mandal S., 2001, A Discussion on Back-propagation Neural Network in Tidal-level Forecasting, by Tsai, C.P., and Lee, T.L., *Journal of Waterway, Port, Coastal and Ocean Engineering*, vol. 127, pp. 54-55.
- 50.Medina, J.R., 2001, A Discussion on Back-propagation Neural Network in Tidal-level Forecasting, by Tsai, C.P., and Lee, T.L., *Journal of Waterway, Port, Coastal and Ocean Engineering*, vol. 127, pp. 55-57.
- 51.Miles, J.W., 1957, On the generation of surface waves by shear flows. *Journal of Fluid Mechanics*, Vol. 3, pp. 185-204.
- 52.Miles, J.W., 1960, On the generation of surface waves by turbulent shear flows. *Journal of Fluid Mechanics*, Vol. 7, pp. 469-478.
- 53.Munk, W. H., and Cartwright, D. E., 1996, Tidal spectroscopy and

- prediction. *Philos. Trans. R. Soc. Landon, Ser. A.*, 259, 533-581.
54. Nelson, M., Hill, T., Remus, W., and O'Connor, M., 1999, Time series forecasting using neural networks: should the data be deseasonalized first?, *Journal of Forecasting*, Vol. 18, pp. 359-367.
55. Panofsky, R.A., 1949, Objective weather-map analysis, *Journal of the Atmospheric Sciences*, 6, 386-392.
56. Phillips, O.M., 1957, On the generation of waves by turbulent wind. *Journal of Fluid Mechanics*, Vol. 2, pp. 417-445.
57. Ray, R. D., 1998, Spectral analysis of highly aliased sea-level signals, *J. Geophys. Res.*, 103(C11), 24991-25003.
58. Smith S. D. and Banke E. G., 1975. Variation of the sea surface drag coefficient with windspeed, *Quarterly Journal Meteorological Society*, 101, 665-673.
59. Sverdrup, H.U., W.H. Munk, 1947, Wind, sea and swell : theory of relation for forecasting. U.S. Navy Hydrographic Office Publication No. 601, pp. 44
60. Thomas, J.P., 1988, Retrieval of Energy Spectra from Measured Data for Assimilation into a Wave Model, *Q. J. R. Meteorol. Soc.*, 114, 781-800.
61. Tsai, C.P., and Lee, T.L., 1999, Back-Propagation Neural Network in Tidal-Level Forecasting, *Journal of Waterway, Port, Coastal and Ocean Engineering*, vol. 125, pp. 195-202.
62. Voorrips, A.C., A.W. Heemink and G.J. Koman, 1999, Wave data assimilation with the Kalman filter, *Journal of Marine System*, 19, 267-291.
63. Voorrips, A.C., C. de Valk, 1997, A comparison of two operational wave assimilation method, KNMI Preprint 97-06, Subm. to The Global Atmosphere Ocean System, 1-46.
64. 交通部運輸研究所港研中心，1996，花蓮港整體規劃及未來發展計畫，花蓮港務局委託，港灣技術研究所委託研究計畫期末報告。

- 65.李兆芳、劉正琪、張憲國，2001，港池振盪之數值模擬計算，海洋工程學刊，第一卷，第一期，1-22 頁。
- 66.侯和雄、劉正宗，1982，臺灣海峽風浪特性之研究，第六屆海洋工程研討會論文集，第 8-1~8-17 頁。
- 67.陳亞嵐，2004，近岸風浪推算資料同化之研究，成功大學水利及海洋工程系。
- 68.張憲國、曾彥吉吉，2001，輸入天文潮汐改善類神經網路的潮汐預報能力之研究，第二十三屆海洋工程研討會論文集，97 頁-104 頁。
- 69.張憲國、黃金維，2001，以 NAO99b 潮汐模式預測臺灣西岸潮汐之評估”，第二十三屆海洋工程研討會論文集，105 頁-111 頁。
- 70.劉文俊，1996，臺灣的潮汐”，文英出版社。
- 71.鄭明典，“數值天氣預報近期的發展趨勢”，物理雙月刊，第 23 卷第 3 期，2001 年 6 月，pp.422~427。
- 72.廖建明、歐善惠、許泰文、方介群、臧效義，2002，應用 SWAN 模式模擬臺灣附近颱風波浪之特性，臺中，第二十四屆海洋工程研討會論文集，第 469-476 頁。
- 73.錢維安、張憲國、何良勝，2000，類神經網路在推算颱風波浪之研究，第二十二屆海洋工程研討會論文集，高雄，第 132-138 頁。
- 74.錢維安、張憲國、何良勝，2001，神經-模糊網路在推算颱風波浪之應用，第二十三屆海洋工程研討會論文集，臺南，第 429-436 頁。
- 75.錢維安、張憲國、何良勝，2002，神經-模糊網路在推算颱風波浪之應用(II)，第二十二屆海洋工程研討會論文集，臺中，第 461-468 頁。
- 76.謝榮哲，2000，類神經網路在長時期潮汐預報之應用，國立中興大學土木工程研究所碩士論文。

附錄 I 期末報告簡報

交通部運輸研究所
港灣技術研究中心

近岸數值模擬系統之建立 TaiCOMS (2/4)

期末簡報

國立中山大學海洋科技研究中心
2005-11-10

主要工作項目(1)

- ◆ 流場
 - > 建立二維全域海流模式
 - > 建立三維全域水動力模式
 - > 歷史八個颱風海流模擬
- ◆ 水位
 - > 去年度建立之水位數值模式精確度及計算速度改進
 - > 本年度侵臺颱風進行模擬現報
 - > 類神經網路季風及颱風期間水位推算
 - > 七個商港全年最大水位推算

主要工作項目(2)

- ◆ 波浪模式
 - > 去年度建立之各種波浪模式精確度及計算速度改進
 - > 本年度侵臺颱風進行模擬現報
 - > 波浪模式與觀測資料之資料同化
 - > 臺灣7個商港重要據點推算最大波高
- ◆ 即時現報作業
 - > 網站更新及資料移交
 - > 更新防救災預報系統網站（配合王兆章老師辦理）。
 - > 數值模式、網站資料及相關資料與技術之轉移。

台灣海域水動力模式

全域水動力模式理論

動量方程式

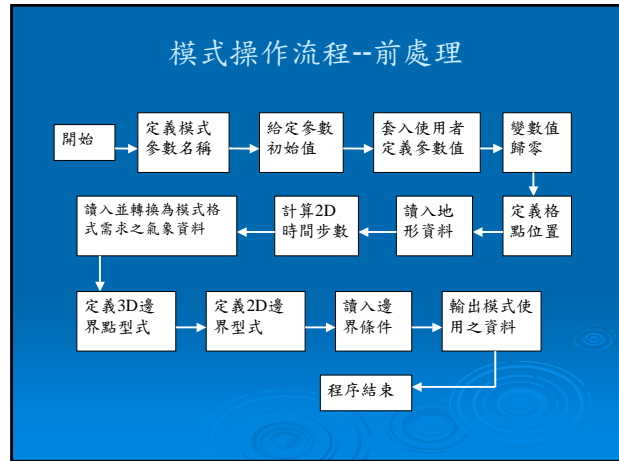
$$\frac{\partial u}{\partial t} + u \frac{\partial u}{\partial x_1} + v \frac{\partial u}{\partial x_2} + w \frac{\partial u}{\partial x_3} - fv = - \frac{1}{\rho_0} \frac{\partial p}{\partial x_1} + \frac{\partial}{\partial x_1} \left(v_r \frac{\partial u}{\partial x_1} \right) + \frac{\partial}{\partial x_2} \tau_{11} + \frac{\partial}{\partial x_3} \tau_{12}$$

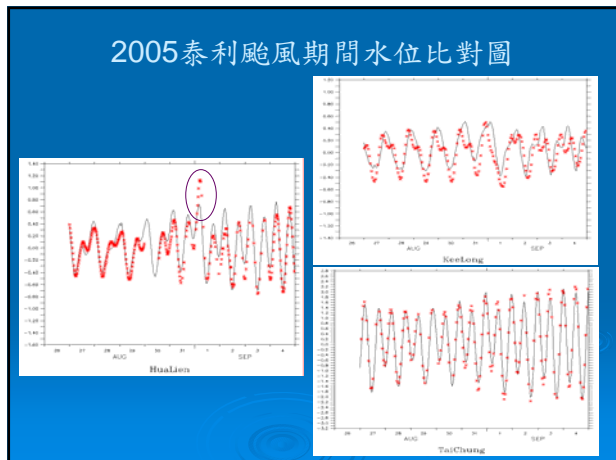
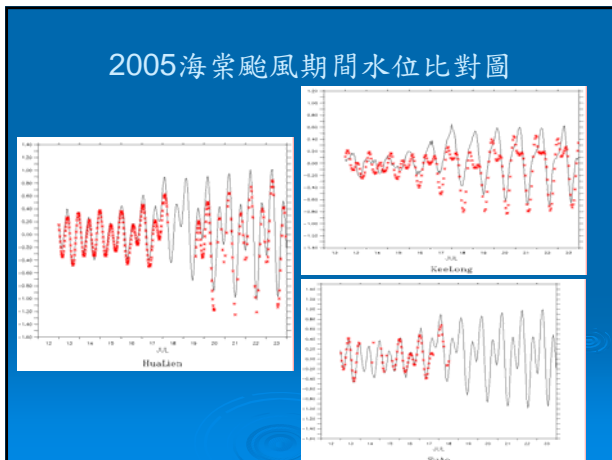
$$\frac{\partial v}{\partial t} + u \frac{\partial v}{\partial x_1} + v \frac{\partial v}{\partial x_2} + w \frac{\partial v}{\partial x_3} + fu = - \frac{1}{\rho_0} \frac{\partial p}{\partial x_2} + \frac{\partial}{\partial x_2} \left(v_r \frac{\partial v}{\partial x_2} \right) + \frac{\partial}{\partial x_1} \tau_{12} + \frac{\partial}{\partial x_3} \tau_{22}$$

連續方程式

$$\frac{\partial u}{\partial x_1} + \frac{\partial v}{\partial x_2} + \frac{\partial w}{\partial x_3} = 0$$

壓力平衡方程式

$$\frac{\partial p}{\partial x_3} = -\rho g$$




全年最大水位推估 (基準：MSL)

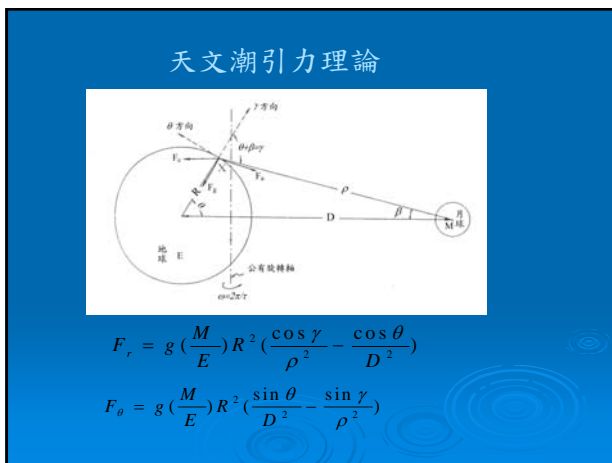
港名	發生時間	水位 (公尺)
基隆	2005/08/05 04:00	0.718
台北	2005/07/23 01:00	1.495
台中	2005/09/20 13:00	2.572
安平	2005/07/21 07:00	0.802
高雄	2005/07/23 07:00	1.044
蘇澳	2005/07/23 07:00	1.0
花蓮	2005/07/23 07:00	1.021

神經網路潮位預測模式

天文潮理論
Darwin (1907), Doodson 1921; Desai 1996, Le Provost et al. (1998)

正交潮法
Munk and Cartwright (1966); Groves and Reynolds (1975)
Ray (1988), Desai (1996), Desai and Wahr (1995), Han et al. (2000)
Matsumoto et al. (2000)

神經網路
Tsai and Lee (1999), 謝(2000), Kumar and Minocha (2001), Mandal (2001)
Medina (2001), 張和曾 (2001), 張和黃 (2001), Lee (2002)

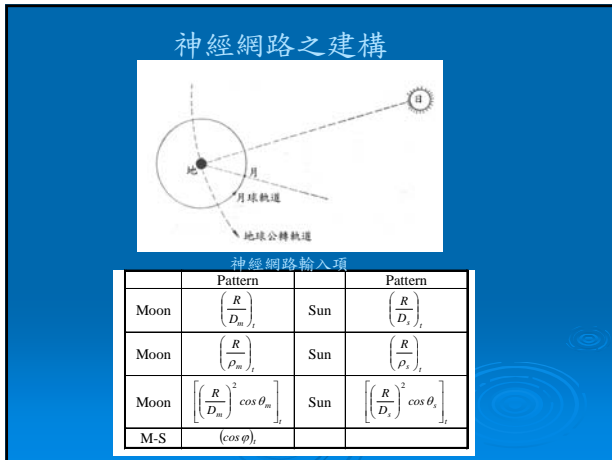


天文潮引力理論

$$\frac{\partial \Omega}{\partial r} = F_r \quad \frac{1}{r} \frac{\partial \Omega}{\partial \theta} = F_\theta$$

地心 $r=0$ ， $\rho=D$ 處無引潮力則=0
地球表面 $r=R$ ，為 X 點的天頂距離

$$\Omega = KM \left(\frac{1}{\rho} - \frac{R \cos \theta}{D^2} - \frac{1}{D} \right)$$



ANN-AST-之結果比較

網路模式與調和分析法之誤差均方根比較(單位: cm)							
Year	RMS	HM	ANN-AST (延時)				
	R^2	-	3	2	1	0	
2001	RMS	6.57	8.43	6.37	8.64	17.58	
	R^2	0.975	0.955	0.976	0.933	0.843	
2002	RMS	10.28	14.45	10.57	13.02	15.75	
	R^2	0.939	0.867	0.935	0.874	0.832	

網路模式與各模式之比較(單位: cm)								
Method	RMS				R^2			
	2001	2002	2003	2004	2001	2002	2003	2004
HM (60°)	6.57	10.28	12.21	10.38	0.975	0.939	0.964	0.937
HM (26°)	15.21	11.34	10.35	13.76	0.866	0.917	0.909	0.888
R-O	15.24	11.28	10.34	13.52	0.865	0.918	0.938	0.891
NAO.99b	15.61	11.69	10.69	14.05	0.861	0.911	0.930	0.884
ANN-AST	6.37	10.57	11.70	11.96	0.977	0.935	0.954	0.919

ANN-AST-之結果比較

東部地區潮汐水位不同模式之推算結果(單位: cm)								
Year	Index	Method	Location					
			LD	TC	SA	CG	LY	HC
2001	RMS	ANN-AST	--	18.57	14.37	13.47	15.71	24.77
		NAO.99b	--	17.96	13.03	9.80	16.45	13.17
	R^2	ANN-AST	--	0.845	0.878	0.950	0.860	0.648
		NAO.99b	--	0.611	0.895	0.955	0.847	0.837
2002	RMS	ANN-AST	27.46	17.61	14.19	11.73	16.79	25.18
		NAO.99b	17.05	18.71	14.26	13.76	13.55	11.46
	R^2	ANN-AST	0.537	0.856	0.861	0.923	0.836	0.629

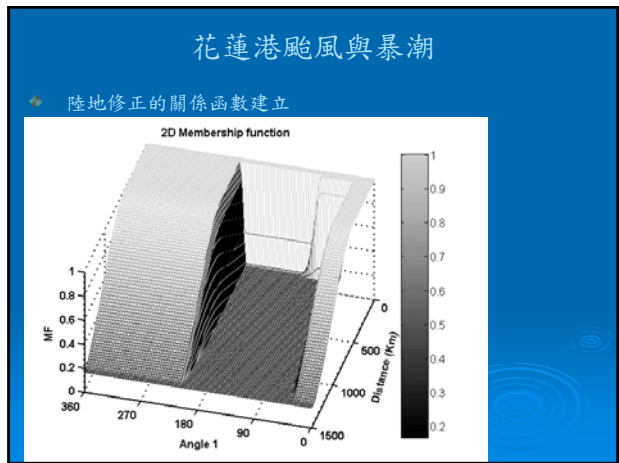
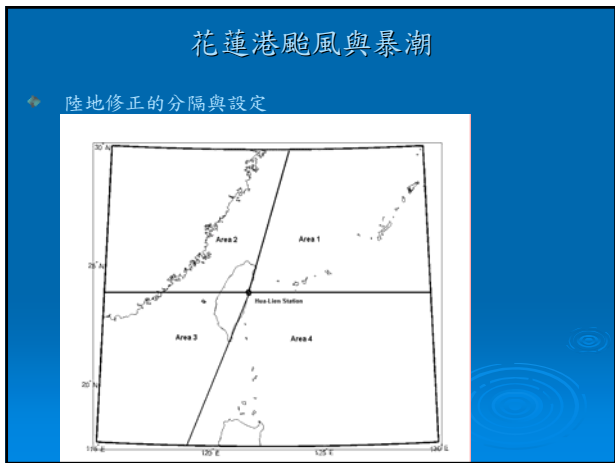
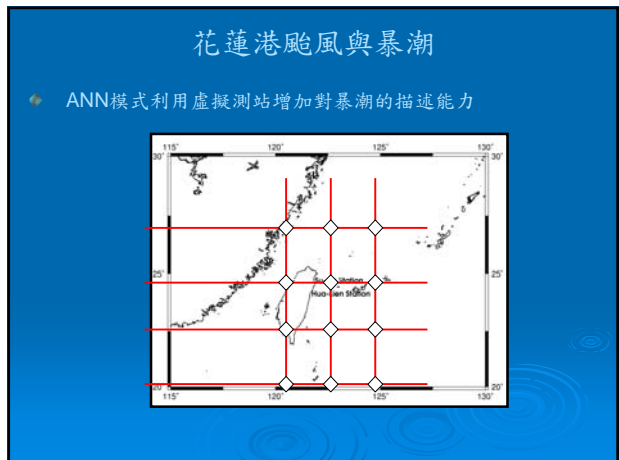
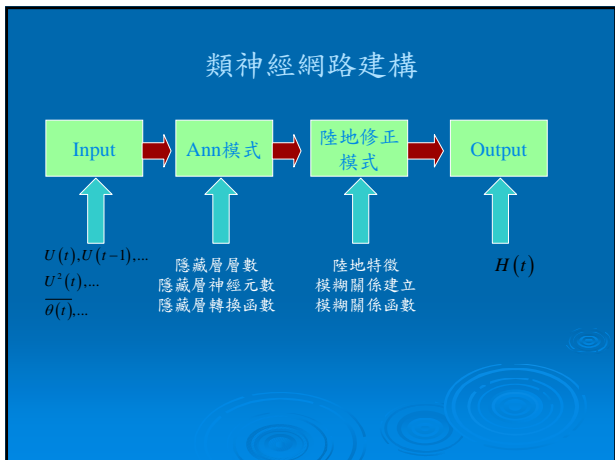
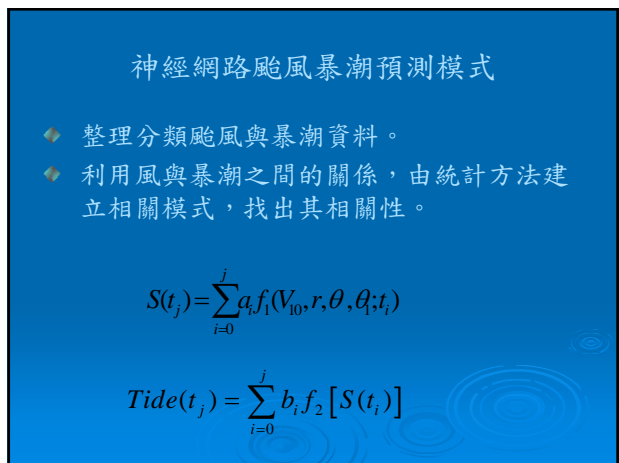
ANN-AST-之結果比較

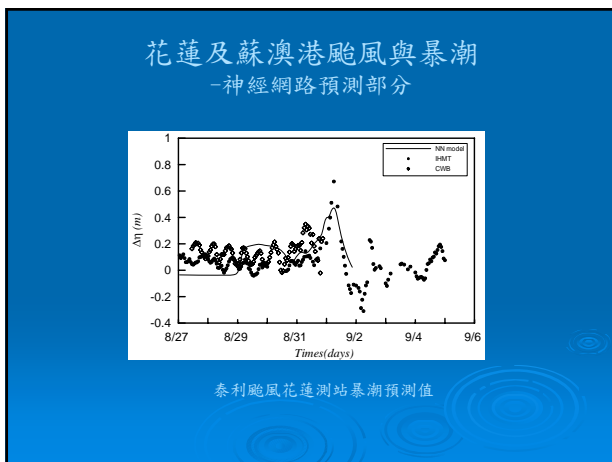
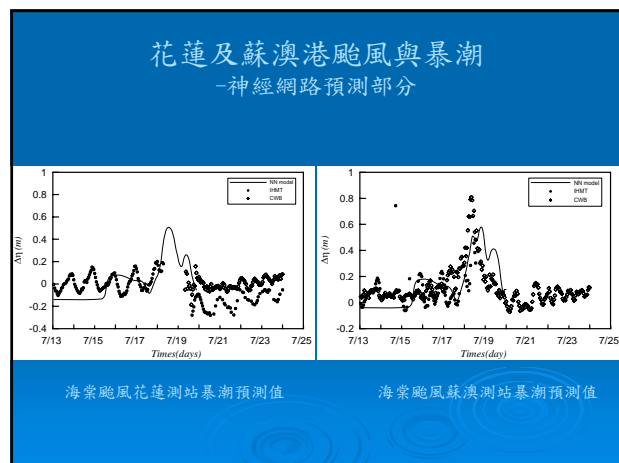
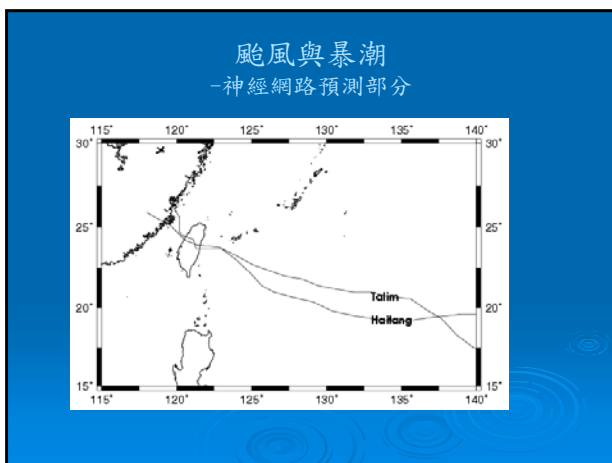
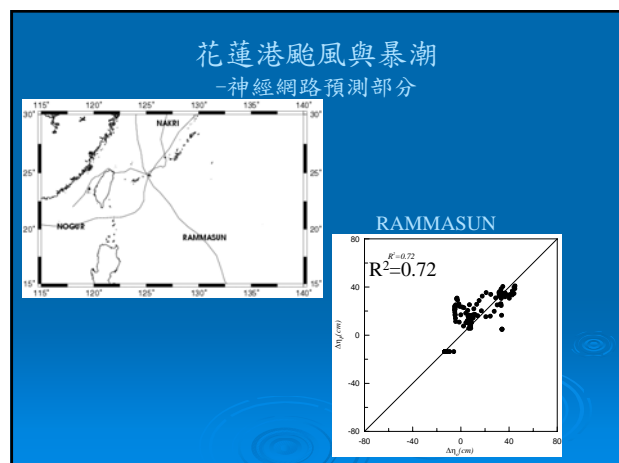
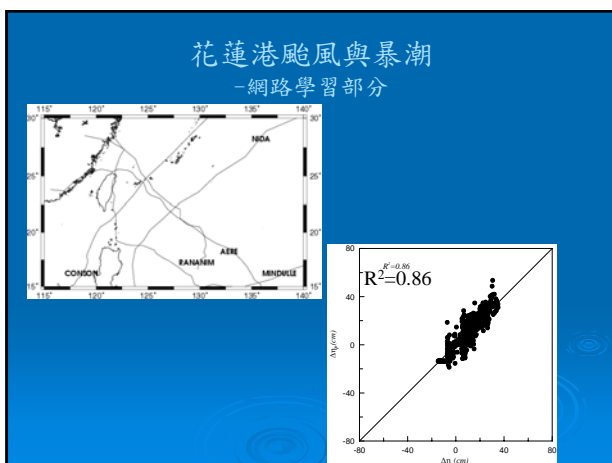
西北部地區潮汐水位不同模式之推算結果(單位: cm)							
Year	Index	Method	Location				
			TP	JHU	HC	TaiC	
2001	RMS	ANN-AST	18.57	13.46	10.64	17.89	
		NAO.99b	26.64	31.49	18.40	21.63	
	R^2	ANN-AST	0.954	0.986	0.993	0.986	
		NAO.99b	0.940	0.907	0.980	0.975	
2002	RMS	ANN-AST	16.45	15.53	15.08	20.72	
		NAO.99b	28.98	30.88	19.45	22.13	
	R^2	ANN-AST	0.961	0.977	0.986	0.981	
		NAO.99b	0.912	0.908	0.976	0.975	

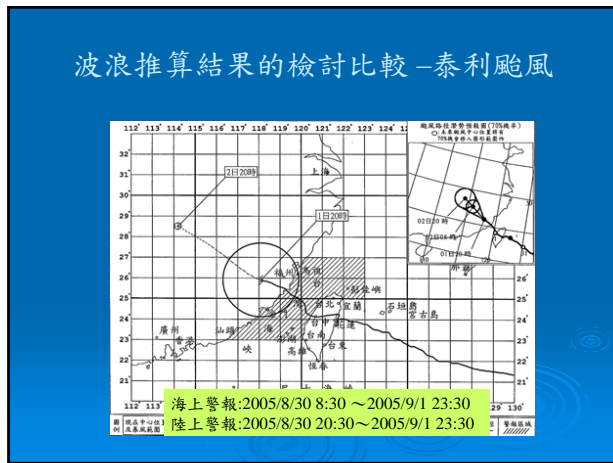
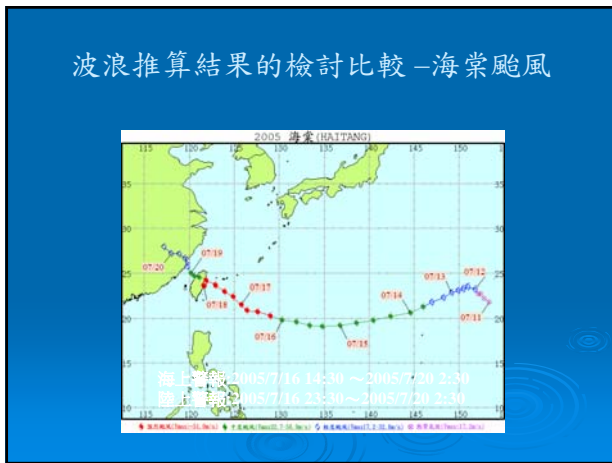
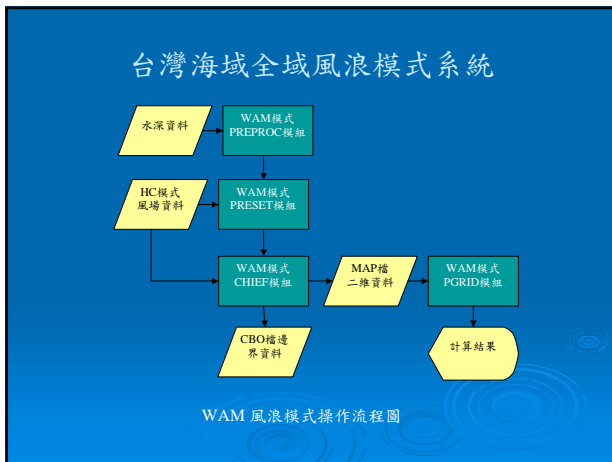
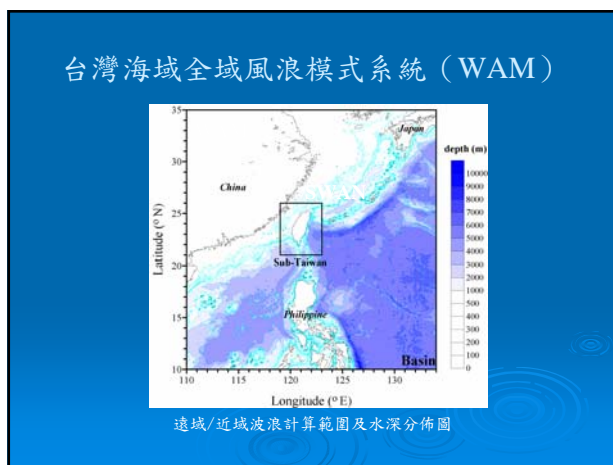
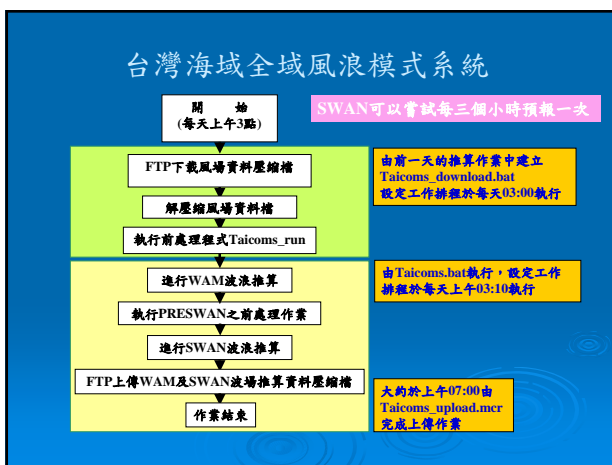
ANN-AST-之結果比較

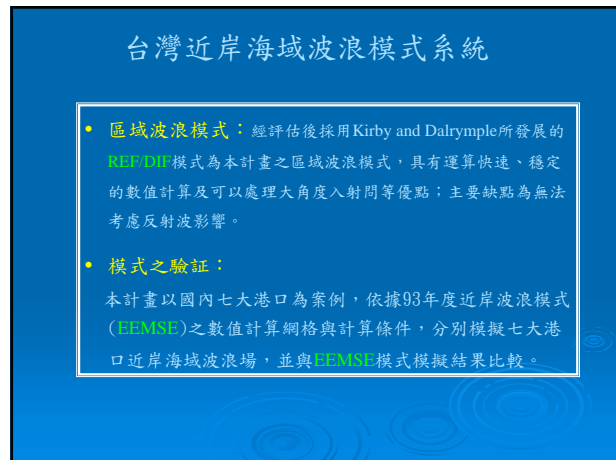
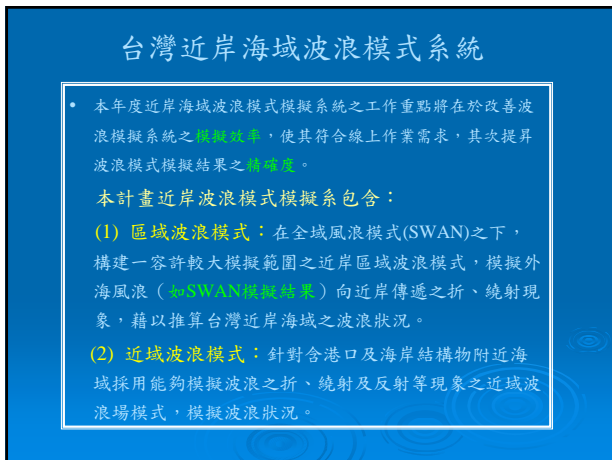
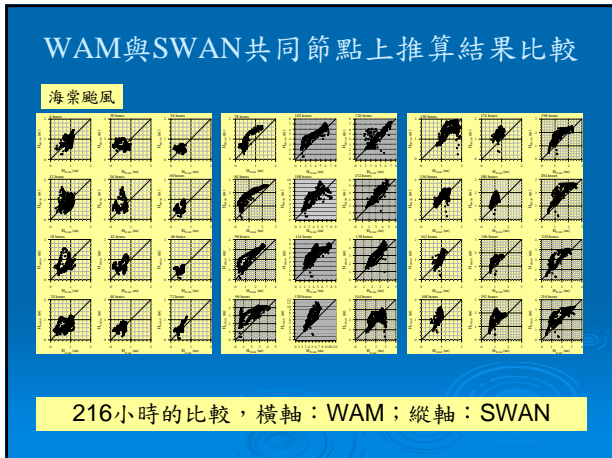
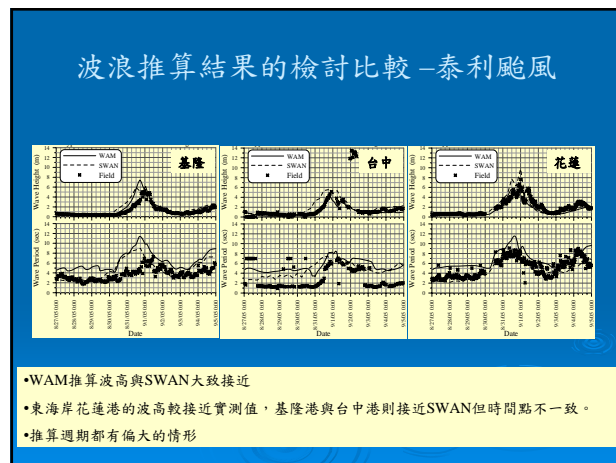
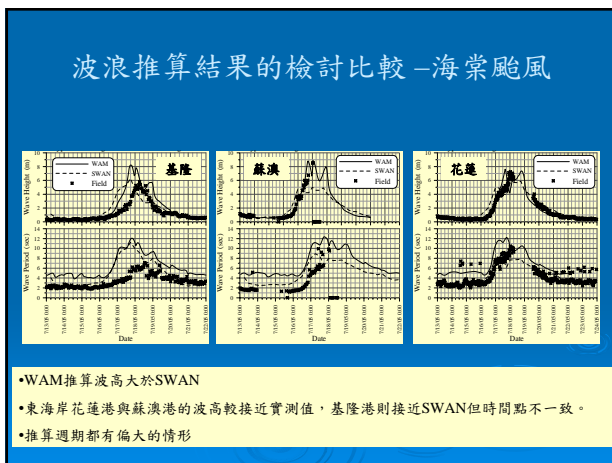
東北及西南部地區潮汐水位不同模式之推算結果(單位:cm)

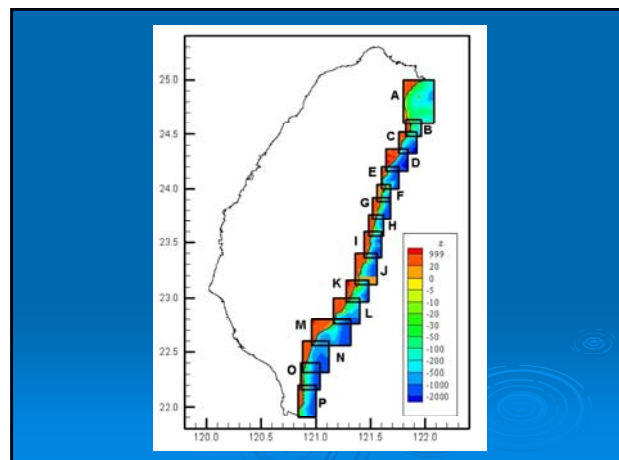
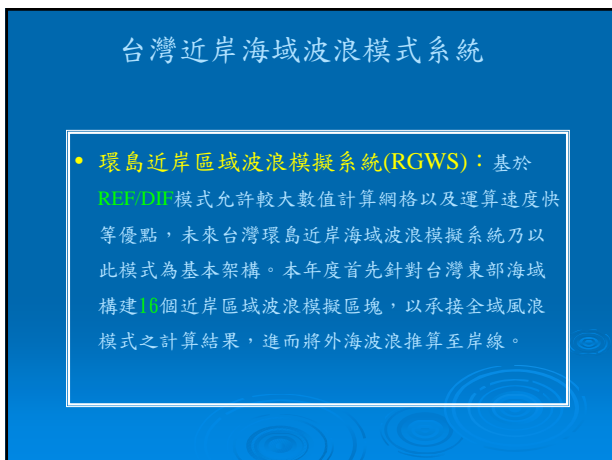
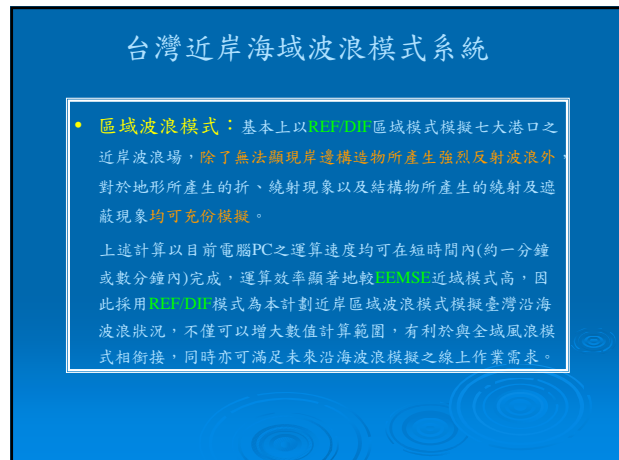
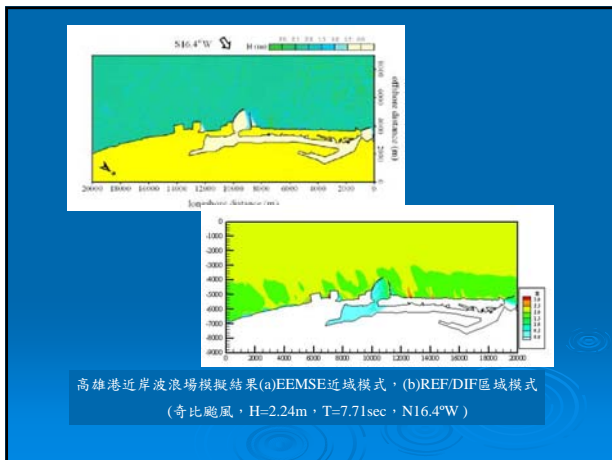
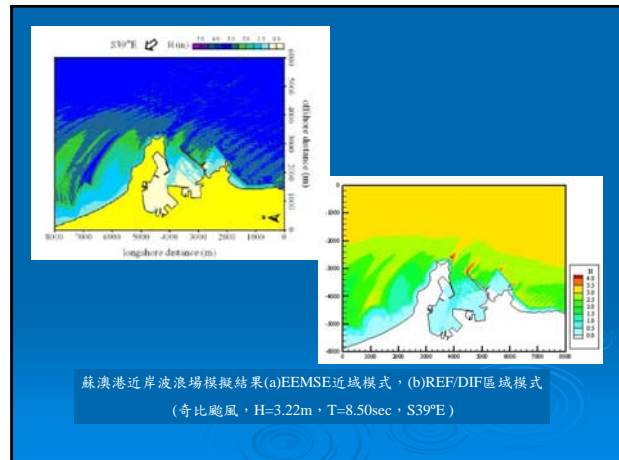
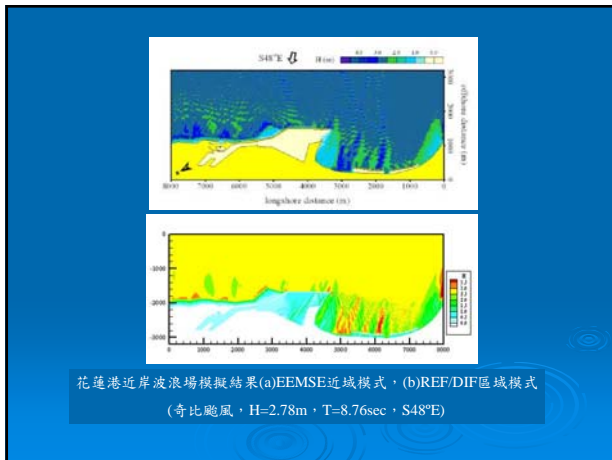
Year	Index	Method	Location				
			AP	KH	HC	LD	KL
2001	RMS	ANN-AST	--	7.39	13.74	8.75	--
		NAO.99b	--	13.82	13.17	17.06	--
	R^2	ANN-AST	--	0.912	0.860	0.922	--
		NAO.99b	--	0.726	0.838	0.703	--
2002	RMS	ANN-AST	14.88	9.69	14.07	11.08	14.55
		NAO.99b	13.62	13.61	11.40	17.32	15.79
	R^2	ANN-AST	0.732	0.866	0.857	0.882	0.769
		NAO.99b	0.806	0.747	0.874	0.720	0.741

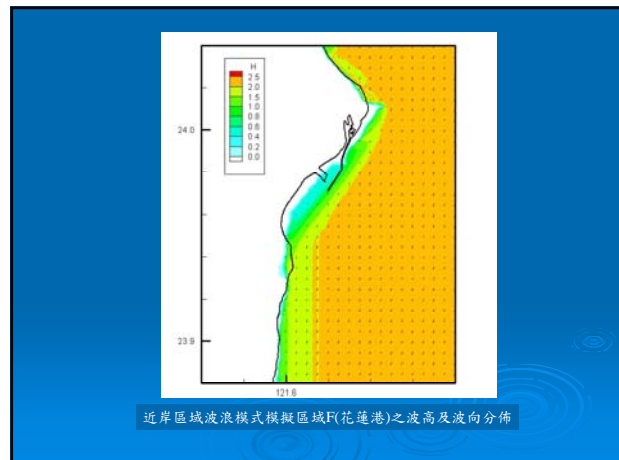
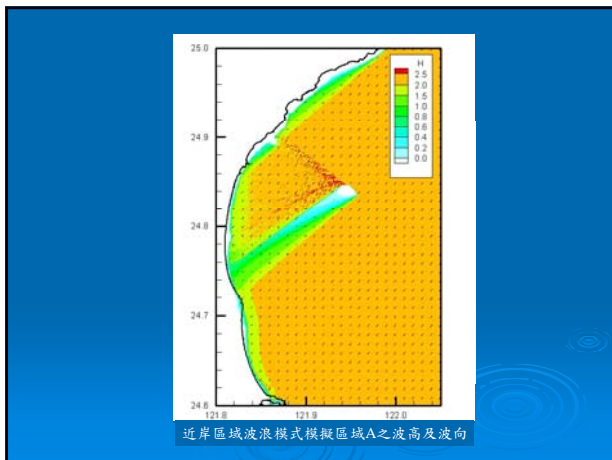
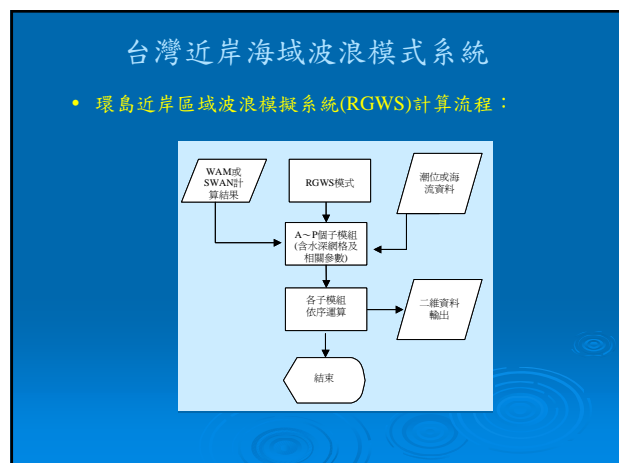
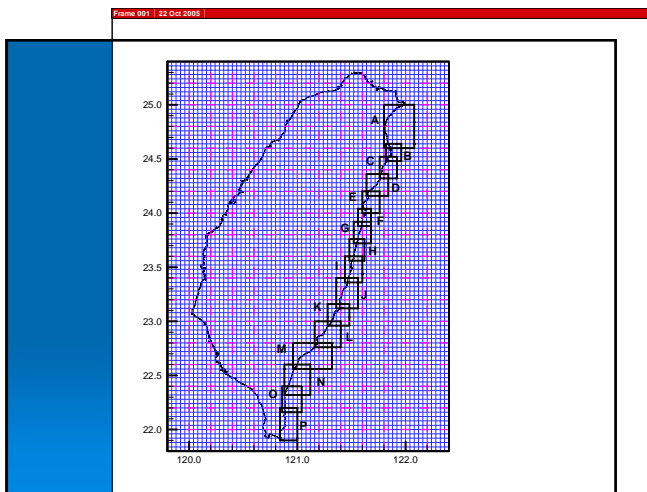












近域波浪相關模式預報系統

- 緣由：鑑於以橢圓型緩坡方程式(EMS)或具時變性演進型緩坡方程式(EEMSE)為基礎之近域波浪場模式均相當耗費電腦運算時間，勢必無法滿足未來線上作業之需求。為克服波浪模式運算費時問題，則有賴利用長期波浪模擬結果建立波場相關模式，以期達到未來線上作業之目標。

一、長期波浪資料分析：

本計畫初期以花蓮港為案例蒐集現場波浪長期觀測資料，據以決定入射波浪條件之組合共231組。

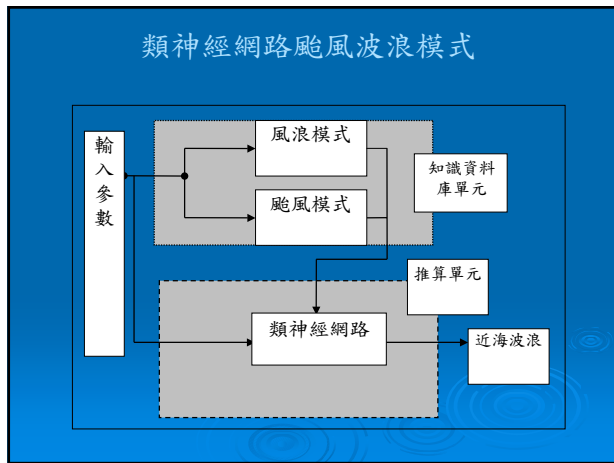
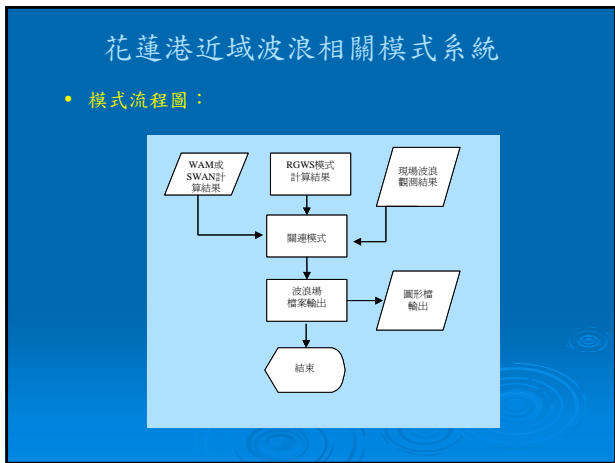
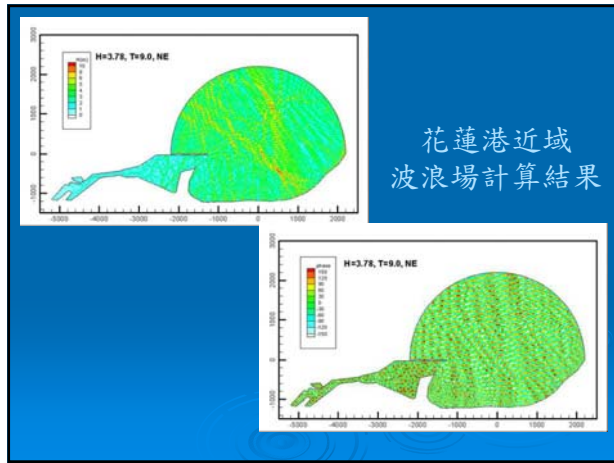
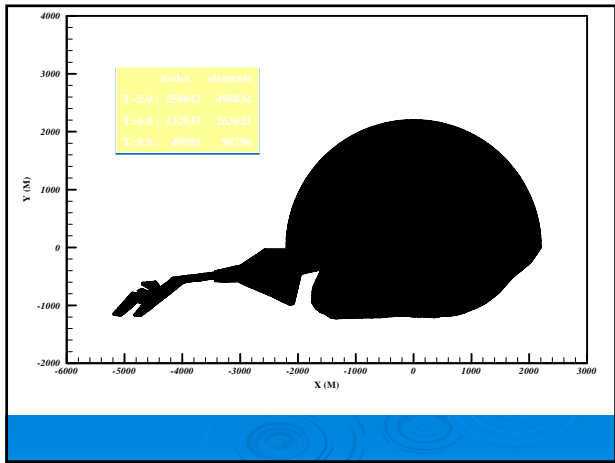
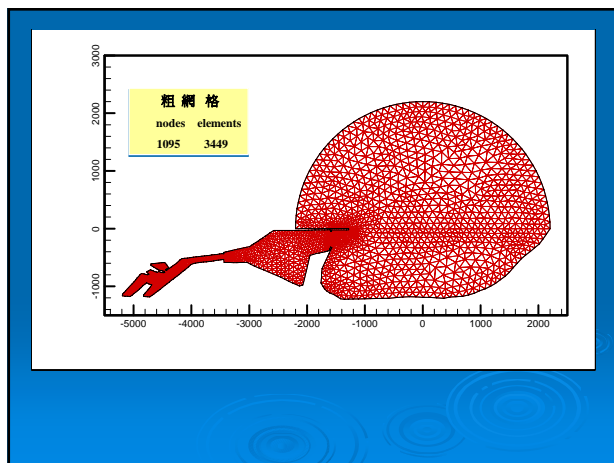
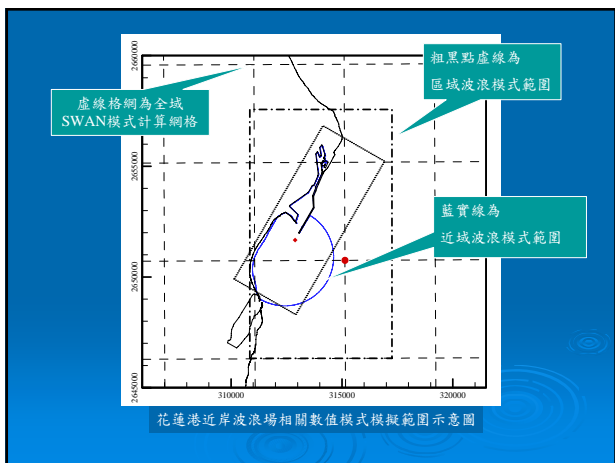
近域波浪相關模式預報系統

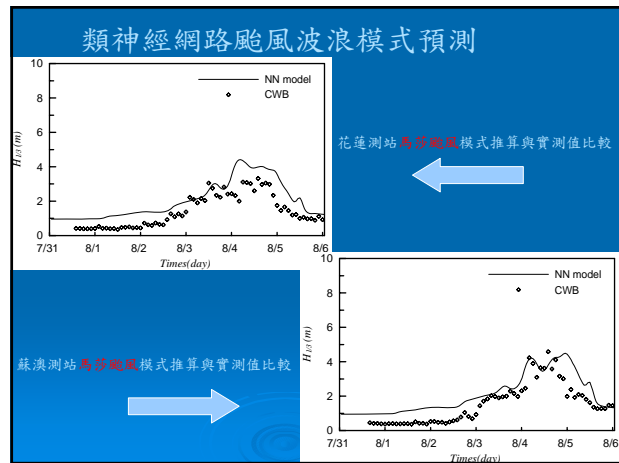
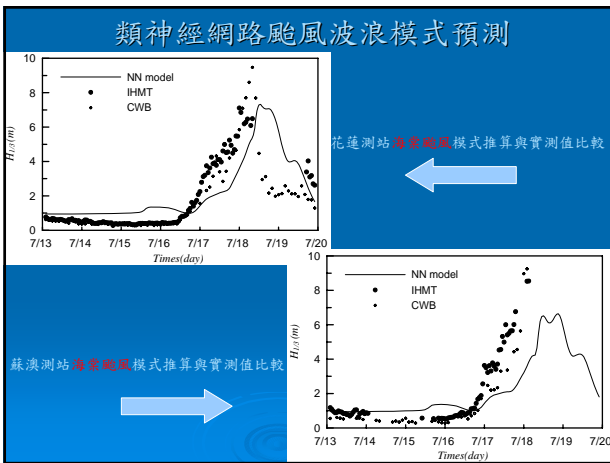
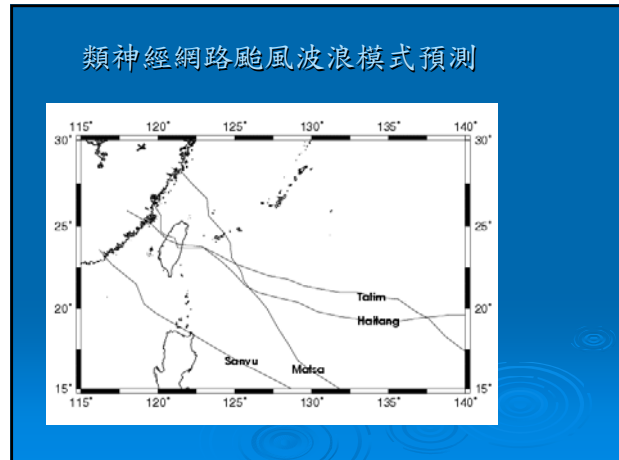
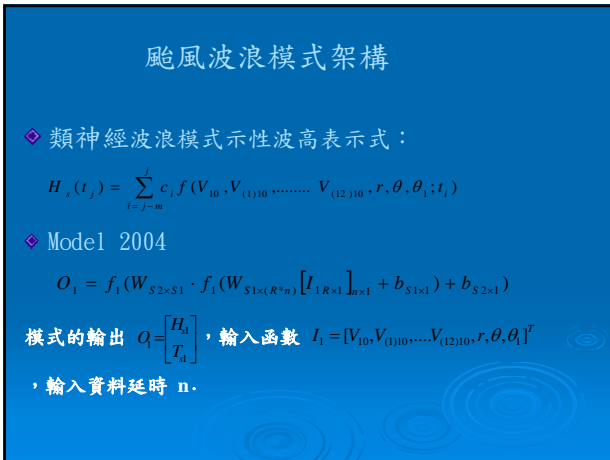
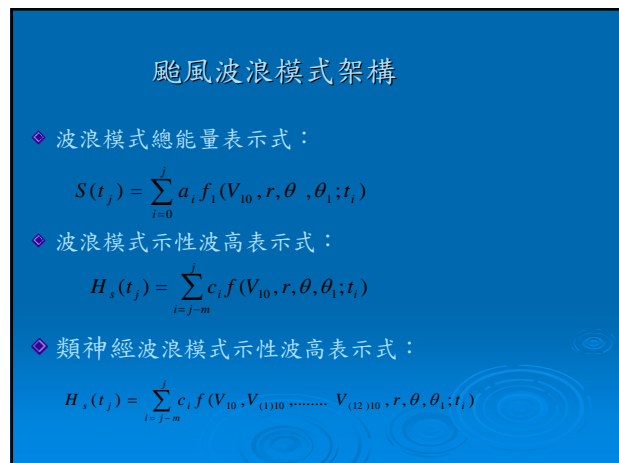
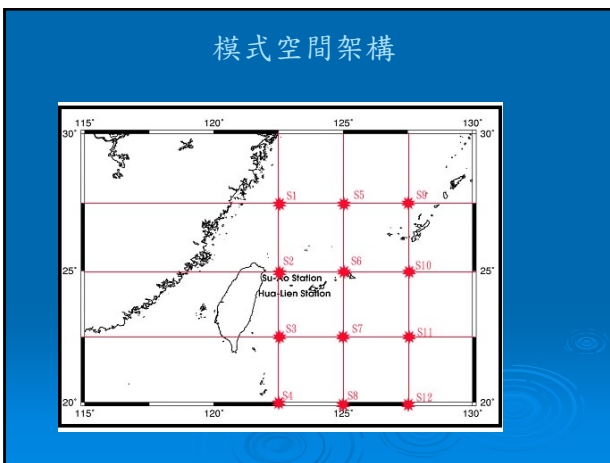
一、波浪場資料庫之建立：

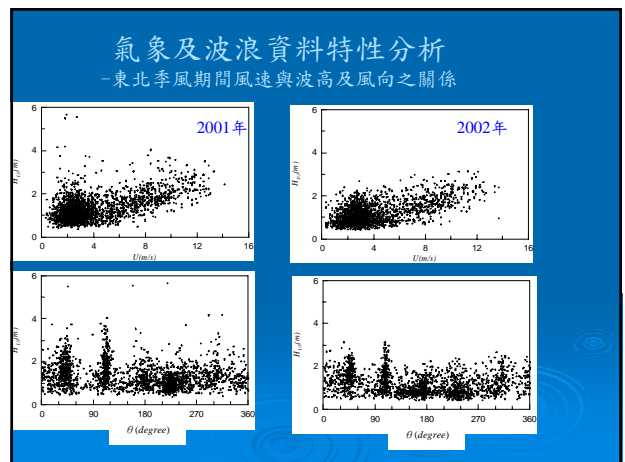
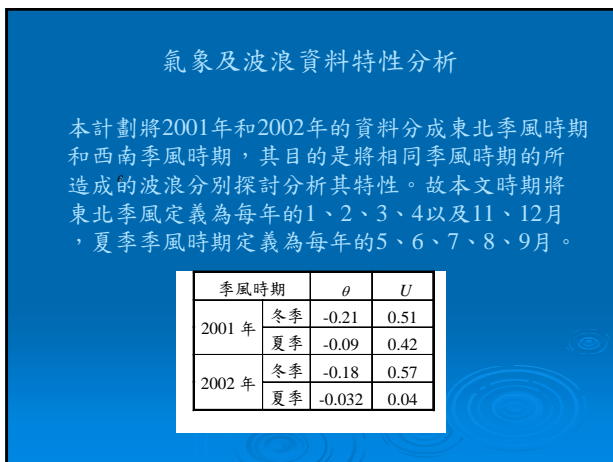
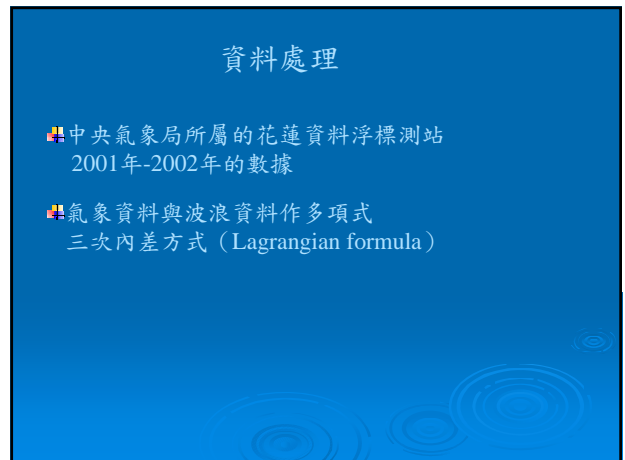
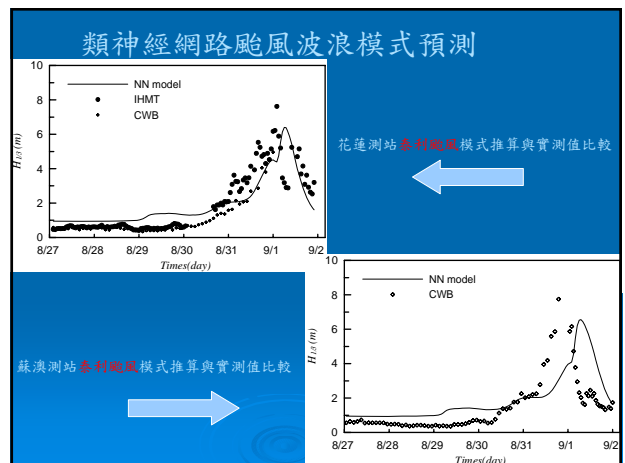
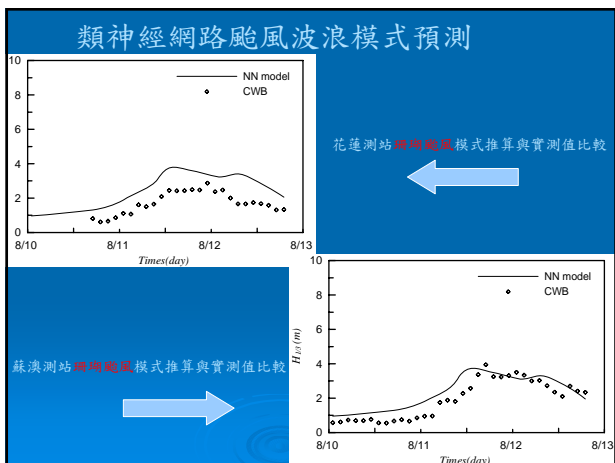
本計畫將採用李等(2001)以有限元素法所構建的EMS模式取代目前EEMSE模式，根據模擬之波浪入射條件模擬花蓮港近域波浪場，並將模擬之波浪場建立波浪場資料庫(含網格座標及波高、位相角)

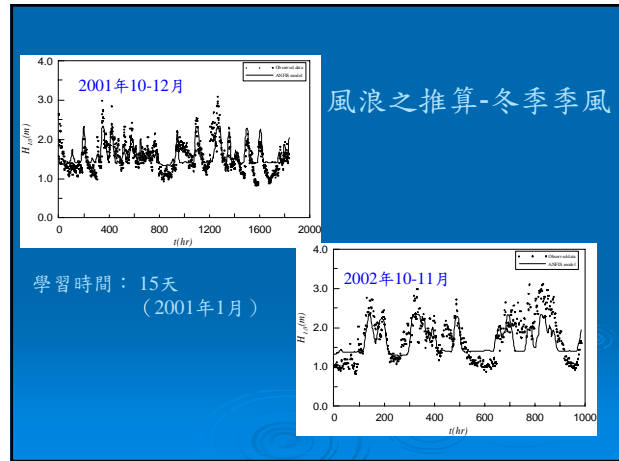
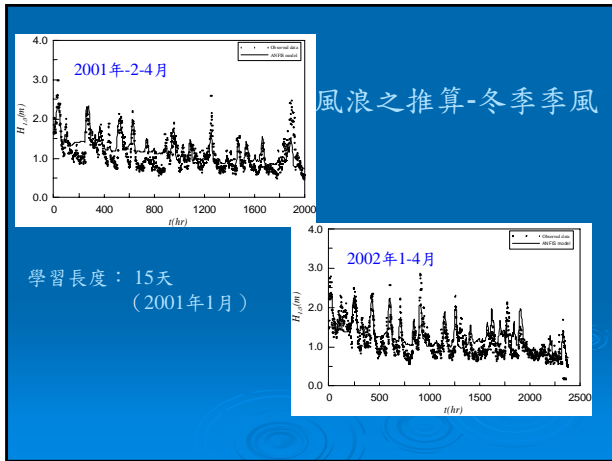
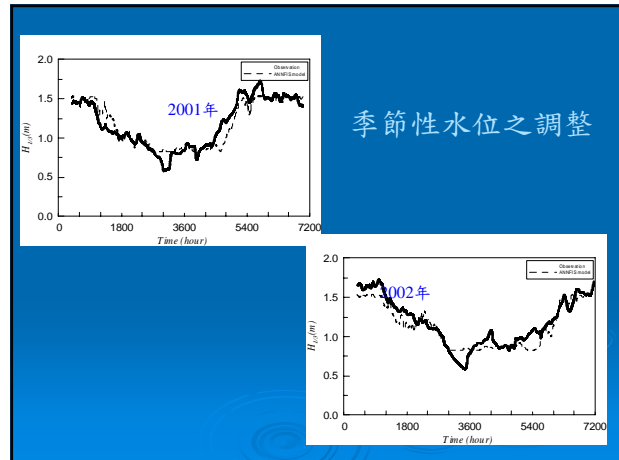
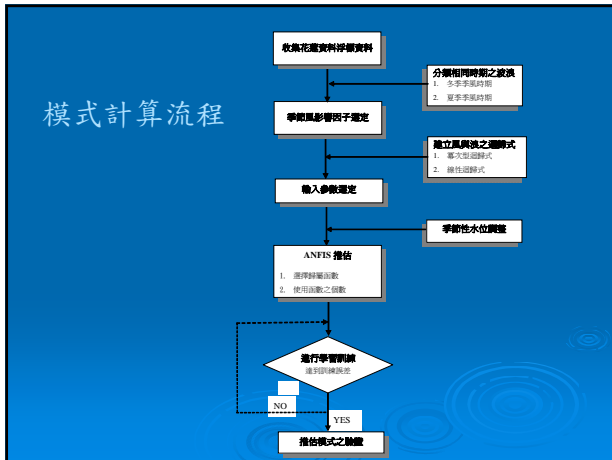
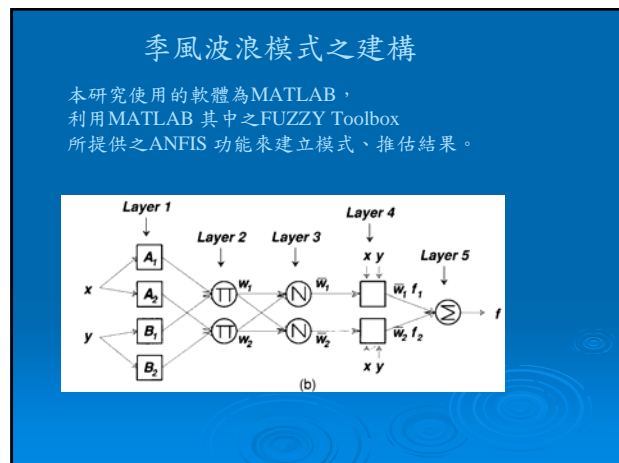
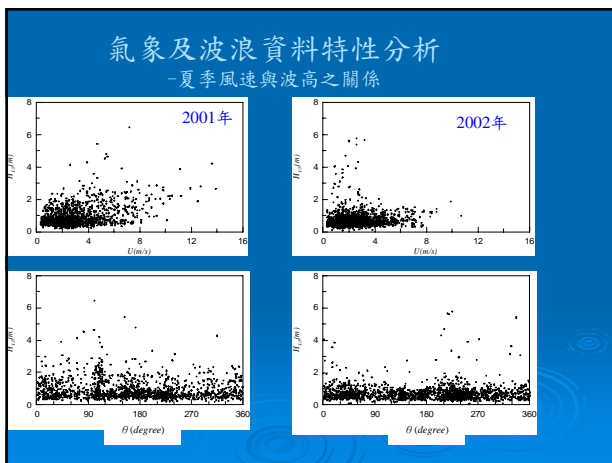
二、相關模式之建立：

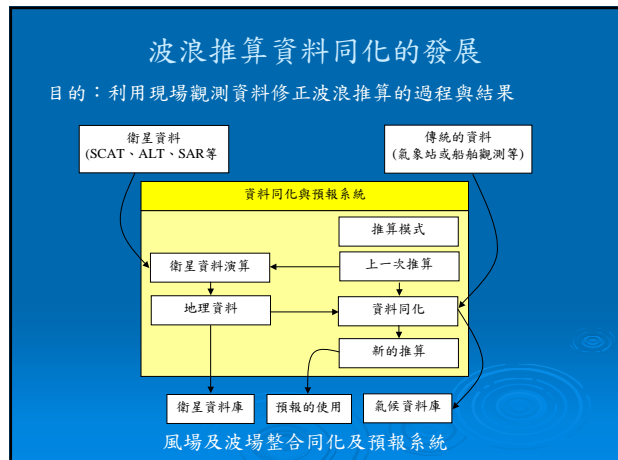
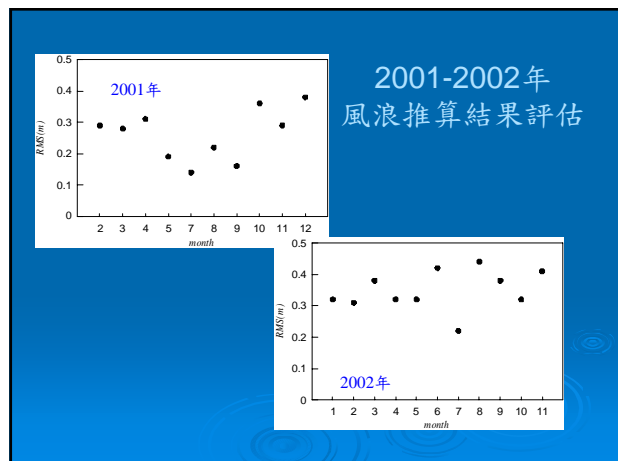
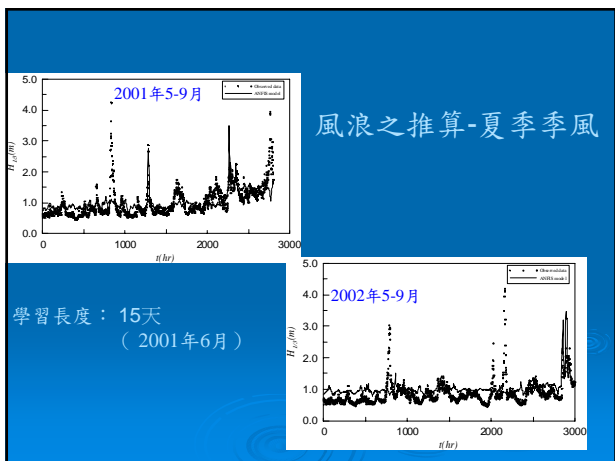
將波浪入射條件與波浪場資料庫進行無因次化關連分析，並建立波浪相關模式。





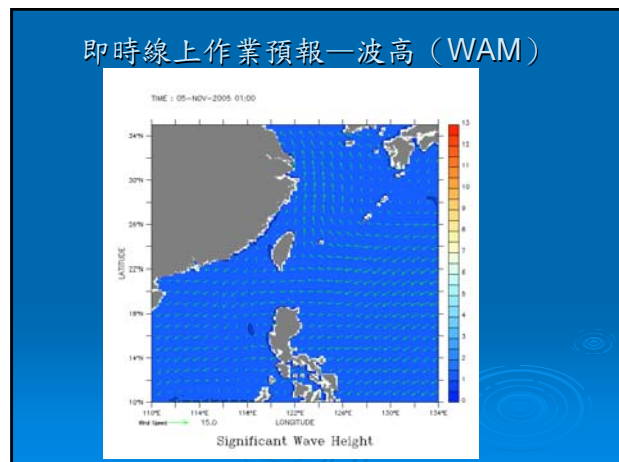
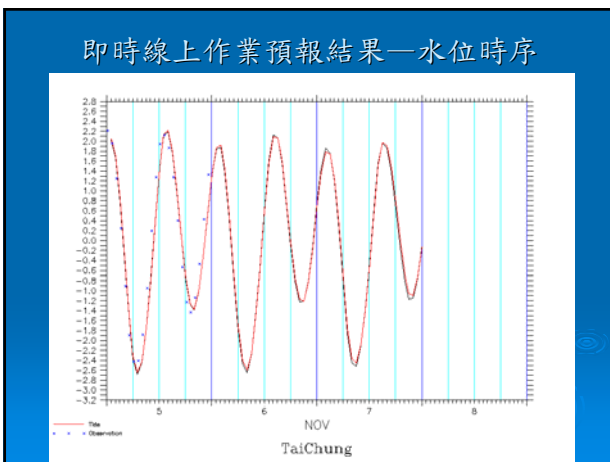
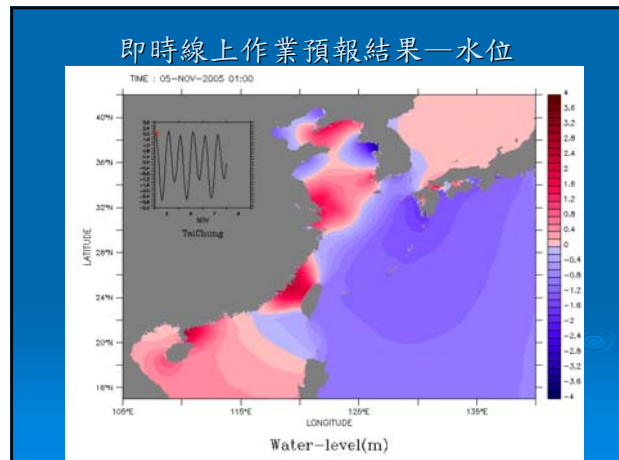
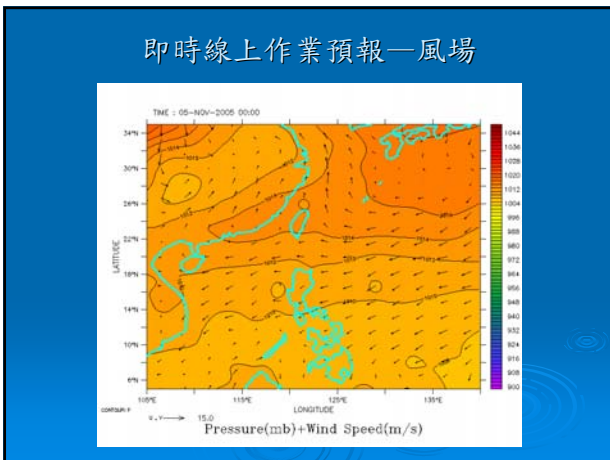
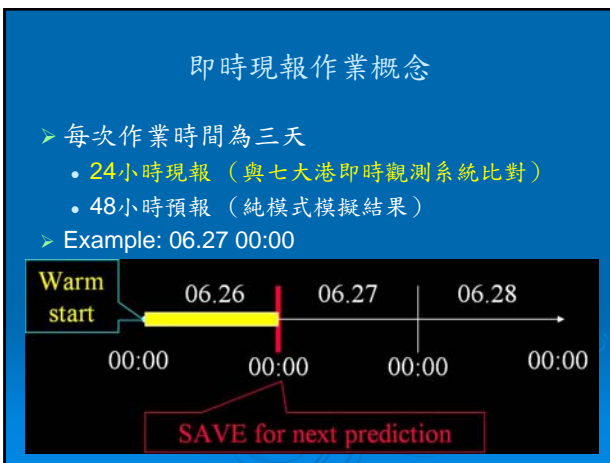


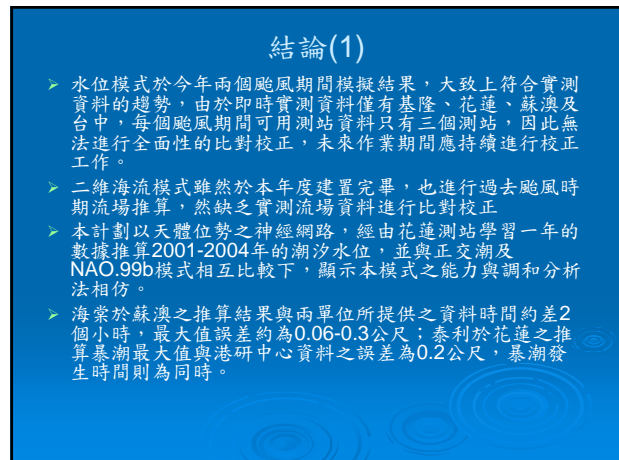
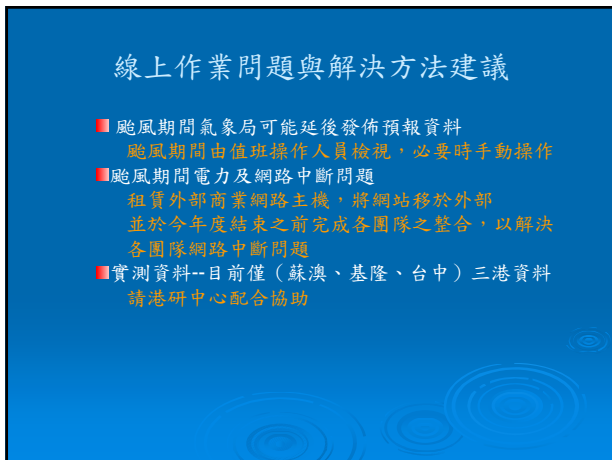
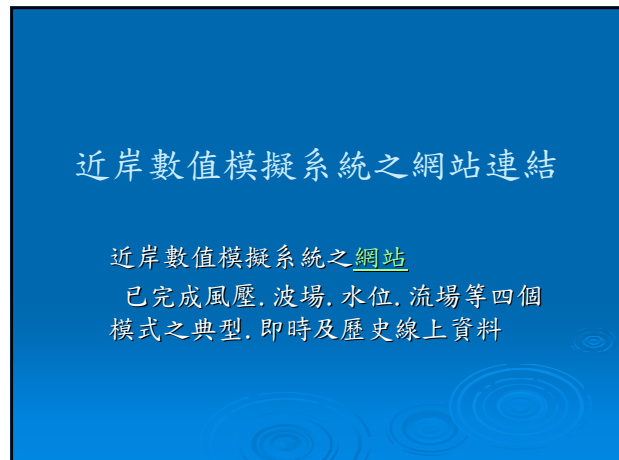
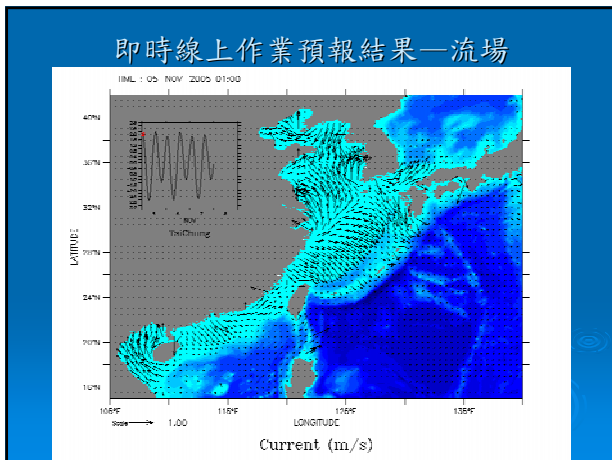
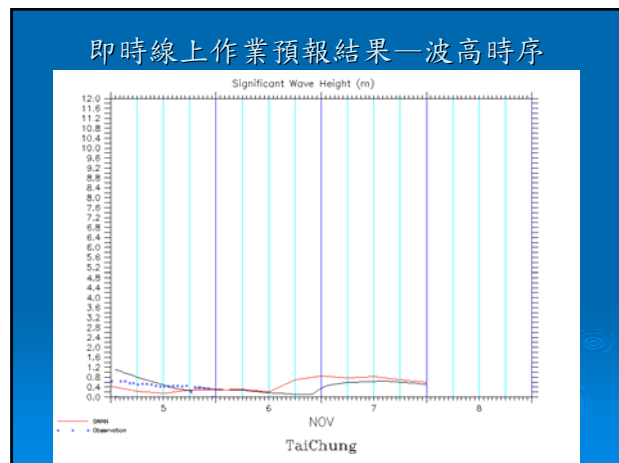
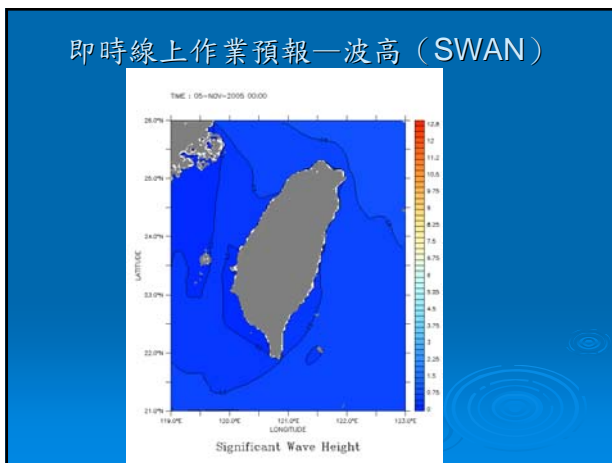




台灣近岸海域模式即時現報作業

- 波浪模式：
 - WAM – 西太平洋大範圍模式
 - SWAN – 台灣海域波浪模式
- 水位模式：
 - 全域複合潮模式





結論(2)

- 類神經網路波浪推算模式以能量平衡方程式為基礎，在颱風波浪的計算上配合參數形式的颱風模式Holland Model，藉由輸入參數與輸出函數間的關係，修正類神經網路轉換函數組成颱風波浪推算模式，並以台灣東部海域花蓮港為例。於馬莎颱風與珊瑚颱風有較精確的推算，但是對於海棠與泰利之颱風中心因地形的變化，有變異的結果，使模式推算無法獲得較佳的結果。因此，未來針對對於這樣的限制可以藉由結合及時風場資料或是更精準的颱風風場計算模式得到改善。
- 推估2001年冬季之示性波高RMS值約在0.27m~0.3m，而2002年冬季所推估之示性波高的RMS值約在0.31m~0.41m，所推估2001年夏季之示性波高RMS值約在0.23m~0.44m，推估2002年夏季之示性波高RMS值約在0.22m~0.42m，應用本模示可利用冬、夏兩季各15天之資料來訓練，即可精確地推算全年示性波高，在工程上具有較大的應用性，並可供海岸工程施工以及港灣船隻作業之參考。

結論(3)

- 本計畫以具快速運算特性之REF/DIF近岸區域波浪模式取代原有計算相當費時的近域波浪模式EEMSE，作為未來台灣沿海近岸波浪模擬系統之線上作業模式。
- 本年度已針對台灣東部海構建16個近岸區域波浪模擬區域，未來將進一步針對其他海岸構建近岸區域波浪模擬區域，以建立銜接全域風浪模式之環島近岸波浪場模擬系統。
- 在長期波浪模擬與觀測資料比較相關模式建立之研究上，本年度首先針對花蓮港建立近域波浪場模擬資料庫及關連模式。藉由關連模式將可直接依據全島風浪模式或近岸區域波浪模式或現場觀測結果，從資料庫中擷取近似之近域波浪場。

附錄 II 期中報告審查意見處理情形表

交通部運輸研究所合作研究計畫

■期中□期末報告審查意見處理情形表

計畫名稱：近岸數值模擬系統之建立(2/4)

執行單位：國立中山大學海洋科技研究中心

參與審查人員 及其所提之意見	合作研究單位 處理情形
林銘崇委員： 一、屬第二年期計畫，相對於第一年之研究，確有不少新增內容，如三維水動力模式及類神經網路之陸上效應修正等，對數值模式之改善應有助益。	感謝指教，持續努力中。
二、即時線上預報之水位、流場、波場等之含蓋範圍甚廣，與氣象局之資料似有部分重疊之處，本計畫似以近岸海域為目標，此部分將來完成後，應予加強。	所以由外海推算至近岸。在波浪預報模式方面原有工作目標即著重於與海洋交通運輸相關的近岸海域的波浪推算包含港內的波動預報，未來目標仍以七大港區沿近海為目標。由於氣象局的外海資料尚未公開，無法取得足夠的外海波浪資料可資引用，因此不得以非得自行由外海推算波浪至近岸海域。
蔡清標委員： 一、研究報告應定位為技術報告，建議對模式建立方面，如何操作及成果驗證上有較詳的說明。 二、各模式之計算例，建議用相同之風場等，並比較各模式之結果精度(如第二章三種模式結果之比較)。 三、各模式之輸入值及各參數，建議應列表。 四、各模式近岸模擬結果之精度，建議應分析並比較。 五、各方程式之符號應定義清楚。 六、表 3-2-1 中，計算條件是推估或現場條件？另，計算例之颱風，建議增較近者(如去年發生的)。	波浪預報模式目前一直在進行相關的驗證，由於目前今年度實測資料僅取得部分港口資料，因此此部分驗證成果已於期末報告中詳細說明，並將模式之操作方法（手冊）附於期末報告。 目前使用之風場皆利用中央氣象局之動態風場。 相關參數已增列表於期末報告中。 相關模式因應不同之計算需求較難以比較，但藉由模擬之結果可逐漸發展出本土化之模式。 已於期末報告改進。 表 3-2-1 所列計算條件為 93 年度計畫之計算條件，相關條件為 SWAN 模式之計算結果。目前每年都會增列當年度颱風案例。
七、波浪模式計算之基礎水位，是否有以水位模式之結果為基礎？	目前近域波浪模式計算並未考慮水位變動之因子，惟區域模式已內建水位修正項，未來可考慮與相關天文潮模式計算結果結合。

八、本研究在即時預報電腦化作業系統已具成形及效果，未來應增進精度之提昇，及所謂的本土化模式(TaiComs)之實質意義。	持續努力中，請持續指教。
李兆芳委員：	
一、文字勘誤:P.9 倒數第3行、第11行。	已修正。
二、P.10 採用弧形座標，範圍很大，應具體說明。	已修正。
三、P.18 提及 Boussinesq 方程式，但使用水深方向靜水壓，似乎有些不合。	已修正。
四、P.54 以後圖形不清晰，可改善。。	已修正改進。
五、P.90 圖形 3.4-2 可放大作局部說明。	已修正改進。
六、P.11 利用水深積分潮流模式，計算颱風水位變化，說明可加強，如颱風風場之給定。	已修正。
七、P.126 提及利用 EMS 取代 EEMSE 計算近岸波浪場，可仔細討論兩種方法之優缺點，再依據實際之目的，使用較佳之方法。	已修正改進。
八、本期中報告內容之規劃、架構、結果展示和作法(簡報內容較佳)相當明確，可以接受	謝謝。
沈建全委員：	
一、P.85 圖 3.3-24、3.3-25 實測與推算波高有較大偏差，請深入探討，並尋求改善之道。	實測波高與推算波高的差異性在本計畫中，除了檢討波浪推算模式的參數設定、水深與相關輸入值外，也嘗試由資料同化的角度研究改善推算結果的可能性。
二、2001 及 2002 年所採用之颱風模型為中度及輕度颱風，能否採用強烈颱風模型試 run 一下，看其相關性為何？	前二年計畫已將賀伯等強烈颱風列入案例。
三、本研究所探討之內容十分詳實，可看出研究團隊之實力及用心。	感謝鼓勵，並請持續指教。
邱永芳主任：	
一、作業化之建立應儘速完成，近岸之計算應顯現其特性。	水位模式作業化之初期作業已於三月一日上線，波浪模式尚未完全自動化，但也亦於六月份上線，於八月份中山團隊新設主機完成，所有模式已於九月份開始試行同機作業。
二、資料同化部分應加入考量並完成作業化。	資料同化的作業化目前仍有執行上的困難，一方面是本計畫經費無法涵蓋完整的同化作業研究，重要的是目前臺灣不論那個單位都無法提供同化預報作業所需資料。

三、觀測資料與數值結果之網站展示，請配合中心網站之建立。	定當配合。
四、如中心在東沙設站，對本計畫之需求性如何？	可增加模式比對的資料量，並可提供西南向颱風之早期預警資料。
五、整個海域之展示應排除 WAM…，應整合成一個區域展示，尤其近岸之結果。 簡仲璟博士：	已修正改進。
一、模式水位與實測水位的比對，除報告中之敏督利及蘭寧颱風外，請再增加驗證資料並包括非颱風期間。基隆與高雄的比對結果較不理想，其原因請再深入分析探討並加以改善，以避免後續流場之模擬推算受到影響。	1、已取得今年度實測資料附於期末報告上。 2、高雄與基隆比對不理想，由於高雄與基隆附近地形複雜，目前模式解析度無法完整表現出地形變化，再加上觀測點位於港區內部，因此比對結果較不理想，未來模式精度增加，取得詳細地形水深資料後或可解決此問題。
二、為何採用 COHERENS 的數值方法，作為三維全域水動力模式，請補充說明。	COHERENS 為歐盟發展的一套公開模式碼，且其曾應用於北海相鄰歐洲國家，效果良好，因此本計畫選用此套模式作為預報模式。
三、請增補近岸海域波浪模式作業流程圖（甚至進一步之港域波浪模式作業流程圖），以銜接圖 3.1-1 全域波浪模式作業流程圖，藉此瞭解完整之作業流程。	近岸海域波浪模式之作業流程圖已於期末報告中補列。
四、REF/DIF 區域模式與 EEMSE 近域模式之模擬結果，由圖 3.2-9~圖 3.2-22 不易作比較。建議改善上述圖例之清晰度，或者挑選幾個計算點作比對，可能較容易瞭解其差異。由於考量線上即時作業的需求，故採用計算時間較短之 REF/DIF 區域模式取代 EEMSE 近域模式，這樣的決定請再審慎的完整評估。	謝謝指教。
五、模式自動運作系統係利用 Windows 的「排定工作」功能，當停電、網路中斷或當機時，該運作將出現問題，預報資料也會出現漏失情形。未來是否考量不採用 Windows 的功能？而另撰寫一隻小程式，使系統具有自動回復及資料自動回補功能。	水位模式目前已完全使用 LINUX 自動操作語法，波浪模式亦將改進自動作業的方式，未來將與水位模式同機操作，將可彌補這部分的疑慮。
莊文傑博士：	
一、請補列本年度研究計畫主要工作項目之預定進度甘梯圖。	已列於計畫書中。
二、各章節名稱請配合預定進度甘梯圖所示之主、次要工作項目提列，章節之內容請陳述具體之研究方法及執行迄今所獲	報告架構以模式為主軸，研究方法及成果請參考報告書。

得之成果。	
三、本研究：「近岸防災預報系統之建立」全程計畫期間共計五年，本年度之研究計畫：「近岸數值模擬系統之建立」為全程研究之第三年，但其序號卻編為 2/4，請委辦單位說明。	非委託研究業務項目。
四、P.2, 圖 1.1-1 所示為「臺灣近岸海象預報系統」之主要架構。請說明「預報模式」項下所預定建構的「資料庫」是否屬於即時動態型式？若真，則風、浪、水位、流場、擴散等「預報模式」將如何配合該即時動態型式「資料庫」之運作及提供近岸防災預報系統服務？基此，「預報模式」是否更正為「計算模式」較合適。	本案所建立資料庫為模式計算之結果，每日完成預報作業後即更新，至於「動態」之定義請詳細說明，否則無法回覆。配合作業請詳報告書，名稱為港研中心擬定，如認為需要修正，本團對將於期末報告中修正。
五、P.2, 圖 1.1-1 中所提示的「預報模式」—「資料庫」與「觀測網」—「資料庫」將以「同化」技術及驗證並行方式相聯結檢核；而 p.3 之本年度工作項目第 11 項中亦提及「觀測資料同化」。請說明兩者間「資料同化」之異同。	同化之圖示僅為「資料」與「模式」之間的示意，乃利用觀測資料同化，請勿誤解。
六、觀測資料同化技術，係結合觀測資料而實際應用在計算模式中，藉以有效提高數值模式計算結果之準確度。在本年度研究中，主要工作項目第 1 項及第 2 項為有關二維及三維海流流場計算，針對本年度工作項目第 11 項所述之「觀測資料同化」，本年度研究中預計將如何結合進行？又在第二章的二維及三維海流流場計算模式中，有關「觀測資料同化」之整合方法及運算架構，並未提及，請作具體說明並補充。	同化技術本身即為一龐大工作，本案之有限經費僅能提供同化作業之策略研究，另一方面目前港研中心無法提供作業化預報所需之資料。
七、P.11, 本研究二維海流流場模式是否應用球座標模式？若是，請作較詳細的補充說明，若否，則第 2.1 節之報告內文請作適切之調整。同時，有關二維海流流場之計算，其邊界值及初始值的設定，請具體說明補充，俾能順利達成第 14 工作項目「技術移轉」之計畫目標。此外，有關氣壓場及風速資料，其在二維海流流場之預報計算中，如何與模式之微小時距(例如：本研究中計算時距約 5 秒)配合？第 13 工作項目中，有關一個典型東北季風及一個典型西南季風之計算海流流況，目前是否已進行計算？結果如何？冬夏季典	1、本研究確實使用球面座標，期中報告已說明為求敘述之方便控制方程式是以卡式座標敘述。 2、氣壓與風速的輸入目前採用時間線性內差方式產生。 3、季風時期之海流狀況計算於期末報告中加入。 4、目前計算以潮汐及氣象為驅動力，若需洋流資訊則需配合提供全球氣象資料，本團對將樂於為港研中心作洋流計算服務。

型季風期間之海流計算結果是否可呈現臺灣四周海域的洋流(平均流)流況？	
<p>八、P.18, 有關三維海流流場之計算，其係歐洲比利時學研單位所研發COHERENS 模式之引進應用。引進之緣由及與目前國內普遍應用之美國 POM 模式，曾否作過模式應用性之評比，請具體說明補充。又三維海流流場之COHERENS 模式，其淺水近似動力方程式(p.19 第 2.2-3 式)之應用，是否會影響流場計算之應用及適用範圍？p.27 圖 2.2-1 及圖 2.2-2 所示為本三維海流流場之表層及底層流場，經粗略比較，其流場型態似乎並無太大差異。在臺灣四周海域陸架、海脊、及海槽等地形明顯存在之海域，為何三維海流流場之計算結果無法充分展現陡變地形變化海域之影響與效應？並請闡釋說明現階段三維與二維海流流場計算結果之差異。此外，針對「近岸防災預報系統之建立」目標，有關近岸污染物(尤其是指油污)之傳輸，請補充評估應用三維海流流場模式之必要性。</p>	<p>1、已於期末報告中補充說明 2、由於目前並無實測資料可以比對流場，因此待實測資料取得比對後，可對模式進行修正。 3、由於目前三維流場計算部分僅初步建置，同時考量計算時效於垂直方向僅分割三層，再加上垂直格點為深度等分，因此變化不明顯。 4、由於表面流對油污的傳遞相當重要，若只以二維水深平均流來模擬，誤差會比較大，同時考量污染物並不只包含油污，因此三維流場的計算是有其必要性的。</p>
<p>九、有關近岸污染物(尤其是指油污)之傳輸模擬，風趨流及波浪碎波引起的近岸流應為主要之傳輸動力。本年度預計完成的工作項目—三維與二維海流流場計算，預計將如何與近岸波浪模式聯結，尤其在空間網格、計算時距及氣象與風、浪的時變特性上。</p>	<p>本案目前並未有波流結合的規劃，本年度完成之大尺度海流流場並非近岸流場，因此目前並無結合的問題。</p>
<p>十、P.26 有關三維海流流場模式(COHERENS 模式)中，正壓模組及斜壓模組係分開計算。有關正壓模式及斜壓模式之考量因素及其彼此間的區隔，可否作較詳細的補充說明。</p>	<p>此部分會於期末報告一併補上。</p>
<p>十一、P.42 有關近岸海域波浪模擬系，近域模式範圍為 5km×5km，而近岸波浪模式之網格解析度僅為 10m×10m；兩者如何鑲嵌配合？又與中尺度時變性之全域風浪模式(SWAN)如何配合以建置即時動態型式之近岸波浪「資料庫」，尤其在 5km 外近岸海域，波向、波高、及週期具時變特性之實際作業情況與需求下。此外，本研究目前係應用空間領域之拋物線型緩坡波浪模式，如何達成前述目標？</p>	<p>目前近岸區域模式採用 10m×10m 之計算網格主要目的是與 93 年度 EEMSE 模式計算結果比較，未來更新之計算網格將視外海邊界水深條件作適當的調整，近域及區域波浪模式均為獨立之波浪模式，其區隔主要在於模擬對象與目的不同，二者計算條件均來自 SWAN 之計算結果，與 SWAN 模式間應無鑲嵌配合問題；另本計劃所構建之近岸波浪模式應非即時動態型式之導向。</p>

	SWAN 近岸波浪推算模式形式上是屬於時變性的波浪模式，然而由其推算的時距(例如一個小時)與波動的特性而言，對於單一時刻與局部區域，其基本上應可視為非時變性的模式。因此假如對單一特定時刻而言，利用定常狀態的波浪折繞射模式計算近岸的波動應無問題。
十二、有關臺灣四周鄰近海域之海流流場調查及數值模擬計算，國內已有甚多研究成果及文獻，值得本研究參考或進行研究結果準確性之比較評估。建議多作收集並列載至「參考文獻」中，藉以突顯本研究之真實「本土化」特色。	已於期末報告修正。
十三、本研究係屬合作研究計畫性質，請委辦單位說明自辦研究項目及成果。	非委託研究業務項目。

附錄 III 期末報告審查意見處理情形表

交通部運輸研究所合作研究計畫

期中■期末報告審查意見處理情形表

計畫名稱：近岸數值模擬系統之建立(2/4)

執行單位：國立中山大學海洋科技研究中心

參與審查人員 及其所提之意見	合作研究單位 處理情形
林銘崇委員：	
一、水動力模式實質上即是水位及流場之聯立求解，故 2.1.1-7 節之水位模式是否有其單獨設立之必要性？	謝謝委員建議。已於第二章修正。P.20
二、海域波浪模式中含有海域全域模式系統及近岸區域模式系統，確為合理之設計，唯文中並未見該兩系統如何銜接之說明及計算例。	<p>謝謝委員意見。</p> <p>目前近岸區域模式之波浪模擬條件理論上可為單一波浪條件(即邊界格網上波高，波向，週期均為同一條件)，亦可為線邊界條件(即邊界格網上之波高及波向可能非同一值)。由於目前近岸區域模式系統各區模擬範圍與 SWAN 網格重疊部份均超過個格點以上，因此如何由 SWAN 計算結果選取或決定適當的波浪條件則需要花費時間進行探討的，預計於下年度配合線上作業時再行探討。</p> <p>目前兩模式之銜接問題係假設由 SWAN 模式模擬結果中輸出鄰近區域模式邊界之單點計算結果為模式之輸入條件。報告中之案例則為上述方法所建立的其中一案例。(PS. 期末報告漏印)</p>
三、近岸海域波浪模式今年度採用 REF/DIF 模式，係國內首例，就該模式架構內容而言，確值得進一步探討其實用性。	謝謝委員意見。
四、波浪資料同化作業(目錄表示在 P.202，但實為 P.201)，何以僅在近岸海域考慮？	頁碼在完稿中將再檢查更正。由於欠缺大洋的實測波浪及風場資料，目前僅能在近岸海域考慮。
蔡清標委員：	
一、本研究使用了數種模式擬建立所謂的 Taicoms，建議建立一完整之流程圖(flow chart)說明整體系統之操作方式。	已於第四章加入流程圖，以利閱讀。P.228
二、本報告未附期中審查意見及答覆之對照表，請補充。	按委員意見補充
三、如用不同模式預測或模擬同一背景資料，建議有各模式結果之精度比較。	目前各模式運作原理不相同，計算格點也不一樣，因此將其精度做一比較，有其困難度，且較無實質上的效益。

四、第四章即時現報，建議應列出氣象背景資料。	謝謝委員建議。每日使用之氣象資料均為氣象局預報提供。
五、第四章為何缺類神經網路模式之結果？	本研究正進行軟體平台之整合，因此，並未於 TaiCOMS 主機上預報相關結果，未來將整合後即可進行作業化預測。未來以颱風預警為主，不加入每日預報。
六、建議類神經網路模式另外成獨立章節，它縱歸是本計畫「數值模擬系統」之另一 branch，可視為一輔助系統。	按審查意見修改。
七、P.27 末段引用數篇為 discussion 之文獻，但忽略原作者之 closure 所述之 real-time 預報；且其評論不見得正確，建議修正。	對於評論部分將刪除，必加入作者之最終結論部份，說明類神經於即時預測可達 24 小時。P.28
李兆芳委員：	
一、本研究計畫彙整資料及成果相當豐富，可以提供為後續研究之參考。	謝謝委員肯定。
二、以下修正意見，請參考改進：	
(1) 第 159 頁圖 3.4~3 有限元素格網，須以足以識別元素呈現或略去。	(1)已於報告中修正。P178
(2) 第五章內容中結論和建議要分開陳述。各段結論可以更精簡些，同時必須為明確之結論。	(2)謝謝委員建議，本部分會於定稿時修正。P.280
(3) 第 273 頁，§5.2 上一段倒數二行，本為說明神經網路模式，但卻突然提及暴潮推算模式。	
(4) §5.2 第一段最後提及“可在上午 10:00 以前完成…”，但沒說清楚何時開始？	(3)本計劃使用天體位勢之神經網路求出天文潮位，再以實測潮位扣除神經網路模式之天文潮位，得到暴潮偏差，再將此偏差進行暴潮類神經網路模式學習，並預測颱風暴潮偏差。文章將加以說明清楚。P.280
(5) 第 274 頁第一段最後三行，對於海棠與泰利颱風中心受到地形影響以致結果差異，感覺上類神經網路方法之學習能力受到限制。	(4)有關波浪推算部分係以每天上午 6 時開始下載及推算，可於上午 10 時以前完成。目前正測試提前於上午 3:30 開始下載的可能性。
(6) 第 275 頁第一行，關於線上預報	(5)此地形變化為颱風與地形發生交互作用時，產生之變化。因海棠與泰利颱風中心都曾產生上下層分離之情形，因此 Holland Model 與實測風場有較大的差異，導致類神經網路推算產生誤差。對於馬莎與珊瑚颱風，其中心無變異情形則推

作業部份，提及需要“港沿中心的支援…”，文字有誤，請更正。	算結果則較精確。 (6)已修正
沈建全委員：	
一、文章內容錯別字較多，可能為輸入法之問題，宜加仔細校正。	謝謝委員建議，本團隊會於定稿時特別留意。
二、本研究之成果十分良好，各種預測之模式已大致建立起來，且能整合風場、波浪、水位、流場、擴散與實測資料進行同化比對，此與先進海洋研究國家已達同一等級之地位。	謝謝委員肯定。
三、本研究成果本人深予肯定，且合作諸教授之團隊精神甚佳，此顯示計畫主持人深厚之能力。	謝謝委員肯定。
四、建議申請專利，以維護港研中心之權益，並可外銷他國。	謝謝委員建議。
五、建議港研中心預為籌劃成立專責單位進行本模式之維護與預報工作。比照氣象局，每天發布預測結果，可強化施政效果。	謝謝委員建議。
邱永芳主任：	
一、每年之關鍵技術應定出，做計畫執行重點。	謝謝委員建議。
二、颱風期間上網應保持計算及上網率，請說明常斷線之原因。	颱風等天然災害發生，往往會造成電力中斷，因而導致網路中斷。另外各學校網路設備不盡相同，網路穩定度也不同，加上各團隊皆為末端使用者，因此網路中斷原因實無法控制。未來計畫租賃外部主機，以避免網路中斷時網站無法連結。
三、各模式之結果應討論如何選取最佳計算結果。	目前已完成預報上線為目標，待全程計畫完成後，會評估何種模式最適合。
四、近岸模式如何與大中尺度模式如何結合？應儘速解決。	將於下年度針對近岸區域模式與 SWAN 及 WAM 模式計算結果結合問題提出因應之道。
五、組合式預報請考量執行之可行性？風場應做檢討或與氣象局討論。	現階段以預報上線為主，待模式發展成熟，且有足夠資料後，再評估組合式預報之可行性。
六、潮位預報應先檢驗計算結果，可否提出主要河川河口之暴潮位計算結果。	謝謝委員建議。原則上沒問題，然颱風期間河川流量往往會增加，水位模式並未整合河川模式，因此模式得到的河口暴潮值精確度無法確定。
七、圖之各軸之比例應有自動調整才能清楚展示預報結果。	謝謝委員建議。由於目前操作模式為使用繪圖軟體每日自動出圖，因此軸為固定，待未來海情中心 GIS 網站建置完成，即可

	即時調整各軸之比例。
簡仲璟博士：	
一、模式計算結果與實測資料的比對工作，應有事先之規劃，例如比對程序設計、比對基準研擬、比對資料選擇等。如此才能有效進行模式的修正。	謝謝委員建議。今年度目標為預報上線，加上實測資料於 9 月份以後才有較完整的上傳，無法完整的比對模式，因此明年度會進行詳細之模式比對及校正。
二、二維海流模式的計算空間網格大小與時間間隔長短為何？依報告第五章結論與建議第 4 段所提，模式計算結果需臺灣海峽海流實測資料進行比對。然本中心海象觀測站皆屬近岸海域，可能無法提供該資料，因此建議向臺大海科中心洽取。	目前計算網格大小為 10 分，時間間隔為 20 秒，此部分於第二章修正。 實測資料部分，由於本團隊為僅承接單位，因此建議資料的取得由港研中心作為對口單位較為合適。P.52
三、報告第五章 5.2 節第 3 段所述「...本計畫今年度先針對臺灣東部海岸建構 16 個近岸區域波浪模擬區域....」，但報告中並無此相關成果說明。此段敘述若誤值則請修正，若非誤值則請補充說明。	(PS. 期末報告漏印 3.2-3 節) p.113
四、各團隊預報工作之整合情況與進度如何？以何種方式整合？又預定何時整合完成？以避免網路中斷造成團隊間資料無法傳送問題。此外有關實測即時資料傳送問題，請與本中心密切聯繫協調。	目前已開始著手程式移交動作，將程式集中於中山團隊計算主機中統一計算，然不同平臺運作仍需要時間調整，預定於年底整合完畢。
五、應補充期中審查意見及回覆說明。	按委員意見辦理
蔡立宏博士：	
一、由圖 2.1.1~6 中顯示模式結果於 7 月 17 日即有高估現象，似乎不是文章中所說明為實測資料中斷導致位移，請再探討原因。	謝謝委員建議。由於今年度颱風期間，實測資料相當少，對於模式比對有相當的難度，加上本年度以上線預報為主，待明年度取得足夠實測資料，即可進行模式比對校驗。
二、P.90 表 3.2-1 建議加入計算水位及採用的水深地形時間。	目前計算使用固定水深，並未加入水位模式計算之結果。
三、P.96 中說明 REF/DIF 模式計算效率高，建議增加說明在同一區域計算 EEMSE 與 REF/DIF 所花費時間。	謝謝委員建議。
四、P.79~P.110 之圖形於定稿報告中請附彩色圖，以方便讀者作比較。	已於第二章修正。